

*В.С.Крикоров*

# ***ЕДИНЫЙ КОСМОС***

## ***Том III***

**Основы Науки великой  
Цивилизации Инопланетян**

**Издательский дом  
«Космический интеллект»  
Москва, 2005**

## Нет выше Религии, чем Истина!

### От автора

Реакция **фарисеев** Современности на Основы **Науки** великой Цивилизации приводит к выводу: если бы Иисус пришел Сегодня, то Его распяли бы вновь.

Распяли бы не по **Злобе** или **Ненависти**, а в интересах **пастухов** золотого тельца.

Разбитый на государственно-политические, религиозно-мировоззренческие, расово-этнические, социально-экономические группировки, **сегодняшний Социум отстаивает интересы своих группировок во имя золотого тельца в форме частной собственности.**

*Бесполезно нефтяным монополиям предлагать альтернативу в форме Тонкой Энергии, понимая, что её куплю-продажу нельзя контролировать, распнут как Христа.*

Опасно говорить олигархам официоза современной науки, о том, что Тонкие Энергии своими взаимодействиями формируют живое и неживое. Являются Корнем Природы; её Вечным Двигателем, Создателем Всех Форм во Всём и Всегда. Спасая свои Парадигмы-Иллюзии, академики создают *комитеты по борьбе с лженаукой*, но свои *гранд-щетки не упустят. Причем* будут действовать подло, как это было во времена Т.Д.Лысенко - Президента Академии сельскохозяйственных Наук СССР.

Любимым приемом этой невежественной, но остепенённой друг другом публики, являются утверждения: генетика - это не наука; кибернетика - лженаука;... И даже, когда Жизнь докажет обратное, проморгаются и продолжают гнусавить: Наука великой Цивилизации ничего общего с наукой не имеет. В ней нет ничего научного. Однако дела обстоят с точностью наоборот: в нашей современной науке нет ничего *научного*, ибо она базируется на приближениях, парадигмах-иллюзиях, анти-реальных Обобщениях.

\*\*

Предлагаемая Вашему вниманию книга написана как **Возражение** по поводу клеветы об отсутствии Науки во Введении, а также в первом и втором томах моей работы: Единый Космос.

В данном случае мне пришлось расставить акценты не на мировоззренчески-религиозных взглядах нашей цивилизации, а на **Бытие Человека в Космосе** и на **Само Бытие Космоса**, что и есть **Основа Естественных Наук**.

\*\*

Рассмотрено влияние **Тонких Энергий на ядерное вещество** сгустков и условия возникновения Жизни вне граней Смертельного Круга.

Показана зависимость симметрично-ассиметричных **вихрей ядерного вещества** от условий прохождения через **лазерную Каплю** света вихрей Тонких Энергий.

Определены **электрические и гравитационные пределы** Космоса и сингулярность **магнетизма** в этих пределах.

\*\*

Проведен анализ связи **источников взаимодействий** и логарифмических волн в средах, окружающих источник взаимодействий.

Анализ показал, что **Человек на Земле, информация** о его пребывании на Земле и его **энергия реинкарнации**, связаны с Сознанием и Подсознанием **Человека в Космосе**. Эволюция Созидания живых магнитов связана с условиями резонансно-антирезонансной совместной пульсации солнечно-лунных полей в условиях четно-нечетной цис-транс изомерии и эндо-экзотермии.

Эти комплексные процессы функционирования Живого контролируются каждой биоклеткой и её биочасами.

**Роль биочасов клетки играет микротрубочка поры ядра клетки, через которую Тонкая Энергия Космоса проходит в цитоплазму клетки.**

Биочасы клетки работают в ритмике тринадцати лунного Календаря цивилизации Майя.

\*  
\*\*

**Прохождение Тонких Энергий через живое-неживое ядерное вещество формирует индивидуальные равновесные Системы микро- макромиров.**

Все равновесные Системы формируются **под воздействием Света**: свет сгущает небесные тела, и свет расщепляет их с присущей **его внутреннему спектральному полю периодичностью**.

\*  
\*\*

Показаны условия формирования светом следующих периодических систем: **геномов** наследственности, **Тонких Эмоциональных Энергий**, **солнечно-люминесцентного спектра света** в сочетании с тринадцати лунным Календарем и периодической системой **химических элементов**.

Найдена закономерность: окончание формирования периодической системы химических элементов **является началом формирования Человека** на уровне его молекулярных составляющих.

\*  
\*\*

Установлена **динамика Строения Атома**, как результат сгущения метagalacticких волн Тонких Энергий.

Проведен **сравнительный анализ** современной модели **строения атома** и модели Строения Атома по науке великой Цивилизации.

**Строение Атома** и режим его пульсации оказался связанным с функциональным **режимом Чакр**.

Анализ **справочных данных** веса нейтрона, протона и электрона *показал* их связь с потенциалами перехода между **Арупой и Рупой** в изложении Иисуса Христа.

\*  
\*\*

Вопреки **официозу нашей науки**, считающего область Тонких Энергий метафизикой, а метафизику (как Мета-науку в целом) лженаукой, исследования в этой области появляются всё больше и больше.

Создаются различного рода **генераторы Тонких Энергий** с различными источниками питания, а применение этих генераторов направленно на произвольно выбранные объекты.

Произвол в этих вопросах недопустим, а процесс воздействия необходимо изучать.

Поэтому я рассмотрел полученные экспериментальные результаты с позиции Теории Единого Космоса. Это глава данной работы, в которой экспериментальная часть подтвердила научный подход великой Цивилизации к Реалиям Единого Космоса.

## Глава 1

### Тонкие Энергии в Ядерном веществе

В этой главе сопоставляется современное понимание строения ядра на базе гипотетических **нуклонов и массовых чисел** с тем мировоззренческим подходом к структуре ядерного вещества, который был присущ **Науке великой Цивилизации**.

Великая Цивилизация считала, что ядерное вещество сгустков формируется в процессе сгущения сверхсветовых метagalактических волн Тонкой Энергии эндоэкзотермическим светом.

Энергия метagalактических волн в поле света формирует импульсы гравитационной Мысли, магнитной Памяти, электрического Воображения. Гравитационно-магнито-электрические импульсы в ядерном веществе (жидкой плазме) формируют соответственно гравитационный, магнитный и электрический элементарные заряды. Взаимопереходы форм энергий в ядерном веществе реализуются за счет сингулярных взрывов, но Большой Взрыв Вселенной невозможен, так как Вселенная расширяется.

**Эта работа написана с целью поиска новых источников энергии для нашей цивилизации**, так как создание термоядерного реактора, над которым бьется наша наука, принципиально невозможно. Но работа над теорией строения ядерного вещества дает возможность использовать Тонкие Энергии.

## 1.1 Энергетическая связь Рупы, Арупы и поверхности ядра периодической системы геномов

Пространства вне Энергии не бывает. Любое Пространство заполнено Энергией. Энергия в Пространстве существует в Движении. Движение - это трансформация одних форм Энергии в другие формы Энергии в соответствии с законом сохранения энергии: Энергия не исчезает и не появляется вновь, но трансформируемая светом во взаимодействиях переходит из одной формы в другую.

\*\*

Свет трансформирует энергетические поля и материи, и торсиальных сверхсветовых волн. Бесконечное множество энергетических форм присуще и торсиальным волнам и их материальным воплощениям - сгусткам, в том числе и ядерного вещества.

\*\*

Трансформируя одни формы энергии в другие, свет пульсирует в антирезонансно-резонансном режиме, создавая антирезонансный импульс:  $(m_c + E_\lambda) \times c$ ; и резонансный энергетический сгусток:  $m_c \times E_\lambda \times c^2$ , в условиях цистранс изомерии и эндо-экзотермии (табл.1.1).

Таблица 1.1

**Резонансно-антирезонансная пульсация света**

Поля	Эндотермия	Изомерия света		Экзотермия
		Цис	Транс	
Анти-резонанс импульса	$\lg \rho_1 \rho_2 =$ $\lg 10^{-24} \cdot 10^{-1} =$ - 25	$(m_c + E_\lambda) \cdot c =$ $\pi \cdot 2 / \pi =$ 2	$-(m_c + E_\lambda) \cdot c =$ $-\pi \cdot 2 / \pi =$ - 2	$\lg \frac{\rho_3 \rho_4}{\rho_5} =$ $\lg 10^{12} \cdot 10^{14} \cdot 10^{-1} =$ + 25
Резонанс энергии лазерных точек	- 25	$m_c E_\lambda c^2 =$ $\pi^2 \cdot 1 / \pi^2 =$ 1	$-m_c E_\lambda c^2 =$ $-\pi^2 \cdot 1 / \pi^2 =$ - 1	+ 25
Приведённый потенциал	$\frac{(-25) \cdot (+2) \cdot (+25) \cdot (-2)}{(-25) \cdot (+1) + (+25) \cdot (-1)} = \frac{+2500}{-50} = -50$			
Разность квадратов	$\pm(+50)^2 - (-50)^2 = \pm 5 \cdot 10^3$ энергия связи в поле света			
Потенциалы при сжатии-расширении	Сжатие		Расширение	
	$5 \cdot 10^3 \cdot (T_o \cdot \omega_o / c = 2) =$ $10^4$ Индукция $10^4$ 1/А		$5 \cdot 10^3 \cdot (T_o \cdot c / \omega_o = 8) =$ $4 \cdot 10^4$ Сороковица, Свабхават О	
Разности потенциалов	Интегральная		Разность квадратов	
	$\int\limits_{10^4}^{4 \cdot 10^4} \varphi \, d\varphi = 75 \cdot 10^7$		$(4 \cdot 10^4)^2 - (10^4)^2 = 15 \cdot 10^8$	
Появление ядерного вещества	$(15 \cdot 10^8)^2 - (75 \cdot 10^7)^2 = 27 \cdot 5^4 \cdot (10^{14} = \rho_4).$			

Как можно видеть (табл.1.1) резонансно-антирезонансная пульсация света формирует практически все законы Единого Космоса. Приведу некоторые из них.



1. Антирезонансный импульс света формирует цис-транс изомерическую связь  $\pm 5^2$  волновых полей в экстремальных областях волн, где  $\pm[1 - (-1)] = 2$ .

С экстремальными областями волн совпадают резонансные равновесные ( $\pm 1$ ) потенциалы лазерных точек (табл.1.1).

Между  $\pm 1$  возникает кольцо с единицей, в котором импульсы  $m_c s$  и  $E_\lambda s$  трансформируются в энергию  $m_c s^2$  и  $E_\lambda s^2 \equiv c \equiv \pi$ .

2. Приведенный **резонансно-энергетический и антирезонансно-импульсный** потенциал света формирует волновую пятеричную связь с потенциалом  $-50$ , которую великая Цивилизация называла Пятеричный Лха [1], а Ветхий Завет обожествлял как Айн СОФ [3].

Возмущенная пятеричной связью волновая среда свою разность квадратов сначала до  $5 \cdot 10^3$ , а затем до ядерных взаимодействий в энергетическом поле пятеричной связи, то есть до  $27 \cdot 5^4 \cdot 10^{14}$  (табл.1.1).

Потенциал  $27 = 3^3 \equiv \tau^\tau$  характеризует предел поля Арупы, так как следующее равновесное состояние формирует уже поле гравитации с лунным Числом:

$$27 + 1 = 28 \equiv 1+2+3+4+5+6+7. \quad (1.1)$$

Поле гравитации (1.1) при наличии пятеричной связи формирует магнитное поле [4]:

$$5 \cdot 28 = 140 = 1^2+2^2+3^2+4^2+5^2+6^2+7^2 = 10/\sqrt{\mu\mu^*}. \quad (1.2)$$

Это магнитное поле (1.2) действует на всё живое, являющееся живыми магнитами, исцеляющее.

Исцеляющее действие проверено экспериментально облучением **Свечением** от генератора Тонкой Энергии или Мыслью, где полуэллипсы имели потенциалы 27 и 28 (рис.1.1).

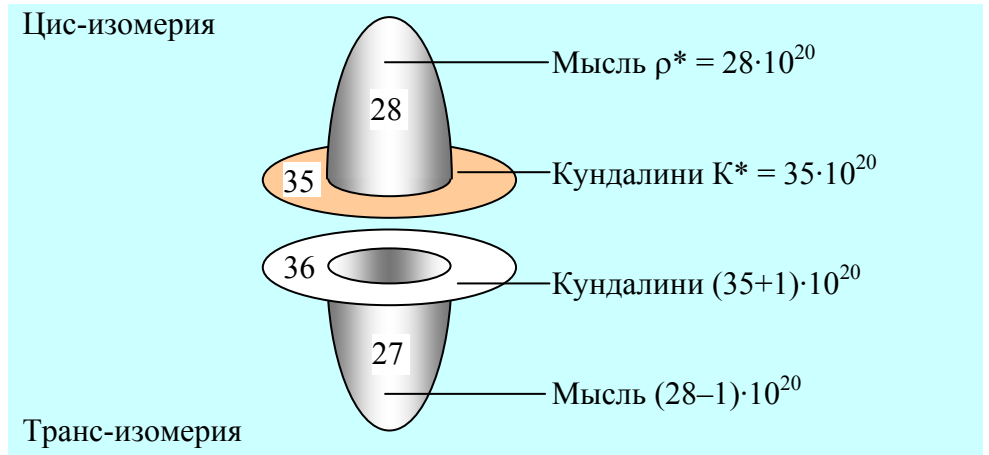


Рис.1.1 Сотворение Света Мыслью

Разность потенциалов  $28 - 27 = 1$  давала возможность формирования равновесных квантовых орбит (рис.1.1). Попад на такую орбиту любой квант-сгусток, не затрачивает на движение свою собственную энергию, ибо его несёт пульсирующий поток Тонкой Энергии:

$$2 \int_{27}^{28} \varphi d\varphi = 55 \quad \text{и} \quad T_0 \int_{27}^{28} \varphi d\varphi = 110. \quad (1.3)$$

Отвергнув Тонкую Энергию, наука всё время выкручивается за счёт парадигм, аксиом, постулатов и других Иллюзий.

Так произошло и с квантованными орбитами. Их признали только после введения Н.Бором постулата: **электрон не падает на ядро атома потому, что он вращается по так называемым квантованным орбитам без затраты собственной энергии.**

Откуда берётся энергия квантованных орбит? Нашим ученым было глубоко наплевать и забыть. Вопрос остался на уровне **первого постулата Н.Бора.**

Н.Бор угадал, но исходной причины не понял. Не понял потому, что отвергал наличие Тонких Энергий. Мой подход иной: электрон не падает на ядро потому, что находится в магнитном потоке Тонких Энергий, проходящих через ядерное вещество атома, формирующих квантованные орбиты (рис.1.1).

В этом же потоке находится любой квант, любой геном и сама Жизнь. Зачатие, размножение и функциональные свойства Жизни не возможны без Тонких Энергий. Тонкие Энергии - это "Корень Жизни" [1].

\*\*

Второй постулат Н.Бора говорит о том, что радиусы соседних квантованных орбит соотносятся как квадраты последовательных целых чисел:

$$r_1^2 : r_2^2 : r_3^2 : \dots = 1^2 : 2^2 : 3^2 : \dots \quad (1.4)$$

И второй постулат Н.Бора верен, но не объяснён. Мой подход в следующем: радиусы квантованных орбит соотносятся между собой как квадраты последовательных целых чисел потому, что находятся в магнитных полях, а магнитные поля уже в ядерном веществе формируют электрические уровни - эквиваленты рядам квадратов последовательных целых чисел:

$$5 = \frac{1^2 + 2^2 + 3^2 + 4^2 + 5^2 + 6^2 + 7^2}{1 + 2 + 3 + 4 + 5 + 6 + 7} = \frac{140}{28}. \quad (1.5)$$

$$7 = \frac{1^2 + 2^2 + 3^2 + 4^2 + 5^2 + 6^2 + 7^2 + 8^2 + 9^2 + 10^2}{1 + 2 + 3 + 4 + 5 + 6 + 7 + 8 + 9 + 10} = \frac{385}{55}. \quad (1.6)$$

$$9 = \frac{1^2 + 2^2 + 3^2 + 4^2 + 5^2 + 6^2 + 7^2 + 8^2 + 9^2 + 10^2 + 11^2 + 12^2 + 13^2}{1 + 2 + 3 + 4 + 5 + 6 + 7 + 8 + 9 + 10 + 11 + 12 + 13} = \frac{819}{91}. \quad (1.7)$$

Эти зависимости настолько важны, что великая Цивилизация передала их даосянам как 110 Богов (1.3).

\*\*

Поля с потенциалами 5, 7 и 9 пульсируют в резонансно-антирезонансном режиме. При антирезонансе возникает, например, пульсирующая система биотока в живой биологической клетке. При резонансе появляются геномы, максимальный потенциал у которых в периодической системе геномов (табл.1.2, рис.1.2) равен 63.

		группы							
		I	II	III	IV	V	VI	VII	VIII
периоды	1	63	62	61	60	59	58	57	56
	2	55	54	53	52	51	50	49	48
	3	47	46	45	44	43	42	41	40
	4	39	38	37	6	9	34	33	32
	5	31	30	29	9	6	26	25	24
	6	23	22	21	20	19	18	17	16
	7	15	14	13	12	11	10	9	8
	8	7	6	5	4	3	2	1	0

*Рис.1.2 Периодическая система геномов*

При формировании периодической системы геномов потенциалы 6, 9, 9 и 6 формируют ядро периодической системы геномов (рис.1.2), а вытесненные ядром потенциалы 27, 28, 35 и 36 формируют **Свечение Тонкой Энергии** (рис.1.1).

В этом поле геномы пульсируют в резонансно-антирезонансном режиме, объединенные пятеричной связью до и после митоза и при самом митозе (табл.1.2).

Таблица 1.2

**Влияние пятеричной связи на пульсирующую  
субструктуру биоклетки до митоза, при митозе  
и после митоза при появлении двух дочерних  
субструктур (9+0)**

Режим		Субструктуры	Влияние пятеричной связи	Последствия
До митоза	Анти- резонанс	$5+7+(9+0)=21$ биоткань	$21/5 = 4,2$ энергия в сердце	Полярные вихри. Зародыш души
	Резонанс	$5 \cdot 7 \cdot (9+0)=315$ ядерно- биологи- ческое вещество	$375:5 = 63$ максималь- ный геном	Появление генома в ядерно- биологи- ческой субстанции
Митоз	Анти- резонанс	$5 + 7 + (9+0) +$ $(9+2) = 32$ (Цинь)	$32/5 = 6,4$ (зародыш Тянь)	Формиро- вание Цинь и зародыша Тянь
	Резонанс	$5 \cdot 7 \cdot (9+0) \cdot (9+2)$ $\equiv 5 \cdot 63 \cdot (9+2)$ Митоз в полях геномов	$5 \cdot 63 \cdot (9+2)/5 =$ $(9+0) \cdot 7 \cdot (9+2)$ Семь стадий митоза	Формируется энергетика митоза в субстанции геномов
После митоза и появления двух дочерних субструк- тур (9+0)	Анти- резонанс	$5+7+(9+0)+$ $(9+2)+2(9+0)$ $= 50$	$50/5 = 10$ $\equiv \rho_5$	Взаимодей- ствие света и пульсация Цинь (Айн Соф [3]). Появление 110 Богов (Книга Мёртвых) и Числа Человека (Библия)
	Резонанс	$5 \cdot 7 \cdot (9+0) \cdot$ $(9+2) \cdot 2 \cdot (9+0)$ $= 63 \cdot 110 \cdot 18$ Геномы в жидких средах 110 Божеств (Книга Мёртвых)	$63 \cdot 110 \cdot 18/5 \equiv$ $226,8 =$ $2(113+0,8)$ Число Человека в расширяю- щейся Вселенной	
Среда между Богами и Человеком		$\int_{110}^{113} \varphi d\varphi = 9 \cdot 11 \equiv (9+0) \cdot (9+2)$		Резонанс субструктур.

Пульсация субструктуры (9+2) ведет к делению биоклетки и появлению двух дочерних клеток с субструктурами (9+0), а весь цикл пульсации к резонансу:  $\int_{110}^{113} \varphi d\varphi = 9 \cdot 11$ .

Переход к антирезонансу (табл.1.2).

Между субструктурами возникает разность квадратов:

$$2 \int_{9+0}^{9+2} \varphi d\varphi = 40 \text{ и } 40 \cdot \left( \pm \int_0^1 \varphi d\varphi \right) = \pm 20 \equiv \rho_5 \cdot c / \omega_0, \quad (1.8)$$

что приводит к формированию поля с потенциалами  $\pm 20 = \pm \rho_5 \cdot \lg \rho_1 \rho_2 \rho_3 \rho_4 \rho_5$  и **сокровенной сороковицы. В поле субструктуры биоклетки возникает энергетическое Подобие поля света.**

\*\*

В поле ядра периодической системы геномов возникает резонансно-антирезонансная пульсация (рис.1.2) **Цис-транс изомерическое колебание ядра** периодической системы геномов приводит к возникновению амплитуды колебания поверхности ядер и возникновению в среде вихря фотонов с периодичностью, равной  $1,44 \equiv (T_0 \tau)^2 \cdot \rho_2^2$ .

Над поверхностью пульсирующего ядра появляется Свечение (рис.1.1), разности потенциалов в котором соответствуют потенциалу расширения Вселенной, то есть восьми (табл.1.3).

Ядро поглощает (излучает) волны Тонкой Энергии Метагалактик ( $H = T_0 \cdot 2^{1/4} = 2^{7/4}$ ) и описание процесса пульсации Ядра и Свечения над ним будет связано с объемом  $\left( V_{\Pi} = \frac{1}{3} a^2 H = \frac{1}{3} \cdot 8 \cdot 2^{7/4} \right)$  великой Пирамиды (табл.1.3):

$$V_{II} = \frac{36-28}{9-6} T_0^4 \sqrt{\sin \pi/4} = \frac{1}{3} \cdot 8 \cdot 2^{7/4} = \frac{1}{3} \cdot a^2 H. \quad (1.9)$$

Таблица 1.3

**Пульсация ядра периодической системы геномов**  
(рис.1.2) и **Свечение Тонкой Энергии над ядром**  
(рис.1.1)

Поля		Поверхность ядра		Свечение над ядром	
Изомерия		Цис	Транс	Цис	Транс
Амплитуда колебания		$9 - 6 = 3 \equiv \tau$	$6 - 9 = -3 \equiv -\tau$	$36 - 28 = 8$	$35 - 27 = 8$
Возмущение среды, то есть фотонов	Анти-резонанс	$\int_6^9 \varphi d\varphi = 45$	$\int_9^6 \varphi d\varphi = -45$	$\int_{28}^{36} \varphi d\varphi = 256$	$\int_{27}^{35} \varphi d\varphi = 248$
	Резонанс	$9 \cdot 6 = 54$	$6 \cdot 9 = 54$	$36 \cdot 28 = 1008$	$35 \cdot 27 = 945$
Потенциалы поверхности ядра и Свечения над ним		Зарождение периодичности вихря		Завершение формирования генома	
		$\frac{45}{54} \Leftrightarrow -\frac{54}{45}$ $1 \Leftrightarrow \frac{-54^2}{45^2} \equiv 1,44 \equiv$ $12^2 \cdot 10^{-2} \equiv (T_0 \tau \rho_2)^2$		$1008 - 945 =$ $1008 - 21 \cdot 45 = 63,$ где $45 \equiv 45^\circ \equiv \pi/4$ .	

Поскольку поля Материи и Тонкой Энергии формируются как **Подобия энергетических полей Света**, то разность выражается в **относительных единицах**, а, следовательно, может быть любая. Например, 45 относительных единиц могут быть представлены как  $45^\circ$  (угловых градусов), равных в радианах  $\pi/4 \equiv c/T_0$ . Это значит, что свет в инерционной системе должен пульсировать с периодичностями  $T_0 = 4$  в Рупе,  $\tau = 3$  в Арупе и  $(T_0 \tau = 12)^2$  в Недрах ядерного вещества.

Излучение, а вернее переход Энергии из одной формы в другую, происходит **в соответствии с законами квантования**, то есть тогда, когда первоначальный потенциал (или **Продолжительность**) достигает квадрата первоначальной величины. В этом случае появление потенциала  $1,44 \equiv 10^{-2}(12^2) \equiv (T_o \tau p_2)^2$  в ядре должно быть связано с квадратами Продолжительностей Рупы ( $T_o^2 = 16$ ) и Арупы ( $\tau^2 = 9$ ) (табл.1.4)

Таблица 1.4

**Связь Продолжительностей в процессе пульсации поверхности ядра (табл.1.3) с Продолжительностями в полях Рупы и Арупы при слабых взаимодействиях**

Поля		Поверхность ядра	Рупа	Арупа
Квадраты Продолжительностей		$12^2 \cdot (\rho_2^2 = 10^{-2}) \equiv 7$ $(T_o \tau p_2)^2 = 1,44$	$T_o^2 \rho_2^2 = 0,16 \equiv \sqrt{qq^*} \cdot 10^{-2}$	$\tau^2 \rho_2^2 = 0,09$
Пульсация $\times 10^{-2}$	Анти-резонанс	$\left  \frac{144}{16+9} \equiv \frac{144}{25} \Leftrightarrow \frac{25}{144} \right  \quad 12^4 - 5^4 \Leftrightarrow 12 \cdot 5 \equiv 7 \Leftrightarrow 0$ семеричность		
	Резонанс	$\frac{144}{16 \cdot 9} = 1 \Leftrightarrow 1 \equiv \frac{16 \cdot 9}{144}$ – равновесие.		

Равновесие между поверхностью ядра, Рупой и Арупой наступает при их резонансе (табл.1.4):

$$10^{-2}(16 \cdot 9 = 144 = 12^2) \equiv T_o^2 \rho_2^2 \tau^2.$$

В пульсирующих полях Единого Космоса это равновесие всё время расщепляется (табл.1.4):



Мультиплетность Продолжительностей				(1.10)
Библейское число	Каббала (Боги)	Свет	Вода	
$12^2 = 144$	$12^2 \left( \pm \int_0^1 \varphi d\varphi \right) = 72$	$72 \left( \pm \int_0^1 \varphi d\varphi \right) = 36$	$36 \left( \pm \int_0^1 \varphi d\varphi \right) = \pm 18.$	

В воде зарождается Жизнь. Зарождается за счет мультиплетности воды в Космосе, формирующем субструктуру (9+0):

$$(M_{H_2O} = 18) \int_0^1 \varphi d\varphi = (9+0)$$

и

$$(M_{H_2O} = 18) \int_1^0 \varphi d\varphi = -(9+0), \quad (1.11)$$

где  $M_{H_2O}$  - молекулярный вес воды.

## 1.2 Сгущение метagalактических волн в фотоны: возникновение Жизни в Арупе и Рупе

**Энергетика зарождения Жизни и энергетика каждого мгновения Жизни Подобны.**

Подобие состоит в том, что в момент рождения и каждый миг Жизни происходит **сгущение метagalактических волн в сгусток света (фотоны)**. При Жизни такое сгущение метagalактических волн в фотон обеспечивает энергией процесс **фотосинтеза**, а следовательно функции биологических циклов живого организма; а при рождении - переход от Тонких Энергий души к энергии Материального Тела.

В сгущении метagalактических волн в фотон принимает участие пульсирующий Космос:

Сгущение метагалактических волн в фотон			
Кундалини	$\frac{m_e c + E_\lambda c + \mu_0 \varepsilon_0 c^2}{\lg \rho_1 \rho_2 \rho_3 \rho_4 \rho_5} = \frac{3}{2}$ свет	$\frac{3}{2} + 1 = \frac{5}{2}$ сжатие	$\frac{5}{2} + 1 = \frac{7}{2}$ расширение
Разнонаправленность	$\pm \frac{5}{2} \cdot \int_0^1 \varphi d\varphi = \pm \frac{5}{4}$	$\pm \frac{7}{2} \cdot \int_1^0 \varphi d\varphi = \pm \frac{7}{4}$	

(1.12)

Наличие разнонаправленности движения волны Кундалини (1.12) формирует фотон (рис.1.3).

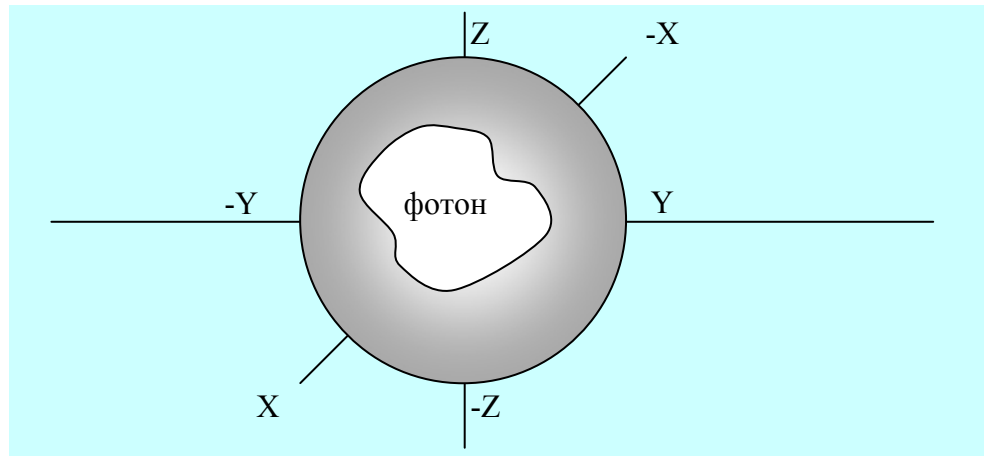


Рис.1.3 Фотон в поле равновесия с Космосом

Великая Цивилизация называет метагалактические волны, в том числе волны Кундалини, Корнем [1]. И это действительно так, ибо метагалактические волны являются исходной энергией сгустка, в том числе сгустка частицы света - фотона. В свою очередь вихри фотонов создают заряды (Рупа) и импульсы (Арупа):

$$\frac{7}{4} \equiv \frac{T_0 + \tau}{T_0} \equiv \frac{\rho^*}{q^*} \equiv \frac{\rho}{q} \equiv \sqrt{\frac{\rho \rho^*}{q q^*}} \equiv \frac{2\mu^*}{q^*} \equiv \frac{2\mu}{q} \equiv \sqrt{\frac{T_0 \mu \mu^*}{q q^*}}. \quad (1.13)$$

Появление сгустка-фотона в свою очередь формирует **само трёхмерное Пространство Единого Космоса** (рис.1.3).

\*  
\*\*

Великая Цивилизация приняла **множественность форм кванта с потенциалом 7/4 за Единицу своего счисления и назвала эту Единицу пальмой** (1.13). Квант с потенциалом, равным пальме, пульсирует в поле фотона (рис.1.3) **с продолжительностями  $T_0 = 4$** . Возникает **неравновесная** энергетическая система колебаний:

$$\left(T_0 \frac{7}{4}\right)^n = 7^n \Leftrightarrow \left(T_0^2 \cdot \frac{7}{4}\right)^n \equiv 28^n, \quad (1.14)$$

где  $n = 1, 2, 3, \dots$  и при  $n = 0$  возникает  $T_0^0 = 1$ .

\*  
\*\*

Неравновесные колебания (1.14) формируются за счет логарифмических волн, изначально возникающие как поля Тонких Энергий (табл.1.5).

В поле фотона по оси ординат  $Z$  возникает магнитное поле (табл.1.5):

$$Z - (-Z_1) = 14 \equiv \sqrt{\mu\mu^*}, \quad (1.15)$$

а в плоскости  $X_1 O Y_1$  - гравитационное (табл.1.5):

$$X_1 - (-X_1) + Y_1 - (-Y_1) = 4 \cdot 7 = 28 \equiv \sqrt{\rho\rho^*} \equiv 1+2+3+4+5+6+7. \quad (1.16)$$

Эти поля (1.15, 1.16) под действием Колебаний Космоса  $\left(\pm \int_0^1 \varphi d\varphi\right)$  расщепляются пополам (митоз). Возникает пространство  $XYZ$ , заполненное Кундалини (табл.1.5).

Таблица 1.5

**Формирование биоклеток и души в поле фотона**

Оси ординат	Координаты (Кундалини)	Поле расширения (семеричность)
$\pm X$	$X = \log_{\sqrt{2}} (\sec \pi/4)^{7/2} = 7/2$	$X_1 = \frac{7}{2} \cdot \frac{c}{\omega_0} = \frac{7}{2} \cdot \frac{\pi}{\pi/2} = 7$
	$-X = \log_{\sqrt{2}} (\sin \pi/4)^{7/2} = -7/2$	$-X_1 = -\frac{7}{2} \cdot \frac{c}{\omega_0} = -7$
$\pm Y$	$Y = \log_{\sqrt{2}} (\sec \pi/4)^{7/2} = 7/2$	$Y_1 = \frac{7}{2} \cdot \frac{c}{\omega_0} = 7$
	$-Y = \log_{\sqrt{2}} (\cos \pi/4)^{7/2} = -7/2$	$-Y_1 = -\frac{7}{2} \cdot \frac{c}{\omega_0} = -7$
$\pm Z$	$Z = \log_{\sqrt{2}} (\csc \pi/4)^{7/2} = 7/2$	$Z_1 = \frac{7}{2} \cdot \frac{c}{\omega_0} = +7$
	$-Z = \log_{\sqrt{2}} (1/\csc \pi/4)^{7/2} = -7/2$	$-Z_1 = -\frac{7}{2} \cdot \frac{c}{\omega_0} = -7$
Полярные вихри фотона	$K = X - (-X) + Y - (-Y) =$ $Z - (-Z) \equiv 6 \cdot 7/2 \equiv$ $21 =$ $5 \hookrightarrow +7 \hookrightarrow (9+0)$ Биоклетка	$K_1 = X_1 - (-X_1) + Y_1 - (-Y_1) =$ $Z_1 - (-Z_1) \equiv 7 \cdot 6 \equiv$ $42 =$ $21 - (-21)$ Душа: Боги Сердца.

\*\*

Пульсирующий гравитационно (1.16) - магнитный (1.15) фотон возмущает окружающую среду этого пространства. В трёхмерном энергетическом пространстве среды возникает разность **потенциалов**, эквивалентная полярному вихрю или пульсирующей субструктуре биоклетки (табл.1.5), и сумма потенциалов, эквивалентная геному 63 (рис.1.2). Переход к резонансу в **Капле Фотона** приводит к резонансу **Оболочки** (потенциал 49) фотона и его жидкой среды ядерного вещества с молекулярным весом  $18 \equiv \text{Mn}_2\text{O}$  (табл.1.6).

Таблица 1.6

**Геномы в пульсирующей субструктуре биоклетки**

Поля - режимы	Антирезонанс		Резонанс (отношения)	Магнитное поле в Круге Универсума [4]
	Разность	Сумма		
Потенциалы	$42 - 21 = 21$ биоклетка	$42 + 21 = 63$ геном	$21 \cdot 63 \equiv 1323$	$(63 - 21 = M) \equiv \sqrt{\mu\mu^*}$
			$18 \cdot 49 = 882$	
			$1,5 \equiv \tau$ $\int_0^1 \varphi d\varphi$	$49 - 18 = 31.$

В этом поле (табл.1.6) потенциал 31 встречается в Круге Универсума Иоанна Богослова [4]. Теперь мы знаем, что потенциал 31 описывает разность потенциалов между оболочкой Капли Жизни и её жидкой средой в объёме Капли.

Капля Жизни существует в Океане Жизни также, как Капля ядерного вещества во Вселенной. Но мы живем в расширяющейся Вселенной, в которой взаимодействия между оболочкой и средой под оболочкой пульсируют (табл.1.6).

<b>Пульсация между оболочкой и внутренним полем</b>			(1.17)
Равновесие	Диапазон	Внутреннее поле света	
$49 - 18 = 31$	$30 + 1 = 31$ и $30 - 1 = 29$	$2 \int_{29}^{31} \varphi d\varphi = 120 \equiv 5!$	

Во внутреннем поле под **оболочкой** фотона в его жидкой плазме с потенциалом 18 возникает структура пяти слоёв внутреннего поля света:

$$\frac{\text{резонанс} \equiv 120 = 1 \cdot 2 \cdot 3 \cdot 4 \cdot 5}{\text{антирезонанс} \equiv 1 + 2 + 3 + 4 + 5 = 15} \Leftrightarrow$$

$$8 \Leftrightarrow \frac{1}{8} \equiv \frac{15 \equiv \text{антирезонанс}}{120 = \text{резонанс}}. \quad (1.18)$$

\*\*

В поле расширяющейся Вселенной происходит взаимодействие света, и потенциал, равный 8, увеличивается в 10 раз. Возникает отношение, равное  $3/2 = 1,5$  (табл.1.6):

Отношение внутреннего поля фотона к потенциалу расширяющейся Вселенной	
Колебания Космоса в Арупе	$\frac{5! \equiv 120}{8 \cdot \rho_5 \equiv 80} \equiv 1,5 = \frac{3}{2} \equiv \pm \tau \cdot \int_0^1 \varphi d\varphi$
Возникновение и рост Кундалини	$3/2 + 1 = 5/2 \rightarrow 5/2 + 1 = 7/2 \rightarrow 7/2 + 1 = 9/2.$  подъём ин-   тенсивности

(1.19)

Потенциалы  $\tau = 3$  и  $\pm \int_0^1 \varphi d\varphi \equiv \pm 2^{-1}$  описаны в Круге

Универсума Откровений Св. Иоанна [4,5]. Но ещё раньше Книга Дзиан утверждала: **"6. Корень Жизни был в каждой Капле Океана Бессмертия, и Океан был Светом Лучезарным, который был Огонь, и Тепло, и Движение. Тьма исчезла и более не существовала, она исчезла в своём Естестве, в Теле Огня и Воды, Отца и Матери"** ([1]. Космогенезис. Станца III).

\*\*

Тонкая Энергия (**Корень**) после исчезновения **Тьмы** (метagalактические волны) переходит от одного равновесного состояния к другому, формируя **Спирали Кундалини** (1.19, табл.1.7).

Таблица 1.7

**Спирали Кундалини в полях взаимодействия света,  
субструктуры (9+0), солнечном и лунном рядах,  
пятеричной связи, Рупе и Арупе**

Поля		Периоды										Сум- мы
		I	II	III	IV	V	VI	VII	VIII	IX	X	
Свет: $\tau_5=10$	Равно- весие	1	2	3	4	5	6	7	8	9	10	55
	Кунда- лини	1,5	2,5	3,5	4,5	5,5	6,5	7,5	8,5	9,5	10,5	60
Суб- струк- тура (9+0)	Равно- весие	1	2	3	4	5	6	7	8	9	-	45
	Кунда- лини	1,5	2,5	3,5	4,5	5,5	6,5	7,5	8,5	9,5	-	49,5
Сол- неч- ный ряд	Равно- весие	1	2	3	4	5	6	7	8	-	-	36
	Кунда- лини	1,5	2,5	3,5	4,5	5,5	6,5	7,5	8,5	-	-	40 Сороко- вица
Лун- ный ряд	Равно- весие	1	2	3	4	5	6	7	-	-	-	28
	Кунда- лини	1,5	2,5	3,5	4,5	5,5	6,5	7,5	-	-	-	31,5
Пяте- рич- ная связь	Равно- весие	1	2	3	4	5	-	-	-	-	-	15
	Кунда- лини	1,5	2,5	3,5	4,5	5,5	-	-	-	-	-	17,5
Рупа $T_0=4$	Равно- весие	1	2	3	4	-	-	-	-	-	-	10
	Кунда- лини	1,5	2,5	3,5	4,5	-	-	-	-	-	-	12
Арупа $\tau = 3$	Равно- весие	1	2	3	-	-	-	-	-	-	-	6
	Кунда- лини	1,5	2,5	3,5	-	-	-	-	-	-	-	7,5.

В этих полях разность сумм потенциалов подъёма Кундалини равновесных состояний равна 22 и эквивалентна числу Авогадро ([2], стр.424, табл.1.7):

$$(60+49,5+40+31,5+17,5+12+7,5 = 218) -$$

$$(55+45+36+28+15+10+6 = 195) \equiv 23. \quad (1.20)$$

Как утверждается в Торе ([2], стр.424) "**Авраам связал дух двадцати двух букв своим языком** (Примечание: работал в области Арупы, табл.1.7), **и Бог открыл ему секреты их. Бог позволил буквам раствориться в воде.** (Примечание: Рупа с потенциалом  $T_0$  появляется при разности потенциалов, равной  $22 - (M_{H_2O}=18)=4 \equiv T_0$ ). **Он сжег их на огне, развеял по ветру.** (Примечание: **Огонь** - жидкая плазма ядерного вещества мозга; ветер - колебания окружающей среды, которая как струна воспроизводит мысль (телепатия), музыку, слово и так далее). **Он распределил их среди семи планет** (Примечание: колебания среды семи уровней гравитации лунного ряда, табл.1.7) **и отдал их двенадцати знакам Зодиака** (Примечание: переход колебаний из Арупы в Рупу связан с равновесными потенциалами 10 и 12, табл.1.7).

\*  
\*\*

При переходе между Рупой и Арупой возникают колебания (табл.1.7).

Эти колебания между Рупой и Арупой дают возможность передать информацию через волны. Если распространение волн не превышает скорости света (волны Материи), то информация передаётся как изображение и звук; если скорость волн превышает скорость света (Тонкие Энергии), то информация может быть передана телепатически, то есть непосредственно волнами мысли, памяти, воображения.



Природными органами приема-передачи телепатической информации является Чакра Третий Глаз. Причем телепатия является частным случаем энергетического процесса зарождения и развития разных Форм Жизни (табл.1.8).

Таблица 1.8

**Чакра Третий Глаз в Рупе - Арупе Космоса**

Поля	Рупа (табл.1.7)		Арупа (табл.1.7)	
Неравновесный переход	$\frac{Равновесие\ 10}{Кундалини\ 12}$		$\frac{7,5}{6} \equiv \frac{Кундалини}{Равновесие}$	
Сине-голубая Чакра Третий Глаз	$(\Delta C + \Delta \Gamma) \rho_2 = 10 \cdot 6 = 60$ сине-голубое поле		$90 = 12 \cdot 7,5 \equiv (9+0) \rho_5$ субструктура (9+0)	
Индуктивность - биоток Чакры: $10^4 I / A \Leftrightarrow 10^{-4} A$	$60 \cdot 90 - (90^2 - 60^2)$ $10^4 \cdot (54 - 45)$		$10^4 \cdot (54 - 8) + 36 \equiv$ $10^4 \cdot (9 + 0)$	
Компоненты поля чакры: заряды, скорость света, границы раздела	$q \equiv$ $16 \cdot 10^{-20} \equiv$ $16 \cdot 10^{-20} A \cdot c$ электрический	$\mu \equiv$ $14 \cdot 10^{-20} \equiv$ $14 \cdot 10^{-20} A \cdot c$ магнитный	$c \equiv$ 300 тыс. км/с $3 \cdot 10^{18} \text{Å} / c$ скорость света	$\lambda_1 = 4800 \text{Å}$ $\lambda_2 = 4800 \text{Å}$ границы раздела
Сила тока $\Leftrightarrow$ индукция	$10^{-4} A \equiv qc / \lambda_1 \equiv \mu c / \lambda_2 \Leftrightarrow 10^{-4} A^{-1}$			

Корень - тонкая волновая энергия переносит как информацию, так и субструктуру (9+0). Отсюда христианская догма о непорочном зачатии.

Сокровенный смысл догмы о непорочном зачатии состоит в том, чтобы наша цивилизация обратила внимание на длину волны  $\lambda = 14400 \equiv 120^2 \text{Å}$ , при которой гравитационный импульс формирует в живой биоклетке биоток и индуктивность эквивалентные:

$$\frac{7}{2} \cdot 10^{-4} A \equiv \frac{\rho \cdot c}{\lambda_3} = \frac{28 \cdot 10^{-20} A \cdot c \cdot 3 \cdot 10^{18} \text{Å} / c}{14400 \text{Å}} = \frac{12}{7} 10^4 \frac{1}{A}. \quad (1.21)$$

Ортодоксальный Иудаизм так и не признал Иисуса Христа за **Мессию - Сына Бога**.

Иудаизм в вопросе о сущности Христа должен был учитывать влияние христианства на мировоззрение социума Земли, склонного к **Христианской Морали**.

Попытки удушить христианство репрессивно-силовыми методами потерпели поражение во все века, но желание извратить, очернить, подорвать христианство также продолжается из века в век.

Камнем разногласия между иудаизмом и христианством был и остается **кумир иудеев - золотой телец**.

По форме высказывания и сущности своих дел Иисус Христос был **первым коммунистом**, за что был распят Капиталом и Властью своего времени. Его притча о богатом, которому труднее попасть в царствие небесное, чем верблюду пройти через игольное ушко - это признание им наличия классовых разногласий в социуме того времени.

Эти разногласия никуда не исчезли, но их будет легко скрыть, отвергнув роль Христа как Мессии. Однако роль Иисуса как Мессии видна даже в Его пост-смертном труде, то есть в "Откровениях", записанных Иоанном Богословом под телепатическую диктовку Христа. Возьмем, например, потенциал  $21 \times 100$ , расположенный в Круге Универсума между кругами высшей и средней областей [4,5].

Потенциал 21 возникает как полярный вихрь фотона при образовании фотона из метagalacticких волн (табл.1.6).

Полярный вихрь с потенциалом 21 попадает в окружающую среду: либо в Рупу, либо Арупу. Между Рупой и Арупой возникают колебания с продолжительностями  $T_0 = 4$  и  $\tau = 3$ :

Колебания полярного вихря между Рупой и Арупой			(1.22)
Потенциалы поля:	Рупа ( $T_0 = 4$ )	Арупа ( $\tau = 3$ )	
$42 - 21 = 21$ (табл.1.6) $T_0 = 4$ и $\tau = 3$	$\frac{T_0 \cdot 63}{21} = T_0 \tau = 12$	$1 \equiv \frac{21 \cdot \tau}{63} = \frac{63}{63}$	

В поле Арупы наступает равновесие полярного вихря фотона и генома с потенциалом 63. Рождается Жизнь до Жизни (**1. Познай начало Жизни чувствующей и вне формы.** [1] Космогенезис. Станца VII). В поле Рупы возникают 12 знаков Зодиака, о которых говорится в Торе ([2], стр.424).

При антирезонансе между Рупой и Арупой возникает субструктура (9+2) митоза биоклетки (1.22):

$$|12 \Leftrightarrow 1| \rightarrow |12 - 1 = 11 = (9+2)| \Leftrightarrow 0. \quad (1.23)$$

\*\*

Фотон (сгусток света) имеет два разнонаправленных полярных вихря: северный и южный. Поэтому, если колебания (1.22) будут принадлежать северному полюсу, то на южном полюсе возникает вихрь с обратным знаком:

$$\frac{T_0 \cdot 63}{21} = 12 \Leftrightarrow -1 = \frac{21 \cdot \tau}{63}, \quad (1.24)$$

где возникнет антирезонансное колебание типа:

$$0 \Leftrightarrow \pm(12 + 1 = 13). \quad (1.25)$$

При достижении этим (1.25) потенциалом квадрата первоначальной величины возникает энергетическая связь между фундаментальными Продолжительностями Единого Космоса:

$$13^2 \equiv (T_{o\tau})^2 + T_o^2 + \tau^2 \equiv 12^2 + (5^2 = 4^2 + 3^2). \quad (1.26)$$

\*\*

Безграмотны ли наши теологи или злонамеренно искажают *Реалии Космоса*? Судите сами.

Числу 13 присвоили название чертова дюжина.

Числу 666 присвоили название **Число Сатаны**.

Но  $13^2$  - это важнейшие **Продолжительности** в Космосе, а 666 - это потенциал поля фотона при достижении им квадрата ( $6^2 \rightarrow 36$ ) первоначальной величины, где энергия внутреннего поля определяется суммой арифметической прогрессии от 1 до 36:

$$S = \frac{1+36}{2} \cdot 36 = 666. \quad (1.27)$$

Судя по значимости этих потенциалов (1.26, 1.27), клевета преднамеренная. Кому это выгодно? Да тем, кто хочет держать народы в невежестве: власти Закулисы.

### 1.3 Структура ядерного вещества лазерной капли света и его связь с Тонкими Энергиями Космоса

Как в поле Рупы - Арупы (1.22) формируются двенадцать знаков Зодиака? Этот вопрос интересен не только астрологам, язычникам и верующим, но и учёным нашей цивилизации. Ответу на него.

\*\*

Колебания полярных вихрей фотона (1.22, 1.24) протекают в пульсирующем поле Кундалини. Возникает общий контур колебания, который возмущает окружающую среду и в ней создается двенадцать энергетических состояний - эквивалентов двенадцати знаков Зодиака (табл.1.9).

Таблица 1.9

**Формирование двенадцати знаков Зодиака**

Полярные вихри фотона	Север (1.22)		Юг (1.24)	
Без Кундалини	$\Leftrightarrow 1 \Leftrightarrow 12$		$\Leftrightarrow 12 \Leftrightarrow -1 \Leftrightarrow$	
Колебания полярных вихрей в поле Кундалини	Сжатие	Расширение	Сжатие	Расширение
	$1 \cdot 5/2$ $\Leftrightarrow 5$	$12 \cdot 7/2$ $\Leftrightarrow 84$	$12 \cdot 5/2$ $\Leftrightarrow 60$	$-1 \cdot 7/2$ $\Leftrightarrow 7$
Отношение возмущенных сред	$\int_{60}^{84} \varphi d\varphi : \int_5^7 \varphi d\varphi = 12^2.$ <p style="text-align: center;">Двойная спираль Зодиака.</p>			

**Двенадцать знаков Зодиака формирует среда, возмущенная полярными вихрями фотонов.** Причем поле-эквивалент  $T_0 \cdot \tau = R$  пульсирует по длине волны и амплитуде:  $12 \pm 1$ .

### Что скрывается за дискредитацией числа 13, как чёртовой дюжины?

Пульсация  $12 \pm 1$  приводит к появлению пределов:  $12+1 = 13$  (**чёртова дюжина**) и  $12 - 1 = 11 \equiv (9+2)$  - субструктура биоклетки при митозе. Поэтому дискредитация числа 13 как **чёртовой дюжины**, имеет своей целью зомбировать наши знания о процессе митоза биоклетки, а в конечном счёте в вопросе размножения. Это важно, ибо Бог, создав нас, заповедовал: **плодитесь, размножайтесь!**

Пульсация  $12 \pm 1$  возмущает окружающую среду и при взаимодействии в поле света с эффективностью  $\rho_5^2 = 100$  возникает волна ( $\lambda = 4800\text{Å}$ ) сине-голубой области чакры Третий Глаз, вызывая электрический биоток силой  $10^{-4}\text{A}$  (табл.1.8):

$$\rho_5^2 \cdot 2 \int_{12-1}^{12+1} \varphi d\varphi = (13^2 - 11^2 = 48) \cdot 100 = 4800 \equiv 4800\text{Å}. \quad (1.28)$$

Между потенциалами 84 (табл.1.9) и 48 (1.28) возникает волновая связь с обратным порядком цифр в числах (рис.1.4). Причем 84 - это удвоенное число "**42 Богов твоего сердца**" (Книга Мёртвых):

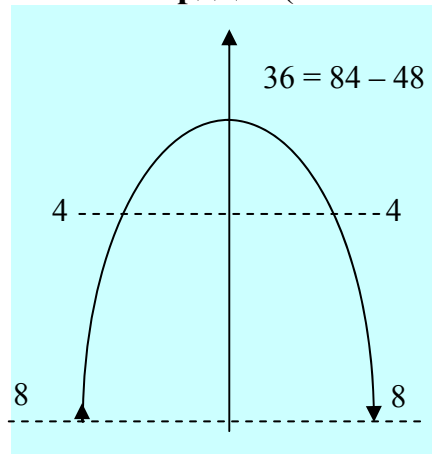


Рис.1.4 Волновая связь в пульсирующей Вселенной

$$84 \cdot \left( \pm \int_0^1 \varphi d\varphi \right) = \pm 42, \quad (1.29)$$

где: 8 - потенциал расширения Вселенной;

4 - отношение коэффициентов расширения и сжатия.

Равновесие в этом зеркально отображенном поле возникает при резонансе, а резонанс влечет цис-транс изомерию небес-Цинь (Книга Перемен):

Возникновение цис-транс изомерии Цинь (рис.1.4)		
Цинь	Цис-изомерия	Транс-изомерия
Резонанс	$8 \cdot 4 = 32$	$4 \cdot 8 = 32$

(1.30)

Причем бегущая волна Цинь при антирезонансе излучает свет  $84 - 48 = 36$  (рис.1.4).

\*\*

Зададим себе ещё раз вопрос: **какова структура света?**

**Дуализм света**, согласно которому свет сосуществует и как волна, и как частица, **справедлив лишь в условиях антирезонанса**, когда и волна ( $E_\lambda = 1/\pi$ ) и частица ( $m_c = 1/\pi$ ) обладают индивидуальными координатами Пространства. Дуализм света не исчерпывает всей полноты структуры света потому, что в лазерной точке волна и частица света теряют свои первоначальные формы и становятся ядерным веществом.

**Ядерное вещество**, то есть жидкая лазерная плазма света, **возникает при резонансе**, то есть тогда, когда у бывшей волны и частицы света **появляются общие координаты Пространства** (табл.1.10).

Таблица 1.10

**Физическое триединство света**

Поля	Частица света	Ядерное вещество света	Волна света
Форма	Рупа: $T_0 = 4$	Плазма: $T_0 \tau = 12$	Арупа: $\tau = 3$
Поле в Продолжительности	$T_0 m_c = 4/\pi$	$T_0 \tau m_c E_\lambda = 12/\pi^2$	$E_\lambda \tau = 3/\pi$
Колебания: волна света - пальма	$\left  \frac{T_0 m_c + E_\lambda \tau}{T_0 \tau m_c E_\lambda} \Leftrightarrow \frac{T_0 \tau m_c E_\lambda}{T_0 m_c + E_\lambda \tau} \right  \rightarrow \frac{1}{\pi} \Leftrightarrow \frac{7}{12}$ <p style="text-align: center;">или <math>E_\lambda \tau = 3/\pi \Leftrightarrow 7/4 \equiv \rho^*/\mu^*</math>.</p>		

**Появление волны света в Арупе ( $E_\lambda \tau = 3/\pi$ ) влечет появление в Рупе Космоса потенциал - эквивалента одной пальме** (табл.1.10).

В Космосе возникают гравитационные и электрические заряды и их эквивалент **Продолжительности** (табл.1.10):

$$E_{\lambda}\tau \equiv \frac{3}{\pi} \Leftrightarrow \frac{7}{4} \equiv \frac{\rho^*}{q^*} \equiv \frac{\rho}{q} \equiv \sqrt{\frac{\rho^*\rho}{qq^*}} \equiv \frac{T_0 + \tau}{T_0}. \quad (1.31)$$

Это поле (1.31) предопределяет универсальную связь волны света (фонона) и Космоса. Поэтому великая Цивилизация выбрала **пальму** за Единицу своего Счисления.

\*\*

Волна света (**фонон**) совершает колебательное движение, при котором точечный участок волны вращается с угловой скоростью  $\omega_0 = \pi/2$ .

Частица света (**фотон**) летит прямолинейно, например, по оси ординат  $\pm Z$ , с линейной скоростью  $c = \pi$ .

Сгусток ядерного лазерного вещества света пульсирует с резонансными скоростями  $\omega_0 c$  (табл.1.11).

Таблица 1.11

**Возмущение среды триединым полем света (табл.1.10)**

Компоненты света	Фотон	Лазерная точка	Фонон
Скорости	$c = \pi$	$c\omega_0 \equiv \pi^2/2 = \pm j_0$	$\omega_0 = \pi/2$
Импульсы	$m_c T_0 c = 4$	$E_{\lambda} m_c \tau T_0 c \omega_0 = 6$ Кундалини	$E_{\lambda} \tau \omega_0 = \frac{3}{\pi} \cdot \frac{\pi}{2} = \frac{3}{2}$
Неравновесные колебания	$4 \Leftrightarrow 6 \Leftrightarrow 3/2$ или $8 \Leftrightarrow 12 \Leftrightarrow 3$ антирезонанс		
Излучение света	$4 \cdot 6 \cdot 3/2 = 36 \equiv \rho_2^2 (\Delta B = 3600 \text{ \AA})$ резонанс		
Возмущение среды	$\int_3^{12} \varphi d\varphi - \int_8^{12} \varphi d\varphi = 135 - 80 \equiv 55$		
Распределение энергии в среде	$(55 = 1+2+3+4+5+6+7+8+9+10) \equiv$ $(385 = 1^2+2^2+3^2+4^2+5^2+6^2+7^2+8^2+9^2+10^2)$ $T_0 + \tau = 7.$		



В ядерном веществе лазерной точки света резонанс мгновенной линейной и угловой скоростей создает **центробежно-центростремительные ускорения** (табл.1.12).

Таблица 1.12

**Ядерное вещество лазерной точки**

	Центробежное	Равновесие	Центростремительное
Ускорение	$+j_0 = c\omega_0 = c^2/2 = \pi^2/2$	$\pm j_0 = \pm c\omega_0 = \pm \pi^2/2$	$-j_0 = -c\omega_0 = -\pi^2/2$
Пульсация	Расширение	Равновесие	Сжатие
	$+j_0 T_0 c / \omega_0 = \frac{\pi^2}{2} \cdot 8 = 4\pi^2$	$\pm j_0 [n - (n-1)] = \pm \frac{\pi^2}{2}$	$-j_0 T_0 \omega_0 / c = -\frac{\pi^2}{2} \cdot 2 = -\pi^2$
Термия	Эндотермия	Свет	Экзотермия
	$+j_0 T_0 c / \omega_0 \lg \rho_1 \rho_2 \equiv \frac{\pi^2}{2} \cdot 8 \cdot (-25) \equiv -100\pi^2$	$\pm j_0 \cdot \lg \rho_5 \equiv \pm \frac{\pi^2}{2} \cdot 1 \equiv \pm \pi^2/2$	$-j_0 T_0 \omega_0 / c \cdot \lg \rho_3 \rho_4 \equiv -\frac{\pi^2}{2} \cdot 2 \cdot 25 \equiv -25\pi^2$
Пределы пульсации плазмы ядра света	Арупа волн	Дзиан (дробь)	Рупа сгустков
	$-100\pi^2 \cdot m_c E_\lambda = -100\pi^2 \cdot 1/\pi^2 \equiv -100$	$\pm \frac{\pi^2}{2} \cdot m_c E_\lambda = \frac{\pi^2}{2} \cdot 1/\pi^2 \equiv 1/2$	$-25\pi^2 \cdot m_c E_\lambda = -25\pi^2 \cdot 1/\pi^2 \equiv -25$
Колебания в Недрах ядерного вещества	$ -100 \Leftrightarrow \pm 1/2 \Leftrightarrow -25  \rightarrow  -200 \Leftrightarrow \pm 1 \Leftrightarrow -50 .$		

В ядерном веществе жидкой плазмы лазерная точка вращается как детская игрушка Волчок, но только в одном направлении - с Востока на Запад.

Сама жидкая плазма находится в Недрах сгустка Тянь (Книга Перемен), и вращает сгусток Тянь с периодичностью (–50):

$$64 \cdot (-50) = -3200. \quad (1.32)$$

**Над сгустком - Тянь формируются небеса - Цинь (1.30).**

\*  
\*\*

Продолжение пульсации небес - Цинь и сгустка - Тянь с периодичностью  $T_0 = 4$  приводит к формированию потенциала, равного минус 200 (табл.1.12). Потенциалы Цинь и Тянь увеличиваются:

$$64 \cdot (-200) = -12800 \equiv -2^7 \cdot 10^2. \quad (1.33)$$

Отношение Продолжительностей пульсации **предопределяет равномерное прямолинейное движение частицы света** (табл.1.11), **излучаемой системой Тянь - Цинь (Книга Перемен) или ядром лазерной плазмы и "оболочки" над ней:**

$$\frac{-200}{-50} = 4 \equiv m_c T_0 c \equiv 2^2 \equiv 2 + 2 \equiv 2 \cdot 2. \quad (1.34)$$

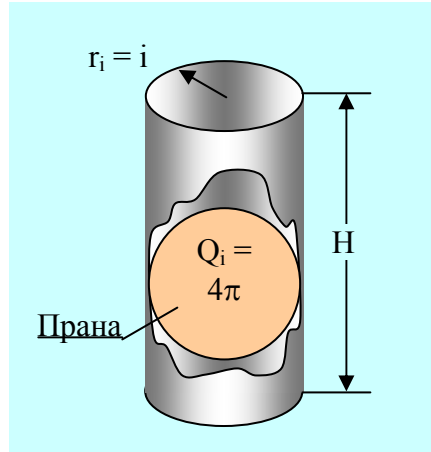
Универсальность двойки как логарифмической постоянной всех существующих взаимодействий заставило великую Цивилизацию выбрать  $R = 2$  как радиус круга (окружности), в которое вписано основание великой Пирамиды.

**Двойка, как постоянная логарифма произведений пяти существующих в Природе взаимодействий**, была выбрана в частности и из-за её причастности к центростремительным - центробежным ускорениям, возникающим в жидкой плазме ядерного вещества (табл.1.12):

$$\pm j_0 \equiv \pm c \omega_0 \equiv \pm c^2/2 \equiv R \quad (1.35)$$

и

$$R \equiv \lg \rho_1 \rho_2 \rho_3 \rho_4 \rho_5. \quad (1.36)$$



*Рис.1.5 Канал проводимости  
Тонкой Энергии*

В этом случае по высоте (H) Пирамиды формируется канал сверхпроводимости с ноль-потенциалом сопротивления метagalacticким волнам из Космоса:

$$\sqrt{2} = Sc \pi/4 = Csc \pi/4 \dots = (1.36)$$

**Постоянная взаимодействий является результатом синтеза метagalacticких волн:**

$$2 \equiv \lg \rho_1 \rho_2 \rho_3 \rho_4 \rho_5 \equiv Sc \pi/4 = Csc \pi/4 \equiv \dots, \quad (1.37)$$

а само сгущение метagalacticких волн происходит при ноль-потенциале:

$$1 \equiv e^{2i\pi} \text{ и } \lg 1 \equiv 0, \text{ но } \lg e^{2i\pi} = 2\pi \cdot i \cdot 1. \quad (1.38)$$

Возникает окружность с радиусом  $i = r_i$ , лежащая в основании цилиндрического канала сверхпроводимости (рис.1.5).

По каналу сверхпроводимости может пройти квант Тонкой Энергии, сферическая поверхность которого равна:  $Q_i = 4\pi i^2 = 4\pi(\sqrt{-1})^2 = -4\pi$  при  $i = \sqrt{-1}$ .

Этот квант и есть **Прана** (рис.1.5), которой на восходе дышат йоги и врачуют целители.

**Переход Праны в поле Материи** подобен переходу любой волны через максимум:  $-1 \Leftrightarrow 0 \Leftrightarrow +1$ .

Великая Цивилизация описала этот переход как переход от Праны к кругу (окружности) с радиусом 2, в который вписано основание Пирамиды:

Квантованный (без потери энергии) переход Тонкой Энергии Праны в поле Материи			
Компоненты		Материя - волны	
		поверхностная	бегущая
		$S_2 = \pi(R=2)^2 = 4\pi$	$L_2 = 2\pi(R=2) = 4\pi$
Колебания	В единицах	$\frac{S_2}{Q_i} \Leftrightarrow \frac{Q_i}{L_2} \rightarrow \frac{4\pi}{-4\pi} = \frac{1}{-1} \Leftrightarrow \frac{-1}{1} \rightarrow 1^2 \Leftrightarrow 1$	
	В факториале $i$	$i^8 \Leftrightarrow i^4$ и $\log_i i^8 \Leftrightarrow \log_i i^4$ или $8 \Leftrightarrow 4$ .	

(1.39)

Полученные результаты (1.39) связаны с фракталом или мнимым числом  $i = \sqrt{-1}$ .

Вездесущность фрактала связана с вездесущностью Тонких Энергий, которые при переходе в поле Материи формируют логарифмические волны (1.39).

**Пульсация логарифмических волн Тонких Энергий предопределяет (является причиной) пульсации Единого Космоса, в том числе и света.**

\*\*

Свет обладает **изомерией** и поверхность его кванта состоит из двух эллипсоидов:

Эллипсоиды света (рис.1.6)		
Условия	$\pm Z = \pm H$	$\pm X = \pm Y = \pm 2$
Парабола	$Z^2 = 2pX = 2pY$	
Фокальный параметр	$p = \frac{Z^2}{2X} = \frac{Z^2}{2Y} = \frac{2^{7/2}}{2 \cdot 2} = 2^{3/4},$ где $3 \equiv \tau$ и $4 \equiv T_0$	
Энергия Материи	Поверхность сферы с радиусом $R = 2$ : $Q_2 = 4\pi R^2 = 16\pi$	
Тонкая Энергия	Прана в канале проводимости: $Q_{ni} = Q_i H^2 \tau^2 \equiv -4\pi \cdot 2^{7/2} \cdot 9 \equiv$ $-288 \cdot \sqrt{2} \pi = -12^2 \cdot 2 \cdot \sqrt{2} \pi.$	

(1.40)

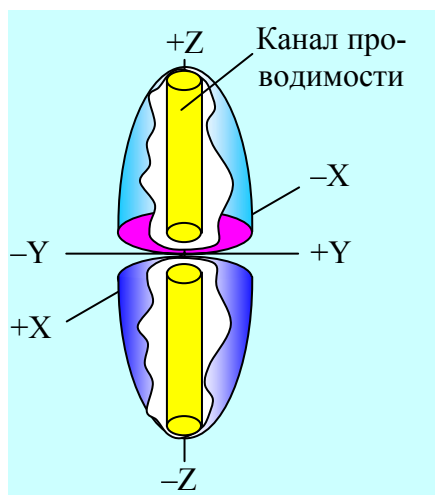


Рис.1.6 Изомерия Света

В изомерическом поле света количество Тонкой Энергии Праны превышает энергию Материи (1.40):

$$Q_{ni} : Q_2 = 288 \sqrt{2} \pi : 16\pi = 18 \sqrt{2} \equiv M_{H_2O} Sc \pi/4 \quad (1.41)$$

Превышение (1.41) соответствует молекулярному весу воды, которая пульсирует в метagalacticких волнах.

\*\*

Тонкая Энергия, как **Корень**, зарождает Жизнь в пульсирующих жидких средах (1.40).

**Каков механизм поступления Тонкой Энергии в поле света?**

Общая энергетика Праны, то есть  $Q_{in}$  (1.40) формируется за счет её поступления по каналу сверхпроводимости в цис и транс изомерических эллипсоидов (рис.1.6, 1.40).

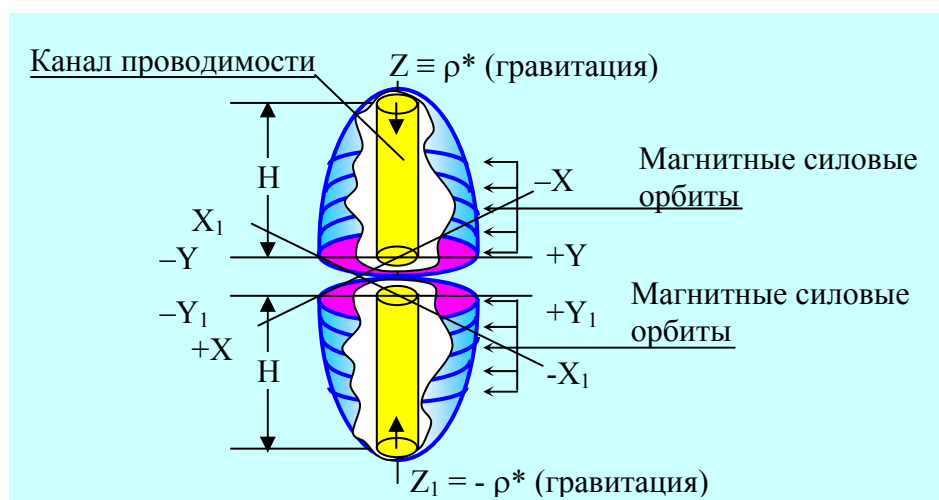
Это значит, что от каждого эллипсоида в поле лазерной плазмы поступает только половина всей Праны (рис.1.6, 1.40):

<b>Поступление Праны из канала проводимости в плоскость XOY</b>			
Изомерия	Цис-	Транс-	Общая
Количество Праны в поле XOY	$Q_{in} \int_0^1 \varphi d\varphi =$ $144\sqrt{2}\pi =$ $12^2\sqrt{2}\pi$	$Q_{in} \int_1^0 \varphi d\varphi =$ $-144\sqrt{2}\pi =$ $-12^2\sqrt{2}\pi$	$Q_{in} =$ $-288\sqrt{2}\pi =$ $-12^2 \cdot 2\sqrt{2}\pi$
Вращение по орбитам и формирование $m_c$ и $E_\lambda$	$m_c E_\lambda \omega_o =$ $+2/\pi \equiv$ $\omega_o - 1$	$-m_c E_\lambda \omega_o =$ $-2/\pi \equiv$ $-\omega_o^{-1}$	$m_c E_\lambda c =$ $1/\pi \equiv$ $m_c \equiv E_\lambda$
Кванты Праны в поле XOY: динамическое равновесие	$12^2\sqrt{2}\pi \cdot 2/\pi$ $\mu_1 = 12^2 \cdot 2\sqrt{2}$ $\equiv$ магнитная энергия	$-12^2\sqrt{2}\pi(-2/\pi)$ $\mu_2 = +12^2 \cdot 2\sqrt{2}$ $\equiv$ магнитная энергия	$-288\sqrt{2}$ $\pi \cdot 1/\pi = -12^2 \cdot 2$ $\sqrt{2} = \rho_1$ $\equiv$ энергия гравитации.

(1.42)

**Динамическое равновесие квантов Праны**, вращающихся в плоскости  $XOY$  по квантованным орбитам в форме концентрических окружностей, проявляется в том, что **квант Праны вращается без расхода собственной энергии вокруг канала сверхпроводимости** (рис.1.6, рис.1.7).

По существу я привёл доказательство первого постулата Н.Бора: **квант любой формы энергии не падает на ядро потому, что из Недр ядра рвётся к её поверхности вихрь Тонкой Энергии**, создавая магнитные силовые линии в форме концентрических окружностей (рис.1.7).



*Рис.1.6 Изомерия Света*

По существу это магнитная ловушка, которую наши ученые стараются "вывернуть" наизнанку, предполагая, что в неё спрячут электрическую энергию и создадут термоядерный реактор, а затем будут раздавать электричество так, как сегодня её распределяет Чубайс. Бросьте, любезные, у вас не получится.

$$\left| Z^2 \equiv (\rho^* = 28 \cdot 10^{20}) \right|_{\text{гравитация}} \equiv \left| 2(\rho = 2^{3/4}) \cdot (\mu^* = X = Y = 14 \cdot 10^{20}) \right|_{\text{магнетизм}}, \quad (1.42)$$

\*

Причём для достижения равновесия необходимо поступление ещё одного импульса гравитации по оси -Z (рис.1.7, 1.42, табл.1.13).

# Гравитационно-магнитная лазерная плазма ядерного вещества

Поля	Изомерия	Импульсы (1.42)	Заряды (1.42)
Магнитное: поверхность	Цис-	$(\mu_1 \cdot \mu^*)_y = 12^2 \cdot 2 \cdot \sqrt{2}$ $14 \cdot 10^{20} = 4032 \sqrt{2}$ $\cdot 10^{20}$	$(\mu_1 \cdot \mu)_y = 12^2 \cdot 2 \cdot \sqrt{2}$ $14 \cdot 10^{-20} = 4032 \sqrt{2}$ $\cdot 10^{-20}$
	транс	$(\mu_1 \cdot \mu^*)_t = 12^2 \cdot \sqrt{2}$ $14 \cdot 10^{20} = 4032 \sqrt{2}$ $\cdot 10^{20}$	$(\mu_1 \cdot \mu)_t = 12^2 \cdot \sqrt{2}$ $14 \cdot 10^{-20} = 4032 \sqrt{2}$ $\cdot 10^{-20}$
Гравита- ционное: недра	Общее (1.42)	$k_1 = (-12^2 \cdot 2 \cdot \sqrt{2}) \times$ $28 \cdot 10^{20} (-12^2 \cdot 2 \cdot \sqrt{2}) =$ $-8064 \cdot \sqrt{2} \cdot 10^{20}.$	$k_2 = (-12^2 \cdot 2 \cdot \sqrt{2}) \times$ $28 \cdot 10^{-20} (-12^2 \cdot 2 \cdot \sqrt{2}) =$ $-8064 \cdot \sqrt{2} \cdot 10^{-20}.$



Эти соотношения являются основными в ядерном веществе, в том числе и живых субъектов, где попадание гравитации  $k_1$  и  $k_2$  (табл.1.13) в Каплю Нейрона вызывает импульсы мысли на уровне ПОДСОЗНАНИЯ.

**Расщепление гравитационного поля мысли на два магнитных импульса памяти вызывает на уровне подсознания смутные иллюзорные воспоминания.**

\*\*

Рассмотрим энергетику трансформации импульс - заряд в капле лазерного ядерного вещества.

1. Переход между импульсами и зарядами в магнитном поле при антирезонансе формирует поток фотонов в количестве  $10^{\pm 40}$  (табл.1.13):

<b>Колебания фотонов в магнитном антирезонансном поле</b>	(1.44)
$\frac{(\mu_1\mu^*)_{\text{Ц}} + (\mu_1\mu^*)_{\text{Т}}}{(\mu_1\mu)_{\text{Ц}} + (\mu_1\mu)_{\text{Т}}} = 10^{40} \Leftrightarrow 10^{-40} = \frac{(\mu_1\mu)_{\text{Ц}} + (\mu_1\mu)_{\text{Т}}}{(\mu_1\mu^*)_{\text{Ц}} + (\mu_1\mu^*)_{\text{Т}}}$	

2. Переход колебаний (1.44) от антирезонанса к резонансу увеличивает число фотонов до квадрата первоначальной величины:

<b>Колебания фотонов в магнитном резонансном поле</b>	(1.45)
$\frac{(\mu_1\mu^*)_{\text{Ц}} \cdot (\mu_1\mu^*)_{\text{Т}}}{(\mu_1\mu)_{\text{Ц}} \cdot (\mu_1\mu)_{\text{Т}}} = 10^{80} \Leftrightarrow 10^{-80} = \frac{(\mu_1\mu)_{\text{Ц}} \cdot (\mu_1\mu)_{\text{Т}}}{(\mu_1\mu^*)_{\text{Ц}} \cdot (\mu_1\mu^*)_{\text{Т}}}$	

3. В недрах Капли ядерного вещества импульс гравитации не имеет цис-транс изомерии, поэтому гравитационного антирезонансного соотношения нет, но контакт между импульсом и зарядом сохраняется (табл.1.3):

### Колебания фотонов в гравитационном поле

$$\frac{k_1 = 8064\sqrt{2} \cdot 10^{20}}{k_2 = 8064\sqrt{2} \cdot 10^{-20}} = 10^{40} \Leftrightarrow 10^{-40} = \frac{k_2}{k_1}. \quad (1.46)$$

4. Триединство света возникает как сумма цис-транс изомерического **магнитного резонанса** и **гравитационного ядерного резонанса** (табл.1.13):

### Триединство ядерного резонанса

Магнитный резонанс	Ядерный резонанс	Потенциалы равновесия	Арупа
$\frac{(\mu_1\mu^*)_{\text{ц}}}{(\mu_1\mu)_{\text{т}}} + \frac{(\mu_1\mu)_{\text{ц}}}{(\mu_1\mu)_{\text{т}}} - \frac{k_1}{k_2} = 1 + 1 - (-1) = 3 \equiv \tau.$			

(1.47)

5. Появление резонансного внутреннего поля света связано с ядерным магнитным резонансом и его фотонами (1.44, 1.45):

$$10^{40} \cdot 10^{80} = 10^{120} \Leftrightarrow 10^{-120} = 10^{-80} \cdot 10^{-40}. \quad (1.48)$$

и

$$\lg 10^{120} = 120 = 1 \cdot 2 \cdot 3 \cdot 4 \cdot 5 \Leftrightarrow$$

$$-1 \cdot 2 \cdot 3 \cdot 4 \cdot 5 = 120 = \lg 10^{-120}. \quad (1.49)$$

6. Электрическое поле возникает после того, как завершится гравитационно-магнитный ядерный резонанс (1.47), так как для формирования электрического элементарного заряда импульса воображения ( $q^* = 1,6 \cdot 10^{20}$ ) потребуются все фотоны процессов (1.44, 1.45, 1.46):

### Формирование электрического поля ядерными резонансами

(1.50)

$$10^{40} \cdot 10^{80} \cdot 10^{40} = 10^{160} \Leftrightarrow 10^{-40} \cdot 10^{-80} \cdot 10^{-40}$$

и логарифмические волны:

$$\lg 10^{160} = 160 \equiv \rho_5 \sqrt{qq^*} \Leftrightarrow -\rho_5 \sqrt{qq^*} = -160 \equiv \lg 10^{-160}.$$

## 1.4 Вне граней Смертельного Круга: Кундалини и Жизнь

Изучая электромагнетизм, наша наука установила: электрическое и магнитное поля взаимоперпендикулярны и одно без другого не существует; вращение по орбите магнитной силовой линии подчиняется правилу "левой" и "правой" рук.

К сожалению, решающий шаг, направленный на обобщение экспериментального материала нашей наукой сделан не был, а обобщения таковы:

1. Подчинение электромагнитных полей правилу левой и правой рук имеет своей причиной дис-транс изомерию магнитного поля.

2. Взаимоперпендикулярность электрического и магнитного полей не исключение из правила, а фундаментальный закон Единого Космоса: **после трансформации одной формы энергии в другую энергетические поля этих форм взаимоперпендикулярны.**

Решение проблемы электромагнетизма с позиции **формализованных уравнений Максвелла** запутало вопрос окончательно.

В области электромагнетизма эксперимент обгоняет практику и нашей фундаментальной науке гордиться нечем.

Основы гравитационно-магнитоэлектрического сосуществования лежат в появлении Тонких Энергий Метагалактики в ядерном веществе и последующими ядерно-гравитационным и двумя ядерно-магнитными резонансами (1.47).

В этом случае ячейки гравитационного и магнитных ядерных резонансов (рис.1.8) будут связаны с гравитационным резонансом по оси Z и магнитными ядерными резонансами по осям X и Y (табл.1.14).

Таблица 1.14

**Взаимосвязь гравитационного и магнитных ядерных резонансов в плазме света (рис.1.8)**

Изомерия	Цис	Транс	Примечание
Системы координат	XYZ	$X_1 Y_1 Z_1$	1.Кундалини: $Z+X+Y+Z_1+X_1+Y_1=6$ 2. Взаимодействия: $\frac{6}{\tau} = \frac{6}{3} = 2 \equiv \lg \rho_1 \rho_2 \rho_3 \rho_4 \rho_5.$
Ядерный резонанс	$Z = k_1/k_2 = 1$	$Z_1 = k_2/k_1 = 1$	
Магнитные резонансы (1.47)	$X = \frac{(\mu_1 \mu^*)_{Ц}}{(\mu_1 \mu^*)_{Т}} = 1$	$X_1 = \frac{(\mu_1 \mu^*)_{Т}}{(\mu_1 \mu^*)_{Ц}} = 1$	
	$Y = \frac{(\mu_1 \mu)_{Ц}}{(\mu_1 \mu)_{Т}} = 1$	$Y_1 = \frac{(\mu_1 \mu)_{Ц}}{(\mu_1 \mu)_{Т}} = 1$	

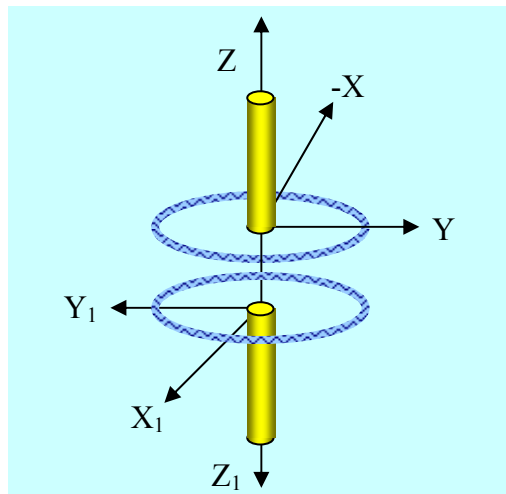


Рис.1.8 Ячейка гравитационного

( $Z$  и  $Z1$ ) и двух магнитных ( $\pm X, \pm Y$ ) ядерных резонансов Ячейки гравитационного и магнитных ядерных резонансов (рис.1.8) связаны с гравитационным резонансом по осям  $Z$  и магнитными ядерными резонансами по осям  $X$  и  $Y$  (табл.1.14).

В поле магнитных ядерных резонансов возникает окружность с радиусом  $r = \sqrt{2}$  :

Происхождение магнитных силовых линий (окружностей)			
Изомерия	Цис- ( $Ax$ )	Транс- ( $Xи$ )	Примечание
Окружности магнитных силовых линий	$r^2 = x^2 + y^2 = 2$ ; $r = \sqrt{2} \equiv Sc \pi/4$	$r^2 = x_1^2 + y_1^2 = 2$ ; $r = \sqrt{2} \equiv Csc \pi/4$	Определять по правилам левой и правой рук

(1.51)

Великая Цивилизация описала магнитный резонанс как **окружность, вписанную в основание Пирамиды**, а Космогенезис Книги Дзиан начал с описания того, что **не было Вселенского Разума и не было АХ-ХИ, чтобы вместить Его** ([1]. Станца I). Это значит, что не было ещё магнитных резонансов и не было окружностей магнитных силовых линий (1.51):

$$AX \equiv x^2 + y^2 \quad \text{и} \quad ХИ \equiv x_1^2 + y_1^2. \quad (1.52)$$

\*\*\*

Взаимосвязь между ядерным резонансом ( $Z_1^2 = Z^2 = 1$ ) и магнитным резонансом ( $X^2 + Y^2 = X_1^2 + Y_1^2 = 2$ ) в Едином Космосе реализуется каждое мгновение за счёт пульсации магнитных полей между Хаосом и Гармонией или взаимодействием в поле гравитации:

Условия равновесия в полях ядерного резонанса			
Изомерия	Цис	Транс	Пятеричная связь
Гравита- ционный ядерный резонанс	$Z^2 \lg \rho_1 \rho_2 \rho_3 \rho_4 \rho_5$ $= 1^2 \cdot 2 \equiv 2 \equiv$ $X^2 + Y^2$	$Z_1^2 \lg \rho_1 \rho_2 \rho_3 \rho_4 \rho_5$ $= (-1)^2 \cdot 2 \equiv 2 \equiv$ $X_1^2 + Y_1^2$	$[(X^2 + Y^2 + Z^2) + (X_1^2 + Y_1^2)] \times (-Z) \equiv$ $(1+1+1+1+1) \times (-1) = 5. \quad (1.53)$
Пульсация магнитных полей	$(X^2 + Y^2) \times$ $\int_0^1 \varphi d\varphi \equiv$ $2 \cdot 1/2 \equiv 1 \equiv Z^2$	$(X_1^2 + Y_1^2) \times$ $\int_1^0 \varphi d\varphi \equiv$ $2 \cdot (-1/2) \equiv -1 \equiv Z_1$	

Путей (форм) достижения равновесия в ядерном гравитационно-магнитном веществе бесконечное множество и они зависят от среды, окружающей ядро.

Например, в атоме электроны переходят с орбиты на орбиту и тем самым достигают равновесия с ядром. Земля с этой же целью меняет полюса. **Свет поляризуется (разворачивает на угол  $\pi/2$ ) свою волну, пульсируя между люминесцентным и солнечным светом.** Твердые материалы с доменной структурой поляризуют свои домены, и так далее.

\*\*

Миллиарды людей обожествляют **Христианский Крест.**

Они молятся на **Него**, прося **Милостей в Этой Жизни и Спасения в Жизни после Жизни.**

Однако в этой моей Жизни **я не встречал ни одного человека**, который хотя бы подумал и сказал, что Христианский Крест - это **математическая векторная эпюра, описывающая законы Единого Космоса.**

Такая ситуация огорчает, но не убивает уверенности в том, что я **не пишу в стол**.

Космическая Эволюция Носителя Разума реализует закон: **То, о Чём мечтает сегодняшняя Раса**, следующая за ней Раса - реализует. Поэтому мои работы будут реализованы социумом Земли.

\*\*

Появление в ячейке гравитационно-магнитного резонанса взаимодействий и колебаний (1.55)

$$-\frac{1}{2} = \int_1^0 \varphi d\varphi \Leftrightarrow 2 \Leftrightarrow \int_0^1 \varphi d\varphi \equiv \frac{1}{2}, \quad (1.56)$$

или

$$-1 \Leftrightarrow 4 \Leftrightarrow +1, \quad (1.57)$$

требует введения, например, потенциала 4 в эпюру ячейки гравитационно-магнитного ядерного резонанса (рис.1.8).

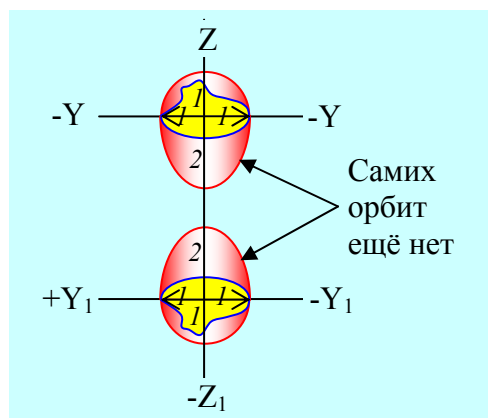


Рис.1.9 Гравитационно-магнитные ядерные резонансы во взаимодействиях (рис.1.8)

Одной из множества форм векторно-математического описания четверки:

$$4 = 2+2 = 2 \times 2 = 2^2, \quad (1.58)$$

является **вектор-основание зеркально отображенных крестов**, величиною в две относительные единицы (рис.1.9).

При этом физическая сущность полей и величины координат останутся прежними (табл.1.14).

В этом случае изменится только форма траекторий окружающей среды: концентрические окружности магнитных силовых линий (рис.1.8) трансформируются в эллипсы (рис.1.9).

**Трансформация окружностей магнитных силовых линий в эллиптические орбиты спутников сгустков ядер происходит при наличии взаимодействий в гравитационно-магнитном ядерном веществе.**

Не изучая ядерное вещество, понять формирование конфигураций орбит-спутников ядер невозможно. Можно только констатировать, как, например, констатировал Кеплер: **планеты вращаются по эллиптическим орбитам, в фокусе которых находится Солнце** (первый закон Кеплера).

\*\*

Эллиптические орбиты вокруг Цис-транс изомерических зеркально-отображенных христианских крестов (рис.1.9) имеют свои параметры (табл.1.15).

Таблица 1.15

**Параметры эллиптических орбит вокруг  
зеркально-отображенных крестов (рис.1.9)**

Изомерия	Цис-				Транс-			
Координаты и полуоси	$Y = 1$	$Z = \sqrt{3}/2$	$a = 2$	$b = 1$	$Y_1 = 1$	$Z_1 = \sqrt{3}/2$	$a = 2$	$b = 1$
Уравнение эллипса	$1 = \text{Ц}^2/a^2 + Z^2/b^2$				$1 = \text{Ц}_1^2/a^2 + Z_1^2/b^2$			
	$1 = 1/4 + Z^2/b^2$				$1 = 1/4 + Z_1^2/b^2$			
Определение $Z$ и $Z_1$	$Z^2/b^2 = 3/4$ и $Z = (1/2) \cdot \sqrt{3}$				$Z_1^2/b_1^2 = 3/4$ и $Z_1 = (1/2) \cdot \sqrt{3}$			

В случае формирования орбит вокруг ядра квадрат гравитационного потенциала ( $Z^2$ ) равен отношению периодичностей в Арупе ( $\tau = 3$ ) и Рупе ( $T_o = 4$ ):



$$Z^2 = 3/4 \equiv \tau/T_0. \quad (1.58)$$

\*  
\*\*

Крест, как эпюра ядерных резонансов, имеет пять частей: три в форме лучей и два в форме основания.

Ядерные резонансы (гравитационные и магнитные) реализуются в ядерном веществе.

Ядерное вещество динамично и существует в динамических потоках.

Энергетические потоки ядерного вещества поляризуют несимметричное поле креста в симметричное поле из пяти частей, то есть в поле с эпюрой в форме пятиконечной звезды. Возникает эпюра **"Пентаграмма в Яйце"** ([1]. Космогенезис. Станца V. п.6).

Эпюры трансформируются: крест переходит в пятиконечную звезду (рис.1.9, рис.1.10).

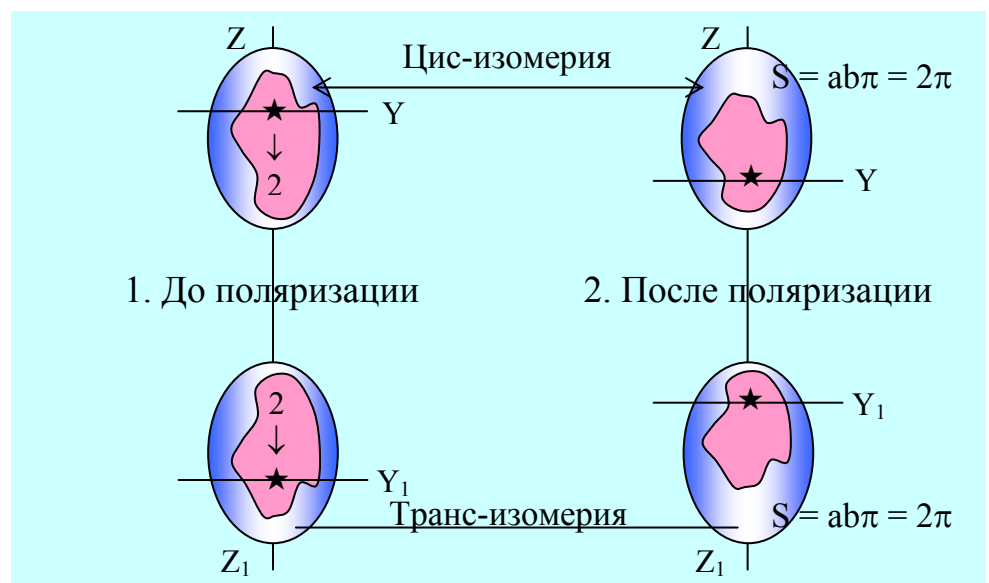


Рис.1.10 Поляризация ядерного вещества  
после достижения симметрии в его внутреннем поле

В фокусе эллипсоида оказывается звезда, как это происходит с Солнцем, находящимся в фокусе эллиптических орбит планет. **Плотность упаковки Капли ядерного вещества увеличивается, и она из диска превращается в шар.**

Так **Книга Дзиан** упоминает о том, что Земля девятьсот миллиардов лет была **как диск** ( $9 \cdot 10^8$  лет), а в **Откровениях** даётся время Апокалипсиса, равного шести миллионам лет [5].

\*  
\*\*

Продолжительность существования Земли в формах диска и шара подобны по величине своих потенциалов ядру периодической системы геномов (рис.1.2 и рис.1.11).

**Эта Закономерность такого совпадения указывает на то, что живое на Земле и новая Земля являются Подобием друг друга (рис.1.11).**

1. Ядро периодической системы геномов (рис.1.2)		27,28,35,36 - геномы вытесненные ядром	2. Существование Земли в формах диска и шара [1, 5]	
36 6	35 9		$6 \cdot 10^6$	$9 \cdot 10^8$
28 9	27 6		$9 \cdot 10^8$	$6 \cdot 10^6$

*Рис.1.11 Потенциалы ядра периодической системы геномов и продолжительности изменения форм Земли*

Максимальные потенциалы и человека, и Земли являются кратными 108, то есть числу реинкарнаций по Буддизму:

<b>Энергетика реинкарнаций человека и Земли</b>	(1.59)
---	--------

Объект	Человек	Земля
Потенциал	$2 \cdot 6 \cdot 9 = 108$	$2 \cdot 6 \cdot 10^6 \cdot 9 \cdot 10^8 = 108 \cdot 10^{14}$
Проявление магнетизма	$14 = \lg \frac{108 \cdot 10^{14}}{108} \Leftrightarrow \lg \frac{108}{108 \cdot 10^{14}} = -14$ $\sqrt{\mu\mu^*} \Leftrightarrow -\sqrt{\mu\mu^*}$	
Возникновение Кундалини	$ T_o \cdot 14 \Leftrightarrow -T_o \cdot 14  \rightarrow  14/T_o \Leftrightarrow -14/T_o  \rightarrow$ $7/2 \Leftrightarrow -7/2$	
Семеричность	$\pm 0 = \pm(7/2 + 7/2) = \pm 7.$	

Возникновение магнетизма, Кундалини и семеричной периодичности (1.59) связано с вытеснением магнитного поля к **поверхности Капли Ядра**, которое происходит под воздействием гравитационного поля Тонких Энергий Метагалактики. В окружающую среду вытесняются геномы с потенциалами 27 и 28, а также 35 и 36 (рис.1.11, 1).

В окружающей среде завершается формирование солнечного ряда с потенциалом 36 и лунного ряда с потенциалом 28.

В подлунно - солнечном мире среды нашего обитания возникает сумма-разность квадратов потенциалов, причем **разность между суммой квадратов потенциалов и их разностью становится равной 110 Божествам духа**, например человека, о которых говорит Книга Мертвых (табл.1.16).

Таблица 1.16

**Вытесненные ядром геномы (рис..1.11) как источник  
110 Божеств Духа Живого: Земли и Человека**

Поля	Сумма квадратов	Разность квадратов	110 Божеств твоего тела
------	-----------------	--------------------	-------------------------

Потенциалы	$2 \int_{35}^{36} \varphi d\varphi + 2 \int_{27}^{28} \varphi d\varphi$ $= 126 = (9+0) \cdot 14$	$2 \int_{35}^{36} \varphi d\varphi - 2 \int_{27}^{28} \varphi d\varphi$ $= 16 \equiv \sqrt{qq}^*$	$126 - 16 = 110$
Примечание	Зарождение субструктуры биоклетки в магнитном поле	Появление с периодичностью $T_o^2 = 16$ биотока и воображения	58 Богов в области головы, 10 Богов в области шеи и 42 в твоём Сердце.

\*\*

Поле среды вокруг ядра (табл.1.16) связано с ядром: источником 108 реинкарнаций, которые в свою очередь связаны с потенциалами 9 и 6:

$$108/9 = 12 \equiv T_o\tau \quad \text{и} \quad 108/6 = 18 \equiv (9+0)+(9+0), \quad (1.60)$$

где: 18 - молекулярный вес воды;  
(9+0)+(9+0) - дочерние субструктуры в биоклетке.

Потенциалы (1.60) говорят о том, что появление двух дочерних субструктур биоклетки протекает с периодичностью  $T_o\tau = 12$ , создавая сумму и разности потенциалов-эквивалентов важнейших компонент Единого Космоса (табл.1.17).

Таблица 1.17

**Размножение как фактор изменения потенциалов  
окружающей среды (1.60)**

Поле 1.60		Физическая сущность потенциалов				
Разность	Сумма	Кунда- лини	Свет	Магне- тизм	Пятеричная связь	Вода
$18-12=$ 6	$18+12=$ 30	$6 \equiv$ $3,5+2,5$	$3 \cdot 6 \equiv$ $6+30$	$14 =$ $30 - 6$	$5 \equiv$ $30:6$	180 $30 \cdot 6 \equiv 180$ $\rho_5 \cdot \text{Mn}_{20}$ .

\*\*

Появление света в жидких средах (на основе воды с молекулярным весом  $Mn_2O = 18$  кислородных единиц) формирует спирали Кундалини.

Возникает вопрос: как расходует свою энергию Кундалини в средах, отличных от жидких? Ведь энергия не исчезает и не появляется вновь.

Одной из важнейших форм расхода энергии света (Кундалини) является **поляризация**, при которой свет разворачивает фронт своей волны на угол  $\pi/2 \equiv 90^\circ$  (угловые градусы). Такая поляризация трансформирует переходы между солнечным (люминесцентным) светом и люминесцентным (солнечным). Эта взаимоперпендикулярная поляризация протекает под воздействием  $\omega_0 = \pi/2$ .

Воздействие потенциал - эквивалента  $\pi \equiv 180^\circ \equiv 180$ , который показан в табл.1.17, **приводит к возвращению фронта волны света в исходное термическое состояние** (табл.1.18).

Иллюстрируем эти эндо- экзотермические переходы на примере поляризации **Пентаграммы в Яйце** (рис.1.10).

Таблица 1.18

**Поляризация Пентаграммы в Яйце (рис.1.10)**

Степень поляризации		До поляризации		Поляризация на угол $\omega_0 = \pi/2$		Поляризация на угол $\pi$	
Термия		Эндо-экзотермия: $\pm 1$		Эндотермия: $-25 = \lg \rho_1 \rho_2$		Экзотермия: $+25 = \lg \rho_3 \rho_4$	
Эпюры векторов		Крест	Полуос и эллипса	Звезда	Полуос и эллипса	Звезда	Полуос и эллипса
Изометрия векторов	Цис-	$2+1+1+1=5$	$a+b=\tau+1=3$	$5\omega_0=\pi \cdot 5/2$	$ab\omega_0=\pi$	$5 \cdot c=5\pi$	$abc=2\pi$
	Транс	$-5$	$-3$	$-\pi \cdot 5/2$	$-\pi$	$-5\pi$	$-2\pi$

Разности и их сущность	$\pm 10 \equiv \pm \rho_5$	$\pm 6 \equiv$ Кундалини	$\pm 5\pi$ пятеричная связь	$\pm 2\pi$ Кольцо с единицей	$\pm 10\pi \equiv \pm \rho_5 c$	$\pm 4\pi$ Прана и круг (окружность) с $R = 2$
Сумма разностей и её смысл	16 и 4 электричество и продолжительность		7 $\pi$ и 3 $\pi$ Семеричность в Арупе ( $\tau = 3$ )		14 $\pi$ и 6 $\pi$ магнетизм и Кундалини.	

Поляризация ядерного вещества приводит к тому, что возникают три формы ядерного вещества:

- эндотермическое Космоса Невесомости метагалактических волн с потенциалом  $-25 = \lg \rho_1 \rho_2$ ;

- экзотермическое ядра сгустков с потенциалом  $-26 \equiv \lg \rho_3 \rho_4$ ;

- экзо- эндотермическое ядерное вещество, потенциал которого связан с пульсацией Кундалини  $6 \pm 3$ .

В условиях предельных значений экзо- эндотермии Всё Живое гибнет: "**Не преступи**", "**Будь с нами**" [1].

В пределах пульсации Кундалини "**Жизнь переживёт последний Атом**" [1].

Вне граней **Смертельного Круга** остаются полярные вихри с потенциалами  $\pm 21$ :

Вне граней Смертельного Круга				(1.61)
Поля	Воздействие Кундалини	Смертельные пределы	Жизнь (полярный вихрь)	
Разности потенциалов	$2 \int_{6-3}^{6+3} \varphi d\varphi = 72$	$- 2 \int_{-25 \equiv \lg \rho_1 \rho_2}^{+26 \equiv \lg \rho_3 \rho_4} \varphi d\varphi = 51 \Leftrightarrow$	$21 \equiv 5 \Leftrightarrow 7 \Leftrightarrow \tau.$	

Причем для биологической Жизни ( $5+7+9 = 21$ ) достаточно одного полярного вихря, но для духовной Жизни или для Жизни после Жизни необходимы два изомерических вихря [ $21 - (-21) = 42$ ], формирующих 42 Божества твоего чистого сердца (Книга Мертвых).

### **1.5 Симметрично-ассиметричные вихри в субстанции ядерного вещества**

До поляризации ядерного вещества поле плазмы было антирезонансным, ибо не было вращения и центробежно-центростремительные ускорения, уплотняющие субстанцию ядерного вещества, отсутствовали. Ядерное вещество находилось в Хаосе антирезонанса, а её энергетика описывалась суммой элементов креста и полуосей эллипса (рис.1.9, табл.1.1). Квантованная эллиптическая орбита отсутствовала, ибо не было равномерно вращающегося точечного участка волны света.

В этом антирезонансном поле существовали только прямолинейно летящие фотоны:  $1+1+1 \equiv \tau = 3 \equiv \tau m_c$ , и поле лишенное кривизны.

Наличие противоположно летящих фотонов явилось залогом появления Цис-транс изомерии при искривлении пространства, но уже на этом этапе возникали:

- Кундалини  $\pm 6$ ;
- взаимодействие света  $\pm 10$ ;
- электрические поля  $\pm 16 = \sqrt{qq^*}$ ;
- предпосылки к появлению Рупы, связанные с  $\pm 4 \equiv T_0$  (табл.1.18).

\*  
\*\*

**Если прямолинейно летящий фотон сталкивается с новыми фотонами, то его импульс трансформируется в энергию и Пространство искривляется:**

$$\pi \equiv \frac{m_c c}{m_c} \Leftrightarrow \frac{m_c}{m_c c} = \frac{1}{\pi} \equiv E_\lambda \equiv m_c. \quad (1.62)$$

В искривленном пространстве возникают новые фотон - фононы, которые образуют вихри, формируя сгустки ядер, заряды, биоклетки и так далее.

Вихри фотон - фононов в ядерном веществе вращают, то есть поляризуют ядро.

Вращение (поляризация) ядра вокруг своей оси (спин) переводит точку пересечения основания креста с его лучами из антирезонанса в резонанс:  $a+b=3 \xrightarrow{\omega_0} a \cdot b=2$  (табл.1.18).

В поле взаимоперпендикулярной поляризации возникает потенциал сжатия Кундалини ( $5/2 \times \pi$ ), и в резонансной точке потенциал  $\pi \equiv c$  (табл.1.18).

Реализация потенциала  $ab\omega_0 = 2 \cdot 1 \cdot \pi/2 = \pi \equiv c$  имеет бесконечное множество форм, например переход зарядов с орбиты на новую орбиту со скоростью  $c \equiv \pi$ , или дальнейшее продолжение поляризации.

Продолжение поляризации и поворот системы на угол  $\pi$  приводит к появлению **поверхности эллипсоида S**:

$$S \equiv ab\pi = 2 \cdot 1 \cdot \pi = 2\pi \text{ (цис-изомерия)}$$

$$-S \equiv -ab\pi = -2 \cdot 1 \cdot \pi = -2\pi \text{ (транс-изомерия)}, \quad (1.63)$$

где а и b - полуоси эллипса.



По поверхности эллипсоида вокруг Креста возникают квантованные эллиптические орбиты (рис.1.9):

$$1 = x^2/a^2 + y^2/b^2 \equiv z^2/a^2 + y^2/b^2 \equiv. \quad (1.64)$$

Начинается трансформация самого Креста в пятиконечную звезду.

\*\*

Эпюры векторов Книга Дзиан характеризует так:  
**"Они именуются Сферами, Треугольниками, Кубами, Линиями и Формовщиками, ибо так держится Вечная Нидана - Oi-На-Ноу**

**5. Oi-На-Ноу есть Тьма, Беспредельность, или Не - Число, Ади-Нидана, Свабхават О"** ([1]. Космогенезис. Станца IV, п.4 и 5).

Под Вечной **Ниданой** или **Ади-Ниданой** Наука великой Цивилизации понимает Тонкую Энергию, а **Нидана** - энергия Материи (табл.1.19).

Таблица 1.19

**Структура Единого Космоса (Равновесие при Единице)**

Формы поля	Тонкая Энергия	Свет	Энергия Материи
Название в Книге Дзиан	Вечная Нидана, Ади-Нидана	$\longleftrightarrow$	Нидана
Символ	Свабхават О	$\longleftrightarrow$	Свабхават ☉
Количество в частях от единицы Космоса	2/3	$k_1 = 42$ $\longleftrightarrow$ $k_2 = 2$	1/3

Скорости	$c \equiv \pi$ - минимальная	$\longleftrightarrow$	$c \equiv \pi$ - максимальная
Волны и сгустки	Волны вечной Тьмы	$\longleftrightarrow$	Сгустки и волны.

Анализируя математику великой Цивилизации, можно видеть, что описывает сгущение полей Тонких Энергий при переходе скоростей волн на границе скорости света: скорость больше  $c$  - это поля Тонких Энергий, скорость  $c$  и меньше - поле Материи, состоящее из сгустков и волн с частотами света, звука и так далее, но при скорости меньше скорости света.

В полях Материи возникает Звук: **"2. Глас Слова, Свабхават, Число, ибо он Один и Девять"** ([1]. Космогенезис. Станца IV, п.5). звук связан со скоростью  $v < c$ . В полях Материи возникают центростремительные ускорения. Формируются сгустки. Появляется ядерное вещество. Волны Тонкой Энергии, попадая в поле Материи (**Формовщики**), создают бесконечное множество живых и неживых материальных тел. Их создание связано с разностями потенциалов. Разности потенциалов описываются векторами. Например, **священный треугольник Строителей** со сторонами 3, 4 и 5 может быть описан треугольником, квадратом, пентаграммой. Начнем с треугольника.

\*\*

**"И эти Три** ( $m_{\text{с}} = 1$ ,  $E_{\lambda\text{с}} = 1$ ,  $\varepsilon_0 \cdot \mu_0 \cdot c^2 = 1$ ), **заключенные внутри О** (треугольник в круге  $\odot$ ), **суть Сокровенная Четверица** (пульсирует с периодичностью  $T_0 = 4$ ), **и Десять** (эффективность взаимодействия света:  $\rho_5 = 10$ ) **суть Арупа Вселенная** (то есть  $\tau\rho_5 = 3 \cdot 10 = 30$ ). **Затем идут Сыны, Семь Воителей** (Лунный ряд:  $1+2+3+4+5+6+7 = 28$ ), **Один Восьмой оставлен в стороне** (солнечный ряд:  $1+2+3+4+5+6+7+8 = 36$ , не участвуют в формировании ядерного вещества Тонкой Энергией, но излучается (поглощается) ядерным веществом), **и Дыхание** (пульсация) **его есть Свето-Датель** ([1]. Космогенезис. Станца IV, п.5).

Сгусток ядерного вещества - Свето-Датель			
Энергия	Тонкая Энергия (Тьма)	Материя (свет)	Дыхание (пульсация)
Пульсация	$\Delta\text{Ч} = 1/3600$ Разность длин волн черного света	$3600 \equiv \Delta\text{Б}$ Разность длин волн белого света	$30 - 28 = 2 \Leftrightarrow 1/2$
Равновесие во Тьме	$1 \Leftrightarrow 60^4$ , где $4 \equiv x+y+z+\tau_0 = T_0$ Работа чакры Третий Глаз.		

(1.65)

При расчете поля ядерного вещества - **Свето-Дателя** (1.65) используется то, что **Вечная Тьма** Тонких Энергий возникает как процесс полного поглощения солнечного белого света, а, следовательно, разность длин волн черного цвета имеет величину, обратную разности длин волн белого света:

$$\Delta\text{Б} = 3600 \Leftrightarrow 1/3600 =$$

$$2,7(7) \cdot 10^{-4} \equiv (m_0 = e) \cdot 10^{-4} \equiv \Delta\text{Ч}. \quad (1.66)$$

Это значит (1.66), что **разность длин волн черного цвета с семеричной периодичностью формирует массы относительного покоя ( $m_0 = e$ ), в которых течет ток силой  $10^{-4} \equiv 10^{-4}A$ .**

Это значит (1.66), что если в Жизни после Жизни импульс Тонкой Энергии нашей души достигает потенциал - эквивалента разности длин волн черного цвета, то возникает энергетика реинкарнации.

\*  
\*\*

Представим себе, что **из Вечной Ниданы Тьмы Беспредельности поля Тонкой Энергии** к полю сгустка летит одиночный равновесный импульс Тонкой Энергии с потенциалом, равным 1 (1.65). Этот импульс, например Мысли, который в среде лунного ряда:

$$\varepsilon = T_0(T_0 = \tau) \cdot 10^{20} \text{ фотонов} = 28 \cdot 10^{20}, \quad (1.67)$$

имеет скорость трансформации, равную единице

$$v = \rho^*/\varepsilon = 28 \cdot 10^{20} / 28 \cdot 10^{20} = 1. \quad (1.68)$$

Такой импульс (1.61) будет лететь вечно, пока не достигнет гравитационного поля сгустка.

До того момента пока этот импульс не достиг гравитационного поля Авторы Книги Дзиан называют его **"1. Ади-Санат. Число, ибо он Один"** ([1]. Космогенезис. Станца IV, п.5).

При появлении **Ади-Санат** в поле гравитации любой микро-макро массы его скорость изменяется от 1 до с и возникает интегральная разность потенциалов, эквивалентная центростремительно-центробежному ускорению точечного участка волны света:

## Формирование ускорений Тонкими Энергиями

$$\int_{\varphi=1}^{c=\pi} \varphi d\varphi = \frac{1}{2}(c^2 - 1) = \frac{c^2}{2} - \frac{1}{2} \equiv c\omega_0 - \int_0^1 \varphi d\varphi. \quad (1.66)$$

Гравитационное поле, возникающее при появлении ускорений ( $j_0 = \pm c^2/(R=2)$ ), начинает свое формирование в поле кольца **с единицей** [ $2\pi \cdot (r = 1)$ ], эквивалентному площади круга с радиусом  $r = \sqrt{2}$ , где [ $2\pi \equiv \pi \cdot (r = \sqrt{2})^2$ ].

\*\*

Появление  $m_c = E_\lambda = 1/\pi$  в поле  $\pi \cdot (r = \sqrt{2})^2 = 2\pi$  "выпрямляет" пространство:

$$2\pi \cdot m_c = 2\pi \cdot 1/\pi = 2. \quad (1.67)$$

Вместо окружности с радиусом  $r = 1$  или круга с радиусом  $r = \sqrt{2}$  появляется прямая линия, равная 2. По существу потенциал (1.67) определяет **диаметр кольца с единицей** ( $r = 1$  и  $D = 2R = 2$ ), эквивалентен **постоянной взаимодействия** ( $2 = \lg \rho_1 \rho_2 \rho_3 \rho_4 \rho_5$ ), и может быть принят за **хорду "а"** в поле сгущения  $\pi \cdot (r = \sqrt{2})^2$  Тонких Энергий.

В этом случае величина **хорды а** будет определена числом углов многоугольника, вписанного в кольцо с единицей (табл.1.20).

**Формирование субстанции ядерного вещества**

Вектора, потенциалы	Многоугольник			
	Тре- угольник	Квадрат	Пяти- угольник	Шести- угольник
Эпюры в круге $S = \pi r^2 = 2\pi$				
Величина хорд: S/число углов	$a_3 \equiv 2/3 \equiv m_c S/3$	$a_4 \equiv 1/2 \equiv m_c S/4$	$a_5 \equiv 2/5 \equiv m_c S/5$	$a_6 \equiv 1/2 \equiv m_c S/6$
Приведенный потенциал ядерного вещества	$(m_c E_\lambda)^2 \frac{S^4}{a_3 \cdot a_4 \cdot a_5 \cdot a_6} \equiv \frac{2^4}{\frac{2}{3} \cdot \frac{1}{2} \cdot \frac{2}{5} \cdot \frac{1}{2}} \equiv 16 \cdot 15 = 240$			
Закон формирования ядерного вещества	Субстанция ядерного вещества формируется за счет Цис-транс изомерии двух резонансных внутренних полей квантов света: $(1 \cdot 2 \cdot 3 \cdot 4 \cdot 5 = 120) - (-1 \cdot 2 \cdot 3 \cdot 4 \cdot 5 = -120) = 240$			
Религиозная математика	<b>Трон Христа на Небе окружен 24 Пресвятыми Престолами</b> (Откровения Иоанна Богослова).			

Появление шестигранника (Звезда Давида, табл.1.20) приводит к началу расщепления ядерного вещества. Процессом, обеспечивающим деление ядерного вещества пополам, является **цис-транс изомерия, энергия которой находится в равновесии с пульсирующим между Хаосом и Гармонией Космосом.**

**В живом равновесии в пульсирующем Космосе реализуется за счет митоза биоклетки.**

\*\*

Хорды квадрата и Звезды Давида равны между собой и равны потенциалу пульсации Единого Космоса (табл.1.20):

$$a_4 = a_6 = \int_0^1 \varphi d\varphi = 1/2. \quad (1.68)$$

Вместе с тем и квадрат (табл.1.20) и христианский крест (рис.1.9) имеют четыре угла, а, следовательно и крест, вписанный в поле  $S = \pi r^2 = 2\pi$ , имеют одинаковые хорды, равные  $a_4 = 1/2$ .

С позиции векторной математики описание асимметричных вихрей в ядерном веществе описывается эпюрой - подобием Святого Креста, а при достижении симметрии в вихре ядерного вещества справедливым описанием будет эпюра в форме квадрата для поверхностных волн ядерной плазмы, и куба для объемных.

\*\*

Между квадратом и шестигранником находится пятиконечная звезда (табл.1.20).

Симметричное поле звезды поляризуется на угол  $\pi$  (рис.1.10).

Вокруг звезды возникает квантованная эллиптическая орбита:

$$1 = z^2/a^2 + y^2/b^2 \quad \text{и} \quad -1 = -(z^2/a^2 + y^2/b^2), \quad (1.69)$$

где  $a = 2$ ,  $b = 1$ ,  $z = 28 \equiv \sqrt{\rho\rho^*}$ , то разность Цис-транс изомерических орбит приведет к  $y = 56$ :

<b>Появление равновесной гравитационно-электромагнитной эллиптической орбиты</b>	
$\pm[1 - (-1)] \equiv \pm\{(z^2/a^2 + y^2/b^2) - [-(z^2/a^2 + y^2/b^2)]\}$ <p style="text-align: center;">и</p> $\pm 2 \equiv \pm 2(z^2/a^2 + y^2/b^2) \equiv \pm 2(28^2/2 + y^2/1) \quad \text{и} \quad y^2 = (2 \cdot 28)^2 = 56^2,$ <p>где <math>\pm 56 \equiv \pm 112 \int_0^1 \varphi d\varphi \equiv \pm(7\sqrt{qq^*} = \pm 8\sqrt{\mu\mu^*} \equiv \pm 4\sqrt{\rho\rho^*})</math>.</p>	$(1.70)$

Поляризация, то есть поворот осей  $\pm z$  на угол  $\pi$  (рис.1.10) приводит к двум состояниям пентаграммы с яйцом:

1. Фокусы (пентаграммы) удалены друг от друга на "расстояние" - потенциал, равный  $2+2 = 2 \cdot 2$  (рис.1.10);
2. Фокусы (пентаграммы) приближены друг к другу на "расстояние" - потенциал, равный  $1+1 = 2 \Leftrightarrow 1 \cdot 1 = 1$  (рис.1.10).

В Цис-транс изомерических полях Пентаграмм в Яйце "расстояние" между фокусами до поляризации будет одним и тем же, как для резонанса, так и для антирезонанса:

$$\lambda_1^2 = 2+2 = 2 \cdot 2 = 2^2 = 4, \quad (1.71)$$

где  $\lambda_1$  - эквивалент длины волны между Пентаграммами до поляризации (рис.1.10.1).

В этом поле (рис.1.10.1) резонансно - антирезонансные пульсации затронут только пентаграммы и приведут к спирали сжатия Кундалини, равной 2,5 оборота спирали:

Пульсация неполяризованного "Яйца в Пентаграмме" (рис.1.101)			
Режим	Резонанс	Анти- резонанс	Коэффициент сжатия Кундалини
Контур колебания	$\pm \frac{5 \cdot 5}{\lambda_1^2} = \frac{25}{4} \Leftrightarrow \pm \frac{5+5}{4} = \frac{10}{4} \pm \frac{5}{2} = 2,5 \Leftrightarrow \pm 1$		
Расширение Кундалини	$2,5 \Leftrightarrow -1$ и $3,5 = 7/2 \Leftrightarrow 0$		
Магнетизм	$3,5 : 2,5 = 1,4 \equiv 10^{-1} \cdot 14 \equiv \rho_2 \sqrt{\mu\mu^*}$		
Арупа во взаимодей- ствиях	$2,5 \Leftrightarrow \pm 1$ и $2,5 - 1 = 1,5 = 3/2 \equiv$ $\tau / \lg \rho_1 \rho_2 \rho_3 \rho_4 \rho_5 \equiv \tau \int_0^1 \varphi d\varphi .$		

(1.72)



После поляризации **Яйца в Пентаграмме** расстояние между фокусами становится равным (рис.1.10.2)

$$\lambda_2 = 1+1 = 2 \cdot \text{ и } \lambda_3 = 1 \cdot 1 = 1^8, \quad (1.73)$$

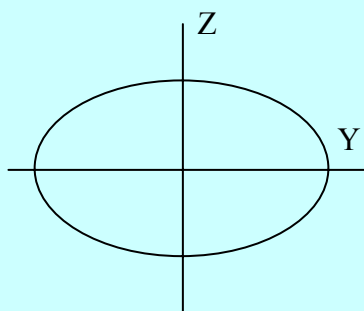
где  $\lambda_2$  - расстояние при антирезонансе, а  $\lambda_3$  - расстояние при резонансе:

<b>Пульсация поляризованного "Яйца в Пентаграмме"</b>			
Режим	Резонанс	Анти-резонанс	Контур колебания
Эффективность взаимодействия света	$\frac{5 \cdot 5}{\lambda_3^2} \equiv \frac{25}{1^{16}} \Leftrightarrow \frac{5+5}{\lambda^2} \equiv \frac{10}{4}$		$\pm 25 \cdot 4 \Leftrightarrow \pm 10$ $\pm 100 \equiv \rho_5^2 \Leftrightarrow \rho_5 = \pm 10$
110 Божеств души (Книга Мертвых)	100 $\Leftrightarrow$ -10 и 110 $\Leftrightarrow$ 0 Сто десять Божеств человеческого Тела		(1.74)
Книга Дзиан [1]. Космогенезис. Станца IV, п.5	2. Глас Слова, Свабхават, Число, ибо он Один и Девять: $\pm 100 \Leftrightarrow \pm 10$ и $\pm 10 \Leftrightarrow \pm 1$ или $9 \Leftrightarrow 0$		
Субструктура (9+2) биоклетки при митозе	$\pm 100 \Leftrightarrow \pm 10$ и $\pm 10 \Leftrightarrow \pm 1$ или $11 \equiv (9+2) \Leftrightarrow 0$ Митоз (деление) эквивалент взрыву.		

При резонансе **поляризованных Пентаграмм в Яйце** (1.73, рис.1.10.2) в живом происходит митоз биоклетки; в неживом - взрыв, которые возмущает окружающую среду:  $\frac{c}{\omega_0} \int_{10-1}^{10+1} \varphi d\varphi = 2 \int_9^{(9+2)} \varphi d\varphi = 40$ .

**Появляется сокровенная сороковица (1.74), а взрыв трансформирует эллиптическую орбиту в гиперболическую (рис.1.11).**

$$1. \text{ Эллипс: } 1 = \frac{z^2}{a^2} + \frac{y^2}{b^2}$$



$$2. \text{ Гипербола: } 1 = \frac{z^2}{a^2} - \frac{y^2}{b^2}$$

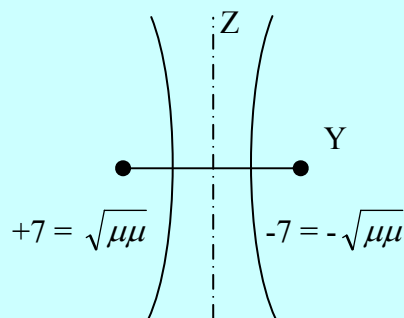


Рис.1.11 Трансформация эллиптических орбит взрывом

## 1.6 Электро-гравито-магнетизм сингулярного взрыва

Взрыв эллиптической орбиты и её трансформация в гиперболическую (рис.1.11) происходит под влиянием ядра, но само ядро не затрагивает.

Взрывы, не затрагивающие ядро, но протекающие в оболочке ядра, имеют бесконечное множество форм. Это и **излучение**, и **переход электронов** на более дальние орбиты, и **расширение**, и ... так далее.

Последствиями таких взрывов, например, могут быть химические *окислительно-восстановительные* процессы или эмоционально резкие изменения психики.

\*  
\*\*

Трансформация эллиптических орбит в гиперболические (рис.1.11) происходит в резонансно - антирезонансном режиме: резонанс - сам взрыв; антирезонанс - пост - взрывное состояние (табл.1.21).

Таблица 1.21

**Переход от эллиптической к гиперболической орбите  
через сингулярную точку**

Форма орбит (рис.1.11)		Эллиптическая	Гиперболическая
Уравнения		$1 = \frac{z^2}{a^2} + \frac{y^2}{b^2}$	$1 = \frac{z^2}{a^2} - \frac{y^2}{b^2}$
Максимальный резонанс		$1 \cdot 1 = \left( \frac{z^2}{a^2} + \frac{y^2}{b^2} \right) \cdot \left( \frac{z^2}{a^2} - \frac{y^2}{b^2} \right) \equiv \frac{z^4}{a^4} - \frac{y^4}{b^4} \equiv i^8$	
Анти-резонанс	Разность	$0 = 1 - 1 \equiv \frac{z^2}{a^2} + \frac{y^2}{b^2} - \frac{z^2}{a^2} + \frac{y^2}{b^2} = 2 \frac{y^2}{b^2}$	
	Сумма	$2 = 1 + 1 \equiv \frac{z^2}{a^2} + \frac{y^2}{b^2} + \frac{z^2}{a^2} - \frac{y^2}{b^2} = 2 \frac{z^2}{a^2}$	
Сингулярная точка		$0 \cdot 2 \equiv 2 \cdot \frac{y^2}{b^2} \cdot 2 \frac{z^2}{a^2} \equiv 4 \frac{y^2 \cdot z^2}{b^2 \cdot a^2}$	

\*\*

Энергия от взрыва в сингулярной точке с потенциалом  $0 \cdot 2$  будет **распространяться в трехмерное пространство по всем направлениям**: по оси  $Z$  - гравитационная, по оси  $Y$  - магнитная, по оси  $X$  - электрическая.

Окружающая среда вокруг взрыва в сингулярной точке будет иметь потенциалы, связанные с потенциалами энергетических полей (табл.1.22).

Таблица 1.22

**Распространение энергии в сингулярном поле взрыва**

Энергетические потенциалы трехмерного пространства		Координаты			Полуоси	
		$x^2 \equiv qq^* \equiv 16^2$	$y^2 \equiv \mu\mu^* \equiv 14^2$	$z^2 \equiv \rho\rho^* \equiv 28^2$	$a^2 \equiv 2^2$	$b^2 \equiv 1^2$
Сингулярные поля	Электромагнетизм	$(0 \cdot 2)_{xy} \equiv 4 \frac{x^2 \cdot y^2}{b^2 \cdot a^2} \equiv 4 \frac{16^2 \cdot 14^2}{1 \cdot 2^2} \equiv 16^2 \cdot 14^2$				
	Магнито-гравитация	$(0 \cdot 2)_{yz} \equiv 4 \frac{z^2 \cdot y^2}{b^2 \cdot a^2} \equiv 4 \frac{14^2 \cdot 28^2}{1 \cdot 2^2} \equiv 14^2 \cdot 28^2$				
	Электро-гравитация	$(0 \cdot 2)_{xz} \equiv 4 \frac{x^2 \cdot z^2}{b^2 \cdot a^2} \equiv 4 \frac{16^2 \cdot 28^2}{1 \cdot 2^2} \equiv 16^2 \cdot 28^2$				

Эти формы энергии во время взрыва (табл.1.22) создаются **мгновенно, но не одновременно**: сначала гравитация, потом магнетизм, затем электричество.

Последовательность перехода одной формы энергии в другую в области поля сингулярного взрыва дает возможность определить потенциалы стадий как при взрыве, так и при охлаждении среды после взрыва (табл.1.23).

Таблица 1.23

**Электро-гравито-магнетизм сингулярного взрыва**  
(табл.1.22)

Поля	Взрыв	Восстановление среды
Гравитационно-магнитный переход	$k_1 \equiv \frac{(0 \cdot 2)_{yz}}{(0 \cdot 2)_{xy}} \equiv \frac{14^2 \cdot 28^2}{16^2 \cdot 28^2} \equiv$ $\left(\frac{7}{8}\right)^2 \equiv \frac{\mu\mu^*}{qq^*}$ <p align="center">от гравитации к магнетизму</p>	$\frac{1}{k_1} \equiv \frac{(0 \cdot 2)_{xy}}{(0 \cdot 2)_{yz}} \equiv$ $\left(\frac{8}{7}\right)^2 \equiv \frac{qq^*}{\mu\mu^*}$ <p align="center">от магнетизма к гравитации</p>
Магнито-электрический переход	$k_2 \equiv \frac{(0 \cdot 2)_{xy}}{(0 \cdot 2)_{yz}} \equiv \frac{16^2 \cdot 14^2}{14^2 \cdot 28^2} \equiv$ $\left(\frac{4}{7}\right)^2 \equiv \frac{qq^*}{\rho\rho^*}$ <p align="center">от магнетизма к электричеству</p>	$\frac{1}{k_2} \equiv \frac{(0 \cdot 2)_{yz}}{(0 \cdot 2)_{xz}} \equiv$ $\left(\frac{7}{4}\right)^2 \equiv \frac{\rho\rho^*}{qq^*}$ <p align="center">от электричества к магнетизму</p>
Гравитационно-электрический переход	$k_3 \equiv \frac{(0 \cdot 2)_{xz}}{(0 \cdot 2)_{xy}} \equiv \frac{16^2 \cdot 28^2}{16^2 \cdot 14^2} \equiv$ $4 \equiv T_0 \equiv \frac{c^2}{\omega_0^2} \equiv \dots$ <p align="center">от электричества к гравитации</p>	$\frac{1}{k_3} \equiv \frac{(0 \cdot 2)_{xy}}{(0 \cdot 2)_{xz}} \equiv$ $\frac{1}{4} \equiv \frac{\omega_0^2}{c^2} \equiv \dots$ <p align="center">от гравитации к электричеству.</p>

\*\*

**Гравио-электро-магнитное поле сред сингулярных областей (табл.1.23) питают энергией метagalактические волны.**

Поглощение волн Тонких Энергий сгустком происходит ядерным веществом в момент его равновесно - резонансного состояния:

Условия поглощения ядерным веществом метagalактических волн (табл.1.23)		
Компоненты Единого Космоса	Сгустки: ядерное вещество	Корни: метага- лактические волны
Взрыв	$k_1 \cdot k_2 \cdot k_3 = \left(\frac{7}{8}\right)^2 \left(\frac{4}{7}\right)^2 \cdot 4 = 1 \rightarrow$ <p style="text-align: center;">резонанс</p>	$1 \equiv \frac{1}{\sqrt{2}} \sqrt{2} \equiv \frac{1}{n} \cdot n \equiv$ <p style="text-align: center;">резонанс</p>
Восстановление сред	$(k_1 \cdot k_2 \cdot k_3)^{-1} \equiv 1 \rightarrow$ <p style="text-align: center;">резонанс</p>	$1 = \sin^2 \alpha + \cos^2 \alpha \equiv$ <p style="text-align: center;">антирезонанс.</p>

(1.75)

**Сгусток ядерного гравито-магнито-электрического вещества, находясь в резонансе полей своих компонент, поглощает равновесные резонансные (антирезонансные) метagalактические волны, а затем излучает их в Метagalактику Невесомости (1.75).**

\*\*

Поле сгустка ядерного гравито-магнитоэлектрического вещества находится не только в резонансе, но и антирезонансе.

В условиях резонанса поле ядерного вещества равновесное (1.75); но в условиях антирезонанса равновесие смещается на **Пять Продвижений Фохата** [1].

Резонансно-антирезонансные колебания ядерного вещества создают окружающую среду с потенциал - эквивалентом эффективности взаимодействия света, то есть с  $\rho_5 = 10$  (1.76).

Смещение равновесия в ядерном веществе при антирезонансе (табл.1.23, 1.75)	
Антирезонанс	$k_1+k_2+k_3 = \left(\frac{7}{8}\right)^2 + \left(\frac{4}{7}\right)^2 + 4 = 5,092155$
Резонансно-антирезонансное поле	$\pm k_1 \cdot k_2 \cdot k_3 \equiv \pm 1 \Leftrightarrow \sim 5 \equiv k_1+k_2+k_3$
Среда: взаимодействие света	$k_0 \equiv \int_{5-1}^{5+1} \varphi d\varphi = \int_4^6 \varphi d\varphi = 10 \equiv \rho_5.$

(1.76)

В этом поле четыре - это отношение импульса расширения к импульсу сжатия, а шесть - разность этих импульсов:

$$\begin{aligned} 4 &\equiv (T_0 \cdot c / \omega_0 = 8) : (T_0 \cdot \omega_0 / c = 2) \equiv c^2 / \omega^2 \equiv T_0 \equiv \dots \\ 6 &\equiv (T_0 \cdot c / \omega_0 = 8) - (T_0 \cdot \omega_0 / c = 2) \equiv 3 - (-3) \equiv 3,5 - (-2,5) \equiv \dots \end{aligned} \quad (1.77)$$

Эти поля (1.77) всеобъемляют Единый Космос создавая **Солнечный ветер**:  $[3 - (-3)] = 6$ , **Кундалини**:  $2,5+3,5=6$ , **Сияние Ли**:  $[3 - (-3)] \pm (3,5+2,5) = 6 \pm 6$  (Книга Перемен); и всё многообразие форм **Движения**, то есть переход Энергии из одного состояния в другое.

\*\*

Наша цивилизация, живя в среде, где **основой Жизни является Фотосинтез** и взаимодействие Света ( $\rho_5 = 10$ ), на каждом шагу сталкивается с полем (1.76). Пифагор записывает поле (1.76) в **форме Тетраксиса**, авторы Каббалы в **форме Тетраграмматона** [3]. Засекречивают свои **невежественные знания**, но сути процессов не понимают.

Современный научный подход не лучше. Разница в том, что **назвали подобие тетраграмматона Абсолютом** и стали искать истину с **позиций приближений и относительности**. Запутались: понять, о чём речь - не могут, отказаться от своих иллюзий-парадигм - не хотят. Упрямые. Чванливые. Сановные.

\*  
\*\*

*Учёные великой Цивилизации знали, что Приближения и Относительность удел убогой материалистической науки. К Мета-науке Приближения и Относительность неприменимы, ибо Создатель НИЧЕГО на глазок не делал и на "авось" не рассчитывал.*

Великая Цивилизация, *используя конкретность и точность* окружающих нас Реалий Единого Космоса, взяла за основу переход от электрического поля к полю гравитации.

*В своём методологическом подходе Наука великой Цивилизации использовала закон: переход из одной формы энергии в другую не зависит от формы пути, а определяется разностью потенциалов в начале и конце трансформации.*

\*  
\*\*

В гравио - магнитоэлектрическом поле при переходе от электричества к гравитации, **начальным** потенциалом будет **электрический** потенциал  $qq^* = 16^2$ , а **конечным - гравитационный**  $pp^* = 28^2$ .

Поэтому великая Цивилизация взяла за Единицу Счисления (**пальму**) отношение гравитационного потенциала к электрическому. Но **отношения и произведения** описывают **резонансное** поле. **Антирезонансные** поля описывают **суммы и разности** потенциалов:

$$pp^* - qq^* = 28^2 - 16^2 = 528 \equiv 16 \cdot 53 \equiv (9+2) \cdot 48. \quad (1.78)$$



$$\rho\rho^* - qq^* = 28^2 + 16^2 = 1040 \equiv 40 \cdot 28 \equiv (9+4) \cdot 80. \quad (1.79)$$

В антирезонансном электро-гравитационном поле возникает пятеричная **Всё Объемлющая Связь**, которую в Книге Дзиан называют **Пятеричный Лха** [1]:

Пятеричная связь в антирезонансной электрогравитации				
	Электричество	Гравитация	Разность	Сумма
Потенциалы	$\sqrt{qq^*} = 16$	$\sqrt{\rho\rho^*} = 18$	$\sqrt{\rho\rho^*} - \sqrt{qq^*} = 12$	$\sqrt{\rho\rho^*} + \sqrt{qq^*} = 34$
Колебания в Арупе. Пятеричный Лха	$\left[ \left( \frac{16}{12} = \frac{4}{3} \right) \Leftrightarrow \left( \frac{17}{9} = \frac{32}{18} \right) \right] \cdot \frac{1}{\tau} \rightarrow$ $\frac{1}{3} (4 \cdot 9 = 36 \Leftrightarrow 51 = 3 \cdot 17) \rightarrow$ $\frac{1}{3} (0 \Leftrightarrow 51 - 36 = 15) \rightarrow 0/3 \Leftrightarrow 5.$			

(1.80)

\*\*

Достижение электрическими и гравитационными потенциалами (1.80) квадрата своих значений к образованию в поле с потенциалом 48 субструктуры биологической клетки при митозе (1.78).

В этом поле разности между гравитационными и электрическими потенциалами (1.78), поле с потенциалом 48 является кратным длине волны  $\lambda = 4800\text{Å}$ , делящий синне-голубую область в спектре света, и в чакре Третий Глаз:

$$48 \equiv 10^{-2} \cdot 4800 \equiv \rho_2^2 \cdot (\lambda \equiv 4800\text{Å}). \quad (1.81)$$

И в тоже время 48 - это потенциал 42 Божеств твоего сердца во взаимодействиях в поле Пальмы:

$$48 \cdot 7/4 = 84 \equiv 42 \cdot (2 = \lg \rho_1 \rho_2 \rho_3 \rho_4 \rho_5). \quad (1.82)$$

Электро-гравитационное поле с потенциалом, равным **пальме** трансформирует сине-голубую волну (1.81) в инфракрасную длиной :

$$\lambda = 8400 \text{Å} \equiv 8400 \rho_2^2 = 84. \quad (1.83)$$

Это (1.81, 1.82) тот маятниковый эффект, который меняет в запаянной колбе синий раствор на красный. При этом **потенциалы поля меняют в своих ЧИСЛАХ порядок ЦИФР на обратный** ( $48 \Leftrightarrow 84$ ).

\*\*

Появление суммы гравитационно-электрических потенциалов при достижении ими квадрата первоначальных значений (1.79), увеличивает субструктуру ( $9+2 = 11$ ) на две единицы ( $9+4 = 13$ ).

Потенциал ( $9+4 = 13$ ) проявляет себя, например, в формировании тринадцати субъединиц в микротрубочке поры ядра биологической клетки амфибии.

**Эти тринадцать субъединиц в микротрубочке поры ядра биоклетки играют роль биочасов организма,** так как связывают основные Продолжительности в ядерном веществе:

$13^2 \equiv 12^2 + 5^2 \equiv 12^2 + 4^2 + 3^2$ $(T_o \tau + 1)^2 = T_o^2 \tau^2 + 5^2 \equiv T_o^2 + \tau^2.$	(1.84)
---	--------

Вместе с тем биочасы с субструктурой ( $9+4 = 13$ ) связаны с субструктурой ( $9+2 = 11$ ) материалом вещества микротрубочки поры ядра клетки амфибии.

Дело в том, что материалом микротрубочки является **табулин с молекулярным весом 110000** кислородных единиц, где  $110000 \equiv (9+2) \cdot 10^4$ .

\*\*

Между полями суммы и разности гравитационно-электрических потенциалов (1.78, 1.79) возникают антирезонансные колебания (табл.1.24).

Таблица 1.24

**Гравитационно-электрическая среда вокруг  
сингулярных точек инерционных систем (1.78, 1.79)**

Поля	Колебания	
Формирование Небес - <b>Цинь</b> (Книга Перемен)	$ (9+2) \cdot 48 \Leftrightarrow (9+4) \cdot 80  \rightarrow  (9+2) \cdot 3 \Leftrightarrow (9+4) \cdot 5 $ $\pm 0 \Leftrightarrow \pm[(9+4) \cdot 5 - (9+2) \cdot 3] \equiv \pm(65 - 33)$ $\pm 0 \Leftrightarrow \pm 32$	
Формирование сгустков <b>Тянь</b> (Книга Перемен)	$64 \equiv 32 - (-32) \Leftrightarrow 0 \Leftrightarrow -32 - (-32) \equiv 64$	
Среда вокруг сингулярных точек Рупы ( $T_0 = 4$ )	Цинь	Тянь
	$\pm \frac{0}{T_0} \Leftrightarrow \pm \frac{32}{4} \equiv \pm 8$	$\pm \frac{0}{T_0} \Leftrightarrow \pm \frac{64}{4} \equiv \pm 16$

Показанная гравитационно-электрическая пульсация удивительна: она подобна пульсации **"между биочасами и материалом, из которого эти часы сделаны (табулином и тринадцатью субструктурами)"**.

Хотя удивляться особенно нечему: каждый атом (вещество) пульсирует (излучает) на своих собственных частотах. Это свойство наша цивилизация использовала для создания **эталона времени**, например, по частотам излучения цезия.

**Цинь** (Небеса) пульсирует так, чтобы добиться равновесия с расширяющейся Вселенной (то есть с частотой, равной 8, табл.1.24).

**Тянь** (сгусток) пульсирует с частотой вдвое большей, чем частота пульсации Цинь (табл.1.24).

Однако Цинь, расширяясь, пульсирует в эндотермии, а Тянь, сжимаясь, создает экзотермию ядра (табл.1.25).

Таблица 1.25

**Электро-гравитационное поле Цинь-Тянь  
в Едином Космосе (табл.1.24)**

От резонанса к Хаосу	Описание	(T=8)· <b>Цинь</b> ·эндотермия·расширение $\Leftrightarrow$ (T <sub>0</sub> 2 = 16)· <b>Тянь</b> ·экзотермия·сжатие
	Потенциалы	$8 \cdot 32 \cdot (\lg \rho_1 \rho_2 = -25) \cdot (T_0 c / \omega_0 = 8) \Leftrightarrow$ $16 \cdot 64 \cdot (\lg \rho_3 \rho_4 = +26) \cdot (T_0 \omega_0 / c = 2)$
	Хаос	$ -25 \Leftrightarrow +26  \rightarrow  \pm 0 \Leftrightarrow \pm 51  \equiv \pm \lg \frac{\rho_3 \rho_4}{\rho_1 \rho_2}$
От анти-резонанса к Хаосу	Потенциалы	$8+32 - 25+8 \Leftrightarrow 16+64+26+2;$ $+23 \Leftrightarrow 116$
	Хаос	$0 \Leftrightarrow 116 - 23 = 93$
Рождение Жизни в Хаосе взрыва		$\pm 0 \Leftrightarrow (70) \Leftrightarrow 93 \pm 51$ <b>Разность:</b> $\pm 0 \Leftrightarrow 93-51 = 42$ <b>Сумма:</b> $70 \Leftrightarrow 93+51=144=12^2$ Божества Сердца      Библейское Число, зна- Полярные вихри      ки Зодиака, Продолжи- тельности (T <sub>0</sub> ·τ) <sup>2</sup> .

Электрогравитационное поле **Цинь-Тянь** пульсирует в Едином Космосе в резонансно-антирезонансном режиме, периодически создавая Хаос взрыва (табл.1.23).

**В условиях резонанса** между полем Хаоса с ноль-потенциалом и окружающей средой возникает **неравно-весная система** с контуром колебания (табл.1.25).

$$\pm 0 \Leftrightarrow \pm 51 \equiv \pm \lg \frac{\rho_3 \rho_4}{\rho_1 \rho_2}. \quad (1.85)$$

В этой энергетической системе (1.85) присутствуют все логарифмические волны известных в природе взаимодействий, кроме взаимодействия света.

Появление в этой среде света (1.85):

$$\pm \lg \frac{\rho_3 \rho_4}{\rho_1 \rho_2} \cdot \rho_5 = \pm 52 \Leftrightarrow \pm 50 \equiv \pm \lg \frac{\rho_3 \rho_4}{\rho_1 \rho_2 \rho_5}, \quad (1.86)$$

влечет за собой колебания окружающей среды, которой являются Небеса (Цинь) с частотами от 50 до 52 (1.86).

Изучая *Книгу Дзиан*, авторы *Каббалы* столкнулись с этим процессом (1.86) и обожествили число 50: **"Шестой порядок называется Архетипом и состоит из одних только ворот: 50. Бог Айн СОФ. Тот, Кого смертный глаз никогда не зрил. Пятидесятые ворота ведут от творения к Творящим Началам"** ([3], стр.438).

**Авторы Каббалы не поняли**, что творение - это Цинь (Небеса), а Творящее Начало для Небес - это сгусток Тянь, ядерное вещество которого поглощает метагалактические волны Космоса.

**Авторы Каббалы не поняли** и того, что Небеса (Цинь) пульсируют. Их пульсация, вызванная светом (1.86), возмущает окружающую среду, создавая в ней интегральную разность потенциалов:

Интегральная разность потенциалов Небес (Цинь)

$$\pm \int_{51-1}^{51+1} \varphi d\varphi = \int_{50}^{52} \varphi d\varphi = \pm 102 \equiv \pm \lg \frac{\rho_3 \rho_4}{\rho_1 \rho_2}. \quad (1.87)$$

**Электрогравитационная пульсация Небес (Цинь)** удваивает потенциал логарифмических волн экзо-эндотермии (1.87). Возникает Тянь-"сгусток". Мы вновь рождаемся в биологическую Жизнь. Религии начинают говорить о Непорочном Зачатии. Христианство о голубе, Буддизм о Белом Слоне, который вошел в лоно Матери Будды. Говорят с такой уверенностью, как будто бы при этом были.

## 1.7 Электрические и гравитационные пределы Космоса

Антирезонансная электрогравитационная пульсация Небес - Цинь приводит к появлению неравновесной системы между Хаосом и окружающей средой (табл.1.25).

Электро-гравитационное поле Хаоса. Антирезонанс				(1.88)
Процессы и компоненты	Колебания	Продолжительность	Среда: $\pm 31 \equiv \text{Const}$	
Потенциалы	$\pm 0 \Leftrightarrow 93 \equiv (\tau = 3) \cdot 31$	$\tau = 3 \pm 1;$ 2, 3, 4	$31 \int_{\tau-1}^{\tau+1} \varphi d\varphi = 31 \cdot 6.$	

Этим полем (1.88) тоже интересуются религии:

- потенциалы 2, 3, 4 являются основными потенциалами во всех трёх кругах Круга Универсума [4];
- потенциал 21 характеризует переход между Высшей и Средней областями Круга Универсума, а потенциал 31 - между Средней и Низшей областями [4];
- потенциал 6 - это потенциал **поверхности** корпускулярно-волнового кванта света, состоящего из двух цистранс изомерических половинок с потенциалами 3, и образующие **Солнечный Ветер** фотонов (волн света).

В пульсирующем между Хаосом и Гармонией Космосе, Солнечный Ветер создает расширяющуюся (3,5 оборота) и сжимающуюся (2,5 оборота) ветви Кундалини:

$$6 \equiv 3 - (-3) \equiv 3,5 + 2,5 \equiv (3,5)2 - (2,5)^2. \quad (1.89)$$

Закручивание Солнечного Ветра в спирали Кундалини происходит под влиянием взаимодействий и их эквивалента в форме-сочетании мгновенных и линейных скоростей точечного участка волны света:

$$6 \cdot (\lg \rho_1 \rho_2 \rho_3 \rho_4 \rho_5 \equiv c/\omega_0 = 2) \equiv 12. \quad (1.90)$$

Возникает Библейско-Астрологическое фундаментальное число 12.

Увеличение поля (1.90) до квадрата первоначальной величины, происходящее по законам квантованного увеличения энергии ( $12^2 = 144$ ) приводит к Библейскому Числу 144.

**Потенциалы пульсирующего электро-гравитационного поля среды вокруг Хаоса используют как язычники, так и мифологические и современные Религии.** Используют потому, что Знания язычников и верующих - это Знания Носителей Разума. Но Разум дается для того, чтобы познавать причинно-следственные связи окружающего Космоса, в котором электрогравитация играет решающую роль. Об этом великая Цивилизация информировала все племена на Земле. Каждый понял информацию по-своему. Но большинство возводит эту информацию в разряд **Догмы-Веры**, не желая (ленясь) работать Разумом.

\*\*

**Пределы пульсации Арупы  $[(\tau = 3) \pm 1]$  имеют свою собственную индивидуальность.**

Нижний предел  $\tau - 1 = 3 - 1 = 2$  характеризует логарифмическую постоянную всех существующих в Природе Пяти форм взаимодействий и их производных, то есть Всего Множества Форм Энергий Единого Космоса, ибо **Всё, Всегда и Везде протекает во Взаимодействиях**:

$$\tau - 1 = 2 \equiv \lg \rho_1 \rho_2 \rho_3 \rho_4 \rho_5 = \lg 10^{-24} \cdot 10^{-1} \cdot 10^{12} \cdot 10^{13} \cdot 10 \quad (1.91)$$

Это поле Взаимодействий (1.91) связано с пульсацией Арупы (вне Формы, периодичность  $\tau = 3$ ).

В поле Арупы существуют потенциалы:

<b>Формовщики: потенциалы в поле Арупы (<math>\tau = 3</math>)</b>						
Поля	Хаос	Дзиан		Гармония	Взаимодействия	Продолжительность
		Отец	Мать			
Потенциалы	$0 \equiv$	$+1/2 \equiv$	$-1/2 \equiv$	$1 \equiv$	$2 \equiv (1.91)$	$3 \equiv$
	$E_K - E_H,$ где $E_K = E_H$	$\int_0^1 \varphi d\varphi$	$\int_1^0 \varphi d\varphi$	$E_K / E_H,$ где $E_K = E_H$		$\tau.$

(1.92)

Эти потенциалы в поле Арупы (1.92) великая Цивилизация называет **Формовщиками**, то есть созидателями Форм, а, следовательно, Рупы (инерционной системы сгустков).

В поле Арупы **Формовщиков** великая Цивилизация выделяет **дробь - Дзиан**, деля её на **Отец - Мать** (1.92).

Дзиан возникает как результат пульсации Космоса, пульсирующего между Хаосом и Гармонией, и создающий Хаос и Гармонию сам:

$$\int_0^1 \varphi d\varphi \pm \int_1^0 \varphi d\varphi = \frac{1}{2} \pm \left( \frac{1}{2} \right), \quad (1.93)$$

где:

$$\begin{aligned} \text{Хаос} &\equiv 0 = 1/2 + (-1/2) \text{ и} \\ \text{Гармония} &\equiv 1 = (1/2) - (-1/2). \end{aligned} \quad (1.94)$$



В этой пульсации Дзиан нет ни первого, ни последнего, но, тем не менее, Дзиан является формовщиком Космогенезиса, Антропогенезиса, Теогенезиса, всех Перемен и переходов в Живом и Неживом.

\*\*

Переход от Хаоса и Гармонии к полю  $\tau \equiv 3$ , эквивалентному, например, сумме импульсов:

$$\tau \equiv 3 \equiv m_c c = \varepsilon_0 \cdot \mu_0 \cdot c^2 + E_\lambda c = 1 + 1 + 1, \quad (1.95)$$

может протекать в условиях равновесия (Гармония), а может - в условиях взаимодействий. В любом из этих случаев создаются разности потенциалов, сумма которых увеличивает потенциал поверхности системы к её объёму в 9 раз.

$$V_{\text{объёма}} : Q_{\text{поверхности}} = 1 : 9. \quad (1.96)$$

В Живом возникает субструктура (9+0) биологической клетки.

Потенциал распределения энергии Арупы формовщиков между объёмом и поверхностью может быть определён следующим образом:

<b>Распределение энергии Арупы между объёмом и границей перехода Арупы в Рупу</b>			
Переходы	Взаимодействия в Хаосе	Гармония во взаимодействиях	Разность
Во взаимодействиях	$2 \int_0^\tau \varphi d\varphi = 9$	$2 \int_1^\tau \varphi d\varphi = 8$	$k_1 = 9 - 8 = 1$
В равновесии	$\int_0^\tau \varphi d\varphi = \frac{9}{2}$	$\int_1^\tau \varphi d\varphi = 4$	$k_2 = \frac{9}{2} - 4 = 0,5$
Разности	$k_3 = 9 - 9/2 = 4,5$	$k_4 = 8 - 4 = 4$	$k_1 - k_2 = 0.5.$ $k_3 - k_4 = 0.5.$

В этом поле Арупы зарождается Жизнь до Жизни (Познай начало Жизни, чувствующей вне Формы [1]).

В равновесии зарождается субструктура (9+0):

<b>Появление отношения 1:9 (1.92).</b> <b>Возникновение субструктуры (9+0) (1.97)</b>	(1.98)
$\frac{9}{2} \cdot 4 \cdot \frac{1}{2} = 9 + 0 \equiv \int_0^3 \varphi d\varphi \cdot \int_0^3 \varphi d\varphi \cdot k_2.$	

В этом же поле после начала взаимодействия возникает свет.

$36 \equiv 2 \int_0^{\tau} \varphi d\varphi \cdot 2 \int_1^{\tau} \varphi d\varphi \cdot \left( \int_0^{\tau} \varphi d\varphi - \int_1^{\tau} \varphi d\varphi \right) = 9 \cdot 8 \cdot \left( \frac{9}{2} - 4 \right).$	(1.99)
--	--------

Субструктура (9+0) оказывается в поле света. Начинается **фотосинтез**. Зарождается биологическая Жизнь.

\*\*

**В электрогравитационном поле метagalактические волны касаются поверхности сгустка.** Они как воды набегают на берег. В этой аналогии *с водами и берегом "берегами"* является *поверхность инерционной системы сгустка (поверхность Руны)*; *водами* - волны метagalактики, поверхность которых в девять раз имеет больший потенциал, чем объём (рис.1.12).

Пытаясь изобразить **Всеобъемлющую Арупу** (рис.1.12), невольно вспоминаешь формулировку Паскаля, которая, по его мнению, определяла Понятие Бог: **Бог - это окружность, центр которой везде, а граница нигде** [3].

Тем не менее, условно Арупу можно изобразить окружностью с потенциалом 9.

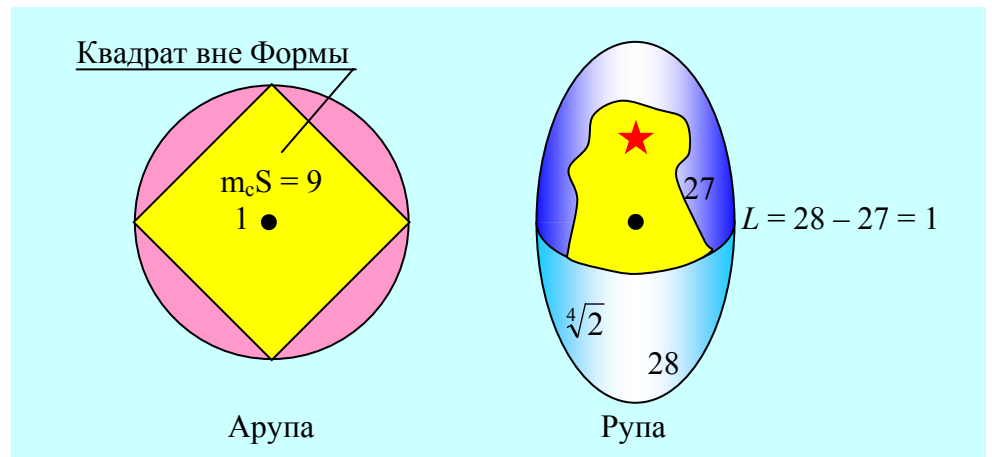


Рис.1.12 Волны Арупы на поверхности Рупы

В поле Арупы возникает разность потенциалов, о которой Космогенезис говорит: **Число, десять без Одного, и добавляет Квадрат без Формы [1].**

Этому определению будет соответствовать **вектор-эквивалент площади круга в поле света:**

Квадрат вне Формы (векторное описание Арупы)				(1.100)
Круг	Квадрат	Поверхность сферы	Куб	
$S = \pi R^2 = 9$ $R = 3$	$m_o S = \pi R^2 / \pi = 9$ $R = 3$	$4S = 4\pi R^2 = 9$ $R_1 = 3/2$	$m_c S = 4R_1^2 = 9$ $R_1 = 3/2$	

Сущность фразы **Квадрат вне Формы [1]** применительно к Арупе состоит в том, что **векторное описание Арупы имеет форму, а Энергетическое поле самой Арупы формы не имеет.**

Волны Арупы могут быть **бегущими, поверхностными и объемными.**

Для объёмных волн справедливым будет определение: **Куб вне Формы (1.100).**

Появление Куба без Формы обуславливается тем, что в поверхностной волне Арупы в поле света за период  $T_0 = 4$  возникает потенциал  $R_1 = 3/2$  (1.100) и возникает интегральная разность:

<b>Трансформация поверхностной волны Арупы</b>		
Взаимо- действие	Гармо- ния	Результат
$2 \int_{R_1=3/2}^{R=3} \varphi d\varphi - \int_{R_1=3/2}^{R=3} \varphi d\varphi = \int_{R_1=3/2}^{R=3} \varphi d\varphi = \frac{1}{2} \cdot \left( 3^2 - \frac{3^2}{2^2} \right) = \frac{1}{8} \cdot (36 - 9) = \frac{27}{8}.$		

(1.101)

Поле расширения импульса  $T_0 \cdot c / \omega_0 = 8$  трансформируется в эллипсоидальное Свечение Тонкой Энергии (как от генератора Тонкой Энергии) с потенциалами полу-эллипсов  $27 \Leftrightarrow 28$  (рис.1.12).

**Возникает контакт Арупы и Рупы**, который в векторной форме описывается как совмещение **Куба вне Формы** с поверхностью 9 и **Пентаграммы с Яйцом** с поверхностью  $27+28 = 55$  (рис.1.12).

\*\*

Выделим некоторые особенности поля контакта Рупы и Арупы, зная, что переход от Арупы к Рупе влечет за собой появление расширяющейся ветви Кундалини в 3,5 оборота:

<b>Переход Арупа÷Рупа. Формирование Кундалини</b>		
Взаимо- действие	Гармо- ния	Равновесие
$2 \int_{\tau=3}^{T_0=4} \varphi d\varphi - \int_{\tau=3}^{T_0=4} \varphi d\varphi = \int_{\tau=3}^{T_0=4} \varphi d\varphi = \frac{1}{2} \cdot (4^2 - 3^2) = \frac{7}{2} = 3,5.$		
В этих полях взаимодействие, гармония и равновесие определяют интегральную разность потенциалов в окружающих средах.		

(1.102)

\*\*

Возникающая в поле перехода Арупа - Ру́па Кундалини, контактирует с полем гравитации или Лунным рядом с потенциалом 28.

Эквивалентом потенциалу гравитации является полуэллипс Рупы с потенциалом 28 (рис.1.12).

В гравитационном поле расширения Кундалини формирует расширение Вселенной, описание которой в векторной форме приводит к площади основания великой Пирамиды или её апофемы для линейных или поверхностных волн ( $8 \equiv \ell \equiv a^2$ ), а для объемных волн векторное описание будет связано с кубом, сторона которого равна  $R_1 = 2$ :

Кундалини в поле гравитации с потенциалом 28				
Расши- рение Вселен- ной	Волны			Кундалини в Пентаграмме с Яйцом
	Бегущая	Поверх- ностная	Объем- ная	
28/3,5 = 8 ≡ T <sub>0</sub> c/ω <sub>0</sub>	8 = ℓ апофема	8 = a <sup>2</sup> ос- нование	8=2 <sup>3</sup> ≡R <sub>1</sub> <sup>3</sup> Куб со сторо- ной 2	28·3,5=98,0 — 27·3,5=94,5 <div>3,5</div> <div>Воспро- изводство</div>
	Элементы великой Пирамиды			

(1.103)

Таким образом, на пульсирующей поверхности поля Рупы происходит воспроизводство Кундалини расширения (1.103).

Вместе с тем пульсация поля гравитации  $28 \pm 1$  воспроизводит поверхность Яйца с Пентаграммой:

$$\int_{28-1}^{28+1} \varphi d\varphi = \int_{27}^{29} \varphi d\varphi = \frac{1}{2} (29^2 - 28^2) = 56 \equiv 28 + 27 + 1.$$

Возникают два полуэллипса и квантованная орбита (рис.1.12).

\*\*

В **Яйце с Пентаграммой** сама Пентаграмма возникает как результат перехода от дуализма волны-частицы света ( $m_c c + E_{\lambda} c = 1+1 = 2$ ) к их триединству с электромагнитной средой ( $m_c c + \varepsilon_0 \mu_0 c^2 + E_{\lambda} c = 3$ ):

Пентаграмма в Яйце: Пятеричный Лха, Кундалини сжатия				
Энергия		Пентаграмма: Пятеричный Лха [1]	Пентаграмма в Космосе: Кундалини сжатия	
Начало	Окончание			
$m_c c + E_{\lambda} c = 2$	$m_c c + E_{\lambda} c + \varepsilon_0 \mu_0 c^2 = 3$	$\pm \int_2^3 \varphi d\varphi = \pm 5$	<b>Отец:</b> $5 \int_0^1 \varphi d\varphi = \frac{5}{2}$	<b>Мать:</b> $5 \int_1^0 \varphi d\varphi = -\frac{5}{2}$

(1.104)

Пентаграмма - это форма векторного описания энергетического поля. Энергетическое поле, описываемое Пентаграммой, имеет бесконечную множественность форм Энергии, в их числе количество фазовых состояний Космоса: свет, газы, жидкости, твердые тела, жидкая плазма, энергия водородной связи с потенциалом 5 ккал/моль, пять форм взаимодействий: гравитационное, слабое, электромагнитное, ядерное, света. Всё это множество энергетических форм с потенциалом **пять** великая Цивилизация называла **Пятеричный Лха** [1]. При этом Пятеричный Лха рассматривался в динамике пульсации типа  $5 \pm 1$ ; потенциалы  $5 - 1 = 4$ , 5 и 6 брались как пределы возмущенной среды, восстанавливающей эффективность взаимодействия света.

**Формирование потенциал - эквивалента  
эффективности взаимодействия света  
возмущенной средой Пятеричного Лха [1]**

(1.105)

$$\int_{5-1}^{5+1} \varphi d\varphi = \int_4^6 \varphi d\varphi = \frac{1}{2}(36 - 16) = \frac{1}{2} \cdot 20 = 10 \equiv \rho_5.$$

Резонанс пульсирующей среды (1.105) с самим Пятеричным Лха приводит к пульсации Небес **Цинь** с периодичностью, равной 50:

$$5 \cdot \int_{5-1}^{5+1} \varphi d\varphi = 5 \cdot 10 = 50. \quad (1.106)$$

Неумение понять физическую всеобъемлющую сущность этого процесса заставляет обожествлять значения потенциалов (Числа), как это произошло с 50. Авторы Каббалы называли это число Бог Айн СОФ [3].

\*  
\*\*

Появление Пятеричного Лха в пульсирующем между Хаосом и Гармонией Космосом приводит к формированию Кундалини сжатия с потенциалом 5/2 (1.103).

\*  
\*\*

В поле **Руны** ( $T_0 = 4$ ) **Пятеричный Лха** может сжиматься до **корня квадратного от первоначальной величины, излучая при сжатии в окружающую среду  $\pm 1$** . При такой пульсации между двумя равновесными состояниями энергетическое поле подчиняется **правилу золотого сечения**:

Золотые поля Рупы: поля, подчиняющиеся правилу золотого сечения		
Рупа		Происхождение правила золотого сечения: пульсация Рупы в Космосе
Резонанс	Анти-резонанс	
$T_o=4 \equiv$ $(\sqrt{5}+1) \times$ $(\sqrt{5}-1)$	$(\sqrt{5}+1) \Leftrightarrow$ $(\sqrt{5}-1)$	$1:(\sqrt{5}+1) \int_0^1 \varphi d\varphi \Leftrightarrow (5-1) \int_1^0 \varphi d\varphi : (-1)$ $1: \frac{\sqrt{5}+1}{2} \Leftrightarrow \frac{\sqrt{5}-1}{2} : 1.$

(1.107)

\*\*

Аналогичным образом (1.107) ведут себя все волны. Когда мы создадим метрологию для волн Тонких Энергий Арупы  $[\tau = 3 = (\sqrt{3}+1) \cdot (\sqrt{3}-1)]$ , **то увидим**, что они подчиняются **правилу - Подобию золотому сечению**:

Гармоническое расщепление энергии Арупы		
Арупа		Правило расщепления импульсов Тонкой Энергии Арупы
Резонанс	Анти-резонанс	
$\tau = 3 \equiv$ $(\sqrt{3}+1) \times$ $(\sqrt{3}-1)$	$(\sqrt{3}+1)$ $\Leftrightarrow$ $(\sqrt{3}-1)$	$1: (\sqrt{3}+1) \int_0^1 \varphi d\varphi \Leftrightarrow (\sqrt{3}-1) \int_1^0 \varphi d\varphi : (-1)$ $1: \frac{\sqrt{3}+1}{2} \Leftrightarrow \frac{\sqrt{3}-1}{2} : 1.$

(1.108)



## 1.8 Сингулярность магнетизма: основа информатики Будущего

Пределами энергетических полей Космоса являются **гравитация и электричество**.

Внутренним полем в гравитационно-электрических пределах будет **магнетизм**.

Носитель Разума, как и всё живое на Зеле, является **Живым Магнитом**.

Максимальным резонансным потенциалом гравито-магнитоэлектрического поля является потенциал  $E_k$ , равный при резонансе:

$$E_k = \sqrt{\rho\rho^*} \cdot \sqrt{\mu\mu^*} \cdot \sqrt{qq^*} = 28 \cdot 14 \cdot 16 = 7^2 \cdot \sqrt{2}^{14}, \quad (1.109)$$

и при антирезонансе сумме этих (1.109) множителей:

$$E_k^* = \sqrt{\rho\rho^*} + \sqrt{\mu\mu^*} + \sqrt{qq^*} = 28 + 14 + 16 = 58. \quad (1.110)$$

Отметим, что  $7^2$  - потенциал **оболочки** энергетической системы, описанный Русскими Рунами [4]; потенциал  $\sqrt{2}^{14}$  является корнем квадратным по отношению к произведению всех элементов Пирамиды, исключая высоту (H):

$$E_n = \sqrt{2}^1 \cdot \sqrt{2}^2 \cdot \sqrt{2}^3 \cdot \sqrt{2}^4 \cdot \sqrt{2}^5 \cdot \sqrt{2}^6 \cdot \sqrt{2}^7 = \sqrt{2}^{28}, \quad (1.111)$$

а антирезонансный потенциал 58 (1.110) равен числу Божеств, которые в соответствии с Книгой Мертвых и Даосским религиозно-мировоззренческим представлениям располагаются в голове человека.

\*\*

Живое, в том числе и носитель разума - человек, являясь живым магнитом, тем не менее, находится в поле гравитационно-электрических пределов:

$$E_4 = \sqrt{\mu\mu^*} \cdot \int_{\sqrt{qq^*}}^{\sqrt{\rho\rho^*}} \varphi d\varphi = 14 \cdot \int_{16}^{28} \varphi d\varphi = 14 \cdot (28^2 - 16^2) / 2 = 14 \cdot 264. \quad (1.112)$$

Между живыми и космическими электро-гравитационными пределами возникает неравновесная система колебаний (табл.1.26).

Таблица 1.26

**Живые Магниты в электрогравитационных  
Пределах Космоса**

Электрогравитационные пределы		Живые Магниты	
Резонанс (1.109)	Антирезонанс (1.110)	Резонанс (1.112)	Антирезонанс
$E_k = 7^2 \cdot 2 \cdot 64$	$E_k^* = 58 = 2 \cdot 29$	$E_4 = 14 \cdot 264 = 7 \cdot 528$	$E_4^* = 14 + 264 = 278 = 2 \cdot 139$
<p style="text-align: center;"><b>Колебания:</b></p> $\left  \frac{E_k}{E_k^*} = \frac{7^2 \cdot 64}{29} \Leftrightarrow \frac{139}{7 \cdot 264} = \frac{E_4^*}{E_4} \right  \rightarrow \left  \frac{E_k \cdot E_4}{E_k^* E_4^*} = 7^3 \cdot 4,2 \right .$			

Полученный результат (табл.1.26) говорит о том, что в трехмерном пространстве **твоего сердца** с потенциал-координатами  $x \equiv y = z = 7$ , **сжатыми в резонанс ядерного вещества**, возникает **Зародыш 42 Божеств** твоей Души.

**Твоя Душа, чувствующая, но не в форме, родилась в Жизнь до Жизни.**

Родившись ещё раз в биологическую Жизнь, **Зародыш твоей Души, твоего чистого Сердца**, попадает в поле солнечного света, в поле **Фотосинтеза**, где эффективность света равна  $10 \equiv \rho_3$ , и **Зародыш Души** расцветает подобно **цветку Лотоса**:

Расцвет Зародыша Души в биологической Жизни		(1.113)
Жизнь до Жизни	Биологическая Жизнь	
Зародыш Души	Цветок Души	
$7^3 \cdot 4,2 \longrightarrow 7^3 \cdot 4,2 \cdot (\rho_5 = 10) = 7^3 \cdot 42 \equiv E_k.$		

Так зачем же **Цветок Души**, а зачастую **Цветок Души вместе с самой Жизнью** отдавать дьявольской Закулисе вместе с их прихлебателями, **будь они даже олигархами от кумира-фетиша Золотого тельца?**

*Зачем? Во имя чего, люди, Вы теряете свои Жизни и Души раньше времени?*

\*\*

Появление 110 Богов (потенциалов) в твоём теле, человек, связано с процессами  $E_k^* = 58$  (1.110) и  $7^3(42 = E_c)$  (1.113), где возникают взаимодействия света, которую Книга Мертвых трактует как **10 Божеств в области шеи**:  $E_{ш} = 10 \equiv \rho_5$ .

**Обожествлённые Даосянами потенциалы** возникают из цис-транс изомерии **Солнечного ветра**, сгущение которого в сером веществе головного мозга формирует левое и правое полушария с потенциалами  $\pm 29$ ; а также цис-транс изомерию сердца с потенциалами  $\pm 21$ , и шеи с потенциалами  $\pm 5$ .

Цис-транс изомерическая пульсация полушарий головного мозга и предсердие сердца возмущает окружающую среду, **в том числе потоки крови**, которая пульсирует между мозгом и сердцем, **проходя через шею**.

Пульсирующая и совершающая поступательное движение кровь создает между шеей и головным мозгом интегральную разность потенциалов в пределах от 10 до 58, а между шеей и сердцем в пределах от 10 до 42.

**Разность интегральных разностей между головой и сердцем точно соответствует потенциалу Небес - Цинь**, а сумма, деленная на удвоенную разность, дает потенциал-эквивалент эндо- экзотермических взаимодействий Природы в пульсирующем Космосе (табл.1.27).

Таблица 1.27

**Пульсация возмущенной среды (крови) у Человека**

Компоненты	Головной Мозг		Сердце		Шея	
Потенциалы изомерии	Цис +29	Транс -29	Цис +21	Транс -21	Цис +5	Транс -5
Разности	E <sub>Г</sub> * = 58		E <sub>с</sub> = 42		E <sub>ш</sub> = 10	
Возмущенная среда	$\int\limits_{10}^{58} \varphi d\varphi - \int\limits_{10}^{42} \varphi d\varphi = 32$			$\int\limits_{10}^{58} \varphi d\varphi + \int\limits_{10}^{42} \varphi d\varphi = 103 \cdot 32$		
	Цинь					
Отношение к Тянь	$(32+103 \cdot 32) : 2 \cdot 32 = 52 \equiv \lg \frac{\rho_3 \rho_4 \rho_5}{\rho_1 \rho_2}.$ Тянь.					

В этом цикле переноса энергии сгусток нашего тела **Тянь** формируется за счет цис-транс изомерии **Цинь** (табл.1.27):

Психическая энергия <b>Цинь</b>	Цинь: $\pm \left( \int_{10}^{58} \varphi d\varphi - \int_{10}^{42} \varphi d\varphi \right) = \pm 32$	(1.114)
Энергия тела <b>Тянь</b>	Тянь: $\pm [32 - (-32) = 64]$	
Отношения	$\frac{\text{Цинь}}{\text{Тянь}} = \frac{1}{2} = \frac{\text{Кинетическая Энергия}}{\text{Потенциальная Энергия}}$	

Наша наука, то есть наука современного Носителя Разума на Земле, экспериментально зафиксировала, что потенциальная энергия в два раза больше кинетической. Однако понять **причины, почему это так**, не может. Поэтому изомерия существует сама по себе, а потенциально-кинетические отношения тоже сами по себе.

\*\*

Являясь **Живым Магнитом**, и сосуществуя с гравитационным и электрическим полями, мы, как и всё Живое, состоим из биоклеток, которые размножаются митозом, то есть деление биоклеток пополам.

Митоз, как и **любое исторгающее усилие рождения нового**, является **взрывом** и связан с резонансно - антирезонансным переходом в сингулярной области поля:

Резонансно-антирезонансная сингулярность зарядов-импульсов						
Режим	Резонанс			Антирезонанс		
Поле	Грави- тация	Магне- тизм	Электри- чество	Грави- тация	Магне- тизм	Электри- чество
Потен- циалы	$\frac{0}{\sqrt{\rho\rho^*}}$	$\frac{0}{\sqrt{\mu\mu^*}}$	$\frac{0}{\sqrt{qq^*}}$	$\frac{0 \Leftrightarrow}{\sqrt{\rho\rho^*}} = 28$	$\frac{0 \Leftrightarrow}{\sqrt{\mu\mu^*}} = 14$	$\frac{0 \Leftrightarrow}{\sqrt{qq^*}} = 16.$

(1.115)

Появление логарифмических колебаний в резонансном поле охватывает бесконечность Космоса, так как  $\log_a 0 \equiv \infty$ , и в то же время гравитационные, магнитные и электрические потенциалы являются логарифмами соответствующих взаимодействий (1.115, табл.1.28).

Таблица 1.28

**Трансформация в магнетизм поля Космоса**

Поля	Гравитационное	Магнитное	Электрическое
Потенциалы	$\sqrt{\rho\rho^*} = 28 \equiv$ $\log_{\sqrt{2}} \sqrt{2}^{28}$	$\sqrt{\mu\mu^*} = 14 \equiv$ $\sqrt{\log_{\sqrt{2}} \sqrt{2}^{28}}$	$\sqrt{qq^*} = 16 \equiv$ $\sqrt{2}^8 \equiv T_0^2$
Пояснения	$\sqrt{2}^{28}$ - произведение элементов великой Пирамиды: $\sqrt{2} \cdot \sqrt{2}^2 \cdot \sqrt{2}^3 \cdot \sqrt{2}^4$ $\cdot \sqrt{2}^5 \cdot \sqrt{2}^6 \cdot \sqrt{2}^7$	$\sqrt{2}^{14}$ - корень квадратный из произведений элементов великой Пирамиды	$\sqrt{2}^8$ - Продолжительность сингулярного взрыва
Скорости трансформации	$V_\Gamma \equiv \frac{\sqrt{2}^{28}}{\sqrt{2}^8} = \sqrt{2}^{20}$	$V_M \equiv \frac{\sqrt{2}^{14}}{\sqrt{2}^8} = \sqrt{2}^6$	$V_\Sigma \equiv \frac{\sqrt{2}^8}{\sqrt{2}^8} = 1$
Появление магнетизма	$\log_{\sqrt{2}} \frac{V_\Gamma}{V_M} = \log_{\sqrt{2}} \frac{\sqrt{2}^{20}}{\sqrt{2}^6} = \log_{\sqrt{2}} \sqrt{2}^{14} = 14 \equiv \sqrt{\mu\mu^*}.$		

\*\*

Магнетизм в сингулярном поле Хаоса после взрыва проявляет себя в том, что создается два магнитных полюса: **положительный и отрицательный** (северный и южный).

Потенциалы этих полей возникают за счет влияния пульсирующего Космоса. Эти полюса в Пространстве принадлежат гиперболе (рис.1.11).

<b>Характеристика полюса гиперболы после взрыва [6]</b>			
Полуоси	Эксцентриситет	Фокус	Фокальный параметр
$a = 2;$ $b = 1$	$\tau = \sqrt{1 + b^2 / a^2}$ $= \sqrt{1 + 1 / 2^2} =$ $\sqrt{5} / 2$	$-\infty, 0;$ $0, a^2 \equiv$ $2\sqrt{5} / 2 = \sqrt{5}$	$\rho = b^2 / a =$ $\frac{1}{2} \equiv \int_0^1 \varphi d\varphi.$

(1.115)

Ранее мы приняли (рис.1.9), что гравитационное поле движется по оси  $Z \equiv \sqrt{\rho\rho^*} = 28$ , магнитное поле по оси  $Y \equiv \sqrt{\mu\mu^*} = 14$ , а электрическое поле по оси  $X \equiv \sqrt{qq^*} = 16$ . Однако сингулярный взрыв и, наступивший за ним магнетизм антирезонансного Хаоса (табл.1.28) разделит магнитную компоненту на два противоположно направленных полюса с координатами  $\pm y_1 \equiv \pm 7$ :

<b>Митоз магнитного поля пульсирующим Космосом</b>				(1.116)
Состояние	В поле Равновесия	В поле Гармонии	В поле Хаоса	
Потенциалы	$y = \sqrt{\mu\mu^*} = 14$	$y_1 = y \int_0^1 \varphi d\varphi = 7$	$-y_1 = y \int_1^0 \varphi d\varphi = -7$	

После митоза в поле Хаоса возникает потенциал  $y_1 = -7$ . Но Хаос, как состояние среды, присущ ядерному веществу (ядру в фокусе гиперболы).

Энергетическую форму поля в условиях Хаоса мы можем определить из уравнения гиперболы, как для электрического, так и для гравитационного полей в магнитном поле (табл.1.29).

Таблица 1.29

**Электро-гравитационное равновесие в магнитном поле**

Поля (1.116)	Электромагнитное	Магнито-гравитационное
$y_1^2 = (-7)^2 = +7^2$ $a^2 = 2^2; b^2 = 1$ $x^2$ - электрическое поле $z^2$ - гравитационное поле	$1 = \frac{x^2}{a^2} - \frac{y^2}{b^2}$ $1 = \frac{x^2}{2^2} - \frac{(-7)^2}{1^2}$ $x^2 = (1+49) \cdot 2^2 = 200$	$1 = \frac{z^2}{a^2} - \frac{y^2}{b^2}$ $1 = \frac{z^2}{2^2} - \frac{(+7)^2}{1^2}$ $z^2 = (1+49) \cdot 2^2 = 200$

В поле электро-гравитационного равновесия (табл.1.29) вокруг оболочки магнитного сгустка  $y^2 = 49$  возникают резонансно - антирезонансные колебания электро-гравитации.

Приведенный потенциал пульсации электро-гравитации	
$x^2 = 200$ - электричество $z^2 = 200$ - гравитация	$\frac{\text{резонанс}}{\text{антирезонанс}} \equiv \frac{x^2 \cdot y^2}{x^2 + y^2} \equiv 10^2 \Leftrightarrow (1.117)$ $10^{-2} \equiv \frac{x^2 + y^2}{x^2 \cdot y^2} \equiv \frac{\text{антирезонанс}}{\text{резонанс}}.$

Эти колебания света ( $\rho_5^2 = 10^2$ ) и слабых взаимодействий ( $\rho_2^2 = 10^{-2}$ ) приводит к появлению в электрогравитационных полях, например, **чакры Третий Глаз**, биотока силой  $10^{-4}A$  и индукции с потенциалом  $10^4 1/A$ .

В поле биотока и биоиндукции сама магнитная чакра будет пульсировать как **Небеса-Цинь**, то есть с частотой, равной 50, обожествленной Каббалой как Бог Айн СОФ [3].

Однако **никакой Божественности в этом процессе нет**: оболочка магнитного кванта с потенциалом 49 пульсирует и излучает равновесный квант в окружающую среду. Сумма  $50 = 1+49$ .

\*  
\*\*

Электрогравиомагнетизм является той средой, где в Хаосе антирезонансных сингулярных колебаний происходит расщепление магнитного поля пополам (табл.1.30).



**Распределение электрогравитации  
при Хаосе магнетизма**

Поля	Гравитационное	Магнитное (деление)	Электрическое
Колебания: общий контур	$0 \Leftrightarrow \sqrt{\rho\rho^*} = 28$	$\frac{1}{2}\sqrt{\mu\mu^*} \Leftrightarrow$ $0 \Leftrightarrow \frac{1}{2}\sqrt{\mu\mu^*}$	$16 \Leftrightarrow \sqrt{qq^*} \Leftrightarrow 0$
	$0 \Leftrightarrow 28$	$\Leftrightarrow 7 \Leftrightarrow 0 \Leftrightarrow -7$	$\Leftrightarrow 16 \Leftrightarrow 0$
Вне магнетизма	$0 \Leftrightarrow 28 - 7$	$\Leftrightarrow 0 \Leftrightarrow 0 \Leftrightarrow 0$	$\Leftrightarrow 16 + 7$
Электро- гравитация	$\pm 21 \Leftrightarrow 723$		
Распределение	$44 \Leftrightarrow 0$ $2 \Leftrightarrow 0$	$\Leftrightarrow 0 \Leftrightarrow 0 \Leftrightarrow 0$ $\Leftrightarrow 0 \Leftrightarrow 0 \Leftrightarrow 0$	$\Leftrightarrow 0 \Leftrightarrow 44$ $\Leftrightarrow 0 \Leftrightarrow 2.$

Хаос в магнитном поле влечет за собой перераспределение энергии в соседних полях: гравитационном и электрическом (табл.1.30).

Полный Хаос наступает тогда, когда в магнитном поле появляется ШЕСТЬ ноль-потенциалов, а в гравитационном и магнитном по два.

Всего десять ноль-потенциалов (табл.1.30).

**Появление десяти ноль-потенциалов говорит не о том, что энергия исчезла, а описывает ситуацию, когда десять резонансных состояний в поле эффективности взаимодействия света  $\rho_5 = 10$  трансформировались в десять антирезонансных состояний:**

Эффективность взаимодействия света: трансформация резонансных состояний в антирезонансные			(1.118)
Режим	Резонанс	Антирезонанс	
Потенциалы: E <sub>к</sub> - в конце процесса и E <sub>н</sub> - в начале	$\rho_5 = 10 \equiv 10 \left( \frac{E_K}{E_H} = 1 \right)$ E <sub>к</sub> = E <sub>н</sub>	$\rho_5 = 10 \equiv$ $10 \cdot (0 \equiv E_K - E_H)$ E <sub>к</sub> = E <sub>н</sub> .	

Появление в магнитном поле антирезонансных полей ноль-потенциалов ставит крест на мечтах академиков от науки о создании термоядерного реактора: **магнитное поле никогда не сможет удержать электрическое.**

Это плохо для академиков, но хорошо для социума Земли, ибо социум сосредоточит своё внимание на мета-галактических волнах, как на неисчерпаемом источнике энергии.

\*\*

Появление в поле эффективности взаимодействия света десяти антирезонансных нулей (1.118) создаст среду для экстрасенсорной, телепатической передачи информации.

Скорость такой передачи информации в  $10^{40}$  раз быстрее света, и там, где свет летит год, сверхсветовые волны проходят путь за доли секунды.

Передача информации с помощью сверхсветовых волн известна и используется великой Цивилизацией.

Для создания системы связи на сверхсветовых волнах великая Цивилизация использовала прохождение через ноль-потенциалы магнитного поля гравитационных и электрических квантов (табл.1.30), или наоборот: прохождение магнитных квантов через ноль-потенциалы гравитационных или электрических полей.

В этом случае приведенный антирезонансно-резонансный потенциал оказывается равен:

<b>Приведенный антирезонансно-резонансный потенциал (табл.1.30)</b>	(1.119)
$\frac{\text{Антирезонанс}}{\text{Резонанс}} \equiv \frac{44^2 - 2^2}{44 \cdot 2} = 23$	
$\text{Пульсация} : 23 \pm 1. \text{Среда} : \int_{23-1}^{23+1} \varphi d\varphi = 46.$	

Верхний предел пульсирующего поля среды равен 24 и является потенциал - эквивалентом 24 Пресвятых Престола, окружающих Трон Иисуса Христа на Небе (**Откровения**. Иоанн Богослов).

Нижний предел пульсирующей среды равен  $23-1=22$  (1.119) и  $44 : 2 = 22$  (1.118), и в то же время великая Цивилизация научила Авраама передавать информацию с помощью 22 букв (**Тора**).

**Авраам связал дух двадцати двух букв своим языком, и Бог открыл ему секреты их. Бог позволил буквам раствориться в воде. Он сжег их на огне, развеял по ветру. Он распределил их среди семи планет и отдал их двенадцати знакам Зодиака ([3], стр.424).**

Я об этом уже писал.

## Глава 2

### Человек на Земле

#### 2.1 Информатика и реинкарнация

Земля живая. Человек на Земле живой. В глубинах вод и атмосфере, на суше и в почвах литосферы Земли бушует Жизнь.

**Капли Жизни, сливаясь, создают Океан Жизни.**

Источником Жизненной Энергии, Корнем Жизни, являются **метagalактические волны Тонкой гравитационной Энергии**, которую наша наука отвергает как метафизику, но которая, тем не менее, даёт Жизнь академикам.

Сгущаясь, метagalактические волны образуют жидкую лазерную плазму ядерного вещества: **экзо- и эндотермического.**

**Жизнь** возникает в **комбинированной** эндо- экзо-термии ядерного вещества.

**Жизнь до и после Жизни** переходит в эндотермию **Космоса Невесомости**, оставляя для гниения на Земле смертные хладные бранные останки биологических объектов в оболочках.

Биологическая смертная Жизнь подобна пульсирующему полю **света**, в котором есть и оболочка с потенциалом **шесть** и внутренняя **пятиуровневая ядерная среда Пятеричного Лха.**

\*  
\*\*

Биологическая Жизнь в живом пульсирует подобно свету в резонансно-антирезонансном режиме.

**Пять уровней внутреннего поля Жизни**, как и Пять уровней внутреннего поля света, пульсирует во взаимодействиях света с эффективностью, равной  $\rho_5 = 10$ .

**Максимальный потенциал пульсации пяти уровней полей ядерного вещества света повторяется во всём.** Эту пульсацию трудно не заметить и авторы литературы по каббалистической космогонии обожествили максимальный резонансный потенциал  $(T_0+1)\rho_5 = 50$ , как вездесущего Бога Айн СОФ ([3], стр.438).

Но авторы Каббалы брали за первоисточник Книгу Дзиан, в которой пять уровней сжатого поля расшифровывались: **"Фохат делает пять продвижений..."** ([1]. Космогенезис).

\*\*

Энергетика колебаний внутреннего поля эндо-экзотермического ядра поля света может быть рассчитана без обожествления энергетических форм (табл.2.1).

Таблица 2.1

**Пульсация лазерного ядерного вещества внутреннего поля света и пятеричной энергии связи в нём  
(Основа фотосинтеза и биологической Жизни)**

	Контурь
Поля	Неравновесные контурь колебаний
Внутреннее поле света	$\frac{\text{Резонанс}}{\text{Антирезонанс}} \equiv \frac{1 \cdot 2 \cdot 3 \cdot 4 \cdot 5}{1+2+3+4+5} = \frac{120}{15} = 8 \Leftrightarrow \frac{1}{8} \equiv \frac{\text{Антирезонанс}}{\text{Резонанс}}$
<b>Бог Айн СОФ</b> [3]	$5 \cdot \rho_5 = 50 \Leftrightarrow 1/50 = 1/5 \cdot \rho_5$ и $50 \equiv \lg \frac{\rho_3 \rho_4}{\rho_5}$ Пульсация Пятого Уровня в поле света
<b>Пять Продвижений Фохата</b> [1]	$\left(\frac{120}{15} = 8\right) \rho_5 = 80 \Leftrightarrow \frac{1}{80} \equiv \left(\frac{15}{120} = \frac{1}{8}\right) \rho_2^2$ Сжатие внутреннего поля света.

Неравновесные контурь колебаний внутреннего поля света (**Пять Продвижений Фохата**) имеют для биологической Жизни всеобъемлющее значение.

Великая Цивилизация, зная о всеобъемлющем значении для биологической пульсации внутреннего поля света, и обучая нас, ныне живущих на Земле, оставила нам Книгу Перемен, в которой сгусток-тело Тянь описывается 64 иероглифами, а тонкие соматические поля - двумя полусферами Небес – Цинь, имеющих по 32 иероглифа.

\*\*

Анализируя пульсацию внутреннего поля света с точки зрения **Пяти Продвижений Фохата** (табл.2.1), можно видеть, что Тянь и Цинь являются производными от этой пульсации (табл.2.2).

Таблица 2.2

**Природа возникновения и потенциалы пульсации  
Тянь и Цинь в условиях взаимодействия ядерного  
вещества света со светом (табл.2.1)**

Исходные колебания	Пять Продвижений Фохата (табл.2.1): $80 \Leftrightarrow 1/80$		
Поля	Сгусток – Тянь	Изомерия Небес – Цинь	
		Цис	Транс
Потенциалы Субстанций	$64 \cdot 10^2 \Leftrightarrow 1 \equiv \int_0^1 \varphi d\varphi - \int_0^1 \varphi d\varphi$	$64 \cdot 10^2 \int_0^1 \varphi d\varphi = 32 \cdot 10^2 \Leftrightarrow 1/2$	$64 \cdot 10^2 \int_1^0 \varphi d\varphi = -32 \cdot 10^2 \Leftrightarrow -1/2$
Потенциалы Тонкой Энергии ме- жду элемен- тами Суб- станции	$1 \Leftrightarrow 1/6400 = 1,5625 \cdot 10^{-4} = 56 \cdot 10^{-8} = 5^{-3} \cdot 2^{-8} = 1/2,5 \cdot 2^{-6} \cdot 10^{-2}$	$1/2 \Leftrightarrow 1/3200 \equiv 3,125 \cdot 10^{-4} = 2 \cdot 5^6 \cdot 10^{-8} = 2^{-5} \cdot 10^{-2}$	$1/2 \Leftrightarrow -1/3200 \equiv -2^{-5} \cdot 10^{-2}$
Кундалини сжатия в Рупе ( $T_0 = 4$ )	$\frac{(2^{-5} \cdot 10^{-2}) - (-2^{-5} \cdot 10^{-2})}{1/2,5 \cdot 2^{-6} \cdot 10^{-2}} = 2,5 \cdot 4 \equiv T_0 \cdot 2,5.$		

В пульсирующем эндо- экзотермическом внутреннем поле света, а затем во всех Тянь-Цинь инерционных системах Рупы, пульсирующей с периодичностью  $T_0 = 4$ , возникает спираль Кундалини сжатия, имеющей 2,5 оборота (табл.2.5).

\*\*

Кундалини сжимается в лазерной точке ядерного вещества света, пульсирующая с периодичностью  $T_0 = 4$ , является **источником** появления потенциал - эквивалента эффективности взаимодействия света:

Формирование эффективности света ( $\rho_3$ ) при сжатии Кундалини				
Кундалини в поле Рупы Арупы: при $T_0 = 4$ , $\tau = 3$ и $T_0\tau = 12$			Кундалини во внутреннем поле света	
Рупа	Рупа- Арупа	Арупа	Антирезонанс	Резонанс
$2,5 \cdot (T_0=4)$ $= 10 \equiv \rho_5$	$2,5 \cdot (T_0+\tau)$ $= 17,5$ $2,5 \cdot T_0 \cdot \tau =$ $30$	$2,5 \cdot (\tau=3)$ $= 7,5$	$1+2+3+4+5=15$ $\frac{25}{6}$	$1 \cdot 2 \cdot 3 \cdot 4 \cdot 5 = 120$ $\frac{2,5}{\equiv 8 \cdot 6}$
Сумма: $k_1=10+17,5+30+7,5=65$			Сумма: $k_2=6+8 \cdot 6=54$ .	

(2.1)

В этом всеобъемлющем поле Кундалини возникает разность потенциалов эквивалентная субструктуре биологической клетки при митозе (2.1):

$$\text{Субструктура } (9+2) \equiv k_1 - k_2 = 65 - 54 = 11. \quad (2.2)$$

Возмущенная пульсацией субструктуры  $(9+2)$  среда формирует перенос **информатива** размножение-деление биоклетки, а также перенос любой иной информации на волнах духа 22 букв Авраама ([3], 424):

$$\int_{11-1=10}^{11+1=12} \varphi d\varphi = \frac{1}{2}(12^2 - 10^2) = 22. \quad (2.3)$$

**Передача любой информации, возмущенной колебаниями источника излучения средой удваивает потенциал излучения (2.3). Это фундаментальный закон Единого Космоса, который я называю первым законом информатики.**

\*\*

Колебание сжатой Кундалини в инерционных системах Рупы формирует потенциал-эквивалент эффективности взаимодействия света  $\rho_5 = 10$  (2.1).

**Разность потенциалов колебаний сжатой Кундалини в Рупе и Арупе воспроизводит Кундалини сжатия (2.1):**

$$2,5 \cdot T_0 - 2,5 \tau = 2,5 \cdot 4 - 2,5 \cdot 3 = 10 - 7,5 = 2,5. \quad (2.4)$$

Резонансно - антирезонансная пульсация Кундалини сжатия **в совмещенном поле Арупа-Рупа** приводит к формированию потенциал - эквивалента **Первичному Лха** (2.1):

$$\frac{2,5 \cdot T_0 \tau - 2,5 \cdot (T_0 + \tau)}{2,5} = \frac{2,5 \cdot 12 - 2,5 \cdot 7}{2,5} = \frac{30 - 17,5}{2,5} = 5. \quad (2.5)$$

\*\*

Энергия пятеричной связи **пульсирует между полями Рупы сгустков и Арупы Космоса Невесомости.**

Возникает колебательный контур (табл.2.1):

$$50 \Leftrightarrow 1/50 \equiv 2 \cdot 10^{-2} \equiv 5^{-2} \cdot 2^{-1} \equiv 5^{-1} \cdot 10^{-1},$$

который связан с взаимодействиями ( $\rho_5 = 10$ ) света и слабыми взаимодействиями ( $\rho_2 = 10^{-1}$ ).



В поле ядерного вещества появляется Свечение Тонкой Энергии, которую в Книге Дзиан называют Пентаграмма в Яйце ([1,]. Космогенезис):

$$5 \cdot (\rho_5 = 10) \Leftrightarrow 1/5 \cdot (\rho_2 = 10^{-1}) \text{ и } 1 \Leftrightarrow 50^{\pm 2}. \quad (2.6)$$

**Колебания слабые взаимодействия свет** ( $\rho_5 \Leftrightarrow \rho_2$ ) в полях пятеричной связи (2.6) формируют логарифмические колебания оставшихся трёх взаимодействий:

$$50 \equiv \lg \frac{\rho_3 \rho_4}{\rho_1} \Leftrightarrow \lg \frac{\rho_1}{\rho_3 \rho_4} = \frac{1}{50}, \quad (2.7)$$

где  $\rho_1 = 10^{-34}$ ,  $\rho_3 = 10^{12}$ ,  $\rho_4 = 10^{14}$  соответственно эффективности гравитационного, электрического и ядерного **взаимодействия**.

Это поле взаимодействий (2.7) состоит из **дальнодействующих гравитационного и электромагнитного взаимодействий**, волны которых являются носителями информации, а также **короткодействующего ядерного взаимодействия**, с помощью которого информатив может быть **расщеплен на составляющие и дешифрован Носителем Разума**.

\*\*

Расшифровка передаваемого информатив (2.7) начинается **уже на уровне Подсознания**.

Математическое описание работы мозга на уровне Сознания связано с логарифмическими волнами, а на уровне Подсознания – непосредственно с эффективностями взаимодействий (табл.2.3).

В поле пульсации **Сознание  $\Leftrightarrow$  Подсознание** дешифровка информатива начинается на уровне Подсознания за счет сильных (ядерных) взаимодействий (табл.2.3):

**Формы информационных волн  
на уровне Сознания и Подсознания**

Формы энергии	Логарифмические волны	Эффективности взаимодействий
Приём информации	Сознанием	Подсознанием
Колебания неравновесных систем	$\lg \frac{\rho_3 \rho_4}{\rho_1} \Leftrightarrow \lg \frac{\rho_1}{\rho_3 \rho_4}$ $50 \Leftrightarrow 1/50$	$\frac{\rho_3 \rho_4}{\rho_1} \Leftrightarrow \frac{\rho_1}{\rho_3 \rho_4}$ $10^{50} \Leftrightarrow 10^{-50}$ .

<b>Дешифровка информатива ядерными взаимодействиями на уровне Подсознания</b>	
Дешифровка (Подсознание): взаимодействия	Прием информации (Сознание): логарифмические волны
$\rho_4^2 = \frac{\rho_1^2}{\rho_3^2} \Leftrightarrow \frac{\rho_3^2}{\rho_1^2} = \frac{1}{\rho_4^2}$ $10^{28} \Leftrightarrow \frac{10^{-48}}{10^{24}} \Leftrightarrow \frac{10^{24}}{10^{-48}} \Leftrightarrow 10^{-28}$	$\lg \rho_4^2 \Leftrightarrow \lg \rho_4^{-2}$ $28 \Leftrightarrow -28 \text{ (гравитация).}$

(2.8)

Прием информации Сознанием приводит к образованию разнонаправленных полей гравитации или лунных рядов (2.8):

$$\lg(r42 = 10^{\pm 28}) = \pm 28 \equiv \pm \sqrt{\rho \rho^*} \equiv \pm (1+2+3+4+5+6+7). \quad (2.9)$$

Дешифровка информации на уровне Подсознания сжимает поле до корня четвертой степени ( $T_0 = 4$ ).

$$\left| \begin{array}{cccc} \sqrt[4]{10^{28}} \Leftrightarrow \sqrt[4]{10^{-72}} \Leftrightarrow \sqrt[4]{10^{+72}} \Leftrightarrow \sqrt[4]{10^{-28}}; \\ 10^7 \Leftrightarrow 10^{-18} \Leftrightarrow 10^{18} \Leftrightarrow 10^{-7}. \end{array} \right| \quad (2.10)$$

Во взаимодействиях  $10^{\pm 7}$  возникает электромагнитная среда [9]:

$\varepsilon_0 = 10^7/4\pi c^2$  Ф/м и  $\mu_0 = 4\pi \cdot 10^{-2}$  Гн/м, (2.11)  
а логарифмические колебания при взаимодействиях  $10^{\pm 18}$  формируют воду с молекулярным весом 18 к.е.

\*\*

Прием - передача информации - это прием (поглощение) - передача (излучение) энергии.

Поэтому волны от излучателя могут быть врачующими, а могут быть губительными. Это зависит от частот излучаемых волн и от источника излучения.

Энергетический информатив может передаваться на любых частотах, например на частотах Пятиричного Лха:

$$\int_{5-1}^{5+1} \varphi d\varphi = \int_4^6 \varphi d\varphi = \frac{1}{2} \cdot (6^2 - 4^2) = 10 = \rho_5. \quad (2.9)$$

Проводящая информационная среда  $\varphi d\varphi$  увеличивает энергию информации вдвое. Эта удвоенная информация воздействует на приемное устройство, например, живое.

Энергия информатива, в какой бы форме она не передавалась (запах, свет, музыка, числа-цифры, буквы-слова, изображение и так далее), независимо от того, расшифрована она или нет, будет воздействовать на живое духовно-физиологически.

Например, пять тысяч лет назад китайцы приспособили **Книгу Перемен для гадания**, но оказалось, что Книга Перемен не только **предсказывает, но и влияет на Судьбу**. Такими же свойствами обладает любой излучатель.

Прием энергии Сознанием и Подсознанием замечательно описан в Книге Мертвых [7,8].

На шестой день пребывания в Бордо (эфир в Жизни после Жизни) перед душой умершего предстают 48 Грозных Божества из его чистого сердца. В этот момент душа теряет координацию в Пространстве.

Потеря душой координации в Пространстве связано с изменением формы информации из окружающей среды: восприятие информации Сознанием исчезает (2.8). Логарифмические волны с гравитационным потенциалом  $\pm 28$  душа принимать не приспособлена: нет жидкой среды, нет гравитации, нет координации.

В этот период **шести дней** душа воспринимает информацию **на уровне Подсознания** с помощью взаимодействий (2.8).

На седьмой день эфир Бордо ( $\rho_4^{-2} = 10^{-28}$ ) **начинает сгущаться.**

В Зародыше Капли эфира Бордо души, то есть **Капли Жизни до Жизни** информатив взаимодействует в Подсознании, сменяется **способностью воспринимать логарифмические волны** (2.8). **Восстанавливается Сознание. Появляется координация, мысль, память, воображение.** Душа начинает думать, вспоминать, воображать, переживать.

**Дракон Мудрости - воображение** начинает мучить душу, показывая ей **страшные картинки**, восстановленные памятью души; картинки из ушедшей Биожизни.

Это поток информации души, продолжающейся с седьмого по сорок девятый день, формирует взаимодействия вызывающие эмоции (2.10):

$$\lg \sqrt[7]{10^{28}} = 7 \quad \text{и} \quad \lg \frac{\rho_3 \rho_4 \rho_2}{\rho_1} = 49. \quad (2.13)$$

На 49-й день у души появляется Оболочка, но окружающая среда эфира Бордо возмущается, создавая интегральную разность потенциалов (2.13):

$$\int_7^{49} \varphi d\varphi = \frac{1}{2}(49^2 - 7^2) = \frac{7^2}{2}(7^2 - 1) \equiv 7 \cdot \frac{7}{2} \cdot 48 \equiv 7^2 \cdot 24. \quad (2.14)$$

\*\*

Поле, в котором оказалась душа в **Жизни после Жизни** - это поле Арупы (вне Формы), в котором выбор новой Жизни душой связан с переходом от мысли к воображению ( $\rho^* \rightarrow q^*$ ), то есть с обратной пальмой, равной  $q^*/\rho^* = 4/7$ .

Под влиянием воображения поле (2.14) изменится и станет равным (2.14):

$$D \equiv \frac{q^*}{\rho^*} \int_7^{49} \varphi d\varphi = 7^2 \cdot 24 \cdot \frac{4}{7} = 24 \cdot 28. \quad (2.15)$$

В душе появляется **гравитация** (потенциал 28) и **Святой Дух** (потенциал 24). Душа вновь рождается в Био-Жизнь, где потенциал среды равен пальме (2.15).

$$D \cdot \left( \frac{7}{4} \equiv \sqrt{\frac{\rho\rho^*}{qq^*}} \right) \equiv 24 \cdot 28 \cdot \frac{7}{4} \equiv 42 \cdot 28. \quad (2.16)$$

**В твоём новом и чистом Сердце вновь появятся 42 Божества: береги их, ибо ты приходишь в материальный мир для того, чтобы Любить и быть Любимым.**

## 2.2 Взаимодействия и их логарифмические волны: связь Сознания и Подсознания Единого Космоса

Доказательством того, что на уровнях **Сознания и Подсознания** трансформация одних форм энергии в другие протекают по-разному (2.1, табл.23) является **медитация**.

**Эффективная медитация протекает на уровне Подсознания при отсутствии обдумывания процесса.**

При медитации на уровне Подсознания эффективность процесса будет связана с взаимодействиями  $10^{\pm 50}$  (табл.2.3).

**Проявление Сознания при медитации снижает эффективность трансформации энергии до логарифма от числа - потенциала эффективности медитации на уровне Подсознания (табл.2.3).**

**Эффективность медитации на уровне Подсознания и Сознания связаны между собой как Число с логарифмом с основанием по этому числу (табл.2.3):**

Трансформация энергетических форм при медитации			(2.17)
Подсознание	Область перехода	Сознание	
$10^{\pm 50} \equiv a^{\pm 50}$ , где 10 и а - основания логарифма	$\leftarrow k_l = 10^{\pm 50} / a^{\pm 50} \rightarrow$ $\leftarrow a^{\pm 50} / 10^{\pm 50} \rightarrow$	$\pm 50(\log_a a \equiv \lg 10 \equiv \dots)$ логарифм по основанию 10 и а.	

\*\*

Великая Цивилизация знала, что трансформация энергетических форм, начатая волной-частицей света, находит своё завершение на уровнях Сознания-Подсознания (2.17).

Любые процессы трансформации одних форм энергии в другие во всей их множественности в Едином Космосе являются **Подобием механизма трансформации между Подсознанием и Сознанием.**

**Подобие** механизма трансформации в любых энергетических процессах трансформации между Сознанием и Подсознанием великая Цивилизация **ввела в свою Науку.**

С помощью Числа, взятого в основание логарифма, Наука великой Цивилизации определяла состояние **резонансного равновесия** с потенциалом, равным единице:

<b>Метод определения резонансного равновесия</b>	(2.18)
$\log_a a = \lg 10 = \ln e = \log \sqrt{2} \sqrt{2} = \dots = 1.$	

Антирезонансное равновесие с потенциалом, равным нулю, определялось как логарифм 1:

<b>Метод определения антирезонансного равновесия</b>	(2.19)
$\log_a 1 = \lg 1 = \ln 1 = \log \sqrt{2} 1 = \dots = 0.$	

Применение логарифмического метода для определения антирезонансного потенциала (2.19) применимо для любого числа - потенциала, так как логарифм единицы при любом основании логарифма равен нулю (2.19).

Поле вокруг ноль - потенциала трансформируется в бесконечность поля, например экстрасенсорной проводимости Единого Космоса:

<b>Хаос в бесконечности Космоса</b>	(2.20)
$\log_a 0 = \lg 0 = \ln 0 = \log \sqrt{2} 0 = \dots = \infty.$	

**Всякая система, выведенная из состояния равновесия, стремится вернуться в состояние равновесия. Это энергетический закон. Но сущность этого закона связана с движением Космоса, которое периодически создает равновесные и неравновесные пульсирующие системы.**

При логарифмических колебаниях резонансно-антирезонансные равновесия определяются по формулам (2.18, 2.19).

Возникновение неравновесия связано с появлением показателя степени у числа (2.18):

<b>Неравновесные системы логарифмических колебаний</b>	(2.21)
$\log_a a^n = \lg 10^m = \ln e^{-k} = \log_{\sqrt{2}} \sqrt{2}^{-n} = \dots =$ $n + m + (-k) + (-n) + \dots$	(2.21)

При использовании метода логарифмического расчета неравновесных систем **ЧИСЛА - ОСНОВАНИЯ** логарифмов раскладываются на простейшие множители.

В качестве примера возьмем тетраксис Пифагора или тетраграмматон Каббалы [3], в которых число знаков в треугольниках равно десяти и эквивалентно эффективности взаимодействия света:  $10 \equiv \rho_5$ .

Определим потенциал логарифмических колебаний этого относительно гармонических колебаний с потенциалом  $\sqrt{2}$ , и учитывая равновесие в полях Тонких Энергий (табл.2.4).



**Формирование полуэллипса Свечения  
от генератора Тонких Энергий**

Ряд по $\rho_5$	Множители	Логарифмические потенциалы	Изомерия	
			Цис	Транс
1 равновесие	$1 = i^4$	$\log_i i^4 = 4$	4	-4
2 взаимо- действия	$2 = \sqrt{2}^2$	$\log_{\sqrt{2}} \sqrt{2}^2 = 2$	2	-2
3 Арупа	–	$\log_3 3 = 1$	1	-1
4 Рупа	$4 = \sqrt{2}^4$	$\log_{\sqrt{2}} \sqrt{2}^4 = 4$	4	-4
5 Связь	–	$\log_5 5 = 1$	1	-1
6 Кундалини	$6 = \sqrt{2}^2 \cdot 3$	$\log_{\sqrt{2}} \sqrt{2}^2 + \log_3 3 = 3$	3	-3
7 Арупа-Рупа	–	$\log_7 7 = 1$	1	-1
8	$8 = \sqrt{2}^6$	$\log_{\sqrt{2}} \sqrt{2}^6 = 6$	6	-6
$9 \equiv (9+0)$	$9 = 3^2$	$\log_3 3^2 = 2$	2	-2
$10 \equiv \rho_5$	$10 = \sqrt{2}^2 \cdot 5$	$\log_{\sqrt{2}} \sqrt{2}^2 + \log_5 5 = 3$	3	-3
Сумма логарифмов = 27			27	-27.

В этом поле (табл.2.8) сумма энергетического ряда в поле взаимодействий равна 55:

$$1+2+3+4+5+6+7+8+9+10 = 55. \quad (2.22)$$

Потенциал 55 формирует Семеричных Космических энергетических процессов, создавая десятичные гравитационные и магнитные поля в Каплях Жизни:

$$7 = \frac{385}{55} = \frac{1^2 + 2^2 + 3^2 + 4^2 + 5^2 + 6^2 + 7^2 + 8^2 + 9^2 + 10^2}{1+2+3+4+5+6+7+8+9+10} \equiv \frac{\text{магнетизм}}{\text{гравитация}}. \quad (2.23)$$

Это (2.23) значит, что космическая информация, носителем которой являются **сверхсветовые гравитационные волны, расщепляется в Недрах Капли-Нейрона.**

Возникает магнитное поле (2.23). появляется космическая **Память о Будущем.**

\*  
\*\*

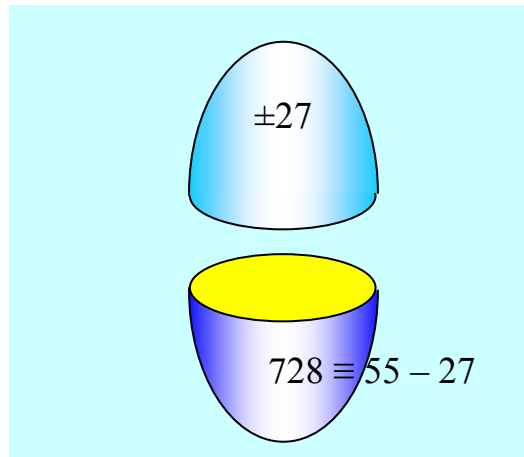
Вместе с космической Памятью о Будущем, возникающим на уровне Подсознания, возникают и логарифмические потенциалы оживающего Сознания (табл.2.4). появляются цис-транс изомерические поля с потенциалами  $\pm 27$  (табл.2.4). возникает разность потенциалов, создающая гравитацию:

Возникновение гравитации в Тонких Энергиях Свечения		
Логарифмические колебания (табл.2.4)	Изомерия	
	Цис	Транс
	27	−27
Гравитационное поле в Свечении от генератора Тонкой Энергии (рис.2.1)	$28 = (1+2+3+4+5+6+7+8+9+10=55) - 27 = 28.$	

(2.24)

До появления логарифмических колебаний разность и сумма потенциалов Цис-транс изомерических полуэллипсов тонкоэнергетического свечения от генератора Тонкой Энергии (рис.2.1) соответственно равны:

$$(28 - 27 = 1); \quad (28 + 27 = 55); \quad (28^2 - 27^2 = 55). \quad (2.25)$$



Потенциал десятичного гравитационного ряда (2.22) сохраняется как при сумме, так и при квадратах разностей потенциалов полуэллипсов Свечения (рис..2.1).

*Рис.2.1 К возникновению гравитации в Свечении Тонких Энергий*

**В полях равновесия типа  $(n+1) - n = 1$  сумма потенциалов будет равна их разности квадратов:**

$$[(n+1) - n = 1] \times [(n+1) + n] = (n+1)^2 - n^2. \quad (2.26)$$

\*\*

Поле Свечения от генератора Тонкой Энергии является полем перехода, в котором поступающая энергия во внутреннем поле свечения трансформируется взаимодействиями (Подсознание), а на поверхности – логарифмическими колебаниями (Сознание) (рис.2.1, табл.2.3).

Причем распределение взаимодействий во внутреннем поле и логарифмических колебаний на поверхности этого поля происходит на каждом уровне (табл.2.5).

Энергетическая закономерность трансформации энергии в объеме ядерного вещества сгустка и на его поверхности (табл.2.5) распространяется по всем уровням и дает возможность рассчитать потенциалы поля Свечения (рис.2.1, табл.2.6).

Таблица 2.5

**Логарифмические переходы границ потенциальных ям  
сгустков, в объеме которых происходят  
взаимодействия в ядерном веществе**

Номера уровней	1		2		...	n = 1,2,3...∞	
Структура уровней	Объем	Поверхность	Объем	Поверхность		Объем	Поверхность
Потенциалы	$\rho_5 = 10$	$\lg \rho_5 = 1$	$\rho_5^2 = 10^2$	$\lg \rho_5^2 = 2$		$\rho_5^n = 10^n$	$\lg \rho_5^n = n$
Характер процессов	Взаимодействия	Логарифмы	Взаимодействия	Логарифмы		Взаимодействия	Логарифмы.

Таблица 2.6

**Потенциалы Тонко-энергетического Свечения (рис.2.1)  
и "атмосферы" над ним (табл.2.5)**

Форма поля		Структура поля		
		В объеме сгустка	На поверхности сгустка	Вид взаимодействий и их связь
Свечение (рис.2.1)	Гравитация (Рупа)	$10^{28} \Leftrightarrow 28 = \lg 10^{28}$		$10^{28} \equiv \rho_4^2$ ядерное
	До гравитации (Арупа)	$10^{27} \Leftrightarrow 27 = \lg 10^{27}$		$10^{27} \equiv \rho_4^2 \cdot \rho_2$ короткодействие слабых и сильных взаимодействий
"Атмосфера" над Свечением	Рупа	$28 = \sqrt{2}^4 \cdot 7 \Leftrightarrow 5 = \log_{\sqrt{2}} \sqrt{2}^4$ $\log_5 5 = 4+1$		Священный треугольник Строителей: $5^2 - 3^2 = 4^2 \equiv T_0^2$
	Арупа	$27 = 3^3 \Leftrightarrow 3 \equiv \log_3 3^3$		

Распределение потенциалов по объему и поверхности сгустка ядерного вещества указывает на то, что в объеме сгустка трансформация одних форм энергии в другие происходит практически мгновенно с периодичностями, обратными по величине потенциалу ядерного вещества (табл.2.6). возникают цепные реакции ядерного взрыва:

<b>Ядерные процессы в объеме сгустка</b>				(2.27)
Потенциалы	Продолжительности	Полукритический антирезонанс	Критический резонанс	
$10^{28}$ $10^{27}$	$\tau_i = 10^{-28}$ $\tau_i^* = 10^{-27}$	$10^{28} \cdot \tau_i = 1$ + $10^{27} \cdot \tau_i^* = 1$	$10^{28} \tau_i \cdot 10^{27} \tau_i^* = 1^2 = i^8$	

Ядерный взрыв происходит тогда, когда две полукритические массы сливаются в одну критическую и потенциал ядерного вещества становится резонансным, и равным  $i^8$  (2.24).

После резонансного ядерного взрыва логарифмические волны от взрыва становятся равновесными потенциалу расширяющейся Вселенной (2.24).

$$10^{28} \tau_i \cdot 10^{27} \tau_i^* = 1^2 \equiv i^8 \Leftrightarrow \log i^8 = 8 \equiv T_{oc}/\omega_o. \quad (2.28)$$

Ядерные взрывы, различные по мощности, происходят в недрах любых сгустков: микровзрывы в недрах элементарных частиц и ядрах атомов, макровзрывы в недрах астрономических тел планет, звезд и так далее. Земля – не исключение, и в её недрах ядра находятся не тяжелые металлы, а пульсирующая ядерная плазма с потенциалами  $10^{28}$  и  $10^{27}$  относительных единиц (2.27, табл.2.6).

**Устойчивость Бытия любых сгустков, в том числе и Земли, придаёт Продолжительность антирезонансной пульсации полукритических масс ядерного вещества (2.24)**

При нарушении равномерности пульсации полукритических масс в недрах любых сгустков, в том числе Земли, полукритический резонанс перейдет в критический и **отдельно взятый сгусток, например Земля, взорвётся.**

Взрыв Земли инициирует наша деятельность в области ядерной энергетики, так как **ядерная энергетика концентрирует расселение в природе радиоактивные элементы в ядерное топливо или оружейно-ядерные материалы.**

Проблему усложняет наше **неумение** перерабатывать в экологически чистые материалы ядерные отходы, а также непонимание того, что **складирование ядерных отходов**, например в заброшенных шахтах, будет вызывать землетрясения.

"Не преступи", "Будь с нами" - призывает великая Цивилизация и не дает взрывать нам атомные бомбы на Луне, а её НЛО **барражируют** над ядерными объектами Земли. Закулиса нашей Власти помалкивает.

## **2.3 Эволюция созидания Живых Магнитов: пульсация Кундалини в белковых телах**

Бытие флоры и фауны Земли, её живые обитатели Вод, Тверди и Небес находятся в "атмосфере" **над поверхностью ядра Земли** (табл.2.6).

Энергетическое поле **над Поверхностью Ядра Сгустка ("атмосфера")** - это поле логарифмических колебаний (табл.2.6).

В полях логарифмических колебаний: на поверхности ядра и в энергетическом поле над поверхностью возникают сначала разности потенциалов, затем среды, возмущенные пульсацией потенциалов (табл.2.6, табл.2.7).

**Энергетика поля поверхности ядра  
и "атмосфера" над ней**

Поля и их формы	Поверхность ядра		Атмосфера над ядром		Возмущение сред
	Рупа	Арупа	Рупа	Арупа	
Потенциалы (табл.2.6)	28	27	5	3	$2 \int_{27}^{28} \varphi d\varphi$
Разности (равновесие) и суммы	$28 - 27 = 1 \Leftrightarrow 5 - 3 = 2$ $28 + 27 = 55 \Leftrightarrow 5 + 3 = 8$				$\int_3^5 \varphi d\varphi =$ 39 - разность 71 - сумма
Возмущенная среда Арупы ( $\tau = 3$ )	$\frac{\int_1^{55} \varphi d\varphi - \int_2^8 \varphi d\varphi}{\tau} = 1008 + 20$				$39 + 71 =$ 110 Богов по Книге Мертвых.

Переход от поверхности ядра в среду над поверхностью возмущает эту среду, и **она начинает пульсировать между Хаосом и Гармонией** (табл.2.7):

Пульсация между Хаосом и Гармонией над поверхностью Капли ядерного вещества (табл.2.7)			(2.29)
	От Хаоса к Гармонии	От Гармонии к Хаосу	
Пульсация между Хаосом и Гармонией	$\frac{28-27}{5-3} = +\frac{1}{2} = \int_0^1 \varphi d\varphi$	$\frac{28-27}{3-5} = -\frac{1}{2} = \int_1^0 \varphi d\varphi$	
Взаимодействия	$\frac{5-3}{28-27} = +2 =$ $\lg \rho_1 \rho_2 \rho_3 \rho_4 \rho_5$	$\frac{+3-5}{28-27} = -2 =$ $\lg \rho_1 \rho_2^2 \rho_3 \rho_4$ света нет: нет $\rho_5$ .	

\*\*

Логарифмические потенциалы самой поверхности ядра и "атмосферы" над ней возмущают окружающую среду между ними (табл.2.7).

В поле взаимодействий возникают интегральные разности потенциалов (табл.2.7):

$$k_1 = 2 \cdot \int_{27}^{28} \varphi d\varphi = 55 \quad \text{и} \quad k_2 = 2 \cdot \int_3^5 \varphi d\varphi = 16. \quad (2.30)$$

На поверхности Капли ядерного вещества возникает источник излучения десятиуровневых полей гравитации и магнетизма при  $k_1 = 55$  (2.23); в атмосфере над поверхностью появляется **электрическое поле**:

$$k_2 = 16 \equiv \sqrt{qq^*}. \quad (2.31)$$

В пробужденном Сознании появляется Дракон Мудрости, то есть Воображение ( $q^*$ ):

$$q^* = \frac{(k_2 = 16)^2}{q} = \frac{16^2}{16 \cdot 10^{-20}} = 16 \cdot 10^{+20}. \quad (2.32)$$

В брэнном смертном теле возникает электрический заряд биотока ( $q$ ):

$$q = \frac{(k_2 = 16)^2}{q^*} = \frac{16^2}{16 \cdot 10^{20}} = 16 \cdot 10^{-20}. \quad (2.33)$$

\*\*

В Космосе Невесомости, где скорость света равна:

$$c = 300 \text{ тыс. км/с} \equiv 3 \cdot 10^{18} \text{ Å/с}, \quad (2.34)$$

а взаимодействия в Рупе и Арупе составляют соответственно:



Взаимодействия	
Рупа	Арупа
$\rho_p = \rho_5^{T_0} = 10^4 \equiv 10^4 A$	$\rho_A = \rho_5^{\tau} = 10^3 \equiv 10^3 A$ ,

(2.34)

возникают длины волн, равные:

Сине-голубые волны Рупы и Арупы в Космосе	
Рупа	Арупа
$\lambda_p \equiv \frac{qc}{\rho_p} \equiv$ $\frac{16 \cdot 10^{-20} A \cdot c \cdot 3 \cdot 10^{18} \overset{o}{A}/c}{10^4 A} \equiv$ $4800 \overset{A}{\text{\AA}}$	$\lambda_A = \frac{q^* c}{\rho_A} =$ $\frac{16 \cdot 10^{20} A \cdot c \cdot 3 \cdot 10^{18} \overset{o}{A}/c}{10^3 A} \equiv$ $48 \cdot 10^{42} \overset{A}{\text{\AA}}.$

(2.35)

Теоретики от квантовой механики хвастаются: **"Мы ответили на вопрос: почему небо синее?: Оно синее из-за дисперсности молекул в атмосфере"**

На мой взгляд, дисперсность - это частность. Глубинные процессы синевы Неба лежат в импульсах и взаимодействиях (2.35), ибо волна длиной в  $4800 \overset{A}{\text{\AA}}$  делит **сине-голубую область спектра** света и придает **синий цвет Небу**.

\*\*

В свою очередь импульс Дракона Мудрости [1], то есть Воображения ( $q^*$ ) несет сине-голубую точку души в Глубины Вселенной, где возникают логарифмические колебания (2.35):

Трансформация Воображения в Глубинах Космоса	
"Атмосфера"	Глубины Космоса
$48 \cdot 10^{42} \equiv 3 \cdot \sqrt{2}^8 \cdot \sqrt{2}^{84} \cdot 5^{42}$	$\Sigma \log_3 3 + \log_{\sqrt{2}} \sqrt{2}^{84+8} \log_5 5^{42}$ $=$ $1+84+8+42 = 135 = 27 \cdot 5.$

(2.36)

В Глубинах Космоса, в эфире Бордо Жизни до и после Жизни наше Воображение создает поле логарифмических колебаний, которое подобно **Пентаграмме в Яйце** (рис.2.1, рис.1.12), с потенциалом  $27 \cdot 5$  (2.36).

Переход нашего Воображения от резонанса к антирезонансу ( $27 \pm 5$ ) возмущает окружающую среду, создавая в ней интегральную разность потенциалов:

Антирезонанс воображения: 22 буквы Авраама			
$\left( \pm \int_5^{27} \varphi d\varphi = 352 \right) : (T_0^2 = 16) = 22 \equiv 2 \cdot (9 + 2)$			
Антирезонанс Воображения	Электрическое поле	Буквы Авраама	Субструктура митоза

(2.37)

\*  
\*\*

Разность между резонансным потенциалом Воображения, равного  $135 = 27 \cdot 5$  (2.32) и 22 буквами Авраама, то есть способность передавать информацию, равна **Библейскому Числу Человека, равного 113**:

$$(135 = 27 \cdot 5) - 22 = 113. \quad (2.38)$$

Физическая сущность потенциала Числа - Человека такова.

Периодическая система химических элементов, а затем человек формируется в условиях равновесия гравитационно-электрического поля:

<b>Равновесие гравито - электромагнитного поля</b>			
Общее	Электрическое	Магнитное	Гравитационное
$112 \equiv 7\sqrt{qq^*} = 7 \cdot 14 \equiv 8\sqrt{\mu\mu^*} = 8 \cdot 14 \equiv 4\sqrt{\rho\rho^*} = 4 \cdot 28.$			

(2.38)

Равновесное гравито-магнитоэлектрическое поле пульсирует  $112 \pm 1$ :

$$112 - 1 = 111 \Leftrightarrow 112 \Leftrightarrow 113 = 112 + 1. \quad (2.39)$$

Эта пульсация (2.39) возмущает окружающую среду. Появление пределов пульсации в свою очередь приводит к онвым колебаниям по восходящим и нисходящим энергетическим потокам (табл.2.8).

Таблица 2.8

**Физиологическая составляющая Человека  
в окружающей среде**

Поля	Среда обитания	Биологическая Жизнь	
		Восходящая	Нисходящая
Пределы	$112 \pm 1$	$113 \pm 1$	$111 \pm 1$
Окружающая Человека среда	$\int\limits_{112-1}^{112+1} \varphi \, d\varphi = 224$	$\int\limits_{113-1}^{113+1} \varphi \, d\varphi = 226$	$\int\limits_{111-1}^{111+1} \varphi \, d\varphi = 222$
Разность и отношение	$224 : (\Delta=4) = 56$	$\Delta = 226 - 222 = 4$	
Отношение к постоянной Вселенной	$\frac{28 \cdot 36 = 42 \cdot 24 = 1008}{56} = 18 \equiv$ Молекулярный вес воды. Жизнь возникла в воде		

В физиологическом поле человека на уровне  $111 - 1 = 110$  (табл.2.8) возникла **Духовная Составляющая**, которая в **Книге Мертвых говорит о Духовности Человека как о наличии у него 110 Божеств**. Наша задача выявить динамику изменения Духовности человека (табл.2.9).

В поле Духовности, *то есть в поле Тонких Энергий* диапазон колебаний *соответствует* (табл.2.7):

$$n \pm 2 \equiv n \pm (5 - 3 = 2). \quad (2.40)$$

В поле Духовности среда обитания 110 Божеств в человеке равна  $T_0 \cdot 110 = 440$ ; а сама Духовная **Жизнь** может быть как **Восходящей**, так и **Нисходящей**.

Разность между **духовными Восхождениям** и **Нисхождением** равна 16 и эквивалентна отношению потенциала Воображения (Дракона Мудрости [1]) к числу фотонов в пределах насыщения люминофора ( $10^{20}$  фотонов):

$$|10^{20} \Leftrightarrow q^* \equiv 16 \cdot 10^{20}| \rightarrow 1 \Leftrightarrow 16 \equiv \int_{110}^{114} \varphi d\varphi - \int_{106}^{110} \varphi d\varphi. \quad (2.41)$$

Переход от резонансного равновесия с потенциалом единица (2.41) к антирезонансному равновесию с ноль-потенциалом:

$$|1 \Leftrightarrow 16| \rightarrow |0 \Leftrightarrow 16-1 = 15 \equiv (q-\mu) \cdot 10^{20} \int_0^1 \varphi d\varphi \equiv \\ -(q-\mu) \cdot 10^{20} \int_1^0 \varphi d\varphi, \quad (2.42)$$

влечет за собой появление разности потенциалов между электрическими и магнитными полями в пульсирующем Космосе (2.42, табл.2.9).

Таблица 2.9

**Духовная составляющая Человека  
в окружающей среде**

Поля		Среда обитания 110 Божеств	Живое Духовное	
			Восходящее	Нисходящее
Пределы пульсации		$110 \pm 2$	$112+2 = 114$ $112-2 = 110$	$110+2 = 112$ $110-2 = 108$
Духовная среда		$\int_{110-2}^{110+2} \varphi d\varphi = 440$	$\int_{110}^{114} \varphi d\varphi = 448$ $k_1$	$\int_{108}^{112} \varphi d\varphi = 440$ $k_2$
Пульсация $\frac{1}{2} \Leftrightarrow 2$	В пульсации	$\pm 440 \int_0^1 \varphi d\varphi =$ $\pm 220$	$\pm 448 \int_0^1 \varphi d\varphi =$ $\pm 224$	$\pm 440 \int_0^1 \varphi d\varphi =$ $\pm 220$
	Во взаимодействии	$440 \cdot 2 = 880$	$448 \cdot 2 = 896$	$440 \cdot 2 = 880$
Результат	Разности	$880-220 = 660$	672	$880-220 = 660$
	Суммы	$880+220=1100$	$896+224=1120$	$880+220=1100.$

В этом поле пульсирующей **Духовности нашего Сознания** (табл.2.9) между восходящими и нисходящими потоками энергии при взаимодействиях возникает разность потенциалов, эквивалентная электрическим полям и  $T_o^2 = 16$  (табл.2.9):

$$\lg \rho_1 \rho_2 \rho_3 \rho_4 \rho_5 \left( \int_{110}^{114} \varphi d\varphi - \int_{108}^{112} \varphi d\varphi \right) = 2 \cdot (448 - 440) \equiv$$

$$16 \equiv \sqrt{qq^*} \equiv q \cdot 10^{20} \equiv q^* \cdot 10^{-20} \equiv T_o^2. \quad (2.43)$$

Важно отметить, что 108 - эквивалент числу реинкарнаций по Буддизму, а разность между числом Богов и Числом реинкарнаций соответствует логарифму произведения всех существующих в Природе пяти формам взаимодействий:

Взаимодействия, Книга Мертвых, Буддизм			(2.44)
Число Божеств	Число реинкарнаций	Взаимодействие	
110	–	108	
$= 2 \equiv \lg \rho_1 \rho_2 \rho_3 \rho_4 \rho_5.$			

\*\*

**Наша Духовность имеет реальные Корни в форме метagalактических волн Тонких Энергий**, поступающих в нейрон и биоклетку.

П пульсирующая Тонкая Энергия с разностью потенциалов  $880 - 220 = 660$  поступает в наш организм через пору ядра ядерной оболочки клетки (табл.2.9). Эти энергетические потоки формируют геометрию поры ядра и пора ядра ядерной оболочки, например амфибии (рис.2.2, [10]).

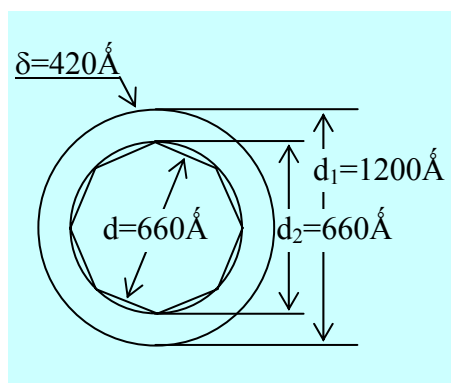


Рис.2.2 Пора ядра ядерной оболочки амфибии. Поперечное сечение

Геометрия этой поры приспособлена к приему тонкоэнергетических волн и связана с закономерностями пульсации Тонких Энергий:

❖ восьмигранник в поле ядра способствует приему и поглощению метagalактических волн, расширяющихся с коэффициентом Вселенной  $T_0 \cdot c / \omega_0 = 8$  (рис.2.2);

❖ толщина слоя поры, равная  $\delta = 420\text{\AA} \equiv 60 \cdot 7 \equiv 6 \cdot (T_0 + \tau) \cdot \rho_5$ , соответствует семеричной периодичности, с которой Солнечный Ветер (Кундалини, Оболочка кванта света) трансформируется светом (рис.2.2);

❖ расстояние между параллельными гранями восьмигранника, равное  $660\text{\AA}$  (рис.2.2) точно соответствует разности потенциалов  $880 - 220 = 660$ , возникающей между полями пульсации  $1/2 \Leftrightarrow 2$  в области Тонких Энергий (табл.2.9);

❖ внешний диаметр поры, равный  $d_1 = 1200\text{\AA}$ , возник под резонансным воздействием потока фоонов, создающих эффективность взаимодействия  $\rho_5^2$  при периодичности продолжительности  $T_0 \cdot \tau = 10$ , где  $\rho_5^2 \cdot T_0 \tau = 1200$  (рис.2.2);

❖ внутренний диаметр поры, равный  $d_2 = 780\text{\AA}$  сформировался под напором вихря Кундалини, обладающего периодичностью вращения вихря, равной  $T_0 \tau + 1 = 13$  (рис.2.2):

$$\begin{aligned} 6 \cdot 10 \cdot 13 &\equiv (3,5 + 2,5) \cdot \rho_5 \cdot (T_0 \tau + 1) \equiv \\ (3,5^2 - 2,5^2) \cdot \rho_5 \cdot (T_0 \tau + 1) &\equiv [3 - (-3)] \cdot \rho_5 \cdot (T_0 \tau + 1) \equiv \\ 780 &\equiv 780\text{\AA} \equiv d_2. \end{aligned} \quad (2.45)$$

\*\*

Появление Кундалини в молекулярных белковых телах живого организма не останавливает её резонансно-антирезонансной пульсации.

Равновесным состоянием для *Кундалини* будет Солнечный Ветер (табл.2.10).

**Пульсация Кундалини:  
формирование живых магнитов**

Режим		Потенциалы	Примечания
Антирезонанс		$\pm 6 = \pm(2,5+3,5 \equiv 3,5^2-2,5^2)$	$\pm T_0 \tau \equiv \pm[6-(-6)] \equiv 12$
Равновесие		$\pm 6 = \pm[3 - (-3)]$ <b>Солнечный ветер</b>	$(\pm 6) \cdot (76) = \pm 36$
Резонанс: максимум и минимум		<i>Максимум</i>	<i>Минимум</i>
		$3,5 \cdot 2,5 = 8,75$ $3,5^2 \cdot 2,5^2 = 8,75^2$	$3,5/2,5 = 1,4$ $3,5^2/2,5^2 = 1,4^2$
Живые магниты	Расте- ние	1. $1,4 \equiv 10^{-1} \sqrt{\mu\mu^*}$ (растения)	
	Чело- век	2. $1,4^2 \cdot 10^{40} \cdot \rho_5^2 \equiv (14^2 \cdot 10^{20})^2 \equiv (\mu^*)^2$ 3. $1,4^2 : 10^{40} \cdot \rho_5^2 \equiv (14^2 \cdot 10^{-20})^2 \equiv (\mu)^2$	

При формировании живых магнитов процесс протекает постадийно([1]. Космогенезис):

❖ **сначала Камень**, то есть субстанция, в которой нет электромагнитной проводимости;

❖ **потом Металл**, то есть субстанция, в которой есть электромагнитная проводимость;

❖ **затем Растения**, - жидко-белковая фаза субстанции, в которой есть электромагнитная проводимость и биоклетка, но без ядра. (Роль ядра выполняют молекулярно-мембранные структуры в цитоплазме биоклетки. Фильтрация Тонкой Энергии, поступающей из Космоса в цитоплазму биоклетки не требует точности, ибо воспринимаемый импульс  $\sqrt{\mu\mu^*} \cdot \rho_5$  (табл.2.10) ещё не создал в Растениях Сознания и Подсознания);

❖ **появились Священные Животные**, биоклетки которых обладают ядром (Ядро биоклетки животных "фильтрует" Космические Волны по частоте более тщательно, так как появилось Подсознание и восприятие магнитных импульсов ( $\mu$ ) в первой степени);



❖ из семи смен свойств-сочетаний появился **Ману-Мыслитель** (Человек): *Существо, воспитанное на Иллюзиях* и со скверным характером, но обладающий Сознанием и Подсознанием потому, что ядро биоклетки фильтрует Космические Волны по частоте более тщательно с учетом приема квадратов магнитных импульсов  $(\mu^*)^2$  и зарядов  $\mu^2$ ;

❖ **Ману-Мыслитель** (мы с вами) своим трудом трансформируется в **Человека Воли и Йоги** (Теогенезис), то есть в **Создание**, ядра биоклеток которого фильтруют Космические Волны с учетом приема кубов магнитных импульсов  $(\mu^*)^3$  и зарядов  $\mu^3$ ;

❖ **Человек Воли и Йоги** (опять таки своим трудом), пройдя соответствующий путь эволюционного развития, станет на ещё высшую ступень, ибо его Сознание - Подсознание будет приспособлено к восприятию магнитных импульсов  $(\mu^*)^4$  и зарядов  $\mu^4$  уже в четвертой степени:  $T_0 \equiv x + y + z + \tau_0 = 4$ .

В Подлунном Море Рупы (гравитации) возникает Бог - Созидатель.

## 2.4 Солнечно-лунный фотосинтез

Формируя пору ядра ядерной оболочки клетки амфибии (рис.2.2), Вихрь Кундалини врывается в белковое тело клетки как штопор, и создает в молекулярных цепях углеводов поры.

Возникают мембранные молекулярные спирали, в частности ДНК и РНК, насыщающие живые организмы Космической Энергией, проходящей через поры мембранных структур и влияя на геометрию молекул.

Так, например, диаметры молекул ДНК и РНК, соответственно равные  $4\text{\AA}$  и  $2\text{\AA}$ , формируются вихрями Тонких Энергий при переходе от расширения к сжатию и при сжатии:

Формирование ДНК и РНК вихрями Тонких Энергий				
Формы полей	Метагалактика (корень)		Сгусток (Материя)	
	Недра	Поверх- ность	Процесс	Диаметры ДНК и РНК
Формирование диаметра ДНК	$-1 = i^2$	$\log_i i^2 = 2$	$2 \equiv T_o \omega_o / c \equiv c / \omega_o$	$\varnothing \text{ ДНК} = 2 \text{ \AA}$
Формирование диаметра РНК	$+1 = i^4$ $\Leftrightarrow 1/i^{-4}$	$\log_i i^4 = 4$	$4 \equiv c^2 / \omega_o^2$ $\equiv T_o c / \omega_o : T_o \omega_o / c$	$\varnothing \text{ РНК} = 4 \text{ \AA}$

(2.46)

\*\*

Думая о геометрии Метагалактики, Паскаль дал определение Бога: **"Бог есть окружность, центр которой находится Везде, а граница Нигде"** [3].

Ранее я уже говорил, что насчет **центра** Паскаль прав, ибо Центром Метагалактики является любая лазерно-резонансная точка света с потенциалом  $m_c E_\lambda \equiv c^{-2} \equiv \pi^{-2}$ .

**Лазерная точка света не первая и не последняя, и для неё нет ни верха, ни низа, ни права, ни лева: она Везде.**

Насчет границы Бога-окружности Паскаль сказал красиво, но не верно: граница Бога-окружности возникает там и тогда, где и когда антирезонансное поле света попадает в поля взаимодействий, так как потенциал границы-окружности равен  $2\pi R$  и эквивалентен антирезонансно-резонансному отношению в поле света (табл.2.11).

Таблица 2.11

**Формирование границ  
микро-макро компонент Вселенной**

Форма поля	Корень Метагалактики	Сгусток Материи
Формула границы- окружности	$\ell \equiv 2\pi r$ при $r = 1$	$L \equiv 2\pi R = 4\pi$ при $R = 2$
Эквивалентность границы и света	$\ell \equiv \frac{m_c + E_\lambda}{m_c \cdot E_\lambda} = \frac{2}{\pi} \cdot \pi^2 =$ $2\pi$	$L \equiv \frac{m_c + E_\lambda}{m_c \cdot E_\lambda} \cdot$ $\lg \rho_1 \rho_2 \rho_3 \rho_4 \rho_5 = 4\pi$
Физическая сущность	Кольцо с единицей, увеличивающее импульс в $\pi$ раз	Окружность-круг, описывающие основание великой Пирамиды.

\*\*

Границы  $L$  (табл.2.11) возникают в сгустке за счет появления в нём логарифмических волн  $\log_i i^2$  (2.4.6):

$$\ell \cdot \log_i i^2 = 2\pi \cdot 2 = 4\pi \equiv L. \quad (2.47)$$

$\ell \cdot \log_i i^4 = 2\pi \cdot 4 = 8\pi \equiv \frac{1}{2} 4\pi(R=2)^2 \equiv \frac{1}{2} Q$ $\ell \cdot \log_i i^{-4} = -2\pi \cdot 4 = -8\pi \equiv -\frac{1}{2} 4\pi(R=2)^2 \equiv \frac{1}{2} Q.$	(2.48)
--	--------

Поступление Тонкой Энергии Метагалактики в поле сгустка не ограничивается форматированием  $L$  логарифмическими волнами  $0 - 1 \equiv i^2$  (2.47).

В поле сгустка будут также возникать Цис-транс изомерические поверхности полусфер с потенциалами  $\pm 8\pi \equiv \pm Q$  (2.48) и разностью:

$$\pm[8\pi - (-8\pi)] = \pm 16\pi \equiv \pm Q. \quad (2.49)$$

В Едином Космосе с потенциалом в одну пальму (7/4) возникнет гравитационное поле (2.49).

<b>Возникновение гравитационного поля в Метагалактике</b>	
$m_c \left( \pm Q \cdot \left( \frac{\rho}{q} \equiv \frac{\rho^*}{q^*} \equiv \sqrt{\frac{\rho \rho^*}{q q^*}} \right) \equiv \pm 16\pi \cdot \frac{7}{4} = \pm 28\pi \right) \cdot \frac{1}{\pi} \equiv$ $28 \equiv 1+2+3+4+5+6+7 \equiv \frac{1}{5} (140 = 1^2+2^2+3^2+4^2+5^2+6^2+7^2).$	(2.50)

Появлению гравитационного поля сопутствует магнитное и пятеричная энергия связи (2.50).

\*\*

Формирование Цис-транс изомерческих полусфер гравитации с эффектом мыльного пузыря, то есть без потери энергии Поверхности полусфер, трансформирует полусферы в полуэллипсоиды. Возникает Свечение Тонкой Энергии (рис.1.12). Потенциал 28, относящийся к пульсирующему полуэллипсу Свечения (рис.1.12) изменяется в пределах  $28 \pm 1$ . Окружающая гравитационную пульсирующую поверхность (2.50) среда возмущается и в ней возникает интегральная разность потенциалов (табл.2.12).

Таблица 2.12

**Пульсация поля гравитации:  
равновесие живого и неживого**

Отношение к Жизни		Поля			
		Среды		Суммы	
				$\Sigma 1$	$\Sigma 2$
Неживое: $28 \pm 1$		$k_1 \equiv 2 \int_{28-1}^{28+1} \varphi d\varphi \equiv 112$	$k_2 \equiv 2 \int_{28}^{27} \varphi d\varphi \equiv -55$	$k_1+k_2 \equiv 112-55 \equiv +57$	$k_6 = 56+108 = 165$
Живое: $28 \pm 2$		$k_3 \equiv 2 \int_{28-2}^{28+2} \varphi d\varphi \equiv 224$	$k_4 \equiv 2 \int_{28+2}^{28} \varphi d\varphi \equiv 116$	$k_3+k_4 \equiv 224-116 \equiv +108$ Число реинкар- наций	
Суммы	$\Sigma 1$	$k_1+k_3 = 336$	$k_2+k_4 = -171$	$k_6 : k_5 = 1.$	
	$\Sigma 2$	$k_5 = 336 + (-171) = 165$			

\*  
\*\*

В этом поле равновесия живого и неживого возникают потенциалы  $k_6 = k_5 = 165$  (табл.2.12).

Эти потенциалы равновесные только в режиме антирезонанса, так как получены суммированием.

Вместе с тем потенциалы  $k_6$  и  $k_5$  являются неравновесными для резонансных систем (табл.2.13).

**Резонансная мультиплетность  
антирезонансного равновесия (табл.2.12).**

Резонанс (табл.2.12)	Мультиплетность при возмущении среды		
	$(9+2) \equiv \text{Const}$	$5 \equiv \text{Const}$	$3 \equiv \text{Const}$
$k_6 = k_5 = 165$ $= 5^* \cdot 3^* \cdot 11$ , где $11 \equiv (9+2)$	$(9+2) \cdot \int_3^5 \varphi d\varphi =$ 88	$5 \cdot \int_3^{11} \varphi d\varphi =$ 280	$3 \cdot \int_5^{11} \varphi d\varphi =$ $144 = 12^2$
Появление Кундалини (табл.2.10)	$(280-88) - (280-144) = 192-136 =$ $60 = 6 \cdot \rho_5 \equiv (3,5 + 2,5 = 3,5^2 - 2,5^2) \cdot \rho_5.$		

Появление Кундалини при резонансной мультиплетности антирезонансного равновесия между живым и неживым (табл.2.13) проявляет себя в формировании сине-голубой чакры Третий Глаз, так как

$$60 \equiv 30+30 \equiv 30-(-30) \equiv (300\text{Å}+300\text{Å})10^{-1} \equiv (\Delta\Gamma + \Delta C) \cdot \rho_2. \quad (2.51)$$

\*\*

Формирование Тонкими Энергиями молекул ДНК и РНК можно рассмотреть на примере вируса некроза табака (рис.2.3), геометрия которого исследована электронной микроскопией с точностью до  $\pm 0,6\text{Å}$  [10].

В поле взаимосвязи молекул ДНК и РНК отношение их диаметров соответствует отношению разности длин волн фиолетового и желто-зеленого областей спектра, **одной десятой** отношения разности длин волн красной и желтой области и равна логарифмической постоянной всех пяти форм взаимодействий:

$$\frac{d \overset{\circ}{P}HK}{d \overset{\circ}{Д}HK} = \frac{4 \overset{\circ}{A}}{2 \overset{\circ}{A}} = 2 \equiv \frac{\Delta \Phi = 500 \overset{\circ}{A}}{\Delta \mathcal{K}3 = 250 \overset{\circ}{A}} \equiv 0,1 \frac{\Delta K = 1400 \overset{\circ}{A}}{\Delta \mathcal{K} = 70 \overset{\circ}{A}} \equiv$$

$$\lg \rho_1 \rho_2 \rho_3 \rho_4 \rho_5 \equiv c/\omega_0 \equiv T_0 \cdot \omega_0 / c \equiv \dots = 2. \quad (2.52)$$

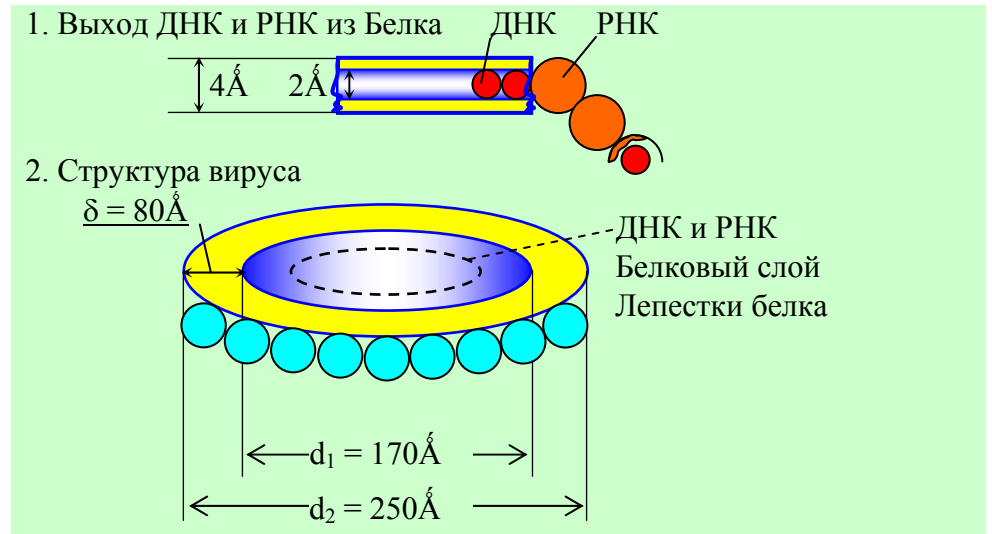


Рис.2.3 Вирус некроза табака

Процесс формирования молекул ДНК и РНК протекает не индивидуально - изолированно, а затрагивает энергию спектра света (2.52).

Взаимосвязь молекул ДНК и РНК не нарушает ритмики пульсации Единого Космоса:

Пульсация ДНК и РНК в Едином Космосе	
$\lg \rho_1 \rho_2 \rho_3 \rho_4 \rho_5 \equiv \frac{d \overset{\circ}{P}HK}{d \overset{\circ}{Д}HK} = 2 \Leftrightarrow 1/2 \equiv \frac{d \overset{\circ}{Д}HK}{d \overset{\circ}{P}HK} \equiv \pm \int_0^1 \varphi d\varphi.$	(2.53)

Пульсирующие молекулы ДНК и РНК создают в окружающей среде:

$$\int_{d \overset{\circ}{Д}HK}^{d \overset{\circ}{P}HK} \varphi d\varphi = \frac{1}{2} (4^2 - 2^2) \equiv 6, \quad (2.54)$$

сначала Кундалини с потенциалом 6, а затем её пульсация формирует Пятеричную и Семеричную связь молекул ДНК и РНК с окружающей средой (табл.2.10):

$$6 \pm 1 \quad \text{и} \quad 6-1 = 5; \quad 6+1 = 7. \quad (2.55)$$

\*\*

Пятеричная связь Кундалини в сфере белковых тел, в поле

$$\frac{\Delta\Phi = 500 \overset{\circ}{\text{Å}}}{\Delta\text{ЖЗ} = 250 \overset{\circ}{\text{Å}}} = 2 = \frac{d \text{ РНК} = 4 \overset{\circ}{\text{Å}}}{d \text{ ДНК} = 2 \overset{\circ}{\text{Å}}}, \quad (2.56)$$

формирует белковый слой диаметром в  $250 \overset{\circ}{\text{Å}}$  (рис.2.3.2), где (2.56)

$$d_2 \equiv \Delta\text{ЖЗ} = 250 \overset{\circ}{\text{Å}} = \frac{\Delta\Phi \cdot d \text{ ДНК}}{d \text{ РНК}}. \quad (2.57)$$

Переход белковых тел в область слабых взаимодействий вводит в белковый спектр дополнительно красные и желтые спектральные линии (2.52, 2.57):

$$d_2 \equiv \Delta\text{ЖЗ} = 250 \overset{\circ}{\text{Å}} = \frac{\Delta\Phi \cdot \Delta\text{Ж}}{\Delta\text{К}} \rho_5 = \frac{\Delta\Phi \cdot d \text{ ДНК}}{d \text{ РНК}}. \quad (2.58)$$

Такое состояние поля даёт возможность говорить о том, что **молекула РНК функционирует в желтой области спектра, а молекула ДНК - в красной** (рис.2.3.1):

$$2800(\overset{\circ}{\text{Å}})^2 \equiv 2\rho_5 \cdot \Delta\text{Ж} \cdot d \text{ РНК} \equiv \Delta\text{К} \cdot d \text{ ДНК} \equiv 2800(\overset{\circ}{\text{Å}})^2, \quad (2.59)$$

где  $d \text{ РНК} \equiv 2 \overset{\circ}{\text{Å}}$  и  $d \text{ ДНК} \equiv 4 \overset{\circ}{\text{Å}}$ .

В полях, где функционируют ДНК и РНК, появляется поверхностная гравитационная волна площадью в  $2800(\overset{\circ}{\text{Å}})^2$ . (2.59).



\*\*

Любые субстанции Единого космоса подчиняются закону расширения Вселенной: **иначе погибнут как индивидуальная Форма Энергии.**

Подчиняются закону расширения Вселенной и белковые тела.

В силу подчинения закону расширения Вселенной белковый слой вируса некроза табака имеет толщину, равную  $\delta = 80\text{\AA}$  (рис.2.3.2):

$$\delta = 80\text{\AA} \equiv \rho_5 \cdot T_0 c / \omega_0 = \frac{c^3}{\omega_0^3} \cdot \rho_5 \equiv \dots, \quad (2.60)$$

что предопределяет величину внутреннего диаметра вируса, равную (рис.2.3):

$$d_1 = 170\text{\AA} \equiv d_2 - \delta = 250\text{\AA} - 80^\circ. \quad (2.61)$$

\*\*

Толщина белкового слоя формируется из гравитационной поверхности желто-красных волн ДНК и РНК (рис.2.3, 2.59).

Формируется белковый слой вируса некроза табака за счет воздействия расширяющейся ветви Кундалини (3,5 оборота спирали) на гравитационную волну (2,29) с эффективностью взаимодействия света (рис.2.3, 2.59):

Желто-красная Цис-транс изомерия белковых слоёв	
Желтая Цис-изомерия	Красная транс-изомерия
$2\rho_5 \cdot \Delta J \cdot d \text{ ДНК} = 2800\text{\AA} \Leftrightarrow 2800\text{\AA} \Delta k \cdot d \text{ ДНК}$	
$\frac{2800 \overset{0}{\text{\AA}}}{3,5 \cdot \rho_5} = \frac{2800 \overset{0}{\text{\AA}}}{35} = 80 \overset{o}{\text{\AA}} \Leftrightarrow 80 \overset{o}{\text{\AA}} = \frac{2800 \overset{0}{\text{\AA}}}{35} \equiv \frac{2800 \overset{0}{\text{\AA}}}{3,5 \cdot \rho_5}$	

(2.62)

При расширении Кундалини белковый слой  $\delta = 80\text{\AA}$  (рис.2.3) формируется за  $3,5 \cdot 10 = 35$  оборотов Кундалини. Возникает вопрос: что произойдет с волной гравитации (2.59) при сжатии Кундалини?

\*\*

**При сжатии волны гравитации (2.59) спиралью Кундалини в белковом слое (рис.2.3) возникнет равновесное гравитационно-электромагнитное поле:**

Возникновение гравито-электромагнетизма в белках		
Режим	Расширение (2.6.2)	Сжатие в 2,5 оборота спирали
Потенциалы	$80 \equiv \frac{2800}{3,5 \cdot 10} \Leftrightarrow \frac{2800}{2,5 \cdot 10} = 112 \equiv$ $7\sqrt{qq^*} \equiv 8\sqrt{\mu\mu^*} \equiv 4\sqrt{\rho\rho^*}$	
Поля	Белки	Гравито-электромагнетизм.

(2.63)

Отношение потенциалов расширения к сжатию формирует в белках магнитные поля и **Всё Живое становится частью Космического Магнита (2.63):**

Появление магнетизма в белках		
Название форм	Форма магнетизма	Процесс получения (2.63)
Общий магнетизм	$\sqrt{\mu\mu^*} \equiv \rho_5 \cdot \frac{112}{80} = 10 \cdot 1,4 = 14$	
Магнитная память	$\mu^* \equiv \rho_5 \cdot \frac{112}{80} = 10^{20} = 14 \cdot 10^{20}$	
Магнитный биоток	$\mu \equiv \rho_5 \cdot \frac{112}{80} = 10^{-20} = 14 \cdot 10^{-20}$	
Примечание	$10^{\pm 20}$ - число фотонов в пределе насыщения люминофора (белка).	

(2.64)

\*

\*\*

В условиях антирезонанса в процессах сжатия-расширения белковых тел (2.63) в энергетических полях над белками появляются **цис-транс желто-красные (2.62) изомерические Цинь Небеса** с потенциалами  $\pm 32$ . **Над Землей появляются Небеса, над человеком - Аура (2.63):**

Аура (Цинь) над биполярным ядром белка (Тянь)		
Изомерия (2.62)	Желтая цис- изомерия Цинь	Красная транс- изомерия Цинь
Потенциалы Цинь	+32 = 112 – 80	-32 = 80 – 112
Двухполюсный сгусток Тянь	Сгусток белковых тел подобен Земле:	
	-64 = –32 – (+32)	+64 = 32 – (-32)
Полюса	Северный	Южный.

(2.64)

\*

\*\*

В энергетическом поле белковых тел вместе с разностью потенциалов антирезонансного расширения-сжатия (2.65) возникает и сумма этих же потенциалов (2.63, 2.65):

Сине-голубые области спектра света		
Изомерия (2.62)	Желтая цис-изомерия	Красная транс-изомерия
Потенциалы равновесия	192 = 112–(–80)	–192 = –80–(+112)
В поле пальмы Космоса	192·7/4 = 336 пальм	–192·7/4 = –336 пальм
Периодичность $\tau \cdot T_0^2$ в семеричности $T_0 + \tau$	$\frac{336 = 3 \cdot 7 \cdot 16 = 4 \cdot 7 \cdot 12 = 8 \cdot 42}{7} \equiv$ $48 \equiv (3 \cdot 16 \equiv \tau \cdot T_0^2) = (4 \cdot 12 \equiv \tau \cdot T_0^2) \equiv (8 \cdot 6 \equiv \tau \cdot T_0^2)$	
Сине-голубая реализация периодичности $\tau \cdot T_0^2$	Чакра Третий Глаз: $\tau \cdot T_0^2 \rho_5 = 4800 \equiv (\lambda = 4800 \text{ \AA})$ Волна, делящая синюю и голубую области спектра солнечного белого света	
Результат трансформации	Синяя транс-изомерия: $\Delta C \equiv 300 \text{ \AA}$	Голубая транс-изомерия: $\Delta G \equiv 300 \text{ \AA}$

(2.66)

\*\*

Во внутреннем поле солнечного света возникают цис-транс изомерические желто-синие и красно-голубые колебания:

Колебания белковых тел РНК и ДНК (2.62) во внутреннем поле солнечного света				(2.67)
Желто-красная изомерия (2.62)	Желтая-цис $\equiv +32$	Красная-транс $\equiv -32$	Колебания	
Сине-голубая изомерия (2.66)	Синяя-транс $\equiv -48$	Голубая-цис $\equiv -48$	$\frac{+32}{-48} \Leftrightarrow \frac{+48}{-32}$	

Резонансный потенциал в сине-голубом и желто-красном полях достигнут квадрата от первоначальных величин (2.67) и приведут к антирезонансу.

Влияние изомерии на молекулы белков в поле света				
Резонанс		Антирезонанс Хаоса		Сжатие до квадрата первоначальных величин и пульсация в Космосе
Сине-голубой	Желто-красный	Сине-голубой	Желто-красный	
$-48^2 \Leftrightarrow -32^2$		$-48^2 \Leftrightarrow -(-32^2)$ $\equiv$ $1280 \equiv 5 \cdot 44 \equiv 5 \cdot \sqrt{2}^{16}$		$\sqrt{5 \cdot 4^4} \cdot$ $\left( \pm \int_0^1 \varphi d\varphi \right) \equiv$ $\pm \frac{5}{2} \cdot \sqrt{2}^8$
$\frac{32}{48} \Leftrightarrow \frac{-48}{-32}$				

(2.68)

(2.68)

\*\*

Влияние изомерии на молекулы РНК и ДНК во внутреннем спектральном поле солнечного белого света (2.68) **проявляется за счет наличия в среде Кундалини сжатия** с потенциал-эквивалентом  $\pm 5/2$  оборотов спирали.

Сжатие белковых тел, в том числе молекул РНК и ДНК в мембранные спирали проходит в соответствии с фундаментальным законом сгущения небесных тел в Едином Космосе.

Закон сгущения небесных тел Космоса описан пропорциями элементов великой Пирамиды (рис.2.4, табл.2.14):

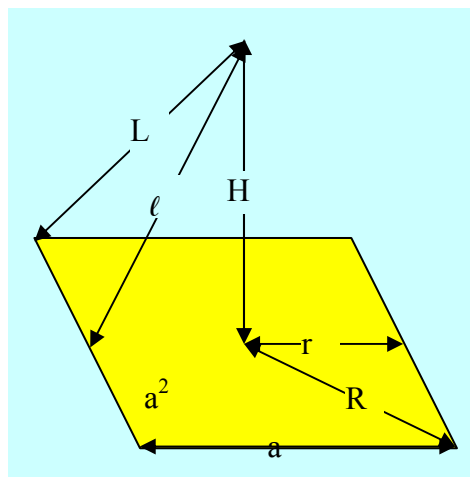


Рис.2.4 Элементы великой Пирамиды

Логарифмические волны, возникающие при переходе из недр лазерного ядерного вещества к поверхности ядра, а затем излучаемые как свет в окружающие среды (табл.2.14) имеют форму солнечного ряда из восьми энергетических уровней с суммарным потенциалом 36 (табл.2.14):

Таблица 2.14

Элементы Пирамиды (рис.2.4)

г	R	a	2R	2a	$\ell=a_2$	L	$T_o^2$
$\sqrt{2}$	$\sqrt{2}^2$	$\sqrt{2}^3$	$\sqrt{2}^4$	$\sqrt{2}^5$	$\sqrt{2}^6$	$\sqrt{2}^7$	$\sqrt{2}^8$
Сжатие белковых тел (2.68): $\log_{\sqrt{2}} \sqrt{2}^{1+2+3+4+5+6+7+8=36} \equiv 36$							

**Связь фотосинтеза только с полем солнечного света**, которую как доминирующую пропагандирует наша наука, ещё недостаточна: **фотосинтез возникает там и тогда, где и когда возникает разность потенциалов между суммарными потенциалами солнечного и лунного рядов** (табл.2.15).

Таблица 2.15

**Солнечно-лунный фотосинтез**

	Уровни								
Ряды	I	II	III	IV	V	VI	VII	VIII	Результат
Солнечный	1 + 2 + 3 + 4 + 5 + 6 + 7 + 8 =								36
Лунный	1 + 2 + 3 + 4 + 5 + 6 + 7 + нет								28
Разности	0	0	0	0	0	0	0	8	8 фотосинтез 64
Суммы	2	4	6	8	10	12	14	8	
Появление биотоков	$64 - 8 = 56 \Leftrightarrow 72 = 64 + 8$ $0 \Leftrightarrow 72 - 56 = 16 \equiv T_o^2 \equiv \sqrt{qq^*}.$								

\*\*

Фотосинтез в динамике переходов пульсирующих белковых структур отлично описывает диаграмма Янь-Цинь (рис.2.5).

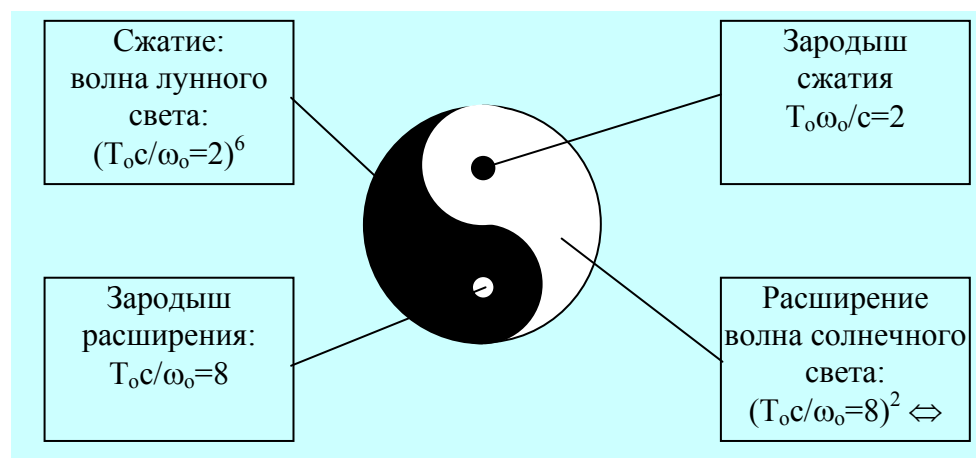


Рис.2.5 Описание солнечно-лунного фотосинтеза (табл.2.15) диаграммой Янь-Цинь

В поле пульсации фотосинтеза (табл.2.15, рис.2.5) Зародыш характеризуют импульсы моментов количества движений, а солнечная и лунная волны энергию сред, в которых протекает фотосинтез.

Импульсы и энергия взаимосвязаны (табл.2.16):

Таблица 2.16

**Солнечно-лунный фотосинтез - источник колебания субструктур биоклетки с потенциалом-эквивалентом Постоянной Вселенной**

Расположение полей по рис.2.5	Импульс расширения	Энергия сжатия	Энергия расширения	Импульс сжатия
Формулы	$\frac{c^3}{\omega_0^3} \equiv T_0 \frac{c}{\omega_0} \Leftrightarrow \left( T_0 \frac{\omega_0}{c} = 2 \right)^6 \Leftrightarrow \left( 8 = T_0 \frac{c}{\omega_0} \right)^2 \Leftrightarrow$ $\frac{c}{\omega_0} \equiv T_0 \frac{\omega_0}{c}$			
Потенциалы	8	$8^2$	$8^2$	2
Потенциалы приведенной пульсации субструктур биоклетки	$k_1 = \frac{8 \cdot 8^2}{8 + 8^2} = \frac{8^2}{9} \Leftrightarrow \frac{8^2}{33} = \frac{8^2 \cdot 2}{8^2 + 2} = k_2$			
	$\left  \frac{k_1}{k_2} \Leftrightarrow \frac{k_2}{k_1} \right  \rightarrow \left  \frac{9 \equiv (9+0)}{33 \equiv 3(9+2)} \Leftrightarrow \frac{3(9+2)}{(9+0)} \right  \equiv$ $[3 \cdot (9+2)]^2 - (9+0)^2 = 1008 = 16 \cdot 63$			
Постоянная Вселенной	$1008 = 36 \cdot 28 = 42 \cdot 24 = 16 \cdot 63 \equiv$ $\tau \cdot (9+2)^2 - (9+0)^2.$			

В поле постоянной Вселенной разность квадратов потенциалов субструктур биологической клетки при митозе и до и после митоза начинают формировать периодическую систему геномов, в которой геном - максимум имеет потенциал 63 (табл.2.16).



## 2.5 От ядерной энергетики к Числу Человека: дефект масс

Наша наука во всех отраслях, а в ядерной энергетике и микробиологии в частности, не понимая резонансно-антирезонансной реальности, все энергетические процессы считает как антирезонансные.

Но Природе безразлично, кто и как считает: она продолжает создавать, например, воду при антирезонансе и гремучую смесь при резонансе, в обоих случаях используя равные количества кислорода и водорода:

Пример расчета резонансных и антирезонансных систем			
Режим	Резонанс	Антирезонанс	Кундалини расширения
Вещество	Вода	Гремучая смесь	
Химическая формула	$2\text{H}_2 + \text{O}_2 = 2\text{H}_2\text{O}$	$2\text{H}_2 \cdot \text{O}$	$128/36 = 3,5(5).$
Расчет по молекулярным весам	$4 + 32 = 36$ Эквивалент свету	$4 \cdot 32 = 128$ Эквивалент $\sqrt{2}^{14}$	

(2.69)

Поэтому, когда мы анализируем воду, мы не учитываем присутствия в ней расширяющейся ветви Кундалини с потенциалом 3,5(5), где Пять в периоде описывает пятиричность на всех энергетических уровнях поля воды (2.63).

Роль Кундалини в этом случае состоит в том, что она не дает воде превратиться в гремучую смесь и взорваться. Вместо этого вода ограничивается диссоциацией и изменяет концентрацию ионов водорода  $[\text{H}^+]$  в жидкой фазе своего состояния.

Изменение концентраций ионов водорода в воде **измеряется логарифмом их концентрации**. Этот логарифм носит название рН, а его шкала изменяется до 14 единиц. Природа резонанса воды подсказывает, что  $pH = 14 \equiv \log_{\sqrt{2}} \sqrt{2}^{14}$  (2.69). Более того, мы проникли в природу происхождения воды и знаем, что она является магнитной и способствует рождению живых магнитов:

$$pH = 14 \equiv \sqrt{qq^*}. \quad (2.70)$$

\*\*

**Жизнь возникла в воде. Вода корректирует степень функциональности Жизни:** от насыщенной Здоровьем до мертвой. Кислотность и щелочность воды взаимонейтрализуются при  $pH = 7$ . В этих условиях вода становится нейтральной.

Жидкие среды взаимосвязаны между собой. Связаны между собой вода, растворы, коллоидные растворы, жидкая лазерная плазма ядерного вещества.

Связь между собой различных по физико-химическому составу жидких сред определяется равновесием в жидких средах ядерного вещества, где Монада (по Пифагору одна относительная Единица [3]) равна эффективности короткодействующих ядерных взаимодействий:

$$\begin{aligned} \text{Монада [3]} &\equiv \text{Один [1]} \equiv 1 \text{ отн.ед.} = \\ &= \frac{\sqrt{\rho_4}}{\sqrt{\rho_4}} = 10^7 \cdot 10^{-7}. \end{aligned} \quad (2.71)$$

Пифагорейскую **Монаду** [3] или определение **Один** по **Книге Дзиан** [1] нам следует понимать как резонансное равновесное состояние поля, в котором не прекращают бушевать энергетические равновесно-неравновесные процессы.

Но энергетическое поле всей системы (Капли) остается в состоянии **Гармонического Равновесия** и имеет потенциал, равный **1** относительной единице.

В этом равновесном энергетическом поле протекают короткодействующие ядерные и слабые взаимодействия:

Короткодействующие взаимодействия в энергетической Капле Монады (2.71)			
Взаимодействие	Слабое	Смешанное	Ядерное
Термия	Эндо-	Эндо-экзо	Экзо-
Эффективность	$\rho_2 = 10^{-1}$	$\rho_2 = 10^{-1} \Leftrightarrow 10^{14} = \rho_4$	$\rho_4 = 10^{14}$
Логарифмические волны	$\lg \rho_2 = -1$	$\lg \rho_2 \Leftrightarrow \lg \rho_4 = -1 \Leftrightarrow 14$ $0 \Leftrightarrow 15 = 14+1$	$\lg \rho_4 = 14 = \sqrt{\mu\mu}$
Среда	$2 \cdot \int\limits_0^{15} \varphi d\varphi = 15^2 = 225 \text{ .}$		

(2.72)

В поле антирезонансного равновесия возникает электромагнетизм в среде (2.72):

$$152 \equiv \{[(\sqrt{qq^*} = 16) + (\sqrt{\mu\mu^*} = 14)] \left( \int_0^1 \varphi d\varphi = \frac{1}{2} \right)\}^2. \quad (2.73)$$

В Монаде с потенциалом  $1 \equiv 10^7 \cdot 10^{-7}$  резонанс сменяется антирезонансом:

$$10^7 \Leftrightarrow 10^{-7}. \quad (2.74)$$

В антирезонансные поля поступает свет:

$$\varepsilon_0 = \frac{m_c^2 E_\lambda}{T_0} \cdot 10^7 = \frac{10^7}{4\pi c^2} \Leftrightarrow 10^{-7} 4\pi \equiv 10^{-7} \frac{m_c}{T_0} = \mu_0. \quad (2.75)$$

Возникает электромагнитная среда с электрической  $\varepsilon_0 = 10^7/4\pi \cdot 2 \text{ Ф/м}$  и магнитной  $\mu_0 = 4\pi \cdot 10^{-7} \text{ Гн/м}$  постоянными:

Пульсация электромагнитной среды		
Равновесие	Колебания	
	К электричеству	К магнетизму
$\varepsilon_0\mu_0c^2=1$	$\frac{\varepsilon_0}{\mu_0}=\frac{10^{14}}{16\pi^4}$ $\varepsilon_0^2=\rho_4^2=10^{28}$ $\varepsilon_0=\rho_4^2=10^{28}$	$\frac{16\pi^4}{10^{14}}=\frac{\mu_0}{\varepsilon_0}$ $28\cdot\pi^8=\mu_0^2$ $(2\pi)^4=\mu_0.$

(2.76)

\*\*

В пульсирующем поле электромагнитной среды электромагнитная среда сжимается до корня четвертой степени от значений своих электрической и магнитной постоянных (2.76):

Сжатие электромагнитных сред в объеме Рупы	(2.77)
$\sqrt[T_0]{\varepsilon_0} = \sqrt[4]{\rho_4} = 10^{14/4=3,5} \Leftrightarrow (2\pi)^{4/T_0} \equiv \sqrt[T_0]{\mu_0};$ $\sqrt[T_0]{\varepsilon_0} = 2^{3,5} \cdot 5^{3,5} \Leftrightarrow 2 \cdot \pi = \sqrt[T_0]{\mu_0};$ <p>В поле <math>\log_2 2^{3,5} = 3,5</math> возникает Кундалини расширения, но пульсация Космоса между Хаосом и Гармонией меняет расширение на сжатие:</p> $\sqrt[T_0]{\varepsilon_0} \int_1^0 \varphi d\varphi = 2^{3,5} \cdot 5^{3,5} \cdot \int_1^0 \varphi d\varphi \Leftrightarrow 2\pi \int_0^1 \varphi d\varphi = \sqrt[T_0]{\mu_0} \int_0^1 \varphi d\varphi;$ $\frac{1}{2} \sqrt[T_0]{\varepsilon_0} = 2^{2,5} \cdot 5^{3,5} \Leftrightarrow -\pi = +\sqrt[T_0]{\mu_0} \left( -\frac{1}{2} \right).$	

В Едином Космосе, компонентами которого являются **Сгустки, Свет и Метагалактические волны** [1], любое сгущение волн начинается сгущением электромагнитных сред (2.77).

\*  
\*\*

В поле сжатия электромагнитных сред (2.77):

$$\left( \int_0^1 \varphi d\varphi = \frac{1}{2} \right) \cdot \left( \sqrt[4]{\varepsilon_0} + \sqrt[4]{\mu_0} \right) = -\left( 2^{2,5} \cdot 5^{3,5} + \pi \right), \quad (2.78)$$

возникает ситуация, при которой взаимодействие сжимает окружающую среду (2.78):

$$2^{2,5} = (\lg \rho_1 \rho_2 \rho_3 \rho_4 \rho_5 = 2)^{2,5}, \quad (2.79)$$

где 2,5 - эквивалент 2,5 оборотов спирали Кундалини сжатия; а **энергия пятеричной связи (Пятеричный Лха) окружающую среду расширяет** (2.78):

$$5^{3,5} \equiv (T_0 + 1)^{3,5} \equiv \sqrt{T_0^2 + \tau^2}^{3,5} \equiv \dots, \quad (2.80)$$

где 3,5 оборотов спирали Кундалини расширения.

\*  
\*\*

Взаимодействия будут сжимать окружающую электромагнитную среду до тех пор, пока она будет пульсировать между Хаосом и Гармонией (2.78).

В моменты, **периодически возникающие между сжатием и расширением равновесий**, пульсация электромагнитных сред прекращается и **вместо пульсации и сжатия взаимодействиями** (2.78) возникает такое состояние электромагнитного поля, при котором взаимодействия расширяют электромагнитную среду (2.78):

$$\sqrt[4]{\varepsilon_0} + \sqrt[4]{\mu_0} = -2 \cdot (2^{2,5} \cdot 5^{3,5}) = -2^{3,5} \cdot 5^{3,5} = -10^{3,5}, \quad (2.81)$$

где 3,5 оборота спирали характеризуют расширяющуюся ветвь Кундалини.

Медитирующие интуитивно почувствовали состояние расширения Кундалини (2.81), и тут же бросились в крайность эгоцентризма: **Я (ЭГО) подниму в себе Кундалини до уровня Христа, известного в Индии под именем Шри Ганеша.**

Стремитесь, но запаситесь **Терпением**: к Йоге надо приложить Волю, а воля требует Знаний. **Да обретет Волю и Йогу жаждущий.**

\*\*

***Вес веществ, вступающих в реакцию, равен весу полученных веществ.***

Этот закон сохранения веса веществ справедлив для химических, например окислительно-восстановительных процессов. В области ядерных реакций закон сохранения веса веществ нарушается. Возникает дефект масс, величину которого определили эмпирически [9]:

$$\Delta = [0,01 \cdot (A - 100)^2 - 64] \cdot 10^{-3} \text{ а.е.м}, \quad (2.82)$$

где  $\Delta$  - дефект масс,  $A$  - массовое число, то есть полное число нуклонов в ядре, и а.е.м - атомные единицы масс.

**Дефект масс в ядерных реакциях возникает потому, что ядерные реакции протекают в резонансном режиме, в отличии от химических реакций, которым присущ антирезонанс.**

Дефект масс является следствием взрыва и может быть представлен с позиций взаимодействий (2.82):

$$\left. \begin{array}{l} 1. \quad 10^3 \Delta = 10^{-2} (A - 100)^2 - 64 \\ 2. \quad 10^3 \Delta + 64 = 10^{-2} (A - 100)^2 \\ 3. \quad 10^5 \Delta + 64 \cdot 10^2 = (A - 100)^2 = A^2 - 200A + 10^4 \\ 4. \quad 10^5 \Delta + 64 \cdot 10^2 - 10^4 = A \cdot (A - 200) \\ 5. \quad 10^5 \Delta + 10^2 \cdot (64 - 100 = -36) = (A - 200). \end{array} \right\} (2.83)$$

Последовательность равенств (2.83) говорит о том, что на пятом этапе сжатия ядерного вещества (**Фохат делает Пять Продвижений** ([1]. Космогенезис.) возникает солнечный белый свет:

$$\Delta B = 3600 \text{ \AA} = 3600 \equiv A \cdot (200 - \text{\AA}) + 10^5 A. \quad (2.84)$$

Происходит ядерный взрыв.

\*  
\*\*

Ядерный взрыв, например урана, происходит тогда, когда две полукритические массы 235 урана соединятся в одну резонансно-критическую массу:

Дефекты масс при взрыве урана			
Процессы и вещества	Операции подготовки		Резонанс ядерного взрыва
	Уран 238: сырьё	Полукритические массы	
Реакции	$U_{238}+U_{238} = 2 \cdot 238 = 476$	$U_{235}+U_{235} = 2 \cdot 235 = 470$	$\Delta \cdot U_{235} \cdot U_{235} = \Delta \cdot 235^2 = \Delta \cdot (47 \cdot 5)^2$
Дефекты масс	Разность		Отношение
	$k_1=476-470 = 6$ Эквивалент солнечного ветра и Кундалини		$\Delta = \frac{470}{(47 \cdot 5)^2} = \frac{2}{47 \cdot 5}$ при 5/2 как потенциала сжатия небесных тел.

(2.85)

(2.85)

При взрыве урана 235 возникает дефект масс (2.85), потенциал которого можно внести в равенство (2.84):

$$\Delta B = 3600 = A(200 - A) + \left[ 10^5 \left( \Delta = \frac{2}{5 \cdot 47} \right) \right] = 4 \cdot 10^4 / 47$$

или

$$47 \cdot 3600 = 47A(200 - A) + 4 \cdot 10^4$$

и

$$12900 = 47A(200 - A);$$

$$2749 = A(200 - A). \quad (2.86)$$

\*\*

Современная наука о строении ядра исходит из того, что массовое число  $A$  состоит из гипотетических нуклонов: протонов и нейтронов. Но ядерное вещество состоит из жидкой лазерной плазмы насыщенной в недрах магнитными зарядами, а на поверхности электрическими (рис.2.6).

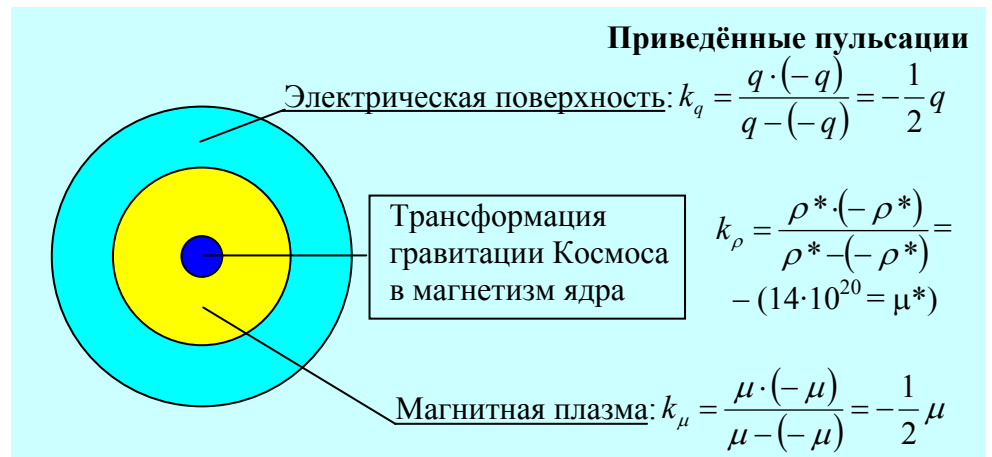


Рис.2.6 Электромагнитное ядро с гравитационным космическим сверхсветовым источником питания

\*\*

**Источником питания ядра является Космос Метагалактики, который поставляет в ядро сверхсветовые гравитационные импульсы, подобные импульсу Мысли ( $\rho^*$ ).**



В Недрах ядра (зародышевый пузырьёк) гравитационные импульсы пульсируют в резонансно-антирезонансном режиме, **трансформируясь в импульсы магнитного поля**, эквивалентного Мысли:

<b>Зародышевый пузырьёк ядра (рис.2.6)</b>	
$\frac{\text{резонанс}}{\text{антирезонанс}} = \frac{\rho^* \cdot (-\rho^*)}{\rho^* - (-\rho^*)} = \frac{-\rho^{*2}}{2\rho^*} =$ $-\frac{28 \cdot 10^{40}}{2} = -14 \cdot 10^{20} = -\mu^*$	(2.87)

В поле **зародышевого пузырька** происходят неравновесные колебания с периодичностью  $T_0(\tau + T_0) = 28$ , которые **трансформируют магнитный импульс (2.87) в магнитный заряд**:

<b>Трансформация магнитного импульса <math>\mu^*</math> в магнитный заряд <math>\mu</math> за счет пульсации в зародышевом пузырьке ядра (рис.2.6)</b>	
$\frac{\text{Резонанс}}{\text{Антирезонас}} = -\mu^* \Leftrightarrow \frac{T_0(\tau + T_0)}{\mu^*} =$ $\frac{28}{14 \cdot 10^{20}} = 14 \cdot 10^{-20} = \mu \equiv \frac{\text{Антирезонанс}}{\text{Резонанс}}.$	(2.88)

\*\*

В зародышевом пузырьке ядра появляется магнитный заряд, который пульсирует в резонансно-антирезонансном режиме и создаёт **жидкую магнитную плазму ядерного вещества**:

<b>Формирование жидкой магнитной плазмы в объёме ядерного вещества (рис.2.6)</b>		
$\frac{\text{Резо-нанс}}{\text{Анти-резо-нанс}}$	$\frac{\mu \cdot (-\mu)}{\mu - (-\mu)} = \frac{-\mu^2}{2\mu} = -\frac{14^2}{2 \cdot 14} \cdot 10^{-20} = -7 \cdot 10^{-20} \Leftrightarrow \frac{3,5}{7 \cdot 10^{-20}},$ $10^{20} \Leftrightarrow -49 \cdot 10^{-20 \div 3,5} = -14 \cdot 10^{-20} \equiv -\mu$	$\frac{\text{Анти-резо-нанс}}{\text{Резо-нанс}}$

(2.89)

В поле насыщения люминофора ядерного вещества фотонами до пределов насыщения, то есть до  $10^{20}$  фотонов, Кундалини расширения (потенциал 3,5) формирует в ядерном веществе отрицательный магнитный заряд (2.81):

$$10^{20} \Leftrightarrow -\mu. \quad (2.90)$$

Однонаправленность магнитного поля в жидкой плазме ядра, определяемое знаком минус (2.82), заставляет ядро в одну сторону, как, например, вращает Земля: с Востока на Запад.

\*  
\*\*

Фотоны и отрицательный магнитный заряд (2.82) в жидкой плазме ядерного вещества (рис.2.6) дают полную характеристику ядерной плазмы и нам не надо искать гипотетические нуклоны, как черную кошку в темной комнате, где кошки нет.

\*  
\*\*

Из Недр Земли к её литосфере постоянно направлен энергетический поток, ломающий литосферу на блоки с преимущественным коэффициентом 7/2 [11].

Это поток расширяющейся ветви Кундалини, который имеется в сгустках микро- и макромиров.

Появляется Кундалини из равновесного поля (2.82):

$$1 \Leftrightarrow -\mu \cdot 10^{-20}, \text{ при } 1 \equiv 7/2 \cdot 2/7 \Leftrightarrow -\mu \cdot 10^{-20} T_0^2; \quad (2.91)$$

$$\boxed{\frac{7}{2} \Leftrightarrow -\frac{7}{2} \mu \cdot q} \rightarrow \boxed{-1 \Leftrightarrow \mu q.}$$

В поле Кундалини на поверхности сгустка ядерного вещества возникает резонансный электромагнитный потенциал поверхности, который излучает и пульсирует в резонансно-антирезонансном режиме (2.83):

<b>Поверхность ядра: электромагнитная пульсация</b>			(2.92)
<i>Резонанс</i> <i>Анти – резонанс</i>	$\frac{\mu \cdot q}{q - \mu} \Leftrightarrow \frac{q + \mu}{q \cdot \mu};$	<i>Анти – резонанс</i> <i>Резонанс</i>	
<i>Антире-зонанс</i>	$m^2 q^2 \Leftrightarrow q^2 - m^2;$ $224^2 \Leftrightarrow 16^2 - 14^2;$	<i>Антире-зонанс</i>	
<i>Гармония</i>	$224^2 - 16^2 + 14^2 = 164 \Leftrightarrow 0;$	<i>Хаос.</i>	

\*\*

В полях (2.86 и 2.92) действительные потенциалы 2749 и 164 включают в себя слагаемые других потенциалов:

$$\begin{aligned} 2749 &\equiv 2700 + 49 \Leftrightarrow A \cdot (200 - A) \\ 164 &\equiv 100 + 64 \Leftrightarrow 0 \text{ (Хаос)} \end{aligned} \quad (2.93)$$

где  $27 \cdot 10^2$  - потенциал полуэллипса Свечения от генератора Тонкой Энергии,  $49 = 7^2$  - потенциал оболочки энергетических систем [4],  $100 \equiv \rho_5^2$  - эквивалентность взаимодействия света и  $64$  - потенциал волн сжатия-растяжения в диаграмме Ян-Цинь (рис.2.5).

Во внутренних полях с потенциалами, показанными в (2.93) и между ними будут создаваться неравновесные колебательные системы:

<b>Неравновесные электромагнитные колебания в поле недр магнитного ядра и на его электромагнитной поверхности</b>			(2.93)
Поверхность Тонко- энергетического Све- чения	Колебания ме- жду оболочкой и сгустком Тянь	Колебания в Хаосе массового числа	
$2700 \Leftrightarrow 100$ $33 = 3 \cdot (9+0) \Leftrightarrow 1$ Зарождение субструктур	$49 \Leftrightarrow 64$ $7^2/4^2 \Leftrightarrow 4 \equiv T_0$ Периодичность Пальмы	$A \cdot (200 - A) \Leftrightarrow 0$ $200 \Leftrightarrow A$ Зародыш массового числа.	

В этих полях (2.93) бесконечное множество переходов энергии из одних форм в другие, и эту множественность свойств сочетаний можно определить из колебаний неравновесных систем. Например, Число Человека, равное 113 есть сумма потенциала Тянь и оболочки:

Число Человека = Тянь + Оболочка (Библия) (Перемен)(Русские Руны) 113 = 64 + 49.	(2.46)
--	--------

Великая Цивилизация придавала огромное значение Числу Человека и внедряла Знания о нас во все наши Религии.

## 2.6 Эндо-экзотермические ядра и Человек

Тот, кто хочет понять сокровенное содержание великой Книги Перемен должен понять строение ядра не с наших гипотетических представлений о нуклонах, а с позиции Науки Авторов Книг Дзиан, Перемен и Мертвых.

Гравитационный импульс из Метагалактики, трансформируясь в зародышевом пузырьке в магнитный отрицательный заряд (2.89), **создает из фотонов жидкую магнитную лазерную плазму** (2.90).

Гравитационные потоки из Космоса вытесняют жидкую магнитную плазму ядра от зародышевого пузырька к поверхности (2.90, рис.2.6).

Энергетический поток магнитной плазмы **движется к поверхности ядра** под воздействием потенциала  $7/2$ , как это имеет место в Недрах Земли [11].

**У внутренней поверхности ядра** возникают волновые колебания плазмы, связанные с контуром (2.90).

<b>Колебания магнитной плазмы у внутреннего слоя поверхности ядра (рис.2.6)</b>		
В Недрах (2.90)	Внутренний слой поверхности ядра	
$10^{20} \Leftrightarrow -\mu = -14 \cdot 10^{-20}$	$1 \Leftrightarrow -\mu \cdot 10^{20} = -14$	$-1 \Leftrightarrow \frac{1}{\mu \cdot 10^{20}} = \frac{1}{14}$ (2.95)
$10^{20} + \mu \Leftrightarrow 0;$ $10^{40} \Leftrightarrow -14$ Источник энергии для поверхности	$1 \cdot (-1) = i^6 \Leftrightarrow -14 \cdot 1/14 = 12 \equiv i^8$ $\log_i i^6 = 6 \Leftrightarrow 8 = \log_i i^8$ Антирезонанс логарифмических волн.	

Во внутреннем приповерхностном слое ядра возникают равновесные резонансные колебания, которые являются источником логарифмических волн, создающих контур колебания  $6 \Leftrightarrow 8$  (2.95).

Эти колебания возмущают окружающую среду, то есть поле  $10^{40} \Leftrightarrow \int_6^8 \varphi d\varphi = 14$ .

$$\text{или} \quad -14 \Leftrightarrow 10^{40} \Leftrightarrow 14. \quad (2.45)$$

Возникающие приповерхностные магнитные колебания (2.97) вечны, ибо вечен магнитный поток из Недр ядра (2.95). Это вечный двигатель. Между Недрами Ядра (2.95) и его внутренним магнитным приповерхностным слоем возникает общая цепь колебания:

Колебания магнитного поля фотонов ядерного вещества		
Поля	Недра Ядра (2.95)	Приповерхностный слой (2.97)
Колебания фотонов в ядре	$14 \Leftrightarrow -10^{40} \Leftrightarrow -14 \Leftrightarrow 10^{40} \Leftrightarrow 14$	
Гравитация на поверхности	$14 = \frac{7}{2} T_0 \Leftrightarrow 10^{-40}$ Появление Кундалини	$0 \Leftrightarrow 10^{40} \Leftrightarrow 28 \equiv \sqrt{\rho \rho^*}$ Возникает Твердь литосферы.

(2.96)

Магнитное поле, в том числе живые магниты, является источником Кундалини расширения (2.96):

$$\sqrt{\mu \mu^*} = 14 \equiv \frac{7}{2} \cdot T_0 \equiv T_0 \cdot 3,5. \quad (2.97)$$

Кундалини расширения возникает и в гравитационном поле (2.96):

$$\sqrt{\rho \rho^*} = 28 \equiv \frac{7}{2} \cdot \left( T_0 \frac{c}{\omega_0} = 8 \right). \quad (2.98)$$

Кундалини поверхностного гравитационного слоя, расширяясь импульсами, заставляет поверхностный слой сначала пульсировать (**релаксация**):

$$2 \cdot \int_{6-1}^{6+1} \varphi d\varphi = 2 \cdot \int_5^6 \varphi d\varphi = 41, \quad (2.99)$$

**а затем излучаться с поверхности ядра.**

Излучение с поверхности ядра является **подобием** того, как под воздействием энергии из Недр Ядра литосфера Земли ломается на блоки с преимущественным коэффициентом  $7/2$  [11].

Излучение с поверхности ядра точкой - излучателем на поверхности сопровождается поглощением: излучается импульс  $T_0 c / \omega_0 = 8$ , поглощается импульс  $T_0 \omega_0 / c = 2$  (рис.2.7).

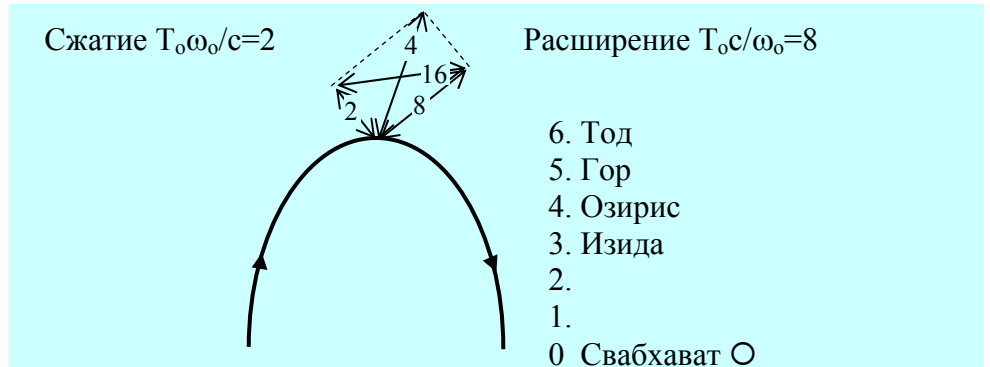


Рис.2.7 Излучение с поверхности ядра

Излучение-поглощение точкой поверхности ядра происходит в резонансном режиме. Поэтому расчет потенциалов необходимо вести с помощью умножения - деления (рис.2.7).

$$T_0 c / \omega_0 - T_0 \omega_0 / c = T_0^2 = 16 \equiv \sqrt{qq^*}$$

и 
$$T_0 c / \omega_0 : T_0 \omega_0 / c = 8 : 2 = 4 = T_0. \quad (2.100)$$

Над поверхностью ядра и на самой поверхности с периодичностью  $T_0$  возникает электрическое поле  $\sqrt{qq^*}$ . Возникает Рупа ( $T_0$ ). Появляется разность потенциалов, равная 6 и эквивалентная Кундалини и Тоду (рис.2.7):

$$\begin{aligned} \text{Кундалини} &\equiv (T_o^2 - T_o) \cdot \int_0^1 \varphi d\varphi = \\ (16 - 4) \cdot \frac{1}{2} &= 6 \equiv 3,5 + 2,5. \end{aligned} \quad (2.101)$$

$$\begin{aligned} \text{Тод} &\equiv (T_o^2 - T_o) \cdot \int_1^0 \varphi d\varphi = \\ (16 - 4) \cdot \left(-\frac{1}{2}\right) &= -6 \equiv -3 - (+3). \end{aligned} \quad (2.101)$$

Божественная Кундалини и Бог Смерти Тод отличаются друг от друга только своей направленностью: деятельность Кундалини направлена на формирование биологической Жизни, деятельность Тода - на функциональность в Жизни после Жизни. Смерти нет.

\*\*

Обожествленные великой Цивилизацией Числа (рис.2.7) были переданы Египтянам, а те сохранили их как религиозные догматы. Но пришло время, и мы разговорили Богов (рис.2.7).

Обожествленные Числа **описывают внутреннее пятиуровневое поле ядра**, а шесть - потенциал поверхности ядра (рис.2.7).

Каждое из полей пульсирует в резонансно-антирезонансном режиме.

Великая Цивилизация первые три энергетические уровня внутреннего поля света называет формовщиками ([1], 2103).

Такое название точно, ибо на этих трех уровнях с частотой  $H = T_o \sqrt[4]{\sin \pi / 4} = 2^{7/4}$  происходит сгущение Небесных Тел, то есть импульсов  $\pm p^* = \pm 28 \cdot 10^{20}$ , попадающих в ядро через зародышевый пузырек ядерного вещества (рис.2.6).



Структура внутреннего поля ядра света (рис.2.6, рис.2.7)						
Поля		Формовщики [1]			Зародыш Цинь	
Слои в ядре (рис.2.7)		1	2	3	4	5
Режимы	Резонанс	1	$1 \cdot 2 = 2$	$1 \cdot 2 \cdot 3 = 6$	$1 \cdot 2 \cdot 3 \cdot 4 = 24$	$1 \cdot 2 \cdot 3 \cdot 4 \cdot 5 = 120$
	Анти-резонанс	$0+1 = 1$	$1+2 = 3$	$1+2+3 = 6$	$1+2+3+4 = 10$	$1+2+3+4+5 = 15$
	Приведенный	$1/1+0 = 1$	$2/3 = 0,6$	$6/6 = 1$	$24/10 = 2,4$	$120/15 = 8$
Обобщенные потенциалы		$\leftarrow 1 + \frac{2}{3} + 1 = \frac{1}{3} \cdot 8 \equiv \frac{V_{\Pi}}{H} \rightarrow$ $V_{\Pi}$ Объем Пирамиды, высотой Н			$\leftarrow \frac{8}{2,4} = 3,2 \rightarrow$	

**Энергетика сгущения небесных тел на трех уровнях формовщиков описывается пропорциями объема великой Пирамиды:**  $V_{\Pi} = \frac{1}{3} \cdot 8 \cdot 2^{7/2} = \frac{1}{3} a^2 H$  (2.103).

Энергетика четвертого и пятого уровней внутреннего поля ядра света связана с формированием зародыша **Цинь (Небес)**, имеющих потенциал 3,2 (2.103).

После излучения света ядром этот **Зародыш** расцветет Цис-транс изомерическими **Небесами над сгустком ядра Тянь**.

\*\*

Эмпирическая обработка экспериментальных данных, полученных в ядерной энергетике, заставила ученых сопоставить результаты и ввести размерности [9]:

1. Атомная единица массы (а.е.м) - 1/16 массы атома изотопа кислорода  $O^{16}$ :

$$1 \text{ а.е.м.} = 1,6597 \cdot 10^{-17} \text{ кг}; \quad (2.104)$$

2. Унифицированная атомная единица массы (у.а.е.м) -  $1/12$  массы атома изотопа углерода  ${}^6\text{C}^{12}$ :

$$1 \text{ у.а.е.м.} = 1,6597 \cdot 10^{-17} \text{ кг}; \quad (2.105)$$

3. Барн - единица измерения эффективности поперечного сечения ядерных реакций:

$$1 \text{ барн} = 10^{-24} \text{ см}^2. \quad (2.106)$$

Размерность а.е.м. точно совпадает с размерностью кислородной единицы в химии: обе размерности являются  $1/16$  веса атома кислорода.

Однако истоки этих размерностей находятся не в кислороде, а в точке поверхности ядра где происходит резонансное взаимодействие сжатие-расширение и появляется потенциал  $2 \cdot 8 = 16$  (рис.2.7, 2.100).

Достижение равновесия с потенциалом 16 требует введение потенциала  $1/16$ :

$$1 = 1/16 \cdot 16. \quad (2.107)$$

Это значит, что сама **размерность играет роль художественного слова**, описывающей к какой форме энергии относится тот или иной потенциал.

\*\*

Говоря об унифицированной атомной единице масс можно повторить всё то же, что сказано о размерности ранее (2.107).

Специфическая особенность у.а.е.м. состоит в том, что она маркирована по углероду  ${}^6\text{C}^{12}$ .

А сам углерод связан с энергетическими потоками Кундалини и резонансным ( $T_0 \cdot \tau = 12$ ) течением периодичности Рупы ( $T_0 = 4$ ) и Арупы ( $\tau = 3$ ). Это и есть **Триединое Пламя Четырех Фитилей** [1]:

$$1 = T_0 \cdot \tau \cdot 1/12. \quad (2.108)$$

\*\*

Энергетическим источником, который заставил ввести понятие Барн, является резонанс на четвертом уровне внутреннего поля ядерного вещества (2.103):

$$24 \equiv 1 \cdot 2 \cdot 3 \cdot 4 = 8 \cdot 2 + 8 \equiv \tau T_0 c / \omega_0 \equiv -\lg 10^{-24} \equiv 1 \text{ барн}. \quad (2.109)$$

\*\*

Удивительно то, что, вводя размерности точками (атомами кислорода и углерода) служат те атомы, которые являются основой биологических углеводов.

Физиологи то же эту размерность (2.107 - 2.109) не восприняли как связь с живым и ввели в свою **седиментационную систему размерностей 3** [4].

Эта система была **придумана** для исследования **рибосом** (носителей наследственности) путем окислительно-восстановительных реакций [4].

Как можно видеть (2.110) введение своей индивидуальной системы размерности не спасло биологов от дефекта рибосом, как в той же самой ситуации физиков-ядерщиков не спасла собственная размерность от дефекта масс.

**Биологи, как и физики, считают резонансные-антирезонансные процессы только по антирезонансу. Отсюда и дефект. Они в умах, а не в Природе.**

Нарушение закона сохранения веса веществ в биологии					
Рибосомы	Исход- ные	Пере- ход	Промежу- точные	Пере- ход	Конеч- ные
Описание реакций	$2\Box+2\Box$ антире- зонанс	$+Mg^2$ $\Leftrightarrow$ $-Mg^2$	$\Box\Box$ резонанс	$+Mg^2$ $\Leftrightarrow$ $-Mg^2$	$\Box\Box\Box\Box$ резонанс
Баланс состояний	$50S+30S \Leftrightarrow 70S \Leftrightarrow 100S$ где каждая клеточка - число рибосом, а 50S; 30S; 70S; 100S - энергия рибосом в седиментационных единицах				
Дефект рибосом	$\Delta = 70S - (50+30)S = -10S$		$\Delta = 100S - 70S = 30S.$		

(2.110)

\*\*

В исходных хромосомах (2.110) антирезонанс затрагивает из двух  $2\Box+2\Box$  только одну структуру  $2\Box \equiv 50S$ . Вторая структура  $2\Box \equiv 30S$  вступает в резонансное взаимодействие.

Разность между резонансным и антирезонансным количеством рибосом в этом случае составит величину, равную и эквивалентную взаимодействиям:

$$50S - 30S = 20S \equiv \frac{\overset{\circ}{\Delta K} = 1400 \overset{\circ}{A}}{\overset{\circ}{\Delta J} = 70 \overset{\circ}{A}} \equiv \rho_5 \cdot \lg \rho_1 \rho_2 \rho_3 \rho_4 \rho_5. \quad (2.111)$$

Отношение резонансно - антирезонансных рибосом формируется под действием пульсации поверхности Рупы ( $T_0 \pm 1$ ), связанной с её описанием с помощью сторон-векторов священного треугольника Строителей Пирамид:

$$\frac{50S}{30S} = \frac{5}{3} \equiv \frac{T_0 + 1}{T_0 - 1} \equiv \dots \quad (2.112)$$

Эта пульсация рибосом в полях масс относительного покоя является источником формирования самой загадочной Постоянной Вселенной - постоянной Тонких Структур ( $1/\alpha$ ):

$$\frac{1}{\alpha} = \frac{5}{3} \pi e \equiv \frac{5}{3} cm_o^c \equiv 137,0000021. \quad (2.113)$$

\*\*

Учитывая резонансно - антирезонансные *переходы* биореакцию хромосом надо записать так (2.110):

Резонансно-антирезонансная биореакция хромосом [4]			(2.114)
Режим	Антирезонанс	Резонанс	
Хромосомы	$2\Box$	$2\Box \leftrightarrow \Box\Box \leftrightarrow \Box\Box\Box\Box$	
Энергия	$50S$	$30S \leftrightarrow 70S \leftrightarrow 100S$	
Пульсация	Частичный резонанс	$\frac{30S + 70S + 100S = 200S}{50S} = 4 \equiv T_o$	
	Полный резонанс	$\frac{30S \cdot 70S \cdot 100S = 21 \cdot 10^4 S^3}{50S} \equiv 42 \cdot 10^2.$	

В резонансно-антирезонансном поле пульсации хромосом (2.114) всё классика:

- антирезонансные хромосомы  $50S$  подобие частоте пульсации цис-транс изомерии небес Цинь, позднее обожествленные Каббалой как всемогущий Бог Айн СОФ [3];
- произведение, равное  $21 \cdot 10^4 S^3$ , описывает пульсацию субструктуры (9+0) живой биоклетки с индукцией  $10^4$  1/A (2.114):

$$21 \cdot 10^4 S^3 \equiv (5 \Leftrightarrow +7 \Leftrightarrow +(9+0) \equiv 5+7+9=21) \times 10^4 1/A \cdot S^3; \quad (2.115)$$

- полный резонанс хромосом с потенциалом  $42 \cdot 10^2$  подобен длине волны в  $4200 \text{ \AA}$ , при которой **магнитный импульс** вызывает в чакре Третий Глаз биоток силой  $10^{-4} \text{ A}$  и индукцию  $10^4 \text{ A}^{-1}$ ;

- полный резонанс хромосом вызывает формирование в твоём сердце 42 Божеств, взаимодействующих с эффективностью  $\rho_5^2$  (2.14):  $42 \cdot 10^2 \equiv [21 - (-21)] \cdot r_5^2$ .

\*\*

Хромосомы энергетически связаны с точкой - излучателем на поверхности ядра (рис.2.7):

<b>Антирезонанс в точке излучения (рис.2.7) и число хромосом</b>	
Количество хромосом	$2\Box + 2\Box \cdot \Box\Box + \Box\Box\Box\Box = 10\Box$
Эквивалент числу хромосом	$T_o \cdot c / \omega_o + T_o \cdot \omega_o / c \equiv 8+2 \equiv 10 \equiv \rho_5$

(2.116)

Количество хромосом будет увеличиваться на шесть Единиц (эквивалентность Кундалини) при переходе от антирезонанса в точке - излучателе к резонансу (2.116):

$$T_o \cdot c / \omega_o \cdot T_o \cdot \omega_o / c - (T_o \cdot c / \omega_o + T_o \cdot c / \omega_o) =$$

$$8 \cdot 2 - (8+2) = 6, \quad (2.117)$$

где разность этих же потенциалов будет эквивалентна свету (2.117):

$$[8 \cdot 2 - (8+2)]^2 = 36 = 3600 \cdot 10^{-2} \equiv \Delta B \cdot \rho_2^2. \quad (2.118)$$

В поле света появляется **Человек**. И этому Человеку дано понять, что атомная энергетика имеет одни законы для **экзотермических ядерных реакций**, сжатых сгустков, **эндотермических реакций** метагалактических волн Космоса Невесомости, эндо-экзотермических процессов в биоорганизмах.

**Эндо-экзотермическую ядерную энергетику объединяет свет, придавая им индивидуальную специфичность за счет различия степени поляризации (угла поворота) фронта плоскости волны света.**

\*\*

Человек связан со своей оболочкой (**потенциал 49**) сгустком своего тела (**Тянь**) и светом:

<b>Человек между сгустком Тела и его оболочкой</b>				
Источник информации	Библия	Книга Перемен	Русские Руны [4]	Эффективность сечения ядерных реакций
Название потенциала	Число Человека	Сгусток Тянь	Оболочка	1 барн = $10^{-24} \text{ см}^2$ и $-\lg 10^{-24} \equiv 24 \equiv \rho_2 \Delta B$
Потенциалы		113	64	49
Равновесие и пульсация	Сумма	$113 = 64 + 49$		
	Разность	$113 \Leftrightarrow 64 - 49 = 15 \equiv 1+2+3+4+5$ Внутреннее поле света		
Новое равновесие	Сумма разностей	$(113 - 113) - (64 - 64) + 49 - (-49) = 98$		
	Разность сумм	$(113 + 113) - (64 + 64) - 49 + (-49) \equiv 226 - 128 = 98$		

(2.119)

Произведение логарифма значения барна на 42 Божества сердца приводит к постоянной Вселенной:

$$1008 \equiv 28 \cdot 36 \equiv 24 \cdot 42 \equiv \dots \equiv 16 \cdot 63 \equiv 10^3 (A_{H2}=1,008). \quad (2.120)$$

В энергетическом поле Человека появляется тысяча атомов водорода, электрическое поле ( $16 = \sqrt{qq^*}$ ) в периодической системе геномов с потенциалом 63 и так далее.

\*\*

**Нуклоны мы выдумали.** И даже стали открывать. Открывать не потому, что они есть, а потому, что любой эксперимент истолковывается в пользу господствующего в современной науке **Мировоззрения**.

Человечество выдумало бессмертных Богов и забывало о них, как забывают о смертных.

Но ещё не понятые в своих закономерностях природные явления человечество истолковывало как случайности или чудеса. Религии возводили чудеса в догмы и праздновали, отмечая догмы 365 дней в году.

Науку и Религии сегодня объединяют иллюзии, и разъединяет Реальность Единого Космоса.

**Однако пока Земля занята разборками между собой, великие Цивилизации летают, а наши Правители скрывают инопланетные контакты.**

Скрывают потому, что знают: великая Цивилизация нам вреда не принесет, **но польза, которую мы получим, сбросит правителей и общественно-экономические формации современности в Небытие.**

\*\*

Великая Цивилизация **не имеет права** что-либо делать за нас: у нас есть свобода Воли.

**Наше Светлое Будущее мы должны создавать сами.**



## 2.7 Динамическая структура капли ядерного вещества: конструктов и функциональность НЛО

В 2003 году над пшеничным полем в Адыгее завис НЛО и оставил следы: примятая пшеница в форме пяти concentric окружностей, парабола и ещё одна окружность (рис.2.8). Следов огня не было. Пшеница была только примята.

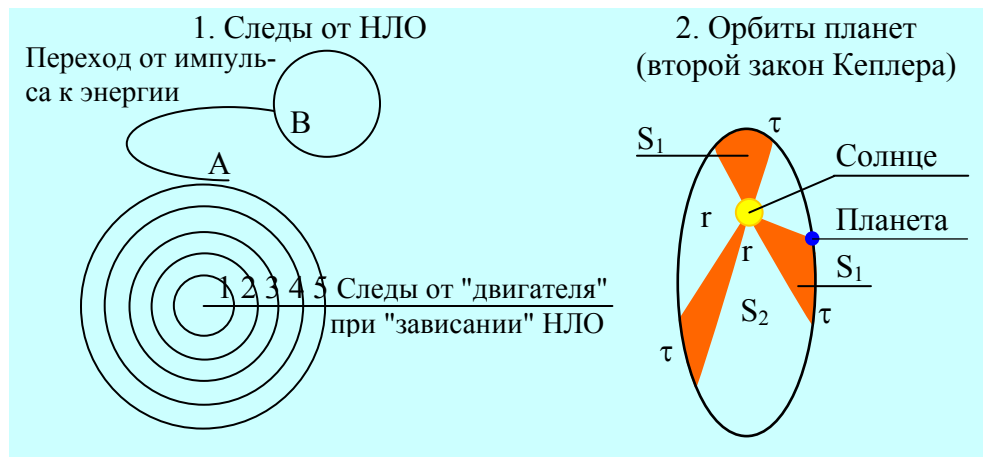


Рис.2.8 Следы от НЛО на пшеничном поле.  
Второй закон Кеплера (к строению ядра)

Следы на пшенице означают следующее:

- Двигатель НЛО работает по принципу поведения магнитного поля в ядерном веществе и пять concentric окружностей, следы от "выхлопов" двигателя, который работает по принципу внутреннего поля света (2.103).
- На пятом уровне, последнем перед поверхностью в магнитном поле ядра возникают сначала релаксационные колебания (2.99), а затем колебательный контур (2.96). **Люминесцентные холодные фотоны создают силу тяги, эквивалентную гравитации (2.96):**

$$0 \Leftrightarrow 10^{40} \Leftrightarrow 28 \equiv \sqrt{\rho\rho^*}, \quad (2.120)$$

и НЛО по параболе переходит в режим взлёта, а магнитный квант в ядерном веществе переходит с пятого уровня внутреннего поля ядра на её поверхность и излучается.

- Окончание параболы заканчивается кругом (рис.2.8). Этот круг - след от взлёта НЛО. В ядре подобием круга - следа взлёта будет являться точка излучения -μ с поверхности ядра.

- Топливом для НЛО служит не керосин, а неисчерпаемые метагалактические волны Тонких Энергий Космоса, которые в ядре попадают в зародышевый пузырёк ядра (рис.2.6, 2.87), а в НЛО в рабочую камеру двигателя, наполненную жидким люминофором.

- Масса аппарата НЛО должна быть подобна массе относительного покоя ( $m_0 = e$ ), а энергетика полёта аналогична процессу формирования постоянной Тонкой Структуры  $1/\alpha$  (2.113).

\*\*

В своём полёте НЛО то входит в гравитационные поля, то возвращается в Космос Невесомости.

Свойства света меняются. В поле гравитации двигатель НЛО поглощает **экзотермические фотоны**, а тягу создаёт за счёт эндотермических люминесцентных фотонов [12].

В полях Невесомости Космоса поглощаться будут **экзотермические фотоны**, а тягу создавать эндотермические.

Великая Цивилизация решала этот вопрос переходом с режима на режим за счёт **"трёх сосудов"**.

На эти сосуды первым обратил внимание Гриневич, изучая наскальные рисунки похожие на ракеты.

Все нарисованные типы ракет имели три сосуда (рис.2.9). Судя по теории ядра, работа сосудов состояла в следующем:

Поглощение-излучение фотонов сосудами (рис.2.9)			
"Сосуды"	1	2	3
Поглощают	Экзотер- мические	Переход	Эндотер- мические
Излучают	Эндотер- мические	Переход	Экзотер- мические

(2.121)

1, 2, 3 - сосуды (2.121)

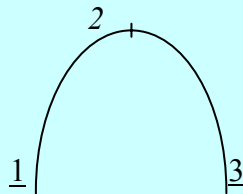


Рис.2.9 Изменение  
режимов в двигателе  
НЛО

На пути создания нами НЛО  
встала информатика запугивания ти-  
па работ: Большой Сфинкс знак Бе-  
ды [73]. Почему? По моему Сфинкс  
к нашим радостям - печалям никако-  
го отношения не имеет. Сфинкс это  
реперная точка (точка начала отсче-  
та) площади - антенны  $a^2 \equiv \sqrt{2}^2$ , для

приемо-передающего устройства связи из трёх Пирамид в  
городе Гизе, работающих по принципу трёх сосудов  
(рис.2.9, 2.121) и передающую информацию великой Ци-  
вилизации на Созвездие Орион [12].

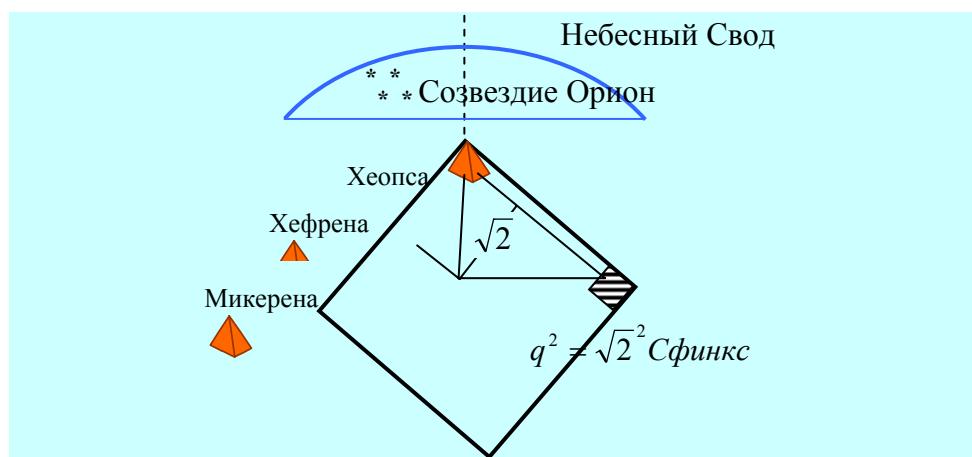


Рис.2.10 Сфинкс, как реперная точка сосудов (рис.2.9, 2.121) -  
Пирамид: устройства связи с созвездием Орион

Так почему Сфинкс знак беды?

При том превосходстве великой Цивилизации над нами, **Им нас уничтожить, что клопа раздавить**. Но они этого не делают и не сделают, ибо **Они наши Создатели и блюдут нас для Светлого Будущего**, а не для рабства под пятой золотого тельца.

\*\*

**Поглощая метагалактические волны, двигатель НЛО сгущает их**, как мы компрессией сгущаем керосин в двигателях внутреннего сгорания.

*Компрессия* (сгущение) метагалактических волн в двигателе НЛО происходит по законам, описанным элементами великой Пирамиды (рис.2.4, табл.2.14).

Геометрия сопла в двигателе НЛО могла быть скопирована, например, с геометрии поры ядра ядерной оболочки клетки амфибии (рис.3.3, табл.2.17).

Таблица 2.17

**Сопоставление поры ядра оболочки биоклетки с  
объемом великой Пирамиды: к разрезу сопла НЛО**

Размеры	$d_1 = 1200$	$d_2 = 780$	$d = 660$	$\delta = 420$
Потенциалы векторов	$k_1 \equiv \frac{d_1}{d_2 - d} = 10 \equiv \rho_5$	$k_2 \equiv \frac{\delta}{d_2 - d} = \frac{7}{2}$	$k_3 \equiv \frac{\delta + (d_1 - d)}{d_1 - d} = 8$	
Отношение к Космосу	Эквивалентность взаимодействия света	Кундалини расширения	Эквивалентность расширения Вселенной	
Импульс из Метагалактики	$\frac{H}{\tau} \equiv \frac{T_0^4 \sqrt{\sin \pi / 4}}{\tau} = \frac{4 \cdot 2^{-1/4}}{3} = \frac{1}{3} \sqrt[4]{2}^7$ Треть от произведений элементов Пирамиды (табл.2.14)			
Тонкая Энергия (Н/τ) в объёме (V <sub>П</sub> ) сгустка великой Пирамиды	Статика		Динамика	
	$V_{\Pi} \equiv k_3 \cdot \frac{H}{\tau} = \frac{1}{3} (8 = a^2) \cdot H =$ Объем великой Пирамиды		$V_{\Pi} \cdot k_1 \cdot k_2 = 1/3 \cdot 8 \cdot 2^{7/4} \cdot 10 \cdot 7/2 \equiv 280/3 \cdot H$ Гравитация в сгустке и свободный импульс Н/τ.	

\*\*

**Пора ядра ядерной оболочки биоклетки могла послужить прообразом конструкции сопла двигателя НЛО (табл.2.17).**

При такой конструкции сопла двигателя НЛО, какой обладает пора ядра ядерной оболочки биоклетки, сила тяги двигателя будет в 35 раз превышать силу гравитационного притяжения (табл.2.17):

Преодоление гравитации НЛО и биоклеткой				(2.122)
Параметры	Гравитационное притяжение	Сила подъемной тяги	Отношение: преодоление гравитации	
Потенциалы	$V_{\Pi} = \frac{1}{3} 8 \cdot 2^{7/4} \equiv \frac{1}{\tau} a^2 \cdot H$	$V_{\Pi} \cdot k_1 \cdot k_2 = V_{\Pi} \cdot 10 \cdot \frac{7}{2} \equiv 35 \cdot V_{\Pi}$	$F = 35 V_{\Pi} / V_{\Pi} = 35.$	

Тридцатипятикратное превосходство силы подъемной тяги над гравитацией даёт возможность НЛО совершать взлёт с масс, а биоклеточным организмам поднимать жидкие среды (соки растений, кровь, лимфу и так далее) от нижних конечностей к верхним.

\*\*

В физиологии есть точка зрения: подъём крови от ног к голове происходит за счёт микровзрывов.

**Подъём крови от ног к голове**, вопреки законам земного тяготения, происходит потому, что этот **подъём происходит под напором пульсирующих волн, поступающих из Метагалактики** через пору ядра ядерной оболочки биоклетки.

Метагалактические волны пульсируют и заставляют пульсировать пору ядра биоклетки, а физиологи принимают эту пульсацию за микровзрывы.

Выдумать можно что угодно, если отвергаешь Тонкие Энергии.

\*\*

Метагалактические волны-импульсы  $\rho^* = 28 \cdot 10^{20}$  достигают **зародышевого пузырька в Недрах Ядра** и создают жидкую магнитную плазму ядерного вещества.

Космический импульс  $H/\tau$  и  $T_0 \sqrt[4]{\sin \pi / 4} = H$  (табл.2.17), начинают реагировать с ядерным веществом уже **на его поверхности**, то есть на шестом уровне, например в точке В (рис.2.8).

**В точке В начинается пульсация импульса, а на поверхности Капли ядерного вещества возникает электрическое поле (табл.2.18).**

Таблица 2.18

**Формирование электрического поля  
метагалактическими волнами на поверхности  
Капли ядерного вещества ( $T_0 \sqrt[4]{\sin \pi / 4} = H$ )**

Волны		Стадии		
		1	2	3
Н	Электричество	$T_0 \equiv \sqrt[4]{qq^*} = 4$	$T_0^2 \equiv \sqrt{qq^*} = 16$	$\Gamma_0^4 \equiv (qq^*)^2 = 256$
	Среда	$\sqrt[4]{\sin \pi / 4} = 2^{-1/4} \Leftrightarrow \sqrt{\sin \pi / 4} = 2^{-1/2}$		$\Leftrightarrow \sin \pi / 4 = 2^{-1}$
Связь компонент		$4 \cdot 2^{-1/4} = 1/4$	$16 \cdot 2^{-1/2} = 4$	$256 \cdot 2^{-1} = 128$
Отношения	$1/4 \equiv 1$	1	16	512
	$16 \equiv 1$	1/16	1	32 Цинь.

В условиях, когда за одну относительную единицу берётся электрическое поле, то есть **равновесие определяется относительно  $\sqrt{qq^*}$** , то над электрическим полем появляются Небеса Цинь, а в **Недрах Электрического Сгустка** появляется **Зародыш с потенциалом 1/16** (табл.2.18).

Д.И.Менделеев и физики-атомщики угадали правильность выбора  $1/16$  *атомного веса кислорода* для выделения кислорода для определения квантовых переходов в химии и ядерной физике. В обоих случаях происходило совпадение с  $1/16 \equiv 1/\sqrt{qq^*}$  (табл.2.17) с  $1/16$  атомного веса кислорода:

$$\frac{1}{16} \equiv \frac{1}{\sqrt{qq^*}} \equiv 1 \text{ кислородная единица} \equiv 1 \text{ а.е.м.} \quad (2.123)$$

(химия)                      (ядерная физика)

\*\*

В точки А и В (рис.2.8) поступают энергетические потоки.

В точку А поступает отрицательный магнитный (-μ) заряд (рис.2.8, 2.89); в точку В гравитационный импульс  $\sqrt{qq^*}$  (рис.2.8, табл.2.18); а поле АВ насыщается фотонами (рис.2.8, 2.95, табл.2.19).

Таблица 2.19

**Динамическое равновесие между магнитным и электрическим полями (рис.2.8)**

Поля	Формы энергии			
	Магнитная (точка А)	Фотоны (поле АВ)	Электрическая (точка В)	Сине - голубая среда
Без Памяти μ*	-μ = -14·10 <sup>-20</sup>	10 <sup>20</sup> ⇔ 10 <sup>-20</sup>	16 = $\sqrt{qq^*}$	$\pm \int_{-14}^{16} \varphi d\varphi =$
С Памятью μ*	-14 = $\sqrt{\mu\mu^*}$	10 <sup>20</sup> ⇔ 10 <sup>-20</sup>	16 = $\sqrt{qq^*}$	$\pm 30 \equiv$ $\Delta C \equiv \Delta G.$

С позиции геометрии мы имеем дело с переходом от одной координаты ( $A \equiv X$ ) к другой ( $B \equiv Y$ ).

Переход от  $A \equiv X$  к  $B \equiv Y$  происходит по параболе АВ, уравнение которой соответствует:

<b>Параболические переходы между магнетизмом и электричеством</b>				(2.124)
Направление	К магнит- ному	К электриче- скому	Фокальные параметры	
Потенциалы парабол	$x^2 = 2p, y$ $14^2 = 2p, 16$	$y^2 = 2p, x$ $16^2 = 2p, 14$	$p_1 = \frac{14^2}{2 \cdot 16} = 6,125$ $p_2 = \frac{16^2}{2 \cdot 14} = 9,142.$	

В энергетическом поле между электрической поверхностью Ядра-Капли и её пятым уровнем магнитного внутреннего слоя возникают параболические колебания, возмущающие окружающую среду, в которой фокальные параметры парабол создают интегральную разность потенциалов (2.124):

<b>Возмущенная среда в ядре между её электрической поверхностью и пятым магнитным уровнем (рис.2.8) в условиях параболических колебаний (2.124)</b>	<b>(2.125)</b>
$\int\limits_{p_1}^{p_2} \varphi d\varphi = \int\limits_{6,125}^{9,142} \varphi d\varphi = \pm 23 .$	

Следует подчеркнуть, что **при посадке** НЛО (поглощении кванта ядром) используется парабола **к магнетизму** (2.124), а **при взлёте** - **к электричеству**:



Использование в НЛО параболических колебаний (2.124)			
Стадии полёта	Посадка	Зависание	Взлёт
	К магнетизму	Равновесие	К электричеству
Режим полёта	$p_1 = \frac{x^2}{2y} =$ $\frac{14^2}{2 \cdot 16} \equiv 7 \cdot \frac{7}{8} \equiv$ $(T_0 + \tau) \frac{\mu}{q} \equiv$ $(T_0 + \tau) \frac{\mu^*}{q^*} \equiv$ $(T_0 + \tau) \sqrt{\frac{\mu \mu^*}{q q^*}}$	$\frac{1}{23} \cdot \int_{p_1}^{p_2} \varphi d\varphi =$ $\frac{1}{23} \cdot 23 = 1$	$p_2 = \frac{y^2}{2x} =$ $\frac{16^2}{2 \cdot 14} \equiv 8 \cdot \frac{8}{7} \equiv$ $\frac{q}{\mu} \equiv \frac{c^3}{\omega_0^3} \equiv$ $\frac{q^*}{\mu^*} \equiv \frac{c^3}{\omega_0^3} \equiv$ $\sqrt{\frac{q q^*}{\mu \mu^*}} \cdot \frac{c^3}{\omega_0^3}.$

(2.126)

При подъёме НЛО развивает силу тяги своими двигателями-соплами и оставляет следы на поле старта, так как квант энергии излучается в окружающую среду (2.126).

**При посадке** магнитный квант энергии может поглощаться люминофорами в сосудах двигателей (2.126).

**Тогда на месте посадки никаких следов от работы двигателя оставаться не должно.** Поэтому на пшеничном поле в Адыгее мы видим следы от зависания НЛО над полем в форме пяти концентрических окружностей и следы от параболы взлета (рис.2.8).

Окружность с точкой В (рис.2.8) говорит о том, что она является следом от старта НЛО в Космические дали.

\*\*

Точечный электрический участок **поверхности Капли ядра пульсирует** (табл.2.18).

В интервале Продолжительности, когда из Космоса Метагалактики в точечный участок электрической поверхности энергия не поступает (а из Недр Ядра продолжает поступать) электрическая точка на поверхности пульсирует так, как показано в табл.2.18.

На поверхности капли ядерного вещества начинает формироваться электрический сгусток (табл.2.20).

Таблица 2.20

**Электрический сгусток на поверхности  
капли ядерного вещества (табл.2.18)**

	Зародыш	Поверхность	Объём
Диапазоны пульсации (табл.2.18)	$1/16 \rightarrow 1$	$1 \rightarrow 16$	$32 \rightarrow 5/2$
Электрические интегральные разности	$k_1 \equiv \int_{1/16}^1 \varphi d\varphi \equiv \frac{16^2 - 1}{2 \cdot 16^2}$	$k_2 \equiv \int_1^{16} \varphi d\varphi \equiv \frac{1}{2} \cdot (16^2 - 1)$	$k_3 \equiv \int_{32}^{512=32 \cdot 16} \varphi d\varphi \equiv \frac{32^2}{2} \cdot (16^2 - 1)$
Элементы шаровой молнии	$\frac{k_3}{k_1} = 4 \cdot 16^4$	$\frac{k_3}{k_2} = 32^2$	$\frac{k_3^2}{k_1 k_2} = 32^4 \cdot 16^2$ $16^7$ шаровая молния.

**Появление на поверхности Капли-Ядра шаровой молнии приводит к формированию критической электрической массы.**

Как и любая критическая масса (вспомните критическую массу, например, урана и сопутствующий ей ядерный взрыв), **критическая электрическая масса шаровой молнии взрывается.**

Энергию взрыва критической электрической массы великая Цивилизация использует в НЛО как топливо.

Научившись создавать шаровые молнии разных по мощности, великая Цивилизация использует их энергию в различных отраслях своей деятельности.

Взрыв шаровой молнии, тем более эндотермической, экологическое равновесие не сдвигает.

\*\*

Чтобы научиться управлять шаровыми молниями, **а не расшвыривать их по всякому поводу, как это делал Зевс с Олимпа**, надо понять закономерности поступления метagalактических волн Космоса в электрическую точку на поверхности Капли ядерного вещества.

Прежде всего, отметим следующее:

❖ Волны-импульсы  $\rho^* = 28 \cdot 10^{-20}$  поступают в зародышевый пузырёк ядра (рис.2.6) и трансформируются в магнитное поле с потенциалом  $-\mu$ .

Капля ядерного вещества это Руна (Форма, инерционная система), в которой периодичность равна  $T_0^2 = 4^2$ . Поэтому в магнитном ядерном веществе постоянной среды будет импульс зарядов:

$$\text{Const}_\mu \equiv -\mu T_0^2 = -14 \cdot 10^{-20} \cdot 4^2 \equiv -254 \cdot 10^{-20}. \quad (2.127)$$

Магнитное ядерное вещество будет вращаться в одну сторону, как Земля с Востока на Запад, но пульсации ядерного вещества в Космосе являются источником формирования в нём всех существующих в Природе зарядов-импульсов:

<b>Формирование пульсаций Космоса зарядов-импульсов в ядерном веществе (2.127)</b>	
Положительные	Отрицательные
$(\text{Conct}_\mu = -224 \cdot 10^{-20}) \int_1^0 \varphi d\varphi$ $= -224 \cdot 10^{-20} \left( -\frac{1}{2} \right) = 112 \equiv$ $7\sqrt{qq^*} = 8\sqrt{\mu\mu^*} = 4\sqrt{\rho\rho^*}$	$(\text{Conct}_\mu = -224 \cdot 10^{-20}) \int_0^1 \varphi d\varphi = -$ $224 \cdot 10^{-20} \left( +\frac{1}{2} \right) = -112 \equiv$ $-7\sqrt{qq^*} \equiv -8\sqrt{\mu\mu^*} \equiv -4\sqrt{\rho\rho^*}$
P.S. Переход от Гармонии к Хаосу	P.S. Переход от Хаоса к Гармонии

(2.128)

❖ **Волны-импульсы, эквивалентные  $H \cdot \text{Sec } \pi/4 \equiv T_0 \cdot \text{Sin } \pi/4 \cdot \text{Sc } \pi/4 \equiv T_0$ , не могут прорваться сквозь ядерное вещество и поступают из Космоса на электрическую поверхность Капли-Ядра.**

На поверхности Капли эти волны  $\left( T_0 = \sqrt[4]{qq^*} \equiv \text{Sc}^4 \frac{\pi}{4} \right)$  будут пульсировать с периодичностью присущей Рупе, то есть с  $T_0 = 4$ , но перед поверхностью ядра эти волны находятся в Арупе Космоса и пульсируют с периодичностью  $\tau = 3$ .

В приповерхностном слое ядра, атмосфере над ядром (Цинь), возникает резонансно-антирезонансная пульсация (табл.2.21).

В живых магнитах появляется электрический биоток (2.127, табл.2.21).

**Пульсация между электрической поверхностью ядра  
и Космосом Невесомости**

По- ле, × Sc4 π 4	Кон- тур коле- бания	$\frac{\text{Резонанс}}{\text{Антирезонанс}} \Leftrightarrow \frac{T_0 \tau}{T_0 + \tau} \Leftrightarrow \frac{T_0 - \tau}{T_0 \tau} \Leftrightarrow \frac{\text{Антирезонанс}}{\text{Резонанс}}$	
	Свет, заряды	$(T_0 \tau)^2 = 12^2 \Leftrightarrow 7 = T_0^2 - \tau^2;$ Свет: $36 \Leftrightarrow 7/4,$ - пальма $p/q \equiv \dots$	
Формирование субструктуры (9+0)		$36 \cdot (\text{Sc}^4 \frac{\pi}{4} = 4) \Leftrightarrow \frac{7}{4} (\text{Csc}^4 \frac{\pi}{4} = 4);$ $(9+0) \Leftrightarrow 7$	
Появление субструктуры (9+2) и 5		$(9+0) \pm 2;$ $11 \Leftrightarrow 9 \Leftrightarrow 7$	$7 \pm 2;$ $9 \Leftrightarrow 7 \Leftrightarrow 5$
Биоток в субструктурах		$\sqrt{qq}^* = \overset{(9+2)}{\int_5} \varphi d\varphi - 2 \overset{(9+0)}{\int_7} \varphi d\varphi = 48 - 32 = 16$	
Пульсация биотока		$\left  \frac{48 \cdot 32}{48 - 16} \Leftrightarrow \frac{48 + 16}{48 \cdot 32} \right  \rightarrow \left  k_1 = (48 \cdot 32)^2 \Leftrightarrow 48^2 - 16^2 = k_2 \right $	
Электрическая постоянная		$\text{Const}_q \equiv \frac{k_1}{k_2} = 18 \cdot 64 \equiv \text{Вода} \times \text{Тянь}.$	

<b>Электрический биоток в живых магнитах: электромагнетизм живого</b>		
Форма поля		Процессы
Кундалини в воде	Электро- магнетизм	$\frac{Const_q}{Const_\mu} \frac{18 \cdot 64}{-224 \cdot 10^{-20}} \Leftrightarrow \frac{-224 \cdot 10^{-20}}{18 \cdot 64} = \frac{Const_\mu}{Const_q}$
	Результат	$\frac{(18 \cdot 64)^2}{(-224 \cdot 10^{-20})^2} = \left( \frac{18}{3,5} \right)^2 \cdot 10^{40}$

(2.129)

Индусы правы, говоря о сотворении Мира: Лакшма (богиня) выходит из воды и начинает созидать. Но поскольку созидание протекает с семеричной периодичностью и под оболочкой, то возникает свет (2.129):

<b>Свет под живыми ↔ оболочками</b> $(\text{Оболочка} \equiv 49 = 7^2) \cdot (18/3,5)^2 10^{40} = (36 \cdot 10^{20})^2,$ где $3600\text{\AA} \equiv \Delta B \equiv 3600.$	(2.130)
--	---------

В живом под оболочкой заработали биочасы, НЛО в своей оболочке умчалось в Глубины Космоса; а НЕЖИ-ВОЕ, что когда-то было живым и *Преступило, не откликнувшись на наш призыв "Будь с Нами" до "Великого Дня" [1], - вновь начала свой скорбный путь: сначала Камень, затем Металл, потом Растения и так далее [1].*

**Энергия, даже в никчемной форме, не исчезает, но появляется вновь!**

## 2.8 Биочасы: микротрубочка ядра клетки

Поток фотонов в ядерном веществе, достигая  $10^{40}$  фотонов, расщепляется и начинает взаимодействовать с окружающей средой: в эндотермии появляются слабые взаимодействия ( $\rho_2 = 10^{-1}$ ), в экзотермии - взаимодействия солнечного света ( $\rho_5 = 10$ ). Возникает вечная пульсирующая неравновесная колебательная система:

Колебания фотонов во взаимодействиях		(2.131)
Расщепление фотонов Капли Ядерного Вещества	Эндо (слабые) -экзо (солнечные) термические взаимодействия фотонов	
$10^{40} \equiv \frac{10^{20}}{10^{-20}} \Leftrightarrow \frac{10^{-20}}{10^{20}}$	$\frac{\rho_5^n}{\rho_2^{n+1}} = 10^{\pm 2nm1} = \frac{\rho_2^{n+1}}{\rho_5^n}.$	

**Возникает колебательный контур фотонов, который определяет динамику всех уровней существующих в Природе взаимодействий.**

\*\*

Как реальной физически существующей субстанции **Времени в Природе нет.**

Есть **Продолжительность** трансформации одной формы энергии в другие формы.

Трансформация одних форм энергии в другие протекает вечно, ибо трансформация энергетических форм - это **Движение**, а **Движение является формой Бытия Единого Космоса.**

\*\*

**Наша Иллюзия о Времени удобна**, так как связывает цепь последовательных Продолжительностей.

**Наша Иллюзия о Времени не удобна**, так как при различных скоростях трансформации энергетических форм Продолжительности меняются и нашим физикам - теоретикам приходится говорить о различной скорости течения Времени, не понимая сущности происходящего.

Однако сущность изменения продолжительности проста и объясняется резонансно-антирезонансной пульсацией процессов в Рупе - Арупе:

Различные величины Продолжительностей			
Продолжительности		Пульсация	
Рупа	Арупа	Антирезонанс	Резонанс
$T_0 = 4$	$\tau = 3$	$T_0 + \tau = T_0^2 + \tau = 7;$ $T_0 - \tau = 1$	$T_0 \tau = 12$ $\frac{T_0}{\tau} = \frac{\tau}{T_0}.$

(2.132)

Комбинации из различных форм свойств-сочетаний Продолжительностей мы принимаем за **различные скорости Течения Времени** и объявляем: "Эйнштейн установил, **что** в Космосе Невесомости Время течет медленнее, чем на Земле. Если ты улетаешь в Космос на год, то вернёшься молодым, а на Земле все состарятся".

Ничего подобного, в космическом полете ты должен поддерживать Земной режим, иначе умрешь, ибо твой организм не приспособлен к Жизни в открытом Космосе без защитных приспособлений. Так что будем стараться вместе.

**Наша Иллюзия о Времени вредоносна тем, что разрывает естественную связь трансформации субстанции в Продолжительность**

Существующее понятие Времени **не затрагивает Вещества - Субстанции**, бытие которых проходит в этом Времени.

Понятие Продолжительности, используемое великой Цивилизацией, связано с веществом: **отношение количества субстанции в процессе её трансформации в другую форму равно интегралу Продолжительности этой трансформации.**

Эта связь Субстанции и Продолжительности - важнейший Закон Единого Космоса.

\*\*

В трехмерном Пространстве Свет сгущался, и связь координат Пространства к Продолжительности была равновесной:

$$\frac{x+y+z}{\tau} = \frac{1+1+1}{3} = 1. \quad (2.133)$$



В этом равновесном эндотермическом поле слабых взаимодействий в Арупе возникла эффективность с потенциалом пространство - продолжительность:

$\rho_2^{x+y+z} \equiv 10^{-3} \Leftrightarrow 10^{-3} \equiv \rho_2 \tau$	
Пространство	Продолжительность

(2.134)

Пространство, которого вне Энергии нет, пульсировало в Продолжительности (2.134) между сжатием и расширением, создавая сгустки эндотермического люминофора света (табл.2.22).

Таблица 2.22

**Формирование в Арупе  
люминесцентных сгустков Света**

Параметры	Взаимодействия (2.134)	Пульсация		Массы сгустков	
		Сжатие	Расширение	Солнечная (сжатие)	Люминесцентная
Потенциалы	$\rho_2^3=10^{-3}$	$T_0\omega_0/c=2$	$T_0c/\omega_0=8$	$m_c^{**}=0,002$	$m_c^*=0,008$
Равновесие	$(m_c^{**}=0,002)^3 \cdot 10^6 = 0,008 = m_c^*$				

Равновесие между Зародышем сжатой экзотермической солнечной массы и Зародышем расширяющейся эндотермической люминесцентной массы возникает при наличии взаимодействий с эффективностью  $10^6$  (табл.2.22):

$$m_c^* = m_c^{**}, \quad (2.135)$$

где  $\rho_1$  и  $\rho_2$  - соответственно **дальнодействующие** гравитационное и электромагнитное взаимодействия.

Примечание. Если к массе приложить ток частотой  $10^6$  герц, то масса будет светиться люминесцентным светом (у живого это Аура).

Фотографирование свечения над массами при частотах  $10^6$  герц вошло в науку как эффект Кирлиана.

\*

\*\*

В дальнедействующих взаимодействиях эффективностью  $10^6$  в поле света ( $\rho_5 = 10$ ) возникают колебания:

$$10^6 \cdot (\rho_5 = 10) = 10^7 \Leftrightarrow \frac{1}{10^7 = 10^6 \rho_5}, \quad (2.136)$$

и

$$\rho_4 = 10^{14} \Leftrightarrow 1 \Leftrightarrow 10^{-14} = \rho_1^{\frac{1}{6} \cdot 7}. \quad (2.137)$$

В полях ядерных короткодействующих взаимодействий возникают магнитные и электрические среды (2.136):

Формирование электромагнитных сред свет в условиях ядерного взаимодействия			
Среды в ядре	электрическая	Ядерные взаи- модействия	магнитная
Потенциалы	$\frac{\varepsilon_0 c^2}{4\pi}$	$\rho_4 = 10^{14} \equiv$ $10^7 : 10^{-7}$	$\frac{\mu_0}{4\pi}$
Постоянные сред [9]	Электрическая постоянная: $\varepsilon_0 = 10^7/4\pi c^2$ Ф/м Магнитная постоянная: $\mu_0 = 4\pi 10^{-7}$ Г/м.		

(2.138)

\*

\*\*

На поверхности ядра эффективности ядерных взаимодействий трансформируются в логарифмические волны (2.137):

Энергетика ядра		
Компоненты	Недра ядра	Поверхность ядра
Гравитационные ядерные колебания	$\rho_4=10^{14} \Leftrightarrow 10^{-14}=\rho_1^{7/12}$ и $10^{14} \cdot 10^{-14} = 1$ $10^{28} = 10^{14} \cdot 10^{-14}$	$k_1=\lg \rho_4 \Leftrightarrow \lg \rho_1^{7/12}=k_2$ $\lg 10^{14} \Leftrightarrow \lg 10^{-24 \cdot 7/12}$ $14 \Leftrightarrow -24 \cdot 1/3 \cdot 7/4$
Пальма, душа и Святой Дух	$\dots \equiv \frac{\rho^*}{q^*} \equiv \frac{\rho}{q} \equiv \sqrt{\frac{\rho \rho^*}{q q^*}} \equiv \frac{7}{4} \equiv -\frac{14 \cdot 3}{24} = -\frac{42}{24}$ <p>где 42 и 24 соответственно потенциалы души и Святого Духа.</p>	

Появление гравитационно-электрических зарядов на поверхности ядра (2.139) отражается на постоянной Космоса (Const = 1008):

$$(\text{Const} = 1008) \cdot \left( \frac{7}{4} \equiv \frac{\rho^*}{q^*} \equiv \frac{\rho}{q} \equiv \dots \right) = 4 \cdot 144 = 4 \cdot 12^2 \equiv T_o^3 \tau^2. \quad (2.140)$$

\*\*

Пока изменений постоянной Космоса (2.140) не произошло, к поверхности ядра из его Недр будут поступать резонансные вихри фотонов, и поверхность ядра будет пульсировать в пределах  $\pm 1$ :

Динамика поступления фотонов из Недр к поверхности ядра			(2.141)
Энергетический вихрь		$10^{20} \cdot 10^{-20} (T_o \cdot \tau) \equiv 12 \pm 1$	
Колебания поверхности ядра		$12+1 = 13 \Leftrightarrow 12 \Leftrightarrow 11 = 12 - 1$	
Углевородороды	$6^{C^{12} \cdot H^1}$	$12+1=13 \equiv \sqrt{12^2 + 5^2} \equiv \sqrt{12^2 + 4^2 + 3^2}$ продолжительности	
	$6^{C^{12}}$	$12 \equiv T_o \cdot \tau \equiv \text{---} \text{---} \text{---}$ углерод	
	$6^{C^{12} \cdot H^{-1}}$	$11 \equiv (9+2) \equiv \text{---} \text{---} \text{---}$ Н...углеводород.	

Закон эквивалентности Продолжительности и Вещества приводит к тому, что при взаимодействии с эффективностью  $10^4 \equiv 10^{T_0}$  возникают углеводородные молекулярные цепи табулина с молекулярным весом 110000 кислородных единиц:

$$(9+2) = 10^{T_0} \equiv 11 \cdot 10^4 \equiv 110000 \text{ к.е.} \equiv M_{\text{табулина}}, \quad (2.142)$$

и тринадцать углеводородных нитей в табулине, которые микробиологи назвали субъединицами ([10], рис.2.11).

Из табулина формируются микротрубочки биологической клетки (рис.2.10).

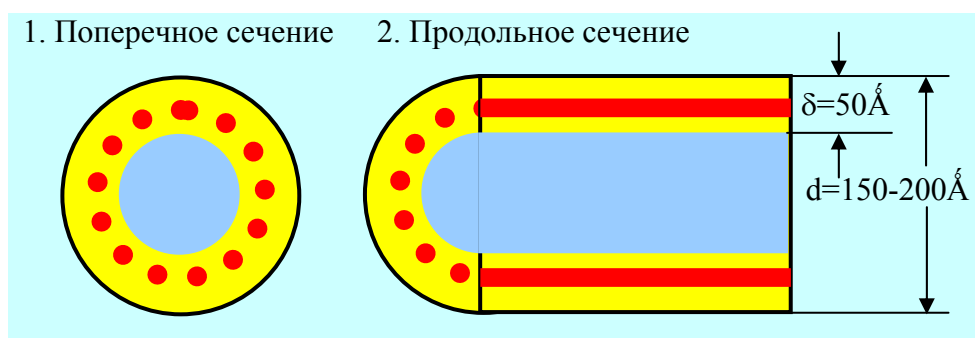


Рис.2.10 Микротрубочка ядра биологической клетки с 13-ю субъединицами. Материал Табулин [10, 4]

**Под напором вихря Тонкой Энергии из Космоса микротрубочка пульсирует с периодичностью кратной 50, о чём свидетельствует разброс значений диаметра и толщина микротрубочки.**

Микротрубочка ядра биоклетки и Небеса-Цинь пульсируют с одной и той же Продолжительностью, равной 50 и обожествлённой в Каббале как Бог Айн СОФ [3].

\*

\*\*

Микротрубочка ядра биологической клетки трансформирует Космические волны Арупы в Рупу - Материи:

Трансформация микротрубочкой ядра биологической клетки Тонких Энергий Арупы в Рупу Материи			
	Рупа	Арупа	Продолжительность
Антирезонанс	$\frac{d = 200 \overset{\circ}{A}}{\delta = 50 \overset{\circ}{A}} = 4$	$\frac{d = 150 \overset{\circ}{A}}{\delta = 50 \overset{\circ}{A}} = 3$	$\equiv T_o \pm \tau$
Резонанс	$T_o \cdot \tau \pm 1$		
13-ть субъединиц регулируют Продолжительности	$(T_o \tau + 1 = 13)^2 \equiv (T_o \tau = 12) + (5^2 = T_o^2 + \tau^2)$ Тринадцать субъединиц регулируют пульсацию.		

(2.143)

Тринадцать субъединиц микротрубочки **фиксируют и регулируют** режим пульсации микротрубочки, то есть выполняют роль **биочасов**.

Биочасы настраивают организм живого на несущие волны Космоса и в этом наше единство.

**При резкой смене нами часовых поясов на Земле биочасы перенастраиваются для работы в новых географических точках по местному времени. Это болезненно.**

\*\*

Тринадцать субъединиц биочасов (рис.2.10), пульсируя, работают в средах, возмущенных колебаниями поверхности ядра биоклетки (табл.2.23).

Таблица 2.23

***Пульсация биочасов в окружающих средах***

Направленность энергетических вихрей	Из микротрубочки ядра в живое тело	Биочасы: 13 субъединиц (рис.2.10)	От Арупы Космоса к Рупе Материи
Поток в микротрубочке	$12^2 = T_0^2 \cdot \tau^2 \rightarrow$	$13^2$	$T_0^2 + \tau^2 = 5^2$
Поток в окружающих средах	$2 \cdot \int_{12}^{13} \varphi d\varphi = 5^2 \rightarrow$	$13^2$	$\int_{5^2}^{13} \varphi d\varphi = T_0^2 \tau^2 = 12^2$

Возникает "**Пентаграмма в Яйце**" [1], которая как мыльный пузырь от **Космического Ветра**, дующего через микротрубочку ядра биологической клетки (рис.2.10), совершает переход по замкнутому циклу Космос - микротрубочка - материальное тело - среда вокруг тела - среда в Пентаграмме - Космос (табл.2.23).

В этом цикле переходов **Пентаграммы с Яйцом** происходит поляризация Пентаграммы: пентаграмма меняет полюса Север - Юг (рис.1.10).

**Пентаграмма поляризуется**, то есть разворачивается на угол  $\pi$  (рис.1.10).

Вместе с Пентаграммой **поляризуется излучаемый ею свет**: фронт волны света тоже разворачивается на угол  $\pi$ .

\*

\*\*

Отличительной особенностью поляризации света является то, что при повороте фронта волны света он **из** экзо (эндо) термического становится эндо (экзо) термическим:

Эндо-экзо термическая пульсация волны света основа люминесцентно-солнечных переходов				
Поляризация: угол поворота	$\pi \equiv c$	$\frac{3}{2} \pi \equiv 3\omega_0$	$2\pi \equiv 2c$	$\frac{5}{2} \pi \equiv 5\omega_0$
Форма движения	$c = \lambda v$ колеба- ние	$\tau\omega_0$ вращение	$(m_c + E_\lambda)c^2$ колебание	$\sqrt{T_0 + \tau} \cdot \omega_0$ вращение
В Пространстве	расши- рение	сжатие	расши- рение	сжатие
Термия	эндо-	экзо-	эндо-	экзо-
Ряды	нечетный			
	четный			

(2.144)

\*

\*\*

Эндо-экзотермические переходы раскрывают тайну физических закономерностей четно-нечетных преобразований, над которой лучшие умы человечества бились не одно тысячелетие, а Пифагор вводил четно-нечетные Преобразования в свою теорию Чисел [3]. Но так как **физическая сущность природы четно-нечетных преобразований была не ясна**, теория чисел Пифагора заглохла.

Сегодня я могу сказать: четными преобразованиями являются потенциалы экзотермии, нечетными - потенциалы эндотермии (2.144).

## 2.9 Чётно-нечётная эндо-экзотермия в клетках.

Потенциалы эндотермии в два раза больше потенциала экзотермии так как мгновенная линейная скорость в два раза больше угловой и этим определяется связь термии с Единым Космосом:

Связь эндо-экзотермии с Единым Космосом				
Термия	Взаимодействие		Пulsация	Термия
эндо –	$\equiv \frac{c}{\omega_0} \equiv \lg \rho_1 \rho_2 \rho_3 \rho_4 \rho_5 = 2$	$\Leftrightarrow \frac{1}{2} \equiv \pm \int_0^1 \varphi d\varphi \equiv \frac{\omega_0}{c} \equiv$	эндо –	экзо –

(2.145)

Эндо-экзотермия имеет периодичность, связанную с переходами десяти энергетических уровней в поле света, в которой  $\rho_5 = 10$ .

В области нечётной эндотермии идёт переход, связанный с пульсацией от Гармонии к Хаосу, а в области чётной экзотермии - от Хаоса к Гармонии:

Эффективность взаимодействия $\rho_5$										
Нечётная эндотермия	1		3		5		7		9	$\int_1^0 \varphi d\varphi = -\frac{1}{2}$
Чётная экзотермия		2		4		6		8	10	$\int_0^1 \varphi d\varphi = \frac{1}{2}$
К Числам Фибоначчи	$\frac{1+3}{2} = \frac{3+5}{4} = \frac{5+7}{6} = \frac{7+9}{8} = \dots = 2.$									

(2.146)

В поле чётно (экзо) - нечётной (эндо) термии отношение сумм чётных потенциалов к нечётным является продолжительностью  $T_0 \cdot t$  в полях слабых взаимодействий, а разность является эквивалентом пятеричной связи (2.146):



$$\frac{k_{чѐт} = 2 + 4 + 6 + 8 + 10 = 30}{k_{нечѐт} = 1 + 3 + 5 + 7 + 9 = 25} = 1,2 \equiv T_0 \tau (\rho_2 = 10^{-1}), \quad (2.147)$$

и

$$\frac{k_{чѐт} - k_{нечѐт} = 30 - 25 = 5 \equiv \frac{1^2 + 2^2 + 3^2 + 4^2 + 5^2 + 6^2 + 7^2}{1 + 2 + 3 + 4 + 5 + 6 + 7} = \frac{140}{28}}. \quad (2.148)$$

Вместе с пятеричной связью появляются гравитационное и магнитные семеричные поля (2.148).

Появление суммы чѐтно-нечѐтных преобразований приводит к потенциалу  $55 = 5 \cdot (9+2)$ :

$$\frac{k_{чѐт} - k_{нечѐт} = 30 + 25 = 55 \equiv \frac{1}{7} (1^2 + 2^2 + 3^2 + 4^2 + 5^2 + 6^2 + 7^2 + 8^2 + 9^2 + 10^2 = 385)}. \quad (2.149)$$

Магнитные и гравитационные ряды увеличиваются от семеричных (2.148) до десятеричных (2.149). Структура  $5 \cdot (9+2)$  биоклетки при митозе делится и возникает дочерняя субструктура двух биоклеток:

$$\left( 9 \equiv \frac{2 \cdot (9+0) \equiv \frac{1^2 + 2^2 + 3^2 + 4^2 + 5^2 + 6^2 + 7^2 + 8^2 + 9^2 + 10^2 + 11^2 + 12^2 + 13^2}{1 + 2 + 3 + 4 + 5 + 6 + 7 + 8 + 9 + 10 + 11 + 12 + 13} = \frac{819}{91}} \right). \quad (2.150)$$

В поле белковых тел появляется микротрубочка ядра биологической клетки с тринадцатью субъединицами в дочерних биоклетках и биологические часы (рис.2.10, табл.2.23) вновь заработали в дочерних биоклетках (2.148, 2.149, 2.150):

<b>Пульсация двух дочерних биоклеток после митоза</b>	(2.151)
$2 \cdot (5 \Leftrightarrow 7 \Leftrightarrow 9) \rightarrow 2 \cdot (5 + 7 + 9) = 42.$	

В поле Цис-транс изомерических дочерних биоклеток появились полярные вихри с потенциалами  $\pm 21$ :

Энергетические вихри между изомерическими субструктурами дочерних биоклеток			
Материнская субструктура митоза	Изомерия дочерних субструктур		Свечение (потенциал 27) и 42 Божества сердца
	цис	транс	
5·(9+2) = 55	(9+0)	-(9+0)	55 <sup>2</sup> – 18 <sup>2</sup> = 2701
	завершающий уровень		свечение (рис.1.10)
Полярные вихри изомерии	5 + 7 + 9 – (–5–7–9) = внутреннее поле субструктуры (9+0)		+21 – (–21) = 42 42 Божества в сердце: Книга Мёртвых.

(2.152)

(2.152)

\*\*

Свечение с потенциалом полуэллипса, равного  $27 \cdot 10^9 + 1$  и изомерические вихри с потенциалом 42 внедряются в белковые тела табулина и субструктур и возмущают окружающую среду белков:  $\int_{11}^{13} \varphi d\varphi = 24 = 13 + 11$ .

В белковых телах присутствует пятеричная водородная связь (5 ккал/моль) и их возмущенная среда создаёт оболочку биоклетки с потенциалом 49 [4]:

$$2 \cdot \int_{24}^{25} \varphi d\varphi = 49 = 7^2 \text{ (Оболочка)} \quad (2.153)$$

Сумма оболочки и сгустка Тянь с потенциалом 64 создаёт поле с Числом Человека, равного 113:

$$113 = 49 + 64. \quad (2.154)$$

Жизнь продолжается.

\*\*

В поле чётно-нечётных переходов (2.146) завершается пульсация. Потенциалы делятся на  $\pm 2$ . В нечётной эндотермии потенциалы приобретут знак минус. Система (2.146) будет выглядеть как делённая на два (2.146):

Эффективности рядов $\rho_5$ после пульсации											
в поле Космоса $\left(\pm \int_0^1 \varphi d\varphi = \mp \frac{1}{2}\right)$											
Нечётная эндотермия		$-\frac{1}{2}$		$-\frac{3}{2}$		$-\frac{5}{2}$		$-\frac{7}{2}$		$-\frac{9}{2}$	
						Кундалини					
Экзотермия			1		2		3		4		5
						свет					
Сум-мы	Экзо-термия	$k_{чѐт}^* = 1+2+3+4+5 = 15$									
	Эндо-термия	$k_{нечѐт}^* = -\left(\frac{1}{2} + \frac{3}{2} + \frac{5}{2} + \frac{7}{2} + \frac{9}{2}\right) = -\frac{25}{2}$									
Приведѐнная пульсация		$\frac{(k_{чѐт}^*)^2 - (k_{нечѐт}^*)}{k_{чѐт}^* \cdot k_{нечѐт}^*} = -\frac{110}{75} = -\frac{22}{15}$									

(2.155)

С позиции религиозной математики потенциал приведённой пульсации затрагивает и 110 Божеств по Книге Мертвых и 22 зуба Авраама.

\*\*

Поле (2.155) - это резонансное поле, которое перейдёт к антирезонансному:

$$-22/15 \Leftrightarrow (-22)^2 - (15)^2 = 259;$$

$$-22 \Leftrightarrow 259 \cdot 15 = 3885$$

и  $0 \Leftrightarrow 3885 + 22 = 3907.$  (2.156)

**Биочасы** (микротрубочка ядра клетки) своими тринадцатью субъединицами (рис.2.10) **контролируют** энергетический поток в клетке (2.156):

<b>Фиксация энергетических вихрей 13-ю субъединицами биочасов</b>	
Цис-изомерия	Транс-изомерия
$\frac{+0 \Leftrightarrow +3907}{13} =$	$\frac{-0 \Leftrightarrow +3907}{13} =$
$\infty \Leftrightarrow 500,5384615$	$-\infty \Leftrightarrow 300,5384615.$

(2.157)

Зафиксированные энергетические потоки создают в каждой биоклетке сине-голубую Чакру и Дзянь:

<b>Сине-голубая Чакра в каждой биоклетке тела</b>	
Цис-изомерия (голубая)	Транс-изомерия (синяя)
$+\infty \Leftrightarrow 300,5384615 \equiv$ $(300 = \Delta\Gamma) + 0,5384615.$	$-\infty \Leftrightarrow 300,5384615 \equiv$ $(300 = \Delta C) + 0,5384615.$

(2.158)

В синем и голубом полях происходит резонансно-антирезонансная пульсация полей компонент с потенциалом Дзиан  $\equiv 0,5384615$ :

<b>Резонанс во внутреннем поле сине-голубой чакры</b>			
Чакра		Голубая: $\Delta\Gamma = 300\text{Å}$	Синяя: $\Delta C = 300\text{Å}$
Внутреннее поле Чакры	Антире- зонанс	0,5384615	-0,5384615
	Резонанс	$\begin{aligned} &(5 \cdot 10^{-1})(3 \cdot 10^{-2})(8 \cdot 10^{-3}) \\ &(4 \cdot 10^{-4})(6 \cdot 10^{-5})(1 \cdot 10^{-6}) \\ &(5 \cdot 10^{-7}) = 5 \cdot 3 \cdot 8 \cdot 4 \cdot 6 \cdot 1 \cdot 5 \cdot 10^{-28} \\ &= 14400 \cdot 10^{-28} \end{aligned}$	Тоже, что в голубой, но со знаком минус $-14400 \cdot 10^{-28}.$

(2.159)

Во внутреннем поле сине-голубой чакры каждой клетки возникает нисходящий семеричный (лунный) ряд (2.159):

<b>Лунный ряд в сине-голубой чакре клетки</b>								
Лунный ряд	1 +	2 +	3 +	4 +	5 +	6 +	7 =	28
Потенциалы уровней ряда (2.159)	$5 + 10^{-1}$	$3 + 10^{-2}$	$8 + 10^{-3}$	$4 + 10^{-4}$	$6 + 10^{-5}$	$1 + 10^{-6}$	$5 = 10^{-7}$	(2.160)
Резонанс (2.159)	$14400 \cdot 10^{-28} \equiv 144 \cdot 10^{-26} \equiv (12 \cdot 10^{-13})^2.$							

## 2.10 Бог Времени Кронис и митоз клетки

В семеричном поле (2.160):

$$\left(7 = \frac{385}{55}\right) \cdot 10^{-28} \rightarrow \left(55 = \frac{385}{7}\right) \cdot 10^{-28}, \quad (2.161)$$

возникает древнегреческий Бог Времени Кронис:

$$(\text{Кронис} \equiv 14455 \equiv 14400 + 55) \cdot 10^{-28}. \quad (2.162)$$

Биочасы клетки не только фиксируют Продолжительности потоков, поступающих из Космоса в организм, но и начинают управлять ими:

<b>Пульсация в биочасах субструктур <math>5 \Leftrightarrow 7 \Leftrightarrow (9+0)</math> клетки <math>\times 10^{-28}</math></b>		
Субструктуры	Голубая Цис-изомерия	Синяя транс-изомерия
$\infty$	14400	-14400
$28 = 140/5$	14428	-14428
$55 = 385/7$	14455	-14455
$91 = 819/9$	14491	-14491
Суммы (антирезонанс)	$k_1 = 57777$	$k_2 = -57777.$

В суммарных антирезонансных Цис-транс изомерических внутренних полях субструктур биоклетки периодически наступает резонанс:

<b>Антирезонансно-резонансная пульсация внутреннего поля субструктур биоклетки</b>			(2.164)
Режим	Голубая Цис-изомерия	Синяя транс-изомерия	
Антирезонанс (2.163)	$k_1 = 57777 \cdot 10^{-28}$	$k_2 = -57777 \cdot 10^{-28}$	
Резонанс	$k_1^* \equiv (5 \cdot 10^4) \cdot (7 \cdot 10^3) \cdot (7 \cdot 10^2) \cdot (7 \cdot 10^1) \cdot (7 \cdot 10^0) \cdot 10^{-28} = 12005 \cdot 10^{10} \cdot 10^{-28} = (1200+5) \cdot 10^{-18} = 12 \cdot 10^{-16} + 5 \cdot 10^{-18}$	$k_2^* = \dots$ те же потенциалы, что и в Цис-изомерии голубого, но со знаком минус $-12 \cdot 10^{-16} + 5 \cdot 10^{-18}$ .	

Во внутренних изомерических полях субструктур биоклетки возникают сине-голубые колебания (2.164):

$12 \cdot 10^{-16} + 5 \cdot 10^{-18} \Leftrightarrow (12 \cdot 10^{-16} + 5 \cdot 10^{-18});$ $\pm 24 \cdot 10^{-16} \Leftrightarrow \mp 5 \cdot 10^{-18}$ $\pm 24 \Leftrightarrow \mp 5 \cdot 10^{-2}$ $\pm 2400 \Leftrightarrow \mp 5$ $\pm 480 \Leftrightarrow \mp 1.$	(2.165)
--	---------

В поле сине-голубой Чакры клетки возникает волна длиной  $4800 \text{ \AA}$ :

$$l = \rho_5 \cdot (\pm 480 \Leftrightarrow \pm 1) \equiv 4800 \text{ \AA} \Leftrightarrow 10, \quad (2.166)$$

делящая сине-голубую область спектра света, и электрический импульс, летящий со скоростью  $300 \text{ тыс. км/сек} = 3 \cdot 10^{18} \text{ \AA/сек}$ , вызывает в субструктуре биоклетки индук-

тивность с потенциалом  $10^4$  1/А и ток (J) силой  $10^{-4}$  А (ампер):

<b>Возникновение индуктивности и биотока в сине-голубых областях каждой субструктуры в биоклетке</b>
$J = \frac{qc}{\lambda} = \frac{16 \cdot 10^{-20} \text{ А} \cdot \text{сек} \cdot 3 \cdot 10^{18} \frac{\text{А}}{\text{сек}}}{4800 \text{ А}} = 10^{-4} \text{ А};$ $1/J = 10^4 \text{ 1/А}.$

(2.167)

**Каждая из наших биоклеток под влиянием пульсации микротрубочки ядра клетки (биочасов) ведёт себя также, как наша сине-голубая Чакра Третий Глаз. В каждой биоклетке на уровне её субструктур (9+0) возникает биоток и биоиндукция в условиях изомерии.**

Насыщение внутреннего поля субструктур биоклетки Космической энергией  $\rho^* = 28 \cdot 10^{20}$  приводит к митозу (делению пополам) биоклетки:

<b>Митоз биоклетки: распределение гравитационных, магнитных и электрических полей</b>		
Гравитация	Магнетизм	Электричество
$\pm \rho^* J \cdot \int_0^1 \varphi d\varphi \equiv$ $28 \cdot 10^{20} \cdot 10^{-4} (\pm 1/2)$	$(\pm 14 \equiv \pm \sqrt{\mu \mu^*})$	$10^{16 = \sqrt{q q^*}}.$

(2.168)

Клетка делится - мы живём.

## Глава 3

### Периодические системы Космоса

#### 3.1 Периодическая система геномов

Вселенной вне Энергии нет. Движение реализуется в переходе (трансформации) одних Форм Энергии в другие. Трансформация энергетических форм происходит за счёт Кундалини, то есть пульсирующей поверхности кванта света.

Кундалини (поверхность кванта света) обладает цис-транс изомерией и пульсирует в резонансно-антирезонансном режиме.

Эта пульсация Кундалини является источником формирования периодической системы геномов (рис.1.2, табл.3.1).

Таблица 2.10

**Цис-транс изомерическая пульсация Кундалини  
как источник формирования  
периодической системы геномов (рис.1.2)**

Режим	Изомерия		Свойства
	Цис-	Транс-	
Равновесие	$6 = 3 - (-3)$	$-6 = -3 - (+3)$	1. $6 - (-6) = 12$ 2. $6 \cdot (-6) = -36$
	Солнечный ветер		
Пульсация спиралей	$6 = 3,5+2,5$	$-6 = 2,5^2-3,5^2$	<b>Рождение геномов:</b> $1,4 \Leftrightarrow \frac{1,5}{4,5}$ $1,4 \cdot 4,5 = 6,3 \Leftrightarrow 1,5.$
	Спирали Кундалини		
Цис-транс изомерия	$3,5 + 2,5 \Leftrightarrow 2,5^2-3,5^2$ $3,5 \cdot (3,5+1) \Leftrightarrow 2,5 \cdot (2,5-1)$		
Магнетизм	$0,1 \cdot \sqrt{\mu\mu^*} = 1,4 \equiv \frac{2,5-1}{3,5+1} \equiv 3,5 : 2,5 \Leftrightarrow 1,5 : 4,5$		

При взаимодействии с эффективностью  $\rho_5 = 10$  возникает максимальный геном периодической системы геномов (рис.1.2):



$$\rho_5 \cdot 6,3 = 63 \Leftrightarrow -\rho_5 \cdot 6,3 = -63, \quad (2.7)$$

и формируется ядро периодической системы геномов (рис.1.2):

$$\rho_5 \cdot 1,5 = 15 = 9+6 \Leftrightarrow -9+6 = -15 = -1,5 \cdot \rho_5. \quad (3.2)$$

\*\*

Цис-транс изомерия в поле геномов создаёт в периодической системе геномов (рис.1.2) крутящие моменты (рис.3.1).

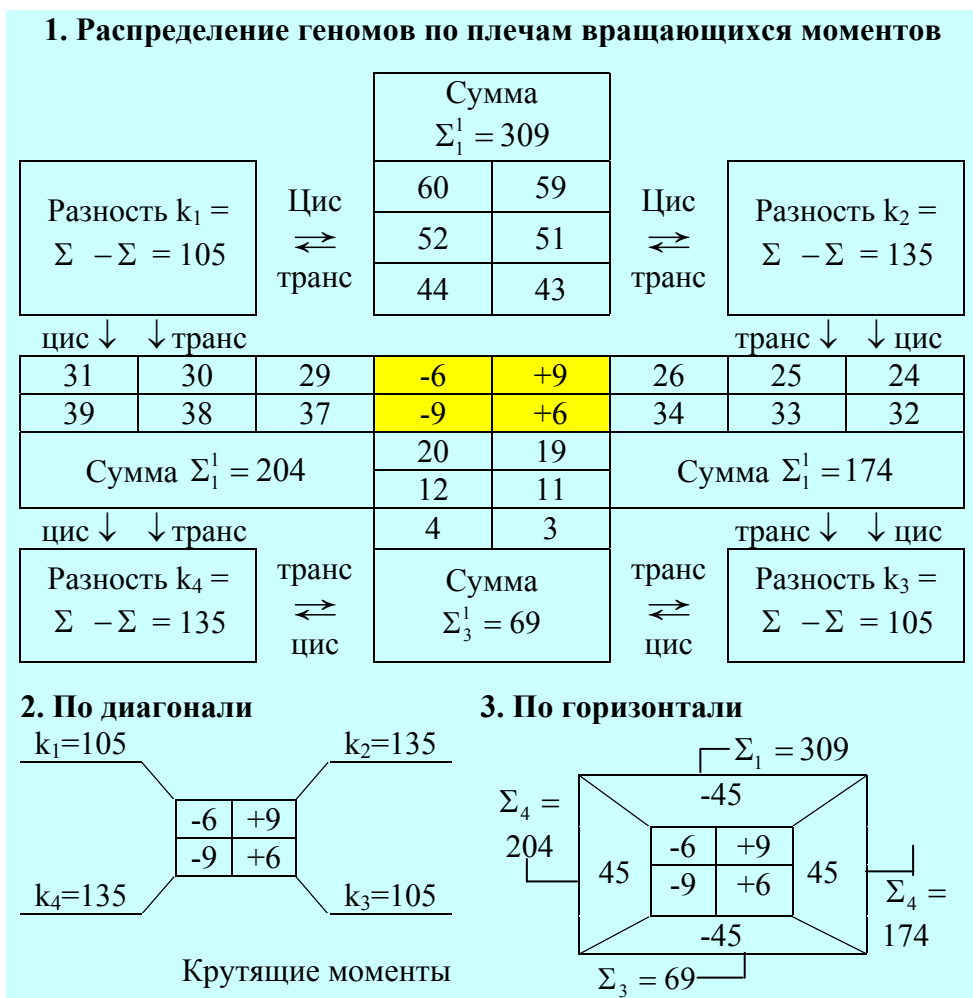


Рис.3.1 Цис-транс изомерия периодической системы геномов как энергетическая вращающаяся система

Рассматривая энергетическую систему геномов (рис.3.1) необходимо подчеркивать различие **"точек опоры" на поверхность ядра** при вращении по диагонали и горизонтали (рис.3.1.1, 2 и 3).

При вращении по диагонали потенциалы на поверхности ядра будут соответственно  $\pm 6$  и  $\pm 9$ , что приведет к сумме моментов количества вращения равной:

<b>Сумма и разность моментов количества вращения геномов по диагонали (рис.3.1.1, 2 и 3).</b>	
$\begin{aligned} \Sigma M_1 &= -6k_1 + 9k_2 + 6k_3 - 9k_4 = \\ &= -6 \cdot 105 + 9 \cdot 135 + 6 \cdot 105 - 9 \cdot 135 = 0 \\ \Delta M_1 &= \pm[9k_2 - (-6k_1) + 6k_3 - (-9k_4)] = \\ &= 6 \cdot 105 + 9 \cdot 135 + 6 \cdot 105 + 9 \cdot 135 = 3690. \end{aligned}$	(3.3)

\*\*

При вращении по горизонтали "точка опоры" на поверхности ядра пульсирует в резонансно-антирезонансном режиме, формируя контур неравновесных колебаний:

$$\frac{-6}{+9} \Leftrightarrow \frac{-9}{+6} \rightarrow \text{и } 36 \Leftrightarrow 81, \rightarrow \dots 0 \Leftrightarrow 81 - 36 = 45 = 5 \cdot 9. \quad (3.4)$$

При вращении по горизонтали в энергетическом поле периодической системы геномов возникает сумма и разность крутящих моментов:

<b>Сумма и разность моментов количества вращения геномов по горизонтали (рис.3.1,3)</b>	
$\begin{aligned} \Sigma M_2 &= -45 \cdot \Sigma_1, \Sigma_2 - 45 \Sigma_3 + 45 \Sigma_4 = \\ &= -45 \cdot 309 + 45 \cdot 174 - 45 \cdot 69 + 45 \cdot 204 = 0 \\ \Delta M_2 &= 45[\Sigma_2 - (-\Sigma_1) - \Sigma_4 - (-\Sigma_3)] = \\ &= 45 \cdot 309 + 45 \cdot 174 + 45 \cdot 69 + 45 \cdot 204 = 34020. \end{aligned}$	(3.5)

\*

\*\*

Мы рассматриваем моменты вращения периодической системы геномов (3.3, 3.4) потому, что геном, в конечном счёте "сгусток", а **любой сгусток формируется под воздействием вращения.**

Вращение энергетического поля периодической системы геномов (рис.3.1) создаёт ноль-потенциал (потенциал первого генома, рис.1.2) за счёт суммы крутящих моментов (3.3, 3.5):

$$\Sigma M_1 \pm \Sigma M_2 = \pm \Sigma M_1 \cdot \Sigma M_2 = \pm 0, \quad (3.6)$$

но сумма и разность разностей этих моментов отлична от нуля (3.3, 3.5):

$$\Delta M_1 + \Delta M_2 = 3690 + 3420 = 7110 \equiv 7000 + 110. \quad (3.7)$$

$$\Delta M_1 - \Delta M_2 = 3690 - 3420 = 270. \quad (3.8)$$

Полученный результат (3.7) говорит о том, что 110 Божеств нашей души находятся в семеричном поле пульсации, а само поле пульсации имеет потенциал 270 (3.8), характерного для полуэллипса Свечения от Генератора Тонких Энергий (рис.1.1).

\*

\*\*

В Недрах Ядра периодической системы геномов происходит резонансно-антирезонансная пульсация биологического ядерного вещества. Эта пульсация приводит к появлению Зародыша гравитации в Недрах Ядра (рис.1.11):

Гравитация в Недрах ядра периодической системы геномов (рис.1.2, рис.1.11)	
Зародыш гравитации (рис.1.2)	Гравитация Недр (рис.1.11)
$\frac{6 \cdot 9 \cdot (-6) \cdot (-9)}{6 + 9 - (-6) - (-9)} = 2,8$ <p>При <math>\rho_5 \cdot 2,8 = 28</math> появляется второй полуэллипс Тонко-энергетического Свечения (рис.1.1)</p>	$\frac{6 \cdot 10^6 \cdot 9 \cdot 10^8 \cdot 6 \cdot 10^6 \cdot 9 \cdot 10^8}{2 \cdot 6 \cdot 10^6 + 2 \cdot 9 \cdot 10^8} =$ $\frac{2916 \cdot 10^{28}}{6 \cdot 10^6 (2 + 3 \cdot 10^2)} =$ $\frac{486 \cdot 10^{22}}{2 + 3 \cdot 10^2} = \frac{486 \cdot 10^{22}}{298}$ $= 1,63 \cdot 10^{22} \equiv (100 + 63) \cdot 10^{22} \equiv 10^{24} + 63 \cdot 10^{22}.$

(3.9)

В поле Недр биологического ядерного вещества (3.9) возникает пульсация:

$$|-10^{24} \Leftrightarrow 63 \cdot 10^{22}| \rightarrow |\mp 100 \Leftrightarrow \mp 63| \rightarrow |0 \Leftrightarrow 37|. \quad (3.10)$$

Из Недр Ядра периодической системы геномов после вытеснения ядром геномов 35 и 36 (рис.3.1.1) появляется геном 37 (3.10).

\*  
\*\*

Вытесненные с поверхности ядра геномы с потенциалами 27, 28, 35 и 36 не исчезли. Энергия этих геномов трансформировалась в другую форму. Форму Свечения эллипсоидов Тонких Энергий (рис.1.1). **Новые геномы стало формировать не само ядерное вещество, а Свечение над ядром** (рис.1.1).

Свечение Тонких Энергий можно получить, заменив ядро эквивалентным ядру генератором Тонкой Энергии (рис.1.1).

\*\*

Энергия появившихся над поверхностью ядра геномов, формирует люминесцентное Свечение типа Ауры (рис.1.1).

Пульсация Ауры возмущает окружающую среду и формирует в ней разности квадратов потенциалов:

Равновесие в среде, возмущенной пульсацией Ауры	
Транс-изомерия	Цис-изомерия
$k_{\max} = 2 \int_{27}^{36} \varphi d\varphi = 567$	$k_{\min} = 2 \int_{27}^{28} \varphi d\varphi = 55$
$k_2 = 2 \int_{35}^{36} \varphi d\varphi = 71$	$k_1 = 2 \int_{28}^{35} \varphi d\varphi = 441$
$-(k_{\max} - k_2 = 567 - 71 = 496)$	$-(k_{\min} + k_1 = 55 - 441 = -496)$

(3.11)

Если в цис-транс изомерическое поле, возмущенное пульсирующей Аурой (3.11), попадает электрический импульс  $\sqrt{qq^*} = 16$ , то потенциал среды становится равным постоянной Вселенной:

$$496 - (-496) + (16 \equiv \sqrt{qq^*}) = 1008 = \text{Const.} \quad (3.12)$$

\*\*

Поскольку геномы 27, 28, 35 и 36 не исчезли, то энергию периодической системы геномов надо считать вместе с ними.

В этом случае энергетический потенциал периодической системы геномов будет определяться как сумма арифметической прогрессии от 1 до 63 в пульсирующем Космосе:

**Энергетический потенциал периодической системы геномов в пульсирующем Космосе равен постоянной Вселенной (3.12)**

(3.13)

$$Const \left( \Sigma = \frac{1+63}{2} \cdot 63 = 2016 \right) \cdot \left( \pm \int_0^1 \varphi d\varphi = \pm \frac{1}{2} \right) \equiv 1008.$$

**\*\***

Постоянная Вселенной связана с солнечно-лунным потенциалом, потенциалами души и Святого Духа, тысячей атомов водорода, средой, возмущенной пульсацией Ауры (3.12) и суммарным энергетическим потенциалом периодической системы геномов (3.13):

$$Const = 28^* \cdot 36 = 42 \cdot 24 = \frac{1+63}{4} \cdot 63 \equiv 2 \cdot 496 + 16 \equiv \frac{1}{4} \int_8^{64} \varphi d\varphi \equiv 16 \cdot 63 \equiv 16 \int_{r=\sqrt{2}}^{L=8\sqrt{2}} \varphi d\varphi \equiv \dots = 1008. \quad (3.14)$$

Великая Цивилизация, говоря нам о Теогенезисе (нашему Будущему) так описывала формирование генома 63 ([2], Станца VII):

**6. Царь явился сам и сейчас был известен им "Я - первый", - сказал Он, "и я - последний, и оба мы одно лицо. Свет пришел из тьмы. Всё пришло из ничего. Из Смерти пришла вечная жизнь. Дело сделано".**

Расшифруем эту Станцу.

Текст Станцы	Расшифровка текста
<b>Царь явился сам</b>	Головка сперматозоида в ходе конкурентной борьбы внедрилась в яйцеклетку
<b>и сейчас был известен им</b>	Головка сперматозоида растворила свою оболочку в желтке Зиготы. Гены наследственности (муж.) пришли в непосредственный контакт с компонентами желтка (женск.)
<b>"Я - первый", - сказал Он,</b>	<b>Первым</b> является метагалактическая волна с потенциалом $\sqrt{2} = Sc \frac{\pi}{4} = Csc \frac{\pi}{4}$ , эквивалентом $(r = \sqrt{2})$ радиусу окружности, вписанной в основание великой Пирамиды (рис.2.4, табл.2.14)
<b>"И Я - последний",</b>	<b>Последним</b> является колебание $r$ с потенциалом расширения Вселенной: $L = r \cdot T_0 \cdot c / \omega_0 = \sqrt{2} \cdot 8 = \sqrt{2}^7, \quad (3.15)$ вектор которого является эквивалентом ребра великой Пирамиды (рис.2.4)
<b>и оба мы - одно лицо.</b>	Одно поле расширяющейся от $r$ до $L$ Зиготы в полях сгущения Небесных Тел, то есть геномов (рис.2.4) $\int_{r=\sqrt{2}}^{L=\sqrt{2}^7} \varphi d\varphi = \frac{1}{2} \left[ (8\sqrt{2})^2 - \sqrt{2}^2 \right] = 63. \quad (3.16)$
<b>Свет пришёл из тьмы</b>	<b>Тьма</b> - энергия сжатия (рис.2.5). Её диапазон простирается от импульса сжатия $(T_0 \cdot \omega_0 / c = 2)$ до энергии сжатия по шести направлениям трёхмерного Пространства $[(T_0 \omega_0 / c = 2)^6 = 64]$ : $\int_2^{64} \varphi d\varphi \cdot \left( \pm \int_0^1 \varphi d\varphi \right) = 1023. \quad (3.17)$ <b>Тьма</b> излучает <b>Свет</b> путём трансформации энергии сжатия в энергию расширения (рис.2.5): $(T_0 \omega_0 / c = 2)^6 = 64 \Leftrightarrow 64 = (8 = T_0 c / \omega_0)^2, \quad (3.18)$ $ \leftarrow \text{тьма} \rightarrow  \quad  \leftarrow \text{свет} \rightarrow $
<b>Всё пришло из Ничего</b>	<b>Всё</b> - метагалактические волны Жизни: $\text{свет} = 64 = \sqrt{2}^{12}$ <b>Ничего</b> - энергия сжатого ядра

<p><b>Из Смерти пришла вечная Жизнь</b></p>	<p><b>Ничего и Смерть</b> синонимы и описывают ядро, сжатое по шести направлениям трёхмерного Пространства:</p> $(T_o \cdot \omega_o / c = 2)^6 = 64. \quad (3.19)$ <p>Такое ядро взрывается (рис.2.5). Появляется Свет <math>(T_o \cdot c / \omega_o = 8)^2</math>, а затем вечная Жизнь, носителем которой является геном:</p> $\text{Свет} - 1 \equiv (T_o \cdot c / \omega_o = 8)^2 - 1 = 64 - (1 \equiv i^4) \equiv (8 - i^2) \cdot (8 + i^2) \equiv (8 + 1) \cdot (8 - 1), \quad (3.20)$ <p>где <math>8 \equiv a^2 \equiv (2\sqrt{2})^2</math> и расширение кванта будет продолжаться (2.102, рис.1.2):</p> $(8 + 1) \cdot (8 - 1) \equiv (a^2 - i^2) \cdot (a^2 + i^2) \equiv (a + i) \cdot (a - i) \cdot (a^2 + i^2) \equiv \dots \equiv 9 \cdot 7 = 63. \quad (3.21)$
<p><b>Дело сделано"</b></p>	<p>В поле развития плода-потомства возникает оболочка</p> $112 - 63 = 49 = 7^2; \quad (3.22)$ <p>возникает магнитный биоток (табл.2.19):</p> $\frac{112}{8 \cdot 10^4} = 14 \cdot 10^{-4} \equiv \sqrt{\mu \mu^*} \cdot 10^{-4} A,$ <p><b>и Жизнь переживёт последний Атом [6]</b></p>

\*\*

Формирование периодической системы геномов происходит тогда, **когда** в поле света попадают гравитационно-электрические заряды-импульсы:

$$63 = 36 \cdot \left( \frac{7}{4} \equiv \frac{\rho}{q} \equiv \frac{\rho^*}{q^*} \equiv \sqrt{\frac{\rho \rho^*}{q q^*}} \right). \quad (3.23)$$

Появление Кундалини трансформирует свет в воду, но геном остаётся и зарождается Жизнь (3.23):

$$63 = 36 \cdot 7/4 \equiv 18 \cdot 7/2 \text{ при } 18 \equiv \text{Mn}_2\text{O}. \quad (3.24)$$



Появление **семеричности** приводит к появлению субструктуры (9+0):

$$63 = 18 \cdot 7/2 \equiv (9+0) \cdot 7. \quad (3.25)$$

Возникает резонансно-антирезонансное равновесие:

<b>Резонансно - антирезонансное равновесие в периодической системе геномов (3.25)</b>	(3.26)
$63 - (9+0) \cdot 7 = 0 \quad \text{и} \quad 1 = (9+0) \cdot 7 : 63.$	

С момента достижения равновесия начинается **чётно-нечётная цис-транс изомерическая пульсация** (рис.1.2).

\*  
\*\*

Цис-транс изомерическая пульсация в периодической системе геномов затрагивает все геномы, кроме 27, 28, 35 и 36, энергия которых расходуется на создание **Свечения Тонкой Энергии** (рис.1.1).

В оставшемся поле (рис.1.2) можно выделить четыре ряда (табл.3.2).

**Чётно-нечётная цис-транс изомерическая пульсация геномов завершается формированием над каждым геномом "атмосферы" Небес-Цинь** (табл.3.2).

Цис-транс изомерия атмосферы Небес-Цинь над геномом сгущает Небесные Тела с сгусток Тянь: у каждого генома появляется своя индивидуальная молекулярная масса (табл.3.2):

Таблица 3.2

**Ряды чётно-нечётно пульсирующих геномов**

№	Суммы, разности	Потенциалы: из сумм нечётных вычитаются суммы чётных								
1	Нечётные	63	61	59	57	55	53	51	49	47
	Чётные	62	60	58	56	54	52	50	48	46
	Σ <sub>1</sub> = 828	29	31	33	35	37	39	41	43	45
	- Σ <sub>2</sub> = 828	-	30	32	34	36	38	40	42	44
	Δ <sub>1</sub> = 46									
2	Нечётные	1	3	5	7	9	11	13		
	Чётные	0	2	4	6	8	10	12		
	Σ <sub>3</sub> = 144			23	21	19	17	15		
	- Σ <sub>4</sub> = 156		24	22	20	18	16	14		
	Δ <sub>2</sub> = -12									
3	Чётные	26		24		Σ = 50		Δ <sub>3</sub> = 27-50 = -23		
	Нечётные	27				Σ = 27				
4	Нечётные	39		37		Σ = 76		Δ <sub>4</sub> = 76-38 = 38		
	Чётные	38				Σ = 38				
Связь разностей		$\frac{\Delta_1}{\Delta_3} = \frac{46}{-23} = -2 \Leftrightarrow \frac{-6}{19} = \frac{-12}{38} = \frac{\Delta_2}{\Delta_4}$								
Цинь		$ -2 \cdot 19 \Leftrightarrow -6  \rightarrow 38 - 6 = 32 \Leftrightarrow 0 \Leftrightarrow -32.$								

<b>Чётно-нечётное формирование масс и энергии связь (Цинь) геномов</b>		
Разности	Цинь	Тянь
$\frac{\Delta_1}{\Delta_3} \Leftrightarrow \frac{\Delta_2}{\Delta_4}$	$32 \Leftrightarrow 0 \Leftrightarrow -32$	$\pm 64 = \pm[32 - (-32)].$

(3.27)

Проблема формирования геномов (3.27, табл.3.2) настолько важна, что великая Цивилизация выделила её отдельной книгой: **Книгой Перемен**.

Формирование массы геномов: молекулярного сгустка Тянь, - невозможно без гравитации.

Зародыш гравитационного поля с потенциалом 2,8 (3.9) появляется в ядре каждого атома молекулярных цистранс изомерических цепей геномов.

В периодической системе геномов гравитационное поле резко выражено в восьмом периоде и первой группе:

<b>Гравитационное поле в периодической системе геномов (рис.1.2)</b>		
I группа	$63+55+47+39+31+23+15+7$	$\frac{= 280}{= 28} = 10.$
8 период	$0 + 1 + 2 + 3 + 4 + 5 + 6 + 7$	

(3.28)

Гравитационное поле геномов пульсирует в чётно-нечётном порядке (рис.1.2):

<b>Чётно-нечётная пульсация геномов (3.28)</b>			
I группа	Нечётная	$63+55+47+39+31+23+15+7 = 200$	
	Чётная	Чётных нет	
VIII период	Нечётная	$\frac{1+3+5+7=16 \equiv T_0^2}{0+2+4+6=12 \equiv T_0\tau} \equiv \frac{T_0}{\tau} = \frac{4}{3} \equiv \frac{P_{yna}}{A_{pya}}$	
	Чётная		
Полярные вихри. Субструктуры Клеток		$280 \cdot 4/3 = 210 \equiv$ гравитация: полярные масса вихри генома генома	$[5 \leftrightarrow +7 \leftrightarrow + (9+0)] \rho_5$ биоклетка: субструктура.

(3.29)

**Появление субструктур биоклетки происходит за счёт полярных вихрей, излучаемых массами геномов (3.29).**

**Структура энергетического полярного вихря генома включает в себя Кундалини и постоянную Чакр.**

Постоянная Чакр связана с пульсацией Кундалини в солнечно-лунном поле, где потенциал Кундалини при сжатии уменьшается вдвое, а при расширении вдвое увеличивается:

Пульсация Кундалини в солнечно-лунных Чакрах нашего тела. Постоянная Чакр										
Ряды	Солнечный	1	2	3	4	5	6	7	8	$\equiv 36$
	Лунный	1	2	3	4	5	6	7	-	$= 28$
№ Чакр		I	II	III	IV	V	VI	VII	-	
Кундалини	Расширение	$\frac{7}{4}$	$\frac{7}{2}$	7	14	28	56	112	Свет Метagalактика	(3.30)
	Сжатие	80	40	20	10	5	$\frac{5}{2}$	$\frac{5}{4}$		
Постоянная Чакр		$\text{Const}_4 = (80 \cdot 7/4 = 40 \cdot 7/2 = 20 \cdot 7 = 14 \cdot 10 = 28 \cdot 5 = 56 \cdot 5/2 = 112 \cdot 5/4) \cdot \left( \pm \int_0^1 \varphi d\varphi = \pm \frac{1}{2} \right) = \pm 70.$								

Постоянная Чакр в энергетическом вихре, излучаемом массой генома равна  $\text{Const}_4 = \pm 70$  (3.30).

**Постоянная Чакр связана с постоянной Вселенной резонансной продолжительностью в полях слабых взаимодействий:**

Связь постоянных Вселенной и Чакр			
Постоянные	Вселенной	Поле перехода	Чакр
Потенциалы	$\text{Const} = 1008 \equiv (144 \cdot 1/10 \equiv \rho_2 T_0 \tau) \cdot (70 \equiv \text{Const}_4).$		

\*

\*\*

В энергетическом вихре, излучаемом геномом, постоянная Чакр связана с цис-транс изомерической спиралью Кундалини:

<b>Структура вихря излучаемого геномом (3.29)</b>			
Компо- ненты	Вихрь	Кундалини	Постоянная Чакр
Потен- циалы	$\pm 210 \equiv$	$\pm(6 \equiv 3 - (-3) \equiv$ $3,5 + 2,5 \equiv 3,5^2 - 2,5^2) \cdot$ $\int_0^1 \varphi d\varphi \equiv \pm 3$	$\text{Const}_4 \equiv 70.$

(3.32)

Таких полярных вихрей над массой генома два и их разность образует потенциал:

$$\pm[210 - (-210)] = \pm 420 \equiv \pm 42 \rho_5. \quad (3.33)$$

42 Божества твоего сердца начинают взаимодействовать, волноваться, а ты - проявлять эмоции.

\*

\*\*

**Ядро периодической системы геномов поглощает Космическую Энергию в форме Кундалини (3.32).**

Об этом свидетельствуют потенциалы ядра, равные 9 и 6, и имеющие разность  $\pm 3$ .

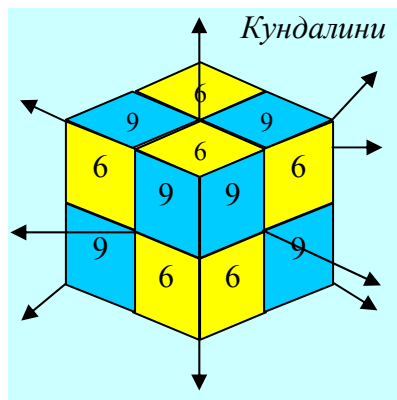


Рис.3.2 Векторная эпюра излучения Кундалини ядром генома

В трёхмерном пространстве **Шара**, векторами которого будет вписанный в него **Куб с шестью гранями и восемью углами**, импульсы Кундалини будут излучаться шестью гранями и восемью углами (рис.3.2):

Однако энергия, излучаемая Кундалини, будет разная. На шести гранях куба резонансно-антирезонансная пульсация ядра приведёт к потенциалу, равному:

$$E_{cp} \equiv 6 \text{ граней} \cdot \frac{\text{Резонанс}}{\text{Антирезонанс}} \equiv 6 \cdot \frac{6 \cdot 9 \cdot 6 \cdot 9}{6 + 9 + 6 + 9} = \frac{2^2 \cdot 3^8}{30} = \frac{2}{5} \cdot 3^7 \quad (3.34)$$

Энергетические импульсы, излучаемые углами Куба, будут иметь две формы в зависимости от сочетания потенциалов в углах 6·9·6, либо 9·6·9 (рис.3.2).

На каждую из этих форм пульсации ядра будет приходиться по четыре угла, то есть эпюры излучателя.

Излучатели с вектор - эпюрой угла будут пульсировать в резонансно-антирезонансном режиме, создавая импульсы, излучаемые вершинами углов:

Импульсы Кундалини из вершин углов Куба (рис.3.2)			(3.35)
Формула	Угол 6·9·6	Угол 9·6·9	
$E = 4 \text{ угла} \cdot \frac{\text{Резонанс}}{\text{Антирезонанс}}$	$E_1 = 4 \cdot \frac{6 \cdot 9 \cdot 6}{6 + 9 + 6} = \frac{4}{7} \cdot 2^2 \cdot 3^5$	$E_2 = 4 \cdot \frac{9 \cdot 6 \cdot 9}{9 + 6 + 9} = 3^4$	

Отличительной особенностью излучения Кундалини из ядра генома является её **однаправленность в окружающую среду и разнонаправленность относительно друг друга**. Поэтому сумма импульсов, излучаемых ядром, всегда будет равна нулю, а разность разностей удваивает начальный потенциал разности.

\*\*

Сжатая в лазерную точку Зародыша ядра Капля ядерного вещества становится плазмой, сохраняющей энергетические пропорции граней (3.34) и углов (3.35) куба (рис.3.2), работающего в резонансном режиме:

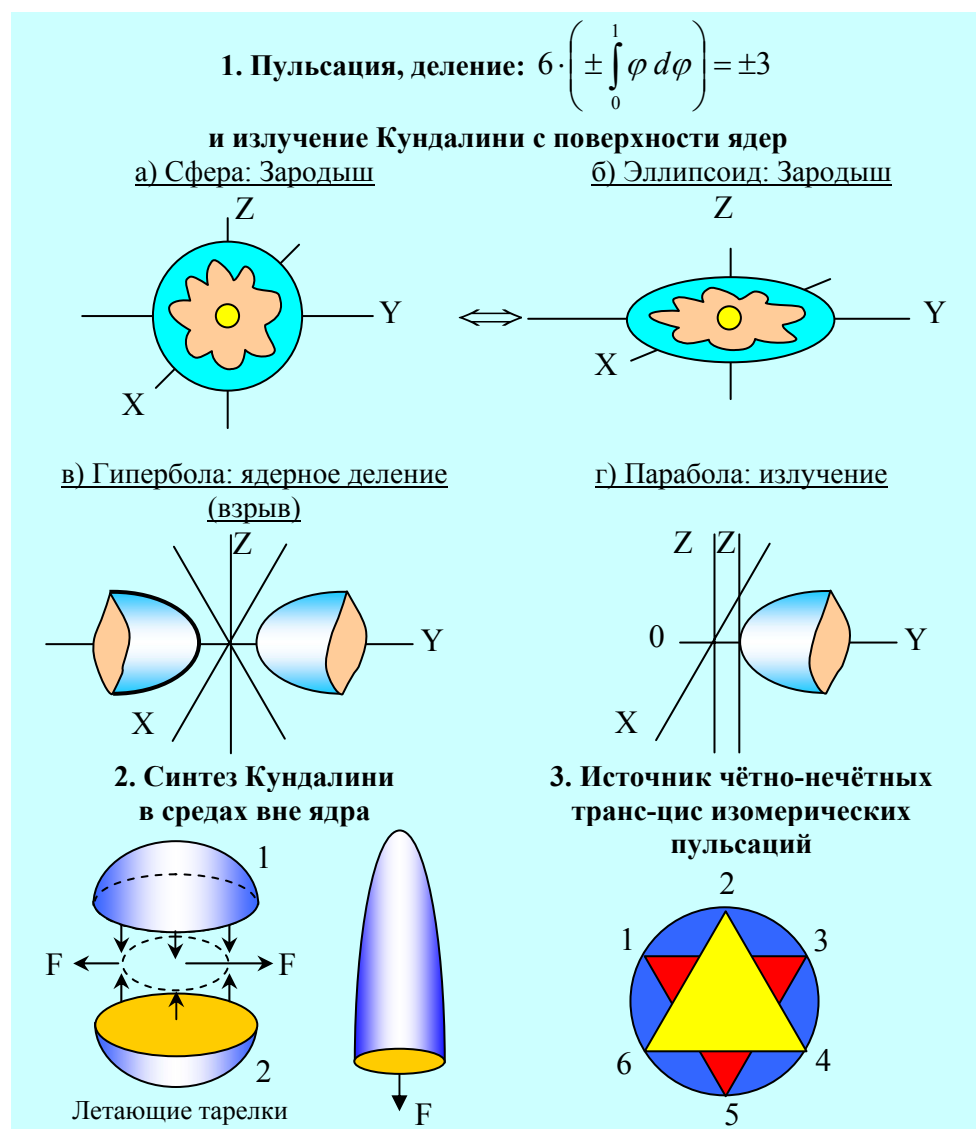
<b>Резонансная пульсация ядерной плазмы генома</b>				(3.36)
	$k_1 =$	$k_2 \equiv k_1 \cdot k_2 \cdot k_3 \equiv$	$k_3 =$	
Резонансные потенциалы Недр Ядра	$\frac{E_1 \cdot E_2}{E_{ep}} =$ $4/7 \cdot 10 \cdot 3^2$	$E_1 \cdot E_{ep} \cdot E_2 =$ $32/35 \cdot 3^{16}$	$\frac{E_{ep}}{E_1 \cdot E_2} =$ $7/4 \cdot 10^{-1} \cdot 1/9.$	
Оболочка и Свет над Каплей- Зародышем	$k_1 \cdot k_2 = \frac{8}{5 \cdot 7^2} \cdot 16 \cdot 10 \cdot 3^{18} \Leftrightarrow \frac{8}{5} 10^{-1} \cdot 3^{14} \equiv k_2 \cdot k_3$ Оболочка: $7^2 \Leftrightarrow (40)^2 \cdot (9+0)^2$ и $7 \Leftrightarrow 40 \cdot 9 \equiv (\text{свет}).$			

\*\*

Кундалини в ядре преобразует **ОБОЛОЧКУ** (3.36). Оболочка пульсирует по закону поверхности мыльного пузыря (рис.3.3).

Пульсация по закону мыльного пузыря будет продолжаться в течении Продолжительности Кундалини, возмущая окружающую среду (3.36):

$$\tau_{\text{релаксации}} \equiv \int_{40}^{42} \varphi \, d\varphi \cdot \left( \pm \int_0^1 \varphi \, d\varphi \right) = \pm \frac{82}{2} = \pm 41. \quad (3.37)$$



*Рис.3.3 Трансформация ядерного вещества на поверхности плазмы ядер*

В спектральном поле солнечного белого света продолжительность релаксации связана с фиолетово - золото - зелёным и красно-желтыми областями спектра (3.37, рис.3.3.3):



$$\tau_{\text{релаксации}} = 41 \equiv \left( \frac{\Delta\Phi = 500 \overset{\circ}{A}}{\Delta\mathcal{K}3 = 250 \overset{\circ}{A}} \cdot \rho_5 + \frac{\Delta K = 1400 \overset{\circ}{A}}{\Delta\mathcal{K} = 70 \overset{\circ}{A}} \right) + \int_0^1 \varphi d\varphi - \int_1^0 \varphi d\varphi = 20 + 20 + \frac{1}{2} - \left( -\frac{1}{2} \right) \quad (3.58)$$

В условиях релаксации (3.58) Кундалини делится на два гиперboloида (рис.3.3.1), которые излучаются в окружающую среду как два цис-транс изомерических параболоида (рис.3.3.1).

Параболоиды Кундалини сближаются как два диска, симметричных и изомеричных друг другу.

Если такие диски параболоидов сделать искусственно и снабдить каждый из двух дисков тремя соплами, а затем диски закрепить между собой, то мы получим НЛО о которых умалчивает Закулиса.

Движение цис-транс изомерических парабол Кундалини (Солнечного ветра), оболочек генома, небес-Цинь, будет проходить за счёт цис-транс изомерической пульсации в чётно-нечётном варианте (рис.3.3.3).

Векторное описание такого варианта известно человечеству тысячелетия в последнем исполнении, заимствованном и Жрецов Пирамиды под названием Звезды Давида (рис.3.3.3).

Жрецы не сказали, а сам Давид не понял, что эпюра шестиконечной Звезды (рис.3.3.3) описывает энергетическое чётно-нечётное транс-цис изомерическое поле Кундалини :

<b>Чётно-нечётная цис-транс изомерия Кундалини (рис.3.3.3)</b>				(3.59)
Режим		Кундалини	Арупа ÷ Рупа	
Кундалини	Нечётный Чётный	$\frac{1+3+5=9}{2+4+6=12}$	$= \frac{\tau}{T_0} \Leftrightarrow \frac{T_0}{\tau}$	

Великая Цивилизация оставила нам **Книгу Перемен**, которую уже Пять Тысяч лет приспособлена для гадания. Но **Книга Перемен** оставлена нашему социуму как свод Знаний великой Цивилизации в области генетики.

**Великая Цивилизация Знала Генетику в Динамике.**


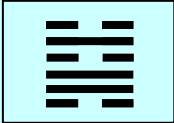

Например, применяя к чётно-нечётной пульсации Кундалини постоянные Чакр и Вселенной, великая Цивилизация открывала себя в Космосе (табл.3.3).

Таблица 3.3

**Взаимосвязь медитации и Космоса**

		Чакры $\times \text{Const}_4 = 70$	Вселенная $\times \text{Const} = 1008$
Кундалини	Нечётная	$\frac{1+3+5=9}{2+4+6=12} \times 70 \Leftrightarrow$	$\frac{2+4+6=12}{1+3+5=9} \times 1008$
	Чётная		
Совмещённое поле Арупы - Рупы		$\frac{\tau}{T_0} \cdot 70 \Leftrightarrow$	$\frac{T_0}{\tau} \cdot 1008$
Появление Тянь		$\tau^2 \Leftrightarrow 14,4 \cdot T_0^2 \rightarrow 1 \Leftrightarrow 16 \cdot T_0^2 \equiv T_0^3 \text{ (Тянь)}$	
Возникновение геномов		$0 \Leftrightarrow T_0^3 - 1 = 64 - 1 = 63$	
Формирование Цинь		$T_0^3 \int_0^1 \varphi d\varphi = 64 \frac{1}{2} = 32$	$T_0^3 \int_1^0 \varphi d\varphi = -32.$

Зная генетику в динамике, великая Цивилизация знала и о том, как метagalактические волны заполняют генетическое поле (3.16) и **эти Знания** великая Цивилизация использовала в своей Науке и Промышленности. Так, например НЛО построен по принципу работы Кундалини и запись бортового журнала НЛО и работа Кундалини в энергетических полях субструктур геномов и биоклетках ведется так как описано в **Книге Перемен**, то есть шестью (рис.3.3.3) штрих - резами (рис.3.4).

Состояние двигателей-сопел НЛО в полёте		
Все работают	Частично отключены	Все отключены
		

*Рис.3.4 Форма векторной записи изменения потенциалов геномов и организмов, принятая в Книге Перемен.  
Режим работы двигателя НЛО*

В Едином Космосе соотношение Тонкой Энергии и Энергии Материи равно 2/3 к 1/3 и сгустки Материи описываются пропорциями великой Пирамиды. следовательно отношение энергии Космоса к Энергии сгустка материи будет соответствовать отношению трёх Пирамид к Одной.

В этом случае двигатель НЛО или Кундалини будут регулировать количество энергии взятой из Космоса:

$$3V_{\pi} = 3\frac{1}{3}a^2H = H \cdot \left(a^2 = 8 = \sqrt{2}^6\right) \Leftrightarrow \left(\frac{1}{\sqrt{2}}\right)^{n=1,2,3...} \quad (3.61)$$

|
Космос
|
Материя
|

Такая система применима и к Кундалини и к НЛО.

## 3.2 Периодическая система Тонких Эмоциональных Энергий: Русские Руны

**Космическая Информация** поступает Носителям Разума, в том числе людям, без всякой паузы со стороны Космоса.

Восприятие космической информации зависит от индивидуума: один воспринимает, другой не; один хорошо воспринимает, но плохо понимает то, что воспринимает; другой понимает, но плохо воспринимает и так далее. Колебаний множество, а наша задача добросовестно относиться к Информации, воспринятой другими.

Я так и поступил с Информацией, воспринятой Евгением Аверьяновым, которая шла к нему в виде отдельных эпюр векторов под общим названием **Русские Руны**.

Ломая голову о сакральном смысле **Русских Рун** Аверьянова исследователи предполагали разное и предлагали использовать их как закономерности, пригодные к эталону времени.

Меня Русские Руны заинтересовали, и я обнаружил, что **Космос передаёт Человечеству содержание периодической системы Тонких Энергий** (рис.3.5).

### **3.2.1 Пределы периодической системы Русских Рун**

**Периодическая система Русских Рун** имеет **Пять периодов и Шесть групп** (рис.3.5).

Система Русских Рун описывает поле **Кундалини с потенциалом 6 (шесть)**, обладающую энергией **Пятеричной Связи**, и находящуюся в Зародыше ядерного вещества.

Потенциал Кундалини, равный Шести, распределён **по шести группам** периодической системы Рун, а потенциал Пятеричной энергии **по пяти периодам** (рис.3.5).

Шести- и пятеричные ряду Кундалини её пятеричной связи обладают цис-транс изомерией чётно-нечётных преобразований (табл3.5).

Таблица 3.5

#### **Чётно-нечётные преобразования Кундалини и Пятеричной связи**

		Кундалини (6)	Пятеричная связь (5)
Ряды	Нечётные Чётные	$\frac{1+3+5=9}{2+4+6=12} = \frac{3}{4}$	$\frac{1+3+5=9}{2+4=6} = \frac{3}{2}$
Контур колебания Рупа - Арупа		$\frac{\tau}{T_0} \equiv \frac{3}{4} \Leftrightarrow \frac{2}{3} \equiv \frac{2}{\tau}; 9 \Leftrightarrow 8; 3^2 \Leftrightarrow \sqrt{2}^6; 3 \Leftrightarrow \sqrt{2}^3.$	

	I	II	III	IV	V	VI
1	ВІ Путь 	РІ Защита 	Аи Достаток 	Са Рост 	Мг Смех 	Ноль 
2	Ва Ветер 	Со Разрушение 	Fe Победа 	Те Восстановитель 	АІ Сытость 	Оболочка 
3	Ag Помощь 	ТІ Мощность 	Ph Жертвенность 	Hg Трансформация 	Sp Дыхание 	Вода 
4	Си Любовь 	Сг Веденье 	Ру Вращение 	Мо Равновесие 	Зп Дезинформация 	Зола Цивилизация 
5	Ка Концентрация 	Мд Рассеяние 	Оg Замок 	Рd Лёд 	W Огонь 	Вода Ключ 

Рис.3.5 РУССКИЕ РУНЫ

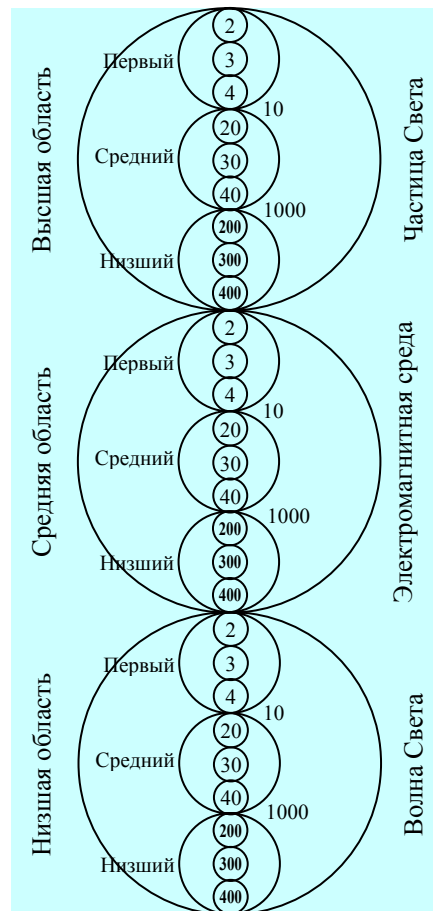
**Периодическая система Русских Рун описывает колебания Метагалактических волн в поле Арупы (табл.3.5).**

$$3 \equiv \tau \Leftrightarrow a \equiv 2\sqrt{2} \cdot 2 \cdot \text{Sc} \pi/4 \equiv 2 \cdot \text{Csc} \pi/4, \quad (3.62)$$

где а - сторона основания великой Пирамиды (рис.2.4, табл.2.14).

\*\*

Великая Цивилизация неоднократно пыталась привлечь внимание человечества к важнейшей и актуальной проблеме перехода между Рупой и Арупой (табл.3.5):



$$\frac{3}{4} = \frac{\tau}{T_0} \Leftrightarrow \frac{2}{\tau} \quad (3.63)$$

Важнейший вопрос связи Рупы-Арупы донёс до нас Иисус Христос после своего Вознесения на Небо: с Небес Он продиктовал Иоанну Богослову "Откровения".

Кульминационным моментом Откровений явились:

❖ Круг Универсума, в котором 2, 3 и 4 чередовались на разных уровнях взаимодействий (рис.3.6);

❖ Время Апокалипсиса, в котором время связано с тройкой Арупы [5]:

Рис.3.6 Круг Универсума.  
"Откровение Св.Иоанна" [5]

Время в Откровениях			(3.64)
Левизна	Правизна	Общее	
$3 \cdot 10^6$ лет	$3 \cdot 10^6$ лет	$6 \cdot 10^6$ лет.	

Расшифровка потенциалов Круга универсума и времени Апокалипсиса проведена мною и опубликована в работе [4].

\*  
\*\*

В неравновесной системе энергетических колебаний Рупа-Арупа (3.63. табл.3.5) происходит сжатие и возникают взаимодействия:

$$\tau/T_0 \Leftrightarrow 2/\tau \quad \text{и} \quad \tau^2 \Leftrightarrow 2 \cdot T_0 = 2 \cdot 4 = 8 = a^2, \quad (3.65)$$

где  $a^2$  - площадь основания великой Пирамиды (рис.2.4, табл.2.14), а двойка эквивалентна постоянной взаимодействия и коэффициенту сжатия:

$$2 \equiv \lg \rho_1 \rho_2 \rho_3 \rho_4 \rho_5 \equiv T_0 \cdot \omega_0 / c \equiv c / \omega_0. \quad (3.66)$$

В поле сжатия с потенциалом 2 возникает импульс расширения ( $c / \omega_0 = 2$ ).

Формирование сгустка - Рупы с периодичностью  $T_0 = 4$  меняет импульс расширения на энергию расширения:

Трансформация импульса сжатия в поле расширения: расширяющаяся Вселенная					
Энергия расширения	Равновесие	Импульсы		Энергия Зародыша	Энергия поля
		сжатия	расширения		
$\frac{1}{2^n} = \frac{c^n}{\omega_0^n},$ n=1,2,3	$1 \equiv \frac{1}{2} \cdot 2$	$T_0 \frac{\omega_0}{c} = \frac{2}{2}$	$\frac{c}{\omega_0} \equiv \frac{2}{2}$	$\frac{c^2}{\omega_0^2} \equiv T_0 = 4$	$\left(T_0 \frac{c}{\omega_0}\right)^2 \equiv 64.$

(3.67)

Совместное поле импульса и кванта энергии расширения создают логарифмические волны нашего трёхмерного Пространства Рупы (3.67):

$$\frac{c}{\omega_0} \cdot \left(\frac{c}{\omega_0}\right)^2 = \left(\frac{c}{\omega_0}\right)^3 \equiv q^2 = 8 = 2^3 \quad (3.68)$$

и  $\log_2 2^3 \equiv 3 \equiv \tau \equiv x+y+z. \quad (3.69)$

**Логарифмические волны взаимодействий в расширяющейся Вселенной создают во Вселенной трёхмерное Пространство. Пространств других размерностей во Вселенной нет.**

\*\*

Расширяющаяся пульсирующая Вселенная делится на **сгустки** с потенциалом  $(T_0 \cdot c / \omega_0 = 8)^2 = 64$  и волновые поля (**Корень**) с потенциалом  $(c/\omega_0)^n \equiv (1/2)^n$ , при n = 1, 2, 3,... (3.67).

**Волновое поле Вселенной (Корень) является источником энергии для Сгустков**, но поступление волн в сгустки регламентируется периодичностью пульсации ядерного вещества сгустка.



В трёхмерных полях Вселенной периодичность перехода от Рупы к Арупе в режиме резонансно-антирезонансной пульсации связан с периодичностями:

<b>Переход из Сгустка в Корень. Из Рупы в Арупу или Периодичности излучения ядерным веществом</b>	
Антирезонанс	Резонанс
$\frac{T_0 + \tau}{T_0} \cdot \log_2 2 \equiv$ $\log_2(2^{7/4} \equiv H)$ $\text{где } \frac{T_0 + \tau}{4} = \frac{4+3}{4}$ $= \frac{7}{4} = \text{пальма}$	$\frac{T_0 + \tau}{T_0} \cdot \log_2 2 \equiv$ $\log_2 2^3$ $\text{где } \frac{T_0 + \tau}{4} = \frac{4+3}{4} =$ $3 \equiv \tau \equiv x + y + z$

(3.70)

Мы, люди, живём в трёхмерном Пространстве, то есть в мире логарифмических волн ( $\log_2 2^7$ ). Это тот энергетический фон, которого мы не замечаем и не понимаем. **Взамен этого наша наука выдвигает Иллюзии о многомерном Пространстве.**

\*\*

**Чем больше энергетический потенциал плотности упаковки сгустка, тем более короткие волны он излучает-поглощает. Но в любом случае поглощение-излучение волн сгустка идёт с Продолжительностью - периодичностью, ограниченные Равновесием.**

Такое равновесие описывается диаграммой **Ян-Цинь** (рис.2.5), где равновесие с энергией волны расширения (светлая волна с потенциалом  $(T_0 \cdot c / \omega_0 = 8)^2$ , формула 3.67) **определяется волнами** и потенциалом:

$$1 \equiv (T_0 \cdot c / \omega_0 = 8)^2 \cdot \left( \sin \frac{\pi}{4} = \frac{1}{\sqrt{2}} \right)^{12} \equiv \left( T_0 \frac{c}{\omega_0} \right)^2 \cdot \left( \sin \frac{\pi}{4} \right). \quad (3.71)$$

Переход от резонанса (3.71) к антирезонансу приведёт к формированию второй **(черной) волны на диаграмме Ян-Цинь** (рис.2.5, 3.71):

$$\left| \frac{1}{\left( \sin \frac{\pi}{4} = \sqrt{2} \right)^{-12}} \equiv \sqrt{2}^{12} = 64 \equiv \left( T_0 \frac{\omega_0}{c} = 2 \right)^6 \right| \Leftrightarrow 8^2 \equiv \left( \frac{T_0 c}{\omega_0} \right)^2. \quad (3.72)$$

Мистический кумир из диаграммы Ян-Цинь сделала человеческая глупость. Создатель подчеркивал: "**Не сотвори себе Кумира**", - мы сотворили и не поняли, что диаграмма Ян-Цинь описывает корпускулярно (Сгусток) - волновую (Корень) Вселенную.

\*  
\*\*

Великая Цивилизация, сама с себя страхнувшая кандалы Кумиров и Иллюзий, понимала, что живёт в **корпускулярно-волновом (Сгусток-Корень)** энергетическом поле логарифмических волн Вселенной, и описала это поле удивительно просто (табл.3.5, 3.70):

<b>Сакральный смысл Великой Пирамиды в её описании Вселенной, но не Хеопса</b>	
$\log_2 \tau \Leftrightarrow \log_2 (2^{7/4} \equiv H) + \log_2 (2^{x+y+z=3} \equiv a^2);$ $0 \Leftrightarrow \log_2 H + \log_2 a^2 - \log_2 t \equiv \log_2 \left( \frac{1}{\tau} a^2 H = V_{\pi} \right),$ <p style="text-align: center;">где <math>V_{\pi}</math> - объём великой Пирамиды - ядро Сгустка.</p>	(3.73)

Применительно к вектор - эпюрам Русских Рун символом  $\diamond$  - квадрата обозначалась великая Пирамида, в которой протекали ядерные процессы в жидкой плазме ядерного вещества (рис.3.6).

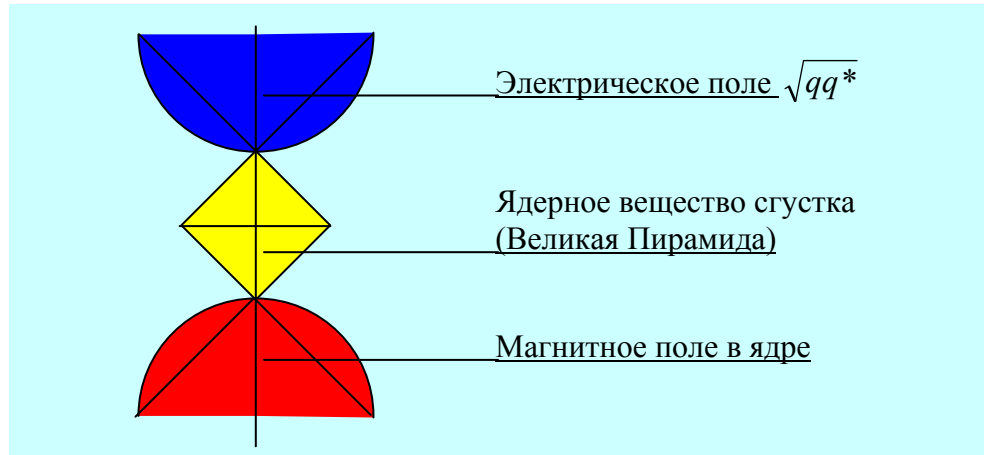


Рис.3.5 Распределение полей в эпюрах Русских Рун (рис.3.6)

Ядерные процессы в жидкой плазме имеют своей основой деление (митоз) поступившего из Космоса гравитационного импульса на два магнитных заряда:

<b>Деление Космического импульса гравитации в жидкой плазме ядерного вещества</b>	
$\pm(\rho^* = 28 \cdot 10^{+20}) \equiv (2 \cdot 14 \cdot 10^{-20}) \cdot 10^{40} \equiv \pm 2\mu \cdot 10^{40}$ <p>и</p> $\pm 10^{-40} \cdot \rho^* \equiv \pm 2\mu$ <p>Эндотермия <b>Корня</b></p>	$(3.74)$
<p style="text-align: right;">Экзо-эндотермия Жизни</p>	

Переход от Космического гравитационного импульса (аналога Мысли), **излучаемого Сгустками Вселенной и трансформирующегося в магнитные заряды ядерным веществом**, имеет свою динамику, показанную в Русских Рунах эпюрами векторов, расположенных **под квадратами** (рис.3.5, рис.3.6).

Достижение магнитным зарядом **Поверхности Капли Ядра** трансформирует магнитный заряд в электрическое поле - **заряд биотока - импульс Воображения**. пробуждается **Сознание**. Протекает процесс:

<b>Возникновение электрического поля биоток - Воображение на поверхности Капли ядерного вещества</b>	
$\pm 2\mu \equiv \pm 2 \cdot (14 \cdot 10^{-20}) \equiv (16 = \sqrt{qq^*}) \cdot \left( \frac{7}{4} \equiv \frac{\rho^*}{q^*} \equiv \frac{\rho}{q} \right)$ <p style="text-align: center;">или</p> $\pm 4\mu 2 \equiv qq \cdot \frac{49}{16} \equiv qq^* \cdot \frac{\text{Оболочка}}{\text{Периодичность}}$ <p style="text-align: center;">Возникают <b>заряды-импульсы</b>, сопутствующие ПАЛЬМЕ, и Оболочки при <math>T_0^2 = 16</math>.</p>	$(3.75)$

**Динамику электромагнитных процессов и формирование электрического поля на поверхности Капли ядерного вещества Русские Руны описывают вектор-эпюрами над квадратами (рис.3.5, рис.3.6).**

\*\*

Периодическая система Русских Рун является **энергетической системой**.

Как и в любой иной энергетической системе, в системе Русских Рун сохраняется закон: **при трансформации Энергии из одной формы в другую количество затраченной Энергии не зависит от формы процесса трансформации, а определяется разностью энергетических потенциалов в конце и начале процесса, то есть**

$$\Delta E = E_{\text{конечная}} - E_{\text{начальная}}. \quad (3.76)$$

Этот закон (3.76) применительно к эпюре векторов периодической системы Русских Рун будет выглядеть как разность между тридцатым состоянием (Вода. Ключ) и первым (Висмут. Путь) (рис.3.5, рис.3.7).

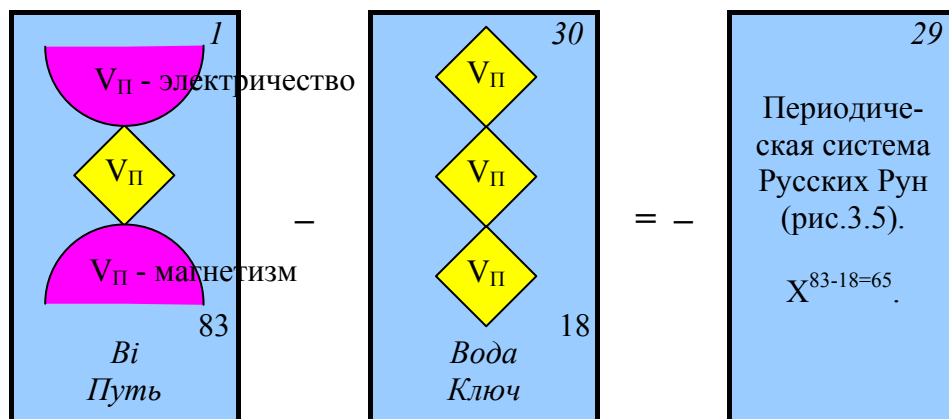


Рис.3.7 Разность потенциалов в периодической системе Русских Рун (рис.3.5)

Разность потенциалов в периодической системе Русских Рун начинает формироваться с одного квадрата (объёма великой Пирамиды), а заканчивается тремя квадратами (тремя объёмами Великой Пирамиды, рис.3.7).

Эту разность потенциалов легко определить:

<b>Разность потенциалов в периодической системе Русских Рун (рис.3.7)</b>	(3.77)
$3 V_{\text{П}} - V_{\text{П}} = 2 V_{\text{П}} = \frac{2}{3} a^2 H = \frac{1}{3} 16 H \equiv \frac{T_0^2}{\tau} H .$	

Эта разность потенциалов существовала и вначале процесса как атмосфера над Ядром - Пирамидой: магнитная описана вектором ниже квадрата, электрическая - выше (рис.3.5, рис.3.6).

Энергия электрическая и магнитная были равны друг другу, и каждая из этих форм имела потенциал - эквивалент объёму Великой Пирамиды (рис.3.7).

\*\*

Электрическое и магнитное поля, существующие вместе, тем не менее индивидуальны.

Индивидуальность магнитного ( $\sqrt{\mu\mu^*} = 14$ ) и электрического ( $\sqrt{qq^*} = 16$ ) полей определяется отношением к энергии полей в электрической и магнитной областях, потенциал которых равен  $V_{\Pi}$  (рис.3.7):

Структура энергетического поля в системе "Путь, Висмут"			(3.78)
Электрическое поле (возникают $\pm \int_0^1 \varphi d\varphi = \pm \frac{1}{2}$ )	Ядро	Магнитное поле (появляется пальма)	
$k_1 = \frac{\sqrt{qq^*} = 16}{V_{\Pi}} =$ $3 \cdot \left(\frac{1}{2}\right)^{\frac{3}{4}}$	$V_{\Pi} = \frac{1}{3} 8 \cdot 2^{\frac{7}{4}}$	$k_2 = \frac{\sqrt{\mu\mu^*} = 14}{V_{\Pi}} =$ $3 \cdot 2^{\frac{7}{4}} \cdot \frac{7}{4}$	

Возникает последовательность колебаний ядерного вещества с магнитной средой в объёме сгустка и магнитной среды с электрической поверхностью Капли ядерного вещества (3.78):

<b>Контур колебания между ядром, магнитной средой объёма и электрической поверхностью Капли Ядра</b>			
Колебания между полями	Ядро - магнитное по- ле объёма	Магнитный объ- ём. Электрическая поверхность	Электрическое и магнитное излучение (3.79)
Потенциалы колебаний	$k_2/V_n \equiv$ $\frac{9}{8} \cdot \frac{7}{4} = \frac{9}{8} \text{ пальм}$	$k_1/k_2 \equiv$ $\frac{1}{2^5 \sqrt{2}} \left( \frac{4}{7} \equiv \frac{1}{\text{пальм}} \right)$	<b>Магнитное:</b> $k_2^2/k_1 V_n =$ $36 \sqrt{2} (7/4)^2$ <b>Электрическое</b> $(36 \sqrt{2})^{-1} (7/4)^{-2}.$

На поверхности капли ядерного вещества появляется резонансная электромагнитная равновесная точка - излучатель (3.79):

<b>Точка - излучатель на поверхности капли ядерного вещества (в пальмах)</b>	
Состояние поля	Электромагнитное излучение света
Резонансное равновесие	$1 = 36 \sqrt{2} \cdot (7/4)^2 \cdot (36 \sqrt{2})^{-1} \cdot (7/4)^{-2}$
Цис-транс изомерия	$\pm 36 \sqrt{2} \cdot (7/4)^2 \Leftrightarrow \mp 36 \sqrt{2} (7/4)^2$
Антирезо- нансное равновесие	$\pm 0 \Leftrightarrow \mp 36 \cdot (2 \sqrt{2}) \cdot (7/4)^2,$ где 36 - свет, $2 \sqrt{2} = a$ - бегущая волна света, а $(7/4)^2$ - импульсы заряды гравитации.

Излучение электромагнитной волны света с поверхности ядерной капли (3.80) означает, что периодическая энергетическая Система Русских Рун (рис.3.5) начала свой ПУТЬ трансформацией из одних форм энергии в другие.

\*\*

Путь трансформаций энергетических форм по маршруту Русских Рун на тридцатом переходе приводит к Воду, Ключу (рис.3.5).

Эту систему (рис.3.5) Авторы Книги Дзиан называли **Формовщиками** [1, 2], а Иисус Христос продиктовал инициалы формовщиков, то есть 1, 2, 3 и 4 для Круга Универсума (рис.3.6) в Откровениях Иоанну Богослову [5].

Периодическая энергетическая система Русских Рун описывает резонансно - антирезонансную пульсацию "формовщиков", формирующих 30 состояний:

<b>Возникновение тридцати состояний Русских Рун</b>	
$\frac{\text{резонанс}}{\text{антирезонанс}} \equiv \frac{1 \cdot 2 \cdot 3 \cdot 4}{1 + 2 + 3 + 4} = \frac{24}{10} = 2,4$	(3.5)
$\frac{\text{магнитное поле}}{\text{электрическое поле}} \equiv \frac{1^2 + 2^2 + 3^2 + 4^2}{1 + 2 + 3 + 4} (\rho_5 = 10) = \frac{30}{10} \cdot 10 = 30$	
$\text{Цис-транс изо-мерия света} \equiv 30 \cdot 2,4 \equiv 72 \equiv \pm[36 - (-36)].$	

Следуя за формовщиками, мы на каждом шагу встречаем Богов: то мифологических, то языческих, то из современных религиозных Конфессий. **Борьба между Добром и Злом за сегодняшнего Носителя Разума на Земле не стихает!**

\*\*

На тридцатом шаге по маршруту Русских Рун формовщики создают Воду, Ключ (рис.3.5 рис.3.6).

Возникает Единое Поле ядерного вещества с потенциалом  $3 \cdot V_p$ , в котором есть гравитационное ( $\sqrt{\rho \rho^*} = 28$ ), магнитное ( $\sqrt{\mu \mu^*} = 14$ ), электрическое ( $\sqrt{q q^*} = 16$ ) поля смешанные в объёме:



<b>Возникновение Зародыша: и Зародыш был Един [1]</b>		
Пульсация	Резонанс	$k_1 = \frac{\sqrt{\rho\rho^*} \cdot \sqrt{\mu\mu^*} \cdot \sqrt{qq^*}}{V_{II}^3} = \left(\frac{7}{2}\right)^2 \cdot \frac{27}{32} \cdot 2^{-\frac{1}{4}}$
	Анти-резонанс	$k_2 = \frac{\sqrt{\rho\rho^*} \cdot \sqrt{\mu\mu^*} \cdot \sqrt{qq^*}}{3 \cdot V_{II}} \equiv \frac{29}{8} \cdot 2^{-\frac{3}{4}}$
	Приведённый	$\left(\frac{k_1}{k_2} \Leftrightarrow \frac{k_2}{k_1}\right) \cdot \left(\pm \int_0^1 \varphi d\varphi\right) = + - 5999.$

(3.82)

Попадание в пульсирующую плазму любого равновесного импульса (3.82):

$$\pm 5999 \pm (m_{cs} = E_{\lambda}c = \epsilon_0 \cdot \mu_0 \cdot c^2 = 1) = \pm 6 \cdot 10^3, \quad (3.83)$$

влечёт за собой появление Кундалини Света с эффективностью взаимодействий  $\rho_5^3$ :

$$6 \cdot 10^3 = [3 - (-3) \equiv (3,5 + 2,5) \equiv 3,5^2 - 2,5^2] \rho_5^3. \quad (3.84)$$

Увеличение эффективности взаимодействия света в поле Кундалини (3.84) до  $10^6$  влечёт взрыв или Время Апокалипсиса, равное  $6 \cdot 10^6$  лет (3.64).

"Временем Апокалипсиса" в нашем микромире успешно воспользовался Кирлиан. Он возбуждал поверхности тел с частотой  $10^6$  Гц и шло фотографирование эндотермического свечения минералов или Ауры людей [14].

При цис-транс изомерии света (3.83) появлялся потенциал, равный

$$\pm [6 \cdot 10^3 - (-6 \cdot 10^3)] = \pm 12 \cdot 10^3. \quad (3.85)$$

Равное распределение этих потенциалов в трёх квадратах - ядрах поля Воды-Ключа (рис.3.7), приводит к появлению в ядрах потенциала:

$$\pm 12 \cdot 10^3 : 3 = \pm 4000 \equiv \pm 4000 \text{Å} \equiv \lambda_{\text{ф}}. \quad (3.86)$$

Этим потенциалом (3.86) завершается формирование Круга Универсума Иоанна Богослова (рис.3.6), а в ядерном веществе появляется фиолетовая волна длиной  $4000 \text{Å} \equiv \lambda_{\text{ф}}$  (3.86).

**Начинается трансформация энергии метагалактических волн формовщиков в фиолетовой области спектра света.**

\*\*

Потенциал 4000 формируется не сразу, а по мере взаимодействий (табл.3.6):

Таблица 3.6

**Предыстория появления фиолетовой области света**

Религиозные аналоги	Четверица	Сокровенная сороковица	400 Библейских лет	Свабхават ○
Точечный участок света, $\times(m_c c \equiv E_{\lambda} c)$	$T_o = 4$	$T_o \rho_5 = 40$	$T_o \rho_5^2 = 400$	$T_o \rho_5^3 \equiv \tau = 4000$
Бесконечность взаимодействий света в воде	$4 \cdot 36 = 144 \equiv$	$40 \cdot 36 = 1440 \equiv$	$400 \cdot 36 = 14400 \equiv$	$4000 \cdot 36 = 144000 \equiv$
Общая закономерность	$144 \cdot 10^n = T_o [18 - (-18)] \cdot 10^n,$ где 18 - молекулярный вес воды, а $n = 0, 1, 2, \dots$			

**Свет в жидких средах формовщиков - основа Жизни белковых тел.**

**Тридцатое Состояние** периодической системы Русских Рун (табл.3.5, табл.3.7) называется **Ключом** потому, что метагалактические волны в жидкой фазе ядерного вещества в **Зародыше Сгустка трансформируются в волны-частицы света по всей области спектра.**

Тридцатое Состояние периодической системы Русских Рун - это **Ключ от дверей, ведущих из области Тонких Энергий Эмоций в физиологическую область белковых тел.**

Отличительной особенностью полей в области Ключа является Хаос равномерного распределения энергии по всем трём состояниям поля.

Потенциал этого триединого поля Ключа будет равен приведённому потенциалу (3.82) плюс любой равновесный импульс:

$$5999 + (m_{\text{с}} \equiv E_{\lambda\text{с}} \equiv \varepsilon_0 \cdot \mu_0 \cdot c^2 \equiv \dots \equiv 1) \equiv 6000. \quad (3.87)$$

Открытые Ключом двери будут создавать в Едином Космосе поля Тонких Энергий и Энергии Материи (табл.3.7):

Таблица 3.7

**Связь Хаоса Эмоций с Единым Космосом (рис.3.6)**

Антирезонанс	Хаос Эмоций (Ключ)	Ключ:  Концентрация квантов (3.87) $\equiv 6 \cdot 10^3$		
Резонанс	Форма энергии	Тонкая Энергия	Свет	Энергия Материи
	Соотношение потенциалов	$\frac{2}{3} \cdot 6 \cdot 10^3 \equiv 4 \cdot 10^3$	$\rightarrow k_1 = 1/2 \rightarrow$ $\leftarrow k_2 = 2 \leftarrow$	$\frac{1}{3} \cdot 6 \cdot 10^3 \equiv 2 \cdot 10^3$

Пульсирующий между Тонкими Энергиями и Энергией Материи свет имеет коэффициенты перехода  $k_1 = 1/2$  и  $k_2 = 2$  (табл.3.7).

Это значит, что при переходе из поля Тонких Энергий к Энергиям Материи свет переносит количество люминесцентной (холодной) Энергии в два раза меньше, чем Материя отдаёт экзотермической (горячей) энергии (табл.3.7).

Связь между Эмоциями (Арупа) и их физиологическими излучателями (Рупа, нервные клетки)		
Переходы	От эндо- к экзотермии	От экзо- к эндо- термии
Неравновесная система	$4 \cdot 10^3 \cdot (k_1=1/2) = 2 \cdot 10^3$	$2 \cdot 10^3 \cdot (k_2=2) = 4 \cdot 10^3$
Эмоциональные качели наших тел	$\frac{\text{Резонанс}}{\text{Антирезонанс}} = \frac{2 \cdot 10^3 \cdot 4 \cdot 10^3}{(2+4) \cdot 10^3} = \frac{8}{6} 10^3 \Leftrightarrow$ $\frac{6}{8} \cdot 10^3 = \frac{6 \cdot 10^3}{2 \cdot 4 \cdot 10^6} \equiv \frac{\text{Антирезонанс}}{\text{Резонанс}} \quad (3.90)$	
Тело в белом свете	$8^2(\text{Тянь}) \Leftrightarrow 6^2 \cdot 10^6 \equiv \Delta B \cdot 10^4 \text{ I/A}$	
Связь между Арупой ( $\tau=3$ ) и Рупой ( $T_0=4$ )	Электро-магнетизм	$1 \Leftrightarrow \frac{6^2}{8^2} 10^6 = \left(\frac{3}{4} 10^3\right)^2 \equiv \left(\frac{\tau}{T_0}\right)^2 \sqrt{\rho_3} \Leftrightarrow$ <p>Электромагнитные взаимодействия <math>\sqrt{\rho_3}</math></p>
	Гравитация	$\left(\frac{T_0}{\tau}\right)^2 \sqrt[4]{\rho_1} = \left(\frac{4}{3}\right)^2 10^{-6} \equiv \frac{8^2}{6^2} 10^{-6} \Leftrightarrow 1$ <p>Гравитационные взаимодействия.</p>

Свою физиологическую энергию нервных клеток мы тратим на Эмоции и это **энергетический закон, но выбор Формы Эмоций зависит от Свободы Воли Личности.**

Закулиса зомбирует Свободу Воли членов Социума, передавая по СМИ **информационный негатив.**

### 3.2.2 Шесть групп периодической системы Русских Рун: их роль в Едином Космосе

**Закон сохранения энергии справедлив и ко всему Космосу в целом и к каждой его микро-макро части в отдельности.**

**Закон сохранения энергии остаётся справедливым и для каждого элемента Русских Рун, чем я и воспользуюсь, характеризуя эти Элементы (рис.3.5).**

\*  
\*\*

Ядро, электрическое и магнитное поля в каждом элементе Русских Рун имеют потенциалы эквивалентные по величине объёму великой Пирамиды (рис.3.7).

Потенциал ядра остаётся постоянным до тридцатого элемента Русских Рун (рис.3.5). В тридцатом элементе ядро увеличивается в три раза (рис.3.5, рис.3.7), а вместо формовщиков возникает внутреннее резонансное поле света:

Субструктура	$30 \cdot 3V_{\pi} \equiv \frac{1^2 + 2^2 + 3^2 + 4^2}{1 + 2 + 3 + 4} \tau \cdot V_{\pi} \equiv (9 + 0)V_{\pi}$	Арупа: $\tau = 3$
Внутреннее поле света	$30 \cdot 4 \cdot V_{\pi} = 120 \cdot V_{\pi} \equiv 1 \cdot 2 \cdot 3 \cdot 4 \cdot 5 \cdot V_{\pi}$	Рупа: $T_o = 4.$

(3.91)

Рупа появляется только на тридцатом элементе (рис.3.7), так как в элементах с порядковым номером меньше 30 внутреннее поле света уже формируется, но ещё не сформировалось.

**Двадцать девять элементов Русских Рун описывают процесс сгущения метagalактических волн Тонких Энергий во внутреннее поле света (рис.3.5). Оболочка света не исчезает никогда и функционирует как божественная Кундалини.**

Элементы Русских Рун с первого по двадцать девятый включительно имеют ОБЩНОСТЬ: над ядром пульсирует **сжимающая ядро электрическое поле с потенциалом  $V_{\pi}$** ; в объёме ядра пульсирует **расширяющее ядро магнитное поле с потенциалом  $V_{\pi}$**  (рис.3.7).

Кроме сжатия и расширения полей в объёме и над поверхностью ядра, **электрические и магнитные поля обладают Цис-Транс Изомерией**.

Обобщение режимов пульсации даёт возможность определить постоянные электрической и магнитной сред в поле Арупы (табл.3.8):

Таблица 2.8

**Постоянные электрических (X) и магнитных (Y) сред над и в объёме Зародыша Сгустка в Арупе (рис.3.5)**

Поля	Режим			
	Пульсация	Изомерия	Const сред	Объём Пирамиды $V_{\pi}$
Электрическое сжатие	$T_0 \frac{\omega_0}{c} = 2 \times (\sqrt{qq^*} - (-\sqrt{qq^*}) = 32)$		$\times X =$	$\frac{1}{3} 8 \cdot 2^{\frac{7}{4}} = V_{\pi}$
Магнитное расширение	$T_0 \frac{c}{\omega_0} = 8 \times (\sqrt{\mu\mu^*} - (-\sqrt{\mu\mu^*}) = 28)$		$\times Y =$	$\frac{1}{3} 8 \cdot 2^{\frac{7}{4}} = V_{\pi}$
Пульсация Арупы (электромагнетизм)	$6X = (9^{3/4} \equiv 2^{\tau/T_0}) = 42Y;$ $X = \frac{1}{3} (2^{-1/4} \equiv \sqrt[4]{\sin \pi / 4}) = 7Y$ $Y = \frac{1}{21} \sqrt[4]{\sin \pi / 4} = \frac{1}{7} X.$			

Уважаемый Читатель! Я прошу Вас **акцентировать своё внимание** на том, что постоянные сред (X и Y) в Арупе существуют в динамике синтеза-мультиплетности электрического и магнитного полей, а не являются статически застывшей точкой опоры, которую так жаждал Архимед, чтобы зачем-то перевернуть Земной Шар.

Синтез-мультиплетность постоянных: электрической X и магнитной Y над Зародышем Ядра в Арупе описывают **Пять периодов по шести группам Русских Рун**.

### Первый период Русских Рун

1) Первый элемент носит название **Путь** потому, что определяет начало процесса сгущения Арупы в Зародыш (рис.3.8):

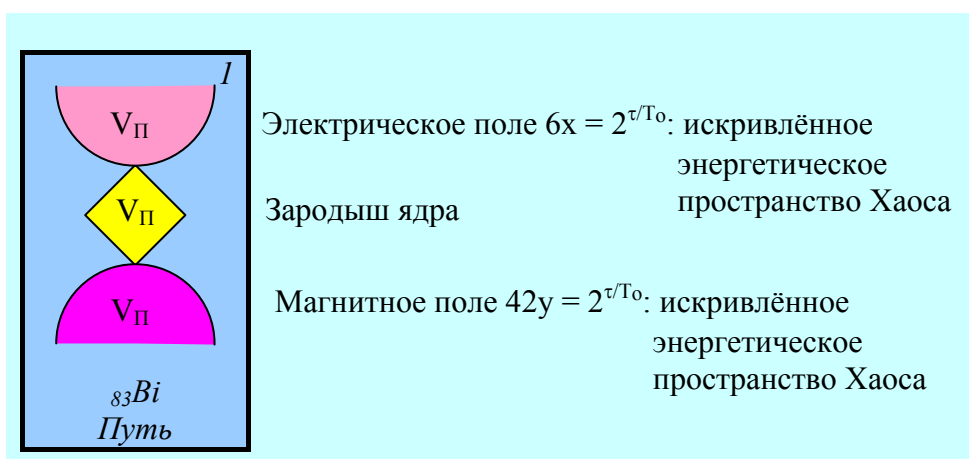


Рис.3.8 Элемент Русских Рун: путь, висмут (рис.3.5)

Сгущение метagalacticких волн Арупы в Зародыш начинается с искривления электрической и магнитной среды **Хаоса в Пространстве светом**:

Поля	Хаос	Искривление Пространства
Электрическое	$X = \frac{1}{3} \sqrt[4]{\sin \pi / 4}$	$k_1 = X / (m_c + E_\lambda) = \frac{1}{3} \left( \frac{\pi}{2} = \omega_0 \right) \cdot \left( \sin \frac{\pi}{4} \right) \frac{1}{Y}$
Магнитное	$Y = \frac{1}{21} \sqrt[4]{\sin \pi / 4}$	$k_2 = Y / (m_c + E_\lambda) = \frac{1}{21} \left( \frac{\pi}{2} = \omega_0 \right) \cdot \left( \sin \frac{\pi}{4} \right) \frac{1}{X}$

(3.92)

Возникает вихрь метagalактических волн. Вихрь вращается с угловой скоростью  $\omega_0 = \pi/4 \equiv 1/(m_c + E_\lambda)$ . В Метagalактике Хаоса с периодичностью **СЕМЬ** начинается сгущение волн в Зародыш (3.92):

$$k_1 : k_2 = 21/3 = 7 = T_0 + \tau. \quad (3.93)$$

В этом поле Арупа - Рупа (3.93) возникает взаимодействие света с эффективностью  $2\rho_5 = 20$ . Возникает максимальный потенциал, равный 83 электронам в атоме висмута (рис.3.8):

$$k_1 + k_2 + \rho_5 = (21 \cdot 3 + 20 = 83) \cdot \left( \omega_0^2 \sqrt{\sin \frac{\pi}{4}} \right). \quad (3.94)$$

P.S. Вектора  $\smile$  и  $\frown$  (рис.3.8) описывают Хаос искривлённого светом Трёхмерного Пространства.



2) Второй элемент Русских Рун носит название *Защита* и символизируется платиной -  $_{46}Pt$  (рис.3.9).

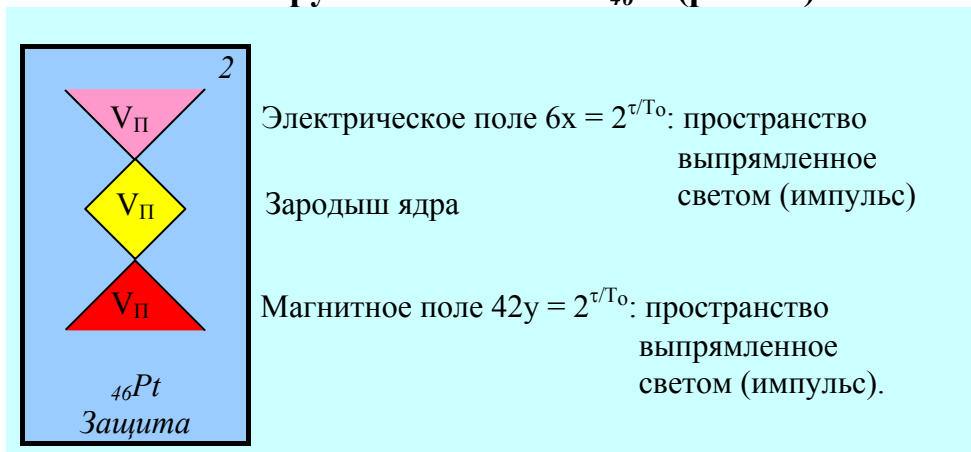


Рис.3.9 Элемент Русских Рун: платина, защита

Это поле формируется из поля (3.94), в которое попадает импульс света  $m_c E_\lambda$ :

$$(83 \cdot \omega_0^2 (\sin \pi/4)^{1/2} \cdot E_\lambda m_c (\sec \pi/4)^{1/2} = 83) \pm (2 - 1) = 84, 83, 82, \quad (3.95)$$

где  $(2 - 1 = 1)$  разность между номерами второго и первого элементов (рис.3.5).

Переход от первого элемента Висмут - Путь к элементу Платина - Защита сопровождается изменением формы векторов от  $\frown \div \smile$  к  $\searrow \div \swarrow$  (рис.3.8, рис.3.9). Это значит, что искривлённая траектория бегущей волны меняется на противоположное движение частицы света: в поле Висмута происходят колебания  $83 \pm 1$  (3.95). При сжатии этого поля до потенциала  $82 = 83 - 1$ , сжатое поле излучает свет, а потенциал излучателя становится равным порядковому номеру платины:

$$82 - 36 = 46 \equiv {}_{46}Pt. \quad (3.96)$$

Платина благородный металл, защищённый от коррозии.

3) Третий элемент Русских Рун связан с золотом  $^{79}\text{Au}$  и называется *ДОСТАТОК* (рис.3.10).

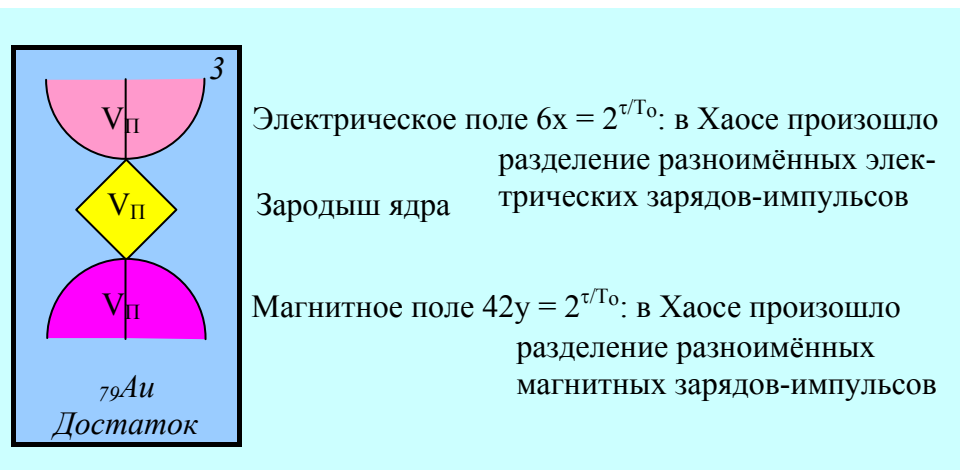


Рис.3.10 Элемент Русских Рун: золото, достаток

В этом поле (рис.3.10) вектора  $\cap$  и  $\cup$  описывают электрические и магнитные компоненты с разноимёнными зарядами-импульсами, распределённые по разноимённым полюсам:

$$\begin{aligned} +16 &= \sqrt{qq^*} + \left( \cap \mid - \right) - \sqrt{qq^*} = -16 \\ -14 &= \sqrt{\mu\mu^*} - \left( - \mid + \right) + \sqrt{\mu\mu^*} = +14. \end{aligned} \quad (3.97)$$

Приведённым потенциалом колебаний этих электромагнитных пульсаций будут потенциалы Небес-Цинь в пальмах или равновесное гравитационно-электромагнитное поле - генератор зарядов-импульсов:

Пульсация Небес-Цинь (Книга Перемен) источник-генератор формирования гравито- электромагнитных полей (рис.3.10, 2.97)	
$\frac{\text{Резонанс}}{\text{Антирезонанс}} \equiv \frac{(+16) \cdot (-16) \cdot (+14) \cdot (-14)}{[16 - (-16)] \cdot [14 - (-14)]} = 32 \cdot \frac{7}{4},$	(3.98)
где 32 - потенциал Цинь, а $7/4 = \rho^*/q^* = \dots$ , пальма	
$32 \cdot 7/4 = 56 \equiv (112 \equiv 7\sqrt{qq^*} \equiv 8\sqrt{\mu\mu^*} \equiv 4\sqrt{\rho\rho^*}) \left( \pm \int_0^1 \varphi d\varphi \right)$	
Переход в поле (3.98, рис.3.9, рис.3.10) от платины к золоту ( ${}_{46}\text{Pt} \xrightarrow[-23]{+23} {}_{79}\text{Au}$ ) связан с сжатием резонансного поля Арупы - Рупы во взаимодействиях:	
Трансформация платины (рис.3.9) в золото (рис.3.10): ${}_{46}\text{Pt} \equiv 46 + (T_0 \tau \lg \rho_1 \rho_2 \rho_3 \rho_4 \rho_5 - E_{\lambda c} = 24 - 1 = 23) = 79 \equiv {}_{79}\text{Au}.$	

Энергетическая система насыщается, подобно золоту, несущему недостаток. Но Ману-Мыслитель не умеет ограничивать свои желания и ... **люди гибнут за металл**, а я перехожу к четвёртому элементу Русских Рун.

\*\*

**4) Четвёртый элемент периодической системы Русских Рун носит название Рост и сравнивается с кальцием:  ${}_{29}\text{Ca}$  (рис.3.11).**

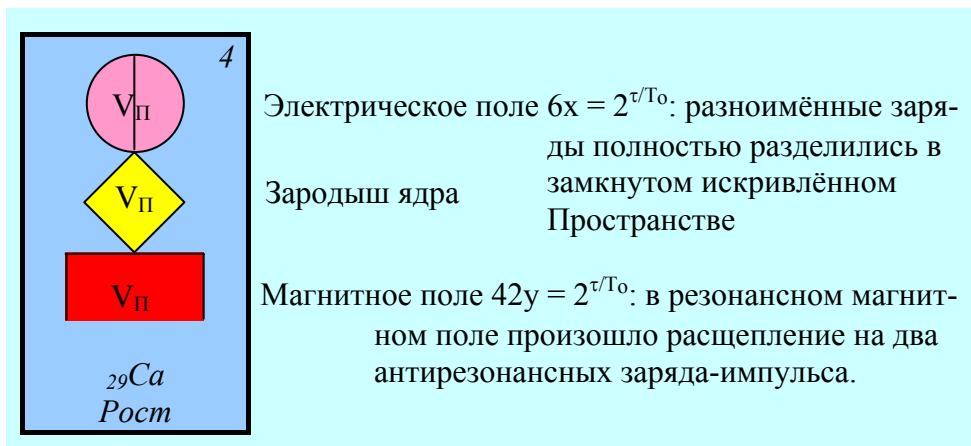


Рис.3.11 Элемент Русских Рун: кальций, рост

В этом поле (рис.3.11) эпюра  $\bigoplus$  электрического поля будет формировать в окружающей среде замкнутое Пространство, в котором разноимённые электрические заряды-импульсы  $\pm\sqrt{qq^*} = \pm 16$  **полностью разделены по полюсам** и пульсируют в поле света в резонансно-антирезонансном режиме:

$$\frac{1}{m_c + E_\lambda} \cdot \frac{\sqrt{qq^*}(-\sqrt{qq^*})}{\sqrt{qq^*} - (-\sqrt{qq^*})} = -\frac{16 \cdot 16}{2/\pi \cdot 2 \cdot 10} =$$

$$-4\pi = 2\pi \cdot (R = 2) \equiv \pi \cdot (R = 2)^2. \quad (3.99)$$

В электрическом поле возникает потенциал - эквивалент кругу-окружности с радиусом  $R = 2$ , в который великая Цивилизация вписывала основание великой Пирамиды, а потенциал  $4\pi$  характеризовал **сферическую поверхность кванта Праны** в канале экстрасенсорной проводимости с радиусом  $i$ :

$$-4\pi \equiv 4\pi i^2 \equiv Q_i \text{ (поверхность Праны)}. \quad (3.100)$$

Замкнутое пространство  $\bigoplus \equiv -4\pi$  насыщается полем света и создаёт сокровенную Четверицу:

$$\bigoplus \rho_5 E_\lambda = \pm 4\pi \cdot 10 \cdot 1/\pi = \pm 40, \quad (3.101)$$

где (+) относится к энергии Материи, а (-) - к Тонким Энергиям.

В полях Тонких Энергий из потенциала 79 (эквиваленту числу электронов в атоме золота, рис.3.10) вычитается **сокровенная сороковица**, а мы приходим к анализу 29 электронов кальция (рис.3.11):

$$79 - [40(\text{сокровенная сороковица}) + (\rho_5 = 10)] = 29$$

$${}_{79}\text{Au} \Leftrightarrow {}_{29}\text{Ca}. \quad (3.102)$$

Одновременно с электрическими процессами  $\bigcirc$  в поле **роста** протекают и **магнитные** процессы, описанные эпюрой  $\sqcap$  (рис.3.11).

Резонансно-антирезонансная пульсация магнитных компонент говорит о том, что **РОСТ** происходит с **Семеричной периодичностью**:

$$\frac{\text{Резонанс}}{\text{Антирезонанс}} \equiv \frac{-\sqrt{\mu\mu^*} \cdot \sqrt{\mu\mu^*}}{\sqrt{\mu\mu^*} - (-\sqrt{\mu\mu^*})} = \frac{-14^2}{2 \cdot 14} = -7 \equiv \text{Рост} . \quad (3.103)$$

**5) Пятый элемент периодической системы Русских Рун связан с магнием -  $_{12}\text{Mg}$  и носит название *Смех* (рис.3.12).**

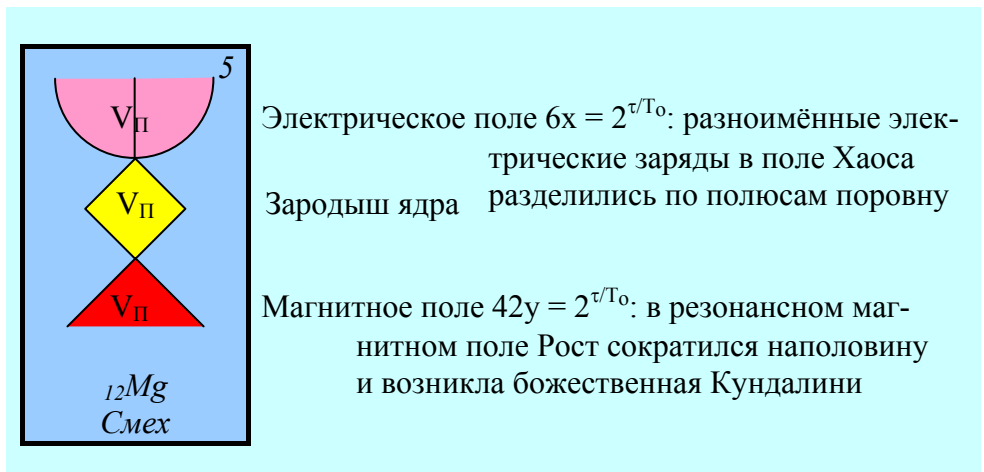


Рис.3.12 Элемент Русских Рун: магний, смех

**Горький Смех** сарказма и разочарования вырвался у Закулисы, **жизнерадостный Смех** у Создателя: Космос поделил **периодичность Роста** (3.103) пополам, и в поле магнитного митоза (основы Размножения) возникли цис- и транс- изомерические спирали расширения по 3,5 оборота божественной Кундалини :

<b>Периодичность Роста в магнитном поле - основа формирования цис- и транс- изомерии Кундалини</b>			
Рост. Периодич- ность. (3.103)	Изомерия	Кундалини	Гравитация
	Цис	Транс	
$T_0 + \tau \equiv 7$	$7 \int_0^1 \varphi d\varphi = \frac{7}{2}$	$7 \int_1^0 \varphi d\varphi = -\frac{7}{2}$	$T_0 \left[ \frac{7}{2} - \left( -\frac{7}{2} \right) \right] = 28.$

(3.104)

Одновременно с жизнерадостной пульсацией магнитного поля (3.104) протекает пульсация и в электрическом поле (рис.3.12).

Пульсация электрического поля  $\pm \sqrt{qq^*} = \pm 16$  заканчивается полем Хаоса, но при полярном распределении разноимённых электрических зарядов (рис.3.12):

$$\frac{\sqrt{-qq^*}^2 + \sqrt{qq^*}^2}{m_c + E_\lambda} \equiv 2\pi \cdot (16^2 + 16^2) = 4\pi \cdot 16^2, \quad (3.105)$$

$$\text{где } 16^2 \equiv (16 \cdot 4) \cdot (16 \cdot 4) \equiv (64 \equiv \text{Тянь}) \cdot [2 \cdot 32 \equiv 32 - (-32) \equiv \text{Цинь} - (-\text{Цинь})] \quad (3.106)$$

Электрическое поле над ядром начинает формировать Ян-Цинь Вселенную.

Переход электрического поля в Арупу Вселенной формирует потенциал-эквивалент  $T_0 \cdot \tau = 12$ :

$$\pm \sqrt{qq^*} \cdot \tau / T_0 = \pm 16 \cdot 3/4 = \pm 12 \equiv \pm T_0 \cdot \tau. \quad (3.4)$$

Появляется потенциал-эквивалент порядковому номеру магния -  $_{12}\text{Mg}$  (рис.3.12).

6) Шестой, последний элемент в первом периоде Русских Рун (рис.3.5) носит название *Ноль* (рис.3.13).

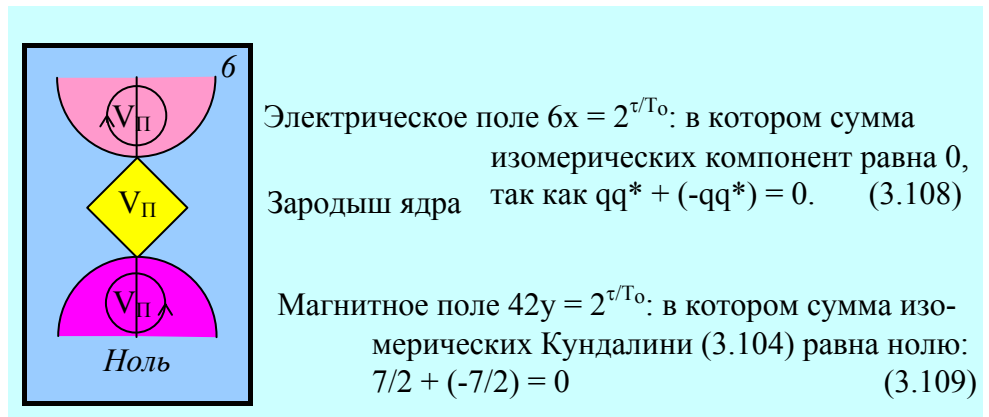


Рис.3.13 Элемент Русских Рун: *ноль*

Запутавшись в ноле, наши физики-теоретики стали запутывать социум Земли Большим Взрывом Вселенной, нагоняя страх сингулярной точкой, в которую сожмётся Вселенная.

Причём физики-теоретики считают потенциал сингулярной точки как произведение  $0 \cdot (n \neq 0)$ .

Наши теоретики (а может быть и не наши?) не понимают, что **ноль-потенциал - это не потенциал пустоты - вакуума, а разность равных потенциалов** (3.108, 3.109).

Там, где появляется разность равных потенциалов, равная нулю, энергия не исчезает и не появляется вновь. Область ноль-потенциалов формирует сумму этих потенциалов:

Поле	Разность	Сумма
Электрическое	$\sqrt{qq^*} - \sqrt{qq^*} = 0$	$\sqrt{qq^*} - (-\sqrt{qq^*}) = 2 \cdot 16$
Магнитное	$\frac{7}{2} - \frac{7}{2} = 0$	$\frac{7}{2} - \left(-\frac{7}{2}\right) = 7$
Отношение	$\frac{7}{2} \cdot \frac{1}{16} \equiv \frac{7}{2} \cdot 5^4 \cdot 10^{-4} = \frac{7}{2} \cdot \sqrt{2}^{-8}.$ Кундалини в Пирамиде Египта.	

(3.110)

Сжатое до предела поле солнечного ряда в объёме великой Пирамиды (рис.2, табл.2.14).

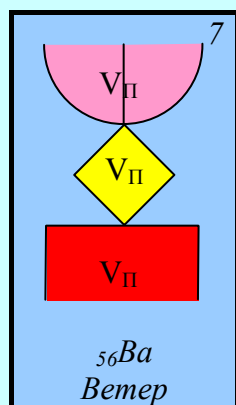
В этом случае сингулярные точки с потенциалом

$$\frac{7}{2} \cdot \sqrt{2}^{-8} \cdot (T_0^2 = \sqrt{2}^8) = \frac{7}{2}, \quad (3.111)$$

на всех уровнях микро-макро миров будут приносить с периодичностью  $T_0^2$  **не УЖАС Большого Взрыва, а радость общения с Кундалини.**

### Второй период Русских Рун

**7) Второй период Русских Рун начинается с элемента барий  $_{56}\text{Ba}$ , ветер.**



Электрическое поле  $6x = 2^{\tau/T_0}$ : аналог электрическому полю  $_{12}\text{Mg}$  (рис.3.12)

Зародыш ядра

Магнитное поле  $42y = 2^{\tau/T_0}$ : аналог магнитного поля  $_{29}\text{Ca}$  (рис.3.11)

Рис.3.14 Элемент Русских Рун: барий, ветер



Электрическое поле магния (рис.3.12) и бария (рис.3.13) подобны, то есть являются полями Хаоса с распределенными полярными компонентами (3.105, 3,106).

Между электрическими полями  ${}_{12}\text{Mg} \Leftrightarrow {}_{56}\text{Ba}$  в поле материи (и их эквивалентами в поле Тонких Энергий) возникнут колебания типа:

Поля	Тонкая Энергия	Энергия Материи
Колебания	$\frac{8 \cdot 7}{3 \cdot 4} \Leftrightarrow \frac{4 \cdot 3}{8 \cdot 7}$	$\frac{56}{12} \Leftrightarrow \frac{12}{56}$
	$\left(\frac{7}{4}\right)^2 \Leftrightarrow \frac{3^2}{8^2}$	$\left(\frac{7}{4}\right)^2 \Leftrightarrow \frac{3^2}{8^2}$

(3.112)

Это значит (3.112), что формирование электрических полей в периодической системе химических элементов (энергия материи) и периодической системе Русских Рун протекают как **Подобия энергетических процессов**.

**Химических элементов в Русских Рунах (Тонкая Энергия) ещё нет, но они введены в систему условно, чтобы мы, люди, по числу электронов в химических элементах могли определить пределы колебаний неравновесных тонкоэнергетических систем.**

В этом случае колебания (3.112):

$$\left| \left( \frac{7}{4} \right)^2 \Leftrightarrow \frac{3^2}{8^2} \right| \rightarrow |8^2 \cdot 7^2 \Leftrightarrow 3^2 \cdot 4^2| \rightarrow$$

$$|8^2 \cdot 7^2 - 3^2 \cdot 4^2 = 3000 - 8 \Leftrightarrow$$

или  $3000 \Leftrightarrow 8 \equiv T_0 \cdot c / \omega_0.$  (3.113)

Электрическое поле (3.113) при взаимодействиях  $10^3 = \rho_5^3$  функционирует в соответствии с "Откровениями" Св. Иоанна: **в расширяющейся Вселенной имеют место быть энергетические вихри с Продолжительностями времени левизны (правизны) Апокалипсиса [5]:**

$$3 \cdot 10^6 \text{ лет} \equiv 3000 \cdot 10^3 = 3 \cdot 10^6 \Leftrightarrow 8 \cdot 10^3. \quad (3.114)$$

\*\*

В элементе барий - ветер (рис.3.14) магнитное поле подобно магнитному полю в элементе кальций, рост (рис.3.11).

Между полями-подобиями  $_{20}\text{Ca} \Leftrightarrow _{56}\text{Ba}$  в полях Тонких Энергий возникнут **магнитные колебания**:

$$\frac{56}{20} = 2,8 \Leftrightarrow \frac{1}{2,8} = \frac{20}{56}. \quad (3.114)$$

В магнитном **ветре** перехода возникает Зародыш гравитации:

$$(2,8)^2 \Leftrightarrow 1, \quad (3.115)$$

а число электронов бария подсказывает, что **возникший ветер распространяется на всю Вселенную**:

$$_{56}\text{Ba} \equiv 56 \equiv (7 \sqrt{qq^*} \equiv 8 \sqrt{\mu\mu^*} \equiv 4 \sqrt{\rho\rho^*}) \cdot \left( \pm \int_0^1 \varphi d\varphi = \pm \frac{1}{2} \right) \equiv 112 \cdot (\pm 1/2) \equiv 56. \quad (3.116)$$

8) Восьмым элементом периодической системы Русских Рун (рис.3.5) является элемент *кобальт*  $_{27}\text{Co}$ , *разрушение* (рис.3.15).

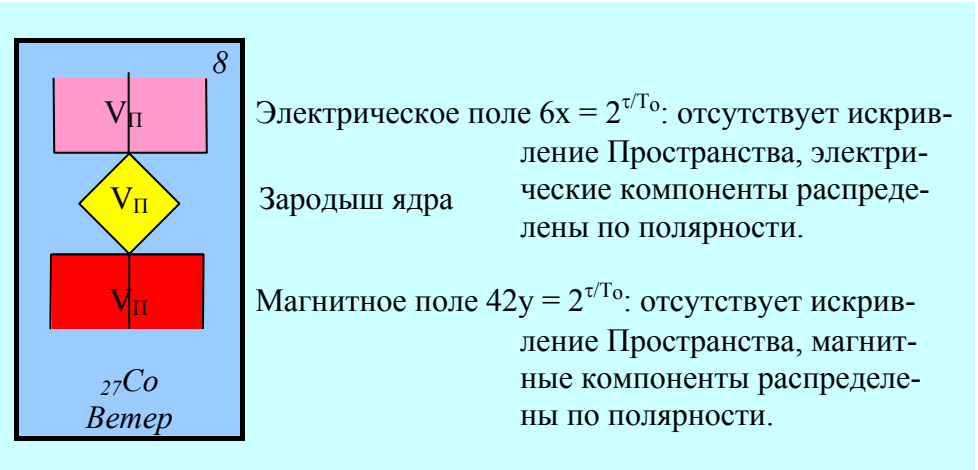


Рис.3.15 Элемент Русских Рун: кобальт -  $_{27}\text{Co}$ , разрушение

Распределение магнитных и электрических компонент по полярностям создаёт замкнутый цикл электромагнитных колебаний вокруг гравитационного Зародыша:

$$\begin{aligned}
 \sqrt{qq^*}^2 = 16^2 &\Leftrightarrow (-\sqrt{\mu\mu^*})^2 = 14^2 & \frac{16^2}{14^2} \Leftrightarrow \frac{14^2}{16^2} \Leftrightarrow \frac{16^2}{14^2} \Leftrightarrow \frac{14^2}{16^2} \\
 \Updownarrow & \quad {}_{27}\text{Co}+1 \quad \Updownarrow & \text{или} \quad \frac{16}{14} \Leftrightarrow \frac{14}{16} \Leftrightarrow \frac{16}{14} \Leftrightarrow \frac{14}{16} \\
 14^{2=}\sqrt{\mu\mu^*}^2 &\Leftrightarrow 16^2 = (-\sqrt{qq^*})^2 & \frac{8}{7} \Leftrightarrow \frac{7}{8} \Leftrightarrow \frac{8}{7} \Leftrightarrow \frac{7}{8} \\
 \text{и } 8^4 \Leftrightarrow 7^4 \rightarrow 4^4 \Leftrightarrow (7/2)^4 \Leftrightarrow \sqrt{2}^{16} &\equiv (\text{Sc } \pi/4 = \text{Csc } \pi/4)^{\Gamma_0}.
 \end{aligned} \tag{3.117}$$

В этом поле (3.117) гармонические колебания с потенциалом  $\sqrt{2}^{16}$  нейтрализуют (разрушают) колебания - эквивалент  $T_0^{-2} \equiv \sqrt{2}^{-8} \equiv \left( \sin \frac{\pi}{4} = \cos \frac{\pi}{4} \right)^{-4}$ :

$$\sqrt{2}^{16} \cdot \sqrt{2}^{-8} = \sqrt{2}^8 = 16. \quad (3.118)$$

Отношение 28 электронов поля гравитации (3.117) к остатку поля **разрушения** ( $\sqrt{2}^8 = 16 \equiv T_0^2$  3.118) приводит к "пальме":

$$\frac{28}{T_0^2} \equiv \frac{28}{16} = \frac{7}{4} \equiv \text{пальма}, \quad (3.119)$$

как **Единица Счисления общей и для полей Материи, и для полей Тонких Энергий.**

**9) Девятым элементом в периодической системе Русских Рун (рис.3.5) является элемент под названием *железо*  $_{27}\text{Fe}$ , *победа* (рис.3.16).**

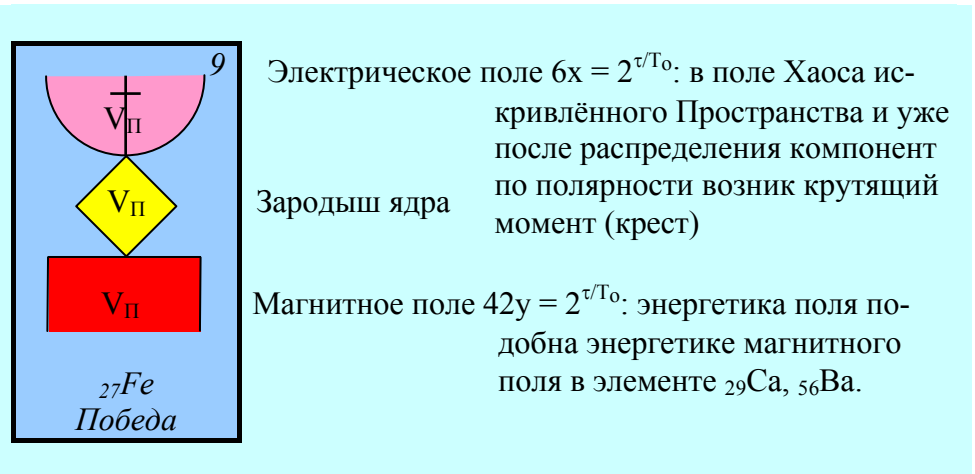


Рис.3.14 Элемент Русских Рун: железо -  $_{27}\text{Fe}$ , победа

В периодической системе Русских Рун магнитные поля кальция ( $_{39}\text{Ca}$ ), бария ( $_{56}\text{Ba}$ ) и железа ( $_{27}\text{Fe}$ ) имеют одну и ту же структуру  $\square$  (рис.3.5).

В этих структурах магнитные поля делятся пополам:

$$\sqrt{\mu\mu^*} = 14 \equiv (\sqrt{\mu\mu^*} \int_0^1 \varphi d\varphi = 7) - (\sqrt{\mu\mu^*} \int_1^0 \varphi d\varphi = -7). \quad (3.120)$$

В полях Материи на уровне кальция, бария и железа появился бы контур колебаний:

$$39\text{Ca} + 56\text{Ba} \Leftrightarrow 27\text{Fe}, \quad (3.121)$$

но в случае Тонких Энергий, ещё не затрагивающих атомы, контур колебаний имел бы вид:

$$39 + 56 \Leftrightarrow 27. \quad (3.122)$$

**Резонансное равновесие в этом магнитном поле (3.122) формирует расширяющуюся ветвь Кундалини в бесконечной периодичности пятеричной связи.**

$$(39 + 56) : 27 = 3,5(5) \Leftrightarrow 1. \quad (3.123)$$

Антирезонансное равновесие в магнитном поле (3.122) влечёт за собой появление потенциал-эквивалента эффективности взаимодействия света:

$$(56 - 39) - 27 = -10 \equiv -\rho_5 \Leftrightarrow 0. \quad (3.124)$$

\*  
\*\*

Электрические поля золота ( $_{79}\text{Au}$ ), магния ( $_{12}\text{Mg}$ ), бария ( $_{56}\text{Ba}$ ) имеют символ  $\cup$ , который описывает искривлённое Пространство с распределёнными по полярностям электрическими квантами:

$$\begin{aligned} (1/E_\lambda) \cdot [\sqrt{qq^*} = 16 \equiv (\sqrt{qq^*} \int_0^1 \varphi d\varphi = 8) - \\ (\sqrt{qq^*} \int_1^0 \varphi d\varphi = -8)]\pi. \end{aligned} \quad (3.125)$$

Появление железа ( $_{27}\text{Fe}$ ) с символом  $\cup$ , говорит о том, что в электрическом поле (3.125) возник крутящий момент как следствие появления частицы света:

$$\left( \frac{1}{m_c + E_\lambda} = \frac{\pi}{2} \equiv \omega_0 \right) \cdot (16 \equiv 8 - (-8)) \Leftrightarrow 8\pi \equiv 4\pi - (-4\pi). \quad (3.126)$$

\*\*

Электрическое поле в атомах составило бы ряд:

$$_{79}\text{Au} \Leftrightarrow _{12}\text{Mg} \Leftrightarrow _{56}\text{Ba} \Leftrightarrow _{27}\text{Fe}, \quad (3.127)$$

но в полях Тонких Энергий возникнет контур колебаний резонансный:

$$(79+12+56) : 27 = 5,(4) \Leftrightarrow 1, \quad (3.128)$$

и антирезонансный электрический:

$$(79-12-56) - 27 = 11 - 27 = -16 \equiv -\sqrt{qq^*} \Leftrightarrow 0. \quad (3.129)$$

На уровне 27,  $27+1 = 28$  появляется Свечение Тонкой Энергии:

$$2 \int_{27}^{28} \varphi \, d\varphi = 55 \equiv \dots . \quad (3.130)$$

10) Десятый элемент в периодической системе Русских Рун связан с *технецием* ( $_{48}Tc$ ) и носит название *восстановитель* (рис.3.17).

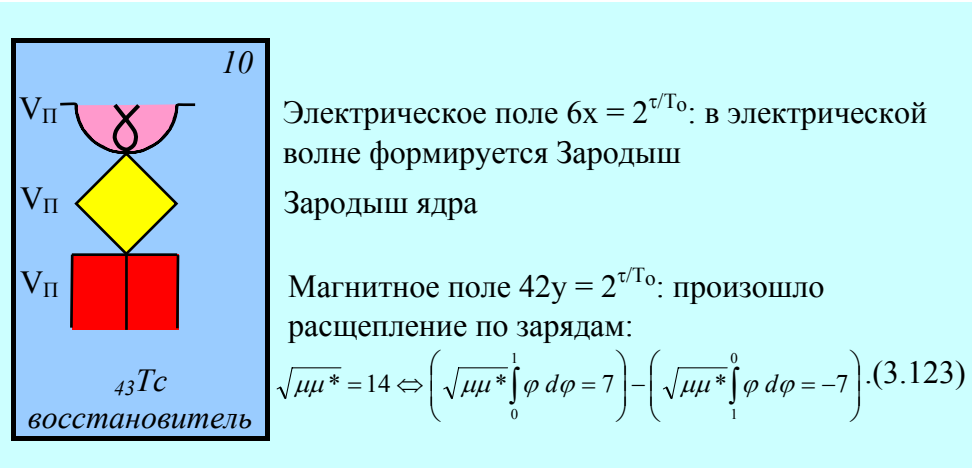


Рис.3.14 Элемент Русских Рун: технеций - $_{43}Tc$ , восстановитель

В электрическом поле технеция символ волны имеет вид  $\smile$ , который присущ бегущим волнам ( $\smile$  есть "хвостик"), в то время как импульсы (mc) описываются отрезком прямой.

Электрическое поле технеция формируют две встречные волны, например  $\omega_0 \text{Sc } \pi/4 \equiv -\omega_0 \text{Csc } \pi/4 = \sqrt{2} \omega_0$  (рис.3.18), которые пульсируют в резонансно-антирезонансном режиме:

Режим	Процесс
Антирезонанс (поле $\times$ )	$k_1 = \omega_0 \sqrt{2} - (-\omega_0 \sqrt{2}) = \pm 2 \sqrt{2} \omega_0$ $q\omega_0$
Резонанс	$k_2 = -2\omega_0^2 = -\pi^2/2 = -\omega_0 c$
Приведённый	$k_3 = \frac{k_2}{k_1} = \frac{\pi^3}{2} \cdot \frac{1}{2\sqrt{2} \cdot \pi/2} = \frac{\pi^2}{\sqrt{2}}$

(3.124)

В случае технеция (рис.3.17, рис.3.18) символ  $\gamma$  описывает пульсирующее поле  $k_3 = \pi^2 2^{-1/2} \equiv c^2 \sin \pi/4 = c^2 \cos \pi/4$ .

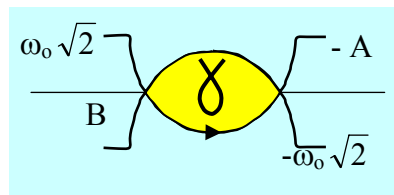


Рис.3.18 Пульсирующая электрическая волна (рис.3.17)

Попадание в это пульсирующее в приведённом режиме электрическое поле Тонкой Энергии кванта света приводит к появлению потенциал - эквивалента двум сторонам основания великой Пирамиды (3.124).

$(m_c + E_\lambda)^2 k_3 = (2/\pi)^2 \cdot \pi^2 \sqrt{2} = 4\sqrt{2} \equiv 2(a = 2\sqrt{2})$ , (3.125)  
где  $2a$  - полупериметр основания великой Пирамиды (3.124).

Периметр основания Пирамиды восстанавливается за счёт изомерии (3.125):

$$2a - (-2a) = 4a = 8\sqrt{2}. \quad (3.126)$$

После (3.126) начинается сгущение Небесных Тел Тонких Энергий. Система восстанавливается, то есть вокруг Зародыша ядра начинают вращаться электроны - позитроны, полученные из импульсов электричества, в том числе из Воображения:

Восстановление Рупы электрон-позитронной пары из Арупы воображения			(3.127)
Заряды позитронов (Рупа)	Тонкая Энергия Воображения (Арупа)	Заряды электронов (Рупа)	
$+14 \cdot 10^{-20} \equiv +q$	$\pm q^* \equiv 14 \cdot 10^{-20}$	$-14 \cdot 10^{-20} \equiv -q$	



\*\*

Магнитное поле элемента Тонких Энергий, эквивалентного в поле Материи технецию (3.123, рис.3.17) имеет аналогичную структуру  $\square\square$  в поле кобальта (рис.3.5).

Восстановление внутреннего поля света в магнитном поле			(3.128)
Поля	Материи	Тонкой Энергии (внутреннее поле света)	
Пульсация	$_{43}\text{Tc} \Leftrightarrow _{28}\text{Co}$	$43 \Leftrightarrow 28; 0 \Leftrightarrow 43-28 = 15 \equiv 1+2+3+4+5.$	

**11) Одиннадцатый элемент Русских Рун связан с алюминием ( $_{13}\text{Al}$ ) и носит название *сытость* (рис.3.19).**

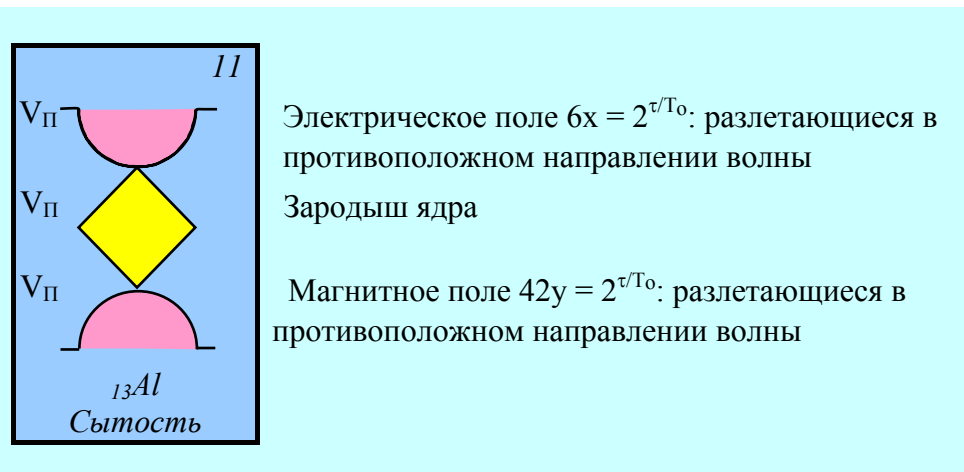


Рис.3.19 Элемент Русских Рун: алюминий - $_{13}\text{Al}$ , сытость

Термином **сытость** характеризуется насыщенность потенциальной ямы, когда её объём и граница становятся равными друг другу, как круг и окружность с радиусами, равными двум.

При таком излучении потенциальная яма становится излучателем.

Примером такой конфигурации поля является круг-окружность, в которое вписано основание великой Пирамиды или любой электромагнитный излучатель:

Потенциальная яма как излучатель		
Основание великой Пирамиды, вписанное в		Электромагнитный излучатель
Круг с $R = 2$	Окружность с $R = 2$	$\frac{\sqrt{qq^*} + \sqrt{\mu\mu^*} = 30}{\sqrt{qq^*} - \sqrt{\mu\mu^*} = 2} \Leftrightarrow \frac{2}{30} \quad (3.129)$
$S = \pi R^2 = 4\pi$	$L = 2\pi R = 4\pi$	
Потенциальная яма	Граница ямы	$900 \Leftrightarrow 4; 15^2 \Leftrightarrow 1.$

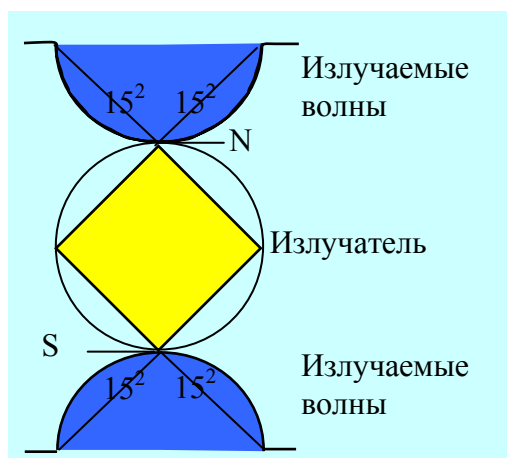


Рис.3.20 Биполярный излучатель, аналог элемента №11 Русских Рун

В поле (3.19) возникает дипольная система, подобная Земле, которая из своих северного и южного полюсов излучает электромагнитные волны с потенциалом  $15^2$  каждая (рис.3.20).

На северном и южном полюсах возникает резонансно-антирезонансная изомерия:

Цис-транс изомерия потенциальных ям	
Север N	Юг S
$K_N = \frac{15^2 \cdot 15^2}{15^2 + 15^2} =$ $15^2 \left( \frac{1}{2} \equiv \int_0^1 \varphi d\varphi \right)$	$K_S = -K_N =$ $15^2 \left( -\frac{1}{2} \right) = \int_1^0 \varphi d\varphi.$

(3.130)

Периодичность электромагнитных излучений в Материи атомов будет связана с  ${}_{13}\text{Al}$ .

В полях Тонких Энергий периодичность будет связана с потенциалом  $13^2$ :


$$13^2 = (12 \equiv T_0\tau)^2 + (5^2 \equiv T_0^2 + \tau^2). \quad (3.131)$$

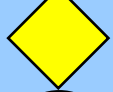
Знание потенциала излучения ( $15^2 + 15^2 = 2 \cdot 15^2$ ) на каждом полюсе и периодичности излучения даёт возможность определить электромагнитные потенциалы в Арупе-Рупе и отдельно в Рупе и Арупе:


Характеристика полярных электромагнитных излучений			
Полюса	Север N	Юг S	Свет
Арупа-Рупа	$2 \cdot 15^2 (T_0\tau)^2 = 64800$	-64800	65800
Рупа	$2 \cdot 15^2 T_0^2 = 7200$	-7200	7200 – 4050
Арупа	$2 \cdot 15^2 \tau^2 = 4050$	-4050	= $\pm 12 \cdot 36$
Постоянная Вселенной	$\text{Const} = 12 \cdot 36 - (-12 \cdot 36) + 12^2 = 1008.$		

**12) Двенадцатый элемент периодической системы Русских Рун носит название *оболочка* (рис.3.21).**

12

$V_{\Pi}$ 


$V_{\Pi}$ 


$V_{\Pi}$ 




*Оболочка*

Электрическое поле  $6x = 2^{\tau/T_0}$ : потенциал поля  $7^2$  - транс-изомерия

Зародыш ядра

Магнитное поле  $42y = 2^{\tau/T_0}$ : потенциал поля  $7^2$  - транс-изомерия

Рис.3.21 Элемент Русских Рун: оболочка

Электрическое и магнитные поля в эюре *оболочка* имеют вектор  и  (рис.3.21), описывающие искривлённое Пространство Хаоса.

Электрическое поле формируется в условиях расширения и имеет внутреннее поле подобное внутреннему полю света (3.133).

Магнитное поле с потенциалом 49 формируется из магнитных зарядов-импульсов (табл.3.9).

Таблица 3.9

**Формирование электрической  
и магнитной оболочек (рис.3.21)**

Оболочки	Электрическая	Магнитная
Формирование оболочки	$\frac{\left(T_0 \frac{c}{\omega_0} = 8\right)^2 + \left(\sqrt{qq^*} + \sqrt{\mu\mu^*}\right)\frac{1}{2}}{E_\lambda = 1/\pi}$ $\left[64 - \left(\sqrt{16^2} + \sqrt{14^2}\right)\frac{1}{2}\right] \cdot \pi \equiv$ $(64 - 15 = 49) \cdot \pi$	$\frac{1}{m_c} (\mu\mu^* = 14^2) \cdot$ $\int_0^1 \varphi d\varphi \cdot \int_1^0 \varphi d\varphi =$ $\left(\frac{14^2}{4} = 7^2 = 49\right) \pi$

Электрическая оболочка формирует внешний слой поверхности; магнитная - внутренний.

Вывернуть эти слои наизнанку и создать магнитную ловушку для электрического поля не удастся, ибо гравитационный импульс из метagalактики (**Корень**) делится только на два магнитных заряда и не делится на электрические. И в то же время поток Тонкой Энергии из Метagalактики нам не остановить. Поэтому не надейтесь на термоядерный реактор.

### Третий период Русских Рун

13) Третий период Русских Рун (рис.3.5) начинается с элемента, связанного в поле Материи с *серебром* ( $_{47}\text{Ag}$ ), а применительно к Тонким Энергиям названного *помощью* (рис.3.22).

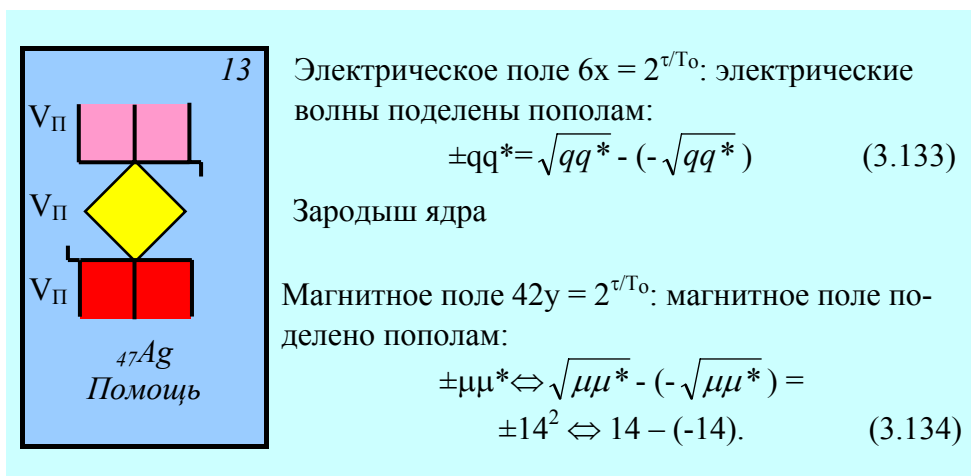


Рис.3.22 Элемент Русских Рун: серебро ( $_{47}\text{Ag}$ ), помощь

Символы полей Ш и Щ элемента *кобальт* ( $_{27}\text{Co}$ ), *разрушение* (рис.3.15) и элемента *серебро* ( $_{47}\text{Ag}$ ) *помощь* (рис.3.22) отличаются как буквы Ш и Щ, только "хвостиком", который говорит о принадлежности к волновому полю с угловой скоростью  $\omega_0 = \pi/2$ .

Разрушение ( $_{27}\text{Co}$ ) и Помощь ( $_{47}\text{Ag}$ ) в поле Материи атомов разделяет разность  $_{47}\text{Ag} - _{27}\text{Co}$ , а в поле Тонких Энергий (нашем Ангеле-Хранителе) разность-эквивалент:

$$47 - 27 = 20 \equiv \frac{\overset{o}{\Delta K} = 1400 \overset{o}{A}}{\overset{o}{\Delta \mathcal{K}} = 70 \overset{o}{A}} \equiv \rho_5 \cdot \lg \rho_1 \rho_2 \rho_3 \rho_4 \rho_5. \quad (3.135)$$

После такой помощи взаимодействиями электрическое поле (3.133) преобразует потенциал  $4\pi$ , а поле (3.134) - Кундалини (табл.3.10).

**Электрические и магнитные поля  
в поле *помощи* (рис.3.22)**

Поля	Электрическое (3.133)	Магнитное (3.134)
Потенциалы	$\frac{qq^*}{\sqrt{qq^*} - (-\sqrt{qq^*})} \cdot \omega_0 =$ $\frac{16^2}{2 \cdot 16} \cdot \frac{\pi}{2} = 4\pi$	$\frac{\mu\mu^*}{\sqrt{\mu\mu^*} - (-\sqrt{\mu\mu^*})} \cdot \omega_0 =$ $\frac{14^2}{2 \cdot 14} \cdot \frac{\pi}{2} = \frac{7}{2}\pi$
Примечание	Круг и окружность с радиусом R=2, в которое вписано основание великой Пирамиды	Кундалини в волне света: $\frac{7}{2} \cdot \frac{1}{E_\lambda} \equiv \frac{7}{2}c$ , или импульс Кундалини.

**14) Четырнадцатый элемент Русских Рун (рис.3.5) связан с таллием ( $_{81}Tl$ ) и носит название *мощность* (рис.3.23).**

14

Электрическое поле  $6x = 2^{\tau/T_0}$ , во внутреннем поле которого есть крутящий момент и Зародыш

Зародыш ядра

Магнитное поле  $42y = 2^{\tau/T_0}$ , где магнитные компоненты распределены по полярности:

$$\mu\mu^* \Leftrightarrow \sqrt{\mu\mu^*} - (-\sqrt{\mu\mu^*}). \quad (3.123)$$

Рис.3.23 Элемент Русских Рун: таллий - $_{81}Tl$ , *мощность*

Это поле (3.23), потенциалы которого в Материи формируют атом *таллия* с 81-электроном, а в поле Тонких Энергий создают вихрь:

$$81 = (9+0)^2 \equiv 3^4 \equiv \tau^{T_0} \equiv \text{Арупа}^{\text{Руна}}, \quad (3.137)$$

достигающий максимальной мощности Арупы по отношению к Рупе.

\*  
\*\*

Электрическое поле в этих условиях (3.137) хаотично:

$$0 \Leftrightarrow qq^* = 16^2, \quad (3.138)$$

но в его внутреннем поле возникает крутящий момент с угловой скоростью  $\omega_0 = \pi/2$ :

$$[\sqrt{qq^*} - (-\sqrt{qq^*})] \cdot \omega_0 = 2 \cdot 16 \cdot \pi/2 = 16\pi. \quad (3.139)$$

О крутящем моменте говорит символ креста (+). Однако в этом поле над Крестом есть символ Зародыша (⊕).

Это значит, что волна или частица света, попадая в поле (3.139) формирует центростремительное ускорение:

$$k_1 = \frac{16\pi}{\sqrt{m_e E_\lambda}} = 16\pi^2 \equiv 32 \cdot \pi \cdot \pi/2 \equiv 32c\omega_0 \equiv 32j_0, \quad (3.140)$$

где  $j_0 = c\omega_0 = c^2/R=2$  - центростремительное ускорение, а 32 - потенциал Небес-Цинь.

**Так (3.140) зарождается Жизнь до и после Жизни, так зарождается Жизнь белковых тел.**

\*  
\*\*

Резонансное магнитное поле в элементе *Мощность* (рис.3.23) имеет потенциал (3.136):

$$k_2 = \frac{\mu\mu^*}{\sqrt{\mu\mu^*} - (-\sqrt{\mu\mu^*})} = \frac{16^2}{2 \cdot 16} = 8 \equiv T_0 c / \omega_0. \quad (3.141)$$

Это потенциал рождения Вселенной.

\*\*

Между электрическим (3.140) и магнитным (3.141) полями возникают колебания:

$$\frac{k_1 = 16\pi^2}{k_2 = 8} = 2\pi^2 \Leftrightarrow \frac{1}{2\pi^2} = \frac{k_2 = 8}{k_1 = 16\pi^2}. \quad (3.142)$$

**15) Пятнадцатый элемент Русских Рун (рис.3.5): свинец ( $_{82}Pb$ ) или жертвенность (рис.3.24).**

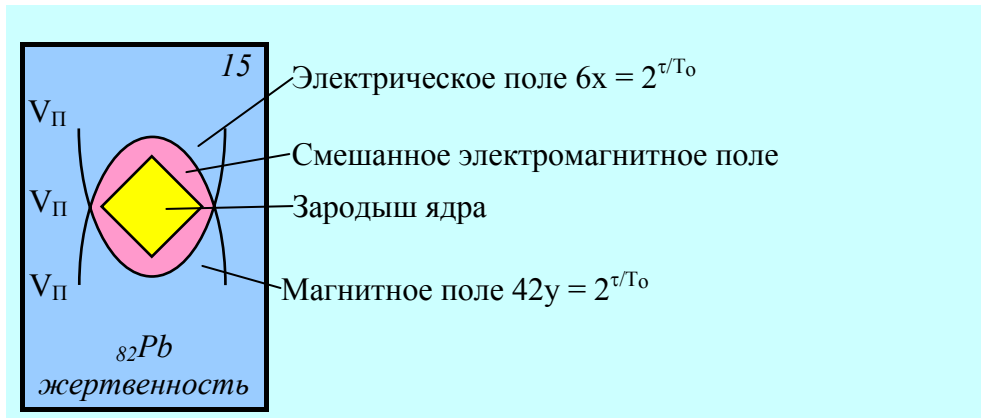


Рис.3.24 Элемент Русских Рун: свинец - $_{82}Pb$ , жертвенность

В этом поле (рис.3.24) смешанный электромагнитный слой возникает за счёт потенциала сжатия ( $T_0\omega_0/c=2$ ).

Максимальное сжатие ведёт за собой появление короткодействующих ядерных взаимодействий с эффективностью взаимодействий  $\rho_4 = 10^{14}$ .

В резонансном поле света (3.142) наступает равновесие сжатой ядерной области:

$$1 \Leftrightarrow \frac{T_0}{\rho_4} \cdot 4\pi^4 = 16\pi^4 \cdot 10^{-7}. \quad (3.143)$$

Далее свет жертвует собой, формируя из себя электромагнитную среду с постоянными  $\epsilon_0$  и  $\mu_0$ :



$$1 \Leftrightarrow \frac{16\pi^4}{10^{14}} \Leftrightarrow \left( \frac{10^7}{4\pi(c^2 = \pi^2)} \equiv \varepsilon_0 \right) \cdot (4\pi \cdot 10^7 = \mu_0), \quad (3.144)$$

где  $\varepsilon_0 = 10^7/4\pi c^2 \frac{\text{фарада}}{\text{метр}}$ , а  $\mu_0 = 4\pi \cdot 10^{-7} \frac{\text{генри}}{\text{метр}}$  [9].

\*\*

Для того, чтобы создать электромагнитную среду с постоянными  $\varepsilon_0$  и  $\mu_0$  (3.144) в поле Материи надо было перешагнуть от  $_{83}Bi$  к соседнему  $_{82}Pb$ , но в полях Тонких Энергий путь лежал от первого элемента Русских Рун (путь), до пятнадцатого (**жертвенность**).

В полях Тонких Энергий разность и сумма потенциалов возмущала окружающую среду:

Свечение генератора Тонких Энергий: от висмута до свинца		
Разность квадратов	Свечение	Электромагнетизм
$2 \int_{83-82}^{83+82} \varphi d\varphi = 2 \int_1^{165} \varphi d\varphi =$	27000	$+(224=14 \cdot 16 = \sqrt{\mu\mu^* q q^*})$ .

Поразительный врачующие свойства Свечения от генератора Тонкой Энергии я описал ранее.

### 16) Шестнадцатый элемент Русских Рун (рис.3.5) ртуть ( $_{80}Hg$ ), трансформация (рис.3.25).

$3V_{\Pi} = V_{\Pi}^3 \quad 16$ 

Ж

Р
Д

У

$_{80}Hg$

*трансформация*

Трансформация, резонансно-антирезонансная пульсация трёх объёмов Пирамиды:

$$\frac{\text{резонанс}}{\text{антирезонанс}} \equiv \frac{V_{\Pi}^3}{3V_{\Pi}} \equiv \frac{1}{3} V_{\Pi}^2 \equiv \frac{8^2}{27} 8\sqrt{2} \equiv \left(\frac{8}{3}\right)^3 \sqrt{2} \quad (3.146),$$

приводящая к появлению в поле Тонких Энергий ( $\sqrt{2}$ ) Куба с рёбрами, равными  $8/3$ .

Рис.3.25 Элемент Русских Рун: ртуть - $_{80}Hg$ , *трасформация*

Поскольку информация о Русских Рунах давалась Русскому Человеку Евгению Аверьянову, то вместо букв подставим их порядковый номер в русском алфавите:

$$Д = 5; \quad Ж = 7; \quad Р = 16 \quad \text{и} \quad У = 19. \quad (3.147)$$

Далее отметим, что излучения Ж и У относятся к излучениям с граней куба, а излучения Д и Р характеризуют излучение из углов куба (рис.3.25), а затем рассчитаем квадраты разностей потенциалов возмущенной среды:

$$2 \int_{Ж=7}^{У=19} \varphi d\varphi - 2 \int_{Д=5}^{Р=16} \varphi d\varphi = 312 - 231 = 81 \equiv (9+0)^2. \quad (3.148)$$

Трансформация в поле шестнадцатого элемента Русских Рун направлена на формирование материнской субструктуры  $(9+0)^2$  живой биологической клетки.

Живорождённая субструктура  $(9+0)^2$  и окружающая среда должны обмениваться своими энергиями без расхода на сопротивление перехода субструктура  $\Leftrightarrow$  среда.

Идеальной средой для рождения живого является вола с молекулярным весом  $M_{H_2O} = 18$ :

Зарождение Жизни в воде	
Субструктура	Вода
$(9+0)^2 = 18 \quad \Leftrightarrow \quad 18 = M_{H_2O}$	

(3.149)

\*  
\*\*

В кубе 6 граней и восемь углов. Поэтому составим разность (3.148) с учётом числа углов и граней:

$$(6 \text{ граней}) \cdot 312 - (8 \text{ углов}) \cdot 231 \equiv 1872 - 1848 = 24. \quad (3.150)$$

В поле Вселенной появляется эфир с потенциалом 24, о котором в "Откровениях" сказано: **"Трон Христа на Небе окружен 24 пресвятыми Престолами"**.

Совместно с потенциал-эквивалентом 80-ти электронов ртути в поле Тонких Энергий формируется триединство Вселенной:

Формирование Триединства Вселенной		
Компоненты	Святой Дух $\equiv 24$	Расширение $\equiv 80$
Потенциалы	$\frac{80^2 - 24^2}{80 \cdot 24} = 3,0(3) \equiv$ $(m_c c + \epsilon_0 \cdot \mu_0 \cdot c^2 + E_\lambda c = 3), 0(\tau = 3).$	

(3.92)

**17) Семнадцатый элемент Русских Рун (рис.3.5) связан с оловом ( $_{50}Sn$ ) и назван *движение* (рис.3.26).**

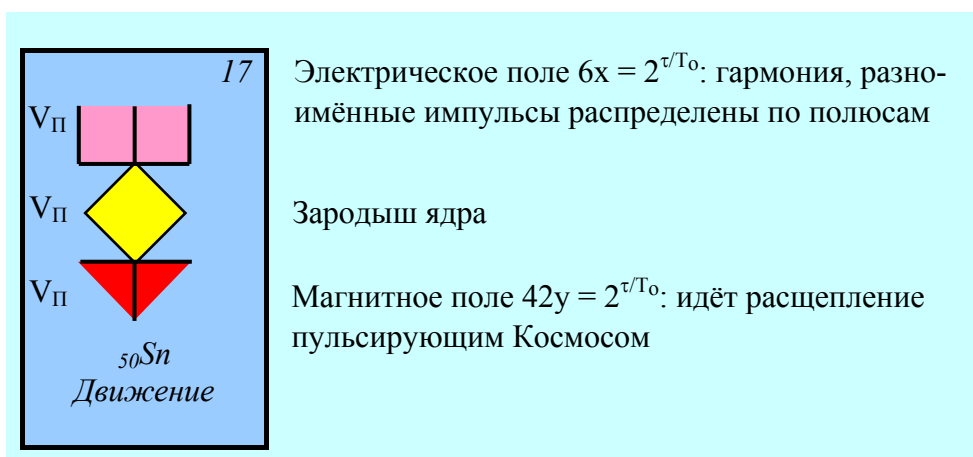


Рис.3.26 Элемент Русских Рун: олово ( $_{50}Sn$ ), *движение*

Движение в поле элемента  $_{50}Sn$  (рис.3.26) реализуется за счёт разности потенциалов между магнитным и электрическим полями:

Форма движения в поле - эквивалент олову (рис.3.26)		
Поля, символ	Электрическое, Ш	Магнитное, Т
Контур колебания	$k_1 = \frac{qq^*}{\sqrt{qq^* - (-\sqrt{qq^*})}} = \frac{16^2}{2 \cdot 16} = 8$	$k_2 = \mu\mu^* \left( \int_0^1 \varphi d\varphi + \int_0^1 \varphi d\varphi \right) = 14^2$
Резонанс ÷ Антирезонанс	$1 \Leftrightarrow 14^2/8$ Резонанс	$0 \Leftrightarrow 14^2 - 8$ Антирезонанс.

В поле электромагнитных колебаний возникает общий антирезонансный колебательный контур:

$$14^2 \Leftrightarrow 0 \equiv 14^2/2 - 14^2/2 \equiv 0 \Leftrightarrow 14^2 - 8. \quad (3.152)$$

Это контур расширяющейся Вселенной, которая в свою очередь пульсирует в резонансно-антирезонансном режиме:

Резонансно-антирезонансная пульсация расширяющейся Вселенной (3.152)		
Объект пульсации	Пульсация Небес-Цинь	Пульсация сгустка Тянь (Рупа: Т <sub>о</sub> )
Пульсация Арупа ⇔ Рупа	$\pm 32 \mp 32 \Leftrightarrow 0$ Арупа τ ⇔	$\Leftrightarrow \frac{8(-8)}{8 - (-8)} \equiv -4 \equiv \sqrt{5^2 - 3^2}$ Т <sub>о</sub> = -4 Рупа
Пульсация Арупа ÷ трёхмерное пространство	Арупа Цинь $\pm 32^\tau \mp 32^{\tau=3} \Leftrightarrow 0$	Рупа Тянь $-4^{x+y+z=3} = 64.$
Размножение Цинь пульсацией Тянь	Олово $_{50}\text{Sn}$ имеет пятьдесят электронов эквивалент частоте пульсации Цинь (Бог Айн СОФ [3]): $64 \cdot 50 = 3200 \equiv 100$ Цинь.	

Арупа и Рупа взаимосвязаны: пульсация сгустка Рупы с частотой, равной 50, увеличивает потенциал Цинь над сгустком в 100 раз (3.153).

Пульсация Небес-Цинь с частотой, равной 50, влечёт за собой появление электрического поля:

$$32 \cdot 50 = 1600 = \rho_5 \cdot \sqrt{qq^*}. \quad (3.154)$$

**В Небесах-Цинь появляются заряды, начинается Эволюция перехода одной формы энергии в другую с участием зарядов, то есть Движения.**

**18) Восемнадцатый элемент Русских Рун (рис.3.5) носит название *вода* (рис.3.27).**

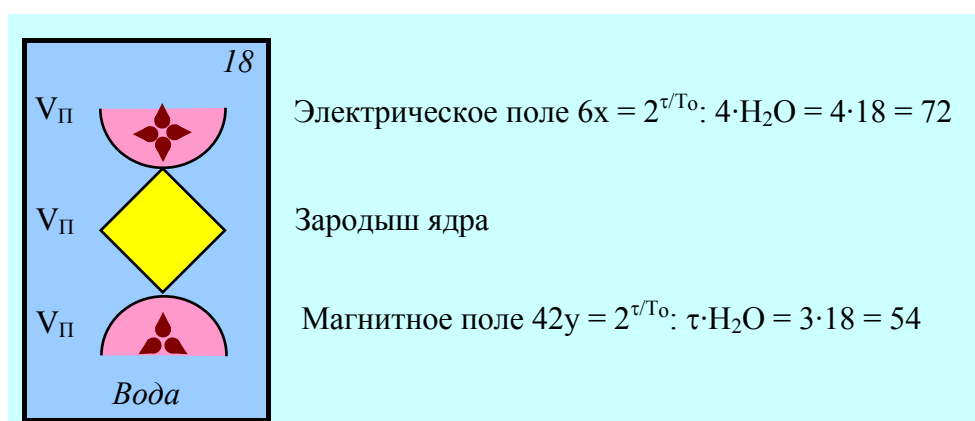




Рис.3.27 Элемент Русских Рун: *вода*

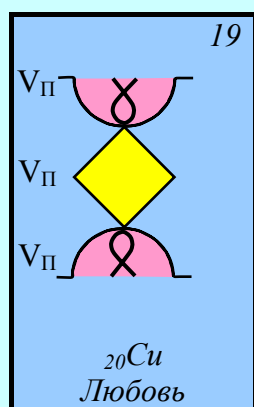
Энергетические плотности в электрических полях и магнитных полях различны. Символ  в электрическом и символ  в магнитном поле показывает, что в электрическом поле потенциал-эквивалент равен четырём молекулам воды, а в магнитном - трём (табл.3.11).

**108 зарождений Жизни в воде,  
как основа 108 реинкарнаций по Буддизму (рис.3.22)**

Поля	Электрическое	Магнитное
Эквивалентность по воде	$\begin{array}{c} \text{H}_2\text{O} \\ \text{H}_2\text{O} \longleftrightarrow \text{H}_2\text{O} \\ \text{H}_2\text{O} \end{array}$	$\begin{array}{c} \text{H}_2\text{O} \\ \swarrow \quad \searrow \\ \text{H}_2\text{O} \longleftrightarrow \text{H}_2\text{O} \end{array}$
Резонансно-антирезонансная пульсация (молекулярный вес воды)	$\frac{18^4}{18+18+18+18}$	$\frac{18^3}{18+18+18}$ <p align="center"> <math>\xleftrightarrow[\text{резонанс}]{\text{антирезонанс}}</math> </p>
Генератор Тонкой Энергии	$\int_{27-2}^{27+2} \varphi d\varphi = \int_{25}^{29} \varphi d\varphi = 108,$ <p align="center">где 108 раз зарождение Жизни в воде.</p>	

**Четвёртый период Русских Рун**

**19) Девятнадцатый элемент в периодической системе Русских Рун (рис.3.7) связан с медью (купрум  $_{20}\text{Cu}$ ) и носит название *любовь* (рис.3.28).**



Электрическое поле  $6x = 2^{\tau/\Gamma_0}$ : волновой Хаос сжатия; в любви мужское начало подобное сперматозоиду носителя зародыша  $\delta$

Зародыш ядра

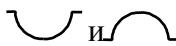



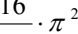

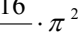

Магнитное поле  $42y = 2^{\tau/\Gamma_0}$ : волновой Хаос расширения; в любви женское начало подобное яйцеклетке носителю зародыша  $\delta$

*Рис.3.28 Элемент Русских Рун: медь -  $_{20}\text{Cu}$ , любовь*

**Любовь - это божественная Кундалини расширения, несущая Жизнь всему Сущему и имеющая 3,5 оборота спирали расширения. Рассчитаем потенциал любви (рис.3.28, табл.3.12).**

Таблица 3.12

**Расширение Кундалини потенциал Любви**

Хаос		Электро-волновой	Магнито-волновой
Волны 		$(m_c + E_\lambda) \cdot \frac{qq^*}{\sqrt{qq^*} - (-\sqrt{qq^*})}$ $= \frac{16^2}{2 \cdot 16} \cdot \frac{2}{\pi} = \frac{16}{\pi} \equiv$ 	$(m_c + E_\lambda) \cdot \frac{\mu\mu^*}{\sqrt{\mu\mu^*} - (-\sqrt{\mu\mu^*})}$ $= \frac{14^2}{2 \cdot 14} \cdot \frac{2}{\pi} = \frac{14}{\pi} \equiv$ 
Зародыши: 		Мужское Начало: сжатие ( $T_0 \cdot \omega_0 / c = 2$ ) $\frac{T_0 \omega_0 / c}{m_c E_\lambda} \cdot$  $= \frac{2 \cdot 16}{\pi} \cdot \pi^2 \equiv$ $32 \cdot \pi =$ 	Женское Начало: расширение ( $T_0 \cdot c / \omega_0 = 8$ ) $\frac{T_0 c / \omega_0}{m_c E_\lambda} \cdot$  $= \frac{8 \cdot 16}{\pi} \cdot \pi^2 \equiv$ $122 \cdot \pi =$ 
Кундалини	Расширение	$1 \Leftrightarrow 3,5$	
	сжатие	$0 \Leftrightarrow 3,5 - 1 = 2,5.$	

Попадая в поле взаимодействий с потенциалом эквивалентным 20-и электронам меди, то есть попадая в поле взаимодействий  $\rho_5 \cdot \lg \rho_1 \rho_2 \rho_3 \rho_4 \rho_5 = 20$ , расширяющаяся ветвь Кундалини достигает величины постоянной Чакр, равной 70, а сжимающаяся ветвь Кундалини пульсирует с частотой 50 эквивалентной пульсации Небес-Цинь:

Пульсация Кундалини Любви во взаимодействиях (табл.3.12)		
Расширение	$3,5 \cdot 20 = 70$	Постоянная Чакр
Сжатие	$2,5 \cdot 20 = 50$	Пульсация Цинь (Небес).

(3.155)

\*\*

Состояние Любви - это состояние Нирваны-Покоя, при котором взаимодействия воспроизводятся как разность (3.155):

$$70 - 50 = \rho_5 \cdot \lg \rho_1 \rho_2 \rho_3 \rho_4 \rho_5, \quad (3.156)$$

внутреннее поле света создаётся как сумма:

$$70 + 50 = 120 = 1 \cdot 2 \cdot 3 \cdot 4 \cdot 5 = 5!, \quad (3.157)$$

а Кундалини расширяется в 1000 раз:

$$(70 \cdot 50 \Leftrightarrow 3500) : 3,5 = 10^3. \quad (3.158)$$

А теперь спрашиваю: **может ли *Любовь* сравниться с сексом, который так заботливо выращивают демократы под сенью моральной распущенности своих членов?**

**20) Двадцатый элемент в периодической системе Русских Рун (рис.3.5) связан с *хромом* ( $_{24}Cr$ ) и носит название *ведение* (рис.3.29).**

20

$_{24}Cr$   
Ведение

Электрическое поле  $6x = 2^{\tau/T_0}$ : Хаос внешнего поля, энергия пятеричной связи во внутреннем

Зародыш ядра

Магнитное поле  $42y = 2^{\tau/T_0}$ : Хаос внешнего поля, энергия пятеричной связи во внутреннем

P.S. Крест - зарождение пятеричной связи:  
лучи  $1+1+1$ +переклади на  $2 = 5$ .

Рис.3.28 Элемент Русских Рун: хром -  $_{24}Cr$ , *ведение*



Этот элемент (рис.3.29) характерен искривлением внешних полей и прямолинейностью импульсов зародышей, но разность между электрическим и магнитным полями остаётся определяющей независимо от формы энергии в пространстве (табл.3.13).

**Святой Христианский Крест (зародыш в Хаосе) есть Свет в конце туннеля Эволюции Ману-Мыслителя через Гравитацию (Это Закон Кармы).**

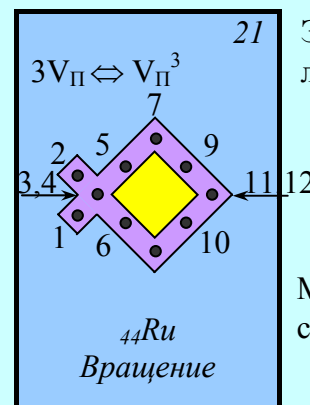
Таблица 3.13

**Белый солнечный Свет Ведения (рис.3.29)**

Поля		Электрическое	Магнитное
Внешнее поле	Равенство символу	$\cup \equiv (m_c + E_\lambda) \cdot \frac{1}{qq^*}$	$\cup \equiv (m_c + E_\lambda) \cdot \frac{1}{\mu\mu^*}$
	Потенциал	$\frac{\sqrt{qq^*} - (-\sqrt{qq^*})}{\frac{2}{\pi} \cdot \frac{16^2}{2 \cdot 16}} = \frac{16}{\pi}$	$\frac{\sqrt{\mu\mu^*} - (-\sqrt{\mu\mu^*})}{\frac{14^2}{2 \cdot 14} \cdot \frac{2}{\pi}} = \frac{14}{\pi}$
Зародыш	Равенство символу	$\vdash \equiv \cup \cdot \frac{5}{E_\lambda} = \frac{16}{\pi} \cdot 5\pi = \frac{80}{80}$	$\vdash \equiv \cup \cdot \frac{5}{m_c} = \frac{14}{\pi} \cdot 5\pi = \frac{70}{70}$
Размножение зарядов-импульсов		$\int_{80-70}^{80+70} \varphi d\varphi = \int_{10}^{150} \varphi d\varphi = 112 \cdot 10^2 \equiv 10^2 \cdot 7 \sqrt{qq^*} \equiv 10^2 \cdot 8 \sqrt{\mu\mu^*} \equiv 10^2 \cdot 4 \sqrt{\rho\rho^*}$	
Свет в конце туннеля		${}_{24}\text{Cr} \equiv (80 - 70) \cdot (80 + 70) = 36000 \equiv \Delta\text{Б} \cdot \rho_5$	

**21) Энергетическим аналогом элемента 21 Русских Рун (рис.3.5) может, например, быть биологическая клетка, окруженная двойной мембранной спиралью (рис.3.30).**

Двадцать первый элемент в периодической системе Русских Рун (рис.3.5) связан с *рутением* ( ${}_{44}\text{Ru}$ ) и назван *вращение* (рис.3.30).



Электрическое поле  $6x = 2^{v/T_0}$ : нечётная полуверть спирали 1, 3, 5, 7, 9 и 11

Пульсирующая плазма Ядра:

$$\frac{V_{\Pi}^3}{3V_{\Pi}} = \frac{1}{3}V_{\Pi}^2 \equiv \frac{64}{9}2^{7/2}$$

Магнитное поле  $42y = 2^{v/T_0}$ : чётная полуверть спирали 2, 4, 6, 8, 10 и 12.

Точки 3, 4 и 11, 12 - электромагнитные.

Рис.3.28 Элемент Русских Рун: рутений -  $_{44}\text{Ru}$ , вращение

Плазма ядра пульсирует в резонансно-антирезонансном режиме (3.159).

В соответствии с законом сохранения энергии количество пульсирующей лазерной плазмы в любой энергетической форме: от цитоплазмы биоклеток до ядерной плазмы ядер сгустков микро-макро масс будет предопределяться тремя объёмами великой Пирамиды.

Приведённый режим пульсации ядерного вещества (3.159) показывает, что количество ядерного вещества достаточно для сохранения энергетической системы Тянь-Цинь в продолжительности  $T_0 = 4$ :

<b>Формирование Тянь (сгусток) - Цинь (Небеса) ядром</b>
$k \equiv \frac{V_{\Pi}^3}{3V_{\Pi}} = \frac{64}{9} (2^{7/2} = 2^3 \cdot 2^{1/2}) = \frac{512}{9} \sqrt{2} \equiv \frac{T_0(64+32-(-32))}{(9+0)} \sqrt{2} \quad (3.160)$

Причём в этом Тянь-Цинь (3.160) зарождается и живая биологическая субструктура (9+0), а в неживом - энергия в пропорции 9 из 10 вытесняется на поверхность энергетического поля.

\*\*

Форма **поверхностной энергии** зависит от фазового состава вещества, но **количество** поверхностной энергии любой формы будет соответствовать 9/10 от  $k$  (3.160):

Количество поверхностной энергии ядерного вещества
$\left(k = \frac{512}{9}\sqrt{2}\right) \cdot \frac{9}{10} = 51,2 \cdot \sqrt{2} \equiv \gamma_s.$

(3.161)

\*\*

Любая форма поверхностной энергии состоит из магнитной и электрической и составляет 30 электромагнитных частей: 14 магнитных и 16 электрических.

Электромагнитная структура поверхности ядер			
Форма поля	Электромагнитная	Магнитная	Электрическая
Потенциалы	$k_1 = \frac{\gamma_s}{\sqrt{qq^*} + \sqrt{\mu\mu^*}}$ $= \frac{54,2\sqrt{2}}{16+14} \equiv$ $1,70(6) \cdot \sqrt{2}$	$\sqrt{\mu\mu^*} \cdot k_1 =$ $14 \cdot \frac{51,2\sqrt{2}}{30} =$ $23,89(3)\sqrt{2}$	$\sqrt{\mu\mu^*} \cdot k_1 =$ $16 \cdot \frac{51,2\sqrt{2}}{30} =$ $27,30(6)\sqrt{2}$
Место на поверхности	По толщине слоя	Внутренний слой	Внешний слой

(3.162)

Наличие на любой поверхности внешнего электрического и внутреннего магнитного слоя в частности приводит к тому, что поверхностью биологической клетки является двойная мембранная молекулярная спираль, энергетика которой показана на рис.3.21.

\*\*

Двойные энергетические слои на поверхности ядерного вещества формируются под влиянием пяти энергетических слоёв внутреннего поля света. Поэтому количество энергетических уровней на поверхности не может превышать числа уровней внутреннего поля света (табл.3.14).

Таблица 3.14

**Совместимость внутреннего поля света с количеством энергетических уровней на поверхности ядра**

		Уровни						Суммы	Примечания
Внутреннее поле света		0	1	2	3	4	5	15	Ядро геномов: $9+6 = 15$
	Электрическая	1	3	5	7	9	11	36	$\pm \int_{30}^{36} \varphi d\varphi =$ $400 - 4.$
	Магнитная	2	4	6	8	10	-	30	

Электрическая компонента формирует излучение белого света  $36 \equiv \rho_2^2 (\Delta B = 3600 \text{ \AA})$ ; электрическая 3 и магнитная 4 на первом уровне ядра света (рис.3.30, 3.162).

Эти точки формируют **электрическую Арупу** ( $\tau = 3$ ) и **магнитную Рупу** ( $T_0 = 4$ ), пульсируя в резонансно-антирезонансном режиме между светом и зарядами-импульсами:

Пульсация между Светом и зарядами-импульсами	
Электрическая Арупа $\Leftrightarrow$ Магнитная Рупа (табл.3.14)	Внутреннее поле Арупы
$\frac{3 \cdot 4}{4+3} \Leftrightarrow \frac{4-3}{3 \cdot 4}; \quad 12 \cdot 3 \Leftrightarrow \frac{7}{4}$ $\Delta B \cdot \rho_2^2 = 36 \Leftrightarrow 7/4 \equiv \rho^*/q^*$	$\frac{2 \cdot 3}{3+2} \Leftrightarrow \frac{3-2}{2 \cdot 3};$ $36 \Leftrightarrow 5 \equiv (3+2) \cdot (3-2).$

(3.162)

В поле электромагнитной поверхности возникает не только пульсация между светом, пятеричной связью и импульсами-зарядами (3.162), но и между соседними точками, например 2, 3, 4 и 11, 12 (рис.3.30):

Магнитное поле и 108 реинкарнаций			(3.163)
Режим	Антирезонанс	Резонанс	
Потенциалы	$(12+11) - (2+3+4) =$ $23 - 9 = 14 \equiv \sqrt{\mu\mu^*}$	$12 \cdot 11 - 2 \cdot 3 \cdot 4 =$ $132 - 24 = 108.$	

Начинается наше **вращение** в 108 оборотов между Жизнями в Арупе и Рупе.

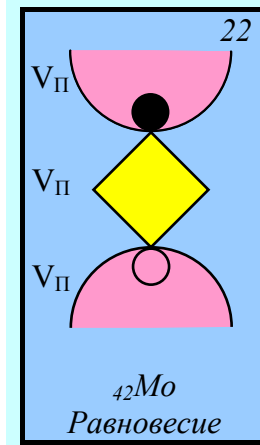
Кундалини за эту же Продолжительность сделает восемнадцать оборотов:

$$\frac{108}{3 - (-3)} \equiv \frac{108}{3,5 + 2,5} \equiv \frac{108}{3,5^2 - 2,5^2} \equiv \frac{108}{6} = 118, \quad (3.164)$$

а в среде - эквиваленте 44 электронам *рутения* контакт с полем электромагнитной поверхности (3.163) приведёт к расширению Вселенной:

$$\frac{44 \cdot (2 \cdot 3 \cdot 4)}{12 \cdot 11} = 8 \equiv T_0 \frac{c}{\omega_0} \equiv \left( \frac{c}{\omega_0} \right)^3. \quad (3.165)$$

**22) Двадцать второй элемент в периодической системе Русских Рун (рис.3.5) связан с молибденом ( $_{42}\text{Mo}$ ) и носит название *равновесие* (рис.3.31).**



Электрическое поле  $6x = 2^{\tau/T_0}$ : искривлённое  
Пространство с зародышем сжатия ( $T_0 \cdot \omega_0 / c = 2$ )

Зародыш ядра

Магнитное поле  $42y = 2^{\tau/T_0}$ : искривлённое  
Пространство с зародышем расширения  
( $T_0 \cdot c / \omega_0 = 8$ )

Рис.3.31 Элемент Русских Рун: молибден -  $_{42}\text{Mo}$ , **равновесие**

\*\*

В поле ядра магнитное поле расширяется, поэтому в нём возникает зародыш расширения; а в поле над поверхностью ядра электрическое поле сжимается и в нём возникает зародыш сжатия (рис.3.31)

Возникают электрическое и магнитное поля (табл.3.15).

Таблица 3.15

**Равновесие между электрическим  
и магнитным полями (рис.3.31)**

Поля	Равновесие полей
Электри- ческое	$\text{☉} \equiv \frac{qq^*}{\sqrt{qq^*} - (-\sqrt{qq^*})} \cdot \frac{T_0 \omega_0 / c}{(m_c + E_\lambda)} \equiv \frac{16^2}{2 \cdot 16} \cdot \frac{\pi}{2} \cdot 2 \equiv 8\pi$
Магнит- ное	$\text{☉} \equiv \frac{\mu\mu^*}{\sqrt{\mu\mu^*} - (-\sqrt{\mu\mu^*})} \cdot \frac{T_0}{(m_c + E_\lambda) \cdot (T_0 + \tau)} \equiv \frac{14^2}{2 \cdot 14} \cdot \frac{16\pi}{2 \cdot 7} = 8\pi$

В поле эквивалентном 42 электронам *молибдена* или 42 Гр56озным Божествам твоего сердца (Книга Мёртвых) возникнет колебательный контур реинкарнации:

Биоток в процессе реинкарнации	
Электромагнетизм	Электричество
$42 \cdot 8\pi \Leftrightarrow \frac{1}{42 \cdot 8\pi}$ $6^2 \cdot 7^2 \cdot 8^2 \Leftrightarrow 1/\pi 2 \equiv m_c E_\lambda$	$\frac{6 \cdot 7 \cdot 8}{6 + 7 + 8 = 21} \Leftrightarrow \frac{21 = 6 + 7 + 8}{6 \cdot 7 \cdot 8} \quad (3.166)$ $16 = \sqrt{qq^*} \Leftrightarrow \frac{1}{16 = \sqrt{qq^*}}$

**23) Двадцать третий элемент в периодической системе Русских Рун (рис.3.5) связан с цинком ( $_{30}\text{Zn}$ ) и носит название дезинформация (рис.3.32).**

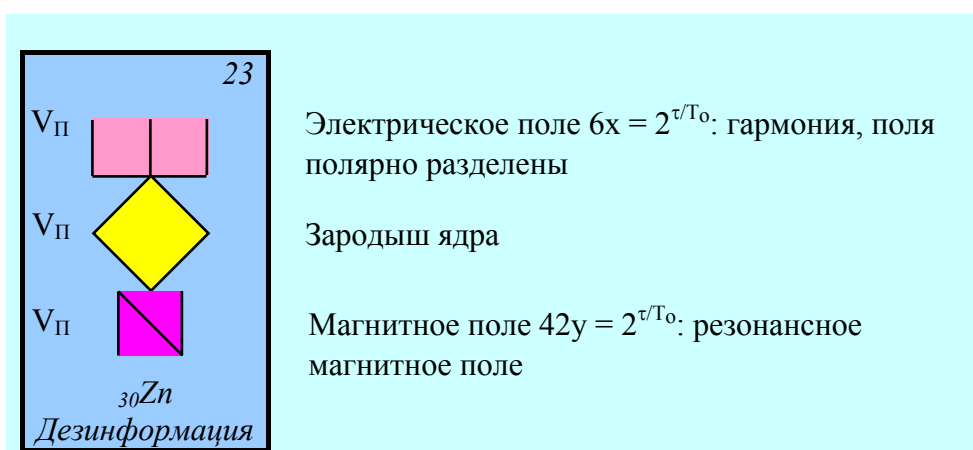


Рис.3.32 Элемент Русских Рун: цинк -  $_{30}\text{Zn}$ , дезинформация

\*\*

В магнитном поле (рис.3.32) символ **N** описывает резонансное однонаправленное магнитное поле из Недр к литосфере капли ядерного вещества; электрическое поле над литосферой распределяется по полярности полюсов (табл.3.16).

**Электрические и магнитные семеричные вихри  
в 23-ем элементе Русских Рун (рис.3.32)**

Форма вихрей	Символ	Процессы	
Электрический	Ш ≡	$\frac{qq^*}{\sqrt{qq^*} - (-\sqrt{qq^*})} \equiv \frac{16^2}{2 \cdot 16} = 8$	
Магнитный	N ≡	$\mu\mu^*[\sqrt{\mu\mu^*} - (-\sqrt{\mu\mu^*})] \equiv 14^2 \cdot 2 \cdot 14 = 2 \cdot 14^3$	
Максимум	Ш·N ≡	$8 \cdot 2 \cdot 14^3 \equiv 16 \cdot 14^3 \equiv \sqrt{qq^*} \cdot \mu\mu^{3/2}$ электромагнетизм	
От электричества к магнетизму	N/Ш ≡	$2 \cdot 14^3 : 8 = 2 \cdot 7^3 \equiv 7^2 \cdot 14 \equiv 7^2 \sqrt{\mu\mu^*}$	
Семеричность магнито-электричества и его изомерия	Цис-изомерия		Транс-изомерия
	$2 \cdot 7^3 \int_0^1 \varphi d\varphi = +7^3$		$2 \cdot 7^3 \int_1^0 \varphi d\varphi = -7^3$
Семь внутри, семь снаружи [1]			
Магнито-электрическая Кундалини	$\frac{2 \cdot 7^3}{\sqrt{qq^*} = 16} = \left(\frac{7}{2}\right)^3$		$\frac{2 \cdot 7^3}{-\sqrt{qq^*} = 16} = -\left(\frac{7}{2}\right)^3$
Магнито-электричество Небес-Цинь	$\frac{2 \cdot 7^3}{\text{Цинь} \equiv 32} \equiv \left(\frac{7}{2}\right)^3 \int_0^1 \varphi d\varphi$		$\frac{2 \cdot 7^3}{\text{Цинь} \equiv -32} \equiv \left(\frac{7}{2}\right)^3 \int_1^0 \varphi d\varphi$
Однонаправленное вращение сгустка Тянь	$-\frac{2 \cdot 7^3}{\text{Тянь} \equiv 64} \equiv -\left(\frac{7}{2}\right)^3 \cdot \frac{1}{2^2} \equiv \left(\frac{7}{2}\right)^3 \int_0^1 \varphi d\varphi \cdot \int_1^0 \varphi d\varphi$ Вращается в одну сторону со знаком минус.		



\*\*

Указание на то, что одностороннее вращение в сторону знака минус (транс-изомерия) является дезинформацией о характере движения в Космосе, которое протекает по шести направлениям трёхмерного Пространства, сопровождается ссылкой на *цинк*, имеющий 30 электронов.

В поле Тонких Энергий эквивалентом 30 электронам цинка *будет* являться

$$\tau \cdot \rho_5 = 3 \cdot 10 = 30. \quad (3.167)$$

Это значит, что магнетизм Тянь в динамике его движения (3.67), будет обладать потенциалом, равным (табл.3.16).

$$-\left(\frac{7}{2}\right)^3 \frac{1}{2^2} \tau \rho_5 = -\left(\frac{7}{2}\right) \cdot \left(\frac{7}{4}\right)^2 \cdot (15 = 1+2+3+4+5), \quad (3.168)$$

где  $7/2$  - Кундалини,  $7^2/4^2$  - квадрат пальмы или отношение зарядов импульсов, и  $15 = 1+2+3+4+5$  - внутреннее поле сгустка Тянь подобное внутреннему полю сгустка света.

\*\*

Изменения энергии сгустка влияют на энергетику Небес, как наши мысли влияют на ноосферу Земли.

$$\text{Влияние Продолжительности } \pm \tau \cdot \rho_5 \int_0^1 \varphi d\varphi = \pm 15 \text{ на}$$

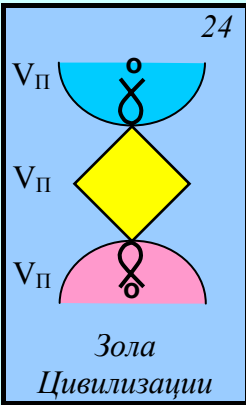
Небеса (табл.3.16) приводит к взаимодействию в них зародыша полярного вихря с потенциалом 2,1:

Возникновение полярных вихрей сгустков под влиянием Небес			
Цинь (табл.3.16)	Продолжитель- ность	Взаимодей- ствия	Зародыш вихря
$\frac{2 \cdot 7^3}{32} = \frac{7^3}{16}$	$\pm \tau \cdot \rho_5 \int_0^1 \varphi d\varphi = \pm 15$	$\lg \frac{\rho_3 \rho_4}{\rho_1} = 50$	$\pm \frac{7^3}{16} \frac{15}{50^2} \equiv \pm \left(\frac{7}{4}\right)^2 \cdot 2,1$
В поле Тонких Энергий взаимодействия $\rho_5 \cdot \rho_2 = 10 \cdot 10^1 = 1$ приведёт к равновесию			$\pm \left(\frac{7}{4}\right)^2 \cdot 2,1$

(3.169)

**24) Двадцать четвёртый элемент в периодической системе Русских Рун (рис.3.5) описывается как зола и носит название цивилизации (рис.3.33).**

24



Электрическое поле  $6x = 2^{\tau/T_0}$ : волновое поле с зародышем  $\delta$  и атмосферой над ним -  $\bullet$

Зародыш ядра

Магнитное поле  $42y = 2^{\tau/T_0}$ : волновое поле с зародышем  $\delta$  и небесами -  $\bullet$

Рис.3.33 Элемент Русских Рун: зола, цивилизации

\*  
\*\*

Зола - это во-первых **твёрдая фаза**, а во-вторых **углерод**, атомный вес которого равен  $12 \equiv T_0 \tau$ , а число электронов  $6 = 2,5 + 3,5 \equiv \dots$

Зола - это **Твердь**, о которой говорится в Библии как о среде, на поверхности которой **Бог сотворил Носителя Разума (в том числе Человека)**, а они создали свои цивилизации от великой, творцами которой были **Авторы Книг и Строители Пирамид**, до нашей сегодняшней технической, хитренькой, эгоцентричной, жестокой и гнусной.

Основным условием формирования Тверди является расширение электрического зародыша ( $\mathcal{Y} \Leftrightarrow T_0 \cdot c / \omega_0 = 8$ ) и сжатие магнитного зародыша ( $\mathcal{Q} \Leftrightarrow T_0 \cdot \omega_0 / c = 2$ ), так как при такой ситуации литосфера сгустков наращивает массу, а в живых магнитах возникает потенциально-кинетическое отношение, эквивалентное отношению атомного веса углерода к числу его электронов, то есть 2:1 (табл.3.17).

Таблица 3.17

**Возникновение потенциально-кинетических отношений в литосферах сгустков (рис.3.33)**

Структура поля	Поля	Зародыши	
		$\mathcal{Y}$ и $\mathcal{Y}$	$\mathcal{O}$ и $\mathcal{O}$
Электрическое	$\mathcal{Y} \equiv \frac{qq^*}{(E_\lambda + m_e)(\sqrt{qq^*} - (\sqrt{qq^*}))}$ $\frac{\pi \cdot 16^2}{2 \cdot 2 \cdot 16} = 4\pi$	$\mathcal{Y} = T_0 \frac{c}{\omega_0} \frac{9}{10} \mathcal{Y}$ $8 \cdot 0,9 \cdot 4\pi \equiv 28,8\pi$	$\mathcal{O} = \mathcal{Y} \left( \pm \int_0^1 \varphi d\varphi \right)$ $= \pm 14,4\pi$
Магнитное	$\mathcal{Q} \equiv \frac{\mu\mu^*}{(E_\lambda + m_e)(\sqrt{\mu\mu^*} - (\sqrt{\mu\mu^*}))}$ $\frac{\pi \cdot 14^2}{2 \cdot 2 \cdot 14} = \frac{7}{2}\pi$	$\mathcal{Q} = T_0 \frac{\omega_0}{c} \frac{1}{10} \mathcal{Q}$ $2 \cdot 0,1 \cdot 7/2 \cdot \pi \equiv 0,7\pi$	$\mathcal{O} = \mathcal{Q} \left( \pm \int_0^1 \varphi d\varphi \right)$ $= 0,7\pi(\pm 1/2) \equiv 0,35\pi$
Электромагнитная пульсация	$\frac{\mathcal{Y}}{\mathcal{Q}} = \frac{4\pi \cdot 2}{7\pi} = \frac{8}{7} \Leftrightarrow \frac{7}{8} = \frac{\mathcal{Q}}{\mathcal{Y}}$ $8^2 = 64 \Leftrightarrow 49$ Тянь    Оболочка	$0,7\pi \Leftrightarrow 0,35\pi$ $0,7\pi/0,35\pi = 2 \Leftrightarrow 1$ $0,35\pi \Leftrightarrow 0.$	

Дальнейшая пульсация в электрическом поле приводит к Числу Человека, равного по Библии 113, и потенциал - эквиваленту внутреннего поля света в нём.

Сотворение Человека и его внутреннего света		(3.170)
Число Человека	Внутренний свет в Человеке	
$113 = 64 + 49$	$64 - 49 = 15 = 1 + 2 + 3 + 4 + 5.$	

В этом поле Человека (3.170) Кундалини начинает творить 280 относительных единиц геномов первой группы и 28 относительных единиц геномов в первом периоде периодической системы геномов (рис.1.2). Возникает Наследственность. Бушует Жизнь.

\*\*

**Создатель, Вера и Церковь не одно и то же.** Все Церкви Запада вышли, в конечном счете, из Иудаизма, преимущественно на основе протеста, направленного на искоренение частных догматов.

**Однако важнейший вопрос о сотворении Мира и Человека в Море все Церкви оставили небылицы: "лапша" из глины, Адам из "лапши", а деле Родословие по четырнадцати или семи коленам.**

Ещё раз говорю Вам: сотворение мира в периодичности, а не в глине.

## Пятый период Русских Рун

25) Начало пятому периоду Русских Рун (рис.3.5) даёт элемент, связанный с калием ( $_{19}Ka$ ) и названный концентрация (рис.3.34).

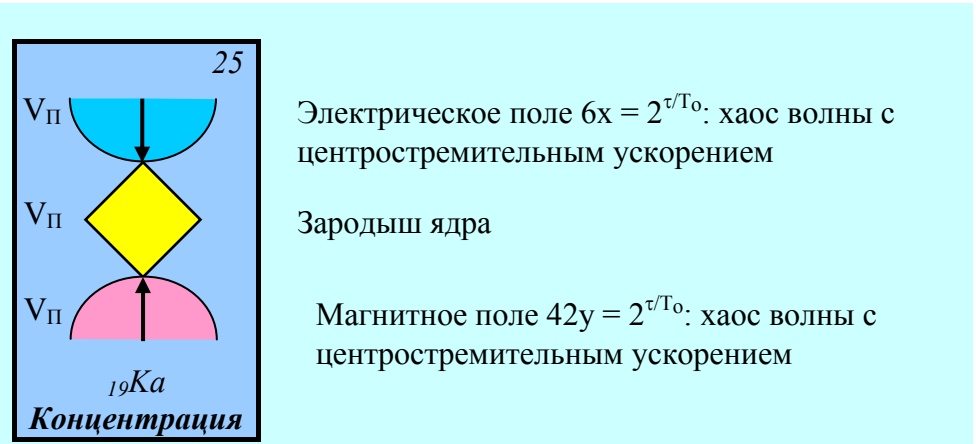


Рис.3.34 Элемент Русских Рун: калий, концентрация

\*\*

В этом элементе (рис.3.34) и магнитная и электрическая волны имеют одну и ту же угловую скорость и разнонаправленные центростремительные ( $j_0 = c\omega_0$ ) ускорения (табл.3.18).

Элемент калий с его 19-ю электронами дан для того, чтобы показать увеличение среды вдвое при пульсации типа:

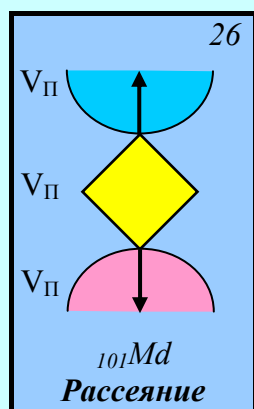
$$\int_{19-1}^{19+1} \varphi d\varphi = \int_{18}^{20} \varphi d\varphi = 38 \equiv 2 \cdot 19 \equiv 19 - (-19). \quad (3.171)$$

Это значит, что цис-транс изомерия поля с потенциалом  $n$ , создаёт вокруг него среду с потенциалом  $2n$ , то есть концентрируют энергию.

**Концентрация электромагнитных волн  
центростремительными ускорениями (рис.3.34)**

Поля	Электрическое	Магнитное
Ускорение в поле света	$k_1 = (m_c + E_\lambda) \cdot (-j_o = -c\omega_o) = -4/\pi^3 \equiv -T_o E_\lambda^2 m_c$	$k_2 = (m_c + E_\lambda) \cdot (j_o = c\omega_o) = +4/\pi^3 \equiv T_o E_\lambda^2 m_c^2$
Потенциалы	$\updownarrow \equiv \frac{qq^*}{\sqrt{qq^* - (-\sqrt{qq^*})}} : k_1 \equiv \frac{16^2}{2 \cdot 16} : \frac{4}{\pi^3} = -2\pi^3$ <p align="center">Движение волны и направленность ускорения противоположны</p>	$\curvearrowleft \curvearrowright \equiv \frac{\mu\mu^*}{\sqrt{\mu\mu^* - (-\sqrt{\mu\mu^*})}} \cdot k_2 \equiv \frac{14^2}{2 \cdot 14} : \frac{4}{\pi^3} = +28/\pi^3$ <p align="center">Движение волны и направленность ускорения совпадают</p>
Размножение зарядов-импульсов	$\updownarrow \curvearrowleft \curvearrowright c/\omega_o = -2\pi^3 \cdot 28/\pi^2 \cdot 2 = -112 \equiv -(7\sqrt{qq^*} \equiv 8\sqrt{\mu\mu^*} \equiv 4\sqrt{\rho\rho^*}).$	

**26) Двадцать шестой элемент в периодической системе Русских Рун (рис.3.5) связан с менделевием и назван *рассеяние* (рис.3.35).**



Электрическое поле  $6x = 2^{\tau/T_o}$ : хаос волны, центробежное ускорение

Зародыш ядра

Магнитное поле  $42y = 2^{\tau/T_o}$ : хаос волны, центробежное ускорение

*Рис.3.35 Элемент Русских Рун: менделевий, **рассеяние***

\*\*

По сравнению с 25-м элементом в 26-м появились центробежные ускорения вместо центростремительных (рис.3.35). Это изменит таблицу 3.18 (табл.3.19).

Таблица 3.19

**Рассеяние электромагнитных волн  
центробежными ускорениями**

Поля	Электрическое	Магнитное
Процессы, потенциалы	$\updownarrow \equiv$ $\frac{qq^*}{\sqrt{qq^*} - (-\sqrt{qq^*})} \cdot k_1 \equiv$ $\frac{16^2}{2 \cdot 16} \cdot \frac{4}{\pi^3} = 32 \cdot E_{\lambda}^2 m_c$	$\curvearrowright \equiv$ $\frac{\mu\mu^*}{\sqrt{\mu\mu^*} - (-\sqrt{\mu\mu^*})} : k_2 \equiv$ $\frac{14^2}{2 \cdot 14} \cdot \left( -\frac{4}{\pi^3} \right) = -\frac{7}{4} \pi^3$
Размножение зарядов- импульсов	$\updownarrow \curvearrowright \equiv \frac{32}{\pi^3} \cdot \left( -\frac{7}{4} \pi^3 \right) \cdot \left( \frac{c}{\omega_0} = 2 \right) = -112 \equiv$ $-(7\sqrt{qq^*} \equiv 8\sqrt{\mu\mu^*} \equiv 4\sqrt{\rho\rho^*}).$	

В этом поле колебание потенциал - эквивалента  $101 \pm 1$  возмущает окружающую среду, удваивая потенциал:

$$\int_{101-1}^{101+1} \varphi d\varphi = \int_{100}^{102} \varphi d\varphi = 202. \quad (3.172)$$

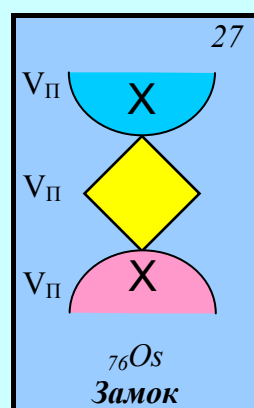
\*\*

Сумма потенциалов сред при сжатии (3.171) и рассеянии (3.172) в пульсирующем Космосе восстанавливает внутреннее поле света:

Изомерия внутреннего поля света			
Потенциал среды	Изомерия		Во взаимодействиях (свет)
	Цис	Транс	
$38 + 202 = 240$ $5! \cdot (c/\omega_0 = 2)$	$240 \int_0^1 \varphi d\varphi =$ $120 = 1 \cdot 2 \cdot 3 \cdot 4 \cdot 5$	$240 \int_1^0 \varphi d\varphi =$ $-120 = -1 \cdot 2 \cdot 3 \cdot 4 \cdot 5$	$\pm 120 \lg \frac{\rho_3 \rho_4}{\rho_1} =$ $\pm 120 \cdot 50 \equiv \pm 6000.$

(3.173)

**27) Двадцать седьмой элемент Русских Рун (рис.3.5) связан с осмием и назван замок (рис.3.36).**



Электрическое поле  $6x = 2^{\tau/T_0}$ : хаос волны и внутреннего поля с символом **X**

Зародыш ядра

Магнитное поле  $42y = 2^{\tau/T_0}$ : хаос волны и внутреннего поля с символом **X**

Рис.3.35 Элемент Русских Рун: осмий, замок

\*\*

Это поле относительного равновесия, которое наступило после сжатия-расширения (элементы 25 и 26), но ещё не начавшимся вращением (элементы 28 и 29).

В этом поле (рис.3.36) равновесие в поле возникает при условии потенциал - излучения волны-частицы света (табл.3.20).



**Формовщики плазмы - стабилизатор равновесия  
в электромагнитных полях**

Поля	Электрическое	Магнитное
Неравновесная электро- магнитная система	$\smile \equiv \frac{qq^*(m_c + E_\lambda)}{\sqrt{qq^*} - (-\sqrt{qq^*})}$ $\frac{16^2}{2 \cdot 16} \cdot \frac{2}{\pi} = \frac{16}{\pi}$	$\frown \equiv \frac{\mu\mu^*(m_c + E_\lambda)}{\sqrt{\mu\mu^*} - (-\sqrt{\mu\mu^*})}$ $\frac{14^2}{2 \cdot 14} \cdot \frac{2}{\pi} = \frac{14}{\pi}$
Равновесная пульсирующая система	$\smile \equiv \frac{16}{\pi} - \left( \frac{1}{\pi} \equiv E_\lambda \right) = \frac{15}{\pi}$ <p align="center">Равновесие за счёт излучения</p>	$\frac{15}{\pi} = \frac{14}{\pi} + \left( m_c = \frac{1}{\pi} \right) \equiv \frown$ <p align="center">Равновесие за счёт поглощения</p>
Стабилизатор равновесия	$\frac{1}{\pi} \int_{14}^{16} \varphi d\varphi = \frac{30}{\pi} \equiv E_\lambda \left( \frac{1^2 + 2^2 + 3^2 + 4^2}{1 + 2 + 3 + 4} = \frac{30}{10} = 3 \right) \rho_5$ <p align="center">Формовщики [1].</p>	

Вместе с тем в 27 элемент Русских Рун введён *осмий* с 79 электронами.

Разность между 79 относительными единицами и 30 единицами формовщиков приводит к образованию потенциала оболочки:

$$79 - (30 = 1^2 + 2^2 + 3^2 + 4^2) = 49 = 7^2, \quad (3.174)$$

а появление этой оболочки (3.174) означает, что **форми-  
ровщики посажены под магнитный замок.**

28) Двадцать восьмой элемент в периодической системе Русских Рун (рис.3.5) связан с палладием и назван лёд (рис.3.37).

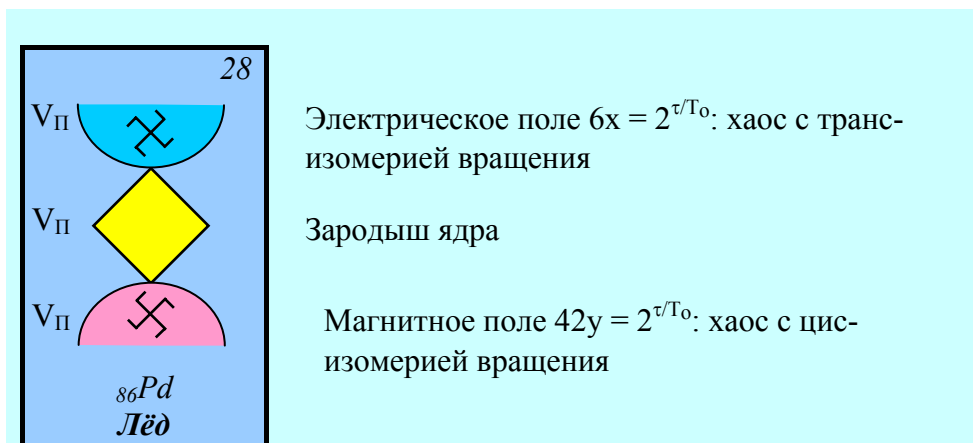


Рис.3.37 Элемент Русских Рун: палладий, лёд

\*\*

Название **лёд** указывает на эндотермию гравитационных и слабых взаимодействий, связанных с транс-изомерией (против часовой стрелки) формовщиков в электрической волне сжатия и цис-изомерией в магнитной волне расширения (таб.3.21).

Вместе с тем потенциал - эквивалент 86 электронам палладия пульсирует  $86 \pm 1$  между двумя равновесными состояниями и создаёт в окружающей среде разность квадратов потенциалов:

$$(86+1)^2 - (86 - 1)^2 = 344. \quad (3.175)$$

Вращение этого вихря (3.175) с периодичностью  $T_0\tau = 12$  будет формировать гравитацию, в ней - беспредельную периодичность Кундалини:

<b>Кундалини в поле гравитации (3.175)</b>	(3.176)
$344 : (T_0\tau = 12) = 28,(6) \equiv \sqrt{\rho\rho^*} + 0,(6).$	

**Эндотермия (лёд) полей вращения (рис.3.37)**

Поля	Электрическое		Магнитное	
Процессы и потенциалы в поле формовщиков	Взаимо-действия	Крутящий момент	Взаимо-действия	Крутящий момент
	$\lg \rho_1 \rho_2 =$ -25	$-\frac{30}{\pi} \left( \omega_0 = \frac{\pi}{2} \right)$ = -15	$\lg \rho_1 \rho_2 =$ -25	$\frac{30}{\pi} \left( \omega_0 = \frac{\pi}{2} \right) =$ +15
Постоянные	$k_1 = -25 - 15 = -40$		$k_2 = -25 + 15 = -10$	
Волна (табл.3.20)	$\smile = \frac{16}{\pi}$		$\frown = \frac{14}{\pi}$	
Эндотермия полей вращения	$\textcircled{\times} \equiv \smile \cdot k_1 / E_\lambda =$ $16 \cdot (-40) = -640$ Десять Тянь		$\textcircled{\times} \equiv \frown \cdot k_2 / m_c =$ $-14 \cdot (-10) = -140$ $1^2 + 2^2 + 3^2 + 4^2 + 5^2 + 6^2 + 7^2 \equiv$	
Сумма	$k_3 = -640 + 140 = -500 \equiv (k_1 + k_2 = -50) \rho_5.$			

**29) Двадцать девятый элемент Русских Рун (рис.3.5) связан с вольфрамом и назван огонь (рис.3.38).**

29

$V_{\Pi}$

$V_{\Pi}$

$V_{\Pi}$

${}_{74}W$   
**Огонь**

Электрическое поле  $6x = 2^{\tau/T_0}$ : хаос изменил направление вращения вихря, стал цис-изомерическим и экзотермическим

Зародыш ядра

Магнитное поле  $42y = 2^{\tau/T_0}$ : хаос изменил направление вращения вихря, стал транс-изомерическим, экзотермическим

Рис.3.37 Элемент Русских Рун: палладий, лёд

\*\*

Использование слова **огонь** говорит о том, что процессы протекали в области экзотермических взаимодействий: электромагнитного, гравитационного и света:

$$\lg \rho_3 \rho_4 \rho_5 = \lg 10^{12} \cdot 10^{14} \cdot 10^1 = 27. \quad (3.177)$$

По сравнению с эндотермией (рис.3.37) в области экзотермии знаки менялись на противоположные (табл.3.21, табл.3.22).

Таблица 2.8

**Экзотермия (огонь) полей вращения (рис.3.22)**

Поля	Электрическое		Магнитное	
Процессы и потенциалы в поле формовщиков	Взаимодействия	Крутящий момент	Взаимодействия	Крутящий момент
	$\lg \rho_3 \rho_4 \rho_5$ $= 27$	$\frac{30}{\pi} \left( \omega_0 = \frac{\pi}{2} \right)$ $= 15$	$\lg \rho_3 \rho_4 \rho_5$ $= 27$	$-\frac{30}{\pi} \left( \omega_0 = \frac{\pi}{2} \right)$ $= 15$
Постоянные	$k_1 = 27 + 15 = 42$		$k_2 = 27 - 15 = 12$	
Волны (табл.3.20)	$\smile \equiv -\frac{16}{\pi}$		$\frown \equiv -\frac{14}{\pi}$	
Эндотермия полей вращения	$\textcircled{\times} \equiv \smile \cdot k_1/E_\lambda = 16 \cdot (-40) = -640$ Десять Тянь		$\textcircled{\times} \equiv \frown \cdot k_2/m_c = -14 \cdot (-10) = -140$ $1^2+2^2+3^2+4^2+5^2+6^2+7^2 \equiv$	
Постоянная Вселенной	$Const = (c/\omega_0=2) \cdot (672 - 168 = +504) = 1008 \equiv 28 \cdot 36 \equiv 24 \cdot 42 \equiv 16 \cdot 63 \equiv ...$			

Вместе с тем (табл.3.22) потенциал-эквивалент 74 электронам вольфрама пульсирует  $74 \pm 1$ , создаёт разность квадратов потенциалов и при  $T_0 \tau = 12$  формирует поле Святого Духа с потенциалом 24, а в Нём бесконечную периодичность Божественной Кундалини:

$$\frac{(74+1)^2 - (74-1)^2}{T_0 \tau = 12} = 24 + 0,(6). \quad (3.177)$$

**30) Тридцатый элемент Русских Рун (рис.3.5) связан с водой (Mn<sub>2</sub>O) и носит название *ключ* (рис.3.37).**

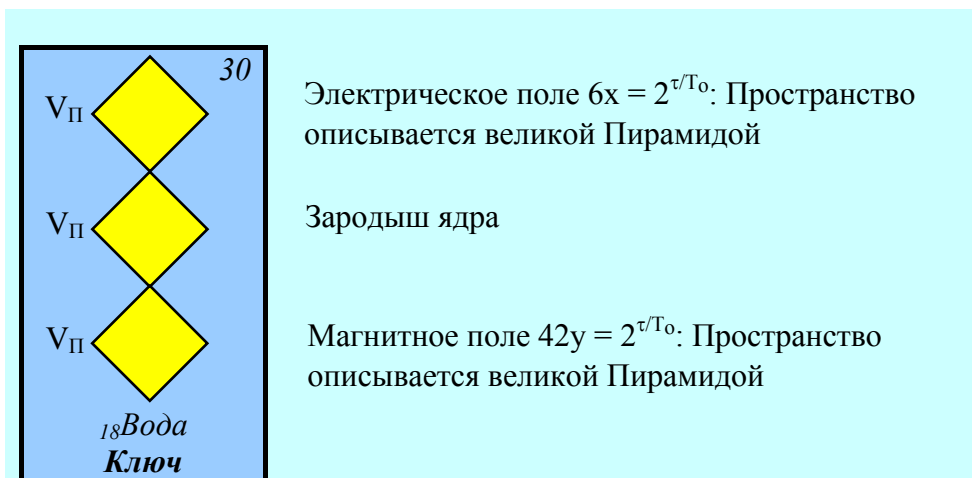


Рис.3.38 Элемент Русских Рун: вода (Mn<sub>2</sub>O), Ключ

\*\*\*

**Замок и Ключ** в Русских Рунах есть. Но где дверь, от которой мы нашли Замок и Ключ? Эта **дверь есть свет, который трансформирует формы полей Тонких Энергий**, а за периодической системой света **Бытие Материи**: одной трети Единого Космоса, в которой бушует Жизнь.

\*\*\*

Каковы стадии процесса в поле воды-ключа?

В Недра Зародышевой Капли ядерного вещества попадает гравитационный поток зарядов-импульсов, где трансформируется в магнитное поле:

Зародыш ядра: трансформация гравитации в магнетизм (рис.3.32)		
Пульсация, потенциалы	$\frac{\rho\rho^*}{\sqrt{\rho\rho^*}-(-\sqrt{\rho\rho^*})} = \frac{28^2}{2 \cdot 28} = 14 \Leftrightarrow \frac{1}{7} \equiv \frac{\sqrt{\mu\mu^*}-(-\sqrt{\mu\mu^*})}{\mu\mu^*}$ $49 = 72 \Leftrightarrow 1/2 \equiv \int_0^1 \varphi d\varphi$	
Форма	Оболочка	Дзиан: Космос.

(3.178)

В недрах ядерного вещества возникает оболочка (потенциал 49) зародышевого пузырька и его пульсация от Хаоса к Гармонии (3.178).

Поверхность зародышевого пузырька ядерного вещества поглощает свет, где пульсация с потенциалом Дзиан трансформирует свет в воду:

Трансформация света Оболочкой Зародыша		
Переход свет-вода	Восстановление системы	
$36 \cdot 49 \Leftrightarrow \frac{1}{2} \cdot 36 = 18 \equiv M_{H_2O}$	$49 \Leftrightarrow \frac{18}{36} = \frac{1}{2} \equiv \frac{\mu}{\rho} \equiv \frac{\mu^*}{\rho^*} \equiv$	
Свет-Оболочка      вода	Оболочка Зародыш-импульс.	

(3.179)

В поле (3.179) формируется всё, что необходимо для создания Рупы Материи из Арупы Тонкой Энергии.

\*\*

Магнитные кванты зародышевых пузырьков из магмы жидкой плазмы устремляются к поверхности ядерного вещества (3.178):

Магма ядра: магнитные трансформации			(3.180)
В Недрах Зародыша Ядра	В потоке магнит- ной магмы	На поверхности магмы	
$\frac{\sqrt{\mu\mu^*} - (-\sqrt{\mu\mu^*})}{\mu\mu^*} = \frac{1}{7}$	$7 = \frac{\mu\mu^*}{\sqrt{\mu\mu^*} - (-\sqrt{\mu\mu^*})}$	$\frac{1}{7} = \frac{\sqrt{\mu\mu^*} - (-\sqrt{\mu\mu^*})}{\mu\mu^*}$	
При $T_0$ : $T_0 \cdot \frac{1}{7} = \frac{4}{7} = \frac{q}{\rho}$	При $T_0$ : $4 \cdot 7 = 28 \equiv \sqrt{\rho\rho^*}$ гравитация	При $T_0$ : $4 \cdot \frac{1}{7} = \frac{4}{7} = \frac{q^*}{\rho^*}$	

\*\*

Магнитное поле расширяется с коэффициентом  $8 = T_0 \cdot c / \omega_0 = (c/\omega_0)^3$ .

Поэтому гравитация в магнитной магме (3.180) будет иметь потенциал, равный Кундалини:

$28 : (8 = T_0 \cdot c / \omega_0) = 7/2,$  (3.181)

что зафиксировал институт Геофизики АН СССР [11].

\*\*

При переходе из Арупы с продолжительностью процессов в ней, **равной  $\tau = 3$** , в Рупу с продолжительностью процессов в ней, **равной  $T_0 = 4$** , происходит взаимосвязь с волнами  $\sqrt{2}^n$ , поглощение которых описывает великая Пирамида (рис.2.4, табл.2.14).

Возникновение логарифмических колебаний в области этих волн формирует Кундалини расширения, сжатия и перехода между сжатием и расширением (табл.3.23).

Таблица 3.23

**Формирование Кундалини логарифмическими волнами (рис.3.38)**

Тип волн		Постоянная	Линейная	Поверх- ностная	Объёмная
Потенциалы		$2^{3/4}$	$\sqrt{2} \cdot 2^{3/4} = 2^{5/4}$	$2 \cdot 2^{3/4} = 2^{7/4}$	$2 \sqrt{2} \cdot 2^{3/4} = 2^{9/4}$
Логариф- мические волны		$\log_2 2^{3/4} = 3/4$	$\log_2 2^{5/4} = 5/4$	$\log_2 2^{7/4} = 7/4$	$\log_2 2^{9/4} = 9/4$
Формиро- вание изомерии и Кундалини		$\frac{3}{4} \left( \int_0^1 \varphi d\varphi - \int_0^1 \varphi d\varphi \right) = \frac{3}{8} - \left( -\frac{3}{8} \right)$ Изомерия	$\frac{5}{4} \left( T_0 \frac{\omega_0}{c} = 2 \right) = \frac{5}{2}$ Сжатие	$\frac{7}{4} \left( \frac{c}{\omega_0} = 2 \right) = \frac{7}{2}$ Расши- рение	$\frac{9}{4} \left( \int_0^1 \varphi d\varphi - \int_0^1 \varphi d\varphi \right) = \frac{9}{8} - \left( -\frac{9}{8} \right)$ Изомерия
Пере- ходы	Раз- ности	$\frac{3}{4} - \frac{5}{2} = -\frac{7}{4}$	$\frac{5}{2} - \frac{7}{2} = -1$	$\frac{7}{2} - \frac{9}{4} = -\frac{5}{4}$	
	Сум- мы	$\frac{3}{4} + \frac{5}{2} = \frac{13}{4}$	$\frac{5}{2} + \frac{7}{2} = 6$	$\frac{7}{4} + \frac{9}{4} = \frac{23}{4}$	
Динамика сумм		$T_0 \left( \frac{13}{4} - \frac{7}{4} \right) = 6$	$T_0 (6 - 1) = 20$	$T_0 \left( \frac{23}{4} - \frac{5}{4} \right) = 18$	
Митоз		$6 + 20 + 18 = 44 \equiv T_0(9+2).$			

\*  
\*\*

Переход между Арупой и Рупой для магнитного и электрического полей **дискретен**, но индивидуален по частоте: **в магнитном поле частота в семь раз больше чем в электрическом**, что можно определить сравнением  $x$  и  $y$  (рис.3.38).



Семеричность между электрическим и магнитным полями			
Поля	Электрическое	Магнитное	Отношение
Потенциалы	$6x = 2^{3/4}$ $x = \frac{1}{3} \cdot 2^{-1/4} \equiv$ $\frac{1}{3} \sqrt{\sin \pi/4}$	$42y = 2^{3/4}$ $y = \frac{1}{21} \cdot 2^{-1/4}$ $\equiv$ $\frac{1}{21} \sqrt{\sin \pi/4}$	$\frac{x}{y} = \frac{1}{3} : \frac{1}{21} = 7$ $x = 7y.$

(3.182)

\*\*\*

Соотношение между электрическим и магнитным полями (3.182) существует в Рупе в динамике периодичности  $T_0$ ,  $T_0^2$  и  $T_0^3$  для бегущих, поверхностных и объёмных волн:

Электромагнитная гравитация и её преодоление				
Волны	Равновесие	Бегущая	Поверхностная	Объёмная
Периодичности	$T_0/\tau=4/3$	$T_0 = 4$	$T_0^2 = 16$	$T_0^3 = 64$
Динамика электромагнетизма	$(x=7y) \cdot 4/3 =$ $\frac{4}{3} \equiv \frac{1}{3} 28y$	$(x=7y) \cdot 4 =$ $4x = 28y$	$(x=7y) \cdot 16 =$ $16x = 112y$	$(x=7y) \cdot 64 =$ $64x \equiv 448y$
Примечание	Зародыш гравитации	Гравитация	Уничтожение гравитации рядами импульсами	Создание тяги как у НЛО.

(3.183)

Потомки, идущие нам на смену, мои современники, мечтают о НЛО, а вам на них летать: воплощение мечты - это Закон Кармы.

### 3.2.3 Шесть групп периодической системы Русских Рун: их роль в Едином Космосе

Появление **разности потенциалов** важнейшее условие **начала Движения**, как **Формы** существования **Энергии**, основы **Бытия Единого Космоса**.

Любая разность потенциалов в поле Материи появляется **не случайно**, а является вторичной от разности потенциалов, возникших в поле Тонких Энергий.

Разности потенциалов в поле Материи Тонкой Энергии **взаимосвязаны как Живая Сущность и её Ангел-Хранитель**.

Поэтому, давая химические элементы в периодической системе Русских Рун, наши Учителя надеялись, что мы - люди, зная число электронов в элементах, сможем по числу определить разности потенциалов в полях Тонких Энергий.

\*\*

**31) Рассмотрим первую группу периодической системы Русских Рун (табл.3.24).**

Сумма электронов, указанных в этой группе элементов равна числу электромагнитных импульсов-зарядов в полях Тонкой Энергии (табл.3.24):

$$225 = 15^2 \equiv [(16+14) \cdot 1/2]^2 \equiv \left[ \left( \sqrt{qq^*} + \sqrt{\mu\mu^*} \right) \int_0^1 \varphi d\varphi \right]^2. \quad (3.184)$$

Сумма разностей этих электронов подсказывает, что в полях Тонких Энергий возникает Зародыш Тянь или изомерия Цинь (табл.3.24):

$$-64(\text{Тянь}) \equiv -32(\text{Цинь}) - (+32)\text{Цинь}. \quad (3.185)$$

Следующие две разности и их суммы дают воду и свет (табл.3.24).

Таблица 3.24

**Русские Руны:  
разности потенциалов первой группы (рис.3.5)**

Периоды	Группа I	Число электронов	Разности (Тянь)	Вода	Свет
1	$_{83}\text{Bi}$	83			
2	$_{56}\text{Ba}$	56	$56-83 = -27$		
3	$_{47}\text{Ag}$	47	$47-56 = -9$	$-9-(-27) = +18$	$-18-(+18) = 36$
4	$_{20}\text{Cu}$	20	$20-47 = -27$	$-27-(-9) = -18$	
5	$_{19}\text{Ka}$	19	$19-20 = -1$	-1	-1
Суммы	-	225	-64	$\pm 18 - 1 \equiv$	$\pm 36 - 1.$

Эти потенциалы (табл.3.21) в частности означают, что когда религиозные источники говорят: **"Бог создал твердь Земную"**, мы должны понимать, что создание Тверди (Тянь) было неизбежно из-за тонкоэнергетических процессов. Поэтому сделаем вывод: **к Религиям надо относиться не так как пономарь, а с чувством, с толком, с расстановкой, то есть вдумчиво.**

\*  
\*\*

**32) Вторая группа периодической системы Русских Рун имеет разности, сумма которых равна 55 и которая формирует семеричность в десятиричных магнитных и гравитационных рядах (табл.3.25).**

$$\frac{\text{магнетизм}}{\text{гравитация}} = \frac{1^2 + 2^2 + 3^2 + 4^2 + 5^2 + 6^2 + 7^2 + 8^2 + 9^2 + 10^2}{1 + 2 + 3 + 4 + 5 + 6 + 7 + 8 + 9 + 10} = \frac{385}{55} = 7 \quad (3.186)$$

Во второй группе эффективность взаимодействия распространяется по длине спирали Кундалини и увеличивается в десять раз (табл.3.25)

Таблица 3.25

**Русские Руны:  
разности потенциалов второй группы (рис.3.5)**

Периоды	Группа II	Число электронов	Разности	Кундалини и взаимодействия	Электромагнетизм
1	$_{46}\text{Pt}$	46			$35 - 20 = 15 \equiv$ $\left( \sqrt{qq^*} + \sqrt{\mu\mu^*} \right) \cdot \int_0^1 \varphi d\varphi$
2	$_{27}\text{Co}$	27	$27 - 46 = -19$	$54 - 19 = 35 \equiv$ $3,5 \cdot \rho_5$	
3	$_{81}\text{Tl}$	81	$81 - 27 = 54$		
4	$_{24}\text{Cr}$	24	$24 - 81 = -57$	$77 - 57 = 20 =$ $\rho_5 \cdot \lg \rho_1 \rho_2 \rho_3 \rho_4 \rho_5$	
5	$_{101}\text{Mg}$	101	$101 - 24 = 77$		
Суммы	-	279	55	55	55.

Появляется разность потенциалов, обеспечивающая формирование электрического и магнитного импульсов в условиях пульсации Космоса (табл.3.25):

$$\pm 15 = \left( \sqrt{qq^*} + \sqrt{\mu\mu^*} \right) \cdot \left( \pm \int_0^1 \varphi d\varphi \right) = \pm \tau \cdot 5. \quad (3.187)$$

В поле Арупы с периодичностью  $\tau = 3$  возникает пятеричная связь (3.187). Начинается формирование постоянной Тонкой Структуры ( $1/\alpha$ ), которую наши физики определили экспериментально и не могут объяснить её природу [9]:

$$1/\alpha = \frac{3}{5}\pi \cdot e^\pi \equiv \frac{\tau}{T_0 + 1} \cdot c \cdot m^c = 137,0000021. \quad (3.188)$$

В поле Тонкой Энергии появляется потенциал - эквивалент равновесному состоянию зарядов-импульсов (табл.3.25):

$$279 - 55 = 224 \equiv 14\sqrt{qq^*} \equiv 16\sqrt{\mu\mu^*} \equiv 8\sqrt{\rho\rho^*} \equiv \sqrt{\mu\mu^*qq^*} \equiv \sqrt{qq^*\mu\mu^*} \equiv 8\sqrt{\rho\rho^*}. \quad (3.189)$$

\*\*

**33) Определим разности потенциалов для третьей группы Русских Рун (табл.3.26).**

Таблица 3.26

**Русские Руны:  
разности потенциалов третьей группы (рис.3.5)**

Периоды	Группа III	Число электронов	Разности	Изомерия света и Кундалини	
1	$_{79}\text{Au}$	79	-		-6+3=-3
2	$_{26}\text{Fe}$	26	$26 - 79 = -53$	$56 - 53 = 3$	
3	$_{82}\text{Pb}$	82	$82 - 26 = 56$		
4	$_{86}\text{Ru}$	86	$86 - 82 = 4$	$-10 + 4 = -6$	
5	$_{76}\text{Os}$	76	$76 - 86 = -10$		
Суммы	-	349	-3	-3	-3.

В этой группе Тонких Энергий Русских Рун возникают Зародыши сгустков Рупы с периодичностью  $T_0 = 4$ , влекущие за собой формирование магнитных Зародышей (табл.3.26):

$$56 = 4 \cdot 14 \equiv T_0 \cdot \sqrt{\mu\mu^*}. \quad (3.190)$$

Появляются изомеры Кундалини и Света (табл.3.26). Создаются условия для 108 реинкарнаций по Буддизму:

$$56 - (-53) = 109 \equiv 108 + 1 \Leftrightarrow 108 \Leftrightarrow 108 - 1 = 107. \quad (3.191)$$

Появляется среда (Эфир Бордо. Книга Мёртвых), в которых происходят реинкарнации:

$$\int_{108-1}^{108+1} \varphi d\varphi = \int_{107}^{109} \varphi d\varphi = 216 \equiv 2 \cdot 108, \quad (3.192)$$

**и Бог возлюбил Троицу, то есть Арупу (табл.3.26).**

**34) Разности потенциалов IV группы Русских Рун выделены в таблицу 3.27**

Таблица 3.27

**Русские Руны:  
разности потенциалов четвёртой группы (рис.3.5)**

Периоды	Группа IV	Число электронов	Разности	Взаимодействия, Кундалини	Зародыши-импульсы
1	$_{29}\text{Ca}$	29	-		51+6 = 57
2	$_{43}\text{Tc}$	43	$43 - 29 = 14$	$37+14 = 51 \equiv$	
3	$_{80}\text{Hg}$	80	$80 - 43 = 37$	$\lg \frac{\rho_3 \rho_4}{\rho_1 \rho_2}$	
4	$_{25}\text{Mo}$	25	$25 - 80 = -55$	$61-55 = 6$	
5	$_{86}\text{Pd}$	86	$86 - 25 = 61$		57.
Суммы	-	263	57	57	

В этом поле продолжается формирование гравитационно-магнитных полей с потенциалом -55, но их направленность противоположна направлению вихрей в первой группе (3.186).

В четвёртой группе продолжается работа Кундалини по формированию магнитных полей с потенциалом  $14 \equiv \sqrt{\mu\mu^*}$  и зарядов-импульсов с потенциалом 112 (табл.3.27). Эффективность взаимодействия достигает максимума, потенциал которого равен 51 (табл.3.27). Биполярные колебания  $(57 \pm 1)$  и  $(56 \pm 1)$  формируют Зародыш с Библийским Числом Человека:

Зародыш с Числом Человека: наше рождение в Арупе			(3.192)
Источники колебаний		Среда в Эфире Бордо	
$57 \pm 1$	$56 \pm 1$	$\left( \int_{56}^{58} \varphi d\varphi + \int_{55}^{57} \varphi d\varphi \right) \cdot \left( \pm \int_0^1 \varphi d\varphi \right) = \pm 113$	

\*\*

### 35) Разности потенциалов пятой группы Русских Рун выделены в таблицу 3.28

Отличительной особенностью разности потенциалов пятой группы Русских Рун, в которых субстанцией полей, как и во всех иных группах, является эфир Бордо (Книга Мёртвых), состоит в появлении света, зародыша Тянь и гравитации (табл.3.28).

**Русские Руны:**  
**разности потенциалов пятой группы (рис.3.5)**

Периоды	Группа V	Число электронов	Разности	Свет, Тянь, $\rho_5^2$	Гравитация
1	$_{12}\text{Mg}$	12	-		64–36 = 28
2	$_{13}\text{Tc}$	13	13 – 12 = 1	37 – 1 = 36 44 – (-20) = 64	
3	$_{50}\text{Sn}$	50	50 – 13 = 37		
4	$_{30}\text{Zn}$	30	30 – 50 = -20		
5	$_{74}\text{W}$	74	74 – 30 = 44		
Суммы	-	179	62	100	28.

В пятой группе поля Арупы Тонких Энергий начинают связывать свою Продолжительность с Продолжительностью Рупы (табл.3.28):

<b>Контакт Продолжительностей Арупы и Рупы</b>	
Продолжительности	Биоклетка
$179 - 62 - 36 = 81 \equiv 34 \equiv \tau^{\text{T}_0}$	$\equiv (9 + 0)^2$

(3.193)

Пульсирующий переход между Арупой и Рупой рождает свет:

<b>Свет как результат перехода Арупы в Рупу</b>
$(\tau^{T_0} - T_0^{\tau}) + T_0\tau + (T_0 + \tau) = (3^4 - 4^3) + 12 + 7 = 36$

(3.194)



### 36) Разности потенциалов шестой группы Русских Рун (табл.3.29)

Таблица 3.28

#### Русские Руны: разности потенциалов пятой группы (рис.3.5)

Периоды	Группа VI	Разности	Вода, Дух, душа	Кундалини, душа
1 свет	Ноль (изомерия)	-		$24 - 18 = 6$ $24 + 18 = 42$
2 газы	$49 - (-49) = 98$	$98 - 0 = 98$	$80 - 98 = -18$	
3 жидкие среды	$_{18}\text{Вода}$	$18 - 98 = 80$	Вода	
4 твёрдая фаза	$_6\text{Зола}$	$6 - 18 = -12$	$12 - (-12) = 24$	
5 жидкая плазма	$_{18}\text{Вода}$	$18 - 6 = 12$	Святой Дух	
Суммы	140	178	42 (душа).	

Шестая группа Русских Рун на каждом из пяти периодов завершает **формирование эфира Бордо в новое фазовое состояние субстанции Космоса** (табл.3.29).

Важность понимания фазовых состояний Единого Космоса уходит в глубокую древность и актуальна сегодня.

Поиски Единства Мира на базе фазового состава, предпринятые Аристотелем (вода, воздух, земля и так далее) сегодня рассматриваются Индуизмом. Однако полный ответ на формирования фазового состава Единого Космоса дают Русские Руны (табл.3.29).

\*  
\*\*

Изначально **эфир Бордо**, из него Свет (3.194). **Свет - это второе фазовое состояние Единого Космоса.**

Свет изомеричен. Разность потенциалов изомеров света даёт ноль (табл.3.29). Сумма удваивает потенциал:

<b>Свет как фазовое состояние энергии Космоса</b>			(3.195)
Сумма (табл.3.29)	Разность	Продолжительность	
$0 = 36 + (-36)$	$36 - (-36) = 72$	$\frac{72 \cdot \lg \rho_1 \rho_2 \rho_3 \rho_4 \rho_5}{(\tau \cdot T_0)^2} = \frac{72 \cdot 2 = 12^2}{12^2} = 1$	

\*  
\*\*

**Газы - третье фазовое состояние Единого Космоса.** Возникновение газов связано с появлением разности (табл.3.29):

$$98 - 0 = 2 \cdot 49 = 2 \cdot 7^2 \equiv \text{две оболочки.} \quad (3.196)$$

Появляется **либо двойная оболочка, либо молекула водорода под оболочкой.**

\*  
\*\*

В расширяющейся Вселенной под любой оболочкой происходит расширение (3.196, табл.3.29):

$$98 - (T_0 \cdot c / \omega_0 \cdot \rho_5 = 80) = 18 \equiv \text{Mn}_2\text{O.} \quad (3.197)$$

Газы трансформируются в воду с молекулярным весом 18 к.е.

**Жидкости - четвертое фазовое состояние Единого Космоса.**

\*  
\*\*

Вода, которая находится в Рупе Материи с продолжительностями  $T_0 = 4$ , не теряет связи с полями Тонких Энергий, продолжительность которых равна  $\tau = 3$ .

**Волны Арупы - Рупы сушат воду, и вместо неё появляется зола углерода с атомным весом 12 к.е.:**

$$(M_{H_2O} \cdot T_0 / \tau) \cdot \left( \pm \int_0^1 \varphi d\varphi \right) \equiv 18 \cdot 4 / 3 \cdot (\pm 1/2) \equiv \pm 12, \quad (3.198)$$

где наличие знаков  $(\pm)$  подтверждается цис-транс изомерией молекулярных цепей углеводов и так далее.

**Твёрдая фаза - пятое состояние Единого Космоса.**

\*  
\*\*

Твёрдая фаза пульсирует во взаимодействиях. Появляется жидкая фаза плазмы:

$$\pm 12 \cdot \frac{T_0}{\tau} \lg \rho_1 \rho_2 \rho_3 \rho_4 \rho_5 = \pm 12 \cdot \frac{3}{4} \cdot 2 = \pm 18 \equiv \pm M_{H_2O}. \quad (3.199)$$

Жидкая плазма - это шестое фазовое состояние Единого Космоса (табл.3.29).

\*  
\*\*

Божественная Кундалини формирует наши души-сердца с **семеричной периодичностью**, что приводит к появлению разностей потенциалов, равных 6 и 42 (табл.3.29).

С появлением наших душ-сердец на свет Жизни окружающая среда возбуждается:

### Формирование наших душ-сердец в Арупе

$$Const \equiv \frac{3,5}{\tau} \cdot \int_6^{42} \varphi d\varphi \equiv \frac{3,5}{3} \cdot 864 = 1008. \quad (3.200)$$

Расширяющаяся спираль Кундалини формирует наши души в Арупе с постоянной Вселенной.

\*\*

58 Божеств нашего мозга Кундалини формирует при сжатии в Рупе, то есть с потенциалом  $2,5/T_0$ .

Результатом работы нашего мозга является цис-транс изомерическое электрическое поле, в которое входит импульс Воображения:

$$\sqrt{qq^*} - (-\sqrt{qq^*}) = 16 + 16 = 32. \quad (3.201)$$

Постоянная Вселенной в поле работы Кундалини в нашем мозге будет также возникать при условии возбуждения окружающей среды:

### Формирование нашего Воображения в Рупе

$$Const \equiv \frac{2,5}{T_0} \cdot \int_6^{58} \varphi d\varphi - 2\sqrt{qq^*} \equiv \frac{2,5}{4} \cdot 1664 - 32 = 1008. \quad (3.202)$$

## Глава 4

### Солнечно-люминесцентный спектр света и тринадцати-лунный календарь Цивилизации Майи

#### 4.1 Функциональные закономерности. Сине-голубая Чакра

Свет обожествляется Всеми, и Язычеством и Религиями. Обожествление света уходит во Тьму Веков и продолжается сегодня.

Однако обожествление света тормозило его изучение: можно ли изучать Божественную Сущность? Не только можно, но и нужно, так как Эволюция Носителя Разума привела его к границам необходимости понимания свойств-сочетаний Единого Космоса.

\*\*

Важнейшей характеристикой белого света является его спектр, где каждая область спектра характеризуется скоростью света ( $c \equiv \pi$ ), периодичностью вращения его точечного участка волны ( $T_0 = 4$ ), энергиями волны ( $E_\lambda = 1/\pi$ ) и частицы ( $m_c = 1/\pi$ ) света, величиной их импульсов, сил и энергий (табл.4.1).

Таблица 4.1

**Динамические характеристики поля света**

Свет		Скорости		Движение точки		Длина волны
Частица	Волна	Угловая	э/м колебаний	Период	Частота	
$m_c = 1/\pi$	$E_\lambda = 1/c$	$\omega_0 = \pi/2$	$c \equiv \pi$	$T_0 \equiv 4$	$V=1/T_0 = 0,25$	$c=\lambda v=\lambda/T$ $\lambda=T_0=4\pi$ .

Полученные данные (табл.4.1) говорят о том, что великая Цивилизация использовала длину волн света как эпюру круга-окружности с радиусом, равным двум, а затем в эти круг-окружность вписывали основание великой Пирамиды.

Характеристики волновых полей определялись контуром неравновесных колебаний типа:

Неравновесные колебания в поле света	
Колебания в объёме	$\frac{c}{T_0} \equiv \frac{\pi}{4} \Leftrightarrow \frac{4}{\pi} \equiv \frac{T_0}{c}$ , где $16/\pi^2 \equiv \Phi$ - золотое Число
Колебания волн	$\frac{\pi}{4} \equiv \arcsin \sqrt{2} \equiv \arcsin \sqrt{2} \Leftrightarrow \arccos \frac{1}{\sqrt{2}} \equiv \arcsin \frac{1}{\sqrt{2}} \equiv \frac{4}{\pi}$ .

(4.1)

Колебания в объёме приводят к известному в архитектуре золотому Числу  $\Phi = 16/\pi^2$ , а колебания волн имеют бесконечную множественность трансформаций информационных систем (4.1).

\*\*

Проверяя таблицы логарифмов, Иоганн Кеплер открыл законы движения планет вокруг Солнца. Философ Гегель воодушевился: и я так могу. Стал писать диссертацию "Об орбитах планет", стараясь описать их "на кончике пера". Провал был полный, но Гегель закончил работу максимумы. Один из них таков: **"В истинной арифметике только единица складывается с двойкой, и только двойка вычитается из тройки, и в то же время в ней ни тройка не является суммой, ни единица разностью"**.

Искомую учёную степень Гегель получил, а позднее его подход - решение проблемы без конкретики результата, - наряду с естествознанием Людвиг Фейербаха и классовой борьбой Карла Маркса, стали по определению В.И.Ленина одной из трёх составных частей марксизма.

**Отсутствие доказательности всегда подменяется Склокой.** Гегель не исключение. Он объединился с поэтом Гейне и стал склочничать против Ньютона.

Ударили в барабан ("**Бей в барабан и не бойся**" Гейне) и обвинили Ньютона в том, что он стал исследовать свет, принадлежащий Богу, и ввёл понятие силы.

Эти нападки и свету, и Ньютону были "**по барабану**", но общество разделилось и до сих пор спрашивает: чем **Энергия** отличается от **Силы**? Рассмотрим этот вопрос.

\*\*

Рассчитывая теоретически орбиты планет, Гегель столкнулся с равновесной системой Арупы Тонкой Энергии Метагалактики:

$$1 = \frac{1 \cdot 2 \cdot 3}{1 + 2 + 3} \Leftrightarrow \frac{6}{6} \equiv \frac{\text{Резонанс}}{\text{Антирезонанс}}. \quad (4.2)$$

По определению Авторов Книги Дзиан поля с потенциалами 1, 2, 3 и 4 - это **формовщики**.

**Формирование состоит в том, что взаимодействия полей трансформируются в логарифмические волны (4.2).**

$$\lg 10 \equiv \frac{\lg 10^6}{\lg 10^1 \cdot \lg 10^2 \cdot \lg 10^3} = \frac{6}{1 + 2 + 3} = 1. \quad (4.3)$$

При частотах  $10^6$  Гц в полях возникает свечение, имеющее название эффект Кирлиан, при котором фотографируется Аура.

В этих полях и находятся истоки истинной арифметики (табл.4.2).

**Аура Тонких Энергий Света - Кундалини  
как базис истинной арифметики (4.2, 4.3)**

Компоненты поля	Объём	Поверхность
Потенциалы	$10^6 = 10^{1 \cdot 2 \cdot 3} = 10^{1+2+3}$	$\lg 10^6 = \lg 10^{1 \cdot 2 \cdot 3} = \lg 10^{1+2+3}$
Логарифмы	Логарифмических волн нет	$6 = 1 \cdot 2 \cdot 3 = 1+2+3$
Истинная арифметика	<p>Из тройки вычитается двойка:  <math>3 \cdot \lg 10 - 2 \cdot \lg 10 = \lg 10^3 / 10^2 = 1</math>,  но в объёме <math>10^1</math>, так как нет логарифмических волн.</p> <p>Двойка складывается с единицей:  <math>2 \cdot \lg 10 + 1 \cdot \lg 10 = \lg 10^{2+1} = \lg 10^3</math>,  но в объёме 1000, так как логарифмических волн в объёме Арупы нет.</p>	

Для более полной характеристики истинной арифметики (табл.4.2) остаётся добавить, что **потенциалы Арупы в её Объёме находятся везде, как потенциалы эффективности взаимодействий, а поверхность возникает везде, где появляется поле гравитации.**

В истинной арифметике исходным является равновесное состояние логарифмических волн, то есть основание логарифма должно равняться логарифмированному числу:

<b>Резонансная Единица в истинной арифметике</b>	(4.4)
$1 = \lg 10 = \ln e = \dots = \log_a a = \log_i i.$	

В истинной арифметике расчёт перехода от резонансного равновесия к антирезонансному справедлив там и тогда, где и когда этот расчёт описывает логарифмические колебания, связанные с цис-транс изомерией:



Антирезонансный Ноль в истинной арифметике	
Хаос	Изомерия
$0 \equiv \log_a 1 \equiv \lg 1 \equiv \dots \log 1$	$\equiv \dots (n + m) - (m + n).$

(4.5)

Расчёты истинной арифметики, основанные на реалиях логарифмических волн, справедливы для бесконечной Вселенной:

Бесконечность Вселенной
$\log_a 0 \equiv \log 0 \equiv \pm\infty.$

(4.6)

\*\*

Свет с потенциалом 6 - это поверхность пульсирующей оболочки кванта света (рис.4.1, 4.2).

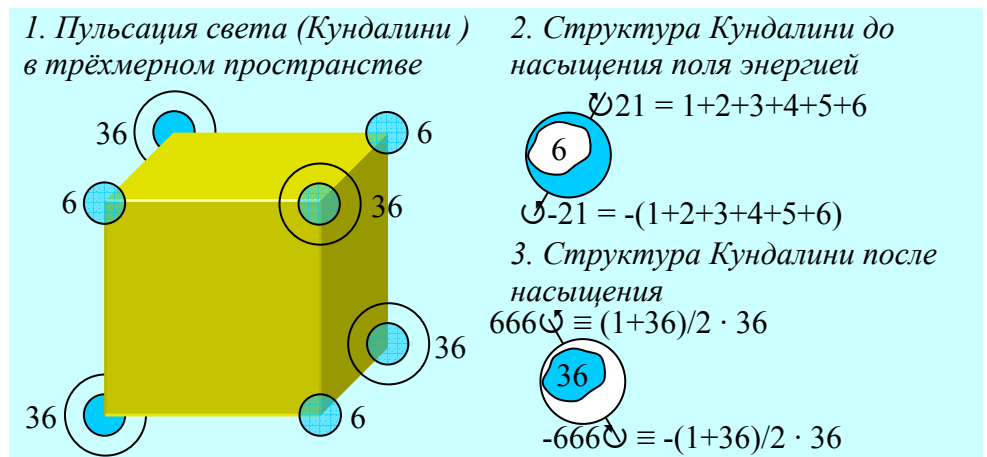


Рис.4.1 Динамика энергетики Кундалини - Света

В этом пульсирующем поле Света - Кундалини разность между четырьмя расширенными состояниями Кундалини и четырьмя сжатыми формирует внутреннее поле кванта света с поверхностью 6:

Формирование внутреннего поля света с поверхностью 6 за счёт пульсации этой поверхности (рис.4.1, 4.2)			
Пульсация (4.2)	Внутреннее поле света (рис.4.1)	Полярные вихри	
		для 6	для 36
$\frac{1 \cdot 2 \cdot 3}{1 + 2 + 3} \Leftrightarrow \frac{1 + 2 + 3}{1 \cdot 2 \cdot 3}$ $36 \Leftrightarrow 36$	$T_o \cdot 36 - T_o \cdot 6 =$ $144 - 24 = 120 \equiv$ $1 \cdot 2 \cdot 3 \cdot 4 \cdot 5 \equiv 5!$	$\Sigma \equiv \frac{1+6}{2} \cdot 6 =$ $\pm 21$	$\Sigma \equiv \frac{1+6}{2} \cdot 36$ $=$ $\pm 666$ <p>Число Сатаны.</p>

(4.7)

В этом поле (4.7) каждый потенциал описан религиозной математикой. Самая печальная судьба постигла Кундалини насыщения, у которой сумма энергетических слоёв от 1 до 36 во внутреннем поле равна сумме арифметической прогрессии 36 членов последовательного ряда и равна 666, то есть Числу Сатаны (рис.4.1, 4.7).

Однако Сатана здесь не причём, так как без поверхности света возникает потенциал формирования геномов:

$$666 - 36 = 630 \equiv 63\rho_5, \quad (4.8)$$

и где  $60/2 = 30 \equiv (\Delta\Gamma + \Delta C) \cdot \rho_5. \quad (4.9)$

Но если Закулиса считает **нашу Этническую Наследственность Сатаной для себя**, то не будем ей возражать, а зафиксируем появление сине-голубой изомерии (4.9).

## 4.2 Импульс силы и энергия света

Любое движение связано с моментом количества движения (импульсом), силой и собственно энергией, связанными между собой (табл.4.3).

Таблица 4.3

**Взаимосвязь импульса, силы и энергии света**

Элементы движения	Компоненты света		Совместное движение	
	частица	волна	анти-резонанс	резонанс
<b>Импульс:</b> масса на скорость	$p_m = m_c c = \frac{1}{\pi} \pi = 1$ линейный	$p_\lambda = E_\lambda c = \frac{1}{\pi} \pi = 1$ колебания	$p_m \pm p_\lambda \equiv 2 \text{ и } 0$	$p_m \cdot p_\lambda \equiv 1^2 \text{ и } i^8$
<b>Сила:</b> масса на ускорение	$F_m = m_c(j_o = c\omega_o) \frac{1}{\pi} \pi \frac{\pi}{2} = \frac{\pi}{2} \equiv \omega_o$	$F_\lambda = E_\lambda(j_o = c\omega_o) \frac{1}{\pi} \pi \frac{\pi}{2} \equiv \omega_o$	$F_m \pm F_\lambda \equiv 2\omega_o \text{ и } 0; \text{ с и } 0$	$F_m \cdot F_\lambda \equiv \omega_o^2 \equiv \frac{\pi^2}{4} \equiv c^2/T_o$
<b>Энергия:</b> масса на квадрат скорости	$E_m = m_c c^2 \frac{1}{\pi} \cdot \pi^2 = \pi \equiv c$	$E_\lambda = E_\lambda c^2 \frac{1}{\pi} \cdot \pi^2 = \pi \equiv c$	$E_m \pm E_\lambda \equiv 2c \text{ и } 0$	$E_m \cdot E_\lambda \equiv c^2$

Свет, природа которого дуалистична, то есть движение волны и частицы света всегда протекает одновременно (совместно), возмущает своим импульсом, силой и энергией (табл.4.3) окружающую среду.

Возникает множественность форм разностей потенциалов, простейшими из которых в условиях резонансно-антирезонансной пульсации будут (табл.4.3):

$$\text{импульсы } \Delta p = \int_0^1 \varphi d\varphi - \int_2^0 \varphi d\varphi = \frac{1}{2}(1 - 2^2 - 0 + 2^2) = \frac{1}{2} . \quad (4.10)$$

$$\text{сила } \Delta F = \int_c^{c^2/4} \varphi d\varphi - \int_c^0 \varphi d\varphi = \frac{1}{2} \left( \frac{c^4}{16} - 2^2 - 0 + 2^2 \right) = \frac{c^4}{32} . \quad (4.11)$$

$$\text{энергия } \Delta E = \int_{2c}^{c^2} \varphi d\varphi - \int_{2c}^0 \varphi d\varphi = \frac{1}{2} (c^4 - 4c^2 - 0 + 4c^2) = \frac{c^4}{2} . \quad (4.12)$$

В поле света энергия среды превышает центробежно-центростремительную силу в этой среде в восемь раз, что в конечном счёте влечёт за собой расширение Вселенной с импульсом, равным  $8 = T_0 \cdot c / \omega_0$ , и энергией ( $T_0 \cdot c / \omega_0 = 8$ ).

Расширение Вселенной при её последующем сжатии до  $(T_0 \cdot \omega_0 / c = 2)^2 = 64$  влечёт за собой формирование сгустка Тянь, а изомерия света делит Тянь на цис и транс Небес Цинь.

\*\*

Импульс, сила и энергия света достигают своего максимума при условии (4.10 ÷ 4.12):

$$\Delta E \cdot \Delta F \cdot \Delta p = \frac{c^4}{2} \cdot \frac{c^4}{32} \cdot \frac{1}{2} = \frac{c^8}{128} \equiv c \cdot \left( \frac{c}{2} \right)^7 \equiv c \cdot \omega_0^{7=T_0+\tau} . \quad (4.13)$$

Возникают вихри ядерного вещества с семеричной периодичностью Рупы и Арупы в антирезонансе ( $T_0 + \tau$ ).

Казалось бы, следующим шагом во Вселенной должен быть резонанс, и, как следствие резонанса, Большой Взрыв Вселенной, её Рупы и Арупы.

Но Большого Взрыва не произойдёт, ибо энергия, сила и импульс Вселенной уравнивают друг друга:

$$\Delta E = \frac{\Delta F}{\Delta p} \cdot 8 \equiv \frac{c^4}{2} , \quad (4.14)$$

или

$$\frac{\Delta p}{\Delta F} \cdot c^4 = 8 \cdot 2 = \sqrt{2}^8 \equiv T_0^2 \equiv \sqrt{qq^*}. \quad (4.15)$$

Вместо разрушительного Большого Взрыва возникнет Созидание лунного и солнечного рядов, которые великая Цивилизация описала нам пропорциями великой Пирамиды (рис.2.4, табл.2.14).

В наших умах возникает воображение, в клетках биотоков, а продолжительность станет равной  $T_0^2 = 16$  (4.15).

\*\*

Белый свет имеет две формы: **солнечный экзотермический, люминесцентный эндотермический**. Корень различия между солнечным и люминесцентным светом состоит в том, что **фронт волны света в экзотермии и эндотермии развёрнут на угол  $\pi/2$  относительно друг друга** (табл.4.4).

Между пульсирующими возбужденными полями света сначала возникает сине-голубая область:

$$-30 \equiv -\Delta \Gamma \rho_2 \equiv -\Delta C \rho_2, \quad (4.16)$$

а затем с появлением импульса света в сине-голубой области спектра в нём возникает электромагнитное поле (табл.4.4):

$$-15 \equiv [(\sqrt{qq^*} = 16) + (\sqrt{\mu\mu^*} = 14)] \cdot (\pm \int_0^1 \varphi d\varphi = \pm \frac{1}{2}), \quad (4.17)$$

**и в области люминесцентного света формируется постоянная Вселенной, равная 1008** (табл.4.4):

Таблица 4.4

**Характеристические различия между  
белым солнечным и люминесцентным светом**

Форма света	Солнечный	Поля- ризация	Люминесцентный
Угол поляризации	$\varphi_0 = \omega_0 = \pi/2$	$\Delta\varphi = \pi/2$	$2\varphi_0 = 2\omega_0 = \pi$
Число фотонов	$\frac{\rho\rho^*}{qq^*} = \frac{7}{4}$	$\xrightarrow{10^{20}} \xleftarrow{10^{-20}}$	$\frac{\rho\rho^*}{qq^*} = \frac{7}{4}$
Термия	экзо-		эндо-
Изомерия	транс-цис		цис-транс
Взаимодействия	$\rho_5 = 10 \equiv \rho_1 \rho_2 \rho_3 \rho_4$	$\xrightarrow{10} \xleftarrow{10^{-1}}$	$\rho_2 = 10^{-1} \equiv \rho_5 : \rho_1 \rho_3 \rho_4$
Пределы пульсации	сжатие: $(T_0 \cdot \omega_0 / c = 2)^6 \rightarrow T_0 \cdot \omega_0 / c = 2$	$\xrightarrow{64 \cdot 2} \xleftarrow{64 \cdot 8}$	расширение: $(T_0 \cdot c / \omega_0 = 8) \rightarrow (T_0 \cdot c / \omega_0 = 8)^2$
Сине-голубое возмущение сред	$\int_{64}^2 \varphi d\varphi = -2046$	$\begin{array}{r} 2016 \\ - \\ 2046 \\ \hline -30 \end{array}$	$\int_8^{64} \varphi d\varphi = 2016$
Импульс света в среде	$-2046(\Delta p = 1/2) = -1023$	$\begin{array}{r} 1008 \\ - \\ 1023 \\ \hline -15 \end{array}$	$2016(\Delta p = 1/2) = 1008$ постоянная Вселенной.

\*\*

Появление постоянной Вселенной даёт возможность Повелителю Света прокладывать любые маршруты в полях Рупы - Арупы Космоса, ибо Свет трансформирует Всё.

При переходе постоянной Вселенной от поля сжатия к полю расширения (табл.4.4):

$$\left(\frac{1008}{T_0 \omega_0 / c = 2} = 504\right) - \left(\frac{1008}{T_0 c / \omega_0 = 8} = 126\right) =$$

$$378 \equiv 27 \cdot (14 \equiv \sqrt{\mu\mu^*}), \quad (4.18)$$

в возмущенной окружающей среде появляется магнитное **СВЕЧЕНИЕ Тонкой Энергии**, потенциал одного из полуэллипсов которого равен 27.

Облучение генерируемыми этим Свечением волнами приводит к врачеванию на уровне геномов наследственности, так как (4.18)

$$504 + 126 = 630 \equiv 63\rho_5, \quad (4.19)$$

где 63 - потенциал максимального генома.

Процесс врачевания Тонкими Энергиями будет протекать в жидких средах живых организмов, так как в этом процессе обязателен молекулярный вес воды (4.18, 4.19):

$$\frac{630 - 378 = 252}{\sqrt{\mu\mu^*} = 14} = 18 \equiv M_{H_2O}. \quad (4.20)$$

\*\*

При отсутствии жидкой фазы потенциал 18 будет пульсировать в Космосе:

$$18 \left( \pm \int_0^1 \varphi d\varphi = \pm \frac{1}{2} \right) \frac{\rho_5}{\rho_2} = 900 \equiv \Delta K - \Delta \Phi, \quad (4.21)$$

создавая спектр света между красными и фиолетовыми областями. Причём длины волн в спектре солнечного света будут определяться взаимодействиями  $\rho_5/\rho_2 = 10^2$  а в люминесцентном свете взаимодействиями  $\rho_2/\rho_5 = 10^{-2}$ .

Это значит, что волны в солнечном спектре в  $10^4$  раз длиннее волн в люминесцентном свете. Поэтому **при медитации возникает либо электрический ток силой  $10^{-4}$ А, либо электрическая индукция с потенциалом  $10^4$ В/А** (табл.4.5).

Таблица 4.5

**Волны: их длины, индуктивность и сила тока**

Формы света	Солнечный	Переход	Люминесцентный
Длины волн, Å	$\lambda = \frac{\rho_5}{\rho_2} = \lambda \cdot 10^2$	$\xleftarrow{\text{индукция}} \xrightarrow{\text{биоток}}$	$\lambda = \frac{\rho_2}{\rho_5} = \lambda \cdot 10^{-2}$
Появление электромагнитных взаимодействий	$\lambda \cdot 10^2 \cdot 10^4$ В/А индуктивность волны	$\frac{10^2 \cdot 10^4}{10^{-2} \cdot 10^{-4}} = 10^{12} = \rho_3$	$\lambda \cdot 10^{-2} \cdot 10^{-4}$ В/А сила тока волны.

Электромагнитные колебания волн (табл.4.5) формируют гравитационные взаимодействия:

$$\frac{10^{-2} \cdot 10^{-4}}{10^{-2} \cdot 10^{-4}} \equiv 10^{-12} \Leftrightarrow 1/10^{-12} \Leftrightarrow 10^{-24} \equiv \rho_1 \Leftrightarrow 1, \quad (4.22)$$

где  $\rho_1$  - эффективность гравитационного взаимодействия.

### 4.3 Пятёричная связь единения Космоса. Электрическое поле света как качели

Важнейшую роль в нём играет маятниковый эффект, который *сказывается* на эффективностях взаимодействий (табл.4.4):

Солнечный свет	Переход	Люминесцентный свет
$\rho_1 \rho_2 \rho_3 \rho_4 = \rho_5 \Leftrightarrow \rho_1 = \rho_5 / (\rho_2 \rho_3 \rho_4).$		

(4.23)



Маятниковый эффект метагалактики сжимает пульсирующее поле Космоса.

Появление новых метагалактических волн Космоса	
Колебания Космоса	$\left( \int_0^1 \varphi d\varphi = \frac{1}{2} \Leftrightarrow -\frac{1}{2} = \int_1^0 \varphi d\varphi \right)^{\pm \frac{1}{2} = \pm \int_0^1 \varphi d\varphi} \quad (4.24)$
Метагалактические волны	$1/\sqrt{2} \Leftrightarrow -1/\sqrt{2} \equiv \sin \pi/4 \equiv -\cos \pi/4 \equiv \dots$ $\sqrt{2} \Leftrightarrow -\sqrt{2} \equiv \sec \pi/4 \equiv -\csc \pi/4 \equiv \dots$

Маятниковый эффект (4.23) в поле метагалактических волн (4.24) формирует взаимодействия по коротко- и дальным действиям. Возникает Космическая Пятеричная Связь "Яйца (Космоса) с Пентаграммой (Пятеричная Связь)" [1]:

Формирование Космической Пятеричной Связи
$\lg \left( \frac{\rho_1 \cdot \rho_3 - \text{дальное действие}}{\rho_2 \cdot \rho_4 - \text{короткое действие}} \right) = -5^2 \Leftrightarrow -\frac{1}{5^2} = \lg \frac{\rho_2 \cdot \rho_4}{\rho_1 \cdot \rho_3}. \quad (4.25)$

Пятеричная Космическая Связь объединяет энергетические поля Космоса и его компонент в Единый Космос (4.25).

\*\*

Энергетическое Единство Космоса не исключает индивидуальность свойств-сочетаний его компонент в отдельности.

Рупа и Арупа не исключение: они сохраняют свои индивидуальности в кратности своих Продолжительностей  $T_0 = 4$  и  $\tau = 3$ .

Метагалактические волны (4.24) распределяются в Рупе и Арупе **в соответствии с их Продолжительностями**, сохраняя при этом маятниковый эффект (табл.4.6).

Таблица 4.6

**Взаимосвязь Арупы и Рупы в Метагалактике**

Форма полей	Арупа	Рупа	Пульсации
Контур колебаний	$\tau(\pm\sqrt{2}) \Leftrightarrow T_o(\mp\sqrt{2})$		1. Пульсация в Арупе: $\pm\frac{3}{4}\tau^2\cdot2^{1/4} =$ $\pm27(2^{7/4} \equiv h)$
Анти- резонанс	$0 \Leftrightarrow (T_o + \tau)\sqrt{2} \equiv 7\sqrt{2}$ $-7\sqrt{2} \Leftrightarrow 0$		
Резонанс	$1 \Leftrightarrow \frac{1}{3}4(\pm1)$		2. Пульсация в Рупе: $\pm\frac{4}{3}T_o^2\cdot2^{-1/4} = \pm$ $\frac{1}{3}8\cdot2^{7/4} \equiv V_{II}.$
	$\frac{3}{4}(\mp1) \Leftrightarrow 1$		

В этих полях пульсация в Арупе будет происходить с дискретностью  $\tau^2\cdot 2^{1/4}$ , а в Рупе - с дискретностью  $T_0^2\cdot 2^{1/4}$  (табл.4.6):

$$\tau^2\cdot 2^{1/4} \Leftrightarrow T_0^2\cdot 2^{1/4} \quad \text{или} \quad \tau^2\sqrt{2} \Leftrightarrow T_0^2, \quad (4.26)$$

где при

$$\left| \tau^4 \cdot 2 \Leftrightarrow T_0^4 \right| \rightarrow \left| \tau^4 \Leftrightarrow 2^7 \right| \rightarrow \left| \begin{matrix} 81 \Leftrightarrow 128 \\ 0 \Leftrightarrow 44 \end{matrix} \right|. \quad (4.27)$$

**В полях колебаний Единого Космоса создаётся идеальная система передачи информации**, которую Иудейская Тора описала мистически как 22 зуба Авраама [3]:

$$(0 \Leftrightarrow 44) \cdot \left( \pm \int_0^1 \varphi d\varphi = \pm \frac{1}{2} \right) = \pm 22 \Leftrightarrow 0. \quad (4.28)$$

**Приём-передача информации энергетически не безобидный процесс:** он подобен митозу биоклетки, связанной с субструктурой (9+2):

$$\pm 22 \equiv \pm 2 \cdot (9+2) \equiv (9+2) - [-(9+2)], \quad (4.29)$$

где вспыхивают противоречия цис-транс изомерии.

Угнетая нынешний Социум Земли, **Закулиса** использует цис-транс изомерические Противоречия митоза (4.29), направляя средства массовой информации на их разжигание. Так было в нацистской Германии, так происходит в пост - Союзных Государствах. **Девиз: разделяй и властвуй, - не ржавеет.**

\*  
\*\*

Пульсация в поле Тонких Энергий Арупы продолжается до равновесия с полем Космоса в области потенциала  $H = 2^{7/4}$ . Возникает неравновесная система (табл.4.6):

<b>Неравновесная система в поле арупы</b>	
$(H = 2^{7/4}) \Leftrightarrow \pm \tau / T_0 \cdot \tau^2 \cdot \pi^{1/4} \equiv \pm 27 \cdot (H = 2^{7/4});$ $1 \Leftrightarrow \pm 27$ (Свечение Тонких Энергий).	(4.30)

Возникает врачующее Свечение от Космоса - генератора, которое мы воспроизвели от генератора Тонких Энергий.

\*

\*\*

Пульсация в поле Материи Рупы приводит к неравновесному контуру колебаний, связанного с объёмом великой Пирамиды (табл.4.6):

<b>Неравновесная система в поле Рупы (рис.2.4, табл.2.14)</b>	
$(H = 2^{7/4}) \Leftrightarrow \pm T_0 / \tau \cdot T_0^2 \cdot 2^{-1/4} \equiv \pm \frac{1}{3} \cdot 8 \cdot 2^{7/4} \cdot \pm \frac{1}{3} a^2 H \equiv \pm V_{\Pi};$ <p>где <math>V_{\Pi}</math> - объём великой Пирамиды.</p> $1 \Leftrightarrow \pm \frac{1}{3} \cdot 8.$	<p>(4.31)</p>

Контур колебания между Метагалактикой Космоса и Материей Сгустка великая Цивилизация, ещё живя на Земле, использовала через Пирамиды как Источник Энергии для Своего Социума во всех аспектах применения: энергоустановки, транспорт, связь, врачевание, мелиорация и так далее... Для себя и нашей Матери-Земли.

#### 4.4 Пульсация света: природа происхождения Божеств из Книги Мёртвых

В Едином Космосе возникает неравновесная система колебаний между Рупой и Арупой (4.21, 4.32, табл.4.6, табл.4.7).

Великая Цивилизация описала семеричность антирезонанса так:

**1. Предвечная Матерь - Рождающая, сокрытая в своих Покровах Вечно-Невидимых ещё раз дремала в Продолжении Семи Вечностей.**

**2. Времени не было, оно покоилось в Бесконечных Недрах Продолжительности.**

**3. Вселенского Разума не было, ибо не было Ахи, чтобы вместить Его ([1]. Космогенезис. Станца I).**

Таблица 4.7

**Неравновесная система колебаний  
между Рупой и Арупой**

Формы Пространства		Арупа	Переход	Рупа
Формы Энергии		Жизнь до Жизни	Эфир Бордо	Жизнь
Колебания реинкарнаций		$\pm 27 \cdot H$ Свечение Тонких Энергий	$\Leftrightarrow$ $H \Leftrightarrow H$	$\frac{1}{3} a^2 H \equiv V_{\Pi}$ $\Leftrightarrow$ Объём великой Пирамиды
Колебания в эфире Бордо		$\frac{\text{резонанс}}{\text{антирезонанс}} \equiv \frac{H^2}{2H} \Leftrightarrow \frac{2H}{H^2} \equiv \frac{\text{антирезонанс}}{\text{резонанс}}$		
Резонанс	Цинь $\equiv 32$	$H^4 = (2^{7/4})^4 = 2^7 \Leftrightarrow (2H)^2 = 4 \cdot 2^{7/2};$ $\text{Цинь} \equiv 32 \equiv 2^5 \Leftrightarrow H^2 \equiv 2^{7/4}$		
	Расши- рение Вселенной	$H^8 = 2^{14} \Leftrightarrow (2H)^4 = 16 \cdot 2^7 \equiv 2^{11}$ $2^3 \Leftrightarrow 1 \Leftrightarrow T_0 \cdot c / \omega_0$		
Восстановление Арупы $\div$ Рупы		$0 \Leftrightarrow 23 - 1 = 8 - 1 = 7 \equiv T_0 + \tau$ Семеричность антирезонанса.		

\*\*

Появление 42 Божеств твоего Чистого Сердца в эфире Бордо (Книга Мёртвых) связано с дальнедействующими гравитационным и электромагнитными взаимодействиями, в поле, где эффективность взаимодействия Кундалини достигает величины  $10^6$ :

<b>Возникновение 42 Божеств твоего Сердца</b>
$\lg\left(\frac{\rho_1}{\rho_3} \cdot \frac{1}{10^{1+2+3=6}} \Leftrightarrow \frac{\rho_3}{\rho_1} \cdot 10^{1+2+3=6}\right);$ $\lg\left(\frac{10^{-24}}{10^{12} \cdot 10^6} = 10^{-42} \Leftrightarrow 10^{+42} \equiv \frac{10^{12} \cdot 10^6}{10^{-24}}\right);$ $-42 \Leftrightarrow +42$

(4.32)

\*  
\*\*

Появление в этих полях короткодействующих слабых и ядерных взаимодействий вместе с полем света формируют 58 Божеств в твоём мозге (4.32):

<b>Возникновение 42 Божеств в твоей голове</b>
$\lg\left(\frac{\rho_1 \rho_2}{\rho_3 \rho_4 \rho_5 10^6} = 10^{-58} \Leftrightarrow 10^{+58} \equiv \frac{\rho_3 \rho_4 \rho_5 10^6}{\rho_1 \rho_2}\right)$ $-58 \Leftrightarrow +58.$

(4.33)

\*  
\*\*

Появление 10 божеств в области шеи связано с резонансно-антирезонансной пульсацией взаимодействий Кундалини (оболочки кванта света) и различием между длинами волн солнечного и люминесцентного света (4.2, 4.3, табл.4.2, табл.4.5).

<b>Возникновение 10 Божеств в области шеи Человека</b>			
Эффективность Кундалини		Разности длин волн	
Резонансная	Антирезонансная	Солнечные	Люминесцентные
$\rho_6 = 10^{1 \cdot 2 \cdot 3=6}$	$\rho_6^* = 10^{1 \cdot 2 \cdot 3=6}$	$\Delta B = 3600 \text{ \AA}$	$\Delta b = 0,36 \text{ \AA}$
$\lg\left(\rho_6 \cdot \frac{\Delta B}{\Delta b} = 10^6 \cdot 10^{-4} \equiv \frac{\Delta b}{\Delta B \cdot \rho_6^*}\right)$ $10 \Leftrightarrow -10.$			

(4.34)

## 4.5 Маятниковый эффект взаимодействий

Маятниковый эффект в поле света распределяет взаимодействия по дальню- короткодействиям: при максимуме амплитуды колебания возникает короткодействие, при минимуме - дальнодействие (табл.4.8).

Таблица 4.8

**Маятниковый эффект колебания света**

Форма взаимодействия	Короткодействия	Дальнодействия	Антирезонансные колебания
Потенциалы	$\lg\left(\frac{\rho_2}{\rho_4} \Leftrightarrow \frac{\rho_4}{\rho_2}\right) \equiv -15 \Leftrightarrow +15$	$\lg\left(\frac{\rho_1}{\rho_3} \Leftrightarrow \frac{\rho_3}{\rho_1}\right) \equiv -36 \Leftrightarrow +36$	$0 \Leftrightarrow \pm 30 \Leftrightarrow \mp 72 \Leftrightarrow 0$ , где $72 - 30 = 42$ ; $72 + 30 = 102$ .
Резонанс - антирезонанс	$\pm 1 \Leftrightarrow \mp 1$ $0 \Leftrightarrow \pm 30$	$\mp 1 \Leftrightarrow \pm 1$ $0 \Leftrightarrow \pm 72$	

Эти маятниковые пульсации важнейшие для формирования Законов Единого Космоса (табл.4.8).

Законы Единого космоса применимы Везде и во Всём, но **я дам иллюстрацию только к медитации**, ибо целью Эволюции Ману-Мыслителей (нас с вами), является переход к Человеку Воли и Йоги, что невозможно без медитации.

\*\*

При медитации Вы направляете Тонкую Энергию Космоса **в область Подсознания**, в Недра Капли ядерного вещества - биологической плазмы.

В Недрах Подсознания возникает потенциал - эквивалент **антирезонансному внутреннему полю света**:

$$\pm 15 = \pm(1+2+3+4+5). \quad (4.35)$$

Цис-транс изомерия этого поля приводит к появлению цис-транс изомерии синей и голубой областей спектра света с разностями длин волн, равными (табл.4.8):

$$\rho_2 \Delta C = 30 \text{ \AA} \equiv 30 \Leftrightarrow -30 \Leftrightarrow 30 \text{ \AA} \equiv \Delta \Gamma \rho_2. \quad (4.36)$$

Сине-голубые смещения на уровне Подсознания при медитации - приятные эмоциональные ощущения на уровне Чакр.

Энергетика этих ощущений имеет потенциал - эквивалент разности длин волн белого света (табл.4.8):

$$\rho_2^2 \Delta B = 36 \text{ \AA} \equiv 36 \Leftrightarrow -36 \Leftrightarrow -36 \text{ \AA} \equiv -\Delta B \rho_2^2. \quad (4.37)$$

Между дальню- и короткодействующими полями возникает контур колебания:

$$\pm 15 \xleftrightarrow{k} \mp 36 \quad \text{и} \quad k = \pm 2, 4. \quad (4.38)$$

Цис-транс изомерия этого перехода (4.38) формирует волну в  $4800 \text{ \AA}$ , которая разделяет синюю и голубую области солнечного белого света (4.38):

$$0,24 - (-0,24) = 4,8 \equiv 4800 \cdot 10^{-3} \equiv 4800 \text{ \AA} \rho_2^3. \quad (4.39)$$

Деление синей и голубой областей спектра вызывает появление между этими областями:

$$30 \cdot 4,8 = 144 \cdot 12^2 \equiv T_o^2 \cdot \tau^2. \quad (4.40)$$

Возникает сине-голубой резонансный вихрь волн Арупы и Рупы.

Появление резонансного сине-голубого вихря в пульсирующем Космосе приводит к изомерии белого света (табл.4.8):



$$(T_o^2 \cdot \tau^2 \equiv 144) \cdot \left( \pm \int_0^1 \varphi d\varphi = \pm \frac{1}{2} \right) \equiv \pm 72 \equiv \pm [36 - (-36)] \equiv \pm [\rho_2 \Delta B - (-\rho_2 \Delta B)] . \quad (4.41)$$

Формируются 42 Божества твоего сердца, уважаемый Ману-Мыслитель (табл.4.8):

$$72 - 30 = 42. \quad (4.42)$$

В спектре солнечного света возникает магнитная волна от живого магнита. Её длина в  $4200 \text{ \AA}$  приводит к появлению биотока силой  $10^{-4} \text{ A}$ , в поле действия магнитного импульса, летящего со скоростью  $300 \text{ тыс. км/сек} = 3 \cdot 10^{18} \text{ \AA/сек}$ :

$$J = 10^{-4} \text{ A} \equiv \frac{\mu \cdot c}{4200 \text{ \AA}} \equiv \frac{14 \cdot 10^{-20} \text{ A} \cdot \text{сек} \cdot 3 \cdot 10^{18} \text{ \AA/сек}}{4200 \text{ \AA}} . \quad (4.43)$$

Таким будет биоток в твоей клетке, мой Живой Магнит, а сила тока твоего импульса Памяти составит величину:

$$J^* = 10^{36} \text{ A} \equiv \frac{\mu^* \cdot c}{4200 \text{ \AA}} \equiv \frac{14 \cdot 10^{20} \text{ A} \cdot \text{сек} \cdot 3 \cdot 10^{18} \text{ \AA/сек}}{4200 \text{ \AA}} . \quad (4.44)$$

И с такой силой Памяти ты посадил себе на шею Закулису? Побойся Бога, несчастный хлюпик!

## 4.6 Дискретность белого света и его спектра в полях Арупы - Рупы

Длины волн спектра света определены экспериментально и стали справочными параметрами (табл.4.9). **Но свет - это энергия и переход из одной спектральной области в другую не зависит от формы пути, а определяется разностью между потенциалами в конце и начале процесса.**

Поэтому я определил разности длин волн для всех областей солнечного и люминесцентного света с учётом того, что волны люминесцентного света в  $10^4$  раз короче солнечных (табл.4.5, табл.4.9).

И люминесцентный, и солнечный свет - это вихрь фотон - фоонов, эффективность воздействия которых на окружающую среду зависит от **Продолжительности воздействия фотон - фоонов на эту среду.**

Фундаментальные **Продолжительности** в Едином Космосе **связаны с резонансно-антирезонансной пульсацией Арупы и Рупы** (табл.4.8).

**Целые Числа**, получаемые как результат деления разности длин волн на потенциал Продолжительности, указывают на **окончание трансформации одной формы энергии в другую.**

В полях, где разность длин волн на Продолжительность не приводит к Целому Числу, переход энергии от одной формы энергии ещё не окончен и продолжается.

Психологически такое **продолжение** для нашей науки, **работающей не Приближениях** - самый высокий барьер потенциальной ямы, так как **ни один из учёных никогда не знал, Что к Чему и Когда должно Приближаться.**

Мы, не зомбированные Приближениями, рассмотрим Целые Числа (табл.4.9).

**Спектр солнечного света  
и его дискретность в Периодичностях**

Цвет	Крас- ный	Оран- же- вый	Жел- тый	Желто- зелё- ный	Зелё- ный	Голу- бой	Си- ний	Фио- лето- вый	Белый
Диапазон длин волн, Å	7600 6200	6200 5820	5820 5750	575 0 550 0	5500 5100	5100 4800	480 0 450 0	450 0 400 0	7600 4600
Разность длин волн, Å	$\Delta K = 1400$	$\Delta O = 380$	$\Delta Ж = 70$	$\Delta ЖЗ = 250$	$\Delta З = 400$	$\Delta Г = 300$	$\Delta С = 300$	$\Delta Ф = 500$	$\Delta Б = 3600$
Важнейшие периодичности света	$\tau = 3$ Арупа					1 100	2 100		3 100
	$T_o = 4$ Рупа	4 350	5 95			6 100	7 75	8 75	9 125 10 900
	$\sqrt{T_o^2 - \tau^2} = 5$ Связь	11 280	12 76	13 14	14 50	15 80	16 60	17 60	18 100 19 720
	$T_o + \tau = 7$	20 20		21 10					
	$T_o \cdot \tau = 12$						22 25	23 25	24 300
	$T_o \cdot \sqrt{T_o^2 - \tau^2} = 20$	25 70							26 180
	$T_o \cdot (T_o + \tau) = 28$	27 50							
	$T_o^2 = 16$ Рупа								28 225=15 <sup>2</sup>
	$\tau^2 = 9$ Арупа								29 400=20 <sup>2</sup> Сваб- хават О
Закон: параметры солнечного и люминесцентного света подобны, но параметры люминесцентного света в $10^4$ раз меньше солнечного.									
Люми- несцент- ный свет, Å	$\Delta k = 1400$	$\Delta o = 380$	$\Delta ж = 70$	$\Delta жз = 250$	$\Delta з = 400$	$\Delta г = 300$	$\Delta с = 300$	$\Delta ф = 500$	$\Delta б = 3600.$

\*\*

Число всех кратных состояний в поле солнечного белого света равно 29 (табл.4.9). столько же кратных состояний будет в области люминесцентного спектра света. Их цис-транс изомерическая разность:

Число кратных состояний в поле света и 58 божеств в Голове				(4.45)
Свет и Боги	Солнечный	Люминес- центный	Число Божеств в Голове	
Изомери- ческая разность	29	— (-29)	= 58	

Количество Божеств в Голове, равное 58, и потенциал изомерической разности, равный 58, говорит о том, что **великая Цивилизация знала о подобии свойств-сочетаний света и мозга** (4.45, табл.4.9).

#### 4.7 Белый свет Арупы- Рупы: развенчанный Сатана на уровне наследственности

**Корнем** Единого Космоса является Арупа.

В соответствии с законом дискретно-квантового изменения энергии-Продолжительности, Продолжительность (энергия) изменяется до корня квадратного от своей первоначальной величины.

Энергообмен в поле Арупы требует столкновений люминесцентных и солнечных фотонов, то есть противоположной направленности их вихрей, например под углом  $\varphi_0 = \pi/2$  и  $2\varphi = \pi$  (табл.4.9, табл.4.10)

Таблица 4.10

**Взаимосвязь белых фотонов в поле Арупы (табл.4.9)**

Цвет	Маршрут колебаний: $\tau \rightarrow \tau^2$	Форма света
Белый	$1200 \cdot \tau \cdot c \xrightarrow{k_1} 400 \cdot \tau^2 \cdot \omega_0$	Солнечный
Белый	$0,04 \tau^2 \cdot \omega_0 \xleftarrow{k_2} 0,12 \tau \cdot c$	Люминесцентный
Обратные колебания	$\frac{1200 \tau \cdot c}{0,04 \tau^2 \omega_0} = 2 \cdot 10^4 \Leftrightarrow 2 \cdot 10^{-4} \equiv \frac{0,12 \tau \cdot c}{400 \tau^2 \omega_0}$	Солнечно-люминесцентный.

В поле **Корня - Арупы** белого света обратные колебания (табл.4.10) не единственные: есть колебания с постоянными  $k_1$  и  $k_2$  (табл.4.10), где

$$k_1 = 400 \tau^2 \omega_0 : 1200 \tau \cdot c = 600 : 1200 = \left( \pm \frac{1}{2} = \int_0^1 \varphi d\varphi \right)$$

$$\text{и} \quad k_2 = 1/k_1 = 2 \equiv \lg \rho_1 \rho_2 \rho_3 \rho_4 \rho_5 \equiv \dots \quad (4.46)$$

Эти колебания (4.46) проявляются повсеместно во взаимодействиях и пульсации Космоса между Хаосом и Гармонией.

\*\*

Единый Космос на одну треть состоит из **сгустков - Рупы**.

В области солнечного белого света Рупа с периодичностью  $T_0 \rightarrow T_0^2$  изменяет свой потенциал от 900 до 225 (табл.4.9), а в люминесцентном белом свете от 0,09 до 0,0225, в то время как направленность вихрей фотонов в Рупе подчиняется тем же законам, что и в Арупы (табл.4.10, табл.4.11).

Таблица 4.11

**Взаимосвязь белых фотонов в поле Рупы (табл.4.9)**

Цвет	Маршрут колебаний: $T_0 \rightarrow T_0^2$	Форма света
Белый	$900 \cdot T_0 \cdot \omega_0 \xrightarrow{k_1} 15^2 \cdot T_0^2 \cdot c$	Солнечный
Белый	$0,0225 T_0^2 \cdot c \xleftarrow{k_2} 0,09 T_0 \cdot \omega_0$	Люминесцентный
Обратные колебания	$\frac{900 T_0 \cdot \omega_0}{0,0225 T_0^2 c} = 5 \cdot 10^3 \Leftrightarrow 5 \cdot 10^{-5} \equiv \frac{0,19 T_0 \cdot \omega_0}{15^2 T_0^2 c}$	Солнечно-люминесцентный.
Переходы	$k_1 = \frac{15^2 T_0^2 c}{900 T_0 \omega_0} = 2 \equiv \frac{c}{\omega_0}$	спирали
	$k_2 = \frac{1}{2} \equiv \pm \int_0^1 \varphi d\varphi$	колебания Космоса.

В поле Рупы света во взаимодействиях начинаются формирования молочно-белых [1] витков спирали сжатия Кундалини ( $k_1 + k_2 = 2 + 1/2 = 5/2$ ) и возникает спираль в 2,5 оборота Кундалини сжатия.

Между поверхностью кванта света с потенциалом шесть появляется разность потенциалов  $6 - 2,5 = 3,5$ , эквивалентная 3,5 оборотов спирали расширения Кундалини.

**Отношение спиралей расширения-сжатия Кундалини формируют магнитные поля:**

$$3,5/2,5 = 1,4 = 10^{-1} \sqrt{\mu\mu^*} \equiv \dots \quad (4.47)$$

**Периодичность** изменения одного кванта Кундалини **завершается** при достижении спиралями Кундалини **квадратов своих первоначальных величин** и появлении разности квадратов, равной шести:

$$3,5^2 - 2,5^2 = 6. \quad (4.48)$$

При достижении этой разности квадратов (4.48) длина спирали Кундалини достигает суммы квадратов и составит величину в 18,5 оборотов спирали  $L_k$ :

$$L_k = 3,5^2 + 2,5^2 = 18 + \left( 0,5 \equiv \frac{\omega_0}{c} \equiv \frac{1}{2} \equiv \int_0^1 \varphi d\varphi \right), \quad (4.49)$$

где 18 - эквивалент молекулярному весу воды и вода (жидкая среда) позволяет Кундалини выразить себя полностью и создать Живое в Живой воде.

**Мёртвая вода появляется там, где колебания Космоса в воде направлены от Гармонии к Хаосу:**

$$M_{H_2O} + \int_1^0 \varphi d\varphi \equiv 18 - 0,5 = 17,5. \quad (4.50)$$

**Но Хаос мёртвой воды исчезает при наличии пятеричной связи**, которая трансформирует мёртвую воду в расширяющуюся ветвь божественной Кундалини:

$$17,5 : 5 = 3,5. \quad (4.51)$$

Пользуясь этим свойством пятеричной связи, медитирующий выводит омертвевшие шлаки из своего живого организма.

\*  
\*\*

**Число Сатаны - 666 и молекулярный вес воды взаимосвязаны.**

В воде, как и в любых иных средах, свет пульсирует в пределах величин поверхностных потенциалов от 6 до 36.

В соответствии с этой пульсацией формируются энергетические слои квантов света: пять энергетических уровней в поле с поверхностью шесть и тридцать пять уровней в поле с поверхностью 36.

Потенциалы этих полей можно определить как суммы арифметических прогрессий из 6 и 36 членов:

Пульсирующий свет и его потенциалы			(4.52)
Поля	Полярные вихри	Внутренние	
Поверхность 6	$\Sigma_6 = \frac{1+6}{2} \cdot 6 = \pm 21$	$\pm(21 - 6 = 15)$	
Поверхность 36	$\Sigma_{36} = \frac{1+36}{2} \cdot 36 = \pm 666$	$\pm(666 - 36 = 630)$ геномы.	

**В резонансном потоке Арупы-Рупы с продолжительностью  $T_0 \cdot \tau = 12$  полярные вихри кванта с поверхностью 6 создают пальму и электро-гравитационные заряды-импульсы (4.52):**

$$\frac{\Sigma_6}{T_0 \tau} = \pm \frac{21}{12} = \pm \frac{7}{4} = \pm \frac{\rho}{q} = \pm \frac{\rho^*}{q^*} = \pm \sqrt{\frac{\rho \rho^*}{q q^*}} = \dots \quad (4.53)$$

Во внутреннем поле кванта с поверхностью шесть формируется **электромагнитное антирезонансное поле**:

$$\pm(21 - 6) \equiv [(\sqrt{q q^*} = 16) + (\sqrt{\mu \mu^*} = 14)] \cdot \left( \pm \int_0^1 \varphi d\varphi \right). \quad (4.54)$$

После достижения квантом поверхностного потенциала, равного 36, полярные вихри этого кванта имеют потенциал, равный 666, то есть равный Числу Сатаны (4.52).

Внутреннее поле этого кванта имеет потенциал, **кратный потенциалу генома 63** (рис.1.2):



$$666 - 36 = 630 \equiv \rho_5 \cdot 63 = \rho_5 \int_{\sqrt{2}}^{8\sqrt{2}} \varphi d\varphi,$$

и связанный с пропорциями великой Пирамиды (рис.2.4, табл.2.14).

Отношение потенциалов внутренних полей квантов света **формирует 42 Божества твоего сердца:**

$$\frac{666 - 36}{21 - 6} = \frac{630}{15} = 42. \quad (4.55)$$

Однако **эволюционные процессы** в решающей мере **зависят от среды**, в которую попадают полярные вихри света. Например, от воды (с молекулярным весом 18), в которую попадает вихрь с потенциалом 666 и который начинает пульсировать в воде:

<b>Полярный вихрь с потенциалом 666 в воде (<math>M_{H_2O} = 18</math>)</b>	
Вода вне колебаний Космоса	Вода с учётом колебаний Космоса
$\frac{666}{M_{H_2O}} = \frac{666}{18} = 37$	$\frac{666}{18 + \int_0^1 \varphi d\varphi} = \frac{666}{18 - \int_1^0 \varphi d\varphi} = \frac{666}{18,5} = 36.$

(4.56)

Периодически наступающее равновесие между пульсацией Хаос - Гармония Космоса приводит к пульсации с определяющим потенциалом 37 (4.56).

В среде с потенциалом 37 геномы гибнут, так как

$$(666 - 37 = 629) \neq (630 = 666 - 36), \quad (4.57)$$

а великая Цивилизация предупреждает: **666 - Число Сатаны!** Но причём здесь вся мерзость мистерий сатанистов? Она **не от ума, а от распущенности ума.**

Вдумчивый подход подсказывает, что полярные вихри возмущают среду, периодически придавая ей свойства то живой, то мёртвой воды:

Пульсация света		$372 - 362 = 37 + 36 = 37 + 17,5 + 18,5$
Свойства воды	Живая	$18 + \int_0^1 \varphi d\varphi = 18 + 0,5 = 18,5$
	Мёртвая	$18 + \int_1^0 \varphi d\varphi = 18 - 0,5 = 17,5.$

(4.55)

И как бы не сатанели узкоголовые, пульсация света в воде будет протекать между её берегами: **живым и мёртвым**, а нам надо знать, **Что** пить, с **Кем** пить, **Когда** пить.

**Эволюция делит нас на живых и мёртвых**, и нам не помогут ни мистические шестёрки, ни острые кинжалы во имя Сатаны, нам, то есть роду человеческому, **помогут Знания**.

Краеугольным камнем **спасительных Знаний** являются **Знания динамики пульсации света в окружающих средах**, например в воде (4.55):

$$M_{H_2O} \equiv [18,5^2 - 17,5^2 = 18,5 + 17,5 = 36] \cdot \left( \pm \int_0^1 \varphi d\varphi \right) = \pm 18, \quad (4.56)$$

где вода повторяет свойства Кундалини:

$$Кундалини \equiv [3,5^2 - 2,5^2 = 3,5 + 2,5 = 6] \cdot \left( \pm \int_0^1 \varphi d\varphi \right) = \pm 3, \quad (4.57)$$

и наши души вновь отправляются по маршруту Арупа - Рупа - Арупа, переходя уровни Продолжительностей.

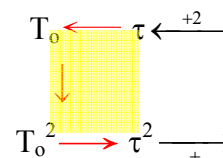
## 4.8 Энергетические Реалии 108 реинкарнаций по Буддизму: зарождение спектра света

Пульсация белого солнечно-люминесцентного света в конечном счёте протекает между Арупой (**Корнем**) и Рупой (**Сгустком**), и ветер Тонкой Энергии Арупы, пройдя Сгустки вновь возвращается в Арупу.

Энергетику этого извечного цикла Арупа - Рупа можно рассчитать, зная, что в Едином Космосе Тонкой Энергии Арупы имеется  $2/3$  от Энергии Единого Космоса, а пульсация между Арупой и Рупой протекает в резонансно-антирезонансном режиме (табл.4.12).

Таблица 4.12

**Замкнутый цикл тонкоэнергетических переходов  
(цикл реинкарнации)**

Параметры	Режим пульсации	Цикл (табл.4.9)		Тонкая Энергия: $k = 2/3$
		Рупа	Арупа	
Антирезонанс (Цинь)	$\tau + T_0 + T_0^2 + \tau^2 =$ $k_1 = 32$	 <p style="text-align: center;">Односторонне движение</p>		$k\tau = \frac{2}{3} \cdot 3 = 2$
Резонанс	$\tau \cdot T_0 \cdot T_0^2 \cdot \tau^2 =$ $k_2 = 12^3$			$\tau^2 \cdot k_3 = 27 \cdot 18$
Приведённый	$k_3 = \frac{12^3}{32} = 54$ $3 \cdot 18$			Отношение $\frac{27 \cdot 18}{2} = 3^5 = \tau^5$

Задачей каждого из нас в процессе одного реинкарнационного цикла состоит в том, чтобы увеличить свою Интеллектуальную тонкоэнергетическую Сущность от  $\tau$  до  $\tau^5$ .

Достижение таких показателей (табл.4.12) возможно, если двигаться в потоке солнечно-люминесцентного света (табл.4.10, табл.4.11), как НЛО, **используя энергетические потоки Космоса.**

В случае максимального использования вихрей Космоса цикл колебаний Продолжительностей (табл.4.12) должен включать потенциалы, данные в табл.4.10, табл.4.11.

Возникает неравновесная энергетическая система (рис.4.2):

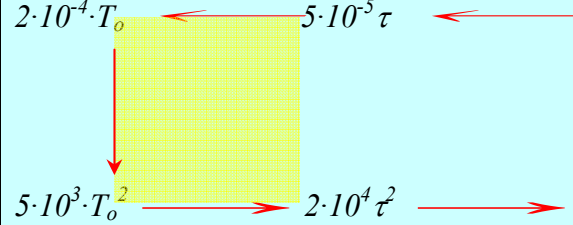
Руна	Арупа	Корень
$2 \cdot 10^{-4} \cdot T_o$  $5 \cdot 10^3 \cdot T_o^2$ <i>Процесс в одном направлении</i>	$5 \cdot 10^{-5} \tau$ $2 \cdot 10^4 \tau^2$	$E \cdot \int_0^1 \varphi d\varphi \cdot \int_1^2 \varphi d\varphi =$ $2 \cdot 10^{-4} \tau \cdot 5 \cdot 10^{-5} T_o \times$ $5 \cdot 10^3 \cdot T_o^2 \cdot 2 \cdot 10^4 \tau^2 \left( -\frac{1}{4} \right) \equiv$ <i>-108 реинкарнаций.</i>

Рис.4.2 Реалии 108 реинкарнаций по Буддизму

Цикл реинкарнаций универсален как любая волна: на входе-выходе и в Арупе, и в Рупе возникают равновесные состояния (рис.4.2):

$$5 \cdot 10^{-5} \cdot \tau \cdot 2 \cdot 10^4 \cdot \tau^2 = \tau \cdot \tau^2 = \tau^3 = 27 \quad (4.58)$$

и

$$2 \cdot 10^{-4} \cdot T_o \cdot 5 \cdot 10^3 \cdot T_o^2 = T_o \cdot T_o^3 = T_o^4 = 16^2 \equiv qq^*, \quad (4.59)$$

**нарушаемых дыханием незнающих себя [1], то есть Продолжительностями в полях Арупы - Рупы.**

В этих же полях (рис.4.2) переход от Арупы к Рупе и от Рупы к Арупе:

$$5 \cdot 10^{-5} \cdot \tau \cdot 2 \cdot 10^{-4} \cdot T_0 = 12 \cdot 10^{-8}; \quad (4.60)$$

и

$$5 \cdot 10^3 \cdot T_0^2 \cdot 2 \cdot 10^4 \cdot \tau^2 = 12^2 \cdot 10^8, \quad (4.61)$$

даёт возможность сопоставить этапы перехода (4.58÷4.61):

$$27 \cdot 16^2 \cdot 12 \cdot 10^{-8} \cdot 12 \cdot 10^{+8} = 3^5 \cdot \sqrt{2}^{24} = 35 \cdot 2^{48/4}, \quad (4.62)$$

где полученный результат может быть соотнесён с **квадратом объёма великой Пирамиды**, равного

$$V_{II}^2 = \left( \frac{1}{3} \cdot 8 \cdot 2^{7/4} \right)^2 = \frac{1}{3^2} \cdot 2^{38/4}. \quad (4.63)$$

**Показатели степени соотношения** (4.62) к (4.63):

$$3^5 \cdot 2^{48/4} : \left( V_{II}^2 = \frac{1}{3^2} \cdot 2^{38/4} \right) = 3^7 \cdot 2^{2,5}, \quad (4.64)$$

**характеризуют Кундалини**, которая проявляет себя в полях равновесных логарифмических колебаний (4.64):

$$3^7 \cdot 2^{2,5} \Leftrightarrow \log_3 3^7 + \log_2 2^{2,5} = 7 + 2,5 =$$

$$3,5 + 2,5 + 2,5 = 3,5 + 5. \quad (4.65)$$

Понимания именно этого перехода (4.65) добивался от нас Иисус Христос, диктуя Откровения Иоанну.

С этого момента **возникает пятеричная связь Кундалини** (4.65) и появляется фиолетовая волна длиной

$$\lambda \equiv 5 \cdot \rho_5^2 \cdot T_0^2 \left( \pm \int_0^1 \varphi d\varphi \right) \equiv 4000 \equiv 4000 \text{Å}.$$

Начинается возникновение спектра белого света.  
**Возрастает спираль Кундалини (4.65):**

$$\text{Кундалини} \equiv 3,5 \cdot \rho_5^2 \cdot T_0^2 \left( \pm \int_0^1 \varphi d\varphi \right) \equiv 2800. \quad (4.66)$$

**Возникает гравитация**, базисом которой является  
сумма спектральных разностей волн (2.90):

$$\begin{aligned} 2800 &\equiv \Delta K + \Delta O + \Delta Ж + \Delta ЖЗ + \Delta З + \Delta Г = \\ &1400 + 380 + 70 + 2500 + 400 + 300. \end{aligned} \quad (4.67)$$

И в то же время спектр света (табл.4.9) чутко реагирует на расширение Вселенной:

$$\begin{aligned} 800 &\equiv \pm T_0^2 \int_0^1 \varphi d\varphi \cdot \rho_5^2 = \pm 16 \cdot \frac{1}{2} \cdot 100 \equiv \\ \Delta C + \Delta \Phi &\equiv 300 \text{Å} + 500 \text{Å} = 800 \text{Å}. \end{aligned} \quad (4.68)$$

## 4.9 Фиолетовая энергия связи и взаимодействия

**Сгустки Единого Космоса существуют только при наличии пятеричной Энергии Связи (Пятеричный Лха [1]).**

Пятеричная связь возникает при резонансной периодичности, охватывающей Весь Космос:

<b>Пятеричный Лха [1]</b>
$\sqrt{13^2 - T_0^2 \tau^2} \equiv \mathbf{5} \equiv \sqrt{T_0^2 - \tau^2}$

(4.69)

В Едином Космосе пятеричную связь (Дробь Дзиан) создаёт сама пульсация Космоса:

Пятеричный Лха			(4.70)
Изомерия	Цис	Транс	
Потенциал	$\int_0^1 \varphi d\varphi = \mathbf{0,5}$	$\int_1^0 \varphi d\varphi = \mathbf{-0,5}.$	

В спектре солнечно-люминесцентного белого света пятеричная связь реализует себя путём создания фиолетовой области спектра с разностью длин волн кратной Пяти:

Фиолетовый Пятеричный Лха (табл.4.9)			(4.71)
Термия	Солнечная	Люминесцентная	
Величины	$\Delta\Phi = 500\text{\AA} \equiv \mathbf{5}\rho_5^2$	$\Delta\phi = \pm 0,05\text{\AA} \equiv \mathbf{5}\rho_2^2.$	

Пульсация фиолетового пятеричного Лха делит его полам. Возникает желто-зелёный спектр, то есть желто-зелёный Лха:

Желто-зелёный Пятеричный Лха (табл.4.9)			(4.72)
Термия	Солнечная	Люминесцентная	
Потенциалы	$\Delta\Phi \left( \pm \int_0^1 \varphi d\varphi \right) = \pm 250\text{\AA} \equiv \pm \mathbf{5}^2 \rho_5$	$\Delta\phi \left( \pm \int_1^0 \varphi d\varphi \right) = \pm 0,025\text{\AA} \equiv \mp \mathbf{5}^2 \rho_2^3.$	

Пульсация фиолетовой и желто-зелёной спектральных областей (**Лхасы** [1]) имеет фундаментальное значение: **происходит деление Единого Космоса на Тонкую Энергию** (2/3 частей от Космоса) и **Энергию Материи** (1/3 части от Космоса).

Нашей Цивилизации деление 2:1 известно как соотношение потенциальной и кинетической энергии

$$(mv^2 : \frac{1}{2}mv^2 = 2:1).$$

Это же соотношение остаётся справедливым при сопоставлении энергии и силы:

Свет		Силы вне света	
Энергия	Сила	Тяготения	Кулона
$E = mc^2 = m\pi^2$	$F = m\omega_0 = m\pi^2/2$	$\pi^2/2 = qh = \text{Const}$	$m\pi^2/2 = e \cdot e/r^2$

(4.73)

где  $q$  - ускорение свободного падения,

$h$  - высота падения,

$\pm e$  - разноимённые заряды,

$r^2$  - квадрат расстояния между зарядами, являющийся эквивалентом поверхностной волны ( $\lambda^2 \equiv r^2$ ) между зарядами.

\*  
\*\*

**Потенциал любой силы является подобием сил центробежно-центростремительных ускорений в пульсирующем поле света (4.73).**



<b>Электромагнито-гравитационные силы в поле света</b>				
Силы	Света	Электрическая	Магнитная	Гравитационная
Потенциалы	$F \equiv m_c E_\lambda \omega_0 c = \frac{1}{2} \equiv \frac{\sqrt{q q^*} = 16}{\lambda_1^2} \lambda_1^2$ $\frac{1}{\pi^2} \cdot \frac{\pi^2}{2} = \frac{1}{2}$	$\frac{1}{2} \equiv \frac{\sqrt{q q^*} = 16}{\lambda_1^2} \lambda_1^2$ $= 32$	$\frac{1}{2} \equiv \frac{\sqrt{\mu \mu^*} = 14}{\lambda_2^2} \lambda_2^2$ $\lambda_2^2 = 28$	$\frac{1}{2} \equiv \frac{\sqrt{\mu \mu^*} = 14}{\lambda_2^2} \lambda_2^2 =$ $28.$

(4.74)

Каждая из этих сил (4.74) находит индивидуальную реализацию, как в сгустках масс, так и в области спектральных волн.

В полях сгустков масс сила света (4.74) формирует спин - вращение масс вокруг собственной оси (S):

$$\text{Спин } S \equiv (F \equiv m_c E_\lambda \omega_0 c = \frac{1}{2}). \quad (4.75)$$

В области спектральных волн магнитная волна в красной области спектра создаёт гравитационный потенциал (или потенциал суммы первой группы геномов), равный 280, а в белой области *увеличивает* этот потенциал до 720 (табл.4.9, клетки 11 и 19).

Разность в этих красно-белых переходах:

$$720 - 280 = 440 \quad (4.76)$$

связывает спектр света с 22 мифологическими зубами Авраама - идолом информатики [3] и с субструктурой (9+2) митоза биологической клетки.

\*\*

В **желто-зелёной области спектра света** Пятёричный Лха приобретает потенциал, равный 50 (табл.4.9, клетка 14).

Иудаизм обожествил (Тора) этот потенциал как Бога АЙН СОФ [3], но сущности энергетического процесса обожествления Числа не вскрыто, хотя в Книге Перемен есть указание на то, что небеса-Цинь пульсируют с частотой, равной 50.

Сейчас, исходя из анализа спектра света, я могу констатировать следующее:

1. Небеса-Цинь с потенциалом 32 формирует **электрическая поверхностная волна** (4.74).

2. Частота пульсации цис-транс изомерических Цинь определяется антирезонансом поверхностных электрической и магнитной волн (табл.4.9, 4.74).

$$32 + 28 = 50 \equiv \text{Айн СОФ.} \quad (4.77)$$

3. Айн СОФ [3] имеет своего люминесцентного двойника, пульсирующего с частотой в  $10^4$  раз большей, чем солнечный свет:

Электромагнитная пульсация Небес-Цинь		
Термия	Солнечная	Люминесцентная
Частоты	50	$50 \cdot 10^4$
Резонанс	$50 \cdot 50 \cdot 10^4 = 5^2 \cdot 10^6$ . Эффект Кирлиан.	

(4.78)

Распространение поверхностных солнечно-люминесцентных волн в окружающей среде формирует дальнораспространяющиеся электромагнитные и гравитационные взаимодействия (4.78):

Взаимосвязь электромагнитной пульсации и взаимодействий				
Ядерные взаимодействия	Электромагнитная среда	Эффект Кирлиан	Взаимодействия	
			Электромагнитное	Гравитационное
$\rho_4=10^{14}$	$T_0 \cdot 5^2 \cdot 10^6 \rightleftharpoons$ $\updownarrow$ $\rightleftharpoons 10^{-7}$	$5^2 \cdot 10^6$	$(5^2 \cdot 10^6)^2 \equiv$ $5^4 \cdot (10^{12} \equiv \rho_2)$	$5^8 \cdot \rho_3^{-2} \equiv$ $5^8 \cdot (\rho_1=10^{-24})$

(4.79)

Взаимосвязь взаимодействий и передачи информации на различных частотах (4.78, 4.79) позволяет утверждать: **любая информация есть взаимодействие Всего во Всём. Но для Носителя Разума Сущность информации раскрывается только после анализа причинно-следственных связей Единого Космоса.**

#### 4.10 Пятеричная связь в спектре света: календарь Майи

Пятеричная связь распространяется по всему спектру солнечного света, образуя поле с суммарным потенциалом, равным 1440 (табл.4.9):

Связь	Формирование резонансной Продолжительности									Сумма
	11	12	13	14	15	16	17	18	19	
солнечный	280	76	14	50	80	60	60	100	720	1440
люминесцентный	$3,5 : 2,5 + 4 \cdot 10^3 = 0,144$									0,1440.

(4.80)

Антирезонансные потенциалы в спектре белого солнечно-люминесцентного света в сумме приводят к продолжительностям (4.80):

Резонансные вихри света	
Солнечный	Люминесцентный
$1440 = 12^2 \cdot 10 \equiv (T_0 \cdot \tau)^2 \rho_5$	$0,144 = 12^2 \cdot 10^{-3} \equiv (T_0 \cdot \tau)^2 \rho_2^3$

(4.81)

В поле спектра света возникают резонансные вихри Арупы - Рупы (4.81). Попадая в поле с потенциалом:

$$7 = \frac{1^2 + 2^2 + 3^2 + 4^2 + 5^2 + 6^2 + 7^2 + 8^2 + 9^2 + 10^2}{1 + 2 + 3 + 4 + 5 + 6 + 7 + 8 + 9 + 10} = \frac{785}{55}, \quad (4.82)$$

они увеличивают свой потенциал до величины:

$$144550 \equiv \text{Бог Времени Кронос}, \quad (4.83)$$

которые древние греки обожествляли как Бога Времени по имени Кронос [5].

\*\*

Важнейшим моментом в поле люминесцентного белого света при появлении потенциала 0,1440 (4.80) является его расщепление на ветви Кундалини, и появление со-роковицы или Свабхават О с потенциалом  $4 \cdot 10^{-3}$ :

$$3,5 : 2,5 = 0,14 + 4 \cdot 10^{-3} = 0,1440 \equiv T_0^2 \cdot \tau^2 \cdot \rho_2^3. \quad (4.84)$$

\*\*

Частоты пульсации света в своём максимуме связаны с Периодичностью тринадцать:

$$(T_0 \cdot \tau)^2 + 1 \equiv 13^2 = 12^2 + 5^2 = 12^2 + 4^2 + 3^2, \quad (4.85)$$

мультиплетность которой охватывает весь Космос, его Арупу и Рупу.

В Продолжительности 13 свет трансформирует поступающий из метagalактики гравитационный заряд-импульс:

<b>Поглощение светом метagalактических волн</b>	(4.86)
$(\sqrt{\rho\rho^*} = 28) \cdot (T_0 \cdot \tau + 1 = 13) \equiv 364.$	

К этому эталону **Времени** (4.86) живое приспособилось уже на уровне биоклетки, создав в микротрубочке поры ядра клетки 13 субъединиц, и тем самым, снабдив **каждую клетку биочасами** (раздел 2.8).

Человечество сегодня также рассматривает возможность и эффективность **счисления Времени по календарю 13 Лун** [15].

Законы Времени (Продолжительности, - так как Времени нет. *В.С.Крикоров*) - это Открытие, сделанное совсем недавно на основе изучения математики и космологии календарной системы Майи.

Календарный год Майи состоит из 13 лунных месяцев по 28 дней, и был равен (4.86)

$$1 \text{ год} = 13 \cdot 28 = 364 \text{ дням.} \quad (4.87)$$

365 день года, приходящийся на 25 июля по григорианскому календарю назывался **День Вне Времени** и отмечался как **День Очищения, прощения и творчества. Праздник искусства и культуры** [15].

Каждый из 13 лунных месяцев носил собственное название, сравнивая которые со спектром света можно сказать, что европейско-христианская Конкиста уничтожила Величайшую Цивилизацию во Вселенной. После таких дел европейцем быть стыдно.

Вот названия месяцев:

1. Магнитная Луна (28 июля - 22 августа),
2. Лунная Луна (23 августа - 19 сентября),
3. Электрическая Луна (20 сентября - 17 октября),
4. Самосушая Луна (15 октября - 14 ноября),
5. Обертонная Луна (15 ноября - 12 декабря),
6. Ритмическая Луна (13 декабря - 9 января),
7. Резонансная Луна (10 января - 6 февраля),
8. Галактическая Луна (7 февраля - 6 марта),
9. Солнечная Луна (7 марта - 3 апреля),
10. Планетарная Луна (4 апреля - 1 мая),
11. Спектральная Луна (2 мая - 29 мая),
12. Кристаллическая Луна (30 мая - 26 июня),
13. Космическая Луна (27 июня - 24 июля).

\*\*

Каждый день недели и каждая неделя календаря Майи связаны с определённой спектральной областью, что отражается в названии (4.88).

Структура месяца по календарю Майи							
ПТ.	СБ.	ВС.	ПН.	ВТ.	СР.	ЧТ.	
1 26.07 Кин49	2 Кин50	3 Кин51	4 Кин52	5 Кин53	6 Кин54	7 Кин55	Красная неделя
8 Кин56	9 Кин57	10 Кин58	11 Кин59	12 Кин60	13 Кин61	14 Кин62	Белая неделя
15 Кин63	16 Кин64	17 Кин65	18 Кин66	19 Кин67	20 Кин68	21 Кин69	Синяя неделя
22 Кин70	23 Кин71	24 Кин72	25 Кин73	26 Кин74	27 Кин75	28 Кин76	Желтая неделя
желтая	красная	белая	синяя	желтая	красная	белая.	

(4.88)

Каждый день своего **Календаря** Майи называли **Кином** и обозначали энергетический потенциал дня.

Так начало года, то есть 26.07 Майи называли **Кином49**, то есть связывали начало года с потенциалом оболочки, равным  $7^2$  (4.88).

Этот ряд дней (**Кинов**) **под оболочкой** продолжается до **Кина260** или до 22.02.

23 февраля (в день моего рождения) начинается новый ряд Кинов - Дней [15].

23 февраля Майи называли **Красным Магнитным Драконом**.

Этот новый ряд Дней - Кинов заканчивался 24.07 Кином152, названный **Желтым Солнечным Человеком** [15].

Разность между двумя последними Кинами, то есть

$$\text{Кин260} - \text{Кин152} = 260 - 152 = 108, \quad (4.89)$$

точно соответствует числу реинкарнаций по Буддизму, а штрихпунктирная запись потенциалов дней [15] аналогична записи изменений - Перемен в великой Книге Перемен.

В целом календарь Майи, как и Книга Перемен, описывал изменения от Оболочки до Человека, живущего в поле фотосинтеза света.

\*\*

Всемирное Движение за переход на Календарь 13 Лун во имя Мира [15] совершенно справедливо отмечает, что использование нерегулярных (ныне действующих) календарей создаёт частоту, которой нет в Природе, и тем губит Социум Земли.

## 4.11 Жёлтая оболочка и два ряда дней в году Календаря Майи

В спектре света самой короткой разностью длин волн обладает жёлтая область, где  $\Delta\mathcal{J} = 70\text{Å}$ . Это разность линейной бегущей волны.

Формирование поверхностной жёлтой волны должно увеличивать жёлтую разность до квадрата первоначальной величины, а затем слабые взаимодействия и свет искривят жёлтую поверхностную волну и сформируют жёлтую оболочку (рис.4.9, [15]).

Формирование жёлтой оболочки: Кин49. 26.07		
Жёлтая разность длин волн		Искривление поверхности светом до поверхности сферы с R = 2
линейная	поверхностная	
$\Delta\mathcal{J} = 70\text{\AA}$	$\Delta\mathcal{J}^2 = 49\cdot 10^2\text{\AA}^2$	$\frac{\Delta\mathcal{J}^2 \cdot \rho_2^2 \cdot T_0^3}{m_c + E_\lambda} \cdot \int_0^1 \varphi d\varphi$ $= 16\pi = \Delta\mathcal{J}^2.$

(4.90)

В ходе искривления поверхность жёлтой волны светом возникает жёлтая сферическая поверхность с радиусом  $R = 2$  (4.90):

$$[Q = 4\pi \cdot (R=2)^2 = 16\pi] \cdot \Delta\mathcal{J}^2. \quad (4.91)$$

В жёлтую пятницу по календарю 13 Лун, то есть 26.07 по григорианскому календарю, возникает **Кин49** или первый день года в поле **красно-планетарной Луны** [15].

\*\*

В жёлтом поле под оболочкой имеют место быть два дискретных потенциала 14 и 10 (табл.4.9).



Под жёлтой оболочкой Кин49 начинается резонансно-антирезонансная пульсация волн с потенциалами 10 и 14 (табл.4.13).

Таблица 4.13

**Резонансно-антирезонансная пульсация  
под жёлтой оболочкой (табл.4.9, Кин49 [15])**

Режим	Антирезонанс		Резонанс		
Сумма	Разность	Разность квадратов	Частное	Произведение	Частное
14+10= 24 ↔	14-10= 4 ↔	14 <sup>2</sup> -10 <sup>2</sup> = 96	14/10= 1,4 ↔	14·10=5·28 140 ↔	10/14= 5/7
Митоз	$\frac{140}{96} \Leftrightarrow \frac{7}{5} \text{ и } 140 \cdot 5 - 96 \cdot 7 = 22 \equiv 2(9+2)$ Двадцать два зуба Авраама [3]: информатика.				

Решающую роль в жёлтом поле при резонансе играет появление 3,5 витков Кундалини при расширении и 2,5 витков при сжатии (табл.4.13):

$$\left( \frac{3,5}{2,5} \equiv \frac{7}{5} \equiv 1,4 \right) \cdot \rho_s^2 = 140 \equiv \text{Кундалини} . \quad (4.92)$$

Общая ветвь Кундалини (оболочки света) появляется в условиях антирезонанса (табл.4.13):

$$\frac{14+10}{14-10} = \frac{24}{4} = \frac{96}{4^2} = 6 = 3,5 + 2,5 = \dots \quad (4.93)$$

Под жёлтой оболочкой Кин49 формируется гравитационно-магнитное поле, объединённое пятеричной связью:

$$\mathbf{5} = \frac{1^2 + 2^2 + 3^2 + 4^2 + 5^2 + 6^2 + 7^2}{1 + 2 + 3 + 4 + 5 + 6 + 7} = \frac{140}{28} \equiv \frac{10\sqrt{\mu\mu^*} \text{Магнетизм}}{\sqrt{\rho\rho^*} \text{Гравитация}} . \quad (4.94)$$

Начиная с **Кина49** (26.07) и кончая **Кином260** (22.02), то есть на протяжении  $211 = 260 - 49$  дней календарь Майи последовательно, как ряд целых чисел отсчитывает Дни - Кины [15].

Такая последовательность изменения течения Времени (интервалов Продолжительности. *В.С.Крикоров*) по календарю Майи становится понятной, если мы подсчитаем суммы дискретных состояний в сине-голубой области спектра белого света (табл.4.9, табл.4.14).

Таблица 4.14

**Сумма дискретных состояний  
в спектре белого света (табл.4.9)**

Цвет	Крас- ный	Оран- же- вый	Жел- тый	Желто- зелё- ный	Зелё- ный	Голу- бой	Си- ний	Фио- лето- вый	Белый
$\tau = 3$						1 100	2 100		3 1200
$T_o = 4$	4 350	5 95			6 100	7 75	8 75	9 125	10 900
$\sqrt{T_o^2 - \tau^2} = 5$	11 280	12 76	13 14	14 50	15 80	16 60	17 60	18 100	19 720
$T_o + \tau = 7$	20 20		21 10						
$T_o \cdot \tau = 12$						22 25	23 25		24 300
$T_o \cdot \sqrt{T_o^2 - \tau^2} = 20$	25 70								26 180
$T_o \cdot (T_o + \tau) = 28$	27 50								
$T_o^2 = 16$									28 225
$\tau^2 = 9$									29 400
суммы	950	171	24	50	180	260	260	225	3925.

В сине-голубой области спектра суммарные потенциалы достигают величины 260 (табл.4.14), то есть становятся эквивалентами Кин260.

Вместе с тем календарь Майи учитывал цис-транс сине-голубую изомерию, где два разнонаправленных потока достигнув максимального потенциала, равного 260, начинают нейтрализовать друг друга:

Сине-голубая изомерия				
Цвет	Голубая		Синяя	Результат
Потенциал	260	+	-260	= 0

(4.95)

Появление ноль - потенциала не означает появление вакуума и исчезновение энергии, а наоборот говорит о том, что сине-голубая область спектра света насытилась и в этом поле насыщения начинаются взаимодействия.

\*  
\*\*

Первый **Кин1 (Красный магнитный дракон)** появляется 23 февраля и заканчивается 24 июля Кином152 формированием жёлто-солнечного Человека.

Этот ряд дней - Кинов от 1 до 152 удивительным образом согласуется с последним разделом Евангелия от Иоанна. Напомню содержание.

Третий раз после Распятия и Воскресения Иисус является Своим Апостолам, когда они ловили рыбу. Улова не было. Иисус посоветовал забросить сеть с другого борта лодки. Забросили и поймали 153 крупные рыбы.

Этот вариант я уже подробно описывал во Введении в Теорию Единого Космоса, где 153 рыбы, делённые на три явления Христа Апостолам, приводили к логарифму взаимодействий:

$$\frac{153 \text{ рыбы}}{3 \text{ явления}} = 51 \equiv \lg \left( \frac{\rho_3 \rho_4}{\rho_1 \rho_2} \equiv \frac{10^{12} \cdot 10^{14}}{10^{-24} \cdot 10^{-1}} \right). \quad (4.96)$$

В случае с календарём Майи мы имеем дело с аналогией рыбам:

$$\frac{K_{ин1} + K_{ин152}}{\tau} = \frac{1 + 15^2}{3} = 51 \equiv \lg \frac{\rho_3 \rho_4}{\rho_1 \rho_2} = \lg 10^{51}. \quad (4.97)$$

Календарь Майи ещё раз подчёркивает, что великая Цивилизация (наш Создатель) с одинаковым вниманием относится ко всем племенам и народам, населяющим нашу Мать-Землю.

\*\*

Идея календаря Майи гениально проста: календарь отсчитывает периодичности в поле Рупы, эквивалентом которых является сумма:

$$T_0^2 + \rho_2^2 \cdot (\Delta C + \Delta \Gamma) = 16,0 + 0,6 = 16,6, \quad (4.98)$$

где 0,6 - эквивалент Кундалини.

Общая Продолжительность в поле спектра белого света будет равна (табл.4.14):

Число дней в году по календарю Майи		(4.99)
Сумма (табл.4.14)	$K=950+171+24+50+180+260+260+225+3925$ $= 6045$	
Число дней в году (4.98)	$1 \text{ год} \equiv \frac{K}{T_0^2 + 0,6} \equiv \frac{6045}{16,6} = (364+0,1566265) \text{ дней}$	
День вне Времени	$0,1566265 \times 6,4 \approx 1.$	

#### **4.12 Энергетика искривлено-неискривлённого Пространства: первые три месяца Календаря Майи**

Каждая биоклетка отсчитывает Продолжительности в ритме календаря 13 лун цивилизации Майи. Но если мы резко меняем часовые пояса, то чувствуем недомогание до тех пор, пока не пройдёт акклиматизация и ход наших биочасов не войдёт в ритм пульсации окружающей среды.

Такое состояние отклонения от ритма биочасов клеток, в конечном счете, связано с маятниковым эффектом в спектре света.

**Резкая смена часовых поясов - это физическая форма маятникового эффекта, вызывающая физиологическое недомогание.**

Но физиологическое недомогание может быть вызвано **психическими факторами**, например отсчётом бесконечной череды Продолжительностей по календарям, отличным от календаря 13 лун. Таких календарей много, а мы привыкаем к ним как к **хроническим болезням** и уже не считаем эти отклонения за болезнь.

Однако болезнь, хотя и **скрытая от нашего Сознания на уровне Подсознания остаётся болезнью** и поэтому **Учение Нового Времени, связанное с переходом на 13 лунный календарь, остаётся актуальным**, как актуальны цели этого Учения: Единое Время, Единая Земля, Единый Народ.

\*  
\*\*

Спектр света - это **энергетическое поле**, в котором энергетические формы Тонкой Энергии и Энергии Материи **взаимотрансформируются и в поле Рупы (Сгустка) возникает Форма Пространства.**

Формы Пространства возникают там и тогда, где и когда есть **переход от продолжительностей Арупы к Продолжительностям Рупы** (табл.4.15).

Таблица 4.15

**Формирование в Рупе  
искривлено - неискривлённого Пространства**

Пространство	Переход от Арупы к Рупе	Среда	Формы Пространства
Искривлённое	$\tau \rightarrow T_o^3 \equiv$ Тянь $\equiv 64$	$m_c + E_\lambda =$ $2/\pi = 1/\omega_o$	Шар с $R=2$ $V_{ш} = \frac{T_o}{\tau} \frac{T_o^2}{m_c + E_\lambda} \equiv$ $\frac{4}{3} \pi \cdot (R=2)^3$
Не искривлённое	$\tau \rightarrow T_o^2$	$\sqrt{\sin \pi/4} =$ $2^{-1/4}$	Великая Пирамида: $V_{п} = \frac{T_o^2}{\tau} \sqrt{\sin \pi/4} =$ $\frac{1}{3} 8 \cdot 2^{7/4} = \frac{1}{3} a^2 H.$

Энергетические поля солнечного и люминесцентного света сгущаются, и так как бегущие волны люминесцентного света в  $10^4$  раз короче солнечных, то поверхностные и объёмные волны будут короче соответственно в  $(10^4)^2$  и  $(10^4)^3$  раз (табл.4.15):

Волны	Бегущая	Поверхностная		Объёмная	
Солнечная	$\lambda$	$\lambda^2$	$V_{п}$	$\lambda^3$	$V_{ш}$
Люминесцентная	$10^4 \lambda$	$10^8 \lambda^2$	$10^8 V_{п}$	$10^{16} \lambda^3$	$10^{16} V_{ш}$
Примечание	Соотношение справедливо и для $\Delta\lambda$	Пирамида - пример поверхностных волн, так как возникает при $T_o^2$ (табл.4.9)		Шар - пример объёмных волн, так как возникает при $T_o^3$ или Тянь (табл.4.9).	

(4.100)

Увеличение степеней в поле люминесцентных волн составляет величину, равную 28:

$$4 + 8 + 16 = 28 \equiv \sqrt{\rho\rho^*}. \quad (4.101)$$

Это поле логарифмических колебаний (4.101) находится в пульсирующем Космосе:

$$28 \cdot \left( \pm \int_0^1 \varphi d\varphi = \pm \frac{1}{2} \right) = \pm 14 \equiv \pm \sqrt{\mu\mu^*}. \quad (4.102)$$

С магнитных логарифмических колебаний (4.102) и начинается **СЧИСЛЕНИЕ МЕСЯЦЕВ** в тринадцати лунном календаре Майи.

Этот месяц Майи называли **МАГНИТНАЯ ЛУНА** (с 26 июля по 22 августа). Это **красный** месяц, так как его потенциал кратен  $\Delta K = 1400\text{Å}$ .

Как любое иное магнитное поле, **поле магнитной луны** объединяет, то есть несёт **воссоединительные цели** [15].

\*\*

Увеличение продолжительности с 14 до 28, то есть переход от (4.102) к (4.101) влечёт за собой переход от магнитного поля к гравитационному. Но гравитационное поле с потенциалом 28 является эквивалентом числу 28 суток в лунном месяце. Поэтому Майи называли его точно [15]:

**Лунная Луна** (23 августа - 19 сентября)

Точно в соответствии со свойствами гравитационного поля определены цель (**вызов**) и функции (**принятие вызова**) этого месяца, а гравитационное поле Мысли ( $r^* = 28 \cdot 10^{20}$ ) решает именно эту цель своей функциональной направленностью.

В Едином Космосе гравитационно-магнитное поле не может существовать без электрического, как Мысль Носителя Разума не может существовать без Воображения, ибо триединство зарядов-импульсов Единого Космоса незыблемо:

Триединая связь Космоса					
Поля	Магнитное		Гравитационное		Электрическое
Импульсы	$m^*$	$\rightleftarrows$	$g^*$	$\rightleftarrows$	$q^*$
	$\updownarrow$		$\updownarrow$		$\updownarrow$
Заряды	$m$	$\rightleftarrows$	$g$	$\rightleftarrows$	$q$

(4.103)

В этой триединой связи (4.103) при состоявшейся реализации магнитного и гравитационного полей в месяцы **Магнитной Луны и Лунной Луны** следующим шагом должен был стать и стал месяц **Электрической Луны** (20 сентября - 17 октября) тринадцати лунного календаря Майи [15].

В поле **электрической луны** возникает пальма (Единица Счисления Строителей Пирамид) и **42 Божества твоего сердца**:

$$1_{пальма} \equiv \frac{\rho}{q} \equiv \frac{\rho^*}{q^*} \equiv \sqrt{\frac{\rho\rho^*}{qq^*}} \text{ и } 28+14 = 42, \quad (4.104)$$

где 14 - потенциал перехода между месяцами.

Хвастливая Христианская Конкиста, тупо твердя, **Авраам родил Исаака, Исаак родил Якова** и так далее, группируя еврейских предков по 14 колен, даже не заметила, что **Цивилизация Майи уже вышла с потенциалом 14 на новые рубежи Познания Космоса с позиции динамики летоисчисления**.

Целью месяца электрической луны стало **СЛУЖЕНИЕ**, а функцией **активное служение от души**.



## 4.13 Спектр света: базис тринадцати месяцев Календаря Майи

Каждый месяц календаря Цивилизации Майи имеет свой символ и связан с целью и функциями ([15], табл.4.15).

Таблица 4.16

### Солнечно-лунный Календарь Цивилизации Майи (13 Лун по 28 дней) [15]

№	Сим-вол	Название	Предназначение	Функции	Соответствие григорианскому календарю
1	•	Магнитная Луна	Цель	Воссоединение цели	26 июля 22 августа
2	• •	Лунная Луна	Вызов	Принятие вызова	23 августа 19 сентября
3	• • •	Электрическая Луна	Служение	Активное служение	20 сентября 17 октября
4	• • • •	Самосушая Луна	Форма	Определение Формы	18 октября 14 ноября
5	▬	Обертонная Луна	Сияние	Наделение силой веления	15 ноября 12 декабря
6	• ▬	Ритмическая Луна	Равенство	Установление равенства	13 декабря 9 января
7	• • ▬	Резонансная Луна	Само-настройка	Проведение самонастройки	10 января 6 февраля
8	• • • ▬	Галактическая Луна	Целостность	Моделирование целостности	7 февраля 6 марта
9	• • • • ▬	Солнечная Луна	Намерение	Осуществление намерений	7 марта 3 апреля
10	▬ ▬	Планетарная Луна	Проявление	Совершенствование проявления	4 апреля 1 мая
11	• ▬ ▬	Спектральная Луна	Освобождение	Отпускание освобожденных	2 мая 29 мая
12	• • ▬ ▬	Кристаллическая Луна	Сотрудничество	Посвящение сотрудничеству	30 мая 26 июня
13	• • • ▬ ▬	Космическая Луна	Присутствие	Превосхождение пределов	27 июня 24 июля
День вне Времени					25 июля.

\*  
\*\*

В первых четырёх месяцах (табл.4.16) символы (•), (••), (•••) и (••••) обозначают соответственно одну, две, три и четыре пальмы:

Первые четыре месяца в календаре Майи				
Название месяцев	Магнитная Луна	Лунная Луна	Электрическая Луна	Самосушущая Луна
Число пальм	• $\equiv \frac{7}{4}$	•• $= 2 \cdot \frac{7}{4} = \frac{7}{2}$	••• $= 3 \cdot \frac{7}{4}$	•••• $= 4 \cdot \frac{7}{4} = 7$
Потенциалы	$14 \equiv \sqrt{\mu\mu^*}$	$28 \equiv \sqrt{\rho\rho^*}$	$42 \equiv 6 \cdot 7$	$56 \equiv 8 \cdot 7$
Расширение Вселенной	$\text{Const} = 14: \frac{7}{4} = 28: \frac{7}{2} = 42: 3 \cdot \frac{7}{4} = 56: 7 = 8.$			

(4.105)

Месяц **Самосушей Луны** предопределяет окончание перехода между антирезонансным состоянием Рупы и Арупы:

$$\bullet\bullet\bullet\bullet \equiv 4 \cdot \frac{7}{4} = 7 \equiv T_0 + \tau. \quad (4.106)$$

В этом месяце достигается электромагнито-гравитационное динамическое равновесие зарядов-импульсов, как в поле света, так и в Космосе (4.105).

$$T_0 \frac{7}{4} \cdot T_0 \frac{c}{\omega_0} = 7 \cdot 8 = 56 \equiv (7\sqrt{qq^*} \equiv 8\sqrt{\mu\mu^*} \equiv 4\sqrt{\rho\rho^*} = 112) \cdot \left( \pm \int_0^1 \varphi d\varphi \right). \quad (4.107)$$

В полях **Света, Звука, Зарядов-Импульсов** возникает цис-транс изомерия (4.108).

Цис-транс изомерия Самосушей Луны (18.10÷14.11)			
Изомерия	Цис	Транс	Разность
Потенциалы	$112 \int_0^1 \varphi d\varphi = 56$	$112 \int_1^0 \varphi d\varphi = -56$	$56 - (-56) = 112$

(4.108)

Изомерия делит поле света в соответствии с законом расширения Вселенной (4.105), то есть на части с разностями длин волн, равными (табл.4.9):

$$800\text{\AA} \equiv \Delta\Phi + \Delta C = 500\text{\AA} + 300\text{\AA} \quad (4.109)$$

и

$$2800\text{\AA} \equiv \Delta K + \Delta O + \Delta J + \Delta J3 + \Delta 3 + \Delta G. \quad (4.110)$$

При таком делении (4.109, 4.110) граница раздела совпадает с разделом синей и голубой областей спектра и совпадает с длиной волны  $\lambda = 4800\text{\AA}$  (табл.4.9).

\*\*

Переход к пятому месяцу по 13 лунному Календарю Майи связан с увеличением потенциала 56 на 14 относительных магнитных единиц (4.105).

Возникает потенциал в 10 раз превышающий изначальную семеричность месяца **Самосушей Луны**, то есть  $T_0 + \tau = 7$ :

$$56 + 14 = 70 \equiv 10 \cdot (T_0 + \tau = 7) \equiv \rho_5 \cdot (T_0 + \tau). \quad (4.112)$$

С позиции физики возникает поле, в котором заряды-импульсы с периодичностью 7 трансформируются светом с эффективностью  $\rho_5 = 10$  (4.112).

С позиции периодических систем света, звука, запаха возникает десятикратно увеличенная тональность, например, звучание музыкальной гаммы. Поэтому Цивилизация Майи назвала пятый месяц своего календаря Обертонная Луна, имея в виду, что этот обертон охватывает все энергетические формы Единого Космоса, где в записи Майи штрих равен 70 (табл.4.16):

$$\text{—} \equiv 70. \quad (4.113)$$

\*  
\*\*


Возникновение энергетического обертонного поля совпадает с делением спектра на длины волн в  $800\text{\AA}$  и  $2800\text{\AA}$  (4.109, 4.110).

В поле с длиной волны  $2800\text{\AA}$  возникают 40 обертонных состояний:

$$\frac{2800\overset{\circ}{A}}{70\overset{\circ}{A}} = 40 \equiv \frac{\text{Сокровенная}}{\text{Сороковица}} \equiv \frac{\text{Свабхават О}}{10^4 \cdot 40} \quad (4.114)$$

Великая Цивилизация давала это отношение (4.114) **всем племенам на Земле, побуждая их приступить к изучению Космических Законов.** Однако племена дрались и молились, а затем... молились и дрались. Календарь Майи исключение (табл.4.17).

**Обертонные месяцы Календаря Майи**  
(4.113, табл.4.16)

№	Название	Символ	Потенциал	Примечание
5	Обертонная Луна	 Сияние	$70 \equiv \Delta\text{Ж}$	Обертонная семеричность
6	Ритмическая Луна	 Равенство	$70+140=210$ Вихри	Возникают полярные вихри $\pm 210$
7	Резонансная Луна	 Сонастройка	$210+140=350$ Кундалини	Кундалини расширяется в 100 раз. Происходит сонастройка
8	Галактическая Луна	 Целостность	$350+140=490$ Оболочка	Вселенная и её компоненты приобретают оболочки
9	Солнечная Луна	 Намерение	$490+140=630$ Геномы созрели	Подготовка к размножению.

Появление в обертонных месяцах потенциала перехода, равного  $+140$  (табл.4.17) связано с мультиплетностью волн длиной в  $2800\text{\AA}$  (4.110):

$$\pm\Delta K \equiv \pm 1400\text{\AA} \Leftrightarrow 71400\text{\AA} = 7(\Delta O + \Delta\text{Ж} + \Delta\text{ЖЗ} + \Delta\Gamma), \quad (4.115)$$

где происходит пульсация в условиях короткодействующих слабых взаимодействий:

$$\frac{1400\text{\AA}}{\rho_2} \Leftrightarrow -\frac{1400\text{\AA}}{\rho_2} \quad \text{и} \quad 140 \Leftrightarrow -140. \quad (4.116)$$

В поле этой (4.115, 4.116) цис-транс изомерической пульсации появляются **пятеричные гравитационно магнитные семеричные ряды связей**:

$$\pm 5 \equiv \frac{1^2 + 2^2 + 3^2 + 4^2 + 5^2 + 6^2 + 7^2}{1 + 2 + 3 + 4 + 5 + 6 + 7} \equiv \frac{140}{28} \equiv \frac{\rho_5 \sqrt{\mu \mu^*}}{\sqrt{\rho \rho^*}}. \quad (4.117)$$

Обертональные месяца (табл.4.17) и их электрические эквиваленты создают **Сияние Тонкой Энергии типа Яйца с Пентаграммой** [1], в котором возникает зародыш гравитации, то есть поля Рупы, имеющей Форму:

$$\frac{70 + 210 + 350 + 490 + 630}{5^4} \equiv \frac{1750}{5^4} \equiv 2,8 \approx e \equiv m_0. \quad (4.117)$$

Возникает **масса относительного покоя**, пульсация которой формирует **постоянные Тонкой Структуры  $1/\alpha$** :

$$\frac{1}{\alpha} = \frac{T_0 - 1 = 3}{T_0 + 1 = 5} (c = \pi) \cdot (m_0 = e)^{(c=\pi)} \equiv 137,0000021. \quad (4.118)$$

\*  
\*\*

Форма бытия массы относительного покоя ( $m_0 = e$ ) - это движение в Пространстве без затраты собственной энергии, то есть квантованное движение.

В метagalactic полях Невесомости масса относительного покоя может иметь множество форм движения, важнейшими из которых являются:

1. Равномерное прямолинейное движение частиц света ( $m_c = 1$ ) между двумя соседними полями гравитации.

Попадание масс относительного покоя в поля гравитации других масс искривляет их прямолинейную орбиту ( $m_c s j_o = 1 \cdot c \omega_o = \pi^2/2$ ) и сгущает небесные тела в пропорциях великой Пирамиды (рис.2.4, табл.2.14).

2. Вращение массы относительного покоя вокруг другой массы по так называемым кантованным орбитам, которые для атомов постулировал Нильс Бор. Но Н.Бор даже не подозревал, что **в основе квантованного вращения лежит свет:**

$$Const = \frac{m_c + E_\lambda}{m_c \cdot E_\lambda} \cdot r = \frac{2}{\pi} \cdot \pi^2 \cdot r = 2\pi \cdot r \dots \equiv 4\pi, \quad (4.119)$$

где  $r = 1, 2, 3, \dots$  ряд последовательных целых чисел.

3. Переход с орбиты на орбиту (или смена полюсов в поле ядерного вещества), когда нарушается равенство (4.119):

$$4\pi \neq m_o \frac{c^3}{\omega_o^2} = 4\pi \cdot e = 4\pi \cdot 2,8. \quad (4.120)$$

Гравитация и свет связаны между собой сжимающейся ветвью Кундалини в 2,5 оборота:

$$\frac{\Delta J = 70}{2,5} = 28 \quad \text{и} \quad \frac{\text{---} = 70}{2,5} = 28, \quad (4.121)$$

где **---** потенциал Обертонной Луны, равный 70 (табл.4.17), а роль сжатой ветви Кундалини играет разность длин волн в желто-зелёной области спектра света, равной  $\Delta J3 = 2500 \text{Å}$  (табл.4.9).

В спектре солнечно-люминесцентного белого света есть как минимум два центра зарождения гравитации: красно-фиолетовый и жёлтый-жёлто-зелёный (табл.4.18).

Таблица 4.18

**Желтый-желто-зелёный и красно-фиолетовый  
центры кристаллизации в спектре  
солнечно-люминесцентного белого света**

Форма света	Солнечный		Люминесцентный	
Гравитационный потенциал	$\frac{\Delta Ж}{\Delta ЖЗ} = \frac{70}{250} = 0,28$	$\frac{\Delta К}{\Delta \Phi} = \frac{1400}{500} = 2,8$	$\frac{\Delta ж}{\Delta жз} = \frac{0,007}{0,025} = 0,28$	$\frac{\Delta к}{\Delta \phi} = \frac{0,14}{0,5} = 2,8.$

Появление этих гравитационных зародышей (табл.4.18) увеличивает потенциал перехода, равный 140 (табл.4.17) вдвое и потенциал (**==**) Планетарной Луны становится равным 280 (табл.4.19).

Таблица 4.19

**Календарные месяцы Календаря Цивилизации Майя**

№	Название	Символ	Потенциал	Примечание
10	Планетарная Луна	<b>==</b> Проявление	280	Движение по законам Кеплера
11	Спектральная Луна	<b>•</b> <b>==</b> Освобождение	$280+140=420$	Сине-голубое излучение: $(T_0+\tau)(\Delta C+\Delta \Gamma) = 420$
12	Кристаллическая Луна	<b>••</b> <b>==</b> Сотрудничество	$420+140=560$	Гравитационно-электромагнитное равновесие (4.107)
13	Космическая Луна	<b>•••</b> <b>==</b> Присутствие	$560+140=700$	Связь типа: $\rho^*:700 = 4 \cdot 10^{20}.$
День вне Времени.				



После того как в спектре света появляются гравитационные зародыши (табл.4.18), они начинают вращаться по квантованным орбитам как планетарные структуры микро-макро Миров Единого космоса (табл.4.19):

1. В области **Планетарной Луны** преимущественной формой Движения будет движение по законам Кеплера.

Примечание: Ранее я подробно показывал связь формы волны с законами Кеплера:

Форма волны	Линейная	Поверхностная	Объёмная
Закон Кеплера	Первый	Второй	Третий.

(4.122)

2. В области **Спектральной Луны** происходит сине-голубое излучение небес-Цинь (табл.4.19):

$$(T_0 + \tau) \cdot (\Delta\Gamma + \Delta C) \equiv 7(300\text{\AA} + 300\text{\AA}) \cdot 10^{-1} \equiv 420. \quad (4.123)$$

В этом сине-голубом спектральном потоке улетают в Небеса и 42 Божества наших сердец, то есть наши души.

3. **Кристаллическая Луна**, имея потенциал 560, создаёт поле **сотрудничества**, то есть гравитационно-электромагнитного равновесия (табл.4.19):

$$560 = (7\sqrt{qq^*} \equiv 8\sqrt{\mu\mu^*} \equiv 4\sqrt{\rho\rho^*}) \cdot (\rho_5 = 10) \cdot \left( \pm \int_0^1 \varphi d\varphi = \pm \frac{1}{2} \right). \quad (4.124)$$

4. **Космическая Луна**, достигая потенциала, равного 700 (табл.4.19), создаёт основу Единого Космоса, то есть гравитационные заряды и импульсы (табл.4.19):

$$\frac{\rho}{700} = \frac{28 \cdot 10^{-20}}{700} = 4 \cdot 10^{-22} \Leftrightarrow 4 \cdot 10^{18} = \frac{28 \cdot 10^{20}}{700} = \frac{\rho^*}{700}. \quad (4.125)$$

**Космическая Луна** - это основа формирования в Едином Космосе вихрей-бурь фотон - фононов (4.125):

$$10^{-22} \Leftrightarrow 10^{18}. \quad (4.126)$$

\*\*

Важнейшим свойством **Планетарных Лун** (табл.4.19) является то, что сумма всех потенциалов этих месяцев, отнесённая к Кундалини сжатия в 2,5 оборота, увеличивает гравитацию до квадрата первоначальной величины:

$$\frac{280 + 420 + 560 + 700}{2,5} = \frac{1960}{2,5} = 784 = 28^2 \equiv \rho\rho^*. \quad (4.127)$$

#### **4.14 Волновой Модуль тринадцати лунного Календаря Майи и его связь с Теогенезисом Книги Дзиан**

Закон познания причинно-следственных связей окружающего нас Единого Космоса, называемый **Законом Карма**, основной Закон для **Носителей Разума** любых цивилизаций Земных и Вне Земных, находящихся в Рупе форм биологической Жизни, или Арупе чувствующего и вне Форм Жизни до и после Жизни.

\*\*

Испытание Кармой дано для того, чтобы **Носитель Разума** научился **ЖИТЬ В МИРЕ** полном противоречий с **Любовью** и **Вдумчивой Сдержанностью** к **Противоположностям**.

\*  
\*\*

**Сын Могущественного на Белой Лошади** (прообраз Иисуса Христа) останется с Носителем Разума до тех пор, пока Носители Разума не смогут **различать врагов своих и бороться с ними** [1, 2].

\*  
\*\*

Разум угнетённых мешает угнетателям. Сон Разума рождает чудовищ.

\*  
\*\*

Угнетатели (нисходящие) извратили Учения Христа, который силой выгонял фарисеев из Храма, трактуя слова Иисуса о побоях по правой и левой щекам как о **Вершине Смирения**.

Сами Угнетатели никогда не прощали возмущения угнетённых, карая их в дни волнения и обманывая в периоды между Революциями.

\*  
\*\*

Искусство обмана угнетённых достигло сегодня уровня **Философии Нищеты**, но это Нищета Философии, базисом которой является **Ложь**, тиражируемая средствами массовой информации.

Оболгали Всё: от **Любви**, сводя Её к сексу, до **Числа Тринадцать**, назвав это **Число чертовой дюжины**. Зачем? Да затем, чтобы уничтожить Мысль в Зародыше, как это произошло с тринадцати лунным календарём Майи.

Мысль гаснет, Память стирается, Воображение тускнеет - такая особь идеал раба для угнетателя.

**Но по воле Создателя уже было сказано: мы не рабы, - рабы не мы, и мы вернёмся к Календарю Майи.**

\*\*

Волновой Модуль Календаря Майи имеет следующую символику (рис.4.3 [15]).

							Недели	
1	2	3	4	5	6	7	Красная	☉ Портал Галактической Активации;
8	9	10	11	12	13	14	Белая	◇ Полярный Кин
15	16	17	18	19	20	21	Сине-голубая	○● Фазы Луны
22	23	24	25	26	27	28	Жёлтая	★☆ особый день Пророчества.

Рис.4.3 Элементы волнового Модуля Календаря Майи [15]

Рассматривая **недели Календаря Майи**, мы видим их последовательность: красная, белая, синяя, жёлтая (рис.4.3).

Такая последовательность описана в Теогенезисе Книги Дзиан: "**1 Дикий Белый Бык** (солнечный белый свет) **покрыл Большую Красную Корову** (красная спектральная область солнечного света). **Одним исторгающим усилием она родила Белого Телёнка женского рода**" (белый люминесцентный свет Луны второй недели Календаря Майи). Станца IV ([2]. Теогенезис)

Эта Станца описывает связь между белой окружающей средой Единого Космоса, красной солнечной первой неделей и второй белой люминесцентной неделей Календаря Майи (рис.4.3):

<b>Электромагнетизм красной и белой недель</b> (рис.4.3)	
$\frac{\Delta K = 1400 \overset{\circ}{A}}{\Delta B = 3600 \overset{\circ}{A}} \Leftrightarrow \frac{\Delta b = 0,36 \overset{\circ}{A}}{\Delta k = 1400 \overset{\circ}{A}} \rightarrow 14^2 \cdot 10^4 \Leftrightarrow 16 \cdot 81 \rightarrow$ $\mu\mu^* \cdot 10^4 \Leftrightarrow \sqrt{qq^*} \cdot \tau^4,$ <p>где: <math>\Delta B</math> - потенциал окружающей среды,  <math>\Delta K</math> - потенциал красной недели,  <math>\Delta b</math> - потенциал белой недели.</p>	(4.123)

\*\*

**"2 По обеим сторонам головы её (белого телёнка женского рода) выросло по одному Золотому (жёлтому) Рогу, а посредине неожиданно вырос Рог с Бриллиантовым Наконечником"** ([2] Станца IV. Теогенезис).

Применительно к Календарю Майи речь идёт о четвёртой жёлтой и третьей сине-голубой неделях (рис.4.3):

<b>Жёлто-красный и красно-жёлтый переходы Недель (табл.4.9)</b>				
Месяцы	Общий текущий		Соседний	Примечание
Недели	Красная	Жёлтая	Красная	Свабхават $\text{O} \equiv$ (4.124)
Потенциалы переходов	$\frac{\Delta J}{\Delta K} = \frac{70 \overset{\circ}{A}}{1400 \overset{\circ}{A}}$ $\frac{1}{2} 10^{-1} = 0,05$		$\frac{\Delta K}{\Delta J} = \frac{1400 \overset{\circ}{A}}{70 \overset{\circ}{A}}$ $20$	
				$20 : 0,05 =$ 400.

В жёлтой области спектра, где возникнут разности длин волн  $\Delta J$  в пульсирующем Космосе, появится цис-транс изомерия (два Золотых Рога):

$$\Delta J \cdot \int_0^1 \varphi d\varphi = 70 \cdot \frac{1}{2} = +35 \Leftrightarrow -35 = -70 \frac{1}{2} \equiv \Delta J \cdot \int_0^1 \varphi d\varphi. \quad (4.125)$$

\*  
\*\*

Цис-транс жёлтая изомерия в спектре света появляется "неожиданно", как **Рог с Бриллиантовым Нако-  
нечником**, в котором основание Бриллианту даёт углерод с атомным весом 12, то есть эквивалент  $T_0 \cdot \tau = 12$ , а энергетический сине-голубой поток появляется из Арупы Вселенной:

Солнечно-лунная сине-голубая изомерия в белом свете	
Солнечный спектр	Люминесцентный спектр
$F = \frac{T_0 \tau (\Delta C + \Delta \Gamma)}{\Delta B} =$ $\frac{4 \cdot 3 \cdot \left( 300 \overset{\circ}{A} + 300 \overset{\circ}{A} \right)}{3600 \overset{\circ}{A}} = 2$	$f = \frac{T_0 \tau (\Delta C + \Delta \Gamma)}{\Delta \delta} =$ $\frac{4 \cdot 3 \cdot \left( 300 \overset{\circ}{A} + 300 \overset{\circ}{A} \right)}{0,36 \overset{\circ}{A}} = 2 \cdot 10^4.$

(4.126)

При переходе от люминесцентного белого света к солнечному белому свету в поле сине-голубой области спектра света возникает электромагнитная индукция (4.126):

$$F \cdot f = 4 \cdot 10^4, \quad (4.126)$$

где потенциал, который кратен Четверице, Сокровенной Сороковице, Свабхават  $O = 400$  и разности длин волн в зелёной области спектра белого света (табл.4.9).

В зелёной области спектра белого света возникает солнечно-люминесцентный фотосинтез, основа Жизни и Жизни до и после Жизни (4.127).

**Солнечно-люминесцентный фотосинтез:  
основа Жизни и Жизни до и после Жизни**

$$\frac{F \cdot f}{\Delta 3} \Leftrightarrow \frac{\Delta 3}{F \cdot f} \rightarrow \frac{4 \cdot 10^4}{400} \Leftrightarrow \frac{0,04}{4 \cdot 10^4} \rightarrow 10^8 \Leftrightarrow 1.$$

(4.128)

Солнечно-лунный фотосинтез (4.128) имеет только одно ограничение: логарифмические волны живого не могут выйти за грани расширяющейся вселенной (4.128):

$$\lg(10^8 \Leftrightarrow 1) \equiv 8 \Leftrightarrow 0. \quad (4.129)$$

"Не преступи!", "Будь с Нами" [1, 2]

#### **4.15 Календарь Майи: Солнечное Счисление Продолжительностей в Жизни и Жизни до и после Жизни**

Переход между соседними белой, сине-голубой и жёлтой неделям (рис.4.3) происходит как в энергетически неравновесных солнечно-люминесцентных областях колебаний (табл.4.20).

Решающую роль в этих колебаниях будет играть **форма энергии белого света окружающей среды**, то есть, каким будет характер Дикого Белого Быка, **покрывающего красную корову [2]: будет ли это белый солнечный свет**, или это **будет белый люминесцентный свет** (табл.4.20).

Если внешней средой будет **солнечный белый свет** (источник фотосинтеза), то отсчет продолжительностей будет относиться к **Биологической Жизни**, где красная неделя будет солнечной, белая - люминесцентной, сине-голубая - солнечной и жёлтая - люминесцентной (табл.4.20).

Если внешней средой будет **люминесцентный белый свет**, то отсчет продолжительностей будет относиться к **Жизни до и после Жизни**, где в эфире Бордо идёт сгущение Ауры для нового рождения в Жизни (табл.4.20).

Чередование недель в Жизни до и после Жизни таково: первая **красная неделя - люминесцентная**, вторая **белая - солнечная**, третья **сине-голубая - люминесцентная**, четвёртая **жёлтая - солнечная** (табл.4.20).

Контуры колебания Продолжительности по неделям можно определить по отношениям разности длин волн (табл.4.20).

Таблица 4.20

**Недельные Циклы в Жизни и в Жизни до и после Жизни по 13 лунному Календарю Майи (рис.4.3)**

Месячный цикл четырёх цветных недель	Месяц в Жизни: среда $\Delta B = 3600 \text{ \AA}$	Месяц в Жизни до и после Жизни: среда $\Delta b = 0,36 \text{ \AA}$
	$\frac{\Delta B}{\Delta K} \Leftrightarrow \frac{\Delta K}{\Delta b} \Leftrightarrow$ $\frac{\Delta b}{\Delta C \Delta \Gamma} \Leftrightarrow \frac{\Delta C \Delta \Gamma}{\Delta \mathcal{J}}$	$\frac{\Delta b}{\Delta k} \Leftrightarrow \frac{\Delta k}{\Delta B} \Leftrightarrow$ $\frac{\Delta B}{\Delta c \Delta \varepsilon} \Leftrightarrow \frac{\Delta c \Delta \varepsilon}{\Delta \mathcal{J}}$
Постоянные колебаний	$\text{Const } \Delta B \equiv \frac{4}{7} \cdot 36 \cdot 10^{-17}$ $\equiv$ $\frac{\Delta B (\Delta b)^2 \Delta \mathcal{J}}{(\Delta K)^2 (\Delta C \Delta \Gamma)^2} \equiv$ $\frac{3600 (0,36)^2 0,007}{(1400)^2 (300 \cdot 300)^2}$	$\text{Const } \Delta b \equiv \frac{4}{7} \cdot 36 \cdot 10^{+17} \equiv$ $\frac{\Delta b (\Delta B)^2 \Delta \mathcal{J}}{(\Delta k)^2 (\Delta c \Delta \varepsilon)^2} \equiv$ $\frac{0,36 (3600)^2 70}{(0,14)^2 (0,03 \cdot 0,03)^2}$

Тринадцати лунный календарь Цивилизации Майи отсчитывает извечную ритмику Продолжительностей в Едином Космосе между Рупой биологической Жизни и Арупой Жизни до и после Жизни (табл.4.20):



$$Const \Delta b \equiv \frac{4}{7} \cdot 36 \cdot 10^{17} \Leftrightarrow \frac{7}{4 \cdot 36 \cdot 10^{-17}} \equiv \frac{1}{Const \Delta B} \cdot \quad (4.130)$$

или

$$(36 \cdot 10^{17})^2 \Leftrightarrow \left(\frac{7}{4}\right)^2 \equiv \frac{p^2}{q^2} \equiv \dots \quad (4.131)$$

\*  
\*\*

Ортодоксальный атеизм, **возражая против самого наличия Жизни до и после Жизни**, одним из аргументов выдвигает отсутствие оболочки в полях мысли, памяти, воображения.

Христианство как религиозная Форма, конфессии модернизированного Иудаизма не признают реинкарнаций, в том числе потому, что **не понимают энергетики формирования новых оболочек**. Поэтому атеизм и христианство смыкаются в вопросе одноразовости биологической Жизни, но расходятся относительно Жизни после Жизни: атеизм утверждает, что Жизни после Жизни нет; христианство проповедует, что Жизни после Жизни одна и вечная. Перевоплощений нет.

**Отсутствие Перевоплощений оспаривают религиозно-мировоззренческие концепции Востока, и Книга Мёртвых**, оставленная нам, сегодняшним Землянам, великой Цивилизацией, и известной нам в египетском [16] и тибетском [17] вариантах.

Базисом энергетических трансформаций **Книги Мёртвых** является то, что первые семь дней душа умершего, потерявшая гравитационную опору, находит эту опору, а затем на протяжении  $49 = 7^2$  дней ищет себе новые **оболочки**.

Сущность содержания Книги Мёртвых, но в Числах, передаёт структура месяца в календаре Майи (рис.4.3):

Оболочки недель спектрального месяца по Календарю Майи									
Недели	ПТ	СБ	ВС	ПН	ВТ	СР	ЧТ	Суммы	Разности: оболочки
Красная	1	2	3	4	5	6	7	28	28-(-21)=49
Белая	8	9	10	11	12	13	14	77	77-28=49 (4.132)
Сине-голубая	15	16	17	18	19	20	21	126	126-77=49
Жёлтая	22	23	24	25	26	27	28	179	179-126=49
Суммы	46	50	54	58	62	66	70	410 406	410-406=4.

В 13 лунном месяце Календаря Майи отсчёт связан с импульсом полярных вихрей с потенциалом  $\pm 21$ . Эти вихри излучает квант света с поверхностью 6 и внутренним резонансным полем, равным 15 (4.132):

Полярный Кинг: элемент волнового модуля			
Символ	Величина	Магнитная оболочка месяца	Расширение Кундалини
$\diamond$	$\pm 21 \equiv \pm \tau^* - (T_0 + \tau)$	$49 \cdot 4 = 196 = 14^2 \equiv \mu\mu^*$	$T_0 14^2 (410 - 406) = (7/2)^2$

Появляется красный магнетизм первой недели и жёлтая изомерия четвёртой.

\*  
\*\*

Волновой модуль 13 лунного Календаря Цивилизации Майи включает в себя **символы фазы Луны** (○ и ●, рис.4.3). ●○

Эти символы перешли в Цивилизацию Майи из **Науки великой Цивилизации**, которая говорила о них как о глазах Дагма [1].

Символы фазы Луны были даны как Майи, так и Даосу, которые использовали символы фазы Луны из известной диаграммы **Ян-Цинь** (рис.4.4).

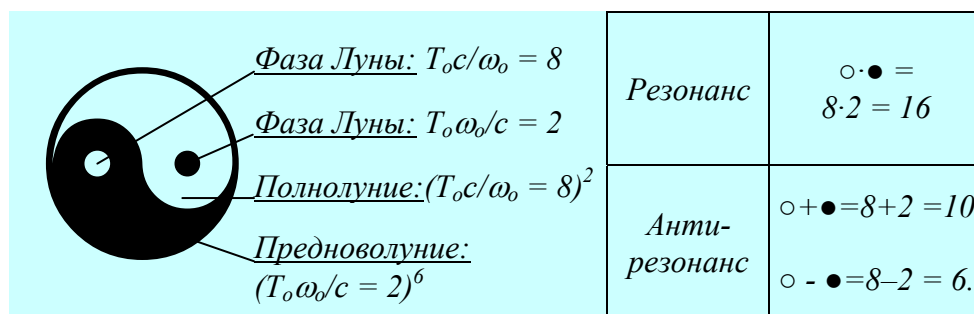


Рис.4.4 Даосская диаграмма Ян-Цинь применительно к 13 лунному Календарю Цивилизации Майи

В поле 13 лунного Календаря Цивилизации Майи **фазы Луны помогают расчёту частот излучений полярных вихрей** (табл.4.21).

Таблица 4.21

**Семь фаз Луны 13 лунного Календаря Цивилизации Майи**

Фазы Луны	I	II	III	IV	V	VI	VII
Запись символами	$\diamond \circ \bullet$	$\diamond (\circ + \bullet)$	$\diamond \circ$	$\diamond (\circ - \bullet)$	$\diamond \circ / \bullet$	$\diamond \bullet$	$\diamond \bullet / \circ$
Потенциалы отн.ед.	$\pm 21 \cdot 8 \cdot 2 = \pm 336$	$\pm 21(8+2) = \pm 210$	$\pm 21 \cdot 8 = \pm 168$	$\pm 21(8-2) = \pm 128$	$\pm 21 \cdot 8 / 2 = \pm 84$	$\pm 21 \cdot 2 = \pm 42$	$\pm 21 \cdot 2 / 8 = \pm 3 \cdot 7 / 4$
Потенциалы, пальмы	$\pm 192$	$\pm 120$	$\pm 96$	$\pm 72$	$\pm 48$	$\pm 24$	$\pm 3$
Сумма	$\pm 555 = \pm (192+120+96+72+48+24+3)$ пальм						
Изомерия	$\pm [555 - (-555)] = \pm 1110$ пальм.						

Между календарным годом в 364 дня и максимальным потенциалом лунной фазы (табл.4..21) возникает разность потенциалов, эквивалентная потенциалу гравитационного поля:

$$364 - (\diamond \circ \bullet = 336) = 28 \equiv \sqrt{\rho \rho^*}. \quad (4.134)$$

Этот гравитационный импульс уже попал в энергетическое солнечно-люминесцентное поле спектра белого света, но ещё не расщепился на два магнитных заряда, которые являются эталоном Продолжительности в Календаре Майя.

Гравитационный импульс, ещё не расщеплённый спектром света на два магнитных, великая Цивилизация, а с её подачи и Цивилизация Майи, считала Днём Вне Времени (табл.4.16).

#### 4.16 Модуль Дня Вне Времени: 25 июля любого года

День Вне Времени имеет свою эпюру (рис.4.5.1, [15]). Когда этот день заканчивается магнитное поле расщепляется (рис.4.5).

1. Символ Дня Вне времени

2. Эпюра расщепления магнитных полей в недрах сгустков

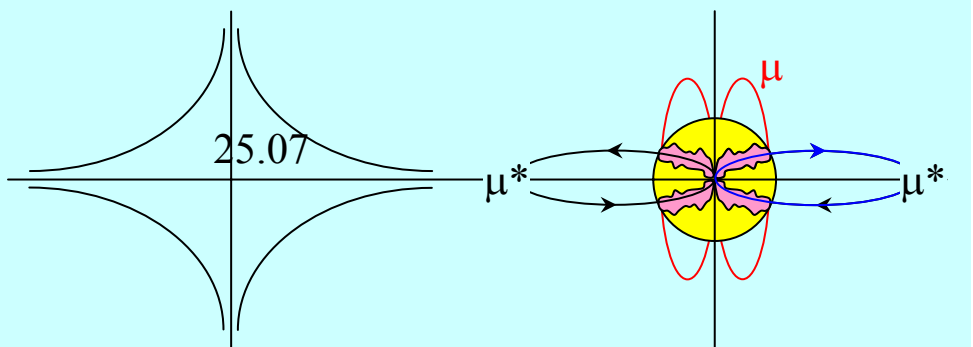


Рис.4.5 Символ-эпюра Дня Вне Времени и эпюра расщепления магнитных полей после его окончания

О характере расщепления в недрах спектральной капли света можно судить по тому, что из полюсов капли излучаются антирезонансные изомерические магнитные заряды  $\pm\mu$  и однонаправленный с Востока на Запад магнитный импульс  $\mu^*$  (как у Земли, рис.4.5.2.).

В этом случае **после окончания Дня Вне Времени** в Недрах любого Сгустка, в том числе Земли, возникает резонансная точка-излучатель магнитной энергии с потенциалом равным:

$$M \equiv \pm[\mu - (-\mu)] \cdot \mu^* = 2\mu\mu^* = \pm 2 \cdot 14^2. \quad (4.135)$$

Однако до того как **День Вне Времени** окончится и начнется магнитный процесс (4.135), **Зародыш ядерной Капли в Недрах сгустка**, как конденсатор, будет поглощать разнонаправленную космическую гравитационную энергию формируя резонанс столкновений:

$$-(\rho^*)^2 \equiv \rho^*(-\rho^*) = -(\rho^*)^2 = -28^2 \cdot 10^{40}. \quad (4.136)$$

В Недрах Зародыша ядерной Капли Сгустка возникают релаксационные колебания, при которых энергетическая система возбуждается, но само излучение не произошло:

<b>Релаксационные магнито - гравитационные колебания (4.135, 4.136): День Вне Времени</b>	(4.137)
$10^{40} \left( \frac{\rho}{M} = \frac{28^2}{2 \cdot 14^2} = -2 \right) \Leftrightarrow \left( -\frac{1}{2} = \frac{2 \cdot 14^2}{28^2} = \frac{M}{\rho} \right) \cdot 10^{-40}.$	

Интервал релаксационных гравитационно-магнитных колебаний Дня Вне Времени характерен тем, **что именно в этом интервале формируются гравитационные заряды  $\rho = 28 \cdot 10^{-20}$ .**

Возникает гравитационное поле пробоя, как в конденсаторе, где гравитационные заряды  $\rho$  и  $(-\rho)$  изменяют космическую гравитационную компоненту (4.136):

$$\begin{aligned} &\text{Гравитационная релаксация:} \\ &\rho \cdot (-\rho) \cdot (-\rho^{*2}) = +28^4 \cdot 10^{-40} \cdot 10^{40} = \\ &+28^4 = +T_0 \cdot (T_0 + \tau)^{T_0}. \end{aligned} \quad (4.138)$$

В ядерном веществе спектра света возникает пред-революционная ситуация ядерного взрыва и цепных ядерных реакций.

Ядерный взрыв наступает при полном резонансе полей Арупы и Рупы, то есть при потенциале:

$$\begin{aligned} &\text{Потенциал ядерного взрыва:} \\ &T_0 \cdot \tau^{T_0 \tau} = 12^{12}. \end{aligned} \quad (4.139)$$

В локальных областях Вселенной, то есть в ядрах микро-макро сгустков, возникает маятниковый эффект (качели) между взрывом и релаксацией:

$$\begin{aligned} &\text{Маятниковый эффект:} \\ &\text{релаксация – ядерный взрыв} \\ &\frac{\text{Взрыв}}{\text{Релаксация}} \equiv \frac{12^{12}}{28^4} = \left(\frac{4}{7}\right)^4 4^4 \cdot 3^{12} \Leftrightarrow \left(\frac{7}{4}\right)^4 4^{-4} \cdot 3^{-12} = \frac{28^4}{12^{12}} \equiv \frac{\text{Релаксация}}{\text{Взрыв}} \\ &\text{,} \\ &\text{где} \\ &\quad k_1 = (4^8 \cdot 3^{24} \Leftrightarrow (7/4)^8 \equiv \text{пальма}^8) \\ &\text{и} \\ &\quad k_2 = (4 \cdot 3^3 \Leftrightarrow 7/4 \equiv (T_0 + \tau)/T_0 \Leftrightarrow T_0 \cdot \tau^3). \end{aligned} \quad (4.140)$$

С позиции **энергетики** День Вне Времени работает как лазерно-ядерный конденсатор, который может накопить энергию - эквивалент астрономической Черной Дыре, поглощающей свет и излучающей нейтрино. Это  $k_1$  (4.140) ядерно-лазерных взрывов.

**Ядерно-лазерные взрывы великая Цивилизация использовала для формирования неравномерного ускоренно-замедленного движения транспортных средств, например НЛО.**

\*  
\*\*

#### **4.17 Релаксационно - ядерные колебания Дня Вне Времени**

В энергетическом поле релаксация - ядерный взрыв (4.140) энергетику поля можно удерживать **в постоянном режиме релаксации**. Природа так и поступает, формируя планетарные структуры микро-макро Миров, например атомов и Звёздных Систем, таких как наша солнечная.

Отличие между микро- и макро-Мирами состоит в том, что **в атомах при нарушении равновесия электроны переходят с орбиты на орбиту, а объекты планетарных астрономических систем меняют свои полюса**. Это  $k_2$  (4.140) релаксационного равновесия.

Великая Цивилизация использовала **условия релаксационного динамического равновесия** для своих народно-хозяйственных целей Социума, **создавая наземные энергоустановки, аппаратуру средств связи, медицинское оборудование, эталоны времени**.

Сущность такого подхода проста: надо отводить энергию, сдвигающую равновесие, и использовать эту энергию в народно-хозяйственных целях своей Цивилизации.

Поскольку любое равновесие энергетических систем сдвигает **Корень Энергии**, то есть метагалактические волны Космоса, то отвод энергии, сдвигающих равновесие - **неисчерпаем**.

\*  
\*\*

Гравитационное поле релаксации и взрывов пульсирует (4.140):

Модуль гравитационной пульсации	
Потенциалы	Постоянные гравитации
$k_2 \xrightleftharpoons[k_1]{k_3} k_1$	$k_3 = \frac{k_1}{k_2} = \frac{4^8 \cdot 3^{24} \Leftrightarrow \left(\frac{7}{4}\right)^8}{4 \cdot 3^3 \Leftrightarrow \left(\frac{7}{4}\right)} \equiv 4^7 \cdot 3^{21} \Leftrightarrow \left(\frac{7}{4}\right)^7$
108 реинкарнаций по Буддизму	$k_3^{1/7} = \left(4 \cdot 3^3 \Leftrightarrow \frac{7}{4}\right) \equiv \left(108 \Leftrightarrow \frac{7}{4} \equiv \frac{\rho}{q} \equiv \dots\right)$
Живые магниты календаря Майи	$\begin{aligned} &108 \cdot 4 \Leftrightarrow \pm 7; \quad 108 \cdot 4 \mp 7 \Leftrightarrow 0 \\ &\pm \Delta \equiv (108 \cdot 4 + 7) - (108 \cdot 4 - 7) \equiv \\ &439 - 425 = \pm 14 \equiv \pm \sqrt{\mu\mu^*} \Leftrightarrow 0. \end{aligned}$

(4.141)

В основе 13 лунного Календаря Цивилизации Майи лежит расщепление гравитационного поля на цис-транс изомерические поля (4.141):

$$+14 - (-14) = +28 \equiv \sqrt{\rho\rho^*}. \quad (4.142)$$

Этот гравитационно-магнитный процесс связан со спектром света: сначала в белой окружающей среде появляется красная область спектра:

$$\pm 14 \equiv \pm (1400 \equiv 1400 \text{Å} \equiv \Delta K) \cdot (\rho_2^2 = 10^{-2}),$$

а затем возникает жёлтая область:



$$\pm 14 \cdot \left( \pm \int_0^1 \varphi d\varphi = \pm \frac{1}{2} \right) \cdot \rho_5 = \pm 70 \equiv \pm (70\text{Å} = \Delta\mathcal{J}). \quad (4.143)$$

Спектр света и красная, белая, сине-голубая и жёлтая недели в Календаре Майи связаны **сокровенной сороковицей**:

<b>Связь недель в Календаре Майи</b>	
Сороковица:	$\frac{\Delta K - \Delta B - (\Delta C + \Delta \Gamma)}{\Delta \mathcal{J}} = \frac{1400 - 3600 - 600}{70}. \quad (4.144)$

## 4.18 Гравитационно-магнитная мультиплетность Дня Вне Времени

Модуль Дня Вне Времени (рис.4.5) связан не только с гравитационной пульсацией, но его энергетические истоки затрагивают переход от гравитационной энергии к магнитной (4.135, 4.136):

<b>Магнито-гравитационная пульсация Света</b>		
Поля	Гравитационный Зародыш Ядра (Накопитель Энергии)	Магнитное излучение гравитационным Зародышем
Небеса (Цинь) в оболочке	$\frac{\rho(-\rho)(\rho^*)(-\rho^*)}{\mu \cdot \mu^* \cdot 2} \equiv \frac{28^4}{2 \cdot 14^2} = 1568 \equiv \frac{1}{49 \cdot 32}$	$\frac{2 \cdot \mu \cdot \mu^*}{\rho(-\rho)(\rho^*)(-\rho^*)} \equiv \frac{2 \cdot 14^2}{28^4} = \frac{1}{1568} = \frac{1}{49 \cdot 32} \quad (4.145)$
Экстремальные значения	Минимум	$1 \Leftrightarrow 1/(49 \cdot 32)^2 = 4,067 \cdot 10^{-7}$
	Максимум	$1 \Leftrightarrow (49 \cdot 32)^2 = 7^4 \cdot 2^{10} \equiv 74 \sqrt{2}^{20} \equiv 7^4 \left( 32^2 \equiv 1024 \equiv \int_0^1 \varphi d\varphi \cdot \int_2^{64} \varphi d\varphi + 1 \equiv 1023 + 1 \right).$

Магнито-гравитационное поле света (4.145) в своём минимуме формирует постоянную электромагнитной среды  $\mu_0$ :

$$E_\lambda = 1/\pi \Leftrightarrow 4,067 \cdot 10^{-7}$$

или  $1 \Leftrightarrow 4\pi \cdot 10^{-7} = 4\pi \cdot 10^{-7} \text{ Гн/м} \equiv \mu_0. \quad (4.146)$

(Наша наука определила  $\mu_0$  экспериментально)

Достижение максимума пульсации в недрах ядра света (4.145) приводит к потенциалу, равному  $7^4 \cdot \sqrt{2}^{20}$ .

В течение Продолжительности  $T_0^2 = \sqrt{2}^8$  максимальный потенциал увеличивается:

$$7^4 \cdot \sqrt{2}^{20} \left( T_0^2 = \sqrt{2}^8 \right) \equiv 7^4 \cdot \sqrt{2}^{28}. \quad (4.147)$$

Под оболочкой Арупы (двойной оболочкой с потенциалом  $7^4 \equiv (T_0 + \tau)^{T_0}$ ) происходит сгущение света по закону сгущения, описанного пропорциями великой Пирамиды (табл.2.14, рис.2.4):

$$7^4 \cdot (\sqrt{2}^{28} \equiv \text{Sc } \pi/4^{1+2+3+4+5+6+7=28}). \quad (4.148)$$

Результат сгущения света (4.148), кроме всего прочего, говорит об общности научного подхода Строителей Пирамид в Египте и Цивилизации Майи. А это значит, что Социум Земли был объединён великой Цивилизацией.

\*  
\*\*

Двойная оболочка с потенциалом  $7^4$  реализует себя везде, например любой биоклетке, каждая из которых окружена двойной мембранной молекулярной спиралью.

Эти спирали служат "амортизаторами для цис-транс-изомерии" и связаны со спиралями Кундалини, которые пульсируют в резонансно-антирезонансном режиме и приводят к появлению разности квадратов потенциалов:

<b>Разности квадратов потенциала Кундалини</b>	
$\int \varphi d\varphi = \int \varphi d\varphi = 20,28125 = 20 + 28 \cdot 10^{-2} + 5^3 \cdot 10^{-5}.$ <div style="display: flex; justify-content: space-between; font-size: small; margin-top: 5px;"> <span>Резонанс 3,5-2,5</span> <span>8,75</span> </div> <div style="display: flex; justify-content: space-between; font-size: small; margin-top: 5px;"> <span>Антирезонанс 3,5+2,5</span> <span>6</span> </div>	(4.149)

Эти кванты (4.149) наши биоклетки с помощью биочасов (микротрубочек пор ядер клеток с 13 субъединицами) поглощают из Космоса в соответствии с тринадцатилунным Календарём Майи.

### 4.19 Единое Время Древнего Социума Земли

Любой квант делится, образуя бесконечную цепь всё новых и новых разностей потенциалов. Делится и квант (4.149), например на три части с потенциалами:

$$20 + 28 \cdot 10^{-2} + 5^3 \cdot 10^{-5}. \quad (4.150)$$

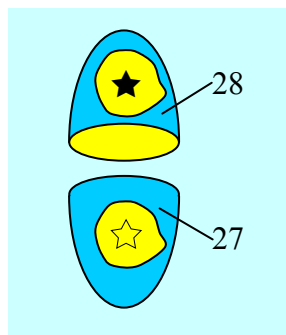


Рис.4.6 Свечение от генератора Тонкой Энергии

В этом случае (4.150) возникает **Свечение**, подобное Свечению от генератора Тонкой Энергии, которое Станцы Дзиан описывают как **Пентаграмму в Яйце** (рис.4.6).

Календарь Майи ввёл символы ★ ☆ пятиконечных звёзд в описание своего волнового Модуля, назвав их особым днём творчества **Покаль Вотана** [15].

Покаль Вотана может относиться к полю гравитации, иметь символ ★ и потенциал, связанный с гравитацией, но может иметь символ ☆, связанный с 27 (рис.4.6, 4.150):

День Творчества по Календарю Майи		
	Жизнь: Рупа - Арупа	Жизнь после Жизни: Арупа
Анти-резонанс	$28 \cdot 10^{-2} + (\star \equiv 5^3 \cdot 10^{-5})$	$27 \cdot 10^{-2} + (\star \equiv 5^3 \cdot 10^{-5})$
Резонанс	$28 \cdot 10^{-2} \cdot 5^3 \cdot 10^{-5} = 35 \cdot 10^{-5}$	$27 \cdot 10^{-2} \cdot 5^3 \cdot 10^{-5} = 33,75 \cdot 10^{-5}$
Разность	$(35 - 33,75) \cdot 10^{-5} = 1,25 \cdot 10^{-5} = 53 \cdot 10^{-7}$	

Между творчеством в области Рупы гравитации и в области Арупы возникает разность потенциалов, равная (4.151) и связанная с импульсом расширения:

$$53 \cdot 10^{-7} \equiv 23 \cdot 10^{-4} = 8 \cdot 10^{-4} \equiv T_0 \cdot c / \omega_0 \cdot 10^{-4}. \quad (4.152)$$

Поле (4.150) описывает антирезонанс. При резонансе и наличии потенциалов 28 и 27 (рис.4.6) возникнет разность потенциалов:

$$\begin{aligned} \star - \star &= 20 \cdot 28 \cdot 10^{-2} \cdot 5^3 \cdot 10^{-5} - 20 \cdot 27 \cdot 10^{-2} \cdot 5^3 \cdot 10^{-7} = \\ &= 70000 \cdot 10^{-7} - 67500 \cdot 10^{-7} = 25 \cdot 10^{-5} = \\ &= 22 \cdot 10^{-3} = 0,004 \equiv \frac{0,008}{0,002} \equiv \frac{m_c^*}{m_c^{**}}, \end{aligned} \quad (4.19)$$

где  $m_c^* = 0,008$  - сгусток света, масса которого входит в атомные веса, например водорода - 1,008, гелия - 4,008, азота 14,008, а  $m_c^{**} \equiv 0.002$  - масса света при сжатии.

\*

\*\*

Календарь Майи [15] связан с Даосской диаграммой Ян-Цинь (рис.4.4, 4.145).

Эта связь выявляется на уровне произведения  $32 \cdot 32$ , равного 1024 и всего лишь на единицу отличающуюся от интегральной разности между зародышем сжатия • и волной расширения (рис.4.4, 4.145). Но потенциал 32 описан 32 иероглифами в Книге Перемен как Небеса-Цинь. Следовательно в Древности Цивилизация Майи, Даосская Цивилизация, Китайская Цивилизация, Цивилизация Египта имели одни Научные Корни: **высокую Науку великой Цивилизации.**

\*

\*\*

Отличительную особенность пятеричных связей (табл.4.21):

$$555 - (-555) = 1110 \equiv 1000 + 110 \equiv \rho_5^3 + 110. \quad (4.154)$$

Наиболее глубоко отразила религиозно-мировоззренческая философия Даоса, в соответствии с которой 110 Божеств в Телe Человека существуют в среде взаимодействий света в трёхмерном Пространстве ( $\rho_5^3 \equiv \rho_5^{x+y+z=3}$ ).

\*

\*\*

Взаимодействие человека с окружающей средой может быть антирезонансным, а может быть резонансным (4.154):

Антирезонансно - резонансные взаимодействия живого со светом		
	Человек и Боги	Митоз биоклетки
Анти-резонанс	$1000 + 110$	$1000 + (11 \equiv 9+2) \cdot 10$
Резонанс	$1000 \cdot 110 = 110 \cdot 10^3$	$1000 \cdot (9+2) \cdot 10 = (9+2) \cdot 10^4$ (4.155)
Пульсация Кундалини	$\frac{110 \cdot 10^3}{3,5 + 2,5 = 6}$ $= 18,(3)$ Вода	$\frac{(9+2) \cdot 10^4}{3,5 + 2,5 = 6} =$ $2(9+0) + 0,(3)$ дочерние субструктуры.

\*  
\*\*

Во времена **Влажной Сахары** (более 2000 лет назад), когда на месте нынешней пустыни были глубоководные реки, на севера Африки процветала Цивилизация **Караманта**.

Эта цивилизация оставила наскальную живопись, изображения животных в которой связано с тотемом Солнечно-Лунного Календаря Нового Времени (13 Лун по 28 дней) [15] (табл.4.22).

Наличие астрологического **тотема** в Календаре Майи и его подобие наскальной живописи североафриканской цивилизации **Караманта** (1 канал ТВ. Русский Экстрим 13.03.2005г.), а также знание аборигенами Австралии основных законов Единого Космоса [18], говорит о том, что словосочетание **Новое Время - это Воспоминание о Будущем** с Единым Временем, Единым Народом, Светлым настоящим текущего времени.

**Тотем солнечно-лунного  
Календаря Нового времени [15]**

1. Летучая мышь
2. Скорпион
3. Олень
4. Сова
5. Павлин
6. Ящерица
7. Обезьяна
8. Сокол
9. Ягуар
10. Собака
11. Змея
12. Кролик
13. Черепаха.

**4.20 Три цвета Времени:  
белый, голубой, синий**

Гравитационно-магнитные колебания (4.145) протекают постадийно с семеричной периодичностью:

$$\left| 49 \cdot 32 \Leftrightarrow \frac{1}{49 \cdot 32} \right| \rightarrow \left| 7 \cdot 49 \Leftrightarrow \frac{1}{7 \cdot 32 \cdot 32} \right| \rightarrow$$

$$\left| 343 = 7 \cdot 49 \Leftrightarrow \frac{1}{7 \cdot 32 \cdot 32} \approx 1,4 \cdot 10^{-4} \equiv \frac{3,5}{2,5} \cdot 10^{-4} \right|. \quad (4.156)$$

В этом поле (4.156) возникает оболочка объёма с потенциалом  $7^3 = 343$  и магнитный квант Кундалини под оболочкой с потенциалом  $1,4 \cdot 10^{-4}$  (4.156).

Под оболочку поступает волновая Энергия Космоса, которая формирует под оболочкой сгусток света с поверхностью 6 и пятью слоями 5, 4, 3, 2 и 1:

$$6 + 5 + 4 + 3 + 2 + 1 = 21 \text{ антирезонанс}$$

$$6 \cdot 5 \cdot 4 \cdot 3 \cdot 2 \cdot 1 = 120 \equiv 5! \text{ резонанс.} \quad (4.157)$$

При антирезонансе поверхности с потенциалом 73 и резонанса в объёме с потенциалом  $1,4 \cdot 10^{-4}$  (4.156), оболочка пульсирует, отсчитывая 364 дня тринадцати лунного года, а магнитное поле в объёме возрастает до  $8 \cdot 21$ :

Связь поверхности и объёма Капли ядра света		
Режим	Элементы поля	
	Поверхность (4.157)	Объём (4.157)
До отсчёта (Вне времени)	$7^3 = 343$	$1,4 \cdot 10^{-4}$
Отсчёт Времени (один год)	$343 + 21 = 364$ 1 год	$1,4 \cdot 10^{-4} \cdot 120 = 168 \cdot 10^{-4}$ $8 \cdot 21 \cdot 10^{-4}$
Отсчёт Времени (один месяц)	$\frac{364}{28} = 13$	$(168 + 1) \cdot 10^{-4} =$ $13^2 \cdot 10^{-4}$
Потенциал между объёмом и поверхностью	$13^2 - 13 = 13 \cdot (13 - 1) = 13 \cdot 12$	
Приведённый потенциал	$\frac{(13^2 - 12^2) - 1}{13 \cdot 12} = \frac{313 - 1}{156} = 2.$	

Между поверхностью и ядром кванта лазерной Капли возникает солнечно-люминесцентная пульсация (4.157, 4.126), а в поле Арупы появляется электромагнитная индукция (4.127):

$$\tau \cdot F \cdot f = 3 \cdot 4 \cdot 10^4 = 12 \cdot 10^4. \quad (4.158)$$

В поле люминесцентного и солнечного белого света начинается сине-голубой отсчёт времени:



Три цвета Времени: белый, синий, голубой (4.158)					
Белый		Синий		Голубой	
Сол- нечный	Люмине- сцент- ный	Сол- нечный	Люмине- сцент- ный	Сол- нечный	Люмине- сцент- ный
$B \equiv \frac{\Delta B}{\tau \cdot F \cdot f}$	$\bar{b} \equiv \frac{\Delta \bar{b}}{\tau \cdot F \cdot f}$	$C \equiv \frac{\Delta C}{\tau \cdot F \cdot f}$	$c \equiv \frac{\Delta c}{\tau \cdot F \cdot f}$	$\Gamma \equiv \frac{\Delta \Gamma}{\tau \cdot F \cdot f}$	$\bar{c} \equiv \frac{\Delta \bar{c}}{\tau \cdot F \cdot f}$
$\equiv \frac{3600}{12 \cdot 10^4}$	$\equiv \frac{0,36}{12 \cdot 10^4}$	$\equiv \frac{360}{12 \cdot 10^4}$	$\equiv \frac{0,03}{12 \cdot 10^4}$	$\equiv \frac{300}{12 \cdot 10^4}$	$\equiv \frac{0,3}{12 \cdot 10^4}$
$= 3 \cdot 10^{-2}$	$= 3 \cdot 10^{-6}$	$= 25 \cdot 10^{-4}$	$= 25 \cdot 10^{-8}$	$= 25 \cdot 10^{-4}$	$= 25 \cdot 10^{-8}$

(4.159)

И в люминесцентном и в солнечном свете возникают контуры колебаний Времени (4.159):

Контуры колебаний трёхцветного Времени	
Солнечный спектр	Люминесцентный спектр
$\frac{C}{B} \Leftrightarrow \frac{B}{\Gamma} \rightarrow \frac{25 \cdot 10^{-4}}{3 \cdot 10^{-2}} \Leftrightarrow \frac{3 \cdot 10^{-2}}{25 \cdot 10^{-4}}$ $5^4 \cdot 10^{-4} = 0,0625 \Leftrightarrow (9+0)$ $1 \Leftrightarrow 12^2$	$\frac{c}{\bar{b}} \Leftrightarrow \frac{\bar{b}}{\bar{c}} \rightarrow \frac{25 \cdot 10^{-8}}{3 \cdot 10^{-6}} \Leftrightarrow \frac{3 \cdot 10^{-6}}{25 \cdot 10^{-8}}$ $5^4 \cdot 10^{-4} = 0,0625 \Leftrightarrow (9+0)$ $1 \Leftrightarrow 12^2$

(4.160)

В трёхцветном Времени зарождается материнская субструктура (9+0) биоклетки и возникает бело-сине-голубой вихрь фотонов с продолжительностями  $(T_0 \cdot \tau)^2 = 144$ .

\*  
\*\*

Время определяет голубизну Небес Земли - эта фраза для специалистов в области квантовой механики, которые гордятся своим ответом на вопрос: **Почему небо синее?**, - связывая ответ с дисперсностью газов атмосферы Земли. Но дисперсность - это **Следствие, а причина синне-голубой Продолжительности волновых полей при переходе из Арупы в Рупу Единого Космоса.**

#### 4.21 Спектральная структура Божественной Кундалини

И Рупа, и Арупа сохраняют свою кратность двойке; сохраняет кратность двойке и спектр света (табл.4.9):

Структура двойки в спектре света			
Свет	Солнечный	Люминесцентный	Взаимодействие
Структура потенциала	$\frac{\Delta K}{\Delta \mathcal{J}} \rho_2 = \frac{\Delta \Phi}{\Delta \mathcal{J}3}$	$\frac{\Delta \kappa}{\Delta \mathcal{J}c} \rho_2 = \frac{\Delta \phi}{\Delta \mathcal{J}c3}$	$\lg \rho_1 \rho_2 \rho_3 \rho_4 \rho_5$
	$\frac{1400}{70} 10^{-1} = \frac{500}{250}$	$\frac{0,14}{0,007} 10^1 = \frac{0,05}{0,025}$	$= \dots =$
	2	2	2

(4.161)

Структура двойки в спектре света (4.161) сохраняется и в поле Времени (4.151), так как Бытие Космоса протекает во Взаимодействиях.

\*  
\*\*

Отсчёт Времени в тринадцати лунном Календаре цивилизации Майи связан с **Числами кратными 28 (гравитационный потенциал) и 8 (потенциал расширения Вселенной).**

Спектр света не является исключением и тоже подчиняется этой кратности, формируя **спектральное поле божественной Кундалини** (табл.4.9, табл.4.23).

Таблица 4.23

**Спектральная форма божественной Кундалини**

Кундалини	Поле
	Спектральные компоненты Кундалини
Солнечная (расширение)	$\frac{\Delta K + \Delta O + \Delta Ж + \Delta З + \Delta Г}{\Delta C + \Delta \Phi} = \frac{2800 \overset{\circ}{A}}{800 \overset{\circ}{A}} = \frac{7}{2}$
Люминесцентная (расширение)	$\frac{\Delta \kappa + \Delta o + \Delta ж + \Delta з + \Delta г}{\Delta c + \Delta \phi} = \frac{0,28 \overset{\circ}{A}}{0,8 \overset{\circ}{A}} = \frac{7}{2}$
Сжатие: солнечно- люминесцентное	$\frac{\Delta K}{\Delta Ж(\Delta C + \Delta \Phi)} = \frac{5}{2} \Leftrightarrow \frac{5}{2} = \frac{\Delta \kappa}{\Delta ж(\Delta c + \Delta \phi)}.$

Казалось бы нет ничего проще, чем провести подстановку двойки в форме:

$$2 = \frac{500 \overset{\circ}{A}}{250 \overset{\circ}{A}} \equiv \frac{\Delta \Phi}{\Delta ЖЗ}, \quad (4.162)$$

а затем рассчитать Кундалини сжатия по спектру света:

$$\frac{\Delta K}{\Delta Ж(\Delta C + \Delta \Phi)} = \frac{5}{2} \equiv 5 \frac{\Delta ЖЗ}{\Delta \Phi},$$

где  $\Delta K \cdot \Delta \Phi = 5 \Delta ЖЗ \cdot \Delta Ж(\Delta C + \Delta \Phi).$  (4.163)

**Но равенства мы уже не получим**, так как жёлто-фиолетовая область будет в 100 раз больше красно-фиолетовой (4.163):

$$1400\text{Å} \cdot 500\text{Å} \neq 5 \cdot 250\text{Å} \cdot 70\text{Å} \cdot (300+500)\text{Å};$$

$$7 \cdot 10^5(\text{Å})^2 \neq 7 \cdot 10^7(\text{Å})^3. \quad (4.164)$$

Однако здесь (4.165) дефекта Пространства нет, а есть переход от поверхностной волны  $(\text{Å})^2$  к объёмной  $(\text{Å})^3$ , что и влечёт за собой увеличение в 100 раз. Это увеличение относится к эффективности взаимодействия света по объёму при постоянной Чакры, равной 70:

Солнечно-лунная постоянная Чакр										Сум- ма
Ря- ды	Солнеч- ный	1	2	3	4	5	6	7	8	36
	Лунный	7	6	5	4	3	2	1	-	
Чакры		I	II	III	IV	V	VI	VII	-	
Расширение		7/4	7/2	7	14	28	56	112	224	
Сжатие		40	20	10	5	$\frac{5}{2}$	$\frac{5}{4}$	$\frac{5}{8}$	$\frac{5}{16}$	
Постоянная Чакр		$Const = \frac{7}{4} \cdot 40 = \frac{7}{2} \cdot 20 = 7 \cdot 10 = 5 \cdot 14 \cdot 28 \cdot \frac{5}{2} =$ $56 \cdot \frac{5}{4} = 112 \cdot \frac{5}{8} = 224 \cdot \frac{5}{16} = 70 \equiv \Delta Ж.$								

**Постоянная Чакр является эквивалентом разности длин волн в жёлтой области солнечного спектра (4.165). Поэтому использование тринадцати-лунного Календаря Майи подобно хорошей медитации, в то время как отсчёт Времени по остальным формам календарей отклоняет психику от Пульсации Космоса.**

\*  
\*\*

В условиях расширения выражение (4.163) примет вид:

$$\begin{aligned}
 &\Delta K \cdot \Delta \Phi \neq 7 \Delta \text{ЖЗ} \cdot \Delta \text{Ж} (\Delta C + \Delta \Phi). \\
 &1400 \text{ \AA} \cdot 500 \text{ \AA} \neq 7 \cdot 250 \text{ \AA} \cdot 70 \text{ \AA} \cdot (300 + 500) \text{ \AA} \\
 &7 \cdot 10^5 (\text{ \AA})^2 \Leftrightarrow 98 \cdot 10^6 (\text{ \AA})^3, \\
 &\text{где} \quad K = \frac{98 \cdot 10^6 \left( \frac{\circ}{\text{A}} \right)^3}{7 \cdot 10^5 \left( \frac{\circ}{\text{A}} \right)^2} = 140 \equiv \rho_5 \sqrt{\mu \mu^*}, \\
 &\text{и} \quad 5 = \frac{1^2 + 2^2 + 3^2 + 4^2 + 5^2 + 6^2 + 7^2}{1 + 2 + 3 + 4 + 5 + 6 + 7} = \frac{140}{28}.
 \end{aligned} \tag{4.166}$$

\*  
\*\*

Переход к люминесцентным волнам Ауры спектральных областей сжатия (4.163) и расширения (4.166) изменяет ситуацию: потенциалы объёмных волн становятся меньше поверхностных (табл.4.24).

Таблица 4.24

**Изменения в спектре люминесцентного света**

Состояние Кундалини	Кундалини	
	В области сжатия (4.163)	В области расширения (4.166)
Потенциалы	$\Delta k \cdot \Delta \phi \Leftrightarrow 5 \Delta \text{ЖЗ} \cdot \Delta \text{Ж} (\Delta \Gamma + \Delta \Phi)$ $0,14 \cdot 0,05 (\text{ \AA})^2 \Leftrightarrow$ $5 \cdot 0,025 \cdot 0,007 \cdot 0,08 (\text{ \AA})^3$ $7 \cdot 10^{-3} (\text{ \AA})^2 \Leftrightarrow 7 \cdot 10^{-5} (\text{ \AA})^3.$	$\Delta k \cdot \Delta \phi \Leftrightarrow 7 \Delta \text{ЖЗ} \cdot \Delta \text{Ж} (\Delta \Gamma + \Delta \Phi)$ $0,14 \cdot 0,05 (\text{ \AA})^2 \Leftrightarrow$ $7 \cdot 0,025 \cdot 0,007 \cdot 0,08 (\text{ \AA})^3$ $7 \cdot 10^{-3} (\text{ \AA})^2 \Leftrightarrow 1,4 \cdot 10^{-5} (\text{ \AA})^3.$

Следствием солнечно люминесцентных переходов является **появление взаимодействий Всего, Всегда, во Всём** (табл.4.25).

Таблица 4.25

**Солнечно-люминесцентное неравновесие**

Поля	Потенциалы	Неравновесные солнечно-люминесцентные поля
Электричество: 16 lg 10	$10^8 \Leftrightarrow 10^8$	$\frac{\Delta K \cdot \Delta \Phi}{\Delta k \cdot \Delta \phi} \Leftrightarrow \frac{\Delta k \cdot \Delta \phi}{\Delta K \cdot \Delta \Phi} \rightarrow \frac{7 \cdot 10^5}{7 \cdot 10^{-3}} \Leftrightarrow \frac{7 \cdot 10^{-3}}{7 \cdot 10^5}$
Дальнодействующие взаимодействия	$10^{12} \Leftrightarrow 10^{12}$ $\rho_3 = \sqrt{\rho_1}$	$\frac{5\Delta\mathcal{K}\mathcal{Z}\Delta\mathcal{J}(\Delta\mathcal{C} + \Delta\Phi)}{5\Delta\mathcal{J}\mathcal{C}\Delta\mathcal{J}(\Delta\mathcal{C} + \Delta\phi)} \Leftrightarrow \frac{5\Delta\mathcal{J}\mathcal{C}\Delta\mathcal{J}(\Delta\mathcal{C} + \Delta\phi)}{5\Delta\mathcal{K}\mathcal{Z}\Delta\mathcal{J}(\Delta\mathcal{C} + \Delta\Phi)}$ $\frac{7 \cdot 10^7}{7 \cdot 10^{-5}} \Leftrightarrow \frac{7 \cdot 10^{-5}}{7 \cdot 10^7} \rightarrow 10^{14} \Leftrightarrow 10^{-10}$
Примечание		$10^{14} \equiv \rho_5$ , а $10^{-10} \equiv \sqrt{10^{-20}}$ фотонов.

Начало всем взаимодействиям даёт спектр света и Свет универсальный инструмент Создателя.

# Глава 5

## Периодическая Система Химических Элементов

### 5.1 Начала формирования

Периодическая система химических элементов начинает формироваться в волновых полях Арупы (вне формы) при  $\tau^2 = 9$  (табл.5.1).

Потенциал  $\tau^2$  определяет число групп Периодической Системы (табл.5.1).

\*\*

Небесные тела (волны Арупы) сгущаются когда попадают в поле Рупы (форма), где  $T_0 = 4$ .

Антирезонанс Арупы - Рупы:

$$(T_0 + \tau) \cdot (T_0 - \tau) = (4+3) \cdot (4 - 3) = 7, \quad (5.1)$$

является определяющим фактором Семеричности полей Природы, в том числе Семи Периодов в химической системе элементов - атомов (табл.5.1).

\*\*

Начало Атомам химических элементов дают сгустки света:  $m_c^{**} = 0,002 \equiv 10^{-3} \cdot T_0 \cdot \omega_0 / c$ , - при сжатии;

$m_c^* = 0,008 \equiv 10^{-3} \cdot T_0 \cdot c / \omega_0$ , - при расширении.

При сжатии формируются массы, при расширении заряды - импульсы (5.2).

<b>Отверждение сгустка света в Атом</b>	
$\alpha_{m_c^{**}}^{m_c^*} \equiv \alpha_{0,002}^{0,008} \equiv \alpha_{0,002/0,002}^{0,008/0,002} \equiv \alpha_1^4,$ <p style="text-align: center;">где 1 - атомный вес, а 4 - число зарядов-импульсов.</p>	(5.2)

Этот элемент  $\alpha_1^4$  (назовём его Светон) даёт начало всей Периодической Системе Химических Элементов (табл.5.1).

\*\*

**Светон является составной частью Атомов всех химических элементов.**

Газы: водород, гелий, азот - поглощают сгустки света и это поглощение определяет их атомные веса, как кратные  $m_c^*$  и  $m_c^{**}$ .

Газы	Водород	Гелий	Азот
Атомные веса, к.е.	$1,008 \equiv 1+(0,008=m_c^*)$	$4,008 \equiv 4+(0,008=m_c^*)$	$14,008 \equiv 14+(0,008=m_c^*)$
Атомные веса и заряды, $m_c^{**}$	$H_{1/0,008=125}^{1/0,002=500}$	$He_{4/0,008=500}^{2/0,002=1000}$	$N_{14/0,008=1750}^{7/0,002=3500}$
Примечание	к.е. - кислородная единица, равная 1/16 атомного веса кислорода.		

(5.3)

\*\*

Для определения истинного атомного веса элементов, из их атомного веса в кислородных единицах сгусток  $m_c^* = 0,008$  надо вычитать (5.3).

Полученные разности между атомными весами в кислородных единицах и массой  $m_c^*$  необходимо делить на эту массу (5.3):

$$A_H^* = \frac{A_H - m_c^*}{m_c^*} = \frac{1,008 - 0,008}{0,008} = 125 ;$$

$$A_{He}^* = \frac{A_{He} - m_c^*}{m_c^*} = 500 ; A_N^* = \frac{A_N - m_c^*}{m_c^*} = 1750 , \quad (5.4)$$



и тогда, уважаемый Читатель, Вы получите атомные веса элементов не в кислородных единицах, а относительно сгустка  $m_c^*$ .

\*\*

Условимся обозначать атомные веса в сгустках  $m_c^*$  как символ ( $A_{\text{элемент}}^*$ ) со звёздочкой, отличая его от атомного веса ( $A_{\text{элемент}}$ ) в кислородных единицах (5.3).

\*\*

**Любую массу микро-макро сгустков Единого Космоса сжимает электрон-позитронное облако энергетической атмосферы.**

Число электронов в Атоме совпадает с его порядковым номером в Периодической Системе.

Для тог, чтобы учесть и электрон, и позитрон необходимо порядковый номер элемента увеличить вдвое.

Потенциал электрон-позитронного облака будет определяться по массе  $m_c^{**} = 0,002$  и окажется **равным отношению удвоенной величины порядкового номера элемента на массу  $m_c^{**}$ :**

<b>Потенциал электрон-позитронного облака</b>	
$\frac{2n}{m_c^{**}} = \frac{2n}{0,002} = 10^3 n,$	где $n = 1, 2, 3, \dots, 112$ - порядковый номер элемента.

(5.5)

Пример. Атом гелия имеет два электрона, а атом 112 элемента окружен 112 электронами.

Для того, чтобы вычислить электрон-позитронное облако над этими Атомами необходимо их порядковый номер умножить на два и разделить на  $m_c^{**} = 0,002$ :

Электрон-позитронное облако			
Гелий	He <sup>2</sup>	Элемент 112	X <sup>112</sup>
Расчёт: $\frac{2 \times 2}{m_c^{**}} = \frac{4}{0,002} = 2000$		Расчёт: $\frac{112 \times 2}{m_c^{**}} = \frac{224}{0,002} = 112000$	
Обозначение: He <sup>2000</sup>		Обозначение: He <sup>112000</sup>	

(5.6)

\*\*

Порядковые номера элементов, например 2 для гелия или 112 для элемента X (5.6), могут быть использованы и для определения атомных весов.

**Атомный вес любого элемента равен удвоенному отношению его порядкового номера к массе  $m_c^* = 0,008$ .**

Продолжим пример с гелием и элементом 112:

Атомные веса элементов			
Гелий	He <sup>2</sup>	Элемент 112	X <sup>112</sup>
Расчёт: $A_{He}^* = \frac{2 \times 2}{m_c^{**}} = \frac{4}{0,008} = 500$		Расчёт: $A_{112}^* = \frac{2 \cdot 112}{0,008} = 28000$	
Обозначение: He <sub>500</sub>		Обозначение: He <sub>28000</sub>	

(5.7)

\*\*

Обозначение Атома любого элемента должно содержать потенциалы и его атомного веса и электрон-позитронной оболочки - атмосферы над массой.

Продолжим пример с гелием и элементом 112:

Полное обозначение энергетического поля атома			
Гелий	He <sup>2</sup>	Элемент 112	X <sup>112</sup>
2000 - электрическое облако He <sub>500</sub> - атомный вес, где: $\frac{2000}{500} = \frac{m_c^*}{m_c^{**}} = 4$		112000 - электрическое облако He <sub>28000</sub> - атомный вес, где: $\frac{28000}{112000} = \frac{m_c^{**}}{m_c^*} = \frac{1}{4}$	

(5.8)

Полное обозначение (характеристика энергетических полей) элементов (5.8), то есть её относительная часть, может быть сокращена, так как мы знаем, что атомный вес элемента в четыре раза меньше его электрон-позитронного облака:

$$He_{500}^{2000} \equiv He_1^4 \quad u \quad X_{28000}^{112000} = X_1^4. \quad (5.9)$$

Вместе с тем мы знаем, что потенциал электрон-позитронного облака равен порядковому номеру элемента, умноженного на 1000 (5.6):

Взаимосвязь компонент в атоме элемента		
В кислородных единицах	В массах света	Сокращенная запись
$X^n$	$X_{\frac{500n}{4}=125n}^{2 \cdot 500n}$	$X_n^{8n}$

(5.10)

При энергетическом описании элемента с позиции света необходимо сократить запись Д.И.Менделеева, но знать, что электрон-позитронное облако в 1000 раз больше порядкового номера элемента, а его атомный вес меньше потенциала электрического облака в четыре раза (5.10).

Подход к расчету атомных весов по методу (5.10) вызовет скандал в науке.

Академики всех стран объединятся для борьбы с этим методом: мы тысячелетиями измеряли-проверяли, а он... А я доказываю следующее.

1. Наша наука работает методом Приближения. Она ищет **статическую равновесную точку опоры в пульсирующих неравновесных энергетических Системах Реальности.**

2. Чтобы выполнить условия статического равновесия надо остановить Космос. Это невозможно, но хочется. Поэтому и прижился метод Приближения.

3. Масса атомов пульсирует существуя в динамике. Мы их измеряем. Обрабатываем результаты замера и говорим, например, масса электрона равна [9]:

$$m_e = (9,1091 \pm 0,0004) \cdot 10^{-31} \text{ кг.} \quad (5.11)$$

Причем величину  $\pm 0,0004 \cdot 10^{-31}$  кг списываем на ошибку измерения. Но это не ошибка, а амплитуда пульсации электрона по массе и рассматривать её надо не в статике с ошибкой, а в динамике пульсации:

<b>Масса электрона в динамике <math>\times 10^{-31}</math> (5.11)</b>			(5.12)
Сжатие	Равновесие	Растяжение	
9,1091 – 0,0004	9,1091 $\pm$ 0	9,1091 + 0,0004.	

Не отделяя статику равновесия от динамики движения, **наша наука замерила атомные веса элементов "оптом"... и зашла в тупик:** периодичность роста масс элементов осталась неизвестной.

\*  
\*\*

Начало формирования периодических систем в поле Материи связано с вихрем фотонов, формирующих заряды-импульсы.

Момент равновесия в этих полях определяется потенциалом 112:

Число элементов в периодической системе				(5.13)
Равновесие в Продолжительности	Электричество в атмосфере	Магнетизм в жидкой плазме	Гравитация в Космосе	
$T_0^2(T_0 + \tau) = 112$	$7\sqrt{qq^*} = 112$	$8\sqrt{\mu\mu^*} = 112$	$4\sqrt{\rho\rho^*} = 112.$	

\*  
\*\*

В периодической системе химических элементов переход между соседними элементами связан с изменением числа электронов на один электрон ( $\pm 1$ ).

В периодической системе из 112 элементов (5.13) число электронов будет равно сумме арифметической прогрессии и зависит от разности длин волн солнечного белого света в поле гравитации:

Число электронов (позитронов) 112 элементов периодической системы химических элементов		(5.14)
Сумма арифметической прогрессии	Белый солнечный свет в гравитации	
$\frac{1+112}{2} \cdot 112 = 6328$	$(\Delta\lambda = 3600) \cdot \frac{7}{4} + 28 = 6328.$	

\*\*

Пульсируя в электрон-позитронной атмосфере над массой сгустка, свет создает **Капли ядерного вещества**:

<b>Формирование Капель ядерного вещества</b>	
$\int_0^{112/m_c^{**}=56 \cdot 10^3} \varphi d\varphi : \int_{m_c^{**}=0,002}^{m_c^*=0,008} \varphi d\varphi = 1045, (3) \cdot 10^{11} \equiv H^* \cdot 10^{11}.$	(5.14)

В Капле ядерного вещества начинается электролиз с электрохимическим эквивалентом

$$H^* = 0,1045 \text{ мг/А} \cdot \text{сек.} \quad (5.15)$$

Электролиз сменяется диссоциацией в жидких средах, имеющих различную степень ионизации, и далее происходит синтез воды [20]:

<b>Формирование воды из Жидкой Плазмы Света</b>			
Процесс	Эквиваленты	Реакция	Потенциалы
1. Электролиз	Электрохимические	$H^* + 2OH^* \rightarrow$	$2 \cdot 0,140 + 2 \cdot 0,177 = 0,563 \text{ мг/Асек}$
2. Диссоциация	Ионизации	$\rightarrow 2H^+ + 2OH^- =$	$2 \cdot 31,5 + 2 \cdot 174 = 63 + 348 = 411$
3. Синтез воды	Молекулярные	$\rightarrow 2H_2O =$	$2 \cdot 18 = 36$
Примечания	1. Потенциалы надо $\times 10^{11}$ (5.14). 2. Справочные данные [20]: $H^+ = 31,5$ ; $OH^- = 174$ ; $H = 0,1040$ ; $OH = 0,177$ .		

\*\*

Свет, пульсируя в окружающей среде, изменяет фазовые состояния среды: свет  $\Leftrightarrow$  газы  $\Leftrightarrow$  вода  $\Leftrightarrow$  твёрдая фаза  $\Leftrightarrow$  жидкая плазма [4].

Свет будет характеризоваться эффективностью взаимодействий ( $\rho_5 = 10$ ); газы - появлением в них оболочек ( $7^2 = 49$ ); вода - формированием молекулярного веса воды, равного 18; твёрдая фаза (зола) - появлением углерода с атомным весом 12; жидкая плазма - энергетической плотностью, равной

$$K = \Delta B \cdot r_2^2 \cdot \left( \pm \int_0^1 \varphi d\varphi \right) = 18. \quad (5.16)$$

Направленность фазовых переходов будет диктоваться экзо-эндотермией, что проявит себя в колебаниях между слабыми взаимодействиями и взаимодействиями света:

Фазовая структура Материи Космоса [4]						
Фазы	Солнечный свет	Газы	Вода	Твёрдое (зола)	Жидкая плазма	Люминесцентный свет
Потенциалы	$\rho_5 = 10$	$(T_o + \tau)^2 = 49$	$M_{H_2O} = 18$	$A_c = 12$	$K[5.16] = 18$	$\rho_2 = 1/10$
Пульсация Вселенной	$\rho_2 \equiv \frac{49 - (18 + 12 + 18)}{10} \equiv \frac{1}{10} \Leftrightarrow 10 \equiv \frac{10}{49 - (18 + 12 + 18)} \equiv \rho_5$					

(5.17)

\*\*

Свет пульсирует в Капле ядерного вещества с периодичностью, эквивалентной

$$\rho_5 \left( \pm \int_0^1 \varphi d\varphi \right) = \pm 10 \cdot \frac{1}{2} = \pm 5. \quad (5.18)$$

Возникает Пять Энергетических уровней колебаний, каждый из которых возмущает окружающую среду:

Взаимодействия света в Космосе (5.18)						
Уровни	0	1	2	3	4	5
Среды	Канал экстра-сенso-рики	$\pm \int_0^1 \varphi d\varphi$ $= \pm 1/2$	$\pm \int_1^2 \varphi d\varphi$ $= \pm 3/2$	$\pm \int_2^3 \varphi d\varphi$ $= \pm 5/2$	$\pm \int_3^4 \varphi d\varphi$ $= \pm 7/2$	$\pm \int_4^5 \varphi d\varphi$ $= \pm 9/2$
сумма	25-й кадр	$\frac{1+3+5+7+9}{2} - \left( -\frac{1+3+5+7+9}{2} \right) = 25$				
Святой Дух	24-й кадр	$\frac{3+5+7+9}{2} : \int_0^1 \varphi d\varphi = 24 \Leftrightarrow$ $\frac{1}{24} = \frac{2}{3+5+7+9} \cdot \int_1^0 \varphi d\varphi$ <p>"Трон Христа на Небе окружен 24 Пресвятыми Престолами" (Откровения).</p>				

\*\*

Материя сгустка пульсирует на фоне пульсации Тонких Энергий.

Энергетический Фон Тонких Энергий при частоте пульсации, равной 25, проникает в нас на уровень Подсознания (25 кадр); при частоте 24 - на уровне Сознания (24-й кадр 5.19).



\*  
\*\*

Бог Святой Дух - это энергетический Фон Единого космоса, который создается волновыми колебаниями в Арупе:

<b>Структура Бога Святого Духа (5.19)</b>	
Волны	$24 = 3 \cdot 8 \equiv \tau \sqrt{2}^6 \Leftrightarrow \frac{1}{\tau \sqrt{2}^6} = \frac{1}{3 \cdot 8} = \frac{1}{24},$ <p style="margin: 0;">где <math>\sqrt{2} = \text{Sc } \pi/4 = \text{Csc } \pi/4</math> и <math>1/\sqrt{2} = \text{Sin } \pi/4 = \text{Cos } \pi/4</math>.</p>

(5.20)

Великая Цивилизация тысячелетиями старается донести до вас, люди сегодняшней Земли, значимость тонко-энергетических волн.

Они дают **величины потенциалов** в пропорциях Священного Треугольника, Круге Универсума, Календаре цивилизации Майи, пропорциях Пирамид, расставленных на Земле.

Боги хотят, чтобы мы сравнили потенциал Святого Духа и объем великой Пирамиды:

<b>Постоянная размножения биоклетки</b>	
$\frac{\text{Святой Дух}}{\text{Объём Пирамиды}} = \frac{3 \cdot 8 = 24}{\frac{1}{3} \cdot 8 \cdot 2^{7/4}} = (9 + 0) \cdot (H = 2^{7/4}) = \text{Const}.$	

(5.21)

**Но и в Древности были Приватизаторы, так что Хеопс переплюнул Ельцина.**

\*  
\*\*

В Периодической Системе 112 элементов имеют 6328 электронов (5.14) и столько же позитронов.

Количество электрических зарядов в атмосфере над общей массой 112 элементов, равно

$$\text{Чл} = \pm[6328 - (-6328)] = \pm 12656 = \pm 112 \cdot 113. \quad (5.22)$$

И вновь Библия нам подсказывает: **113 - это Число Человека.**

Всё сходится: сначала была создана Периодическая Система, а затем из Свойств - Сочетаний элементов был создан Человек.

**Человек - это живая энергетическая Система, которая функционирует на базе использования электрических, магнитных и гравитационных полей.**

Такой образ жизни обеспечивается потенциалом 112 (5.22):

$$\text{Чл} = \pm 112 \cdot 113 = \pm (7 \sqrt{qq^*} = 8 \sqrt{\mu\mu^*} = 4 \sqrt{\rho\rho^*}) \cdot 113. \quad (5.23)$$

**Человек - это живая энергетическая Система, в которой рост-вес (масса) была бы подобна сгустку Тянь в оболочке; полушария мозга обладали бы цистранс изомерией Цинь в оболочке; а его Эволюция не нарушала бы Законы Единого Космоса.**

Все эти перечисленные Свойства - Сочетания при-сущи Человеку (5.22):

<b>Эволюционная функциональность Человека</b>			
Функцио- нальность	Электрическая семеричност движения	Магнитная изомерия Цинь	Гравитационное поле Тянь
Потенциал	$\text{Чл} = \pm 112 \cdot 113$ $\equiv 7 \cdot 16^2 \cdot 113 \equiv$ $(T_0 + \tau) qq^* \cdot 113$	$\text{Чл} = \pm 112 \cdot 113$ $\equiv 3,5^2 \cdot 32 \cdot 113 \equiv$ Цинь	$\text{Чл} = \pm 112 \cdot 113 =$ $\left( \frac{\tau}{T_0} = \frac{3}{4} \right) \cdot 64 \cdot 113$ Тянь.

(5.24)

Это выражение (5.24) описывает резонансное поле с Числом Человека.

Резонансное поле с Числом Человека (5.24) пульсирует. Резонанс периодически сменяется антирезонансом, и наоборот, на смену антирезонансу приходит резонанс.

**Частоту пульсации поля с Числом Человека можно определить по приведенной резонансно - антирезонансной пульсации:**

<b>Частота пульсации поля с Числом Человека</b>			
Режим	Резонанс	Антирезонанс	
		Сумма	Разность квадратов
Потенциалы	$\text{Чл} \pm 112 \cdot 113$	$113 + 112 = 225 = 15^2$	$113^2 - 112^2 = 225 = 15^2$
Разности	$\frac{112 \cdot 113}{225} \Leftrightarrow \frac{225}{112 \cdot 113} \rightarrow (112 \cdot 113)^2 - (225)^2 = \sim 16 \cdot 10^7 = k.$		

Постоянная k (5.25) одна из важнейших постоянных Единого Космоса.

Дело в том, что сгусток света

$$(m_c + E_\lambda)^2 \cdot E_\lambda = 4/\pi^3, \quad (5.26)$$

формирует в поле k электрическую ( $\epsilon_0 = 10^7/4\pi^2$  ф/м) постоянную среды, а волна-частица ( $m_c = E_\lambda = 1/\pi$ ) в сгустке Тянь формирует в поле k (5.25) магнитную постоянную среды ( $\mu_0 = 4\pi \cdot 10^{-7}$  Гн/м):

<b>Формирование светом электромагнитных сред</b>		
Среды	Электрическая	Магнитная
Процессы	$(m_c + E_\lambda)^2 m_c = \frac{4}{\pi^3} \equiv 16 \cdot 10^7 \cdot (10^{-7}/4\pi^3 = \epsilon_0) \equiv k \cdot \epsilon_0$	$\frac{64 \cdot 10^7 \cdot 10^{-7}}{m_c} = 16 \cdot 10^7 \cdot 4\pi \cdot 10^{-7} \equiv 16 \cdot 17^7 \cdot \mu_0 = k \mu_0.$

Из этой (5.27) электромагнитной среды Свет формирует Атомы (табл.5.1).

Таблица 5.1

## Периодическая система химических элементов

Формула расчёта:  $X^{2n/m_c^{**}=1000n}$   
 $n/m_c^*=125n$

где n - порядковый номер элемента

1. Число групп формирует Арупа:  $\tau^2 = 9$

2. Число периодов определяет  $T_0 + \tau = 7$ .

		<div><div>←</div><div>число групп: <math>\tau^2 = 9</math></div><div>→</div></div>									
		I	II	III	IV	V	VI	VII	VIII	IX	
<div>↑ число периодов: <math>T_0 + \tau = 7</math> ↓</div>	1	$m_c^{**}$	<div>←→</div>				$\alpha_1^4$	<div>←→</div>		$m_c^*$	
		$H_{125}^1$	<div><div>→ +1000 (n = 1) = 1000</div><div>← +2000 = 1000 (n = 2)</div></div>								$He_{1250}^2$
	2	$Li^3$	$Be^4$	$B^5$	$C^6$	$N^7$	$O^8$	$F^9$		$Ne_{250}^{10}$	
	3	$Na^{11}$	$Mg^{12}$	$Al^{13}$	$Si^{14}$	$P^{15}$	$S^{16}$	$Cl^{17}$		$Ar_{2250}^{18}$	
	4	$K^{19}$	$Ca^{20}$	$Sc^{21}$	$Ti^{22}$	$V^{23}$	$Cr^{24}$		$Mn, Fe, Co, Ni$		
		$Cu^{29}$	$Zn^{30}$	$Ga^{31}$	$Ge^{32}$	$As^{33}$	$Se^{34}$	$Br^{35}$		$Kr_{4500}^{36}$	
	5	$Rb^{37}$	$Sr^{38}$	$Y^{39}$	$Zr^{40}$	$Nb^{41}$	$Mo^{42}$		$Tc, Ru, Ir, Pd$		
		$Ag^{47}$	$Cd^{48}$	$In^{49}$	$Sn^{50}$	$Sb^{51}$	$Te^{52}$	$I^{53}$		$Xe_{6750}^{54}$	
	6	$Cs^{55}$	$Ba^{56}$	$La^{57*}$	$Hf^{72}$	$Ta^{73}$	$W^{74}$		$Re, Os, Ir, Pt$		
		$Au^{79}$	$Hg^{80}$	$Tl^{81}$	$Pb^{82}$	$Bi^{83}$	$Po^{84}$		$At^{85}$	$Rn_{10750}^{86}$	
7	$Fr^{87}$	$Ra^{88}$	$Ac^{89**}$						$X_{14000}^{112}$		

\* Лантаноиды: лантаноидное сжатие

(табл.5.14)

Группы	1	2	3	4	5	6	7	8
Элементы	La <sup>57</sup>	Ce <sup>58</sup>	Pr <sup>59</sup>	Nd <sup>60</sup>	Pm <sup>61</sup>	Sm <sup>62</sup>	Eu <sup>63</sup>	Cd <sub>8000</sub> <sup>64</sup>
	Ly <sup>71</sup>	Yb <sup>70</sup>	Tm <sup>69</sup>	Er <sup>68</sup>	Ho <sup>67</sup>	Dy <sup>66</sup>	Tb <sup>65</sup>	
Электроны	128	128	128	128	128	128	128	64

\*\* Актиноиды: радиационное излучение

(табл.5.13)

Группы	1	2	3	4	5	6	7	8	9	10	11	12	13
Элементы	Ra <sup>88</sup>	Ac <sup>89</sup>	Th <sup>90</sup>	Pa <sup>91</sup>	U <sup>92</sup>	Np <sup>93</sup>	Pu <sup>94</sup>	Am <sup>95</sup>	Cm <sup>96</sup>	Bk <sup>97</sup>	Cf <sup>98</sup>	Es <sup>99</sup>	Fm <sub>12500</sub> <sup>100</sup>
	X <sup>112</sup>	X <sup>111</sup>	X <sup>110</sup>	X <sup>109</sup>	X <sup>108</sup>	X <sup>107</sup>	X <sup>106</sup>	Ns <sup>105</sup>	Ku <sup>104</sup>	Lr <sup>103</sup>	No <sup>102</sup>	Md <sup>101</sup>	
Электроны	200	200	200	200	200	200	200	200	200	200	200	200	100

## 5.2 Первый период: свет, водород, гелий

Споры о том, в какой группе находится водород, лишены смысла, ибо водород дрейфует в потоках света (табл.5.1).

Дрейф водорода обеспечивают волны-сгустки света, то есть поле с потенциалом  $\alpha_1^4$  (табл.5.1).

Между электрон-позитронной оболочкой и массой сгустка в поле света возникает резонансно-антирезонансная пульсация:

$$\alpha_1^4 \Leftrightarrow \frac{1}{\alpha_1^4} \quad \text{или} \quad \frac{1 \cdot 4}{4-1} \Leftrightarrow \frac{4-1}{1 \cdot 4} \quad \text{и} \quad T_0^2 \Leftrightarrow \tau^2. \quad (5.28)$$

В Едином Космосе возникла разность потенциалов, которая разделила Космос на Рупу и Арупу.

Деление произошло в пропорциях Священного Треугольника великой Цивилизации.

\*\*

**"5. У Порога Четвертого Сынам указано создавать свои Подобия. Одна треть отказывается, две Повинуются"** ([1]. Космогенезис. Станца IV).

**Порог Четвертого** - это начало формирования Рупы (формы), то есть инерционных систем.

В первом периоде Периодической Системы Элементов **роль Рупы выполняют Атомы водорода и гелия.**

В Едином Космосе **Энергия Материи составляет одну треть от всей Энергии Космоса, а Тонкой Энергии две трети.**

Отказ **Одной Трети** от создания своих **Подобий**, и повиновении **Двух Третьей**, говорит о том, что **Источником любой Эволюции является Тонкая Энергия.**

\*  
\*\*

Тонкая Энергия созидает не только живую биоклетку, но и Периодическую Систему химических элементов: число групп, равное 9 эквивалентно  $\tau^2 = 9$ , а число периодов - ( $T_o + \tau = 7$ ).

\*  
\*\*

**"Проклятие произнесено: они будут рождены в Четвертой, страдать и приносить страдания. Первая война зародилась"** ([1]. Космогенезис. Станца VI).

Применительно к Периодической Системе эта Станца VI (п.5) говорит о том, что в поле света возникли **сгустки Атомов Водорода и Гелия**, а также колебания между ними, затрагивающие электрон-позитронные оболочки (атмосфера) и массы Капель ядерного Вещества (табл.5.1, табл.5.2).

Таблица 5.2

**Свет между водородом и гелием**

Форма записи	В кислородных единицах	В относительных единицах	Относительно сгустков света
	$H_{1,008}^1 \Leftrightarrow He_{4,008}^2$	$H_{1-h}^{8-n} \Leftrightarrow He_{1-n}^{8-m}$	$H_{125}^{1000} \Leftrightarrow He_{250}^{2000}$
Контурь колебаний	$\frac{1}{1,008} \Leftrightarrow \frac{4,008}{2}$ $2 \Leftrightarrow 4,008$ $\begin{array}{r} \times \\ 1,008 \\ \hline 10^{-6} \cdot 64 \end{array}$	$\frac{8(n=1)}{1(n=1)} \Leftrightarrow \frac{1(n=2)}{8(n=2)}$ $64 \Leftrightarrow 1$ <p style="text-align: center;"><i>Сгусток Тянь</i></p>	$\frac{10^3}{125} \Leftrightarrow \frac{250}{2 \cdot 10^3}$ $2 \cdot 10^6 \Leftrightarrow 31250$ $2 \cdot 10^5 \Leftrightarrow 55$ $10^5 \Leftrightarrow 2,5 \cdot 54$ <p style="text-align: center;">Кундалини сгущения.</p>

Колебания света между водородом и гелием приводит к сгущению Небесных Тел (света) до сгустков с потенциалом 64 (Тянь), взаимодействиям с эффективностью  $10^5$ , энергией связи с потенциалом  $5^4$ , и сжимающейся ветви Кундалини с потенциалом 2,5 (табл.5.2).

Этот важнейший процесс (табл.5.2) великая Цивилизация подробно описала и передала нам в виде Книги Перемен, где Тянь, Цинь и Сияние Ли записаны в Форме Иероглифов, а ориентиром для понимания Процессов является Число Иероглифов.

Книга Перемен описывает Эволюцию Живого ещё на уровне микроструктур клеток, например поведение 63 геномов в процессе диссоциации воды (5.15).

\*\*

Химические процессы между водородом и гелием протекают не сами по себе, а инициируются светом (Сияние Ли).

Результатом реакции между водородом и гелием является то, что атомарный водород стремительно трансформируется в молекулярный (табл.5.2):

Молекулярный водород и гелий	
$He_{250}^{2000} - H_{125}^{1000} = H_{125}^{1000}$	$He = (H_2)_{250}^{2000}$

(5.29)

\*\*

Гелий впервые обнаружили в спектре солнца. Это произошло потому, что синтез гелия связан с экзотермией, то есть с взаимодействиями  $\rho_3$ ,  $\rho_4$  и  $\rho_5$ .

Молекулы водорода имеются в полях глубокой эндотермии, то есть при взаимодействиях  $\rho_1$  и  $\rho_2$ .

Точечный участок волны света в течении равной продолжительности  $T_0 = 4$  будет формировать в экзотермии гелия и эндотермии молекулярного водорода разные потенциалы (табл.5.3).

Таблица 4.9

**Экзотермия гелия и эндотермия водорода**

Газы	Гелий	Молекулярный водород
Потенциалы	$He_{250}^{2000} \equiv H_1^8$	$(H_2)_{250}^{2000} \equiv (H_2)_1^8$
Термия	$27 = \lg \rho_3 \rho_4 \rho_5 = \lg 10^{12} \cdot 10^{14} \cdot 10^1$	$-25 = \lg \rho_1 \rho_2 = \lg 10^{24} \cdot 10^{-1}$
Пульсация	$\frac{8}{1} \cdot 27 \cdot \left( \pm \int_0^1 \varphi d\varphi \right) = \pm 108$	$\frac{8}{1} \cdot (-25) \cdot \left( \pm \int_1^0 \varphi d\varphi \right) \equiv 7100 \equiv \pm \rho_5^2$

Величина потенциала экзотермической реакции гелия чётко совпадает с Числом Реинкарнаций, равному 108 по Буддизму.

Однако в биологической Жизни гелий - водородная приведенная пульсация связана с Кундалини:

$$\pm \frac{108 \cdot 100}{108^2 - 100^2} = \pm \frac{10800}{1664} = 6,5 \equiv (3,5 + 2,5) = \int_0^1 \varphi d\varphi. \quad (5.30)$$

### 5.3 Газы и свет: великая Цивилизация о кинетической теории газов

Сгущение солнечного эфира в газы: водород, азот, кислород и гелий происходит по законам, описанным пропорциями великой Пирамиды.

В целях доказательства рассмотрим переход атомарных неинертных газов в молекулярные:



Атомно-молекулярные веса газов без $m_c^* = 0,008$				
Веса	Неинертные газы			Гелий
	Кислород	Водород	Азот	
Атомар- ный	$A_O = 16$	$A_H = 1,008 - m_c^* = 1$	$A_N = 14,008 - m_c^* = 14$	$A_{He} = 4$ .
Молеку- лярный	$A_{O_2} = 32$	$A_{H_2} = 2$	$A_{N_2} = 28$	

(5.31)

На атом гелия (5.31) действуют метагалактические волны Единого Космоса, и атомный вес гелия становится равным по величине высоте ( $H = 2^{7/4}$ ) великой Пирамиды (рис.5.1).

Пульсация атомарного кислорода формирует потенциал - эквивалент площади основания ( $a^2 = 8$ ) великой Пирамиды (рис.5.1):

Пульсация атомарных гелия и водорода	
Гелий: высота (H) Пирамиды	Кислород: основание ( $a^2$ ) Пирамиды
$H = 2^{7/4} \equiv A_{He}(\sin \pi/4 =$ $\cos \pi/4 = \dots)^{1/2} =$ $4 \cdot 2^{-1/4} = 2^2 \cdot 2^{-1/4}$	$a^2 = 8 \equiv A_0 \left( \pm \int_0^1 \varphi d\varphi \right) =$ $16(\pm 1/2) = \pm 8$

(5.32)

Скорость формирования сгустков атомов под влиянием Продолжительности  $\tau = 3$  в Арупе и будет потенциал - эквивалентом объёма великой Пирамиды:

$$V_{II} = \frac{1}{3} 8 \cdot 2^{7/4} \equiv \frac{1}{3} a^2 H \equiv \frac{1}{\tau} \cdot A_O \int_0^1 \varphi d\varphi \cdot A_{He} \sqrt{\sin \pi/4} . \quad (5.33)$$

Пропорциональность компонент Пирамиды сокращается при переходе от атомов к молекуле газов (5.31).

$$\frac{\text{молекулы}}{\text{атомы}} \equiv \frac{32}{16} \equiv \frac{2}{1} \equiv \frac{14}{7} = 2 \equiv A_{He}. \quad (5.34)$$

Великая Цивилизация знала эти законы (5.31, 5.34).

Ж.Ф.Лауэр, француз, смотритель Пирамид, удивлялся: **Строители были великолепными геодезистами. Они знали, что на диагонали квадрата можно построить новый квадрат с удвоенной площадью относительно первого квадрата [21].**

Этим способом и были возведены Пирамиды.

Пропорциональность, удивившая Лауэра, сохраняется и в сгустках света (рис.5.1):

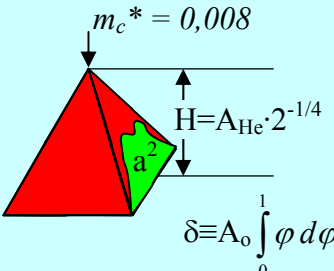
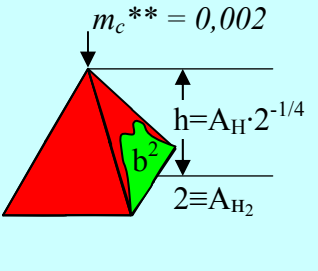
1. Свет, гелий, кислород	2. Азот	3. Свет и водород
	<p>Магнетизм  <math>A_N = 14</math>  <math>\longleftrightarrow</math>  <math>H_{N_2} = 28</math>          гравитация</p>	

Рис.5.1 Великая Пирамида как векторное описание взаимосвязи света и газов (5.3.1)

Векторное описание полей сгустков света и газов пропорциями великой Пирамиды (рис.5.1) освещает множество проблем, в частности следующие моменты:

1. При сгущении водорода водород поглощает сгусток света  $m_c^{**} = 0,002$ .

Высота (h) Пирамиды является потенциал - эквивалентом веса атома водорода в поле колебания метagalacticких волн (рис.5.1.3):

$$h = A_H \sqrt{\sin \pi/4} = 1 \cdot 2^{-1/4}. \quad (5.35)$$

Основание Пирамиды с высотой  $h$  (5.34) является потенциал - эквивалентом молекулярному весу водорода (рис.5.1.3):

$$b^2 = 2 \equiv A_{H_2}. \quad (5.36)$$

Объём Пирамиды Водорода, поглощающей свет, формируется полем Арупы с Продолжительностями  $\tau = 3$  и равен:

$$V_H = \frac{1}{3} b^2 h = \frac{1}{3} 2 \cdot 2^{-1/4} = \frac{1}{3} \cdot 2^{3/4} = \frac{1}{\tau} 2^{\tau/T_0} \equiv \frac{1}{\tau} A_{H_2} \cdot A_H \sqrt{\sin \frac{\pi}{4}}. \quad (5.37)$$

Полученное выражение (5.37) описывает **Закон** поступления Тонкой Энергии в поля Энергии Материи микро- макро-сгустков: от субструктур биоклетки до астрономических тел. Причем атомарно-молекулярный водород  $A_{H_2} \cdot A_H \equiv A_{H_3}$  является источником формирования **изотопа водорода - трития**.

Формирование изотопов водорода возмущает окружающую среду и в ней появляется гелий:

$$\int_{H_1}^{H_3} \varphi d\varphi \equiv \frac{1}{2} (3^2 - 1) = 4 \equiv A_{He}. \quad (5.38)$$

2. Появление гелия (5.38) в сжатом сгустке водорода (рис.5.1.3) происходит по законам, которые описывают пропорции новой Пирамиды (рис.5.1.1).

В этой новой Пирамиде потенциал атомного веса гелия, масса которого испытывает влияние колебания реликтового метagalacticкого фона Космоса  $(\sqrt{\sin \pi/4} = \sqrt{\cos \pi/4} = 2^{-1/4})$ , будет описываться потенциал - эквивалентом высоты (H) великой Пирамиды (рис.5.1):

<b>Атомный вес гелия - высота Пирамиды</b>
$H = 2^{7/4} = 2^2 \cdot 2^{-1/4} = (A_{He} = 4) \cdot (\sqrt{\sin \pi/4} = 2^{-1/4}). \quad (5.39)$

3. Колебания гелия в поле точечного участка волны света приводит к формированию атомного веса кислорода, а затем и молекулы кислорода.

Пульсация атомарного кислорода в Космосе формирует потенциал-эквивалент площади основания ( $a^2 = 8$ ) великой Пирамиды (рис.5.1.1):

<b>Гелий-кислород – основание Пирамиды. Связь с водородом</b>		
Водород - гелий	Гелий - кислород - водород	
$T_o \equiv T_o \cdot A_H \equiv A_{He} = 4$	$T_o^2 = 16 \equiv T_o \cdot A_{He} \equiv T_o^2 A_H = A_o = 16$	$T_o^2 \lg \rho_1 \rho_2 \rho_3 \rho_4 \rho_5 \cdot A_H \equiv T_o A_{He} \cdot 2 \equiv T_o^2 A_H \cdot 2 \equiv A_{O_2} = 32$
$a^2 = 8 = \left( A_o \cdot \int_0^1 \varphi d\varphi = 16 \cdot \frac{1}{2} \right) \equiv \frac{32 \cdot 4}{16}. \quad (5.40)$		

Совместные колебания газовой смеси гелий - водород - кислород будут описываться векторно эпюрой с Пропорциями великой Пирамиды:

4. Свет, созидатель газов, сгущается по законам, количественные отношения в которых описаны пропорциями великой Пирамиды (рис.5.2).

Изменение сред (Космический фон), из которых формируются газы и свет, описаны пропорциями Круга Универсума [5].

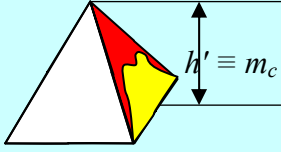
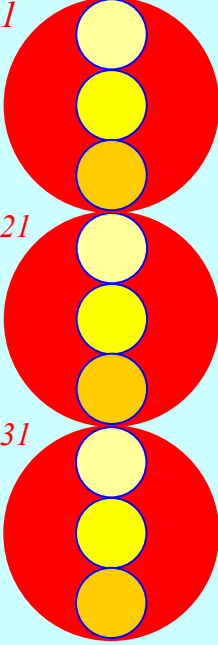
<p>1. Великая Пирамида как векторное описание сгущения Света на фоне Космоса</p>	<p>2. Круг Универсума (Откровения [5]) как векторное описание изменения фона Космоса во взаимодействиях</p>
<p>Фон: <math>23/4 \equiv 2^{\tau/T_0}</math></p>  <p><math>h' \equiv m_c^{**} = 2 \cdot 10^{-3}</math></p> <p><math>a^2 \equiv m_c^* = 8 \cdot 10^{-3}</math></p> <p>Объём: <math>V'_\Pi = \frac{1}{3} a^2 h =</math></p> $\frac{1}{\tau} \cdot m_c^* \cdot m_c^{**} \cdot 2^{3/4} \equiv$ $\frac{1}{3} \cdot 8 \cdot 2^{7/4} \cdot 10^{-6}$ <p><b>Свет в поверхностной фиолетовой волне:</b></p> $V'_\Pi \cdot \lambda_\phi^2 = \frac{4}{3} 64 \cdot 2^{3/4} \equiv \frac{T_0}{\tau} 64 \cdot 2^{\tau/T_0}$ <p>Появление Тянь.</p>	<p>Изменение фона [5]</p>  <p><b>1</b></p> <p>2; 3; 4 20; 30; 40 200; 300; 400</p> <p><b>21</b></p> <p><b>10</b></p> <p>2; 3; 4 20; 30; 40 200; 300; 400</p> <p><b>31</b></p> <p><b>10<sup>2</sup></b></p> <p>2; 3; 4 20; 30; 40 200; 300; 400</p> <p><b>4 · 10<sup>3</sup> ≡ 4000 ≡ λ</b></p> <p><math>\lambda_\phi = 4000 \text{Å}</math> - фиолетовая волна.</p>

Рис.5.2 Изменение Космического фона и сгущение света в космической среде

Пирамиды газов (рис.5.1), света (рис.5.2) и эпюра Круга Универсума отражают все важнейшие соотношения **процесса Сгущения Небесных Тел.**

Появление поверхностной фиолетовой волны формирует плазму света в форме диска с потенциалом, равным потенциалу Тянь, то есть 64 (рис.5.2):

Возникновение Тянь-Цинь		
Название и обозначение	Тянь (Тн) = 64	Цинь (Цн) = 32
Возникновение в фиолетовой волне (рис.5.2)	$V_{\Pi}^1 \lambda_{\phi}^2 \equiv$ $\frac{4}{3} \cdot 64 \cdot 2^{3/4} \equiv$ $\frac{T_0}{\tau} \cdot T_H \cdot 2^{\tau/T_0}$	$\pm V_{\Pi}^1 \cdot \lambda_{\phi}^2 \int_0^1 \phi d\phi =$ $\frac{T_0}{\tau} \cdot T_H \left( \pm \int_0^1 \phi d\phi \right) \cdot 2^{\frac{\tau}{T_0}}$ $\equiv \frac{T_0}{\tau} \cdot Ц_H \cdot 2^{\frac{\tau}{T_0}}$
Искривление энергетического Пространства светом	$m_c V_{\Pi}^1 \lambda_{\phi}^2 \equiv$ $\frac{4}{3} \pi \cdot 4^3 \cdot 2^{3/4}$ Объём шара: $V_{ш} = \frac{4}{3} \pi (R=4)^3$ Фон $\equiv 2^{3/4}$	$\pm V_{\Pi}^1 \cdot \lambda_{\phi}^2 \int_0^1 \phi d\phi :$ $(E_{\lambda} + m_c) = \frac{4}{3} \pi \cdot 16 \cdot 2^{\frac{3}{4}} \equiv$ Поверхность сферы: $Q_{ш} = 4\pi \cdot (R=4)^2$ Фон $\equiv \frac{1}{3} \cdot 2^{3/4}$

(5.42)

Над сгустком шара - Тянь и сферическими поверхностями Цинь возникает различный энергетический фон. Это нам известно: подъём над поверхностью массы сжимает величину силы притяжения к массе.

Между шаром - Тянь и сферической поверхностью Цинь возникают колебания (5.42):

Колебания Тянь (шар) и Цинь (поверхность шара)			
Поля	Тянь × фон (R = 4)	Цинь × фон (R = 4)	
		Левизны	Правизны
Формулы	$2^{3/4} \cdot V_{ш}$	$+\frac{1}{3} \cdot 2^{3/4} Q_{ш}$	$-\frac{1}{3} \cdot 2^{3/4} Q_{ш}$
Отношение масс	$\frac{\text{Тянь} \times \text{фон}}{\text{Цинь} \times \text{фон}} = \frac{2^{3/4} V_{ш}}{\pm \left[ \frac{1}{3} \cdot 2^{3/4} \cdot (Q_{ш} - (-Q_{ш})) \right]} \equiv$ $\frac{3 \cdot (V_{ш} = 4/3 \cdot \pi \cdot R^3)}{2 \cdot (Q_{ш} = 4 \cdot \pi \cdot R^2)} = \frac{R}{2} = \frac{4}{2} = 2 = \sqrt{2}^2 = \dots$		

(5.43)

Между сгустками Тянь и небесами - Цинь возникает отношение потенциальной ( $E_{\text{п}}$ ) и кинетической ( $E_{\text{к}}$ ) энергии, которое реализуется в отношении, например, молекулярных и атомных весов неинертных газов (5.44):

$$\frac{\text{Тянь} = 64}{\text{Цинь} = 32} \equiv \frac{E_{\text{п}} = mc^2}{E_{\text{к}} = \frac{1}{2}mc^2} \equiv \frac{A_{\text{H}_2} = 2}{A_{\text{H}} = 1} \equiv \frac{A_{\text{N}_2} = 28}{A_{\text{N}} = 14} \equiv \frac{A_{\text{O}_2} = 32}{A_{\text{O}} = 16} \equiv$$

$$\left[ (A_{\text{He}} = 4) \cdot \left( \pm \int_0^1 \varphi d\varphi \right) = \pm 2 \right] \equiv \pm \lg \rho_1 \rho_2 \rho_3 \rho_4 \rho_5 \equiv \dots \quad (5.44)$$

Возникают семеричные колебания гелий - водород:

$$A_{\text{H}} = 1 \Leftrightarrow A_{\text{H}_2} = 2 \Leftrightarrow A_{\text{He}} = 4 \Leftrightarrow 1, \quad (5.45)$$

где  $1+2+4 = 7 \equiv T_0 + \tau$ .

\*\*

5. Инертный газ только с парадигм нашей науки кажется инертным.

На самом деле, например инертный газ гелий, это вихрь фотон - фононов. Вихрь, который связывает равновесные состояния ( $\pm 1$ ) пульсирующих волн с периодом вращения точечного участка волны света:

Волновое поле гелия в Космосе	
Пульсация Космоса	$\left( \pm \int_0^1 \varphi d\varphi = \pm \frac{1}{2} \right) \Leftrightarrow 2 = \lg \rho_1 \rho_2 \rho_3 \rho_4 \rho_5$
Гелий и поля	$\pm 1 \quad 4 \equiv T_0 \equiv c^2/\omega^2 \equiv (A_{\text{He}} = 4).$

(5.46)

\*\*

Гелий, как и любой Атом, - это вихрь **фононов** ( $m_c^{**} = 0,002$ ) вокруг **фотонов** ( $m_c^* = 0,008$ ).

Гелий созидает как фотон - фононы света. Созидание фотон - фононами из энергии окружающей среды происходит периодически в условиях Продолжительностей Рупы - Арупы.

Возникают углерод и газы как результат трансформации энергии окружающей среды фотон - фононами:

$$\text{фотон} - \text{фонон} : m_{m_c^*}^{m_c^{**}} \equiv m_1^8. \quad (5.47)$$

В соответствии с пропорциональностью массы фотона и эквивалентностью энергии фонона мы должны делить величину-эквивалент порядкового номера элемента на  $m_c^* = 0,008$  (получим число фотонов) и умножить число фотонов на 8 для определения фононов (табл.5.4).

Таблица 5.4

**Число фотон - фононов в газах и углероде**

Элементы	Водород	Гелий	Углерод	Азот	Кислород
Атомные веса	$A_H = 1$	$A_{He} = 4$	$A_C = 12$	$A_N = 14$	$A_O = 16$
Число фотонов	125	500	1500	1750	2000
Число фононов	1000	4000	12000	14000	16000.

Великая Цивилизация не стала считать фотон-фононы поштучно для каждого процесса, а учла отношение фонон-фотонов в атоме водорода и отношение фотонов водорода к фононам кислорода (табл.5.4):



Сгущение Небесных Тел: маятник великой Пирамиды				
Переход	Водород - гелий	Водород - углерод	Водород - азот	Водород - кислород
Колебания	$\frac{1000}{125} \Leftrightarrow \frac{125}{4000}$	$\frac{1000}{125} \Leftrightarrow \frac{125}{12000}$	$\frac{1000}{125} \Leftrightarrow \frac{125}{114000}$	$\frac{1000}{125} \Leftrightarrow \frac{125}{16000}$
	$8 \Leftrightarrow \frac{1}{32}$	$8 \Leftrightarrow \frac{1}{96}$	$8 \Leftrightarrow \frac{1}{112}$	$8 \Leftrightarrow \frac{1}{128}$
Великая Пирамида (рис.2.4, табл.2.14)	$\sqrt{2}^{n=1+2+3+4+5+6+7=28} \Leftrightarrow \frac{1}{\sqrt{2}^{n-1}}$ $\sqrt{2} = Sc \pi/4 = Csc \pi/4$ $и \quad \frac{1}{\sqrt{2}} = Sin \pi/4 = Cos \pi/4$			

(5.48)

Эти четыре поля (5.48) пяти элементов (табл.5.4) определяют всю периодичность формирования сгустков Вселенной.

Первой периодической системой сгустков Вселенной является **Периодическая Система 112 Химических Элементов** (табл.5.1).

Открытые 113 и 114 элемента как таковые **элементами не являются**, а являются сгустками новых периодических систем.

Периодические системы сгустков захватывают **Макромир** Вселенной и Звёздное Небо, окружающее нас, распределено по **Периодическим Системам**. Например, в нашей Вселенной Звёздная Система с семью планетами будет подобна элементу с семью электронами, то есть азоту с порядковым номером 7.

\*\*

Вернёмся к рис.5.1, в котором показано, что азот совершает переходы от атомарного к молекулярному в полях между пирамидами свет-водород и гелий-кислород:

Колебания азота в полях свет - газы (рис.5.1)		
Гелий - Кислород	Азот	Свет - водород
Объём Пирамиды		Объём Пирамиды
$V = \frac{1}{3} A_O A_{He} = \frac{1}{3} 8 \cdot 2^{\frac{7}{4}}$	$\begin{array}{c} A_{N_2} = 28 \\ \longleftrightarrow \\ 14 = A_N \end{array}$	$\frac{1}{3} 2^{\frac{3}{4}} \equiv \frac{1}{3} A_H A_{He} = V'$ $2 = (2^{7/4-3/4})$
Колебания	$8 + 14 \Leftrightarrow 30 \equiv 28 + 2$	
	$30 \cdot 22 - (30^2 - 22^2) = 660 - 416 = 244.$	

(5.49)

### Выводы:

1. Колебания азота в средах свет - газы формируют магнитный атомарный и гравитационно-молекулярный азот (5.49):

Гравитационно-магнитная пульсация азота	
Молекула. Гравитация	Атом. Магнетизм
$A_{N_2} = 28 \equiv \sqrt{\rho \rho^*}$	$\sqrt{\mu \mu^*} \equiv 14 = A_N.$

(5.50)

Гравитационно-магнитная связь в поле азота проявляет себя, например в том, что быстрый подъём водолаза (живой магнит) приводит к кессонной болезни (азотное отравление).

2. Атомарно-молекулярное колебание азота приводит к колебаниям  $22 \Leftrightarrow 30$  (5.49), где 22 - число зубов Авраама, а 30 - сине-голубая компонента чакры Третий Глаз.

**Эта сине-голубая область приёма информации в виде 22 импульсов является магистральной для передачи информации телепатией.**

3. Разность потенциалов, равная 660, соответствует расстоянию между двумя параллельными гранями восьмигранника, обнаруженного при поперечном сечении микротрубочки поры ядра клетки амфибии.

4. Атомарно-молекулярные переходы азота являются источником излучения Света - Кундалини с потенциалом  $6^2 \equiv (3,5 + 2,5)^2 \equiv \dots$

## 5.4 Число Человека: Периодическая Система и Человек. Восьмая группа

**Создатель связал в Единое Целое** не только 22 зуба Авраама (Тора), но и **Весь Космос**, выделив в нём Арупу, Арупу-Рупу и Рупу.

Субстанциями (веществами) в этих переходах являются те вещества, у которых **потенциал разностей в начале и конце процесса перехода из одной формы энергии в другую соответствовал продолжительности процесса.**

Пример.

$$1 \equiv \rho_2^2 \frac{\Delta \Gamma \equiv 300 \overset{\circ}{A}}{\tau = 3} \equiv \rho_2^2 \frac{\Delta K - \Delta \Phi \equiv 900 \overset{\circ}{A}}{\tau^3 = 9} \equiv \rho_2^2 \frac{\Delta Z \equiv 400 \overset{\circ}{A}}{T_0 = 4} \equiv \dots \quad (5.52)$$

Это (5.52) значит **скорость перехода из одной формы энергии в другую, равная разности потенциалов перехода делённая на продолжительность перехода должна оставаться постоянной и равной единице:**

$$V = \frac{\Delta E = E_{\kappa} - E_{\pi}}{\text{Продолжительность}} = 1 = \text{Const} . \quad (5.53)$$

Назовём этот фундаментальный закон (5.53) **законом соответствия Энергии и Продолжительности.**

**Создатель**, используя закон соответствия Энергии и продолжительности, **разделил Космос на Арупу и Рупу** (табл.5.5).

Деление Космоса на Арупу и Рупу

Поле	Арупа	Арупа - Рупа	Рупа
Интервал Продолжи- тельности	$\tau = 3 \rightarrow 9 = \tau^2$	$T_0\tau \equiv 12 \rightarrow 7 = T_0 + \tau$	$T_0 = 4 \rightarrow 16 = T_0^2$
Возмущение сред	$\pm \int_3^9 \varphi d\varphi = \pm 36$	$\pm \int_7^{12} \varphi d\varphi = \pm 24$	$\pm \int_4^{16} \varphi d\varphi = \pm 120$
Приведённая пульсация	$\frac{36 \cdot 24 \cdot 120}{(36 + 24 + 120) - (-36 - 24 - 120)} = \frac{36 \cdot 24 \cdot 120}{360} = 2 \cdot 12^2$		

Полученный результат (табл.5.5) говорит о том, что **Корень Всего**, то есть метагалактические волны с потенциалом  $\sqrt{2}^2 \equiv Sc^2 \pi/4 \equiv Csc^2 \pi/4$  стали создавать вихри с **Продолжительностями** ( $T_0 \cdot \tau = 12$ ).

Изменение Продолжительностей до  $13^2$ :

$$[T_0\tau + (T_0 - \tau)]^2 \equiv (12 + 1)^2 \equiv 13^2 \quad (5.54)$$

ведёт к "запуску" биочасов микротрубочек пор ядер биоклеток по 13-ти лунному Календарю Цивилизации Майи.

В поле Арупы - Рупы Продолжительности существования метагалактических волн расщепляются:

$$13^2 - (T_0 \cdot \tau)^2 = 5^2 = (T_0^2 + \tau^2 \equiv 4^2 + 3^2), \quad (5.55)$$

и поля  $(T_0 \cdot \tau = 4 \cdot 3)^2 \Leftrightarrow 5^2 = (T_0^2 + \tau^2 \equiv 5^2)$  Авторы Книги Дзиан называют Три-Язычным Пламенем Четырёх Фитилей [1].

\*

\*\*

Три-Язычное Пламя действительно Пламя, ибо при резонансе возникает излучение солнечного белого света с разностью длин волн  $\Delta B = 3600 \text{ \AA}$ :

$$(T_o \cdot \tau)^2 \cdot (T_o^2 + \tau^2) = 144 \cdot 25 = 3600 \equiv \Delta B. \quad (5.56)$$

Переход поля (5.56) к антирезонансу и поглощение при этом одного импульса ( $m_{cs} = E_{\lambda c} = 1$ ) света из окружающей среды, приводит к формированию внутреннего поля света, имеющего пять энергетических уровней:

$$(T_o \cdot \tau)^2 - (T_o^2 + \tau^2) + m_{cs} = 144 - 36 + 1 = 120 = 1 \cdot 2 \cdot 3 \cdot 4 \cdot 5. \quad (5.57)$$

Отношение резонансных (5.56) и антирезонансных (5.57) полей приводит к ряду в сине-голубом спектре:

$$\Delta B : 120 = 3600 : 120 = 30 = 1^2 + 2^2 + 3^2 + 4^2, \quad (5.58)$$

о которых Авторы Книги Дзиан говорили **как о формировщиках, а Христос диктует Святому Иоанну пропорции Круга Универсума в Откровениях** [5].

\*

\*\*

**Зола** с атомным весом углерода ( $A_C = 12$ ) описана Русскими Рунами как Начало формирования Твёрдых Фаз в структуре Единого Космоса [4].

Равенство величин атомного веса углерода и потенциала резонанса  $T_o \cdot \tau$  в вихре Рупа - Арупа:

$$T_o \cdot \tau = A_C = 12 \equiv \rho_5 \cdot 120, \quad (5.58)$$

позволяет говорить о том, что твёрдая фаза в Едином Космосе начинает формироваться тогда, когда возникает внутреннее поле света (5.57):

$$120^2 \equiv (13^2 - 5^2 = 12^2) \cdot (\rho_5 = 10). \quad (5.59)$$

\*\*

Внутреннее поле света **"выгорает"** до золы, пульсируя в резонансно-антирезонансном режиме. При этом возникает поверхность кванта света, равная шести и равная Кундалини.

Теогенезис говорит о том, что **"Когда Колесо делает полтора оборота, Искры воплотятся в плодах доколе человеку неизвестных"** ([2]. Теогенезис. Станца III. п.3):

Зола: выгорание внутреннего поля света			
	Резонанс	Антирезонанс	Кундалини
Выгорание до Кундалини	$1 \cdot 2 \cdot 3 \cdot 4 \cdot 5 = 120$	$1+2+3+4+5 = 15$	$K = 120:15 = 6 = (3,5+2,5)=\dots$
Полтора оборота Колеса	$120(\rho_2=0,1) \equiv A_C = 12$	$15(\rho_2=0,1) \equiv 1,5$	$K = 12:1,5 = 6 = 3,5^2 - 2,5^2 = \dots$

При "сгорании" внутреннего поля света (5.60) излучаются Искры: излучается белый свет (5.56), возникают молекулы азота  $A_{N_2} = 28$ , появляются солнечно-лунные ряды, формируются небеса - Цинь и сгустки Тянь (табл.5.7).

В этом поле (табл.5.7) и Святой Дух, и небеса - Цинь формируют постоянную Вселенной (5.61)

Таблица 5.7

**Формирование сгустков Вселенной**

Ряды	Солнечный	Лунный
<i>Восходящий</i> <i>нисходящий</i>	$\frac{1+2+3+4+5+6+7+8=36}{8+7+6+5+4+3+2+1=36}$	$\frac{1+2+3+4+5+6+7+8=36}{8+7+6+5+4+3+2+1=36}$
Суммы и их разность	$9+9+9+9+9+9+9+9 = 72$ $72 - 56 = 16$	$8+8+8+8+8+8+8+8 = 56$ $T_0^2 \equiv A_0 \equiv \sqrt{qq^*}$
Разности по уровням	-7, -5, -3, -1, +1, +3, +5, +7 Солнечно - нечётные	-6, -4, -2, 0, +2, +4, +6 Лунно - чётные
Потенциалы изомерии	$\pm 32 \equiv \pm[(1+3+5+7) - (-1-3-5-7)] \equiv A_{O_2} \equiv$ $\text{Цинь} \equiv \pm \text{Тянь} \int_0^1 \varphi d\varphi$	$\pm 24 \equiv \pm[(2+4+6) - (-2-4-6)] \equiv \text{Святой Дух} \equiv$ Сияние Ли $\equiv$ Рог с Бриллиантовым Наконечником [2].

<b>Формирование водорода солнечно-лунными полями</b>
$(\pm 24)^2 \cdot ((T_0 + \tau)/T_0 = 7/4) \equiv \pm 32 \cdot (30+1,5) \equiv 1008 \equiv 1008 A_H \equiv$ $5 \cdot 10^5 \text{ фононов} \equiv 5^4 \cdot 10^2 \text{ фотонов.}$

(5.61)

\*\*

Зола, кислород, азот, водород, гелий начинают формировать атмосферу над сгустком.

В зависимости от температуры сгустка, связанной с давлением ( $p$ ), объемом ( $V$ ) и газовой постоянной  $R = 2$  ккал/моль, атмосфера над сгустком будет меняться от паро-газовой фазы до жидкой, в соответствии с уравнением Д.И.Менделеева:

$$\Delta t^0 = P \cdot V / R = \text{Const.} \quad (5.62)$$

\*

\*\*

Изменение атмосферы над сгустком не прекращает химические процессы между углеродом (золой) и водородом: возникнут молекулярные цепи и кольца предельных и непредельных углеводородов - основы биологической Жизни на Земле.

Эволюция атмосферы над сгустком и Эволюция молекулярных цепей углеводородов идут рука об руку и зависят от температуры сгустка (5.6.2).

Когда парогазовая смесь над сгустком охлаждается до температуры конденсации пара в воду, то молекулярные цепи углеводородов в воде зародят биологическую Жизнь: сначала в полях вне фотосинтеза солнечного света на глубинах более 100 метров, потом в области фотосинтеза солнечного света на глубинах менее 100 метров.

\*

\*\*

Сгусток остывает. Жизнь развивается. Живое из воды выползает на сушу и летает в атмосфере.

Плотность упаковки живого мала: Животный и Растительный мир имеет индивидуумы больших размеров; спирали углеводородных молекул - носителей Био-Жизни, - закручены слабо.

Сгусток остывает, плотность упаковки сгустков растёт. Большие животные вымирают как динозавры. Молекулярные углеводородные цепи ДНК и РНК скручиваются туже. Носитель Разума эволюционирует. На смену Ману-Мыслителя приходит Человек Воли и йоги. Земля остыла. Пора улетать. Сможем ли? Или запутаемся в пустой болтовне?

\*

\*\*

Вернёмся к Периодической Системе из 112 элементов. Она возникает как разность между



$$T_0 \cdot \tau^2 - \text{Цинь} \equiv 144 - 32 = 112, \quad (5.63)$$

в которой существуют 6328 электронов и столько же позитронов.

Изомерическое электрон-позитронное облако над сгустком будет равно (5.14):

$$\pm[6328 - (-6328)] = \pm 12656 = \pm 112 \cdot 113. \quad (5.64)$$

Библия утверждает: **число 113 - это Число Человека**. Следовательно, после того, как возникла Периодическая Система 112 химических Элементов, на её основе возник человек.

\*\*

Поле (5.64), как любое электрическое поле, например (5.63), пульсирует в резонансно-антирезонансном режиме, создавая между собой неравновесные колебательные системы:

Химические элементы в человеке				
Поля		Периодическая система (5.63)	Человек (5.64)	
Ко- ле- ба- ния	Отно- сительные единицы	$\frac{144^2 - 32^2}{144 \cdot 32} = 4,2(7)$	$\longleftrightarrow 1,0089... = \frac{112 \cdot 113}{113^2 - 112^2}$	(5.65)
	Фотоны	535	$\longleftrightarrow$ 125. Водород	
	Фононы	4280	$\longleftrightarrow$ 1008 $\equiv$ Постоянная Вселенной.	

Постоянная перехода в этом поле (5.65):

$$K = \frac{4,2(7)}{1,0089} = \frac{535}{125} = \frac{4280}{1008} \approx 4,246. \quad (5.66)$$

При такой пульсации биоклетка и нейрон будут воспринимать энергетические колебания с опорной частотой  $T_0 = 4$ , на уровне Сознания с частотой 24, а на уровне подсознания 25 кадров в секунду.

**У Человека возникнет разность потенциалов приёма информации:**

$$\Delta \text{Инф} = 4 \cdot \int_{24}^{25} \varphi d\varphi = 2 \cdot 49 \equiv \text{Две оболочки [4]}. \quad (5.67)$$

Возникнут две оболочки Системы Приёма-Передачи Информации, то есть левое и правое полушария головного мозга, а также цис-транс изомерическая командно-рефлекторная система координации.

\*\*

Человек живёт в солнечно-лунных полях и эти поля формируют его тело - Тянь и полушария головного мозга, или Цинь с левизной цис-изомерии и правизной транс-изомерии (табл.5.8).

Таблица 5.8

**Формирование тела - Тянь  
и полушарий Мозга - Цинь Человека**

Ряды	Уровни								
	I	II	III	IV	V	VI	VII	VIII	IX
Солнечный	1	2	3	4	5	6	7	8	= 36
Лунный	7	6	5	4	3	2	1	0	+ 28
Суммы	8	8	8	8	8	8	8	8	= 64
	Появление Тянь								
Разности и их суммы	-6	-4	-2	0	+2	+4	+6	+8	
	-12 = T <sub>0</sub> ·τ			0	20 = T <sub>0</sub> √T <sub>0</sub> <sup>2</sup> + τ <sup>2</sup>				
Цинь полушарий мозга	±32 = ±[20 – (-12)] = ±A <sub>O2</sub> .								

Пульсирующее солнечно-лунное поле (табл.5.8) великая Цивилизация описывала диаграммой Глаз Дагма (рис.5.3).

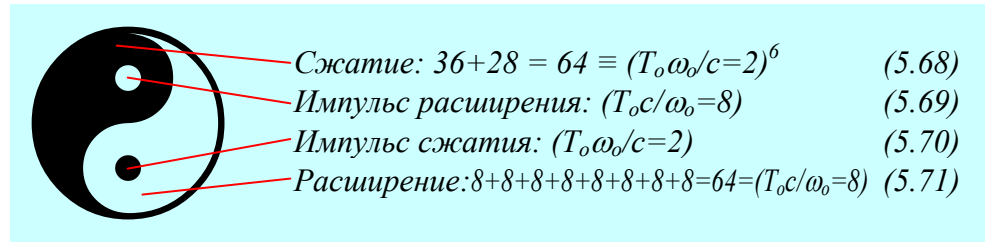


Рис.5.3 Пульсирующее солнечно-лунное поле (табл.5.8)

Авторы Космогенезиса описывали эту систему (5.3) в Станцах I и II [1]. Приведу выдержку: **"...Жизнь бессознательная пульсировала в Пространстве Вселенском во Всесущности той, что ощущается открытым Глазом Дагма"**.

Эту часть своего Учения великая Цивилизация поручила Лаосу. Лаосеяне дали диаграмме Глаз Дагма наименование Ян-Цинь (рис.5.3).

\*\*

Диаграмма Глаз Дагма определяет две **формы волновых полей: сжатия (5.68) и расширения (5.71), а также два импульса: расширения (5.69) и сжатия (5.70)**, которые связаны между собой Единым полем (рис.5.3). Эти формы Энергии и Импульсов составляют Сущность внутреннего поля солнечно-лунных взаимодействий (табл.5.8).

\*\*

Каждый микро-макро квант с солнечно-лунными взаимодействиями имеет двойную оболочку с потенциалом  $2 \cdot 49$  (5.67).

Реализация двойной энергетической оболочки происходит Везде, Всегда и во всех полях Рупы.

Например, в биоклетке потенциал двойной оболочки реализует себя в двойной мембранной молекулярной спирали.

\*\*

**Двойная оболочка** поля Ян-Цинь (рис.5.3) пульсирует в пределах  $2 \cdot (49 \pm 1)$ , и возмущает окружающую среду.

Пульсирующая по частоте и амплитуде оболочка является основой приёмо-передающих систем информации:

<b>Структура информации</b>
$\varphi d\varphi$ - энергетический информационный поток и информация, передаваемая двойной оболочкой $E_{ин} = 2 \int_{49-1}^{49+1} \varphi d\varphi = 2 \int_{48}^{50} \varphi d\varphi = 196 = 14^2 \equiv \mu\mu^*.$

(5.72)

Информационный поток микро-макро сгустков Ян-Цинь синтезируется двойной оболочкой поверхности сгустка во время её пульсации, имеет магнитную ( $\mu\mu^*$ ) основу и возмущает окружающую среду (5.72).

Системы Связи на магнитных импульсах  $\mu^*=14 \cdot 10^{20}$ , будут распространять свои волны в  $10^{40}$  раз быстрее света.

Поскольку измерять сверхсветовые волны наша цивилизация не умеет, то приёмное устройство связной аппаратуры должно быть трансформатором магнитной энергии в электрическую:

<b>Условие преобразования магнетизм <math>\Leftrightarrow</math> электричество</b>
$\frac{q}{\mu} \Leftrightarrow \frac{\mu^*}{q^*} \rightarrow qq^* \Leftrightarrow \mu\mu^* \rightarrow 16^2 \Leftrightarrow 14^2 \equiv (A_o)^2 \Leftrightarrow (A_N)^2.$

(5.73)

....

Преобразователь можно создать на основе кислород-азотной смеси, то есть на Подобии серого вещества головного мозга и нейрона.

\*  
\*\*

Колебания двойной оболочки источника информационно-энергетических волн (5.72) - Это Россыпь Обоже-ствлённых Чисел:

50 - верхний предел интеграла: ворота, Бог Айн СОФ (Тора); пульсация небес - Цинь;

48 - нижний предел интеграла: волна длиной в  $4800\text{\AA}$  ( $\rho_2^2 = 0,01$ ), делящая сине-голубую область спектра солнечного белого света. Обоже-ствлена как Святой Дух в поле цис-транс изомерии:

$$\pm 48 \equiv \pm[24 - (-24)], \quad (5.74)$$

где потенциал Святого Духа с периодичностью в одну пальму трансформируется в 42 Божества твоего сердца:

$$24 \cdot \left( \frac{T_0 + \tau}{T_0} = \frac{7}{4} \right) = 42. \quad (5.75)$$

\*  
\*\*

В поле солнечно-лунного кванта Ян-Цинь (рис.5.3) периодически возникают разности потенциалов (табл.5.8).

Предельными значениями этих разностей являются потенциалы минус 12 и плюс 20 (табл.5.8), которые определяют колебания среды во внутреннем поле Ян-Цинь:

Колебания среды во внутреннем поле Ян-Цинь		
Пределы: разности	Удвоение за счёт изомерии	Интегральная разность потенциалов в среде
-12; +20 (табл.5.8)	2. Взаимодействие волны +1-(-1)=2	$\Delta E_{\text{ср}} = 2 \int_{-12}^{+20} \varphi d\varphi = 256 = 16^2 = qq^*$ электричество.

(5.76)

Конечным результатом колебаний внутреннего поля кванта Ян-Цинь (рис.5) является резонанс электрического заряда  $q$  (биоток) и электрического импульса  $q^*$  (воображение) (5.76).

Между биоклеткой и нейроном происходит обмен электрической энергии (5.76).

\*\*

Обмен электрической энергией между биоклеткой и нейроном происходит не сразу, а по стадиям-уровням (табл.5.8, табл.5.9).

Таблица 5.1

#### Стадии обмена энергией между клеткой и нейроном

Разности	Группы							
	I	II	III	IV	V	VI	VII	VIII
Пределы	-6	-4	-2	0	+2	+4	+6	+8
Разности квадратов	$2\int_0^{-6}\varphi d\varphi$ 36	$2\int_0^{-4}\varphi d\varphi$ 16	$2\int_0^{-2}\varphi d\varphi$ 4	Полу- про- вод- ники	$2\int_0^2\varphi d\varphi$ 4	$2\int_0^4\varphi d\varphi$ 16	$2\int_0^6\varphi d\varphi$ 36	$2\int_0^8\varphi d\varphi$ 64
Суммы разностей	56				120			

При обмене электрической энергии заряда и импульса в живом (табл.5.9) четвёртая группа остаётся подобием полупроводников в Периодической Системе Элементов (табл.5.1).

Возникает неравновесная система: разность потенциалов в V, VI, VII и VIII группах равна 120 и эквивалентна внутреннему полю света; разность потенциалов в I, II и III группах равна 56 и связывает заряды-импульсы с Кундалини:

$$56 \equiv \frac{7}{2} \sqrt{qq^*} = 4 \sqrt{\mu\mu^*} = 2 \sqrt{\rho\rho^*}. \quad (5.77)$$

В Периодических Системах возникают Перемены (Книга Перемен), связанные с появлением разности эквиваленту - *Тянь*:

$$T_1 = 120 - 56 = 64. \quad (5.78)$$

Причиной возникшего неравновесия является восьмая группа с потенциалом 64 (табл.5.9).

\*\*

Неравновесие (5.78) сказывается и на Человеке и на VIII группе химических элементов, где концентрируются такие элементы, как (табл.5.1).

Сумма элементов VIII группы							
Периоды	4		5		6		
Элементы	Mn <sup>25</sup>	Fe <sup>26</sup>	Tc <sup>43</sup>	Ru <sup>44</sup>	Rc <sup>75</sup>	Os <sup>76</sup>	At <sup>85</sup>
	Co <sup>27</sup>	Ni <sup>28</sup>	Rh <sup>45</sup>	Pd <sup>46</sup>	Jr <sup>77</sup>	Pt <sup>78</sup>	
Суммы электронов	25+26+27+28 106		43+44+45+46 178		75+76+77+78+85 391		
	106+178+391 = 675 = 27·25 ≡ τ³(25) Резонанс поля Пентаграмма в Яйце [1]						
Сумма позитронов	-675 = -27·25 ≡ τ³(-25) Резонанс поля Пентаграмма в Яйце [1].						

## 5.5 Тонкоэнергетический Свет

Возникает резонансное Свечение Тонкой Энергии, которое мы получаем от генератора Тонкой Энергии, на которое действуют эндотермия гравитационных и слабых взаимодействий (рис.5.4).

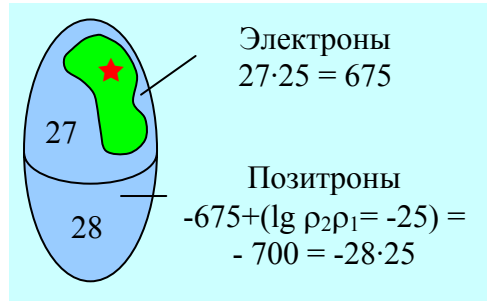


Рис.5.4 Свечение от генератора Тонкой Энергии

За счёт эндотермических взаимодействий **поверхность из позитронов** изменяет свой потенциал до 700 (рис.5.4).

Возникают семеричные антирезонансные Продолжительности или **Семь Вечностей** [1].

\*\*

Пульсация Свечения Тонкой Энергии формирует потенциал-эквивалент 110 Божествам в Человеке (Книга Мёртвых, Лаосская философия):

Рождение 110 Божеств в Человеке	
Левизна: цис-изомерия	Правизна: транс-изомерия
$\pm 110 = \pm \int_{27}^{28} \varphi d\varphi \cdot T_0$	$\mp T_0 \left( \int_{25}^{28} \varphi d\varphi - \int_{28}^{25} \varphi d\varphi \right) = \pm 110.$

(5.80)

Эти (5.80) **обожествлённые потенциалы Тонких Энергий** (рис.5.4) есть в любой сгустке Материи.

\*\*

Пульсация Космоса с потенциалом Дзиан, эквивалентным  $\pm 1/2$ :



$$Дзиан \equiv \int_0^1 \varphi d\varphi \equiv \frac{1}{2} \Leftrightarrow -\frac{1}{2} = \int_1^0 \varphi d\varphi \equiv -Дзиан .$$

(5.81)

делит Божества пополам, синтезирует и расщепляет кванты, создаёт Семеричность в Десятеричности магнито-гравитационных полей:

$$110 \cdot (\pm 1/2) = \pm 55;$$

$$7 \Leftrightarrow \frac{1^2 + 2^2 + 3^2 + 4^2 + 5^2 + 6^2 + 7^2 + 8^2 + 9^2 + 10^2}{1 + 2 + 3 + 4 + 5 + 6 + 7 + 8 + 9 + 10} = \frac{385}{55} . \quad (5.82)$$

110 Божеств в нас расщепляются пополам, а затем распределяются в теле Человека: 58 - в голове, 10 - в области шеи, 42 - в области сердца. Искры Фохата, то есть сгустки  $m_c^* = 0,008$  и  $m_c^{**} = 0,002$ , связывают наши Божества между собой (табл.5.10).

Таблица 5.10

**110 Божеств и фотон-фононы нашего тела**

Число компонент	Части тела					
	Левизна			Правизна		
	голова	шея	сердце	голова	шея	сердце
Божеств	29	5	21	-29	-5	-21
Фотонов (делить на $m_c^*$ )	3625	625	2625	-3625	-625	-2625
Фононов ( $8 \cdot m_c^*$ )	29000	5000	21000	-29000	-5000	-21000
Появление Рупы с $T_0=4$	$\int_5^{29} \varphi d\varphi - \int_5^{21} \varphi d\varphi = 400$			$\int_{29}^5 \varphi d\varphi - \int_{21}^5 \varphi d\varphi = -400$		
13-и Лунный Календарь Майи	$1 \text{ год} = 364 \text{ дня} \equiv 13 \cdot 28 \equiv 400 - 36 \equiv 364$			$1 \text{ год} = 364 \text{ дня} \equiv 13 \cdot 28 \equiv 400 - 36 \equiv 364.$		

В процессе пульсации фотон - фононов (или их эквивалентных Эмоциональных импульсов Тонкой Энергии) между мозгом и сердцем через шею возникает поле Рупы с потенциалом 400 (табл.5.10).

Потенциал 400 кратен  $T_0 = 4$ , сокровенной Сороковице ( $\equiv 40$ ), Свабхават О ( $\equiv 400$ ), четыремстам Библейским годам.

Сгусток - Рупа с потенциалом 400 излучает свет с потенциалом 36.

В точке излучения возникает разность потенциалов, равная  $400 - 36 = 364$  и эквивалентная 364-м сгусткам 13-лунного Календаря цивилизации Майи.

Отсчёт продолжительностей, вереницу которых мы называем Временем, протекает по Календарю Майи в Гармонии с Человеком, во Благо Человека.

Отсчёт Времени по Другим Календарям протекает с демобилизацией Резерва Психики Человека, во зло Человеку.

Любой Календарь, кроме 13-ти Лунного, от лукавых академиков Парадигмы - Догмы, как в области Религии, так и в Науке.

\*\*

**Неравновесная** цис-транс изомерия Единого Космоса возникает в солнечно-лунном ряде микро-макро миров Вселенной.

**Эпицентром Направления** является VIII группа с солнечным потенциалом 8 и лунным, равным нулю. Это День вне Времени в Календаре Майи, который обладает разностью потенциалов  $8 - 0 = 8$  (табл.5.8).

Эпицентр Направления Единого Космоса									
Группы	I	II	III	IV	V	VI	VII	VIII	IX
Разности их сумм	-6	+4	-2	+0	+2	+4	+6	+8	=8.

(5.83)

Диаграмма Ян-Цинь (рис.5.3) описывает динамику движения эпицентра Неравновесия в окружающей среде (5.83):

$$8 \equiv T_o \cdot c / \omega_o \text{ (5.83) - импульс расширения; } \quad (5.84)$$

$$\sqrt[3]{8} = 2 \equiv T_o \cdot \omega_o / c = 2 \text{ - импульс сжатия; } \quad (5.85)$$

$$64 \equiv 2 \int_0^8 \varphi d\varphi \equiv (T_o \cdot \omega_o / c = 2)^6 \equiv (T_o \cdot c / \omega_o = 8)^2,$$

энергия сжатия-расширения сгустка Тянь; (5.86)

$$32 \equiv 2 \int_0^8 \varphi d\varphi \equiv [(16 \equiv \sqrt{qq^*}) - (-16 \equiv -\sqrt{qq^*})],$$

энергия пульсирующих небес - Цинь. (5.87)

Все эти фундаментальные потенциалы Неравновесия, описанные в Книге Перемен и диаграммой Ян-Цинь (рис.5.3) можно представить в форме Чисел фотон-фононов (табл.5.11).

Таблица 5.11

**Фотон-фононы и диаграмма Ян-Цинь**

Формы полей	Левизна		Правизна	
	Импульс сжатия	Энергия расширения	Энергия сжатия	Импульс расширения
Относительные единицы	$T_o \omega_o / c = 2$	$(T_o c / \omega_o)^2 = 64$	$(T_o \omega_o / c)^6 = 64$	$T_o \cdot c / \omega_o = 8$
Число фотонов (делить на $m_c^*$ )	250 $A_{He} \equiv 250$	8000	-8000	-1000
Число фононов ( $8 \cdot m_c^*$ )	2000	64000	-64000	-8000.

В основе поля, которое описывает диаграмма Ян-Цинь, лежит **солнечный гелий** (табл.5.1), **фотоны-сгустки которого формируют Периодические Системы**, в том числе Химических Элементов и Человека.

Формирование Периодических Систем протекает в соответствии с 13-и Лунным Календарём.

**День вне Времени в Календаре Майи** определяется разностью потенциалов, равной (табл.5.11):

<b>День вне времени 13-ти Лунного Календаря</b>	
Анти-резонанс	$\begin{aligned} ДВВ \equiv (64000+8000) - (64000+2000) \equiv \\ 6000 \text{ фоонов} \equiv 750 \text{ фотонов} \equiv 6 \text{ относительных} \\ \text{единиц} \equiv (2,5+3,5) = 3,5^2 - 2,5^2 \equiv \text{Кундалини} \end{aligned}$
Резонанс	$ДВВ \equiv \frac{8000 \text{ фоонов расширения}}{2000 \text{ фоонов сжатия}} = 4 \equiv T_0.$

(5.88)

День вне Времени пульсирует в антирезонансно-резонансном режиме (5.88).

При антирезонансе формируется потенциал-эквивалент Кундалини; при резонансе возникает Рупа точечного участка волны света (5.82).

Рупа пульсирует, формируя Арупу:

$$(T_0 = 4, \pm 1) \quad 5 \leftarrow T_0 = 4 \rightarrow 3 = \tau. \quad (5.89)$$

Арупа тоже пульсирует, формируя Рупу и взаимодействия:

$$(\tau = 3, \pm 1) \quad T_0 = 4 \leftarrow \tau = 3 \rightarrow 2 = \lg \rho_1 \rho_2 \rho_3 \rho_4 \rho_5. \quad (5.90)$$

**Иисус Христос с Неба диктует Откровения с Кругом Универсумом (рис.5.2. Пропорции кратные 2, 3, 4) Иоанну Богослову.**

Колумб открывает Америку. Христианская Конкиста уничтожает Цивилизацию Майи с её Календарём. Интеллектуальная Сущность Христа вновь распинается во Имя Христа. Римский Папа Иоанн Павел II приносит извинения. Все при деле.

\*  
\*\*

**Круг Универсума [5] описывает динамику изменения Дня вне Времени цивилизации Майи [16]. Аборигены Австралии знают, с какой целью приходил Иисус на Землю [18]. Всё не так просто, как представляют нам Космос Догмы церковей любых Конфессий.**

**Наша Задача, наша Цель Жизни состоит в том, чтобы разобраться в Законах Единого Космоса и, не создавая себе Кумиров, следовать по пути великой Цивилизации к Вершинам Научно-Технического Прогресса Социума Носителей Разума.**

*Ключ к Пониманию Космоса лежит в понимании микро-макро энергетических солнечно-лунных квантов.*

\*  
\*\*

*Солнечно-лунные микро-макро кванты формируются за счёт гравитации, имеют магнитную оболочку гравитационного зародыша и электрическую оболочку всего кванта.*

Между магнитной и электрической оболочкой возникает разность потенциалов (табл.5.12).

Таблица 5.12

**Энергетическая структура солнечно-лунного кванта**

Форма Чисел	Зародыш: гравитация	Магнитная оболочка (5.72)	Внутреннее поле (рис.5.3)	Электрическая оболочка (5.76)
Относи- тельные единицы	$\rho\rho^* = 28$	$E_{ин} = 196 = 14^2$	$E=64+64+8+2 = 138 = 3 \cdot 16$	$\Delta E_{cp} = 256 = 16^2$
Число фотонов (делить на 0,008)	98000	24500	17250	32000
Число фоонов ( $8 \cdot m_c^*$ )	84000	196000	138000	250000
Разности	$784000 - (196+138+250) \cdot 10^3 = 194 \cdot 10^3 = (14^2 - 2) \cdot 10^3$ .			

В лунно-солнечном кванте (табл.5.12) возникает **разность Числа Фоонов** между Зародышем и остальным полем, равная (табл.5.12):

$$\Delta\rho = 194 \cdot 10^3 = (196 - 2) \cdot 10^3 = (14^2 - 2) \cdot 10^3, \quad (5.91)$$

где:  $14^2 = \mu\mu^*$  - магнитное поле кванта;

$2 \equiv \lg \rho_1 \rho_2 \rho_3 \rho_4 \rho_5$  - взаимодействия;

$10^3 \equiv \rho_5^2 / \rho_1$ .

Вместе с тем потенциал (5.91) связан с тринадцатью Лунами Продолжительностей:

$$\Delta\tau \equiv 194 \cdot 10^3 = (196+25) \cdot 10^3 = (13^2+25) \cdot 10^3. \quad (5.92)$$

Потенциалы (5.91 и 5.92) наша наука воспринимает как дефект масс и дефект времени. На самом деле дефектов никаких нет, а есть разности потенциалов:

$$\Delta\rho - \Delta\tau = (14^2 - 2 - 13^2 - 25) \cdot 10^3 = (27 - 27) \cdot 10^3, \quad (5.93)$$

их частное от деления и произведение:

$$\begin{aligned} \Delta\rho \cdot \Delta\tau &= (14^2 - 2) \cdot (13^2 + 25) \cdot 10^6 \equiv \\ &= (14^2 \cdot 13^2 + 25 \cdot 14^2 - 2 \cdot 13^2 - 2 \cdot 25) \cdot 10^6 \equiv \\ &= (42978 \cdot 10^6 - 50 \cdot 10^6) \text{ фононов}, \end{aligned} \quad (5.94)$$

где 50 - эквивалент частоте пульсации небес-Цинь, или Бог Айн СОФ Всесущий (Тора, [3]).

\*\*

Находясь в Арупе 13 Лун в течение 364 дней одного года, квант лунно-солнечного света своей пульсацией возбуждает окружающую среду до потенциала:

$$\rho_5^6 \cdot (13 \cdot \tau^2 \cdot 364 = 13 \cdot 9 \cdot 364) = 42588 \cdot 10^6. \quad (5.95)$$

В поле высоких частот, где наблюдается эффект Кирлиана, возникает разность потенциалов (5.94):

$$\Delta K = (42978 - 42588) \cdot 10^6 = 39 \cdot 10^7 = \tau \cdot 13 \cdot 10^7. \quad (5.96)$$

Разность фононов в поле высоких частот солнечно-лунных квантов **извечна, как извечен День вне Времени** тринадцати - лунного Календаря Майи.

## 5.6 Актиноидно-лантаноидная пульсация

В Периодической системе 112 элементов. Их количество диктуется гравитационно-магнито-электрическим равновесием:

$$112 = 7\sqrt{qq^*} = 8\sqrt{\mu\mu^*} = 4\sqrt{\rho\rho^*}. \quad (5.97)$$

То, что наша наука открыла 114 химических элемента говорит о том, что за элементы 112, 113 и 114 принимаются энергетические поля не являющимися химическими элементами Периодической Системы Д.И.Менделеева.

Анализируя солнечно-лунную комбинацию лантаноидов (табл.5.1), я обозначу сомнительные элементы символом  $X^n$ , где n - порядковый номер элементов (табл.5.13).

Таблица 5.13  
**Актиноиды: радиационное излучение (табл.5.1)**

Число пар	I	II	III	IV	V	VI	VII	VIII	IX	X	XI	XII	Нет пары
Элементы	Ra <sup>8</sup> <sub>8</sub>	Ac <sup>8</sup> <sub>9</sub>	Th <sup>9</sup> <sub>0</sub>	Pa <sup>91</sup>	U <sup>92</sup>	Np <sup>9</sup> <sub>3</sub>	Pu <sup>9</sup> <sub>4</sub>	Am <sup>9</sup> <sub>5</sub>	Cm <sup>96</sup>	Bk <sup>97</sup>	Cf <sup>98</sup>	Es <sup>99</sup>	F <sub>m</sub> <sup>100</sup>
	X <sup>112</sup>	X <sup>111</sup>	X <sup>110</sup>	X <sup>10</sup> <sub>9</sub>	X <sup>10</sup> <sub>8</sub>	X <sup>107</sup>	X <sup>106</sup>	Ns <sup>105</sup>	Ku <sup>10</sup> <sub>4</sub>	Lr <sup>103</sup>	No <sup>10</sup> <sub>2</sub>	Md <sup>10</sup> <sub>1</sub>	
Электроны	200	200	200	200	200	200	200	200	200	200	200	200	100
Фотоны ×10 <sup>3</sup>	25	25	25	25	25	25	25	25	25	25	25	25	12,5
Фононы ×10 <sup>5</sup>	2	2	2	2	2	2	2	2	2	2	2	2	1.

Последним элементом, завершающим Периодическую систему Менделеева, является инертный радиоактивный газ X<sup>112</sup> (табл.5.13).

Непарным элементом в группе актиноидов является фермий, имеющий 100 электронов, 12500 фотонов и 100000 фононов (табл.5.13).

Группа актиноидов формирует двенадцать пар с 200 электронами, 25000 фотонами и 20000 фононами в каждой паре (табл.5.13).



\*

\*\*

Аномалия пятнадцати элементов редкоземельной группы, состоит в том, что **по мере роста порядкового номера элемента величина его радиуса уменьшается**. Эту аномалию называли по имени лантана **лантаноидным сжатием**.

Лантаноиды формируются также по лунно-солнечному принципу в семь пар со 128 электронами, 16000 фотонами и 128000 фононами в каждой паре. Непарным остаётся гадолиний с 64 электронами, 8000 фотонами и 64000 фононов (табл.5.14).

Таблица 5.14

**Группа редкоземельных элементов:  
лантаноидное сжатие**

Группы	I	II	III	IV	V	VI	VII	Нет пары
Элементы	La <sup>57</sup>	Ce <sup>58</sup>	Pr <sup>59</sup>	Nd <sup>60</sup>	Pm <sup>61</sup>	Sm <sup>62</sup>	Eu <sup>63</sup>	Cd <sup>64</sup>
	Lu <sup>71</sup>	Yb <sup>70</sup>	Tm <sup>69</sup>	Er <sup>68</sup>	Ho <sup>67</sup>	Dy <sup>66</sup>	Tb <sup>65</sup>	
Электроны	128	128	128	128	128	128	128	64
Фотоны ×10 <sup>3</sup>	16	16	16	16	16	16	16	8
Фононы ×10 <sup>5</sup>	128	128	128	128	128	128	128	64.

\*

\*\*

Рупа - Арупа Вселенной пульсирует в резонансно-антирезонансном режиме.

**При антирезонансе Арупа - Рупа ( $T_0 + \tau = 7$ ) возникает Семь Пар Лантаноидов (табл.5.14).**

**При резонансе Арупа - Рупа формируется Двенадцать Пар Актиноидов (табл.5.13, табл.5.15).**

Таблица 5.15

**Лантаноидно - радиоактивная связь**

Элементы и их связь	Лантаноиды	Переход		Актиноиды
	Антирезонанс			Резонанс
Число групп	$7 \equiv T_o + \tau$	$12 - 7 = 5$		$12 \equiv T_o \cdot \tau$
Отношение электронов пар к непарным элементам	$K_L \equiv$ $7 \cdot 126 / 64 = 14$ $\equiv \sqrt{\mu\mu^*}$ (магнетизм)	$14/24 \Leftrightarrow 24/14$ $(7/4)^2 \Leftrightarrow (9+0)$		$K_a \equiv$ $12 \cdot 200 / 100 =$ $24 \equiv 3 \cdot 8$ (Святой Дух)
		Пальма в квадрате	Суб- структура биоклетки	
Отношение в фононах	$10^3 K_L =$ 14000			$10^3 K_a =$ 24000.

Вывод (табл.5.15): **отношение фотон - электронов в лантаноидах с 14000 фононов, сгущая фононы, рождает инертный газ  $X^{112}$ , в котором появляются 14000 фотонов, так как**

$$112/m_c^* = 112/0,008 = 14000 \text{ фотонов.} \quad (5.98)$$

Над фотонами инертного газа  $X^{112}$  (5.98) возникает электронное облако, то есть облако фононов, которое создаёт гравитацию:

<b>Гравитация и заряды над инертным газом 112</b>	
Гравитация	Заряды
$\Gamma \equiv \frac{112}{m_c^{**}} \left( \pm \int_0^1 \varphi d\varphi \right) \equiv$ $112/0,002 \cdot (\pm 1/2) = 28 \cdot 10^3$	$3 \equiv T_o \Gamma = 4 \cdot 28 \cdot 10^3 \equiv 112 \cdot 10^3$ $\equiv (7 \sqrt{qq^*} \equiv 8 \sqrt{\mu\mu^*} \equiv 4$ $\sqrt{\rho\rho^*}) \cdot 10^3.$

(5.99)

Заряды и гравитация возникают там, где возникает пальма, то есть в области перехода между актиноидами и лантаноидами (табл.5.15).

В группе редкоземельных элементов появляется **аномалия лантаноидного сжатия**; в группе ядерно-радиоактивных элементов **формируется аномалия дефекта масс при ядерных реакциях**.

Однако это аномалии наших Парадигм - Иллюзий о Структуре Единого Космоса и его Ядра. В Природе никаких аномалий нет. Отсутствие аномалий подтверждает **эмпирически полученная формула дефекта масс ( $\Delta m$ ) в ядерных реакциях** [9]:

$$\Delta m \approx [0,01(A - 100)^2 - 64] \cdot 10^{-3} \text{ а.е.м.}, \quad (5.100)$$

где  $A$  - число нуклонов (пара протон-нейтрон), связанных с массой ( $M$ ) атома:  $A = M - \Delta m$ .

В этой эмпирической формуле (5.100) есть числа 100 и 64, но мы выяснили, что эти числа описывают количество электронов непарных элементов: 100 электронов фермия (табл.5.13) и 64 электрона гадолиния (табл.5.14).

Используя вместо гипотетических массовых чисел с гипотетическими протон - нейтронами (нуклонами), группы парных элементов, мы можем связать дефекты масс с электронами групп (табл.5.16).

Дефект масс в ядерных реакциях и лантаноидное сжатие объединяет динамика пульсации Свечения Тонкой Энергии (рис.5.4, табл.5.16).

$$\frac{k_2}{k_1} \mp \int_0^1 \varphi d\varphi = 27,5 \pm 0,5 \rightarrow 27 \Leftrightarrow 28, \quad (5.101)$$

где разность  $28 - 27 = 1$  в один электрон будет соответствовать 1000 фононам. Эта тысяча есть в формуле (5.78).

Таблица 5.16

**Электроны участники лантаноидного сжатия и  
дефекта масс ядерных реакций**

Процессы		Дефект масс в актиноидах	Лантаноидное сжатие
Электроны пар		$A_1 \equiv 7 \cdot 128 = 896$	$A_2 \equiv 12 \cdot 200 = 2400$
		Эквиваленты массовому числу	
Дефект масс	При $F_m^{10}$	$(A_1 - 100)^2 \cdot 10^{-2} = 6336,16$	$(A_2 - 100)^2 \cdot 10^{-2} = 52900$
	Об-щий	$[(A_1 - 100)^2 \cdot 10^{-2} - 64] \cdot 10^3 = 6272160 \equiv \Delta_1$	$[(A_2 - 100)^2 \cdot 10^{-2} - 64] \cdot 10^3 = 52836000 \equiv \Delta_2$
Свечение (рис.5.4)		$k_1 = \Delta_1 \cdot 7/4 = 1097530$	$k_2 = \Delta_2 \cdot 4/7 = 30192000$
		$k_2 : k_1 \approx 27,5.$	

\*\*

Переход между лантаноидами и актиноидами связан не только с появлением пальмы и электрогравитационной пульсации (табл.5.16).

$$\frac{7}{4} \equiv \sqrt{\frac{\rho\rho^*}{qq^*}} \Leftrightarrow \sqrt{\frac{qq^*}{\rho\rho^*}} = \frac{4}{7}. \quad (5.102)$$

Эту пульсацию инициирует пульсация точечного участка волны света, протекающая с периодичностью  $T_0 = 4$ .

Наша наука, **зомбированная** Золотым Тельцом, ядерные процессы не понимает полностью. Она даже не понимает, что поверхности ядер пульсируют по длине и амплитуде волн. Поэтому ситуацию в ядре наша наука описывает так [9]: **радиус ядра носит условный смысл. Эмпирическая формула для радиуса ядра:**

$$R = R_0 A^{1/3}, \quad \text{где } R_0 = (1,3 \div 1,7) \cdot 10^{-13} \text{ см.} \quad (5.103)$$

Но мы, уважаемый Читатель, знаем, что разность

$$(1,7 - 1,3 = 0,4) \cdot 10^{-13} \text{ см} = 4000 \cdot 10^{-17} \text{ см}, \quad (5.104)$$

формируется точечным участком волны света, а структура его пульсации описана Кругом Универсума [5]. Причём волна в  $4000\text{Å}$  является фиолетовой волной. Самой короткой волной в спектре света.

\*\*

Между редкоземельными и радиоактивными **элементами** возникает поле перехода с неравновесным состоянием пульсации (табл.5.15):

$$\dots \equiv \frac{\rho \rho^*}{q q^*} \equiv \frac{7^2}{4^2} \Leftrightarrow (9+0). \quad (5.105)$$

Это поле формирует заряды - импульсы и смещает энергию системы в отношении 9 : 1 от центра Системы (Зародыша) к её Поверхности: **магнитная энергия как в Недрах Земли стремится от Центра к внутренним слоям литосферы. В Живом возникает субструктура (9+0) материнской биоклетки.**

Пульсация типа (5.105) будет инициироваться делением поступающих в Зародыш гравитационных зарядов на два магнитных, где двойка - эквивалент постоянной всех Пяти Форм взаимодействий:

<b>Гравитационно-магнитный митоз: базисный процесс взаимодействий</b>			(5.106)
Поля	Зародыш	Среда перехода	
Потенциалы	$\frac{\rho}{\mu} \equiv \frac{\rho^*}{\mu^*} \equiv \sqrt{\frac{\rho \rho^*}{\mu \mu}} = 2$	$\equiv \lg \rho_1 \rho_2 \rho_3 \rho_4 \rho_5.$	

Поле типа (5.105) будет последовательно образовывать: гравитационно-электрические поля субструктур (9+0); магнитоэлектрические поля и воду; свет и резонанс  $T_o^2 \cdot \tau^2 = 144$  (табл.5.17).

Таблица 5.17

**Квантованные изменения энергетических Форм (5.105)**

№№	1	2	3	4
Поля	Субструктура (9+0), гравитация, электричество	Вода (м.в.18) - плазма, магнетизм, электричество	Семь пальм и свет	Оболочка резонансного поля Рупы-Арупы
Потенциалы	$\frac{\rho^2}{q^2} \equiv \dots \equiv \frac{7^2}{4^2} \Leftrightarrow (9+0)$	$\frac{\mu\mu^*}{2\sqrt{qq^*}} \equiv \frac{7^2}{8} = 18$	$7 \cdot \frac{7}{4} \Leftrightarrow 36$	$7^2 \Leftrightarrow 144 \equiv 12^2$ $(T_o + \tau)^2 \Leftrightarrow T_o^2 \tau^2$

\*\*

Квантованные изменения энергетических Форм (табл.5.17) протекают на фоне излучений актиноидов, потенциал которых равен излучению Святого Духа, то есть волнового поля с потенциалом  $24 \equiv 12 \cdot 2 \equiv \rho/\mu \cdot T_o \tau$ .

Вездесущее поле Святого Духа сместит поля под оболочкой (табл.5.17) и создаст резонансную Рупу - Арупу трёхмерного Пространства:

<b>Формирование Святым Духом резонансной Рупы - Арупы трёхмерного Пространства</b>	
Пульсация под оболочкой	Трёхмерное Пространство
$7^2 \cdot 24 \Leftrightarrow 12^2 \cdot 24$ , где $24 \equiv 3 \cdot 8 \equiv \tau T_o c / \omega_o$ - импульс расширения Арупы-Рупы	$7^2 \cdot 24 / 2 \equiv 588 \Leftrightarrow 12^3 \equiv (T_o \cdot \tau)^3$ , где $3 \equiv x+y+z \equiv \tau$ , - координаты в Арупе.

(5.107)

\*  
\*\*

Трёхмерную резонансную Рупу - Арупу (5.107) связывает поле с потенциалом  $588 = 21 \cdot 28$ .

Поле с потенциалом  $21 \cdot 28$  - это резонансный гравитационный зародыш, излучающий полярные вихри с потенциалом  $\pm 21$ , разность которых даёт 42 Божества твоего Сердца (Книга Мёртвых).

В поле Материи биологической Жизни полярные вихри с потенциалами  $\pm 21$  формируют цис-транс антирезонансную изомерию пульсирующей субструктуры биоклетки:

Полярные вихри с потенциалами $\pm 21 \cdot 28$ и пульсирующая материнская субструктура биоклетки			(5.108)
Поля	Полярные вихри	Пульсирующая суб-структура	
В гравитации Луны	$\pm 588 \equiv \pm 21 \cdot 28$	$\pm [21 = 5 \Leftrightarrow 7 \Leftrightarrow (9+0)] \cdot 28$	
Равновесие	$\pm 1 \equiv$	$\pm 21 \cdot 28 : [5+7+(9+0)] \cdot 28$	

## 5.7 Группа инертных газов. Их влияние на число элементов в периодах

Последним элементом в Периодической Системе является инертный радиоактивный газ с порядковым номером 112, то есть имеющий 112 электронов.

Группа инертных газов состоит из семи элементов, каждый из которых завершает периоды Системы (табл.5.18).

Таблица 5.18

**Девятая группа Семи Элементов инертных газов**

Сумма электронов: <b>318</b>	Гелий	Неон	Аргон	Криптон	Ксенон	Радон	X
	He <sup>2</sup>	Ne <sup>10</sup>	Ar <sup>18</sup>	Kr <sup>36</sup>	Xn <sup>54</sup>	Rn <sup>86</sup>	X <sup>112</sup>
ФОТОНЫ: m <sub>c</sub> *	250	1250	2250	4500	6750	10750	14000
	Сумма $\equiv 318 : 0,008 = 39750$						
Фононы	2000	10000	18000	36000	54000	86000	112000
	Сумма $\equiv 318 \cdot 1000 \equiv 318000$ .						

В поле инертных газов (табл.5.18) энергетическая асимметрия будет формироваться за счёт цис-транс изомерической разнонаправленности вихрей позитронов и электронов. Эпицентром асимметрии является криптон (табл.5.18).

<b>Энергетическая асимметрия в группе инертных газов</b>							
Элементы	Гелий	Неон	Аргон	Криптон	Ксенон	Радон	X <sup>112</sup>
Элект- роны	2	10	18	36	54	86	112
Позит- роны	112	86	54	36	18	10	2
Суммы	114	96	72	72	72	96	114
	-110	-76	-36	0	+36	+76	+110.

(5.109)

Разнонаправленность полей с суммарными электрон-позитронными потенциалами приводит к формированию разности, равной

$$\Delta k_r = (114+96+72)\pm 72 - (72+96+114) = \pm 72. \quad (5.110)$$



Появление этой **разности криптона** происходит в полях цис-транс изомерии электрон-позитрон, что влечёт за собой новую разность - эквивалент квадрату резонансной Продолжительности Рупы - Арупы:

$$T_0^2 \tau^2 \equiv \Delta k_r - (-\Delta k_r) \equiv 72 - (-72) = 144 = 12^2 \equiv 4^2 \cdot 3^2. \quad (5.111)$$

Потенциал 72 обожествляется в секретных мистериях иудеев Древности [3].

\*  
\*\*

Задолго до древних Иудеев электрон-позитронную разность  $112 - 2 = 110$  обожествляли на Востоке как 110 Божеств тела Человека.

Свои сведения Философия Даоса брала из Книги Мёртвых, данной нам великой Цивилизацией.

Книга Мёртвых описывала разности в полях встречных энергетических вихрей в живом.

Встречные энергетические вихри электрон-позитронов создают в инертных газах разности потенциалов  $\pm 110$ ,  $\pm 76$ ,  $\pm 36$  и  $\pm 0$  (5.109).

Сумма этих разноимённых потенциалов равна нулю:

$$(110-110)+(76-76)+(36-36)\pm 0 \equiv \pm 4 \cdot 0 \equiv T_0 \cdot 0. \quad (5.112)$$

**Возникает антирезонансное равновесие Хаоса с ноль-потенциалом, в котором вращение участка волны света с периодичностью  $T_0 = 4$  не прекращается (5.112).**

В этом равновесном Хаосе (5.112) взаимодействия солнечного света (за счёт разностей потенциалов) достигают квадрата первоначальной величины:

Взаимодействия в инертных газах (табл.5.18)		
Изомерия	Левизна	Правизна
Разности (5.99)	$(110-76)+(76-36)+(36-0) = 24+40+36 = 100 \equiv \rho_5^2$	$-(110-76)-(76-36)-(36-0) = -24-40-36 = -100 \equiv -\rho_5^2$
Электроны гелия (табл.5.18)	$-(100+100 = 200) \cdot \rho_2^2 = -2,$ где за счёт $\rho_2^2 = 10^{-2}$ атомы отвердевают	
Позитроны гелия	$+(100+100 = 200) \cdot \rho_2^2 = +2.$	

(5.113)

Эти разности потенциалов обожествлены:  $110-76=24$  - трон Христа на Небе окружен 24 Пресвятыми Престолами (Откровения);  $76-36=40$  - Сокровенная Сороковица (Христианство), Свабхават О (Индуизм);  $36-0=36$  - Свет - квадрат Кундалини.

\*  
\*\*

Создав два электрона и два позитрона гелия (5.113), цис-транс изомерические фононы сгущаются, формируя массу атома гелия, равную  $A_{\text{He}} = 4$ .

В поле трёхмерного Пространства с электрон-позитронным облаком гелия возникают взаимодействия света с эффективностью  $\rho_5^2 = 10^{x+y+z=3}$ .

Излучаемая фиолетовая волна и её эквивалент:

$$(A_{\text{He}} \cdot \rho_5^3 \equiv 4000) \equiv 4000 \text{Å} \equiv \lambda_{\text{ф}}, \quad (5.114)$$

где переходы описаны Пирамидами и Кругом Универсума (рис.5.2).

\*  
\*\*

Поля масс элементов и их спектральных волн взаимосвязаны как в Едином Космосе, так и в его пылинке, в том числе в группе инертных газов.

**Сгущение** спектрального поля Света сначала в фононы, затем в фотоны, электрон - позитроны и массы Атомов **протекает при наличии разности потенциалов**.

Разность потенциалов между цис-транс изомерическим фононами формирует электронные слои в структурах Атомов: эти слои обозначаются как K, L, M, N, O, P, Q и распределение их **изучено современной наукой**. Вне поля зрения нашей науки остался очевидный факт: разность числа электронов двух соседних инертных газов равна числу элементов в периоде между этими газами (табл.5.19).

Таблица 5.19

**Электроны инертных газов  
и число элементов в периодах**

Фононы - электронные слои атома	K	L	M	N	O	P	Q
Периоды системы Менделеева	1	2	3	4	5	6	7
Инертные газы	He <sup>2</sup>	Ne <sup>10</sup>	Ar <sup>18</sup>	Kr <sup>36</sup>	Xn <sup>54</sup>	Rn <sup>86</sup>	X <sup>112</sup>
Разность электронов	0 - 2 = -2	2 - 10 = -8	2 - 10 = -8	10-18 = -8	18-36 = -8	36-54 = -8	86-112 = -8
Число элементов в периодах	два: водород- гелий	восемь	восемь	восем- надцать	восем- надцать	трид- цать два	двадцать шесть
Примечание	Конкретные элементы смотрите в табл.5.1.						

Периодическая Система в седьмом Периоде имеет 26 элементов (табл.5.19).

Седьмой Период имеет цис-транс изомерию:

$$86 - 112 = -26 \Leftrightarrow +26 = 112 - 86. \quad (5.115)$$

Такое распределение электронов в Q слое и элементов в седьмом периоде (5.115, табл.5.19) соответствует распределению 58 Божеств в голове Человека: 26 Божеств в левом и 26 Божеств в правом полушариях головного мозга.

Пульсация Космоса в полях с потенциалами 26:

$$26 \cdot \int_0^1 \varphi d\varphi = 13 \Leftrightarrow -13 \equiv 26 \cdot \int_1^0 \varphi d\varphi, \quad (5.116)$$

приводит к отсчёту Продолжительностей по 13-ти Лунному Календарю Цивилизации Майи.

Резонанс, возникающий в тринадцати лунном поле, формирует базисные Продолжительности Единого Космоса в Арупе и Рупе (5.94):

Базисные Продолжительности Единого Космоса	
$13 \cdot (-13) = -13^2 \equiv 12^2 + 5^2 \equiv 12^2 + 4^2 + 3^2 \equiv$ $(T_o \cdot \tau)^2 + \mathbf{5}^2 \equiv (T_o \cdot \tau)^2 + T_o^2 + \tau^2,$ <p style="text-align: center;">где 5 - пятеричная энергия связи и переход от резонанса к антирезонансу:</p> $\mathbf{5}^2 \equiv (12 - 7)^2 \equiv (T_o \cdot \tau - T_o \cdot -\tau)^2.$	(5.117)

Потенциал  $\mathbf{13}^2$  создаёт возмущенная квантом 26 среда в поле Дзиан-дробь:

$$\left( \pm \int_0^1 \varphi d\varphi \right) \int_0^{26} \varphi d\varphi = \frac{26^2}{2} \left( \pm \frac{1}{2} \right) = \pm 169 = 13^2, \quad (5.118)$$

а далее великая Цивилизация, опираясь на Книгу Дзиан (Дробь) раскрывает Человечеству высокую Науку о Космогенезисе, Антропогенезисе, Переменах и Перевоплощениях.

Высокую Науку великой Цивилизации изучить нельзя, не зная потенциала поля света с поверхностью 36 и полярными вихрями с потенциалом  $\pm 666$ . Но **правлящая сегодня в Социуме Человека Закулиса**, оболгала поле с потенциалом 666, назвав его Числом Сатаны.

Высокую Науку великой Цивилизации изучить нельзя, не понимая Сущности Полей с потенциалом 13.

Но, **развращающая и уничтожающая, стравливающая и насилующая Род Человеческий Закулиса** придала числу 13 фетиш рокового числа, прибавив ему название **Чёртова дюжина**.

Высокая Наука великой Цивилизации - открытая Книга Знаний для любого Носителя Разума, написанная во Благо сегодняшним и грядущим поколениям Социума Земли.

Но, **уничтожающая идущих на Землю во младенчестве, зомбируя уже пришедших во имя Зла, Закулиса** сегодняшнего Социума Земли **открытую Книгу Знаний сделала Тайной Доктриной**. Работу над Знаниями облачила в сверкающее тряпье **Секретных Мистерий**. Зачем? Во имя чего? До коли?

Ответ был дан **Сыном Могущественного на Белой Лошади десять миллионов лет назад: пока Священный Свет не засияет так ярко, что каждый враг будет виден вашим глазам [2]**.

А пока: Змей соблазняет, Адам с Евой учатся не есть яблоки Познания; их потомков дерут, как сидоровых коз во имя золотого тельца.

Нравится так жить? Живите!

## Глава 6

### Строение Атома

В этой главе я проведу сравнение Знаний о Атоме сегодняшней наукой и Наукой великой Цивилизации.

\*\*

Наши представления о Атоме сводятся к следующему [9]:

1. Атомом называется наименьшая частица химического элемента, обладающая его химическими свойствами [9].

2. Атом состоит из положительно заряженного ядра и **электронов, движущихся** в его кулоновском поле [9].

3. Атом формируют три частицы: **протон**, несущий положительный заряд, отрицательно заряженный **электрон**, а также **нейтроны**, не имеющие заряда.

Эти представления о Строении Атома сложились под влиянием авторитета Нильса Бора.

\*\*

Развитие наукоёмких технологий в области полупроводников и микроэлектроники привело к тому, что принципы работы многих новых приборов не находили объяснения с позиции концепций Н.Бора.

Были обнаружены: позитрон, то есть электрон с положительным зарядом; антипротон (нейтрино), то есть протон с отрицательным зарядом, а самое главное Дырки, несущие заряды электрона - позитрона - протона - антипротона и не имеющие заряда и массы.

Вместо трёх компонент появилось десять:

Структурные компоненты Атома						
По Н.Бору		Нейтрон	Нет	Протон	Нет	Электрон
Сегодня	Частицы	Нейтрон	Антипротон	Протон	Позитрон	Электрон
	Дырки	Есть	Есть	Есть	Есть	Есть

(6.1)

К сожалению, исследований, объединяющих эти десять компонент (6.1) нет: каждый обходится собственным постулатом, парадигмой, иллюзией. Классиков не трогают. Боятся.


## 6.1 Великая Цивилизация: введение в теорию строения Атома

Великая Цивилизация описывает Строение Атома с позиции энергетической связи метagalacticкой среды со светом, света с зародышами-импульсами, зарядов с массами атомов.

Мы, вернее наша наука, эту логическую связь разрываем, так как **уверены в отсутствии сверхсветовых волн Тонких Энергий**. Это приводит нашу науку в тупик **Приближений, а социум в невежество жестокости**.

Послушайте, как описывает строение Атома великая Цивилизация ([1]. Космогенезис. Станца III) (табл.6.1).

## Описание Строения Атома великой Цивилизацией

Текст Станцы	Расшифровка текста						
<b>Отец-Матерь пряли Ткань,</b>	<p>Возникает колебательный контур метagalактических волн:</p> <table> <tr> <th>Отец</th><th>Мать</th></tr> <tr> <td colspan="2"> <math display="block">Sc \pi/4 = \sqrt{2}^n \Leftrightarrow \frac{1}{\sqrt{2}} = Cos \pi/4</math> </td></tr> <tr> <td colspan="2"> <p>Основа Пирамиды (табл.2.14)</p> </td></tr> </table> <p>(6.2)</p>	Отец	Мать	$Sc \pi/4 = \sqrt{2}^n \Leftrightarrow \frac{1}{\sqrt{2}} = Cos \pi/4$		<p>Основа Пирамиды (табл.2.14)</p>	
Отец	Мать						
$Sc \pi/4 = \sqrt{2}^n \Leftrightarrow \frac{1}{\sqrt{2}} = Cos \pi/4$							
<p>Основа Пирамиды (табл.2.14)</p>							
<b>верхний Край её прикреплён к Духу, Свету Единой Тьмы, а нижний к Теневому Краю, к Материи, и Ткань эта есть Вселенная, сотканная из Двух Сущностей, воедино слитых, что есть Сваб- хават О.</b>	<p>Тонкая Энергия и энергия Материи связаны ме- жду собой постоянной вселенной:</p> $Const = 28 \cdot 36 = 24 \cdot 42 = 1008. \quad (6.3)$ <p>Эти постоянные и являются краями Ткани - Все- ленной (рис.6.1).</p> <div>  <p>Теневой край материи <math>\equiv</math> <math>24 \cdot 42 = 1008</math></p> <p>Дух, Свет Единой Тьмы <math>\equiv</math> <math>28 \cdot 36 = 1008</math></p> <p>Теневой край Материи</p> </div> <p><i>Рис.6.1 Структура Ткани - Вселенной</i></p>						



Во Вселенной Теневой Край Материи, то есть границу между Материей и Тонкой Энергией, формируют **волновые поля с потенциалом 24 (Святой Дух) и 42 (Душа)** (рис.6.1).

Второй край Ткани - Вселенной формируют **солнечно-лунные ряды**, или Дух (солнечная энергия), Свет Единой Тьмы (лунный свет) (рис.6.1).

При этом из Космоса в Недра Капли ядерного вещества поступают гравитационные заряды-импульсы (рис.6.1). Соударяются (резонанс):  $(\rho\rho^*) \cdot (-\rho\rho^*)$ , а затем трансформируются в магнитные заряды-импульсы (рис.6.1):

<b>Недра Капли - Ядра:</b> <b>гравитационно-магнитная трансформация</b>	(6.3)
$(\rho\rho^*) \cdot (-\rho\rho^*) : (\mu\mu^*) \cdot (-\mu\mu^*) = -16 \equiv -T_o^2.$	

Процесс трансформации в Недра Капли-Ядра протекает в условиях резонанса (6.3). Поэтому **Две Сущности** (гравитационная и магнитная) (6.3) **воедино слиты** (рис.6.1).

При резонансном гравитационно-магнитном переходе выделяется энергия с потенциалом -16 (6.3), которая создаёт магнитные антирезонансные потоки в плоскости ХОУ (рис.6.1).

По каждой из четырёх ординат будет двигаться четверть от минус 16 (6.3).

Движение по осям ординат будет протекать в трёхмерном Пространстве Вселенной с эффективностью  $\rho_5^3$ , где  $3 = x + y + z = \tau$ .

Возникает Свабхават О:

$$\text{Свабхават } \bigcirc \equiv \frac{\rho\rho^*(-\rho\rho^*)}{(\mu\mu^*)^2} \left(\pm\frac{1}{2}\right) \cdot \left(\pm\frac{1}{2}\right) \equiv 7\,16:4\cdot 10^3 \equiv \pm 4000. \quad (6.4)$$

Свабхават  $\bigcirc$  завершает переходы в Круге Универсуме, а эпюра Круга Универсума описывает движение магнитных потоков в Капле-ядре (рис.5.2).

\*\*

Потенциалы пульсирующего гравитационно - магнитного поля в Недрах Капли ядра и солнечно-лунной среды, окружающей Каплю, будут равны между собой и равны потенциалу расширения Вселенной, то есть восьми, при условии:

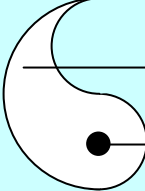
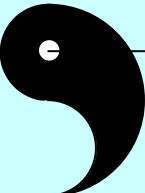
Вселенная - точка Света	Солнечно- лунные ряды	Недра Капли ядра	Электри- чество	Основание Пирамиды, апофема
$T_0c/\omega_0 =$	$36 - 28 =$	$\frac{-(\rho\rho^*)^2}{\mu\mu^*}$	$\sqrt{qq^*}$	$a^2 \equiv \ell =$
8	8	$\int_0^1 \varphi d\varphi =$	$\int_0^1 \varphi d\varphi =$	8

Взяв основание ( $a^2$ ) и апофему ( $\ell$ ) за восемь, великая Цивилизация обеспечила векторное описание динамики энергетических процессов во Вселенной (6.5).

\*\*

Расширяющаяся Вселенная, как и каждый точечный участок волны в Ней, пульсирует - дышит (табл.6.2).

**Пульсация Вселенной**  
 ([1]. Космогенезис. Станца III, п.11)

Текст Станцы	Расшифровка текста
<b>Она распространяется, когда Дыхание Огня над нею;</b>	<p>Это половина диаграммы Ян-Цинь с импульсом сжатия (рис.6.2).</p>  <p align="center"><i>Рис.6.2 Расширение импульса сжатия</i></p>
<b>она сокращается, когда Дыхание Материи касается её.</b>	<p>Это вторая половина диаграммы Ян-Цинь с импульсом расширения (рис.6.3)..</p>  <p align="center"><i>Рис.6.3 Расширение импульса сжатия</i></p>
<b>Тогда Сыны разъединяются и рассыпаются,</b>	<p>Рвутся пятеричные, семеричные, девятиричные связи:</p> $5 = \frac{1^2 + 2^2 + 3^2 + 4^2 + 5^2 + 6^2 + 7^2}{1 + 2 + 3 + 4 + 5 + 6 + 7} = \frac{140}{28},$ $7 = \frac{1^2 + 2^2 + 3^2 + 4^2 + 5^2 + \dots + 10^2}{1 + 2 + 3 + 4 + 5 + \dots + 10} = \frac{385}{55}, \quad (6.6)$ $9 = \frac{1^2 + 2^2 + 3^2 + 4^2 + 5^2 + \dots + 13^2}{1 + 2 + 3 + 4 + 5 + \dots + 13} = \frac{811}{91}.$

Текст Станцы	Расшифровка текста										
чтобы вернуть- ся в Лоно Мате- ри	<p>Метагалактические волны трансформируются светом со скоростью <math>c = \pi</math> и периодичностью <math>T_0 = 4</math>.</p> <p>При трансформации возникают волны:  <math>\sin \pi/4 = \cos \pi/4 = 1/\sqrt{2}</math> и <math>\sqrt{2} = \sin \pi/4 = \cos \pi/4</math>  Возникает контур колебаний:</p> <table border="1"> <thead> <tr> <th>Сгущение</th><th>Расширение</th></tr> </thead> <tbody> <tr> <td> <math>\sqrt{2} \cdot T_0^2 \int_0^1 \varphi d\varphi =</math>  <math>\sqrt{2} \cdot 16 \frac{1}{2} = 8 \sqrt{2}</math>  4a </td><td> <math>\frac{1}{\sqrt{2}} \cdot T_0^2 \int_1^0 \varphi d\varphi = \frac{1}{\sqrt{2}}</math>  <math>\cdot 16 \left(-\frac{1}{2}\right) = -4 \sqrt{2}</math> 2a </td></tr> <tr> <td>Периметр основания Пирамиды</td><td>Половина периметра основания Пирамиды.</td></tr> </tbody> </table> <p>(6.7)</p> <p>Синтез-мультиплетность любых форм энергии - процесс обратимый. Вопрос в Продолжительности?</p>	Сгущение	Расширение	$\sqrt{2} \cdot T_0^2 \int_0^1 \varphi d\varphi =$ $\sqrt{2} \cdot 16 \frac{1}{2} = 8 \sqrt{2}$ 4a	$\frac{1}{\sqrt{2}} \cdot T_0^2 \int_1^0 \varphi d\varphi = \frac{1}{\sqrt{2}}$ $\cdot 16 \left(-\frac{1}{2}\right) = -4 \sqrt{2}$ 2a	Периметр основания Пирамиды	Половина периметра основания Пирамиды.				
Сгущение	Расширение										
$\sqrt{2} \cdot T_0^2 \int_0^1 \varphi d\varphi =$ $\sqrt{2} \cdot 16 \frac{1}{2} = 8 \sqrt{2}$ 4a	$\frac{1}{\sqrt{2}} \cdot T_0^2 \int_1^0 \varphi d\varphi = \frac{1}{\sqrt{2}}$ $\cdot 16 \left(-\frac{1}{2}\right) = -4 \sqrt{2}$ 2a										
Периметр основания Пирамиды	Половина периметра основания Пирамиды.										
при окончании Великого Дня,	<p>Лоно Материнское, то есть субструктура (9+0) расщепляется на 13 гравитационных и 13 магнитных уровней (6.6), что связано с пульсацией Космоса.</p> <table border="1"> <thead> <tr> <th colspan="2">Тринадцати лунная пульсация</th></tr> <tr> <th>Верхний край</th><th>Нижний край</th></tr> </thead> <tbody> <tr> <td><math>k_1 = 24 \cdot 42 = 1008</math></td><td><math>k_2 = 36 \cdot 28 = 1008</math></td></tr> <tr> <td> <math>k_3 = \int_0^1 \varphi d\varphi \cdot \int_{24}^{42} \varphi d\varphi</math>  297 </td><td> <math>k_4 = \int_1^0 \varphi d\varphi \cdot \int_{28}^{36} \varphi d\varphi</math>  -128 </td></tr> <tr> <td colspan="2"><math>k_3 + k_4 = 298 - 128 = 169 = 13^2</math>.</td></tr> </tbody> </table> <p>(6.8)</p> <p>В поле расщепления субструктуры (9+0) возник магнитный потенциал <math>13^2</math> (6.6 и 6.8).  <b>Потенциал <math>13^2</math> завершает годовой цикл по 13 Лунному Календарю Майи. Он - День вне Времени. Он - Великий День.</b></p>	Тринадцати лунная пульсация		Верхний край	Нижний край	$k_1 = 24 \cdot 42 = 1008$	$k_2 = 36 \cdot 28 = 1008$	$k_3 = \int_0^1 \varphi d\varphi \cdot \int_{24}^{42} \varphi d\varphi$ 297	$k_4 = \int_1^0 \varphi d\varphi \cdot \int_{28}^{36} \varphi d\varphi$ -128	$k_3 + k_4 = 298 - 128 = 169 = 13^2$ .	
Тринадцати лунная пульсация											
Верхний край	Нижний край										
$k_1 = 24 \cdot 42 = 1008$	$k_2 = 36 \cdot 28 = 1008$										
$k_3 = \int_0^1 \varphi d\varphi \cdot \int_{24}^{42} \varphi d\varphi$ 297	$k_4 = \int_1^0 \varphi d\varphi \cdot \int_{28}^{36} \varphi d\varphi$ -128										
$k_3 + k_4 = 298 - 128 = 169 = 13^2$ .											

Текст Станцы	Расшифровка текста						
чтобы вновь соединиться с ними.	<p>Соединения и разводы вне разностей потенциалов нет. Любой потенциал является разностью потенциалов для окружающей среды. Например (6.4), где приведённая резонансно - антирезонансная пульсация имеет колебательный контур:</p> $\frac{\text{резонанс}}{\text{антирезонанс}} \equiv \frac{4a \cdot 2a}{4a + 2a} \Leftrightarrow \frac{4a - 2a}{4a \cdot 2a} \equiv \frac{\text{антирезонанс}}{\text{резонанс}}$ $64a^2 \Leftrightarrow T_0 \cdot \tau \cdot a. \quad (6.9)$ <p>Этот контур (6.9) - основа Книги Перемен: Колебания Тянь в поле <math>T_0 \cdot \tau</math>:</p> $T_0^3 a^2 \Leftrightarrow T_0 \cdot \tau \cdot a, \quad (6.10)$ <p>где <math>a</math> - сторона основания великой Пирамиды, равная <math>2\sqrt{2} = a</math> (рис.2.4).</p> <p style="text-align: center;">**</p> <p>Модулем колебательного контура синтеза - мультиплетности субстанции во Вселенной является неравновесие типа (6.10):</p> $T_0^2 a^2 \Leftrightarrow \tau, \quad (6.11)$ <p>в котором имеют место и антирезонансное и резонансное равновесия:</p> <table border="1" style="width: 100%; border-collapse: collapse;"> <thead> <tr> <th colspan="2">Формы равновесия Вселенной (6.11)</th> </tr> </thead> <tbody> <tr> <td style="text-align: center;">Анти-резонанс</td><td><math>0 \Leftrightarrow T_0^2 a^2 - \tau = 16 \cdot 8 - 3 = 15^2</math></td> </tr> <tr> <td style="text-align: center;">Резонанс</td><td> <math display="block">1 \Leftrightarrow \frac{1}{\tau} T_0^2 a^2 = \frac{1}{3} a^2 \left( 16 = 2^{\frac{7}{4}} \cdot 2^{\frac{11}{4}} \right) \quad (6.12)</math> <math display="block">\equiv \left( \frac{1}{3} a^2 H \right) \cdot 2^{\frac{11}{4}} \equiv V_{II} \cdot 2^{\frac{11}{4}}.</math> </td> </tr> </tbody> </table>	Формы равновесия Вселенной (6.11)		Анти-резонанс	$0 \Leftrightarrow T_0^2 a^2 - \tau = 16 \cdot 8 - 3 = 15^2$	Резонанс	$1 \Leftrightarrow \frac{1}{\tau} T_0^2 a^2 = \frac{1}{3} a^2 \left( 16 = 2^{\frac{7}{4}} \cdot 2^{\frac{11}{4}} \right) \quad (6.12)$ $\equiv \left( \frac{1}{3} a^2 H \right) \cdot 2^{\frac{11}{4}} \equiv V_{II} \cdot 2^{\frac{11}{4}}.$
Формы равновесия Вселенной (6.11)							
Анти-резонанс	$0 \Leftrightarrow T_0^2 a^2 - \tau = 16 \cdot 8 - 3 = 15^2$						
Резонанс	$1 \Leftrightarrow \frac{1}{\tau} T_0^2 a^2 = \frac{1}{3} a^2 \left( 16 = 2^{\frac{7}{4}} \cdot 2^{\frac{11}{4}} \right) \quad (6.12)$ $\equiv \left( \frac{1}{3} a^2 H \right) \cdot 2^{\frac{11}{4}} \equiv V_{II} \cdot 2^{\frac{11}{4}}.$						

Текст Станцы	Расшифровка текста
	<p>В формуле (6.12) потенциал 152 - это квадрат потенциала внутреннего поля света с оболочкой 6 и пятью слоями - уровнями:</p> <div data-bbox="791 331 1374 595" style="border: 1px solid black; padding: 10px; margin: 10px 0;"> <p style="text-align: center;"><b>Внутреннее поле кванта Света - Кундалини</b></p> <math display="block">(1+2+3+4+5=15)^2 \equiv [(7\sqrt{qq^*} + 8\sqrt{\mu\mu^*}) \quad (6.13)</math> <math display="block">\int_0^1 \varphi d\varphi]^2 \equiv [(16+14) \cdot \frac{1}{2}]^2 = \mathbf{15^2}.</math> </div> <p>Поле (6.13), являясь внутренним полем света, формирует антирезонансное электромагнитное поле, которое, достигая квадрата своей первоначальной величины, переходит в другую Форму Энергии (Закон Квантования).</p> <p style="text-align: center;">* **</p> <p>В формуле (6.12) резонансное равновесие связано с объёмом (<math>V_{\Pi}</math>) великой Пирамиды и потенциалом окружающей Пирамиду среды, равной <math>2^{11/4}</math> или (6.12):</p> $V_{\Pi} \cdot 2^{11/4} = 2 V_{\Pi} \cdot (2^{3/4} = 2^{\tau/4}). \quad (6.14)$ <p>И вновь перед нами потенциал Круга Универсума с Числами, кратными 2, 3 и 4 (рис.5.2).</p>

Текст Станцы	Расшифровка текста															
Когда она охлаждается, она становится сияющей.	<p>Речь идёт о термии Кундалини Света в условиях 13 лунной ритмики взаимодействий.</p> <p>В этой форме движения взаимодействия <math>\lg \rho_3 \rho_4 = 26</math> будут приводить к экзотермии, а взаимодействия <math>\lg \rho_1 \rho_2 / \rho_5 = -26</math>, - к эндотермии.</p> <p>Пульсация полей с периодичностями 13 и <math>13^2</math> приведут к Семеричности и Оболочкам:</p>															
	<table><tr><th colspan="3">Пульсация Кундалини в 13 тактах</th></tr><tr><th>Термия</th><th>Экзо-</th><th>Эндо-</th></tr><tr><td rowspan="2">Обычный День</td><td><math>\frac{7 \lg \rho_3 \rho_4 = 26}{2 \quad 13}</math></td><td><math>\frac{7 \lg \rho_1 \rho_2 / \rho_5 = 26}{2 \quad 13}</math></td></tr><tr><td><math>T_o + \tau = 7</math></td><td><math>-7 \equiv 8 \sqrt{\mu \mu^*}</math></td></tr><tr><td rowspan="2">Великий День</td><td><math>\frac{7^2 (\lg \rho_3 \rho_4 = 26)^2}{2^2 \quad 13^2}</math></td><td><math>\frac{7^2 (\lg \rho_1 \rho_2 / \rho_5 = 26)^2}{2^2 \quad 13^2}</math></td></tr><tr><td>оболочка: <math>7^2</math></td><td>оболочка: <math>7^2</math>.</td></tr></table> <p style="text-align: right;">(6.15)</p> <p><b>Кундалини - Свет в оболочках становится сияющим.</b></p>	Пульсация Кундалини в 13 тактах			Термия	Экзо-	Эндо-	Обычный День	$\frac{7 \lg \rho_3 \rho_4 = 26}{2 \quad 13}$	$\frac{7 \lg \rho_1 \rho_2 / \rho_5 = 26}{2 \quad 13}$	$T_o + \tau = 7$	$-7 \equiv 8 \sqrt{\mu \mu^*}$	Великий День	$\frac{7^2 (\lg \rho_3 \rho_4 = 26)^2}{2^2 \quad 13^2}$	$\frac{7^2 (\lg \rho_1 \rho_2 / \rho_5 = 26)^2}{2^2 \quad 13^2}$	оболочка: $7^2$
Пульсация Кундалини в 13 тактах																
Термия	Экзо-	Эндо-														
Обычный День	$\frac{7 \lg \rho_3 \rho_4 = 26}{2 \quad 13}$	$\frac{7 \lg \rho_1 \rho_2 / \rho_5 = 26}{2 \quad 13}$														
	$T_o + \tau = 7$	$-7 \equiv 8 \sqrt{\mu \mu^*}$														
Великий День	$\frac{7^2 (\lg \rho_3 \rho_4 = 26)^2}{2^2 \quad 13^2}$	$\frac{7^2 (\lg \rho_1 \rho_2 / \rho_5 = 26)^2}{2^2 \quad 13^2}$														
	оболочка: $7^2$	оболочка: $7^2$ .														
Сыны её разворачиваются и сокращаются Сами собой	<p style="text-align: center;">**</p> <p>И в обычный, и в Великий День Кундалини - Свет пульсирует с периодичностью точечного участка волны света:</p>															

Текст Станцы	Расшифровка текста												
	<table><tr><th colspan="3">Пульсация Календарных Дней</th></tr><tr><th>Дни года</th><th>Обычный день</th><th>Великий День</th></tr><tr><td>Лунная гравитация</td><td><math>7 \cdot T_0 \Leftrightarrow -7T_0</math> <math>28 \Leftrightarrow -28</math></td><td><math>7^2 \cdot T_0 \Leftrightarrow 7^2 T_0</math> <math>196 \Leftrightarrow 196</math> <math>7 \cdot 28 \Leftrightarrow 7 \cdot 28</math></td></tr><tr><td>Антирезонансное равновесие</td><td><math>\pm 0 \Leftrightarrow \mp 56</math> <math>0 \Leftrightarrow -28-28</math></td><td><math>\pm 0 \Leftrightarrow \mp 0</math> <math>0 \equiv 196-196.</math></td></tr></table> <p>Великий День <b>сокращается</b>, календарные дни <b>разворачиваются Сами собой</b> (6.16).</p>	Пульсация Календарных Дней			Дни года	Обычный день	Великий День	Лунная гравитация	$7 \cdot T_0 \Leftrightarrow -7T_0$ $28 \Leftrightarrow -28$	$7^2 \cdot T_0 \Leftrightarrow 7^2 T_0$ $196 \Leftrightarrow 196$ $7 \cdot 28 \Leftrightarrow 7 \cdot 28$	Антирезонансное равновесие	$\pm 0 \Leftrightarrow \mp 56$ $0 \Leftrightarrow -28-28$	$\pm 0 \Leftrightarrow \mp 0$ $0 \equiv 196-196.$
Пульсация Календарных Дней													
Дни года	Обычный день	Великий День											
Лунная гравитация	$7 \cdot T_0 \Leftrightarrow -7T_0$ $28 \Leftrightarrow -28$	$7^2 \cdot T_0 \Leftrightarrow 7^2 T_0$ $196 \Leftrightarrow 196$ $7 \cdot 28 \Leftrightarrow 7 \cdot 28$											
Антирезонансное равновесие	$\pm 0 \Leftrightarrow \mp 56$ $0 \Leftrightarrow -28-28$	$\pm 0 \Leftrightarrow \mp 0$ $0 \equiv 196-196.$											
и своими Сердцами,	<p style="text-align: center;">**</p> <p>Потенциал обычных дней равен <math>\pm 28</math>, а их разность <math>\pm 56</math> (6.16).</p> <p>В поле этой разности возникают взаимодействия:</p> <table><tr><th colspan="3">Пульсация гравитационных волн во взаимодействиях</th></tr><tr><th>Режим</th><th>Резонанс</th><th>Антирезонанс</th></tr><tr><td>Разности во взаимодействиях</td><td><math>\pm 56 \cdot \lg \rho_1 \rho_2</math> <math>\rho_3 \rho_4 \rho_5 =</math> <b><math>\pm 112</math></b></td><td><math>\pm (56+2) \equiv</math> <b><math>\pm 58</math></b></td></tr><tr><td>Субстанции</td><td>гравитационно-магнитно-электрическое равновесие</td><td>58 Божеств в голове Человека.</td></tr></table>	Пульсация гравитационных волн во взаимодействиях			Режим	Резонанс	Антирезонанс	Разности во взаимодействиях	$\pm 56 \cdot \lg \rho_1 \rho_2$ $\rho_3 \rho_4 \rho_5 =$ <b><math>\pm 112</math></b>	$\pm (56+2) \equiv$ <b><math>\pm 58</math></b>	Субстанции	гравитационно-магнитно-электрическое равновесие	58 Божеств в голове Человека.
Пульсация гравитационных волн во взаимодействиях													
Режим	Резонанс	Антирезонанс											
Разности во взаимодействиях	$\pm 56 \cdot \lg \rho_1 \rho_2$ $\rho_3 \rho_4 \rho_5 =$ <b><math>\pm 112</math></b>	$\pm (56+2) \equiv$ <b><math>\pm 58</math></b>											
Субстанции	гравитационно-магнитно-электрическое равновесие	58 Божеств в голове Человека.											



Текст Станцы	Расшифровка текста									
	<p>Появление потенциала 112 в поле Вселенной с потенциалом 1008 приводит к девяти группам Периодических систем и субструктуре (9+0) в материнской биоклетке:</p> $\frac{1008 = 24 \cdot 42}{112} \equiv (9 + 0). \tag{6.18}$									
они вмещают беспредельность	<p style="text-align: center;">**</p> <p>Поле с потенциалом 112 формирует Мысль (ρ*), Память (μ*) и Воображение:</p> $112 \equiv (7q^* \equiv 8\mu^* \equiv 4\rho^*) \cdot 10^{-20}. \tag{6.19}$ <p>Это беспредельность.</p> <p>Поле с потенциалом 58 (5.17) - это 58 Божеств головного мозга, в котором формируется беспредельность мысли, памяти и воображения. Мозг их вмещает.</p> <p>В формировании содержимого мозга участвуют 42 Божества твоего Сердца (5.18).</p> <p>42 Божества твоего Сердца и Вездесущий Бог Святой Дух неразрывно связаны пальмой импульсов мысли и воображения:</p> <table><tr><th colspan="3">Связь Души и Духа</th></tr><tr><td>Душа: (T<sub>o</sub>+τ)(3,5+2,5)</td><td>Мысль - вообра- жение</td><td>Святой Дух: τT<sub>o</sub>c/ω<sub>o</sub></td></tr><tr><td colspan="3">42 = ρ*/q* = 7/4 × 24.</td></tr></table> <p style="text-align: right;">(6.20)</p> <p>Читатель! Помни, наши Мысли и Воображение влияют на Ауру Земли: Гагарин видел её голубой, сейчас она в красно-коричневой ноосфере.</p>	Связь Души и Духа			Душа: (T <sub>o</sub> +τ)(3,5+2,5)	Мысль - вообра- жение	Святой Дух: τT <sub>o</sub> c/ω <sub>o</sub>	42 = ρ*/q* = 7/4 × 24.		
Связь Души и Духа										
Душа: (T <sub>o</sub> +τ)(3,5+2,5)	Мысль - вообра- жение	Святой Дух: τT <sub>o</sub> c/ω <sub>o</sub>								
42 = ρ*/q* = 7/4 × 24.										

## 6.2 Пирамида Кундалини. Самосушие Владыки Космоса

Начало формирования Атомов связано со сгущением метagalактических волн в фонон (6.7). Причём сгущение метagalактических волн будет протекать в резонансно-антирезонансном режиме:

Сгущение метagalактических волн	
Антирезонанс	$a_1 = \frac{1}{\sqrt{2}} + \sqrt{2} + \frac{1}{\sqrt{2}} + \sqrt{2} = 3\sqrt{2}$
Резонанс	$H_1 \equiv \frac{1}{\sqrt{2}} \cdot \sqrt{2} \cdot \frac{1}{\sqrt{2}} \cdot \sqrt{2} = 1$
Объём Пирамиды	$V_1 = \frac{1}{3} a_1^2 \cdot H = \frac{1}{3} (3\sqrt{2})^2 = 6 \equiv (3,5 + 2,5) \equiv$ <b>Кундалини - Свет.</b>

(6.21)

Кинематика сгущения метagalактических волн в фонон может быть описана векторной математикой для поверхностной и объёмных волн (рис.6.4).

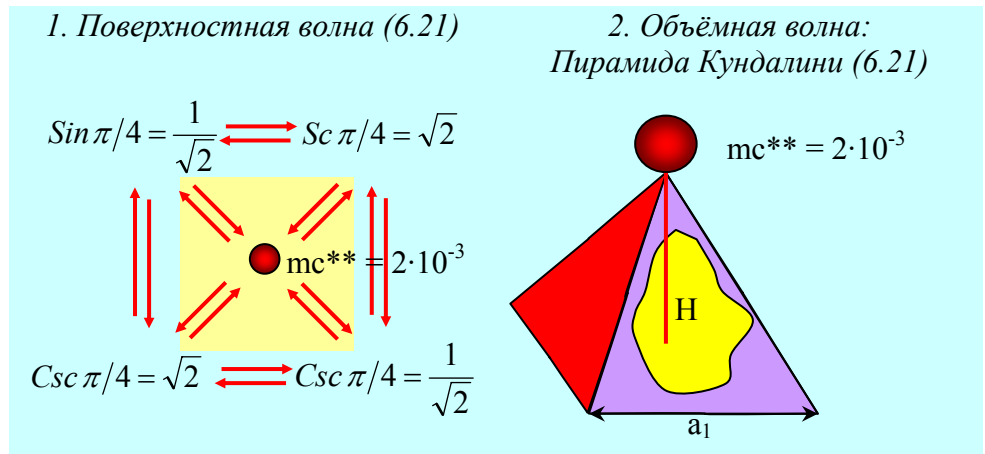


Рис.6.4 Описание сгущения метagalактических волн в фонон:  
Пирамида Кундалини (6.21)

В объёмных волнах метagalактики (Пирамида Кундалини) возникает  $\pm 3000$  фононов:

Фононы Кундалини	
Цис-изомерия	Транс-изомерия
$V_1 : m_c^{**} = 6 : 0,002 = 3000$	$-V_1 : m_c^{**} = -6 : 0,002 = -3000.$

(6.22)

\*\*\*

Дальнейший процесс сгущения фононов (волн Света) великая Цивилизация описывает в Космогенезисе Книги Дзиан ([1]. Станца III, п.12). Расшифруем эту Станцу (табл.6.3).

Таблица 6.3

Текст Станцы	Расшифровка текста
<p><b>12. Тогда Свабхават посылает Фохат,</b></p>	<p>Свабхават <math>O \equiv 4000 \equiv 4000\text{\AA} = 1\phi</math>.</p> <p>Фохат <math>\equiv</math> давление <math>T_o\omega_o/c=2</math>.</p> <p>Фононы (6.22) пульсируют в резонансно - антирезонансном режиме:</p> $\frac{\text{резонанс}}{\text{антирезонанс}} \equiv \frac{3000(-3000)}{3000 - (-3000)} \equiv -\frac{3}{2}10^3. \quad (6.23)$ <p>Общий потенциал будет равен:</p> <div> <math display="block">\Phi \equiv -4000 \cdot 2 \cdot 2/3 \cdot 10^3 = -12 \cdot 10^6. \quad (6.24)</math> </div> <p>Возникает Три-Язычное Пламя Четырёх Фитилей (<math>12 = 4 \cdot 3 = T_o \cdot \tau</math>), [2]), а на частотах <math>10^6</math> Гц появляется эффект Кирлиана.</p>

Текст Станцы	Расшифровка текста
<b>отвердить Атом.</b>	<p>Колебания Три-Язычного Пламени (6.24):</p> $\Phi = -12 \cdot 10^6 \Leftrightarrow \frac{1}{-12 \cdot 10^6} \equiv \frac{1}{\Phi}. \quad (6.25)$ <p>увеличивает мощность резонансного вихря фононов.</p> <p>Появляются электромагнитные взаимодействия (6.25):</p> $\rho_3 = 10^{12} \Leftrightarrow 1/(-12)^2 \equiv 1/144. \quad (6.26)$ <p>Ещё одно колебание влечёт за собой появление гравитационных взаимодействий (6.26):</p> $(144)^2 \Leftrightarrow 1/(10^{12})^2 = 10^{-24} \equiv \rho_1, \quad (6.27)$ <p>где отверждение Атома протекает под воздействием гравитационных (<math>\rho_1</math>) взаимодействий (6.27).</p>
<b>Каждый есть часть Ткани</b>	<p style="text-align: center;">**</p> <p><b>Каждый Атом - сгусток</b>, формирование которого подчиняется пропорциями великой Пирамиды (её объёму <math>V_{\Pi}</math>).</p> <p>Каждая волна, в том числе гравитационная, связана с пропорциями Пирамиды Кундалини (6.21).</p> <p>Колебательный контур (2.27) должен учитывать объём Пирамид:</p> $\frac{144^2}{V_1 = 6} \Leftrightarrow \frac{10^{-24} \equiv \rho_1}{V_{\Pi} = \frac{1}{3} 8 \cdot 2^{7/4}};$ $144^2 \cdot 8 \cdot 2^{7/4} \Leftrightarrow 6 \cdot 3 \cdot 10^{-24};$

Текст Станцы	Расшифровка текста			
	<div><math display="block">12^2 \cdot 2^{3/4} \Leftrightarrow 10^{-24} \cdot \sqrt{2}^{-14},</math><p>что связано с Арупой - Рупой:</p><table><tr><td><b>Ткань Атома - Атом Ткани</b></td><td rowspan="2">(6.28)</td></tr><tr><td><math display="block">(T_o \cdot \tau)^2 \cdot 2^{\tau/T_o} \Leftrightarrow 10^{-2\tau \cdot T_o} \cdot \sqrt{2}^{-\sqrt{\mu_i}^*}.</math></td></tr></table></div>	<b>Ткань Атома - Атом Ткани</b>	(6.28)	$(T_o \cdot \tau)^2 \cdot 2^{\tau/T_o} \Leftrightarrow 10^{-2\tau \cdot T_o} \cdot \sqrt{2}^{-\sqrt{\mu_i}^*}.$
<b>Ткань Атома - Атом Ткани</b>	(6.28)			
$(T_o \cdot \tau)^2 \cdot 2^{\tau/T_o} \Leftrightarrow 10^{-2\tau \cdot T_o} \cdot \sqrt{2}^{-\sqrt{\mu_i}^*}.$				
Отражая, подобно зеркалу "Самосущего Владыку;	<div><p style="text-align: center;">**</p><p>Самосущими в едином Космосе являются метagalактические волны с потенциалами <math>2^{\pm 1/2}</math>.</p><p>В Ткани Атома этих волн имеется <math>\sqrt{2}^{\pm 14}</math> или <math>\sqrt[4]{2}^{\pm 28}</math>.</p><p>Эти <b>самосущные волны</b> действительно <b>Владыки и Корень</b>, ибо они являются <b>источником энергии Материи, дающим Жизнь</b>.</p><p>Других Источников Энергии у Материи нет. Когда одни материалисты пожирают других, то это только трансформация одних форм материи в другие материальные формы. В таких переходах <b>нет источника энергии</b>, ибо и хищник и жертва плодятся - размножаются за счёт тонких Энергий Самосущего Владыки.</p><p>Зарезав жертву, ты ничего не зачал в ней.</p><p>Слова "<b>подобно зеркалу</b>" указывают на колебания метagalактических волн. Например, было как в (6.28), а станет</p><div><math display="block">(T_o \cdot \tau)^2 \cdot 2^{\tau/T_o} \cdot \sqrt{2}^{-14} \Leftrightarrow 10^{-24}.</math><p style="text-align: right;">(6.29)</p></div></div>			

Текст Станцы	Расшифровка текста
	<p>При зеркально отраженных переходах <b>энергия не исчезает и не появляется вновь, но переходит из одной формы в другую с кратностью <math>2^{7/4} \Leftrightarrow 2^{\pm 1/4}</math>.</b></p> <p>Достижение потенциала <math>2^{3/4} \equiv 2^{\tau/T_0}</math> приводит к Кругу Универсуму, о котором говорил Христос Иоанну в "Откровениях".</p>
<p><b>каждый в свою очередь становится Миром.</b></p>	<p style="text-align: center;">* **</p> <p>Каждая <b>пылинка</b> жидкого кристалла повторяет свойства <b>Целого Кристалла</b>.</p> <p>Это происходит в условиях резонансного равновесия, когда</p> $1 = \sqrt{2}^n \cdot \frac{1}{\sqrt{2}^n} \equiv . \quad (6.30)$ <p>Резонансное равновесие (6.30) сменяется антирезонансным:</p> $0 \Leftrightarrow \sqrt{2}^n \cdot \frac{1}{\sqrt{2}^n} \text{ и } \sqrt{2}^n \cdot 0 \Leftrightarrow \sqrt{2}^n, \text{ и } 0 \Leftrightarrow 1. \quad (6.31)$ <p>Возникают Гармония и Хаос. Появляется среда с потенциалом Дзиан (дробь):</p> $\int_0^1 \varphi d\varphi = \frac{1}{2} \Leftrightarrow -\frac{1}{2} = \int_1^0 \varphi d\varphi. \quad (6.32)$ <p>В каждом Атоме возникают Космогенезис, Антропогенезис, Теогенезис, Перемены, Превращения.</p> <p>Пылинка, отражая законы Мира, сама становится Миром.</p>

### 6.3 Сгущение волн света: диаграмма Ян-Цинь

Атома не будет, если фононы не сжать в фотоны. Переход от фононов к гелию уже рассматривался (рис.5.1). Поэтому остановимся на переходе фотон - фонон:

$$m_c^* = 0,008 \Leftrightarrow 0,002 = m_c^{**}, \quad (6.31)$$

используя ту же методологию анализа, что и при сгущении метагалактических волн в фонон (6.21, рис.6.1).

Сгущение фононов в фотоны	
Режим	Потенциалы
Антирезонанс $m_c^{**}$	$m_c^* = m_c^{**} + m_c^{**} + m_c^{**} + m_c^{**} = 4 \cdot 2 \cdot 10^{-3} = 8 \cdot 10^{-3}$
Резонанс $m_c^*$ : диаграмма Ян-Цинь	$\odot \equiv (m_c^*)^4 = (8 \cdot 10^{-3})^4 = 64 \cdot 64 \cdot 10^{-12} \equiv$ $(\rho_3 = 10^{12}) \odot \equiv (T_0 \frac{c}{\omega_0} = 8)^2 \cdot (T_0 \frac{\omega_0}{c} = 2) \equiv 64 \cdot 64.$

(6.33)

\*\*

Кинематика движения фотон - фононов формирует поверхности

**Великая Цивилизация**, опираясь на длину волны, эквивалентную отношению  $m_c^*/m_c^{**} = 4$  (рис.6.5) брала за радиус, равный 2, отношение:

$$R \equiv \frac{m_c^*}{m_c^{**}} \int_0^1 \varphi d\varphi = \frac{4}{2} = 2, \quad (6.35)$$

вписывала в окружность-круг с этим радиусом основание великой Пирамиды и считала потенциалы поля по любому сечению Пирамиды (рис.6.5).

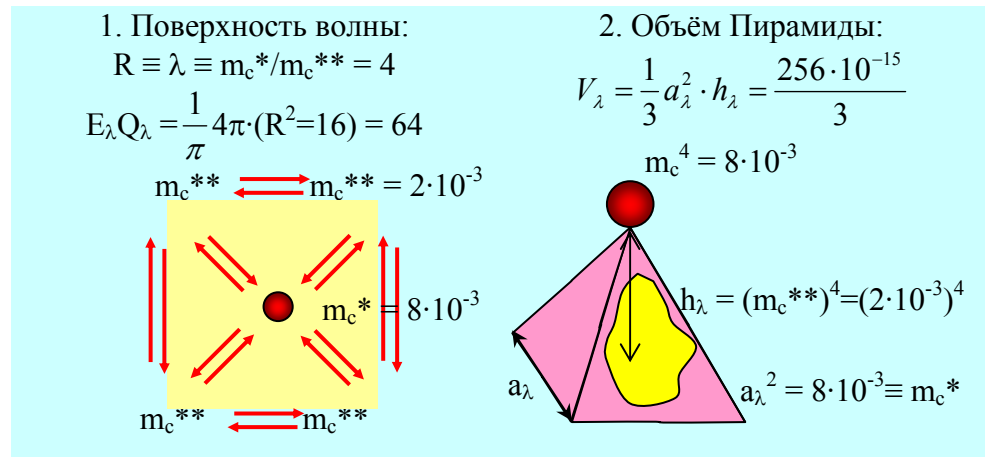


Рис.6.5 Сгущение фононов в фотоны

Пропорциональность в поле великой Пирамиды предопределяла Пирамида фотон - фононов и поверхностной волны света (рис.6.5).

Они создавали колебательный контур между Арупой и Рупой (6.35, рис.6.5):

Колебания Арупы - Рупы в Пирамиде	
От Рупы к Арупе	От Арупы к Рупе
$\frac{E_\lambda Q_\lambda}{V_\lambda} = \left( \frac{64 \cdot 3}{256} = \frac{3}{4} \right) \cdot 10^{15}$ $\frac{3}{4} = \frac{\tau}{T_0} \quad \longleftrightarrow \quad \frac{T_0}{\tau} = \frac{4}{3}$	$10^{15} \left( \frac{4}{3} = \frac{256}{64 \cdot 3} \right) \equiv \frac{V_\lambda}{m_c Q_\lambda}$

(6.36)

\*\*

Дальнейшая стадия сгущения Небесных Тел связана с переходом от **фотонов** к **атомам водорода и гелия** (рис.5.1, рис.5.2).



Резонансное сгущение Фотонов приводит к полю, описание динамики пульсации которого связана с диаграммой Ян-Цинь (6.33).

В этом поле (6.33) преобладают электромагнитные взаимодействия ( $\rho_3 = 10^{12}$ ), переходящие в гравитационные:

Резонансное поле фотонов (6.33)		
Взаимодействия	Электромагнитное	Гравитационное
Глаз Дагма на левизне	$\ominus \equiv (m_c^*)^4$	$\rightleftharpoons 64 \cdot 64 \cdot (10^{-12} \equiv \sqrt{\rho_1})$ (6.37)
Глаз Дагма на правизне	$(10^{12} = \rho_3) [\ominus \equiv (m_c^*)^4]$	$\rightleftharpoons 64 \cdot 64 \equiv \text{Тянь} \cdot \text{Тянь}.$

При частотах  $10^6 \equiv 10^6$  Гц мы выходим на эффект Кирлиана: Аура начинает светиться.

Именно на частоте  $10^6$  следует ожидать трансформации магнитных полей в электрические. А это значит, что передавая в эфир магнитную сверхсветовую волну, мы можем на приёме трансформировать её в электрическую или световую. Тогда путь к передаче сверхсветовой информации будет открыт.

\*\*

Объём Пирамиды фононов, сжатых в фонон (рис.6.5) связан с Кундалини: **оболочка кванта света с потенциалом оболочки, равной 6.**

**Кундалини является логарифмической волной от частот, вызывающих эффект Кирлиан, то есть Свечение Ауры Живого и минералов Кания:**

<b>Кундалини и эффект Кирлиан</b>		
Результат	Эффект Кирлиан	Кундалини
Форма полей	Источник излучения	Логарифмическая волна
Потенциалы полей	$10^6 \equiv \sqrt{\rho_3} \equiv \frac{1}{\sqrt[4]{\rho_1}}$	$\lg 10^6 \equiv 3+(-3) \equiv 3,5+2,5 \equiv 3,5^2-2,5^2 \equiv$
Закон Единого Космоса	<p>Поля метагалактических волн гравитации сжимает до <math>\sqrt[4]{2}</math> и <math>1/\sqrt{2}</math>, то есть до <math>\sqrt{\sin \pi/4}</math> и <math>\sqrt{\sec \pi/4}</math>.</p> <p>В Рупе - Арупе под воздействием гравитации возникает сгусток - эквивалент объёму великой Пирамиды:</p> $V_{\Pi} = \frac{T_0^2}{\tau} \sqrt{\sin \pi/4} = \frac{1}{3} \cdot 8 \cdot 2^{7/4}.$	

(6.38)

\*\*\*

Фонон - это волна света. Кундалини - поверхность волны. Волна сгущается, образуя сгусток объёмом  $V_{\lambda}$  (рис.6.5, 6.34). Спирали Кундалини - оболочки света сжимаются вместе с волной-объёмом. Возникает поле с потенциалом:

<b>Кундалини в сгустке фононов (рис.6.5)</b>	
$\begin{aligned} \text{Кундалини} \times V_{\lambda} &\equiv 6 \cdot \frac{1}{3} \cdot a_{\lambda}^2 \cdot h_{\lambda} \equiv 6 \cdot \frac{1}{3} \cdot m_c^* (m_c^{**})^4 \equiv \\ &2 \cdot 8 \cdot 10^{-3} \cdot (2 \cdot 10^{-3})^4 \equiv (16^2 \cdot 10^{-15} \equiv qq^* \cdot 10^{-15}) \equiv \\ &2^8 \cdot (2 \cdot 5)^{-15} \equiv 2^{-7} \cdot 5^{-15} \equiv \frac{1}{128} \cdot 5^{-15} \equiv 10^{-7} \cdot 5^{-8}. \end{aligned}$	(6.39)

В этом поле (6.39) возникают Зародыши электрических импульсов Воображения ( $qq^* = 10^{-15}$ ).

Зародыш - эквивалент Воображения, создаёт электромагнитную среду с потенциалом, равным корню квадратному из эффективности ядерных взаимодействий ( $\rho_4 = 10^{14}$  и  $\sqrt{\rho_4} = 10^7$ ).

Возникает электрическая ( $\epsilon_0$ ) и магнитная ( $\mu_0$ ) постоянные окружающих сред (6.39):

Реализация потенциала $10^{-7}$ в субстанции Космоса			
Постоянные сред [9]		Динамика Единства сред	(6.40)
электрической	магнитной		
$\varepsilon_0 = \frac{10^7}{4\pi \cdot c^2} \frac{\phi}{м}$ $c = \pi$	$\mu_0 = 4\pi \cdot 10^{-7} \frac{сн}{м}$	$10^{-7} \equiv \frac{\mu_0}{4\pi} \equiv \frac{1}{\varepsilon_0 4\pi \cdot c^2} \equiv \frac{1}{\sqrt{\rho_4}}$ $\mu_0 \varepsilon_0 c^2 = 1.$	

Формирование электромагнитных сред с эффективностями, равными ( $\rho_4^{\pm 1/2} = 10^{\pm 7}$ ) корню квадратному от ядерных взаимодействий (3.40) реализует в Сущности потенциал  $10^{-7}$  (6.39).

Остаётся понять физическую сущность второго потенциала, равного  $5^{-8}$  (6.39).

## 6.4 Гравитационно-магнитная Пятеричная Связь

Наука великой Цивилизации называет Пятеричную Связь между микро-макро квантами Единого Космоса **Пятеричным Лха** (Лха - это энергетический уровень колебания **оболочки по длине волны и её амплитуде**).

Пятеричная связь (Пятеричный Лха) возникает в Едином Космосе тогда, когда Периодичности Продолжительностей Рупы и Арупы достигнут квадрата первоначальных величин:

<b>Пятеричный Лха в Арупе и Рупе</b>
$5^2 \equiv T_0^2 + \tau^2 = 4^2 = 3^2.$

(6.41)

\*\*

**Пятеричный Лха** (энергия связи), как и любой энергетический уровень, например **Великий День** с потенциалом  $15^2$ , излучает энергию квантами и только тогда, когда его потенциал достигнет квадрата первоначальной величины.

Это - **Закон Квантования** (размножение), и из материнской субструктуры (9+0) излучаются две дочернии субструктуры 2(9+0) только за счёт антирезонансно-резонансной пульсации:

Митоз субструктуры биоклетки			
Материнская субструктура	Митоз		Дочернии субструктуры
	Антирезонанс	Резонанс	
$\tau^2 = 9+0$	(9+2)	$9 \cdot 2 = 18$	$2 \cdot (9+0).$

(6.42)

**Микробиолог**, как и любой иной теоретик от физики, не понимающий, что любой процесс протекает в условиях динамического перехода между антирезонансом и резонансом, **никогда не поймёт Основы выбранной им специальности: причины митоза биологической клетки.**

Митоз биологической клетки происходит на уровне её материнской субструктуры (9+0).

Митоз биологической клетки заканчивается появлением двух дочерних субструктур  $2(9+0)$ , эквивалентных молекулярному весу воды:  $2(9+0) = 18 \equiv \text{Mn}_2\text{O}$ . Поэтому Жизнь зарождается в Жидких Средах. Эти среды не воздвигают потенциального барьера перед Жизнью.

Митоз биоклетки связан с резонансно-антирезонансной пульсацией материнской субструктуры:

Митоз биоклетки: поведение субструктур			
Материнская субструктура	Митоз		Дочернии субструктуры
	Антирезонанс	Резонанс	
$(9+0)$	$\xrightarrow{+2} (9+2)$	$\xrightarrow{+7} 9 \cdot 2 = 18$	$\xrightarrow{+0} 2 \cdot (9+0)$

(6.43)

Для митоза биоклетки из Космоса должно поступить  $7+2 = 9$  квантов Тонкой Энергии, то есть Арупа Космоса должна с периодичностью  $\tau$  излучать свет:

Излучающая свет Арупа Космоса
$\tau^2 = 3^2 = 9+0 \equiv t \cdot (m_c c + E_\lambda c + \mu_o \epsilon_o c^2 = 1+1+1 = 3).$

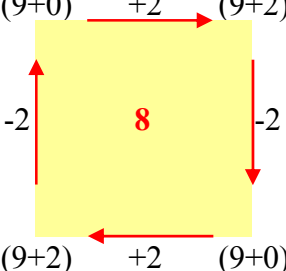
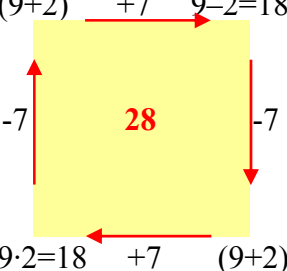
(6.44)

Материя будет перераспределять этот квант (6.43).

**"5. Корень остаётся, Свет остаётся, Сгустки остаются и, всё же, Осаоһоо Един"** ([1]. Космогенезис, Станца III).

\*  
\*\*

Резонансно-антирезонансная пульсация как насос: она даёт "закачивать" Тонкую Энергию в Сгустки Материи, например в субструктуру  $(9+0)$  биоклетки (6.43, 6.42):

Подготовка к митозу	Кундалини	Резонансно-антирезонансный митоз
	$3,5 = 28/8$	

(6.45)

Подготовку к митозу и митоз проводит Кундалини (6.45).

\*\*

Энергетика сгущения живого и неживого подобна, так как формируется разностью потенциалов между гравитацией сгустка и расширяющейся Вселенной, то есть за счёт  $28 - 8 = 20$ , где  $8 = 36 - 28$  (6.45).

\*\*

Сгущение формирует Рупу (объём) с периодичностью  $T_0 = 4$ .

В поле сгустков с разностью потенциалов  $28 - 8 = 20$  возникает пятеричная связь, которая расщепляется на гравитационно-магнитные компоненты:

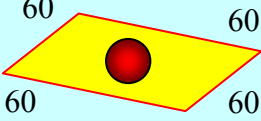
$$\frac{28 - 8}{T_0 = 4} = 5 = \frac{1^2 + 2^2 + 3^2 + 4^2 + 5^2 + 6^2 + 7^2}{1 + 2 + 3 + 4 + 5 + 6 + 7} = \frac{140 \text{ магнетизм}}{28 \text{ гравитация}}. \quad (6.46)$$

Чтобы из поля (6.46) сделать сгусток, это поле надо сжать, то есть применить силу Фохата (сжатие).

Великая Цивилизация описывает сжатие так (табл.6.4).

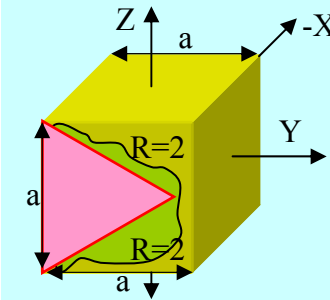
Таблица 6.4

Текст Станцы	Расшифровка текста									
<b>5. Фохат делает пять Про- движений</b>	Задача Фохата перейти от гравитации к магнетизму (6.46) пятью переходами по гравитационному полю:									
	Пять Продвижений	Гравитационные уровни							суммы	
		I	II	III	IV	V	VI	VII		
		1.	1	2	3	4	5	6	7	28
		2.	7	6	5	4	3	2	1	28
		3.	1	2	3	4	5	6	7	28
		4.	7	6	5	4	3	2	1	28
		5.	1	2	3	4	5	6	7	28
	суммы	17	18	19	20	21	22	23	140	
	(6.47)									
	После пяти Продвижений сжатия возникает уровень - эквивалент магнитному полю (6.46):									
$17+18+19+20+21+22+23 = 140 \equiv$ $1^2+2^2+3^2+4^2+5^2+6^2+7^2.$ $(6.48)$										
За пять Продвижений Фохат добился своего: он трансформировал гравитационное поле в магнитное (6.47, 6.48).										
<b>и строит крылатое колесо</b>	<div><div>*</div><div>**</div></div>									
	Сжатие гравитационного поля от 17 до 23 (6.47) возмущает окружающую среду и в ней возникает разность квадратов потенциалов, кратная волновому полю Святого Духа:									
$2 \cdot \int\limits_{17}^{23} \varphi d\varphi = 23^2 - 17^2 = 240 .$ $(6.49)$										

Текст Станцы	Расшифровка текста
<p><b>на каждом углу квадрата для четверых Пресвятых и для Воинств их.</b></p>	<div data-bbox="1090 237 1118 271" style="text-align: center;">**</div> <p>Поле с потенциалом 240 (6.49) формируется в поле Рупы после сжатия и имеет скорость формирования, равную</p> $\frac{240}{T_0 = 4} = 60. \quad (6.50)$ <div data-bbox="730 602 1441 772" style="background-color: #e0ffff; padding: 10px; border: 1px solid black;"> <div style="display: flex; align-items: center;">  <div style="margin-left: 20px;"> <p>Приведённые колебания</p> <math display="block">K = \frac{60^4}{4 \cdot 60} = 15 \cdot 3600 \quad (6.51)</math> </div> </div> </div> <p style="text-align: center;"><i>Рис.6.6 Колебание в сжатом поле</i></p> <p>Четверо Пресвятых - это Кундалини в поле света (рис.6.6):</p> $60 \equiv (3,5+2,5) \cdot 10 = \text{Кундалини} \times \rho_5, \quad (6.52)$ <p>Воинства Кундалини - это излученный свет, несущий заряды-импульсы (6.51):</p> <div style="border: 1px solid black; padding: 10px; margin: 10px 0;"> <p style="text-align: center;"><b>Структура света, излученной Кундалини</b></p> <math display="block">K = 15 \cdot 3600 \equiv (\sqrt{q q^*} + \sqrt{\mu \mu^*}) \int_0^1 \varphi d\varphi \cdot \Delta B \quad (6.53)</math> </div> <p>В сжатом поле (6.47) возникает белый солнечный свет и электромагнитный антирезонанс (6.53).</p>

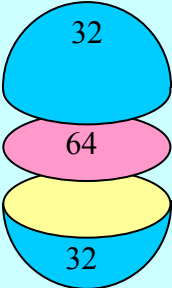


Текст Станцы	Расшифровка текста	
6. Липики очерчива- ют Тре- угольник,	<div><div><div></div><div></div><div></div></div><div><div></div><div></div><div></div></div></div> <p>Липики - это Мысли с потенциалом <math>\rho^* = 28 \cdot 10^{20}</math>. Мысль - это Арупа (энергия вне формы) с продолжительностями <math>\tau = 3</math> (треугольник). Поле (6.53) пульсирует в резонансно-антирезонансном режиме:</p> <div><div><div><div><math display="block">\frac{14+16}{2} \overset{\kappa}{\Leftrightarrow} 14 \cdot 16</math></div><div><math display="block">30 \Leftrightarrow 2 \cdot 14 \cdot 16</math></div></div></div><div>(6.54)</div></div> <p>На эту пульсацию накладывается треугольник Мысли (5.54):</p> $\rho_5 = 10 = \frac{30}{\tau} \Leftrightarrow \frac{2 \cdot 14 \cdot 16}{\rho^* = 28 \cdot 10^{20}} = 16 \cdot 10^{-20} \equiv q. \quad (6.55)$ <p>В поле взаимодействия света возникает элементарный электрический заряд (6.55).</p>	
	Первый Единый	<div><div><div></div><div></div><div></div></div><div><div></div><div></div><div></div></div></div> <p><b>Первый Единый</b> - это элементарный электрический заряд (6.55) в сферической оболочке, которую создаёт волна-частица света:</p> $10m_c \Leftrightarrow q/E_\lambda \equiv 16 \cdot 10^{-20} \pi \equiv Q_2 \cdot 10^{-20}, \quad (6.56)$ <p>где <math>16\pi</math> - эквивалент поверхности сферы с радиусом <math>R = 2</math>:</p> $Q_2 = 4\pi \cdot (R=2)^2 = 16\pi. \quad (6.57)$

Текст Станцы	Расшифровка текста
<b>Куб,</b>	<p>Куб - это <b>идеальная вектор-эпюра</b> для описания <b>трёхмерного</b> сжатого сферического <b>пространства</b>, в которое куб вписан:</p> <ol style="list-style-type: none"> <li>1. Шесть граней куба - эквивалент шести степеней свободы движения квантов по осям <math>\pm X</math>, <math>\pm Y</math>, <math>\pm Z</math> (рис.6.7).</li> <li>2. Восемь углов куба - эквивалент потенциалу (<math>T_0 c / \omega_0 = 8</math>) расширяющейся Вселенной (рис.6.7).</li> <li>3. Двенадцать рёбер куба - эквивалент Продолжительности <math>T_0 \cdot \tau = 4 \cdot 3 = 12</math>, возникающей в сжатом внутреннем поле сгустка (рис.6.7).</li> </ol>
<b>Второй Единый</b>	<p style="text-align: center;">**</p> <p>Это треугольник, образованный двумя радиусами <math>R = 2</math> и ребром <math>a = 2\sqrt{2}</math> куба, вписанного в сферическую поверхность <math>Q_2</math> с радиусом <math>R = 2</math> (6.57, рис.6.7).</p> <div style="display: flex; align-items: center; justify-content: center;">  <div style="margin-left: 20px;"> <p>Ребро <math>a</math> - аналог стороны основания великой Пирамиды:</p> <math display="block">a \equiv \sqrt{R^2 + R^2} = \sqrt{8} = 2\sqrt{2}</math> <math display="block">a^2 = 8 - \text{основание великой Пирамиды} \quad (6.58)</math> </div> </div> <p style="text-align: center;"><i>Рис.6.7 Куб - эпюра трёхмерного Пространства Вселенной</i></p> <p>Появление света в объёме куба влечёт за собой пульсацию сферической поверхности <math>Q_2 = 16\pi</math> (6.57):</p> $\frac{a^3}{m_c} = \frac{16\sqrt{2}}{1/\pi} = 16\pi\sqrt{2} = Q_2 Sc \pi / 4 = \dots \quad (6.59)$

Текст Станцы	Расшифровка текста				
	<p>Корпускулярно-волновые колебания света в кубе (рис.6.7):</p> $\frac{a^3}{m_c} \Leftrightarrow \frac{E_\lambda}{a^3} \rightarrow a^6 \equiv 16^2 \cdot 2 \Leftrightarrow E_\lambda m_c = \frac{1}{c^2} = \varepsilon_0 \mu_0, \quad (6.60)$ <p>сформируют сгусток электромагнитной резонансной среды, не несущей заряда. Это и есть нейтрон в ядерной плазме света <math>m_c E_\lambda</math>.</p> <p>Нейтрон (<math>\varepsilon_0 \mu_0</math>) формирует вокруг себя поле с потенциалом <math>162 \cdot 2 \equiv qq^* \cdot c / \omega_0</math>. В окружающей нейтрон среде возникают вихревые потоки электрической плазмы:</p> <table border="1" data-bbox="730 835 1366 947"> <tr> <td>Нейтрон</td><td>Среда</td></tr> <tr> <td><math>\varepsilon_0 \mu_0 \omega_0</math></td><td><math>qq^* c</math></td></tr> </table> <p style="text-align: right;">(6.61)</p> <p>И когда нейтрон вращается вокруг собственной оси, электрическое поле совершает поступательное движение: элементарные заряды по поверхности проводников, электрические импульсы <math>q^*</math> в просторах Вселенной.</p> <p style="text-align: center;">**</p> <p>Скорость пульсации Вселенной в Арупе будет равна:</p> $V_B = \frac{a^3}{\tau} = \frac{1}{3} \cdot 16\sqrt{2} = \frac{1}{3} \cdot 8 \cdot 2\sqrt{2} \equiv \frac{1}{3} \cdot a^2 \cdot a. \quad (6.62)$ <p>где сторона великой Пирамиды относится к её высоте:</p> $H : a = 2^{7/4} : 2\sqrt{2} = 2^{1/4} \equiv \sqrt{Sc \pi / 4}, \quad (6.63)$ <p>как к потенциалу сжатой волны метagalактики.</p>	Нейтрон	Среда	$\varepsilon_0 \mu_0 \omega_0$	$qq^* c$
Нейтрон	Среда				
$\varepsilon_0 \mu_0 \omega_0$	$qq^* c$				

Текст Станцы	Расшифровка текста																								
	<p>Это даёт возможность выразить скорость пульсации сгустка в Арупе (6.62) через объём (<math>V_{\Pi}</math>) великой Пирамиды (6.63):</p> $V_B = \frac{1}{3} a^2 \left( a = H \sqrt{\sin \pi/4} \right) \equiv \frac{1}{3} a^2 H \cdot 2^{-1/4};$ <div><math display="block">V_B = V_{\Pi} \sqrt{\sin \pi/4}</math></div> <div>(6.64)</div>																								
<b>и Пентаграмму в Яйце</b>	<p>Внутри нейтрона (внутреннее поле нейтрона <math>\epsilon_0 \mu_0 c^2 = 1</math>) возникает поле с потенциал-эквивалентом Свечению от Генератора Тонкой Энергии (рис.5.4).</p> <p>Сущность Пентаграммы состоит в описании перехода от гравитационного поля к магнитному (6.47, 6.48).</p> <p style="text-align: center;">**</p> <p>Энергетика пульсации поверхности <b>Яйца</b> связана с пятью тактами колебаний электромагнитных сред:</p> <table><tr><th colspan="6">Колебания поверхности нейтрона - Яйца</th></tr><tr><th>Такты колебаний</th><th>1</th><th>2</th><th>3</th><th>4</th><th>5</th></tr><tr><td>Электромагнитная среда</td><td><math>\frac{\epsilon_0}{\mu_0}</math></td><td><math>\epsilon_0 \mu_0</math></td><td><math>\frac{\mu_0}{\epsilon_0}</math></td><td><math>\frac{1}{\epsilon_0 \mu_0}</math></td><td><math>\frac{\epsilon_0}{\mu_0}</math></td></tr><tr><td>Ядерные взаимодействия в нейтроне</td><td colspan="5"><math display="block">\epsilon_0 = \frac{10^7}{4\pi \cdot c^2} \frac{\phi}{m} \Leftrightarrow 4\pi \cdot 10^{-7} \frac{2H}{m} =</math><math display="block">\rho_5 \cdot 10^{14} \Leftrightarrow (4\pi)^2 c^2 \frac{2H}{\phi} \equiv</math><math display="block">16\pi \cdot c^3 \equiv \rho_5 \cdot \Leftrightarrow Q_2 \cdot c^3.</math></td></tr></table> <div>(6.65)</div>	Колебания поверхности нейтрона - Яйца						Такты колебаний	1	2	3	4	5	Электромагнитная среда	$\frac{\epsilon_0}{\mu_0}$	$\epsilon_0 \mu_0$	$\frac{\mu_0}{\epsilon_0}$	$\frac{1}{\epsilon_0 \mu_0}$	$\frac{\epsilon_0}{\mu_0}$	Ядерные взаимодействия в нейтроне	$\epsilon_0 = \frac{10^7}{4\pi \cdot c^2} \frac{\phi}{m} \Leftrightarrow 4\pi \cdot 10^{-7} \frac{2H}{m} =$ $\rho_5 \cdot 10^{14} \Leftrightarrow (4\pi)^2 c^2 \frac{2H}{\phi} \equiv$ $16\pi \cdot c^3 \equiv \rho_5 \cdot \Leftrightarrow Q_2 \cdot c^3.$				
Колебания поверхности нейтрона - Яйца																									
Такты колебаний	1	2	3	4	5																				
Электромагнитная среда	$\frac{\epsilon_0}{\mu_0}$	$\epsilon_0 \mu_0$	$\frac{\mu_0}{\epsilon_0}$	$\frac{1}{\epsilon_0 \mu_0}$	$\frac{\epsilon_0}{\mu_0}$																				
Ядерные взаимодействия в нейтроне	$\epsilon_0 = \frac{10^7}{4\pi \cdot c^2} \frac{\phi}{m} \Leftrightarrow 4\pi \cdot 10^{-7} \frac{2H}{m} =$ $\rho_5 \cdot 10^{14} \Leftrightarrow (4\pi)^2 c^2 \frac{2H}{\phi} \equiv$ $16\pi \cdot c^3 \equiv \rho_5 \cdot \Leftrightarrow Q_2 \cdot c^3.$																								

Текст Станцы	Расшифровка текста
	<p>Ядерные взаимодействия <b>на электромагнитной поверхности нейтрона</b> могут быть экзотермическими (ядерный взрыв), а могут быть эндотермическими (инверсионный взрыв).</p> <p>Между этими формами взрывов возникает разность потенциалов логарифмических волн взаимодействий (6.65).</p> $(\rho_4 \Leftrightarrow 16\pi c^3) \cdot (\lg \rho_3 \rho_4 \rho_5 = 27) + (-25 = \lg \rho_1 \rho_2) =$ $(\rho_4 \Leftrightarrow 16\pi c^3) \cdot 2 \rightarrow 1/\pi^4 \equiv (m_c E_\lambda)^4 \rho_4 \Leftrightarrow 32. \quad (6.66)$ <p>Возникают Небеса - Цинь (6.66).</p>
<p><b>Это Кольцо, названное "Не преступи" для тех, кто нисходят и восходят</b></p>	<p style="text-align: center;">**</p> <p>Сгущение небес - Цинь (6.66) в сгусток Тянь формирует планетарную систему (рис.6.7).</p> <div style="display: flex; align-items: center; justify-content: center;">  <div style="margin-left: 20px;"> <p>Колесо-Цинь для тех, кто восходит (цис-изомерия)</p> <p>Колесо "Не преступи!" (сгоришь) сгусток ядра Тянь</p> <p>Колесо-Цинь для тех, кто нисходит (транс-изомерия)</p> </div> </div> <p style="text-align: center;"><i>Рис.6.7 Колёса сохраняют Кольцо [1] (Нейтрон)</i></p>

Текст Станцы	Расшифровка текста								
	<p style="text-align: center;">**</p> <p>В поле всеобъемлющей пятеричной связи нисходят в гравитацию зародыша Недр ядра, а восходят в магнитное поле над Зародышем (рис.6.7).</p> <div style="display: flex; align-items: center; justify-content: center;"> <table border="1" style="border-collapse: collapse; text-align: center;"> <tr> <th colspan="2">Нисходящие - восходящие в Недрах Нейтрона</th></tr> <tr> <td style="text-align: left; padding: 5px;"><b>5</b> =</td><td style="padding: 5px;"> <math display="block">\frac{140 \equiv 10\sqrt{\mu\mu} * (32 \equiv \text{Цинь}) - \text{Восходят}}{28 \equiv \sqrt{\rho\rho} * (32 \equiv \text{Цинь}) - \text{Нисходят}}</math> </td></tr> </table> <span style="margin-left: 20px;">(6.67)</span> </div>	Нисходящие - восходящие в Недрах Нейтрона		<b>5</b> =	$\frac{140 \equiv 10\sqrt{\mu\mu} * (32 \equiv \text{Цинь}) - \text{Восходят}}{28 \equiv \sqrt{\rho\rho} * (32 \equiv \text{Цинь}) - \text{Нисходят}}$				
Нисходящие - восходящие в Недрах Нейтрона									
<b>5</b> =	$\frac{140 \equiv 10\sqrt{\mu\mu} * (32 \equiv \text{Цинь}) - \text{Восходят}}{28 \equiv \sqrt{\rho\rho} * (32 \equiv \text{Цинь}) - \text{Нисходят}}$								
<p><b>кто в течение Кальпы продвигаются к Великому Дню "Будь с нами!"...</b></p>	<p style="text-align: center;">**</p> <p>Равновесное поле атома или ЭГО восходящего - нисходящего имеет резонансный равновесный потенциал, равный 1:</p> <p style="text-align: center;">Атом <math>\equiv</math> Эго <math>\equiv m_c c \equiv 1</math>. <span style="float: right;">(6.68)</span></p> <p>Потенциал Великого Дня равен <math>13^2</math> (6.15)</p> <p>Переход <b>резонансного</b> контакта восходящих - нисходящих (6.67) к <b>антирезонансу</b> приводит к потенциалу Великого Дня:</p> <div style="display: flex; align-items: center; justify-content: center;"> <table border="1" style="border-collapse: collapse; text-align: center;"> <tr> <th colspan="2">Потенциалы нейтрона</th></tr> <tr> <td style="padding: 5px;">Великий День</td><td style="padding: 5px;"><b><math>13^2</math></b> = 140+28+(<math>m_c c=1</math>) = 169</td></tr> <tr> <td style="padding: 5px;">Кальпа</td><td style="padding: 5px;"><b><math>12^2</math></b> = <math>13^2 - 5^2</math> = 144</td></tr> <tr> <td style="padding: 5px;">"Будь с нами!"</td><td style="padding: 5px;"><b><math>7^2 \cdot 4</math></b> = 196 <math>\equiv 12^2 + 4 \cdot 13^2 \equiv 13 + (27 \equiv \tau^v)</math>.</td></tr> </table> <span style="margin-left: 20px;">(6.69)</span> </div>	Потенциалы нейтрона		Великий День	<b><math>13^2</math></b> = 140+28+( $m_c c=1$ ) = 169	Кальпа	<b><math>12^2</math></b> = $13^2 - 5^2$ = 144	"Будь с нами!"	<b><math>7^2 \cdot 4</math></b> = 196 $\equiv 12^2 + 4 \cdot 13^2 \equiv 13 + (27 \equiv \tau^v)$ .
Потенциалы нейтрона									
Великий День	<b><math>13^2</math></b> = 140+28+( $m_c c=1$ ) = 169								
Кальпа	<b><math>12^2</math></b> = $13^2 - 5^2$ = 144								
"Будь с нами!"	<b><math>7^2 \cdot 4</math></b> = 196 $\equiv 12^2 + 4 \cdot 13^2 \equiv 13 + (27 \equiv \tau^v)$ .								

Текст Станцы	Расшифровка текста										
Так были созданы Арупа и Рупа	<div><p style="text-align: center;">* **</p><p>Рупа: <math>T_o \cdot 13 = 52</math>. Арупа: <math>\tau^3 = 27</math></p></div>										
	<div><div><p style="text-align: center;"><b>Вечная связь между Арупой и Рупой</b></p><div><math display="block">52 = [27 - (E_{\lambda c} = 1)] \lg \rho_1 \rho_2 \rho_3 \rho_4 \rho_5 = 2</math><math display="block">52 \cdot \int\limits_0^1 \varphi d\varphi = 27 - (E_{\lambda c} = 1).</math></div></div></div> <div><p style="text-align: right;">(6.70)</p></div>										
от Единого Света Семь Све- точей,	<div><p style="text-align: center;">* **</p><p>От <math>E_{\lambda c} m_{cс} = 1</math> (Единый Свет) до <math>(m_{cс} = 1) \cdot (T_o + \tau = 7) = 7</math> (Семь Светочей) Частота пульсации:</p></div>										
	<div><math display="block">7^2 + 1 = 49 + 1 = 50.</math><p style="text-align: right;">(6.71)</p><p>Пульсация нейтрона (6.71) заставляет пульсиро- вать Тянь и Цинь:</p><table><tr><td>Нейтрона</td><td>Цинь</td><td>Тянь</td><td>Тянь+2Цинь</td></tr><tr><td><math>\varepsilon_o \mu_o \cdot 50</math></td><td><math>32 \cdot 50</math> =1600</td><td><math>64 \cdot 50</math> =3200</td><td><math>[64 + 32 - (-32)] \cdot 50</math> = 6400/</td></tr></table><p style="text-align: right;">(6.72)</p><p>Пульсирующие с частотой, равной 50 небеса - Цинь создают 16 электрон-позитронов, то есть 8 пар зарядов атмосферного кислорода, а затем 16 пар заря- дов молекулярного кислорода (6.72).</p><p>Над сгустком нейтрона появляется электрон-по- зитронное облако.</p><p>Это электрическое облако, так как <math>16 \equiv \sqrt{qq^*}</math> (6/72).</p></div>				Нейтрона	Цинь	Тянь	Тянь+2Цинь	$\varepsilon_o \mu_o \cdot 50$	$32 \cdot 50$ =1600	$64 \cdot 50$ =3200
Нейтрона	Цинь	Тянь	Тянь+2Цинь								
$\varepsilon_o \mu_o \cdot 50$	$32 \cdot 50$ =1600	$64 \cdot 50$ =3200	$[64 + 32 - (-32)] \cdot 50$ = 6400/								

Текст Станцы	Расшифровка текста			
от каждого из Семи се- мижды Семь Све- точей.	<p>Резонансное равновесие в полях ядерных взаимодействий нейтрона:</p> $1 \equiv \rho_4^{1/2} \cdot \rho_4^{-1/2} = 10^7 \cdot 10^7. \tag{6.73}$ <p>влечёт за собой появление логарифмических волн:</p> <table><tr><td><math>\lg 1 \equiv \lg 10^7 + \lg 10^{-7}</math></td><td rowspan="2">(6.74)</td></tr><tr><td><math>0 \equiv 7 - 7 \quad \text{и} \quad 7 = 7.</math></td></tr></table> <p>Каждый из этих двух Семи пульсирует, создавая потенциал "Будь с нами!", равный <math>7^2 \cdot 4</math> (6.69). Эти семижды Семь Светочей образуют оболочку (потенциал 49) ядра, пульсирующую с периодичностью <math>T_0</math>. Мы замеряем пульсирующее ядро и говорим: радиус ядра не имеет ярко выраженных границ и носит условный характер [9]:</p> $R_0 = (1,7 \div 1,3) \cdot 10^{-13} \text{ см.}$	$\lg 1 \equiv \lg 10^7 + \lg 10^{-7}$	(6.74)	$0 \equiv 7 - 7 \quad \text{и} \quad 7 = 7.$
$\lg 1 \equiv \lg 10^7 + \lg 10^{-7}$	(6.74)			
$0 \equiv 7 - 7 \quad \text{и} \quad 7 = 7.$				
Колёса охраняют Кольцо...	<p style="text-align: center;">**</p> <p>Небеса - Цинь (колёса) охраняют сгусток - Тянь (кольцо); электрон-позитронное облако охраняет нейтрон (рис.6.7).</p>			



## 6.5 Строение Атома. Электромагнитное Дыхание Чакр

Наша наука представляет себе нейтрон как массу, не имеющей заряда.

Таких масс не бывает, ибо любая масса формируется на базе разноимённых зарядов-импульсов, и нейтрон не исключение.

Нейтрон - это масса, которая формируется гравитационным и магнитным зарядами-импульсами, находящимися в равновесии друг с другом:

Заряд нейтрона и масса относительного покоя		(6.75)
Антирезонанс	Резонанс	
$m_0^{\rho\rho^*-T_0\mu\mu^*} \equiv e^0 = 1$	$m_0^{\rho\rho^*/T_0\mu\mu^*} \equiv e^1 = e.$	

Эти массы относительного покоя с зарядом нейтрона (6.75) возникают там и тогда, где и когда гравитационный заряд делится на два магнитных, то есть практически в любой Точке - Капле Вселенной.

\*\*

Появление массы относительного покоя происходит в поле волны-частицы света ( $m_c, E_\lambda$ ) с пульсирующей периодичностью точечного участка волны света, то есть при  $T_0 \pm 1$ .

В этом поле возникает загадочная для нашей науки, но такая естественная для Природы постоянная Тонкой структуры [9]:

Постоянная Тонкой структуры: происхождение	
Замерено нашей наукой [9]	Объяснено мною
$1/\alpha = 137,0000021$	$\sqrt{\frac{m_0}{m_c}} \cdot \frac{\tau_\lambda - 1}{T_0 + 1} = \frac{3}{5} \pi \cdot e^\pi.$

(6.76)

\*\*

Формирование нейтрона как Зародыша в Капле жидкой плазмы, где возникает Подсознание, то есть в Недрах Капли возникает за счёт полей Четырёх Форм, функционирующих за счет пульсации слабых взаимодействий света (табл.6.5).

Таблица 6.5

**Четыре поля формирования нейтрона**

Поля	Волны	Фотон-фононы	Заряды	Импульсы	Связь $5 = \frac{140}{28}$	Произведение
$K_1$	$= \sin \pi/4 \times \frac{1}{\sqrt{2}}$	$m_c^{**} = 2 \cdot 10^{-3}$	$\rho = 28 \cdot 10^{-20}$	$\rho^* = 28 \cdot 10^{20}$	$\times 28$	$= 28^3 10^{-3} \sqrt{2}$
$K_2$	$= \sec \pi/4 \times \sqrt{2}$	$m_c^* = 8 \cdot 10^{-3}$	$\mu = 28 \cdot 10^{-20}$	$\mu^* = 28 \cdot 10^{20}$	$\times 140$	$= 8 \sqrt{2} 14^3 10^{-2}$
$K_3$	$= \cos \pi/4 \times \frac{1}{\sqrt{2}}$	$m_c^{**} = 2 \cdot 10^{-3}$	$\rho = 28 \cdot 10^{-20}$	$\rho^* = 28 \cdot 10^{20}$	$\times 28$	$= 28^3 10^{-3} \sqrt{2}$
$K_4$	$= \csc \pi/4 \times \frac{1}{\sqrt{2}}$	$m_c^* = 8 \cdot 10^{-3}$	$\mu = 28 \cdot 10^{-20}$	$\mu^* = 28 \cdot 10^{20}$	$\times 140$	$= 8 \sqrt{2} 14^3 10^{-2}$
Колебания	$\left  \frac{K_2}{K_1} \right  \Leftrightarrow \left  \frac{K_3}{K_4} \right  \Leftrightarrow \left  \rho_5 = 10 \Leftrightarrow \frac{1}{10} \equiv \rho_2 \right .$					

Возникают цис-транс изомерические эндо-экзотермические колебания нейтрона (табл.6.5):

Цис-транс изомерические эндо-экзотермические колебания нейтрона		(6.77)
Цис-изомерия экзотермии	Транс-изомерия эндотермии	
$\rho_5 \cdot \lg \rho_3 \rho_4 \rho_5 = \int_0^1 \varphi d\varphi =$ $10 \cdot (+27) \cdot (+1/2) = +135$	$\rho_2 \cdot \lg \rho_1 \rho_2 = \int_1^0 \varphi d\varphi =$ $0,1 \cdot (-25) \cdot (-1/2) = +1,25.$	

Отношение этих потенциалов (6.77):

$$135 : 1,25 = 108, \quad (6.78)$$

предопределяет 108 взаимотрансформаций, в частности 108 реинкарнаций, о которых говорит Буддизм.

\*\*

Наша наука говорит о протоне, но что это за сгусток массы не представляет совершенно, хотя и пытается рассчитать его вес. Поэтому даю характеристику протона:

**Протон - это сгусток электромагнитной среды, пронизанный волной-частицей света (табл.6.6).**

Таблица 6.6

**Четыре поля формирования протона  
в ядерных взаимодействиях**

Поля	Электромагнитные постоянные	Волна-частица света	Произведения
$L_1$	$= \mu_0 = 4\pi \cdot 10^{-7}$	$\times (m_c + E_\lambda) : T_0^2 = 1/4\pi =$	$10^{-7}$
$L_2$	$= \varepsilon_0 = \frac{10^7}{4\pi \cdot c^2}$	$\times \frac{T_0}{m_c^2 E_\lambda} = 4\pi^3 =$	$10^7$
$L_3$	$= \frac{1}{\mu_0} = \frac{10^7}{4\pi}$	$\times T_0^2 : (m_c + E_\lambda) = 4\pi =$	$10^7$
$L_4$	$= 1/\varepsilon_0 = 4\pi \cdot c^2 \cdot 10^{-7}$	$\times m_c^2 \cdot E_\lambda : T_0 = 1/4\pi^3 =$	$10^{-7}$
Колебания	$\left  \frac{L_2}{L_1} \Leftrightarrow \frac{L_3}{L_4} \right  \rightarrow \left  \rho_5 = 10 \Leftrightarrow \frac{1}{10} \equiv \rho_2 \right .$		

Протон - это магма, электролиз которой проходит между гравитационными зарядами ( $\sqrt{\rho\rho^*} = 28$ ) Недр в Капле ядерного вещества и электрическими ( $\sqrt{qq^*} = 16$ ) зарядами поверхности каждой Капли (рис.6.8).

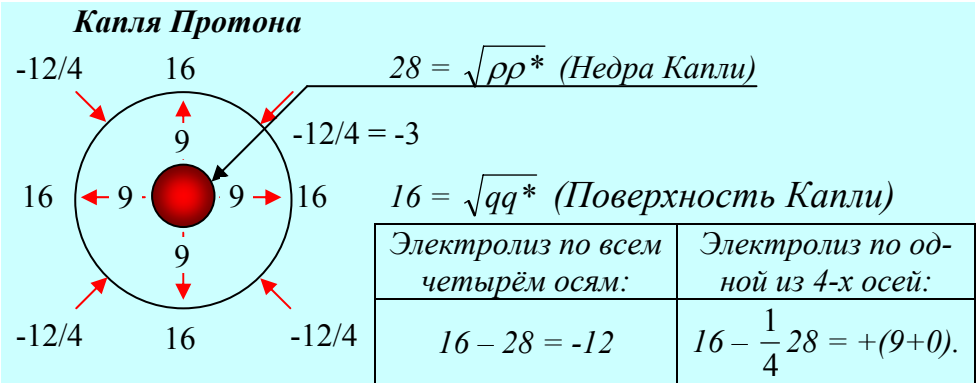


Рис.6.8 Электролиз в ядерной Капле протона

В ходе гравитационно-электрического электролиза ядерная Капля протона будет поглощать по каждому из четырёх направлений квант с потенциалом  $-12/4 = -3$ , а всего **-12**.

При гравитационно-электрическом электролизе из ядерной Капли протона по одному из четырёх направлений выделяется квант с потенциалом **9**, а по четырем направлениям - квант с потенциалом света, равный  $9 \cdot 4 = 36$  (6.79, рис.6.8).

Поглощенные магмой протона кванты будут попадать в область экзотермических ядерных взаимодействий, а излученные протоном кванты света начнут своё движение в область эндотермии, так как будут расширяться в поля взаимодействий, обратных ядерным (табл.6.7). Причём поглощенная энергия будет обладать транс-изомерией, так как попадает в Хаос магмы протона, а излученная получит Гармонию небес, и будет иметь цис-изомерию (табл.6.7).

Таблица 6.7

**Электролиз в магме протона**

Поглощение				Излучение (выделение)			
эффе- ктив- ности	число квантов (6.79)	экзо- термия	транс- изомерия	эффе- ктив- ности	число квантов	эндо- термия	цис- изомерия
$10^{+14}$	-12	27	-1/2	$10^{-14}$	36	-2,5	+1/2
$k_1 \equiv [-12 \cdot 27 \cdot (-1/2) = 162] \cdot 10^{14}$				$k_2 \equiv [36 \cdot (-25) \cdot 1/2 = -450] \cdot 10^{-14}$ .			
Примечания: $27 = \lg \rho_3 \rho_4 \rho_5 = \lg 10^{27}$ ; $-25 = \lg \rho_1 \rho_2 = \lg 10^{-25}$ ; $\pm \frac{1}{2} = \pm \int_0^1 \varphi d\varphi$ .							

При электролизе в магме протона выделяется масса относительного покоя ( $m_0 = 2,7 \approx e$ ) на любом энергетическом уровне с семеричной периодичностью (табл.6.7):

$$\frac{k_2}{k_1} \equiv \frac{-450 \cdot 10^{-14}}{162 \cdot 10^{-14}} = -2,7(7) \cdot 10^{-28}, \quad (6.80)$$

где семь уходит в период и действует на любом энергетическом уровне.

Магма протона, как и магма Недр Земли, достигая литосферы, ломает её на блоки с преимущественным коэффициентом  $7/2$  и сгущает небесные тела с преимущественным коэффициентом  $5/2$  [11].

**Это сгущение небесных тел и разрушение оболочек протонов микро-макро миров** происходит под влиянием пульсации Кундалини:

Пульсация Кундалини				
Расширение		Равновесие		Сжатие
$7/2 = 3,5$	$\Leftrightarrow$	$-1 \Leftrightarrow +1$	$\Leftrightarrow$	$2,5 \equiv 5/2$

(6.81)

Основой энергетики пульсации Кундалини в магме протона является пульсация электромагнитных полей:

$$\mu \Leftrightarrow q \text{ и } \mu^* \Leftrightarrow q^*, \quad (6.82)$$

и полей пятеричной связи:

$$\frac{\text{магнетизм}}{\text{гравитация}} = \frac{140}{28} = 5 \Leftrightarrow \frac{1}{5} = \frac{28}{140} = \frac{\text{гравитация}}{\text{магнетизм}}. \quad (6.83)$$

**Оболочка протона** (литосферы планет, поверхности Звёзд) формируется под влиянием пульсации четырёх полей (табл.6.8).

Таблица 6.8

**Пульсация оболочки протона в микро-макро мире**

Поля	Заряды	Импульсы	Связь	Произведения
$M_1$	$= \mu/q=7/8$	$\times \mu^*/q^*=7/8$	$\times 5$	$= 7^2/8^2 \cdot 5$
$M_2$	$= q/\mu=8/7$	$\times q^*/\mu^*=8/7$	$\times 1/5$	$= 8^2/7^2 \cdot 1/5$
$M_3$	$= q/\mu=8/7$	$\times q^*/\mu^*=8/7$	$\times 1/5$	$= 8^2/7^2 \cdot 1/5$
$M_4$	$= \mu/q=7/8$	$\times \mu^*/q^*=7/8$	$\times 5$	$= 7^2/8^2 \cdot 5$
Пульсация	$ M_1 \cdot M_3 \Leftrightarrow M_2 \cdot M_4  \rightarrow  5^2 \Leftrightarrow 1/5^2  \rightarrow  5^4 \Leftrightarrow 1 \Leftrightarrow 5^{-4} .$			

Скорость пульсации ( $V_M$ ) **оболочек протонов** микро-макро Мироздана связана с периодичностью  $T_0^2 = 16$  пульсации в Рупе и электрическим полем  $16 = \sqrt{qq^*}$ .

Такая связь:  $T_0^2 = 16 = \sqrt{qq^*}$ , даёт возможность детализировать Пятиричного Лха, то есть контура колебания поверхности протона (табл.6.8):

Пятиричный Лха $\equiv 5^4 \Leftrightarrow 1 \Leftrightarrow 5^{-4}$		
Скорости Пятиричного Лха $\equiv \frac{5^4}{T_0^2} \Leftrightarrow \frac{1}{16} \Leftrightarrow \frac{5^{-4}}{\sqrt{qq^*}} \equiv V_M$		
Структура компонент Пятиричного Лха	Кундалини сжатия	$\frac{5^4}{T_0^2} \Leftrightarrow \left(\frac{5}{2}\right)^4 \equiv 2,5^{x+y+z+\tau_0}$
	Метагалактические волны	$\frac{1}{16} = 0,0625 = 5^4 \cdot 10^{-4} = 2^{-4}$
	Электрический ток и магнитная индуктивность	$\frac{5^{-4}}{\sqrt{qq^*}} = \frac{1}{625 \cdot 16} = 10^{-4} \equiv$ $10^{-4} \text{A} \Leftrightarrow 10^4 \text{ 1/A.}$

(6.84)

Электромагнитная индукция и биоток подробно рассматривались мною применительно к Чакре Третий Глаз, когда на неё действовал электрический импульс  $q\phi$  с длиной волны в  $4200\text{\AA}$ .

Сохранение постоянства силы биотока в  $10^{-4}\text{A}$  и индукции  $10^4 \text{ 1/A}$  на этих длинах волн сдвигало энергетику синеголубой чакры на  $\lambda = 4800\text{\AA}$  в область фиолетовой волны  $\lambda_\phi = 4200\text{\AA}$ , то есть в фиолетовую чакру, работающую на выход энергии из организма.

Возникает **Дыхание Чакр** (табл.6.9).

Таблица 6.9

**Электромагнитное Дыхание Чакр, (А - ампер)**

Электрический фон	Сила биотока	Равновесие	Индуктивность
	$J = 10^{-4} \text{ А} \Leftrightarrow 1 \Leftrightarrow 1/J = 10^4 \text{ 1/А}$		
Цвет Чакр	Сине-голубая	Фиолетовая	Потенциалы
Форма энергии	электрическая	магнитная	Сумма:
Длины волн	$\lambda_1 = 4800\text{Å}$	$\lambda_2 = 4200\text{Å}$	$\lambda_1 + \lambda_2 = 9 \cdot 10^2\text{Å}$
Функциональный	Вдох	выдох	Разность: $\pm(\lambda_1 - \lambda_2) = 600\text{Å}$

Под воздействием дыхания Чакр в организме происходит фотосинтез в диапазоне всего солнечного белого света от красной области до фиолетовой, так как

$$\lambda_1 + \lambda_2 = 900\text{Å} \equiv (1400\text{Å} = \Delta K) - (500\text{Å} = \Delta \Phi). \quad (6.85)$$

Появляется **белая поверхностная электромагнитная волна**:

$$\pm(\lambda_1 - \lambda_2)^2 = \pm 36 \cdot 10^4 (\text{Å})^2 \equiv \pm (\Delta B = 3600\text{Å}) \cdot 100\text{Å}, \quad (6.86)$$

являющаяся носителем электромагнитной информации.

Возникают предпосылки для 108 реинкарнаций по Буддизму:

$$\begin{aligned} \pm(\lambda_1^2 - \lambda_2^2) &= \lg \rho_1 \rho_2 \rho_3 \rho_4 \rho_5 = \pm 9 \cdot 6 \cdot 10^{-4} \cdot 2(\text{Å})^2 = \\ &\pm 108 \cdot 10^{-4} (\text{Å})^2, \end{aligned} \quad (6.87)$$

и Космос делит нас на Живых и Мёртвых: живыми во все 108 реинкарнаций остаются **взаимодействующие труженики Души (6.87); а мёртвыми становится пассивно пульсирующая биомасса наших ленивых современников** (табл.6.10).



**Живые и мёртвые Носители Разума**

Форма Энергии	Живые	Мёртвые
Потенциалы	$\pm(\lambda_1^2 - \lambda_2^2) \cdot 2 = \pm 108$	$\pm(\lambda_1^2 - \lambda_2^2) \cdot (\pm \int_0^1 \varphi d\varphi) = \mp 27$
Условия Бытия	Труд Души	Душевная лень
Перевоплощения	Реинкарнации продолжаются	Реинкарнации заканчиваются
Цель Эволюции	Создание Бого - Человека: Человека Воли и Йоги	Новое восхождение по полям гравитации: <b>испытание Кармой.</b>

Душевная лень приводит к деградации Разума. Носитель Разума становится биомассой. Создатель вновь рождает в него Искру Пламени:

$$27 + (E_{\lambda} c = 1) = 28 = 1 + 2 + 3 + 4 + 5 + 6 + 7, \quad (6.88)$$

и предлагает пройти путь нового Испытания Кармой (гравитацией).

Этот путь мы проходили: **сначала Камень, потом Металл, Растения, Священные Животные, Ману-Мыслитель [1].**

Если ленивая душа отказывается, то она расщепляется на метagalактические волны:

$$\dots = \sin \pi/4 = 1/\sqrt{2} \Leftrightarrow \sqrt{2} = \sin \pi/4 = \dots \quad (6.89)$$

**Это Кольцо, названное "Не преступи!"**

\*

\*\*

Переход **смертельного Круга**, то есть Кольца "Не преступи!" происходит **добровольно**, но энергия при этом **не исчезает и не появляется вновь**, а меняет форму на **Вечную Тьму Самосущего Владыки метagalактических волн**.

Добровольный переход за Грани Смертельного Круга не нарушает дарованную Создателем **свободу выбора** или **Свободу Воли**.

**Ты Сам себе Судья: и Ныне, и Присно, и Во Веки Веков. Выбирай свою Судьбу Сам.**

\*

\*\*

А нам говорят: догма об Аде незыблема. Черти извечны. Дрова, смола, сковороды, котлы, печи, то есть атрибут сельской пекарни - высшее достижение в натуральном хозяйстве Бога.

**А кто говорит?** Священнослужители всех религиозных Конфессий. **А кто они?** Часть сегодняшнего Социума Земли. **Что же это за Социум?** Это общество потребления, основанное на равнодушии к чужим страданиям и душевной лени. **Общество нисходящих.** Так не пора ли священникам **учиться, а не раздавать анафему** лучшим Умам Человечества?

## **6.6 Анализ справочных данных веса нейтрона, протона и электрона.**

### **Арупа и Рупа в изложении Иисуса Христа**

Наши представления о **строении атома** на основе **нейтрона, протона и электрона** коренным образом отличаются от представлений великой Цивилизации, основанных на сгустках масс.

Тем не менее, мы продвигаемся вперёд, измеряя, рассчитывая массы нейтрона ( $m_n$ ), протона ( $m_p$ ) и электрона ( $m_e$ ) в килограммах [9]:

Вес масс нейтрона, протона, электрона × кг			
Форма масс	Нейтрон	Протон	Электрон
Вес × $10^{-23}$ кг	$m_n =$ $1,67252 \pm 8 \cdot 10^{-5}$	$m_p =$ $1,67482 \pm 8 \cdot 10^{-5}$	$m_e =$ $9,191 \pm 4 \cdot 10^{-5}$

(6.89)

\*\*

Великая Цивилизация *знала*, что нейтрон, протон и электрон формируются при сгущении **Эфира метagalактических волн и к ним применимы законы идеальных газов**.

Одним из законов идеальных газов является закон Авогадро: в одном грамм-моле любого газа содержится  $0,023 \cdot 10^{23}$  молекул.

$$\boxed{\text{Число Авогадро: } N = 0,023 \cdot 10^{23} \text{ молекул.}} \quad (6.90)$$

Применив Число Авогадро, мы сможем выразить массы протона, нейтрона и электрона (6.83) в килограммо-молях:

Вес масс нейтрона, протона, электрона, кг·моль			
Форма масс	Нейтрон	Протон	Электрон
Вес × кг-моль	$m_n \cdot N =$ $3846796 \cdot 10^{-8} \pm$ $184 \cdot 10^{-8}$	$m_p \cdot N =$ $3852086 \cdot 10^{-8} \pm$ $184 \cdot 10^{-8}$	$m_e \cdot N =$ $21139300 \cdot 10^{-8} \pm$ $920 \cdot 10^{-8}$

(6.91)

Обрабатывая полученный материал (6.91), наша наука считает, что получила **результат с точностью** до восьмого знака после запятой в десятичной дроби.

Исходя из представлений **о точности** в науке, основанной на методе **приближений**, мы **создаем теорию ошибок**, а затем **конфликтует в Науке и Религии**: ты считал не с той точностью и поэтому моя бомба сильнее, а мой Бог лучше.

\*\*

Великая Цивилизация, получив результат (6.91) рассуждала так:

1. Потенциалы  $\pm 184 \cdot 10^{-8}$  и  $\pm 920 \cdot 10^{-8}$  это не допустимая ошибка, связанная с точностью измерения, а потенциал на восьмом уровне солнечного ряда из восьми уровней.

Например, на восьмом уровне лунного ряда эти потенциалы составили величины (6.91):

$$\pm 6184 \cdot 10^{-7}; \pm 92 \cdot 10^{-7}, \quad (6.92)$$

а на шестом уровне, то есть на уровне Кундалини, эфирогазовые молекулы нейтрона и протона имели бы разные потенциалы.

2. Мы, получив данные по солнечному ряду (6.91), акцентируем внимание на том, что они выражены в кг-моль и начинаем путаться в размерностях.

Великая Цивилизация переходит к относительным единицам (табл.6.11).

Таблица 6.11

**Изменение веса масс нейтрона, протона и электрона  
на восьмом уровне солнечного ряда (6.91)**

Размерности	Поля		
	нейтрона	протона	электрона
кг-моль	$\Delta m_p \cdot N = \pm 184 \cdot 10^{-8}$	$\Delta m_n \cdot N = \pm 184 \cdot 10^{-8}$	$\Delta m_e \cdot N = \pm 920 \cdot 10^{-8}$
относительные единицы	$\pm \frac{184 \cdot 10^{-8}}{184 \cdot 10^{-8}} = \pm 1$	$\pm \frac{184 \cdot 10^{-8}}{184 \cdot 10^{-8}} = \pm 1$	$\pm \frac{920 \cdot 10^{-8}}{184 \cdot 10^{-8}} = \pm 5.$

Полученный результат (табл.6.11) говорит о том, что волны света  $c/\omega_0 = 2$ , формируют между своими равновесными потенциалами  $\pm 1$  пятеричную связь (рис.6.9).

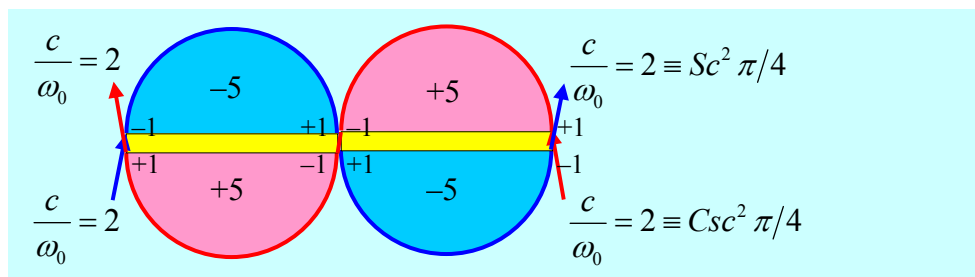


Рис.6.9 Движение импульса Света в Метагалактике: формирование ядерного вещества

По существу табл.6.11 и рис.6.9 описывают "Пентаграмму в Яйце", то есть эллипсоидальное поле Свечения в Недрах Ядерного вещества (рис.6.10).

\*\*

Энергетическое поле Свечения от генератора Тонких Энергий базируется на чередовании цис-транс изомерических процессов (рис.6.10).

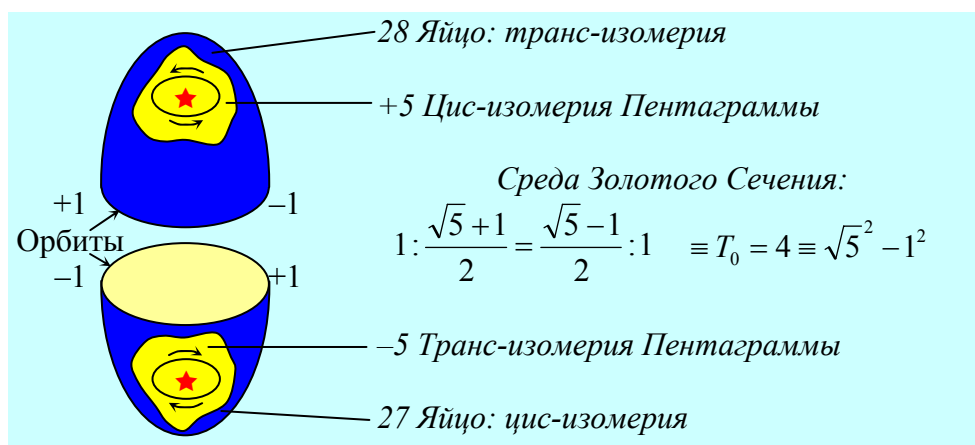


Рис.6.10 Свечение от генератора Тонких Энергий

Периодичностью смен цис-транс изомерии обладают **сами Пентаграммы**, полуэллипсы ними с потенциалами  $\pm 27$  и  $\pm 28$ , а также равновесные квантованные орбиты, образованные волной-частицей света и **дающие Начало** всем квантованным орбитам микро-макро Миров (рис.6.10):

<b>Волна света как Начало квантованных орбит микро-макро Миров Вселенной</b>	(6.93)
$L_o \equiv \pm 2\pi R_o \equiv \pm \pi D_o \equiv \pm \pi \cdot 1/\pi \equiv \pm 1.$	

Этот вывод (6.93) значим для нашей цивилизации. Вспомните XVIII-XIX века, когда искали ответ на вопрос: почему электрон не падает на ядро атома?

Понять не смогли. Н.Бор постулировал: потому, что электрон вращается по квантованной орбите, где на своё вращение собственную энергию не расходует. Постулат - не доказательство. Но (6.93) - доказательство.

\*\*

Пульсирующие **Пентаграммы** во внутреннем поле Яйца **вызывают пульсацию Оболочки Яйца**, то есть Зародыша Атома, его Ядра (рис.6.10).

Оболочка Капли-ядра возникает из импульсов света и электромагнитной среды в Арупе при достижении в Арупе квадрата первоначальной Продолжительности (рис.6.10).

$$\pm 27 \equiv \pm (m_c c + \epsilon_o \mu_o c^2 + E_\lambda c = 3) \cdot (\tau^2 = 3). \quad (6.94)$$

Затем, "У Порога Четвёртого (Рупа,  $T_o = 4$ ) Сынам указано создать свои Подобия. Одна треть отказывается ( $\epsilon_o \mu_o c^2 = 1$ ). Две ( $m_c c + E_\lambda c = 2$ ) подчиняются ([1]. Космогенезис. Станца V, п.5).

Возникает вторая оболочка полуэллипса ядра с потенциалом, равным  $\pm 28$  (рис.6.10):

$$\pm 28 \equiv \pm [(m_c c + E_{\lambda} c = 2) - (-m_c c - E_{\lambda} c = -2)] \cdot (T_o + \tau = 7). \quad (6.95)$$

\*  
\*\*

Полусферы - полуэллипсы оболочек ядра пульсируют в режиме цис-транс изомерии относительно друг к другу (рис.6.10).

Через каждый поворот на угол  $\varphi_o \equiv \omega_o \equiv \pi/2$  возникает потенциал  $\pm 1$  в конце поворота и потенциал  $\pm 1$  в начале поворота точечного участка волны света по квантованной орбите. Возникает **Продолжительность** вращения точечного участка волны света по квантованной орбите, равная периоду  $T_o = 4$  Продолжительности трансформации Энергетической Формы света в Рупе (рис.6.10):

$$T_o \equiv +1 - (-1) + 1 - (-1 = 4). \quad (6.96)$$

\*  
\*\*

Вращаясь по квантованным орбитам волны света, точечный участок волны света, испытывает сопротивление окружающей среды, и период его вращения изменяется (рис.6.10):

Пульсация точечного участка волны света	
Резонанс $T_o = 4 \equiv (\sqrt{5} + 1) \cdot (\sqrt{5} - 1)$	Антирезонанс $1 : (\sqrt{5} + 1) = (\sqrt{5} - 1) : 1$
<p>В поле Дзиан-дробь</p> $T_o \cdot \int_0^1 \varphi d\varphi \cdot \int_1^0 \varphi d\varphi =$ $4 \cdot 1/2 \cdot (-1/2) = -1$	<p>В поле Дзиан-дробь</p> $1 : \int_0^1 \varphi d\varphi \cdot (\sqrt{5} + 1) = (\sqrt{5} - 1) \cdot \int_1^0 \varphi d\varphi \quad (6.97)$ $= 1 : \frac{\sqrt{5} + 1}{2} = \frac{\sqrt{5} - 1}{2} : 1$ <p>Правило Золотого сечения.</p>

При **антирезонансе оболочек** окружающая среда пульсирует по правилу Золотого сечения; **при резонансе оболочек** ядра (6.97) энергетический поток из Недр ядра направлен в одну сторону с потенциалом минус единица. Эта однонаправленность обеспечивает условие Расширения Вселенной с потенциалом-эквивалентом числу оборотов  $E_\lambda$  на угол  $\varphi_0$  по окружности - кругу (табл.6.12).

Таблица 6.12

***Расширение Вселенной точкой волны света***

Изомерия	Параметры				Суммарный потенциал
	Число оборотов точечного участка волны по окружности				
Цис	$\varphi_0$	$\varphi_0$	$\varphi_0$	$\varphi_0$	$4\varphi_0 E_\lambda =$
транс	$-\varphi_0$	$-\varphi_0$	$-\varphi_0$	$-\varphi_0$	$-4\varphi_0 E_\lambda =$
Разность во взаимодействии	$8 \cdot (\varphi_0 = \pi/2) \cdot (E_\lambda = 1/\pi) \cdot (\lg \rho_1 \rho_2 \rho_3 \rho_4 \rho_5 = 2) \equiv 8 \equiv T_0 c / \omega_0.$				

При совместной пульсации антирезонансных волны-частицы света возникает потенциал, равный:

$$8 \cdot \varphi_0 (m_c + E_\lambda) = 8 \cdot \pi/2 \cdot 2/\pi = 8. \quad (6.98)$$

Резонансная пульсация волны-частицы света изменяет потенциал:

$$8 \cdot \varphi_0 \cdot m_c \cdot E_\lambda = 8 \cdot \pi/2 \cdot 1/\pi^2 = 4/\pi = \sqrt{\Phi}. \quad (6.99)$$

Возникает известное в архитектуре **Золотое Число  $\Phi$** . Пульсация света в приведённом режиме:



$$8\varphi_0 \frac{m_c + E_\lambda}{m_c \cdot E_\lambda} \Leftrightarrow \frac{1}{8\varphi_0} \cdot \frac{m_c \cdot E_\lambda}{m_c + E_\lambda};$$

$$8^2 \cdot \pi^2 / 4 \cdot (2\pi)^2 \equiv 8\pi^4 \Leftrightarrow 1 \equiv (-1)^2 \quad (6.100)$$

или в условиях перехода к (-1) получим:

$$2\sqrt{2} \cdot \pi^2 \equiv q \cdot \pi^2 \Leftrightarrow -1 \quad \text{и} \quad a \Leftrightarrow -1/\pi \equiv -m_c E_\lambda, \quad (6.101)$$

где а - сторона основания великой Пирамиды является потенциал - эквивалентом вектора расширяющейся - сжимающейся оболочки жидкой плазмы ядра света  $(-m_c E_\lambda)$ .

\*\*

Сакраментальные Числа: Сороковица, Свабхават О связаны с описанием расширяющегося поля Вселенной и её пятеричной Связи:

$$8 \cdot 5 = 40. \quad (6.102)$$

Антирезонанс в этом поле приводит к числу 13:

$$8 + 5 = 13, \quad (6.103)$$

оболганному как **Чертова дюжина**, но лежащему в основе тринадцати - лунного Календаря Вселенной, где 1 год = 364 дня = 13·28 и День вне Времени.

\*\*

Иисус Христос приходил, пытаясь поправить Моисея. Иисуса распяли. Но после Вознесения на Небо Иисус продолжал работать, диктуя Иоанну Откровения, а в нём Круг Универсума с потенциалами, кратными 1, 2, 3 и 4.

Пришло Время, любезный Читатель, и я раскрываю Вам Сакральный Смысл Круга Универсума как Единство Связи гармонических колебаний Арупы и Рупы (табл.6.13).

Таблица 6.13

**Единство волновых процессов Арупы и Рупы на примере Чисел Круга Универсума, кратных 1, 2, 3 и 4**

Поля	Арупа				Равновесие	Рупа			
Продолжительность	4	$\leftarrow 3$	$\leftarrow 2$	$\leftarrow 1$	$\leftarrow 0 \rightarrow$	$1 \rightarrow$	$2 \rightarrow$	$3 \rightarrow$	4
Волны	$2^{-2}$	$2^{-3/2}$	$2^{-1}$	$2^{-1/2}$	$\Leftrightarrow 1 \equiv \frac{1}{\sqrt{2}} \sqrt{2} \Leftrightarrow$	$2^{1/2}$	$2^{+1}$	$2^{7/2}$	$2^2$

В этом **Универсальном Энергетическом поле**, потенциалы которого описывают **микро-макро Миры Вселенной**, Иисус говорит о том, что сумма Продолжительностей вращения точечного участка волны света по окружности (границе Вселенной) является потенциал - эквивалентом эффективности взаимодействия солнечного света.

$$1+2+3+(4 \equiv T_0) = (10 \equiv \rho_5). \quad (6.104)$$

Иисус подсказывал нам, что гармонические колебания волн в Арупе и Рупе имеют обратные потенциалы (табл.6.13):

$$1 = \frac{1}{\sqrt{2}} \sqrt{2} \equiv (2^{1/2+1+3/2+2=5}) \cdot (2^{-1/2-1-3/2-2=-5}), \quad (5.45)$$

где эти потенциалы связаны между собой Пульсацией Импульсов - Энергий (рис.6.9):

$$\left| \begin{array}{cc} \left( 2 \equiv \frac{c}{\omega_0} \right) & \Leftrightarrow & \left( 4 \equiv \frac{c^2}{\omega_0^2} \right) \\ \text{импульс} & & \text{энергия} \\ \leftarrow \text{Рупа расширения} & & \rightarrow \end{array} \right| \times \left| \begin{array}{cc} \frac{1}{2} \equiv \frac{\omega_0}{c} & \Leftrightarrow & \frac{1}{4} \equiv \frac{\omega_0^2}{c^2} \\ \text{импульс} & & \text{энергия} \\ \leftarrow \text{Арупа сжатия} & & \rightarrow \end{array} \right| \quad (6.106)$$

Иисус учил нас, род Человеческий, понимать не только **гуманистические Начала Живого**, основанные на **Любви, Добре, Красоте и Сострадании**, но и как **Великий Учёный - Бог**, сошедший к нам из Социума великой Цивилизации, говорил о **Источниках Космической Энергии**, её освоении и **эффективности применения**.

Это тематика содержания следующей главы.

## Глава 7

### Наш путь в Теогенезис

#### 7.1 Сотворение Мира: от Самосущих до Создателя

В Начале были, *есть и будут Самосущие Владыки*:  
**Метагалактические Волны Вечной Тьмы.**

Это Хаотические волны антирезонансного ноль -  
потенциала.

$$\Delta E = E_K - E_H = E_K^2 - E_H^2 =, \quad (7.1)$$

где  $E_K = E_H$ .

Пока этих волн не касается **Свет**, они являют собой  
**Неживую Субстанцию**, в которую "**Не преступи**", ибо  
она лежит за **Гранью Смертельного Круга**, связанного с  
полной аннигиляцией волн и масс до нейтрино.

Самосущие волны типа "**Не преступи**" есть **Всегда**,  
**Везде и во Всём**, как **Единая Ткань - Реальность Все-**  
**ленной.**

\*\*

Антирезонансные волны "**Не преступи**" являются  
идеальным **Носителем Любых Форм Энергии**, в том  
числе волны-частицы света и электромагнитной среды  
между ними (7.1):

$$\Delta E + m_c c + \varepsilon_o \mu_o c^2 + E_\lambda c = 0 + 1 + 1 + 1 = 0 + (\tau = 3). \quad (7.2)$$

Когда Свет попадает в волны "**Не преступи**", то **воз-**  
**никает Арупа** ( $\tau = 3$ ) **Вселенной** (7.2).

\*\*

В Арупе Вселенной Свет пульсирует в антирезонансно-резонансном режиме, формируя **Рупу** ( $T_0 = 4$ ) **Вселенной**:

"Не преступи"	Арупа Вселенной	Рупа Вселенной	(7.3)
$\Delta E = 0$	$A = \Delta E + m_c c + \epsilon_0 \mu_0 c^2 + E_\lambda c = 3$	$P = A + m_c c + \epsilon_0 \mu_0 c^2 + E_\lambda c = 4.$	

Колебания Арупы - Рупы в волнах поля "Не преступи" влечёт за собой сначала появления семеричной периодичности, а затем семеричной периодичности в пятеричной связи (табл.7.1).

Таблица 7.1

### Колебания Арупы - Рупы в волнах "Не преступи"

Импульсы	До излучения	В момент излучения
Контур колебаний	$\frac{A}{P} \equiv \frac{\tau}{T_0} \Leftrightarrow \frac{T_0}{\tau} \equiv \frac{P}{A}$ $0 \Leftrightarrow \pm(T_0^2 - \tau^2) \equiv \pm 7$	$\frac{\tau^2}{T_0^2} \Leftrightarrow \frac{T_0^2}{\tau^2}$ $0 \Leftrightarrow \pm(T_0^4 - \tau^4) \equiv \pm 7 \cdot 5^2.$

При достижении потенциалами колебаний Арупа - Рупа в поле "Не преступи" **квадратов** первоначальных значений, появляется поверхностная волна Пятеричной Связи (табл.7.1), и **Всё возвращается на Круги Свои**.

\*\*

**Самосушие** Метагалактические Волны Вечной Тьмы являются **Носителями Всего**: от Чёрной Астрономической **Дыры (сгустка)** в макром мире, до нейтрино в микромире. **Всё, Всегда и Везде** связано с волнами "Не преступи!"

\*

\*\*

Вихри волн-частиц Света формируют сгустки элементарных гравитационного, магнитного и электрического зарядов, а также **волны Мысли, Памяти, Воображения. Свет является их непосредственным Создателем и Носителем.**

Мы используем Свет и передаём Информацию на электромагнитных скоростях света. **Но самосущие волны**, существующие Везде, **Носителями Самого Света**, и поэтому информация, заложенная в фотон-фонах может передаваться не только электромагнитной волной света, но и его Носителем, то есть Самосущей волной.

Информация, носителем которой является самосущая метagalacticкая волна, будет распространяться по Вселенной **мгновенно, то есть в  $10^{40}$  раз быстрее Света.**

\*

\*\*

Переход от самосущих метagalacticких волн Вечной Тьмы к волнам Тонкой Энергии Мысли, Памяти и Воображения требует вмешательства **Носителя Разума.**

Для того, чтобы Созидать Мир необходимо иметь как минимум Три компонента:

1. **Энергию** - субстанцию ИЗ ЧЕГО созидать.

Такой субстанцией является самосущие волны Вечной Тьмы поля "Не преступи".

2. **Инструмент, ЧЕМ СОЗИДАТЬ.**

Таким инструментом является Свет.

3. **Созидатель, знающий ЧТО СОЗИДАТЬ.**

Таким Создателем является Носитель Разума, или Бог, знающий **"что Высшей формой Созидания является Жизнь".**

\*  
\*\*

Жизнь зарождается во Вселенной Тонких Энергий в Арупе (вне Формы) наших Мыслей, Памяти и Воображения.

Чувствующие и вне Формы [1], мы предшествуем Строительству Сгустков Материи, то есть Жизни смертных белковых тел.

Сгусток белковых тел смертной Жизни сосуществует с Тонкими Энергиями в Сгустке, формируя тело и душу.

\*  
\*\*

Эволюция Носителей Разума затрагивает все Три формы его Жизни:

1. Жизнь в Форме Арупы Тонких Энергий, чувствующего и вне Формы. Это Жизнь до и после Жизни протекает в условиях Периодичности изменения Арупы от  $\tau$  до  $\tau^2$ , возмущая окружающую среду в пределах:

Жизнь до и после Жизни				
Пределы		Свет: оболочка	Переход к Жизни	
$\tau = 3$	$\tau^2 = 9$	$\int_3^9 \varphi d\varphi = 36$	$\tau + \tau^2 = 12 \equiv T_0 \cdot \tau$	$\tau \cdot \tau^2 = 18 \equiv \text{вода.}$

(7.4)

2. Жизнь в Форме Рупы (сгустка) Энергии Материи смертных молекулярных белковых тел.

Эта наша биологическая Жизнь протекает в пределах продолжительности Рупы, то есть от  $T_0$  до  $T_0^2$ :

Биологическая смертная Жизнь				
Пределы		Свет: внутреннее поле	Переход к тах	
$T_o = 4$	$T_o^2 = 16$	$\int_4^{16} \varphi d\varphi = 120$	$T_o + T_o^2 = 20$	$T_o \cdot T_o^2 = 64$ Тянь.

(7.5)

### 3. Жизнь между Рупой и Арупой, то есть сам процесс реинкарнации.

Субстанцию поля реинкарнаций Авторы Книги Мёртвых называют **эфиром Бордо**.

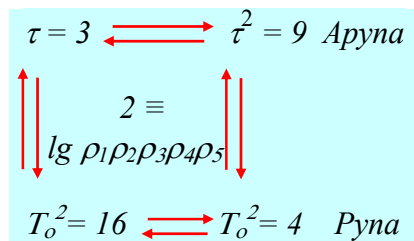


Рис.7.1 Цикл реинкарнаций в эфире Бордо

Цикл - Колесо реинкарнаций можно представить по продолжительностям и определить сумму разностей квадратов при переходах между Рупой и Арупой в Эфире Бордо (рис.7.1, табл.7.2).

Таблица 7.2

### Разности квадратов потенциалов в Эфире Бордо (рис.7.1)

Движения	Полный цикл	В Арупе	В Рупе
Разности квадратов потенциалов переходов	$2 \int_3^9 \varphi d\varphi + 2 \int_3^9 \varphi d\varphi +$	$2 \int_3^9 \varphi d\varphi = 72$	$2 \int_4^{16} \varphi d\varphi = 240$
	$2 \int_4^{16} \varphi d\varphi + 2 \int_3^9 \varphi d\varphi =$ $+72-65+240-247 =$ $312 - 312 = 0$	Приведённая пульсация: $\frac{240^2 - 72^2}{240 \cdot 72} = 3 \equiv \tau$	
Примечание	Эквивалент Самосущих Владык	Эквивалент Продолжительности в Ауре.	



В эфире Бордо нисходящие к биологической Жизни будут иметь потенциал  $72 + 240 = 312$ , а восходящие к Жизни вне Формы потенциал  $-65 - 247 = -312$  (рис.7.1, табл.7.2).

У каждого восходящего будут равные возможности с нисходящим, а вместе с тем их сумма составит разность потенциалов, равную нулю и равную разности потенциалов Самосуших Волн (7.1), лежащих за Гранью Смертельного Круга.

"Не преступи!", "Оставайся с нами!" [1] означает призыв сделать выбор в пользу Арупы, пронизанной Мыслью Создателя и Жизнью вне Формы (табл.7.2).

Выбор индивидуален, ибо Создатель не вмешивается в Свободу Воли Личности, основой которой является реликтовые Самосущие Волны.

\*\*

Последовав призыву Авторов Книг великой Цивилизации, мы минуем Смертельный Круг.

Переход между Жизнями в Формах Арупы (7.4) и Рупы (7.5) будет связан с потенциалами:

$\tau + \tau^2 = 3+9$	$=$	$(12 \equiv T_o\tau)$	$=$	$16 - 4 = T_o^2 - T_o$	(7.6)
Арупа		Эфир Бордо		Рупа.	

В каждой из этих Трёх Форм Жизни будет протекать Эволюция, приближающая к Божественному совершенству и описанная высокой Наукой великой Цивилизации:

1. Жизнь до и после Жизни описана в Космогенезисе [1]. Станца VII, п.1: "Познай начало Жизни, чувствующей и вне формы" (Смотрите том I моей работы).

2. Биологическая Жизнь описана в Теогенезисе [2], Станца VII, п.6: "Царь явился Сам и сейчас был известен им" (Смотрите том I моей работы).

**3. Жизнь в эфире Бордо**, описана в Книге Мёртвых и в первом томе моей работы. Но **эта форма Жизни** во многом **определяющая** и требует дополнительного пояснения.

\*  
\*\*

Мысли Социума влияют на **Ноосферу Земли**. Гагарин видел Землю **голубой**. Сейчас она **красно-коричневая**.

Мысли Социума и ноосфера Земли взаимосвязаны **маятниковым эффектом**: качнули в МГУ запаянную колбу с раствором, и раствор из красного стал голубым.

Маятниковый эффект между ноосферой Земли и мыслями Социума Земли подобен раскачивающейся колбе с раствором.

Грязные мысли сегодняшнего социума изменили цвет ноосферы Земли от голубой до красно-коричневой, но ноосфера Земли отвечает тем, что **на Земле увеличилась рождаемость индиго-детей, то есть детей с голубой Аурой**.

**Индиго-дети обладают более тонким мировосприятием**, чем сегодняшние люди и являются новой качественной ступенью на **пути Эволюции Носителя Разума**. Будущее Земли принадлежит им и их появление соответствует **законам Эволюции Рас**, описанным великой Цивилизацией: **если предшествующая Раса о чём-то мечтает, то последующая Раса реализует Мечты предшественников**.

\*  
\*\*

Появление **индиго-детей** подобно появлению **Небес- Цинь** над **Сгустком - Тянь** (7.5):

$$\frac{T_0 \cdot T_0^2}{T_0^2 + T_0} = \frac{4 \cdot 16}{16 + 4} = \frac{64}{20} = 3,2 \text{ (Зародыш Цинь)}. \quad (7.7)$$

В Жизни до и после Жизни Зародыш Цинь (7.7) образует вихрь с резонансным потенциалом, который в воде (7.4) становится равным потенциал - эквиваленту 4,8 относительных единиц:

Зародыш Души - Цинь (7.7) в воде (7.4)			(7.8)
Потенциал Зародыша	Длина волны синеголубого раздела	Импульс электрического заряда	
$\frac{3,2 \cdot M_{H_2O}}{T_0 \tau} = \frac{3,2 \cdot 18}{12} = 4,8$	$\lambda = 4800 \text{ \AA}$	$qc = 16 \cdot 10^{-20} 3 \cdot 10^{18} = 48 \cdot 10^{-2} \text{ А\AA.}$	

**Биологическая Жизнь**, связанная с равновесным переходом из Арупы ( $\tau + \tau^2 = 3 + 9 = 12$ ) в Арупу-Рупу ( $12 = T_0 \tau = 4 \cdot 3$ ) возникает в жидких средах в вихре **Зародышей - сперматозоидов вокруг женской яйцеклетки** (7.8).

\*\*

Возникновение биологической Жизни в Жидких средах происходит с потенциал - эквивалентами синеголубому полю **чакры Третий Глаз** (7.8):

Зачатие: Зародыш Цинь в электрическом поле ДНК			(7.9)
Диаметр ДНК	Сила биотока Зародыша	Биоток в ДНК	
ДНК = $4 \text{ \AA}$	$J = \frac{qc}{\lambda} = \frac{48 \cdot 10^{-2} \text{ А\AA}}{4800 \text{ \AA}} = 10^{-4} \text{ А}$	$J \cdot \text{ДНК} = 4 \cdot 10^{-4} \text{ А\AA.}$	

**Электрический биоток** в поле ДНК - это биоток Зачатия (или приёма Информации).

Развитие Зародыша в Плод новой Жизни будет проходить в **Жидких Средах женского ядерного вещества**.

**Переход Зародыша в женское ядерное вещество материнской яйцеклетки реализуется в переходе от электрической поверхности к магнитным полям в Недрах Капли Жизни.**

Это электромагнитное сжатие ( $qc \rightarrow \mu c$ ) потребует изменения Пространства: ДНК трансформируется в РНК, волна в  $4800\text{\AA}$  изменится до  $4200\text{\AA}$ , а сила биотока останется равной  $10^{-4}\text{ A}$  (7.9).

Сохранение постоянства силы биотока позволит Зародышу **без потери собственной энергии** перейти из электрического поля Зачатия к магнитному полю развития Плода в ядерном материнском веществе:

<b>Развитие плода: Зародыш Цинь в магнитном поле ядерного материнского вещества</b>		
Диаметр РНК	Магнитный биоток Плода	Биоток в РНК
РНК = $2\text{\AA}$	$J = \frac{\mu c}{\lambda} = \frac{16 \cdot 10^{-20} \cdot 3 \cdot 10^{18}}{4200} = 10^{-4}\text{ A}$	$J \cdot \text{РНК} = 2 \cdot 10^{-4}\text{ A}\text{\AA}.$

(7.10)

Соотношение биотока Зачатия (7.9) и развития плода (7.10) соответствует фундаментальному отношению потенциальной ( $E_{\Pi}$ ) и кинетической ( $E_K$ ) форм энергии:

$$\frac{J \cdot \text{РНК}}{J \cdot \text{ДНК}} = \frac{4 \cdot 10^{-4} \text{ A}\text{\AA}}{2 \cdot 10^{-4} \text{ A}\text{\AA}} = \frac{2}{1} \equiv \frac{E_{\Pi}}{E_K} \equiv \frac{c}{\omega_0}. \quad (7.11)$$

**Природа этих Соотношений (7.11) связана с пульсацией энергетических взаимодействий по амплитуде, то есть с  $2 \pm 1$ .**

## 7.2 Энергетика канала экстрасенсорной проводимости

Описывая пульсирующий Космос, великая Цивилизация называет потенциал источника пульсации **Лхасы**, а возмущённую среду **Чхаями** [1, 2].

Основы Науки великой Цивилизации легко понять, если следовать их классификации Лхас и Чхаями, которые соотносятся между собой как потенциально-кинетическая энергия (7.11).

Определим потенциалы Лхас и Чхаями сначала на уровне ноль - потенциала ( $0 \pm 1$ ) экстрасенсорной проводимости, а далее по мере последовательного возрастания потенциалов излучателя (табл.7.3).

Таблица 7.3

### Формирование потенциалов в канале сверхпроводимости

Лхаса: излучатель	Возмущенная среда: Чхаями - Дзиан	Пульсация дробь-Дзиан	Равновесие с расширяющейся Вселенной
$0 \pm 1$	$\pm \int_0^1 \varphi d\varphi = \pm \frac{1}{2}$	$\pm \int_0^{1/2} \varphi d\varphi = \pm \frac{1}{8}$	$\left( T_0 \frac{c}{\omega_0} = 8 \right) \cdot \frac{1}{8} = 1.$

В канале сверхпроводимости (табл.7.8), который по существу является сингулярным полем, то есть полем с ноль-потенциалом, зарождаются, прежде всего, **экстремальные области**  $\pm(1 \Leftrightarrow 0 \Leftrightarrow -1)$  **любой волны**.

Это кольца с Единицей, прохождение через которые любого импульса  $f(x,y)$  увеличивает импульс в  $\pi$  раз до  $\pi \cdot f(x,y)$ .

Проходя через кольцо с Единицей, импульс света  $m_c c = E_\lambda c$  становится энергией  $m_c c^2 = E_\lambda c^2 = \pi$ , где  $\pi \equiv c$ .

Великая Цивилизация описывает эти волны так:  
**"8. Лишь Единая Форма Существования, беспредельная, бесконечная, беспричинная, простиралась, покоясь во сне, лишенном Сновидений; Жизнь бессознательная пульсировала в Пространстве Вселенском во Всесущности той, что ощущается открытым Глазом Дагма"** ([1]. Космогенезис. Станца I, п.8).

\*  
\*\*

Пульсация полей-волн с потенциалами **колец с Единицей** ( $0 \pm 1$ ) возмущает окружающую среду. В среде возникает Чхаями-Дзиан с потенциалом  $\pm 1/2$  (табл.7.3), то есть потенциалы пульсации Космоса между Хаосом и Гармонией.

**Дзиан возникают во Всесущности Космоса**, трансформируя поля Космоса в соответствии с Космогенезисом, Антропогенезисом, Теогенезисом, Книгой Перемен и Книгой Мёртвых, **оставленных нам великой Цивилизацией.**

\*  
\*\*

Пульсация колец с Единицей с потенциалом Дзиан сопровождается прохождением через эти кольца импульсов Света (табл.7.3):

<b>Возникновение угловой и линейной скоростей света после прохождения импульсами света кольца с Единицей</b>		(7.12)
Угловая скорость	Линейная скорость	
$\pm E_{\lambda} c \cdot \pi \int_0^{1/2} \varphi d\varphi = \pm \frac{\pi}{2} = \omega_0$	$\omega_0 - (-\omega_0) = 2 \omega_0 = \pi \equiv c.$	


**Во Всесущности Космоса начинается трансформация Энергетических Форм Светом.**

Всесущность Космоса связана, в частности, с Его пульсацией **между сжатием и расширением**.

Великая Цивилизация описывает процессы **расширения-сжатия Космоса** и его компонент в микро-макро Мирах пульсирующих сред как **открытый и закрытый Глаз Дагма** (табл.7.3, табл.7.4).

Таблица 7.4

**Природа диаграммы - символа Ян-Цинь:  
закрытый - открытый Глаз Дагма**

Состояние Вселенной	Сжатие	Расширение	Диаграмма Ян-Цинь Глаза Дагма
Потенциалы Вселенной	$T_0 \cdot \omega_0 / c = 2$	$T_0 \cdot c / \omega_0 = 8$	<div>Открытый      Закрытый</div>  <div>Тьма      Свет</div>
Разности потенциалов среды	$\pm \int_0^1 \varphi \, d\varphi = \pm \frac{1}{2}$	$\pm \int_0^{1/2} \varphi \, d\varphi = \pm \frac{1}{8}$	
Равновесие среды и Вселенной	$2 \cdot (\pm 1/2) = \pm 1$	$8 \cdot (\pm 1/8) = \pm 1$	
	Резонансное поле		
Глаз Дагма	Закрытый	Открытый	Антирезонанс: $\frac{8 - 1/8}{2 - 1/2} = 63 \cdot \left( \frac{4}{3} \equiv \frac{T_0}{\tau} \right).$

В резонансных полях возникают равновесные потенциалы  $\pm 1$  как при сжатии, так и при расширении (табл.7.4).

В условиях антирезонанса появляется потенциал, равный (табл.7.4):

$$63 \cdot 4/3 \equiv 63 \cdot T_0/\tau, \quad (7.13)$$

где происходит переход от 3 до 4 или из Арупы ( $\tau = 3$ ) в Рупу ( $T_0 = 4$ ).

Характер Самосуших волн при переходе в Рупу меняется: из **Сна, лишенного Сновидений**, они становятся волнами - **Носителями Геномов Наследственности**.

**"6. Царь явился сам и сейчас был известен им. "Я - первый" - сказал Он, "и я - последний" и оба мы - одно лицо. Свет пришел из тьмы. Всё пришло из ничего. Из смерти пришла вечная Жизнь. Дело сделано"** ([2]. Теогенезис. Станца VII).

\*  
\*\*

Полученное бессмертие, реализованное через наследственность, Наука великой Цивилизации описывает пропорциями великой Пирамиды (табл.2.14, рис.2.4).

Причём описывается процесс изменения генома до потенциала, равного 63, то есть до генома с максимальным потенциалом в периодической системе геномов:

Описание динамики геномов (табл.2.14, рис.2.4)	
$\int\limits_{\text{Я первый}}^{\text{Я последний}} \varphi d\varphi \equiv \int\limits_{r=\sqrt{2}}^{L=8\sqrt{2}} \varphi d\varphi \equiv \frac{1}{2} \left[ (8\sqrt{2})^2 - (\sqrt{2})^2 \right] \equiv 63$	
$\frac{8 - 1/8}{2 - 1/2} = 63 \cdot \frac{4}{3} \equiv 63 \cdot \frac{T_0}{\tau}$	(7.14)
Примечание: L - рёбра, r - радиус окружности, вписанной в основание великой Пирамиды.	

Канал с ноль-потенциалом Хаоса возникает как максимум - минимум любой волны (рис.7.2).



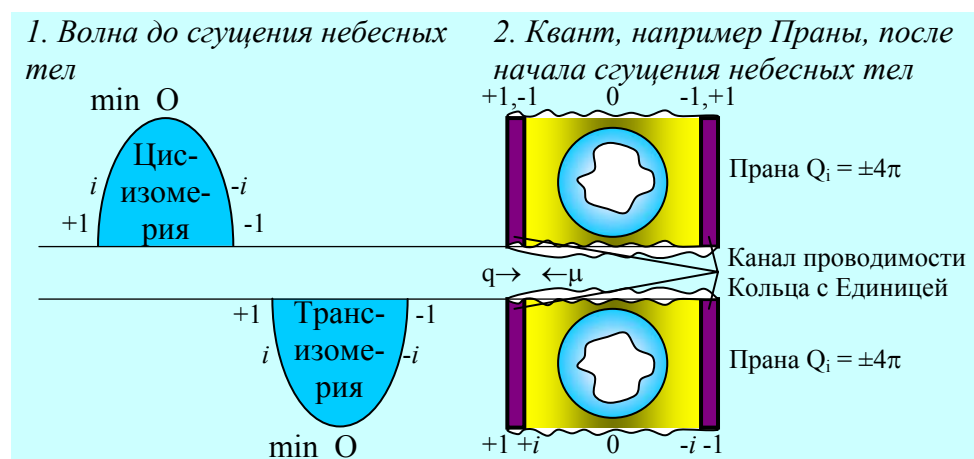


Рис.7.2 Квантово-волновая механика сгущения небесных тел в кольце с Единицей

\*\*\*

До начала сгущения небесных тел Самосушие метагалактические волны тьмы (табл.7.4) будут иметь максимум и минимум, которые дают начало цис-транс изомерии (рис.7.2.1).

В любой экстремальной области волны есть поле с радиусом, равным Единице (рис.7.2).

Это кольцо с Единицей, отличающееся тем, что проходя через него любой импульс  $f(x,y)$  увеличивается в  $\pi$  раз, а импульс света становится энергией света:

Механизм прохождения кольца с Единицей		
Импульс	Кольцо с Единицей	Энергия
$f(x,y) \equiv m_c c \equiv \dots$	$\pi \equiv c$	$\pi \cdot f(x,y) \equiv m_c c^2$

(7.15)

Переход от импульса к энергии означает начало сгущения небесных тел, то есть волн.

\*\*

В любом кольце с Единицей есть поля с потенциалом, равным мнимому числу  $i = \sqrt{-1}$  (рис.7.2).

Потенциал  $i$  является эквивалентом скорости трансформации одних форм полей Тонких Энергий в другие.

Взаимотрансформация Форм Тонких Энергий происходит за счёт их сгущения-расщепления.

Минимальным сгустком Тонкой Энергии будет квант Праны, которыми Йоги, медитируя, дышат на восходе Солнца.

Энергетически квант Праны представляет собой оболочку с радиусом  $\pm i$  (рис.7.2.2):

<b>Квант Праны: оболочка сферы</b>
$Q_i = 4\pi \cdot (r \equiv i = \sqrt{-1})^2 = -4\pi.$

(7.16)

Сгущение - мультиплетность кванта Праны, формирующих Материю, описывает великая Пирамида, основание которой вписано в круг-окружность с радиусом  $R = 2$ , где (7.16):

$$-Q_i = 4\pi \equiv (S_{\Pi} = \pi R^2 = 4) \equiv (L_{\Pi} = 2\pi R = 4\pi). \quad (7.17)$$

Сгущение - расщепление Тонкой Энергии в Энергию Материи происходит за счёт света и протекает в резонансно-антирезонансном режимах:

Синтез-мультиплетность Праны в поле света			
Сгущение в Материю		Расщепление в Тонкую Энергию	
Антирезонанс	Резонанс	Резонанс	Антирезонанс
$\frac{Q_i}{m_c - E_{\lambda}} = -2\pi^2$	$\frac{Q_i}{m_c \cdot E_{\lambda}} = -4\pi^3$	$Q_i m_c E_{\lambda} = -4/\pi$	$Q_i (m_c + E_{\lambda}) = -8.$

(7.18)

\*\*

Синтез-мультиплетность Праны в поле света (4.17) протекает с формированием ядерного вещества (7.17):

<b>Ядерное вещество: Прана – Свет</b>
$\text{Я.В.} \equiv (-2\pi^2) \cdot (-4\pi^3) \cdot (-4/\pi) \cdot (-8) = 4 \cdot 64 \cdot \pi^4 \equiv 8 \cdot 32 \cdot \pi^4, \quad (7.19)$ <p style="text-align: center;">где 64 - эквивалент Тянь, а 32 - Цинь.</p>

Сжатие ядерного вещества до корня  $4 \equiv T_0$  возвращает энергетическое поле к Пране и Пирамиде (7.17, 7.19):

$$\sqrt[4]{4 \cdot 64 \pi^4} = 4\pi \equiv -Q_i \equiv S_{\Pi} \equiv L_{\Pi}. \quad (7.20)$$

\*\*

Мы знаем гипотезу М.Планка: **энергия излучается и поглощается квантами**. А почему? Не знаем. Поэтому объясняю: **энергия излучается и поглощается квантами потому, что сгущение - мультиплетность переходов между Материей и Тонкой Энергией периодически сменяется равновесием.**

Эти равновесия возникают при условии (7.18):

<b>Равновесие между Материей и Тонкой Энергией</b>
$\frac{\text{Резонанс}}{\text{Антирезонанс}} \equiv \frac{(-4\pi^3) \cdot (-4/\pi)}{(-2\pi^2) \cdot (-8)} \equiv \frac{16\pi^2}{16\pi^2} \equiv 1 \quad (7.21)$

\*\*

**Равновесие между полями Материи и Тонкой Энергии формирует канал экстрасенсорной проводимости, по которому движется квант Праны (рис.7.2.2).**

При этом поверхность канала экстрасенсорной проводимости будет формировать два встречных энергетических потока: магнитный из недр внутреннего поля канала, электрический из окружающей среды (рис.7.2.2).

**Поверхность канала проводимости будет иметь двойной энергетический слой с потенциалами  $\pm 1$**  (рис.7.2.2).

\*\*

Двойной энергетический слой **оболочек** каналов проводимости (рис.7.2.2) является источником формирования сумм и разности равновесных потенциалов:

$\pm[1 - (-1)] \equiv \pm 2 \equiv +\lg \rho_1 \rho_2 \rho_3 \rho_4 \rho_5 \equiv -\lg \rho_1 \rho_2^3 \rho_3 \rho_4$	(7.22)
$\pm[1 + (-1)] \equiv \pm 0 \equiv \log_a 1.$	

Наличие разноимённо направленных взаимодействий формирует период вращения точечного участка волны света, а затем Рупу ( $T_o = 4$ ) Вселенной (7.22):

<b>Формирование Рупы Вселенной</b>		(7.23)
Антирезонанс	$\pm(\lg \rho_1 \rho_2 \rho_3 \rho_4 \rho_5 - \lg \rho_1 \rho_2^3 \rho_3 \rho_4) : (E_\lambda + m_c) \equiv$ $\pm[2 - (-2) \equiv 4 \equiv T_o] : 2/\pi = \pm 2\pi \equiv k_1$	
Резонанс	$\pm(\lg \rho_1 \rho_2 \rho_3 \rho_4 \rho_5 - \lg \rho_1 \rho_2^3 \rho_3 \rho_4) : E_\lambda \cdot m_c \equiv$ $\pm[2 - (-2) \equiv 4 \equiv T_o] : 1/\pi^2 = \pm 4\pi^2 \equiv k_2$	
Равновесие	$k_1^2/k_2 = (2\pi)^2/4\pi^2 = 1.$	

Формирование **оболочек в поле Материи** (капилляров, клеток, аорт, вен и так далее) и **оболочек в экстрасенсорных каналах проводимости Тонкой Энергии** имеет одну и ту же энергетику.

Сущность энергетики оболочек состоит в эквивалентности разности их двойных слоёв эффективным всем известным в Природе Взаимодействиям и разности между электрическим и магнитным полями (табл.7.5).

Таблица 7.5

**Энергетика формирования оболочек  
каналов проводимости веществ (рис.7.2)**

Поля	Материи	Переход	Тонкой Энергии
Субстанции	Элементарные заряды: q и $\mu$	Заряды-импульсы	Энергетические импульсы: $q^*$ и $\mu^*$
Потенциалы	$\pm 2 \equiv$ $\pm(q - \mu) \cdot 10^{20} \equiv$ $\pm(16 - 14)$	$\pm 2 \equiv$ $\pm(\sqrt{qq^*}$ $- \sqrt{\mu\mu^*})$ $\pm(16 - 14)$	$72 \equiv$ $\pm(q^* - \mu^*) \cdot 10^{-20} \equiv$ $\pm(16 - 14)$
Готовая продукция	Капилляры, вены, аорты и так далее	<i>Чакры</i>	Экстрасенсорный канал проводимости.

Формирование оболочек в живом поле Материи приводит к формированию биологических трубочек как на уровне субструктур клетки, например микротрубочки поря ядер, мембранных структур молекулярных спиралей ДНК и РНК, жгутиков в субструктурах (9+0) и (9+2); так и сосудисто-капиллярной системы в целом всего организма (табл.7.5).

\*\*

Три поля (табл.7.6) **объединены** во Всесущности Космоса. Это объединённое Триединство формирует **оболочку Света - Кундалини**, и Её производную, которую Христианство воспринимает как **Бога - Святого Духа**, или как **24 Пресвятых Престола, окружающих Трон Христа на Небе** (Откровение).

Все эти обожествления имеют один общий энергетический Источник: цис-транс изомерию взаимодействий в Едином Космосе (табл.7.5, табл.7.6).

Таблица 7.6

**Обожествлённая Энергетика Единого Космоса**

Поля		Тонкая Энергия	Свет	Материя	Единый Космос	
[1]. Космогенезис		Корень остаётся	Свет остаётся	Сгусток остаётся	И всё же Оаеоноо Един	
					Сумма	Произведение
Взаимодействия		±2	±2	±2	±6	±8
Кундалини	Цис	+2	+2	+2	+6	+8
	Транс	-2	-2	-2	-6	-8
Возникновение Жизни		1. В Арупе: $\pm 6 \cdot \tau = \pm 6 \cdot 3 = \pm 18 \equiv \text{Mn}_2\text{O}$ и $\pm 8 \cdot 3 = 24$				
		2. В Рупе: $\pm 6 \cdot T_0 = \pm 24$ и $\pm 8 \cdot T_0 = \pm 32$ (Цинь).				

Резонанс в Рупе:  $8 \cdot (-8) = 64$  формирует Янь, а анти-резонанс:  $6 \cdot (-6) = -36$ , - формирует свет (табл.7.6). В Периодичностях Рупы ( $T_0 = 4$ ) и Арупы ( $\tau = 3$ ) возникают Все Важнейшие постоянные Единого Космоса. Появляется водород и заряды:

$$\begin{aligned} \pm 6^2(8^2 - 6^2) &= \pm 1008 \text{ (водород)} \\ \pm 8^2(8^2 - 6^2) : (T_0^2 = 16) &\equiv 112 \text{ (заряды)} \end{aligned} \quad (7.24)$$

Самовыражение Всесущности Космоса начинает проявлять себя в формировании субструктуры (9+0) и генома с потенциалом 63:

$$\left[ \frac{\pm 1008}{\pm 112} = \pm(9+0) \right] \times (T_0 + \tau = 7) = 63. \quad (7.25)$$

В этом поле (7.25) в частности возникаем **и мы, чувствующие и вне формы** ([1]. Космогенезис).

Возникаем и спорим: **А был ли Создатель?** Успокойтесь: **Создатель был, есть и будет, и Носитель Его Мысли - квант Праны** (рис.7.2, табл.7.7).

Таблица 7.7

### Влияние Космической Мысли Создателя на Жизнь

Процессы	Компоненты поля		
	Волна Света	Квант Праны	<i>Мысль Создателя</i>
	$E_\lambda = 1/\pi$	$Q_i = -4\pi$	$\rho^* = 28 \cdot 10^{20}$
Влияние Мысли Космоса	$\frac{\rho^*}{E_\lambda Q_i} = -7 \cdot 10^{20} \Leftrightarrow \rho^* E_\lambda Q_i = -112 \cdot 10^{20} \Leftrightarrow \frac{E_\lambda Q_i}{\rho^*} = -\frac{1}{7} 10^{-20}$ $(49 \Leftrightarrow +112 \cdot 7) \cdot 10^{20} \Leftrightarrow 10^{-20}$		
Творения Создателя	49 Оболочка	$\Leftrightarrow$ 16·49 Заряды в оболочке	$\Leftrightarrow$ 10 <sup>-40</sup> Фотон - фононы.

Избежать влияния Мысли создателя никому не удастся, ибо **Он - Корень**, самосущие волны тьмы - соки, свет - инструмент, а мы - результат.

**Глубоко ошибаются те, кто думает, что Творить Самому не надо, и что Результат придёт без Труда.** Труд - это Энергия Души, и наши Души обязаны трудиться и в Арупе, и в Рупе.

## 7.3 Свойства волн Космоса Невесомости

Медитирующий станет **Человеком воли и Йоги** ([2]. Теогенезис), то есть Бого - человеком, в частности тогда, когда будет **Знать Законы пульсации Кундалини**.

Будет **Знать**, а не только **ощущать** Значимость тонких Энергий. Но для этого надо **Учиться! Учиться!** и ещё раз **Учиться!**

Сам не научишься, **Бог не поможет**, ибо создатель уважает Свободу Воли.

Кундалини - это **оболочка** кванта света. Потенциал **оболочки** равен шести.

Под напором **самосуших** волн Космоса Кундалини пульсирует в поле света и его среды:

$$m^3 \Leftrightarrow m_c c + \varepsilon_0 \cdot \mu_0 \cdot c^2 + E_\lambda c = 1 + 1 + 1 = 3 \equiv \tau, \quad (7.26)$$

с **Продолжительностью**, равной трём в поле **Арупы**.

Пульсация точечного участка волны света вызывает колебания волны со скоростями:  $c = \pi$  и  $\omega_0 = \pi/2$ .

Появляются поля сжатия ( $\omega_0/c = 1/2$ ) и расширения ( $c/\omega_0 = 2$ ) Кундалини (табл.7.8).

Таблица 7.8  
**Равномерная пульсация Кундалини в поле света (7.26)**

Компоненты	Сжатие		Расширение	
	Антирезонанс	Резонанс	Резонанс	Антирезонанс
Кундалини $\equiv 2m_3$ $= 6$ среда $\equiv m_3 = 3$ . Скорости $\equiv c, \omega_0$ Продолжи- тельность $\tau = 3$	$2m_3 \frac{\omega_0}{c} +$ $\int_{m_3}^{\tau} \varphi d\varphi$ $= 3 + 0$	$2m_3 \frac{\omega_0}{c} \times$ $\int_{m_3}^{\tau} \varphi d\varphi$ $= 3 \cdot 0$	$2m_3 \frac{c}{\omega_0} +$ $\int_{m_3}^{\tau} \varphi d\varphi$ $= 12 + 0$	$2m_3 \frac{c}{\omega_0} \times$ $\int_{m_3}^{\tau} \varphi d\varphi$ $= 12 \cdot 0$

При равномерной пульсации Кундалини ( $2m_3 = 6$ ) в поле света ( $m_3 = 3$ ) наличие сжатия-расширения формирует среду с ноль-потенциалом Арупы:

<b>Арупа: Космос Невесомости</b>
$\int_{m_c c + \varepsilon_0 \mu_0 c^2 + E_\lambda c = 3}^{\tau=3} \varphi d\varphi = \frac{1}{2} (3^2 - 3^2) = \frac{1}{2} \cdot 0$

(7.27)



Это Космос Невесомости (7.27), в котором летают спутники микро-макро масс, а около Земли работают наши *космонавты - астронавты*.

\*  
\*\*

Выходя в **открытый Космос Невесомости**, Земляне должны знать его свойства - сочетания.

Прежде всего наличие ноль-потенциала среды говорит о том, что сингулярных точек типа  $3 \cdot 0$  или  $12 \cdot 0$  (табл.7.8) в **Природе нет. Сингулярная точка очередная Иллюзия - Парадигма наших теоретиков физико-математических наук.**

Есть среда самосущих волн с разностью потенциалов, равной нулю, а в ней Арупа Света.

Арупа Света пульсирует в резонансно-антирезонансном режиме.

Ноль-потенциал среды - это **фон поля**, в котором протекают взаимодействия компонент. Поэтому резонанса в поле Арупы нет (табл.7.8), а есть переход от расширения к сжатию и от сжатия к расширению.

При переходе от сжатия к растяжению ( $3 \rightarrow 12$ ) возникает Рупа:  $12/3 = 4 = T_0$ , а также субструктура  $(9+0) = 12 - 3$ .

Субструктура  $(9+0)$  живой материнской биоклетки начинает отсчёт Продолжительностей по тринадцати лунному календарю Цивилизации Майи, так как

$$13 \equiv [(12+0) - (3+0)] + \frac{(12+0)}{(3+0)} = 9+4. \quad (7.28)$$

\*\*

Свойства света в Космосе Невесомости (табл.7.8) вытекают из условий пульсации света в поле самосущих метagalактических волн (табл.7.9).

Таблица 7.9

**Свойства света в Космосе Невесомости (табл.7.8)**

Форматируемые Компоненты	Пятеричная связь	Рупа сгустков	Квадрат Кунда-лини	Разность длин волн ΔБ	Биоток в живой субструктуре клетки
Потенциалы	$\frac{3+0}{12+0} \equiv 5^2 \cdot 10^{-2}$	$\frac{12+0}{3+0} = 4 \equiv T_o$	$\frac{(12+0) \times (3+0)}{36}$	$5^2 \cdot T_o \cdot 36 = 3600 \equiv \Delta Б$	$\frac{36}{9+0} \Leftrightarrow \frac{9+0}{36}$ $1 \Leftrightarrow 16 \equiv \sqrt{qq^*}$

Пульсация света в среде самосущих волн приводит к излучению белого солнечного света (табл.7.9). Свет излучается, а великая Цивилизация шлёт нам Слово (табл.7.9): **"Свет пришёл из тьмы. Всё пришло из ничего. Из Смерти пришла вечная жизнь. Дело сделано"** ([2]. Теогенезис. Станца VII, п.6).

\*\*

Пульсирующий биоток насыщает субструктуру (9+0) живой биоклетки новой энергией из области самосущих волн (табл.7.8):

$$(12+0) + (3+0) = (15+0). \quad (7.28)$$

В субструктуре (9+0) возникает резонансно-антирезонансная пульсация (7.28, табл.7.9).

### Резонансно-антирезонансная пульсация живого

$$\frac{36}{9+0} \Leftrightarrow \frac{15+0}{36} \rightarrow \frac{36^2}{9+0} \Leftrightarrow 15+0 \rightarrow 12^2 \Leftrightarrow 15. \quad (7.29)$$

В живой субструктуре (9+0) начинается митоз (7,29). В сгущающихся Небесных Телах появляется **12 Знаков Зодиака**. Астрологи начинают гадать. Тонкая Энергия самосуших продолжает поступать во внутреннее поле субструктуры (9+0). Поступает с периодичностью  $T_0^2 = 16$  (табл.7.9). Потенциал субструктуры (9+0) увеличивается до  $12^2$  (7.29):

$$(9+0) \cdot (T_0^2 = 16) = 144 = 12^2 \equiv T_0^2 \tau^2. \quad (7.30)$$

И пока Вам гадали на короля, у короля появилась другая дама: произошёл митоз биоклетки и Кундалини из равновесной стала неравновесной (табл.7.10).

Таблица 7.10

### Равновесно-неравновесная инверсия Кундалини

Инверсия	Равновесная		Неравновесная	
Потенциалы	$K_1 = \pm[3 - (-3)] = \pm 6$		$K_2 = (3,5+2,5) \equiv (3,5^2-2,5^2) = \pm 6$	
Формирование Свечения Тонкой Энергии с потенциалом 27	$3 \Leftrightarrow 1/3$	$6 \Leftrightarrow 1/6$	$3,5 \Leftrightarrow -1/2,5$ $7 \cdot 5 \cdot 10^{-1} \Leftrightarrow 5^{-2} \cdot 10^1$ $7 \Leftrightarrow 5^{-1} \cdot 10^2 = 20$	$3,5^2 \Leftrightarrow -1/2,5^2$ $7^2 \cdot 5^2 \cdot 10^{-2} \Leftrightarrow 5^{-4} \cdot 10^2$ $49 \Leftrightarrow 5^{-2} \cdot 10^4 = 400 = 20^2$
	$9 \Leftrightarrow 1$	$36 \Leftrightarrow 1$		
	$8 \Leftrightarrow 0$	$35 \Leftrightarrow 00$		
	$35 - 8 = 27 \tau^\tau$ <i>Свечение Тонкой Энергии</i>			

1. Полученные результаты могут объяснить много **Мистического без всякой Мистики**: равновесная пульсация компонент Кундалини и самой Кундалини формируют разность потенциалов, равную 27, и эквивалентную Полуэллипса Свечения от генератора Тонкой Энергии. Это Свечение является полем Ауры с продолжительностью  $\tau^r = 3^3$  (табл.7.10).

2. Излучённый Свечением Тонкой Энергии импульс

$$\pm(36+8=44) \int_0^1 \varphi d\varphi = \pm 22, \quad (7.31)$$

является носителем той информации, о которой Тора говорит как о 22 зубах Авраама [3].

3. Сокровенная сороковица, четыреста Библейских лет, Свабхават О, потенциал которых равен 400 формируется в поле под оболочкой с потенциалом 49 (табл.7.10).

4. Семеричность периодичности в Природе возникает там, где в поле взаимодействия света возникают потенциально ( $E_{\Pi}$ ) - кинетические ( $E_K$ ) отношения, равные 2 : 1 (табл.7.10):

<b>Связь семеричности с потенциально-кинетическим отношением</b>	
$7 \Leftrightarrow 20 \equiv \frac{E_{\Pi}}{E_K} \cdot \rho_5 \equiv$ $\rho_5 \left( \frac{c}{\omega_0} \equiv \frac{\Delta K = 1400 \overset{o}{A}}{\Delta \mathcal{J} = 70 \overset{o}{A}} \equiv \dots \equiv \frac{M_{H_2O} = 18}{(9+0)} \equiv \frac{36}{18} \equiv \dots \right)$	(7.32)

Само потенциально-кинетическое отношение в Природе проистекает из наличия расширяющейся ветви Кундалини в поле света (7.31):

$$|7 \Leftrightarrow 20| \rightarrow |7/2 \Leftrightarrow 10| \rightarrow |7/4 \Leftrightarrow 5, \quad (7.33)$$

где: 7/2 - Кундалини,

7/4 - пальма,

10 - эффективность взаимодействия света,

5 - число форм взаимодействий в Природе.

5. Гравитация неживого, первый период геномов и первая группа геномов в периодической системе геномов возникает при резонансе равновесной - неравновесной пульсации Кундалини (табл.7.10):

Кундалини как источник гравитации и геномов			(7.34)
Гравитация		$8 \cdot 35 = 280 \equiv 10 \cdot (1+2+3+4+5+6+7=28)$	
Геномы	Первый период	$7+6+5+4+3+2+1+0 = 28$	
	Первая группа	$7+15+23+29+31+47+55+63 = 280.$	

6. Наличие гравитации и света, то есть солнечно - лунных рядов Вселенной, формирует водород с атомным весом 1,008:

$$36 \cdot 28 = 1008 \equiv 10^3 \cdot (A_H = 1,008). \quad (7.34)$$

Наличие разности  $(12+0) - (3+0) = (9+0)$  в поле водорода формируют периодическую систему химических элементов:

$$\frac{1008}{9+0} \equiv 112 \equiv 7\sqrt{qq^*} \equiv 8\sqrt{\mu\mu^*} \equiv 4\sqrt{\rho\rho^*}. \quad (7.35)$$

Завершение формирования периодической системы химических элементов является **началом создания Человека** с Библейским Числом Человека, равным 113.

7. Между периодической системой химических элементов, из которых человек создан, и самим Числом Человека возникает разность квадратов потенциалов, равная сумме компонент электромагнитного поля. В неживой Материи периодической системы химических элементов возникает живой Человек:

Формирование Человека из Периодической Системы Элементов			
Число химических элементов	Библейское Число Человека	Живая спираль Человека	Число витков сжатия Кундалини
112	113	$L \equiv \frac{c}{\omega_0} \int_{112}^{113} \varphi d\varphi = 225 = 15^2$	$225:2,5 = 90.$

(7.36)

Живая спираль Человека при расширении  $c/\omega_0 = 2$  будет иметь длину (7.36):

$$L = 225 = 152 \equiv \{[(16\sqrt{qq^*}) + (14\sqrt{\mu\mu^*})] \int_0^1 \varphi d\varphi\}^2. \quad (7.37)$$

Для того, чтобы сжать это поле  $L = 225$  (7.37) в новую спираль Кундалини - сжатия по 2,5 оборота, потребуется 90 нитей Кундалини сжатия (7.36).

Если эти 90 нитей Кундалини вновь развернутся в спирали расширения Кундалини по 3,5 оборота спирали, то её длина  $L$  станет равной

$$L_1 = 90 \cdot 3,5 = 315 \approx (\pi \equiv c) \cdot 100. \quad (7.38)$$

Такая развёрнутая спираль, примерно равная ста скоростям света (эквивалент  $\pi$ ) приведёт к тому, что свет и Кундалини начнут трансформировать **химические элементы в живые магниты** (7.37, 7.38):

$$\rho_5 \cdot (L_1:L) = 315 : 225 = 14 = \sqrt{\mu\mu^*}. \quad (7.39)$$

## 7.4 Реакции живых магнитов на Метагалактические волны

Ядерное вещество формируется за счёт гравитационных метагалактических волн Космоса. Эти волны - **Корень Космоса**, в котором действует **Мысль Создателя**.

Наиболее **плотной упаковкой энергии**, или степенью сгущения энергии, обладает жидкая фаза: водные растворы и жидкая плазма ядерного вещества. В этих Каплях **зарождается Жизнь**, и эти капли становятся **Каплями Жизни**.

\*\*

При формировании Капли Жизни используются потенциал - эквиваленты:

Мысль создателя		Растворы жидких сред	
$\rho^*$	$-\rho^*$	Водные	Плазмы
$28 \cdot 10^{20}$	$-28 \cdot 10^{20}$	$M_{H_2O} = 18$	$M_{жп} = 18.$

(7.3)

В жидкой Капле возникают неравновесные колебания (7.40):

$$\frac{\rho^* = 28 \cdot 10^{20}}{M_{H_2O} = 18} = \frac{2 \cdot 7}{9} 10^{20} \Leftrightarrow \frac{9}{2 \cdot 7} 10^{-20} \equiv \frac{M_{жп}}{-\rho^*}, \quad (7.41)$$

и жидкая Капля становится Каплей Жизни:

$$2^2 \cdot 7^2 \Leftrightarrow -9^2 \cdot 10^{-40}, \quad (7.42)$$

в которой возникают магнитные поля с потенциалом  $2^2 \cdot 7^2 = 14^2 \equiv \mu\mu^*$  и субструктуры  $\pm(9+0)^2$  в поле фотон - фононов ( $10^{-40}$ ) формируются **Живые Магниты**.

\*  
\*\*

Живые Магниты отличаются друг от друга тем, что являются носителями **мужского и женского начал**.

В живых формах, **размножающихся делением**, носитель мужского и женского начал **один и тот же** (клетки, бактерии, вирусы, черви и так далее).

В живых формах, **размножающихся методами, отличными от деления**, носители мужского и женского начал индивидуальны.

\*  
\*\*

Описание появления живого начала связано со знаком плюс и сжатием в Капле Жизни; женское начало связано с расширением, охлаждением и знаком минус в поле Капли Жизни (7.42, табл.7.11).

Таблица 7.11

**Формирование мужского и женского Начал  
в Капле Жизни. Размножение**

Начала	Мужское	Женское
Капля Жизни	$-\mu\mu^* = -2^2 \cdot 7^2 \Leftrightarrow 9^2 \cdot 10^{-40}$	$\mu\mu^* = +2^2 \cdot 7^2 \Leftrightarrow -9^2 \cdot 10^{-40}$
Пульсация	Сжатие: $T_0\omega_0/c = 2$	Расширение: $T_0c/\omega_0 = 8$
Термия	Экзо: $\lg \rho_3\rho_4\rho_5 = +27$	Эндо: $\lg \rho_1\rho_2 = -25$
Общие потенциалы	$H_m \equiv -2 \cdot 27 \cdot \mu\mu^* \Leftrightarrow +2 \cdot 27 \cdot 9^2 \cdot 10^{-40}$	$H_{\text{ж}} \equiv -2 \cdot 27 \cdot \mu\mu^* \Leftrightarrow +2 \cdot 27 \cdot 9^2 \cdot 10^{-40}$
Размножение	$H_{\text{ж}} + H_m \equiv [-200 + (-54)] \cdot \mu\mu^* \Leftrightarrow (200 + 54) \cdot 9^2 \cdot 10^{-40} - \mu\mu^* \Leftrightarrow 9^2 \cdot 10^{-40}$	
	$H_{\text{ж}} - H_m \equiv [-200 - (-54)] \cdot \mu\mu^* \Leftrightarrow (200 - 54) \cdot 9^2 \cdot 10^{-40} - \mu\mu^* \Leftrightarrow 9^2 \cdot 10^{-40}$	
Скорость пульсации в Арупе	$-\mu\mu \times -\tau \Leftrightarrow (9^2 \cdot 10^{-40})/\tau = 27 \cdot 10^{-40} \equiv 10 \cdot (\mu_0 = e) \cdot 10^{-40} - 588 \Leftrightarrow 27 \cdot 10^{-40} \text{ и } -21,(7) \Leftrightarrow 10^{-40}$	



Таким образом, полуэллипс Свечения от генератора Тонкой Энергии, обладая потенциалом 27, является Созидателем масс относительного покоя, так как  $\rho_5\mu_0 = 10e \approx 27$  ... (табл.7.11).

Вместе с тем это Свечение полуэллипса с потенциалом 27 создаёт волны живых магнитов ( $\mu\mu^*$ ) в процессе слияния мужского и женского начал, то есть **живые волны размножения** (табл.7.11).

В этих волнах размножения существенную роль играют не только магнитные поля  $\pm\mu\mu^*$ , но и потенциал субструктуры  $(9+0)^2 = 81$ , с которым связаны многие моменты в **Книге Перемен**.

\*\*

Пульсирующее поле Свечения с потенциалом 27 (табл.7.11):

$$-\mu\mu^*\tau = -588 \Leftrightarrow 27 \cdot 10^{-40}, \quad (7.50)$$

формируя гравитационные заряды, излучает в окружающую среду импульсы полярных вихрей с потенциалом 21 (7.50):

$$-588 = (-28) \cdot (+21) \Leftrightarrow 27 \cdot 10^{-40}; \quad -21 \Leftrightarrow \frac{27 \cdot 10^{-20}}{28 \cdot 10^{20} = \rho}. \quad (7.51)$$

Возникает эллипсоидальное **Свечение** от генератора Тонкой Энергии.

Полуэллипсы **Свечения** будут иметь потенциалы  $27 \cdot 10^{-20}$  и  $28 \cdot 10^{+20}$  (7.51).

\*\*

**Свечение Тонкой Энергии**, как любая Капля Жизни, пульсируя, будет создавать полярные вихри с потенциалами  $\pm 21$  (7.51).

Сгущение полярных вихрей приведёт к формированию внутреннего антирезонансного поля кванта света с поверхностью 6:

$$1 + 2 + 3 + 4 + 5 + 6 = 21. \tag{7.52}$$

В биологическом поле возникнет пульсация материнской субструктуры биоклетки:

$$21 \equiv 5 \begin{smallmatrix} 2 \\ \rightleftarrows \\ 2 \end{smallmatrix} + 7 \begin{smallmatrix} 2 \\ \rightleftarrows \\ 2 \end{smallmatrix} + (9+0). \tag{7.53}$$

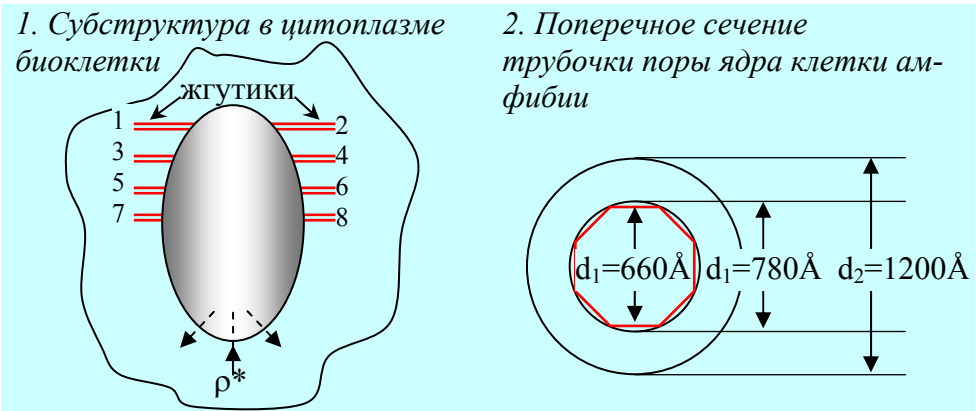
Внутреннее поле полярного вихря сожмёт резонанс:

Внутреннее поле полярного вихря	
Антирезонанс	Резонанс
$1+2+3+4+5 = 15$	$1\cdot2\cdot3\cdot4\cdot5 = 5! = 120.$

(7.54)

Живое моментально откликнется на изменения в энергетике полярного вихря (7.53, 7.54).

В микротрубочке поры ядра биоклетки, например клетки амфибии, появится восьмигранник (рис.7.3), а субструктура (9+0) обзаведётся восемью волосками-жгутиками для перекачки цитоплазмы из объёма биоклетки в объём субструктуры (рис.7.3).



*Рис.7.3 Восемь жгутиков в субструктурах (9+0) и (9+2) в цитоплазме биоклетки и восьмигранник микротрубочки в поре ядра как реакция живого на расширение Вселенной*

Восемь квантов Тонкой Энергии являются гарантом расширения с потенциалом  $T_0c/\omega_0=8$ .

Живое погибнет, если не будет согласовывать свою Эволюцию Видов с пульсацией Вселенной.

Эволюция Живого начинается с микроструктур в нём:

1. В пульсирующей субструктуре (9+0) биоклетки возникают кванты перехода  $\pm 2$ , сумма которых равна восьми и эквивалентна  $T_0c/\omega_0=8$  (7.54);

2. Микротрубочка поры ядра биоклетки, через которую Тонкая Энергия поступает в БиоМатерию клетки, приспособляется к восьмеричности расширения Вселенной тем, что сечение микротрубочки приобретает Форму Восьмигранника (рис.7.3.2). Поскольку через микротрубочку проходит Кундалини с потенциалами  $(3,5+2,5=6) \cdot \rho_5^2 = 600$   $(3,5^2 - 2,5^2 = 6) \cdot \rho_5 = 60$ , то расстояние между параллельными гранями имеет величину, кратную сумме:  $600+60 = 660 \equiv 660\text{\AA}$  (рис.7.3.2).

Геометрия микротрубочки точно согласовывается с пульсацией внутреннего поля света (7.5.4) и внешний диаметр микротрубочки становится равным (рис.7.3.2):

$$d_2 = 1200\text{\AA} \equiv 5! \rho_5 = 1200. \quad (7.55)$$

разность диаметров в микротрубочке (рис.7.3.2) оказывается равной или кратной 42:

$$d_1 - d_2 = (1200 - 780)\text{\AA} = 420\text{\AA}. \quad (7.56)$$

Но 42 - это разность цис-транс изомерических полярных вихрей  $[21 - (-21) = 42]$ , а вместе с тем 42 возникают в поле (7.50), когда из этого поля формируются **живые магниты**:

$$\frac{-\mu\mu^*\tau = -588}{14} \Leftrightarrow -42 \Leftrightarrow \frac{27 \cdot 10^{-40}}{14} \equiv 27/\mu^*. \quad (7.57)$$

И вновь великая Цивилизация подсказывает нам: **на шестой день пребывания в Бордо из твоего сердца выйдут 42 Божества** (Книга Мёртвых).

3. Живое согласовывает свою Эволюцию с пульсацией Вселенной и тем, что в субструктурах (9+0) и (9+2) по восьми волоскам-жгутикам перекачивается цитоплазма (**биологическое ядерное вещество**) из объёма биоклетки в объём субструктуры (рис.7.3.1).

Перекачка цитоплазмы по восьми волоскам-жгутикам происходит под напором гравитационного вихря из Арупы Космоса, то есть вихря с потенциалом, равным:

$$\rho^*\tau^2 = 28 \cdot 10^{20} \cdot (9+0) \equiv 252 \cdot 10^{20}. \quad (7.58)$$

Гравитационный вихрь Арупы Космоса поступает по девятому волоску-жгутику субструктуры (9+0) биоклетки (рис.7.3.1).

Цитоплазма в объёме субструктуры (9+0) насыщается гравитационной энергией Арупы космоса.

Гравитационный импульс в объёме субструктур делится на два магнитных заряда. **Космическое Семя пошло в биологический рост**. Вырастают ещё два волоска-жгутика по которым магнитная энергия зарядов выводится в цитоплазму биоклетки (рис.7.3.1), но уже с частотой пульсации Рупы ( $T_o^2 = 16$ )

$$2\mu \cdot T_o^2 = 2 \cdot 14 \cdot 10^{-20} \cdot 16 = 448 \cdot 10^{-20}. \quad (7.59)$$

В субструктуре (9+0) биоклетки при её митозе (делении) возникает **однонаправленный** в сторону цитоплазмы биоклетки гравитационно-магнитный поток (7.58, 7.59):

$$\rho^* \tau^2 = 252 \cdot 10^{20} \xrightarrow{k} 2\mu T_o^2 = 448 \cdot 10^{-20}. \quad (7.60)$$

Проводниками для этих энергетических потоков (7.60) служат три волоска-жгутика, показанные пунктирами на рис.7.3.1.

\*\*

Сжатие цитоплазмы в объёме биоклеток до объёма цитоплазмы с субструктуре необходимо для проведения трансформации гравитационного импульса в магнитные заряды при резонансном режиме (7.60):

$$K = 448 \cdot 10^{-20} : 252 \cdot 10^{-20} = 1, (7) \cdot 10^{-40}. \quad (7.61)$$

Наличие резонансного режима гравитационно-магнитной трансформации (7.61) подтверждается семеричностью периодических систем в микро-макро полях Единого Космоса.

\*\*

Максимальный резонансный потенциал в точке объёма субструктуры, где происходит гравитационно-магнитная трансформация, будет равен (7.58, 7.59):

$$(\rho^* \tau^2 = 252 \cdot 10^{20}) \cdot (2\mu T_o^2 = 448 \cdot 10^{-20}) \equiv \\ 112896 = 16^2 \cdot 9 \cdot 7^2, \quad (7.62)$$

где:  $16^2 \equiv qq^*$ ;  
 $9 \equiv (9+0)$ ;  
 $7^2 = 49$  - оболочка.

Эта энергия (7.62) накапливается в объёме субструктуры биоклетки и её надо перекачать.

В ход вступают восемь волосков-жгутиков, отмеченные на рис.7.3.1 сплошными линиями.

Включение в работу перекачки энергии гравитационно-магнитного поля в цитоплазму биоклетки дополнительно ещё восьми жгутиков (рис.7.3.1) даёт следующий результат (7.6.2):

$$112896 \equiv 8^4 \cdot 3,1484375 \equiv 8^4 \cdot (\pi \equiv c). \quad (7.63)$$

Это значит, что восемь волосков-жгутиков умудряются сжать энергию, поступающую из Космоса до потенциала:

$$84 \equiv (T_o \omega_o / c = 2) 12 \equiv 642 \equiv \sqrt{2}^{24}, \quad (7.64)$$

и не только сжать, но и трансформировать космическую энергию со скоростью (7.63).

$$c \equiv p \approx 3,1484375. \quad (7.65)$$

## 7.5 Золотые волны Метагалактики

**Загрязнив** воды и почвы, атмосферу и ноосферу, промышленники нашей цивилизации **врут по чёрному** относительно безотходных технологий и экологической безопасности.

**Социум потребления, коим является наша цивилизация, не может владеть безотходными технологиями в принципе, ибо общество Потребления само по определению является Отбросом - Отходом всего живого в космическом содружестве.**

Убивать за убогость Мысли нас никто не собирается, и **Звёздные войны - сплошная чушь узкоголовых**, но пришла пора нам самим подумать не только о себе, но и о Матери - Земле.

Великая Цивилизация думала и закачивала через Пирамиды космическую Энергию в почвы Земли.

Земля отвечала семикратным повышением урожайности, а Сахара была не пустыней, а краем с полноводными реками.

Нам, **ныне живущим на Земле**, предстоит восстановление **всего разрушенного социумом общества потребления**.

Нам предстоит создавать безотходные технологии в Доме для Ангелов Голоса [2], то есть наших Потомков на Земле, но и нам самим предстоит пройти нелёгкий путь **Эволюционного развития от Ману-Мыслителя до Человека Воли и Йоги**.

Нам надо открыть Третий Глаз, а для этого надо **Познать динамику пульсации Кундалини**.

\*\*

Кундалини - оболочка кванта Света с потенциалом, равным шести, существует в **инверсионном** (выворачивание наизнанку как у молекулы аммиака) **режиме пульсации при чередовании резонансно - антирезонансных переходов и переходов сжатия-растяжения**.

Кундалини пульсирует **не сама по себе**, а под влиянием пульсирующего между Хаосом и Гармонией Единым Космосом:

$$\int_0^1 \varphi d\varphi \pm \int_1^0 \varphi d\varphi = \frac{1}{2} \pm \left( -\frac{1}{2} \right) \equiv 1 \text{ и } 0, \quad (7.66)$$

где потенциал, равный 1 возникает при резонансе, а потенциал равный нулю, при антирезонансе.

Между полуэллипсами Свечения от генератора Тонкой Энергии возникают колебания:

Антирезонанс	$28 - 27 \Leftrightarrow 1 \Leftrightarrow -1 \Leftrightarrow 27 - 28$	$28^2 - 27^2 = 55$
Резонанс	$28 \cdot 27 = 756 \Leftrightarrow 0 \Leftrightarrow 756 \equiv 27 \cdot 28$	
Приведённый режим	$K = \frac{756}{55} = 13 + 0,7 + 0,0(45).$	

(7.67)

В этом поле Свечения Тонкой Энергии (7.67) 28 и 27 - потенциалы полуэллипсов; 1 и 0 - потенциалы формирования квантованных орбит; потенциал 55 формирует гравитационный десятичный ряд, а затем - магнитный:

$$28^2 - 27^2 = 55 = 1+2+3+4+5+6+7+8+9+10 \equiv$$

$$\frac{1}{7} \cdot (1^2+2^2+3^2+4^2+5^2+6^2+7^2+8^2+9^2+10^2 = 385). \quad (7.68)$$

Магнитный ряд с потенциалом  $\frac{1}{7} \cdot 385$  будет пульсировать с периодичностью  $(T_0 + \tau = 7)$ , создавая живые магниты:

Семеричная периодичность Живых Магнитов (7.68)		(7.69)
$\frac{1}{7} \cdot 385 \cdot (T_o + \tau = 7) = 385 = 1^2 + 2^2 + 3^2 + 4^2 + 5^2 + 6^2 + 7^2 + 8^2 + 9^2 + 10^2.$		

При семеричной периодичности магнитное и гравитационное поля (7.68) становятся равновесными:

$$55 \cdot (T_0 + \tau = 7) = 385 = \frac{1}{7} \cdot 385 \cdot (T_0 + \tau = 7). \quad (7.70)$$



В этом случае гравитация **Космической Мысли** (7.70) без расхода собственной энергии переходит в нашу **Память Живых Магнитов**.

Такой переход - это основа Паранормальных Явлений для нашей ненормальной науки, и **совершенно нормально - естественным процессом Бытия и Размножения в Едином Космосе**.

\*  
\*\*

**Периодичность Продолжительностей** перехода одних форм энергии в другие формы, которую мы называем **Временем**, протекает в двух встречных энергетических потоках: один из Рупы в Арупу, другой из Арупы в Рупу.

Энергетический поток из Арупы в Рупу связан с переходом ( $\tau \rightarrow T_0$ ), а из Рупы в Арупу с переходом ( $T_0 \rightarrow \tau$ ) и потенциалом Продолжительности

$$\tau/T_0 = 3/4 = 0,75. \quad (7.71)$$

Эта Продолжительность (7.71) предопределяет пульсацию метагалактических волн с потенциалом  $\sqrt{2}$ , векторно-математическое описание сгущения которых связано с элементами великой Пирамиды (рис.2.4).

В условиях равновесия этот поток формирует периодическую систему геномов ([1]. Теогенезис. Станца VII, п.6):

$$\int_r^L \varphi d\varphi = \int_{\sqrt{2}}^{8\sqrt{2}} \varphi d\varphi = 63. \quad (7.72)$$

При наличии потенциала  $\tau/T_0 = 0,75$  и эффективности взаимодействия света потенциал перехода из Рупы в Арупу будет равен:

### Потенциал перехода их Рупы в Арупу

$$A_p \equiv \rho_s^2 \cdot \frac{\tau}{T_0} \int_r^L \varphi d\varphi \equiv 100 \cdot 0,75 \cdot 63 = 4725. \quad (7.73)$$

В 13-ти лунном Календаре цивилизации Майи возникает **День Вне Времени**.

Энергетический поток Дня Вне Времени продолжает пульсировать с семеричной периодичностью:

$$P_y = A_p + (T_0 + \tau = 7) = 4725 + 7 = 4732, \quad (7.74)$$

и возвращается, как мы после реинкарнации, в Рупу. В 13-ти лунном Календаре Майи возникает год из 364 дней:

$$P_y = 4732 \equiv 13 \cdot 364 \equiv 13_{\text{месяцев}} \cdot 364_{\text{дня}}. \quad (7.75)$$

\*\*

Основой 13-ти лунного Календаря Майи, переданного индейцам Южной Америки великой Цивилизацией, является приведённая пульсация Свечения Тонких Энергий (7.67):

$$K = 13,7(45) = 13 + (\tau/T_0 = 0,75) - 0,00(5), \quad (7.76)$$

где поле с потенциалом 0,00(5) возникает как энергия пятеричной связи перехода Рупы в Арупу.

Энергия **Пятеричной Связи** (Пятеричный Лха [1]) сохраняется на всех уровнях микро-макро полей Единого Космоса, **независимо от степени (глубины) мультиплетности (расщепления) исходного равновесного кванта**.

Пятёричная связь существует вокруг и во вне любого сгустка-волны любого компонента Единого Космоса и обеспечивает формирование **планетарных микро-макро структур сгустков и наличие волн с золотым сечением между сгустками.**

\*\*

Всесущая Вселенная Единого Космоса пульсирует и переходит от сжатия к расширению в резонансно-антирезонансном режиме (табл.7.12).

Таблица 7.12

### Пульсация света во Вселенной

Поля и режимы	Пределы пульсации		Среда между пределами	
	Сжатие	Расширение	Резонанс	Антирезонанс
Равно- весе	$T_0 \frac{\omega_0}{c} = 2$	$T_0 \frac{c}{\omega_0} = 8$	$\frac{8}{2} \Leftrightarrow 2 \cdot 8 \Leftrightarrow \frac{2}{8}$	$\pm(8^2-2^2) \int_0^1 \varphi \, d\varphi$ $\pm 30$
	$\pm \int_2^8 \varphi \, d\varphi = \pm 15$		$4 \Leftrightarrow 16 \Leftrightarrow \frac{1}{4}$	
Термия	Экзо: $2 \cdot \lg \rho_3 \rho_4 \rho_5 = 54$	Эндо: $8 \cdot \lg \rho_1 \rho_2 = -200$	Свет: $30 \cdot 4 = 120 = 5!$ $30 \cdot 16 = 480$ - начало сине-голубой волны.	

Пульсация Света во Вселенной влияет и на Арупу и на Рупу: в момент резонанса возникает колебательный контур ( $4^{\pm 1} \Leftrightarrow 4^{\pm 2}$ ), а в момент антирезонанса:

$$\begin{aligned} \pm[8 - (-2)] &= \pm 10 \equiv \pm \rho_5; \\ \pm[8 - (-2)] &= \pm 6; \end{aligned} \quad \left| \quad (7.77) \right.$$

появляется Кундалини (оболочка кванта света с потенциалом 6), обладающая эффективностью взаимодействия света (7.77).

\*  
\*\*

Попадая в недра ядерного вещества, и пульсируя с **семеричной** периодичностью, гравитационное поле расщепляется, формируя резонансный переход сжатия - расширения (табл.7.12).

$$\frac{\sqrt{\rho\rho^*}}{T_0 + \tau} = \frac{28}{7} = 4 \Leftrightarrow 16 \Leftrightarrow \frac{1}{4} \equiv \frac{T_0\omega_0/c}{T_0c/\omega_0} = \frac{2}{8}. \quad (7.78)$$

Гравитационное поле с потенциал - эквивалентом  $T_0 = 4$  пульсирует и создаёт **ядерное вещество с потенциалом квадрата величины Цинь**:

$$4^{T_0+1} \equiv 4^5 \equiv 1024 \equiv 32^2 \equiv 16 \cdot 64. \quad (7.79)$$

**Цинь-Небеса сгущаются** и возникает сгусток **Тянь**, пульсирующий с частотой  $T_0^2 = 16$  (7.79).

\*  
\*\*

Сгусток Тянь излучает волны, формируя контур колебания **излучатель - среда**:

$$T_0^2 \equiv 16 \Leftrightarrow 4 \Leftrightarrow 1/4, \quad (7.80)$$

где: 4 - потенциал излучателя,  
1/4 - потенциал излучённой волны.

Излучённый квант, попадая в поле света, образует **луч - конус в форме телесного угла в один стерадиан**:

$$E_\lambda \cdot \frac{1}{4} = \frac{1}{4\pi} \equiv \text{один стерадиан}. \quad (7.81)$$

В поле конуса субстанция волновых полей с потенциалом в 1/4 расщепляется:

Резонанс	Антирезонанс
$\sin^2 \frac{\pi}{4} \cdot \cos^2 \frac{\pi}{4} = \frac{1}{4} = \frac{1}{(\sqrt{5}-1) \cdot (\sqrt{5}+1)}$	$\frac{1}{\sqrt{5}-1} \Leftrightarrow \frac{\sqrt{5}+1}{1}$

(7.82)

Резонансно-антирезонансные волны, попадая в **Дзи-ан пульсирующего Космоса**, формируют обратный потенциал расширения Вселенной:

$$\pm \frac{1}{4} \int_0^1 \varphi d\varphi \cdot T_0 \frac{c}{\omega_0} = \pm \frac{1}{4} \cdot \frac{1}{2} \cdot 8 = \pm 1, \quad (7.83)$$

а также волны, подчиняющиеся правилу Золотого Сечения (7.82):

$$\frac{1}{\sqrt{5}-1} \lg \rho_1 \rho_2 \rho_3 \rho_4 \rho_5 \Leftrightarrow \frac{\sqrt{5}+1}{1} \int_0^1 \varphi d\varphi$$

$$1 : \frac{2}{\sqrt{5}-1} \equiv \frac{\sqrt{5}+1}{2} : 1$$

Правило Золотого Сечения.

(7.84)

Эти волны (7.84) и есть **Золотые живительные волны Метагалактики**, которые льются в нас из открытых ладоней Космоса Невесомости.

## 7.6 Роль Кундалини в поле реинкарнаций

Геометры всех времён и народов тысячелетиями исследуют **Золотое Сечение**, пытаются понять Вселенную. Но начинать надо не с описательно-геометрического образа поля, а с Энергии, как это делает великая Цивилизация. Тогда Природа, например **Золотого Числа**

$$\Phi = T_0^2 m_c E_\lambda = 16/\pi^2, \quad (7.85)$$

будет не **Тайной Доктриной** за семью Печатами, а **Открытой** увлекательной **Книгой**.

\*  
\*\*

Субстанцией Свечения Тонкой Энергии, получаемой от генераторов, является **оболочка света или Кундалини** (7.77).

Кундалини пульсирует в режиме инверсии, то есть выворачивая оболочку наизнанку (табл.7.13).

Таблица 7.13

**Пульсация Кундалини (7.77)**

Поля	Сумма		Равновесие	Разность	
	Расширение	Сжатие		Расширение	Сжатие
Потенциалы	3,5 6	2,5 =	3,5–2,5= 1	3,5 <sup>2</sup> – 2,5 <sup>2</sup> = 6	
Сумма	$13 = 6+1+6 \equiv \sqrt{12^2 + 5^2} \equiv \sqrt{12^2 + 4^2 + 3^2}$ <i>13-ти лунный календарь Цивилизации Майи</i>				
Излучённый свет	$1/6 \Leftrightarrow 6/1 \rightarrow 1 \Leftrightarrow 36 \equiv \rho_2^2 \cdot \Delta B$ <i>Свечение от генератора Тонкой Энергии</i>				
Кундалини в среде	Кундалини		Среда		
	$\frac{6 \pm 1}{1} \Leftrightarrow \frac{1}{6 \pm 1}$ $(6 \pm 1)^2 \Leftrightarrow 1$		$\int_5^7 \varphi d\varphi = 12 \Leftrightarrow -\frac{1}{12} = \frac{1}{\int_7^5 \varphi d\varphi}$ $-12^2 \equiv -144 \Leftrightarrow 1$ Знаки Зодиака.		

Каждый из Нас, живых, **носитель биочасов** по 13-ти лунному Календарю Майи. Каждый из нас - **излучатель**, возмущающий окружающую среду до квадрата числа знаков Зодиака, то есть до потенциала  $-12^2$  (табл.7.13). Это значит, что **Астрология не глупость, а наука**, закономерности которой нашей цивилизации ещё неизвестны.

Незнание законов Астрологии как науки и **естественное желание Человека знать своё Будущее** создаёт спрос и предложение. Поэтому вокруг Астрологии в поисках золотого тельца, как вокруг навоза мухи, выются роями шпана и шарлатаны.

\*\*

Сжатие - расширение в поле Кундалини периодически сменяется равновесием.

**Равновесие в поле Кундалини возникает при делении оболочки Кундалини пульсирующей Вселенной с потенциалом Дзиан:**

$$\pm 6 \int_0^1 \varphi d\varphi = \pm 3 \Leftrightarrow \mp 3 \equiv \pm 6 \int_1^0 \varphi d\varphi . \quad (7.86)$$

В объёме Кундалини или под оболочкой света появляется внутреннее поле света:

$$3^2 - X^2 = -6 \quad \text{или} \quad X^2 = 9+6 = 15, \quad (7.87)$$

где 15 является потенциалом внутреннего антирезонансного поля света на пяти уровнях поля:

$$X^2 = 15 = 1+2+3+4+5. \quad (7.88)$$

Спутником формирования внутреннего поля света является цис-транс изомерия.

Возникает цис-транс суммарный потенциал (7.88, табл.7.12):

$$\pm[15 - (-15) = 30] = \pm(8^2 - 2^2) \int_0^1 \varphi d\varphi. \quad (7.89)$$

При эффективности взаимодействий света, равной  $\rho_5 = 10$ , колебания внутреннего поля света трансформируются в живом в сине-голубую чакру Третий Глаз (7.89):

$$30 \cdot \rho_5 \equiv 300 \equiv \Delta\Gamma \Leftrightarrow \Delta C \equiv -300 \equiv 30(-\rho_5). \quad (7.90)$$

В живом биологическом возникают биотоки, в живом духовном появляется индукция - интуиция.

## 7.7 Формирование поля Рупы - поля в Форме

**Четыре слоя - уровня** внутреннего *поля* света Наука великой Цивилизации называет **формовщиками** [1].

Каждый из слоёв - уровней пульсирует по амплитуде между соседними равновесными состояниями, формируя фундаментальное отношение потенциальной и кинетической энергии в Природе, равное 2 : 1 (табл.7.14).

Таблица 7.14

### Формирование потенциально-кинетических отношений (2:1) в Природе пульсаций света

Формировщики	Уровень в поле света	Возмущённая среда	Внутреннее поле света
	$1 \pm 1$	$\begin{array}{c} +2:1 \\ \Leftrightarrow \\ 1/2 \end{array} \int_{1-1}^{1+1} \varphi d\varphi = 2$	$2^2 + 4^2 + 6^2 + 8^2 = 1 \cdot 2 \cdot 3 \cdot 4 \cdot 5$ резонанс
	$2 \pm 1$	$\begin{array}{c} +2:1 \\ \Leftrightarrow \\ 1/2 \end{array} \int_{2-1}^{2+1} \varphi d\varphi = 4$	$1+2+3+4 = 10 \equiv \rho_5$ Круг Универсум
	$3 \pm 1$	$\begin{array}{c} +2:1 \\ \Leftrightarrow \\ 1/2 \end{array} \int_{3-1}^{3+1} \varphi d\varphi = 6$	$\frac{2^2 + 4^2 + 6^2 + 8^2}{1 + 2 + 3 + 4} = \frac{120}{10} = 12 \equiv T_o \tau$ знаки Зодиака
	$4 \pm 1$	$\begin{array}{c} +2:1 \\ \Leftrightarrow \\ 1/2 \end{array} \int_{4-1}^{4+1} \varphi d\varphi = 8$	$(4 - 1 = 3)^2 + 4^2 = (4 + 1 = 5)^2$ Священный треугольник.



Поле **формовщиков**, то есть антирезонансное внутреннее поле света с потенциалом  $1+2+3+4 = 10$ , возмущает окружающую среду ядерного вещества и создаёт резонансный потенциал ядерного вещества:

$$2^2+4^2+6^2+8^2 = 120 = 1 \cdot 2 \cdot 3 \cdot 4 \cdot 5 \text{ (табл.7.14).}$$

Отношение резонансно - антирезонансных потенциалов ядерного вещества формирует поле  $T_0 \cdot \tau = 12$ , эквивалентное числу 12-ти знаков Зодиака (табл.7.14).

**Внутренние поля кванта света**, которые формируют **инверсионно** пульсирующее Кундалини, описаны в **Откровениях пропорциями Круга Универсума** ([5], табл.7.14).

Четвёртый энергетический уровень, максимальная амплитуда которого выводит квант света в поле **пятеричной связи (Пятеричный Лха - уровень)**, выделялся Наукой великой Цивилизации как **Священный Треугольник** со сторонами 3, 4 и 5.

Такой почёт **Пятеричному Лха - уровню** был оказан потому, что появление внешней пятеричной связи приводило к **динамическому равновесию всей энергетической системы внутреннего поля Капли ядерного вещества** ( $5^2 = 4^2 + 3^2$ , табл.7.14).

## 7.8 Свет, вода и число сатаны

Оболочка кванта света с потенциалом 6 тоже пульсирует по амплитуде между двумя равновесными состояниями ( $6 \pm 1$ ), возмущая окружающую среду (табл.7.15).

Вместе с Кундалини пульсируют и соседствующие с ней энергетические уровни (табл.7.15).

Таблица 7.15

**Пульсация Кундалини и соседних с ней уровней**

Уровни	Пульсация излучателей	Возмущение среды	Характеристика полей
Пятеричный Лха	$5 \pm 1$	$\begin{matrix} +2:1 \\ \Leftrightarrow \\ 1/2 \end{matrix} \int_{5-1}^{5+1} \varphi d\varphi = 10$	$\rho_5$ - эффективность света
Кундалини	$6 \pm 1$	$\begin{matrix} +2:1 \\ \Leftrightarrow \\ 1/2 \end{matrix} \int_{6-1}^{6+1} \varphi d\varphi = 12$	$T_o \cdot \tau$ - Знаки Зодиака
Семеричный Лха	$7 \pm 1$	$\begin{matrix} +2:1 \\ \Leftrightarrow \\ 1/2 \end{matrix} \int_{7-1}^{7+1} \varphi d\varphi = 14$	$8\sqrt{\mu\mu^*}$ - магнит
Суммы	$18 \pm 3$ Вода $\equiv$ Жидкая плазма	36 Свет	$\frac{1+36}{2} \cdot 36 = 666$ Число Сатаны.

Пульсация Кундалини возмущает окружающую среду, и потенциал среды становится равным 36. Появляется новый **поверхностный** квант света, объём которого заполняется по последовательно возрастающим 36 уровням, сумма которых равна сумме арифметической прогрессии с **Числом Сатаны** (табл.7.15).

**Повторяю ещё раз: Число 666 оболгали, чтобы мы, ныне живущие, не поняли Законов Космоса.**

Пульсация Кундалини и соседствующих с ней уровней - Лха даёт суммарный потенциал-эквивалент равный молекулярному весу воды (табл.7.15). **Жизнь зарождается в воде потому, что переход к Жизни в жидких средах не требует от Кундалини затраты собственной энергии.** Наоборот, черпая Тонкую Энергию **самосуших волн Космоса**, Кундалини **передаёт её Жизни в жидких средах**, создавая в этих средах интегральную разность потенциалов, равную 108 реинкарнациям по Буддизму (табл.7.16, табл.7.15).

В то же время пульсация энергетических уровней в полях формовщиков (табл.7.14) формирует постоянную медитации, равную 80 (табл.7.16).

Разность между числом реинкарнаций и постоянной медитации даёт потенциал гравитации (табл.7.16).

Таблица 7.16

### Испытание Кармой Мысли

Поля	Формировщики (табл.7.14)	Кундалини (табл.7.15)
Суммарные потенциалы	$(1\pm1)+(2\pm1)+(3\pm1)+(4\pm1)$ $10 \pm 4$	$(5\pm1)+(6\pm1)+(7\pm1) =$ $18 \pm 3$
Потенциалы	$\int_{10-4}^{10+4} \varphi d\varphi = 80$ постоянная Чакр	$\int_{18-3}^{18+3} \varphi d\varphi = 108$ число реинкарнаций
Гравитация	$108 - 80 = 28 \equiv 4\sqrt{\rho\rho^*} \equiv \text{Мысль в теле.}$	

Преодоление гравитационным полем заряда мысли и есть от **ИСПЫТАНИЕ Кармой**, которое является **нашей Судьбой**, как и Судьбой любого иного Носителя Разума на пути Эволюционного перехода от Ману-Мыслителя к Человеку Воли и Йоги.

## 7.9 Субструктура (9+0) в полях Тонкой Энергии

Достигнув квадрата величины начального потенциала (переход от  $\tau$  к  $\tau^2 = 9$ ) поле Арупы продолжает пульсировать, затрагивая соседние уровни - Лха (табл.7.17).

Достигнув квадрата Арупы, то есть  $\tau^3 \equiv (9+0)$ , энергетическое поле **начинает формировать субструктуру живой материнской биоклетки** (табл.7.17).

Таблица 7.17

### Пульсация субструктуры (9+0) в поле Свечения $\tau^3 \equiv 27$

Поля Уровни	Пульсирующий уровень	Возмущенная среда	Сумма
Святого Духа	$8 \pm 1$	$\begin{matrix} 2:1 \\ \Leftrightarrow \\ 1/2 \end{matrix} \int_{8-1}^{8+1} \varphi d\varphi = 16$	$24 \pm 1$
Свечения Тонкой Энергии	$9 \pm 1$	$\begin{matrix} 2:1 \\ \Leftrightarrow \\ 1/2 \end{matrix} \int_{9-1}^{9+1} \varphi d\varphi = 18$	$24 \pm 1$
Чакра Третий Глаз	$10 \pm 1$	$\begin{matrix} 2:1 \\ \Leftrightarrow \\ 1/2 \end{matrix} \int_{10-1}^{10+1} \varphi d\varphi = 20$	$24 \pm 1$
Суммы	$27 \pm 3$	$54 \equiv 108 \int_0^1 \varphi d\varphi$ 108 реинкарнаций	$81 \pm 3$ $81 \pm 3$

В энергетических полях Вселенной с потенциально-кинетическим отношением **2 : 1** и обратным отношением с потенциалом Дзиан, равным **1 : 2**, возникает поле Свечения Тонкой Энергии с потенциалами  $\pm(81 \pm 3)$ .

Это поле (табл.7.17) размещается в объёмах трёхмерного пространства с координатами:

$$\pm \{[(x=3) \cdot (y=3) \cdot (z=3) \cdot (\tau=3) = 81] \pm 3\}. \quad (7.91)$$

Причём поле  $\pm 81$  подробно описано в **Книге Перемен**, а поле  $\pm 3$  (7.91) есть не что иное как **Абсолют**, описанный Пифагором как **Тетрактис** [3], а в Каббале как **тетраграмматон** [3].

Расшифровку этих полей (7.91) я уже давал ранее с позиций эффективности взаимодействий света, поэтому добавлю лишь одно: 16 и 20 в таблице 7.17 являются результатом чётно-нечётных переходов, формирующих свет.

$$\begin{array}{r} 1 + 3 + 5 + 7 = 16 \\ 2 + 4 + 6 + 8 = +20 \\ \hline 36 \end{array} \quad (7.92)$$

\*\*

## 7.10 Энергетика пульсации при митозе биоклетки

Важнейшим этапом **Зачатой в поле Арупы Жизни**, чувствующей и вне Формы, является её **Размножение в Биологической Жизни**.

Простейшей формой размножения Жизни Белковых тел является **митоз** (деление пополам) **субструктуры (9+0) живой клетки**.

Причём митоз сопровождается пульсацией прилегающих **уровней - Лха** (табл.7.18).

Субструктура  $(9+2) = 11$  возникает как следствие появления резонансного потенциала, равного отношению (табл.7.18):

$$99 : (\pm 3) = \pm 11 \equiv \pm (9+2). \quad (7.93)$$

Тонкая Энергия среды самосущих волн Космоса Невесомости будет поступать через восьмигранник микро-трубочки (рис.7.3) в поле биоклетки (табл.7.18):

$$\frac{660 \overset{\circ}{A}}{66} = 10 \overset{\circ}{A} \equiv 10 \equiv \rho_5. \quad (7.94)$$

Таблица 7.18

**Энергетика пульсации при митозе биоклетки**

Поля Уровни	Пульсация уровней (Лха)	Пульсация воз- мущенной среды	Суммы
Третий Глаз (телепатия)	$10 \pm 1$	$\begin{matrix} 2:1 \\ \Leftrightarrow \\ 1/2 \end{matrix} \int_{10-1}^{10+1} \varphi d\varphi = 20$	$30 \pm 1$ Третий Глаз
Информатика: Зубы Авраама	$11 \pm 1$	$\begin{matrix} 2:1 \\ \Leftrightarrow \\ 1/2 \end{matrix} \int_{11-1}^{11+1} \varphi d\varphi = 22$ Зубы Авраама	$33 \pm 1$
Свет и Святой Дух	$12 \pm 1$	$\begin{matrix} 2:1 \\ \Leftrightarrow \\ 1/2 \end{matrix} \int_{12-1}^{12+1} \varphi d\varphi = 24$ Святой Дух	$36 \pm 1$ Свет
Суммы	$33 \pm 3$	66 К восьмиграннику (рис.7.3)	$99 \pm 3$ $99 \pm 3.$

Попадая через микротрубочку поры ядра биоклетки, Тонкая Энергия переходит из Арупы Космоса Невесомости в жидкие среды цитоплазмы клетки, то есть поля Рупы, где процессы пульсации продолжаются.

Эллипсоидальная поверхность с потенциалом  $\tau^\tau$  и находящаяся в ней среда с молекулярным весом  $18 \equiv \text{Mn}_2\text{O}$  продолжают пульсировать с периодичностью  $\tau = 3$ , а свет с периодичностью  $T_0 = 4$ .

Ветвь Кундалини расширения, сжатая в спираль в 3,5 оборота, расширяется в 100 раз (табл.7.19).

**Клетка: формирование Рупы Тел Арупой Свечения**

Поля	$\tau^{\tau} \pm \tau$ Арупа	$M_{H_2O} \pm \tau$ Вода	$\rho_5 \cdot \pm T_o$ свет	Сумма
Потенциалы сред	$\int_{27-3}^{27+3} \varphi d\varphi = 162$	$+ \int_{18-3}^{18+3} \varphi d\varphi = 80$	$+ \int_{10-4}^{10+4} \varphi d\varphi = 10 \times =$	350
Сущность полей	Отсчёт времени: $13^2 - 162$ $= 7 \equiv T_o + \tau$	Постоянная чакр и Все- ленной: $\rho_5 \cdot T_o c / \omega_o = 80$	Число реин- карнаций по Буддизму	Увеличенная в 100 раз Кундалини.

Всеобъемлющая вездесущность полученных результатов требует от Носителя Разума Знаний Законов Космоса.

\*  
\*\*

### 7.11 Пульсация биочасов клетки. Бог Времени Кронис

**"28. Из капель пота, из отложений субстанций, из материи мёртвых тел людей и животных прежнего колеса, и отбросов праха произошли первые животные" ([1], Антропогенезис).**

У первых животных были ауэкаратические биоклетки с ядром. В поре ядер была микротрубочка из табулина и тринадцатую субъективностями - волосками - нитями. Каждая клетка имела биочасы. Биочасы пульсировали (табл.7.20).

Таблица 7.20

**Пульсация биочасов Клетки**

Поля Уровни	Уровни (Лха)	Среда (Лхасы)	Сумма
Арупа - Рупа в поле света	$12 \pm 1$ $T_0 \cdot \tau$ - Арупа-Рупа	$\int_{12-1}^{12+1} \varphi d\varphi = 24$ Святой Дух	$36 \pm 1$ Свет
Пульсация сороковицы	$13 \pm 1$ Календарь Майи	$\int_{13-1}^{13+1} \varphi d\varphi = 26$ Зубы Авраама	$39 \pm 1$ Сороковица
Душа живого магнита	$14 \pm 1$ Магнетизм	$\int_{14-1}^{14+1} \varphi d\varphi = 28$ Гравитация	$42 \pm 1$ Свет
Суммы	$39 \pm 3$	78	$117 \pm 3$ $117 \pm 3.$

В полях пятеричной связи с потенциалом 55 и поля резонансного света ( $117+3 = 120$ ) (табл.7.20) появляется Древнегреческий Бог Времени Кронис [5]:

$$\text{Кронис} \equiv 55 + 120^2 = 55 + 14400 = 14455. \quad (7.95)$$

В случае живых магнитов с разностью потенциалов, равной:

$$\int_{117-3}^{117+3} \varphi d\varphi = \int_{114}^{120} \varphi d\varphi = \frac{1}{2}(14400 - 12996) = 702. \quad (7.96)$$

Антирезонанс разделит эти поля:  $702 = 700+2$ , а новый резонанс создаст магнитное поле и Кундалини (7.96):



Кундалини и Продолжительности			
Режим	Антирезонанс	Резонанс	
Потенциалы	$702 = 700 + 2$	$700/2 = 350$	$700 \cdot 2 = 1400$
Форма Энергии	Кундалини во взаимодействии (табл.7.13)	100 спиралей расширения Кундалини	Магнетизм: $1400 \equiv$ $\sqrt{\mu\mu^*} \rho_5$ .

(7.97)

\*\*\*

## 7.12 Перестройка субструктур клеток при переходе Ману-Мыслителя к Человеку Воли и Йоги

Свет трансформирует и Арупу самосущих волн вечной тьмы и Рупу живых магнитов. Трансформирует Всегда, Везде, во Всём.

В трансформации участвует внутреннее антирезонансное поле света с потенциалом

$$1+2+3+4+5 = 15. \quad (7.98)$$

Это внутреннее антирезонансное поле света пульсирует, затрагивая соседние уровни - лха и возмущенные среды - лхасы ([1], табл.7.21).

**"4. Сказал Он Святым: "Соберите своих хозяев и сделайте жилища, достойные Ангелов Голоса. Они проведут новорожденных Сынов воли и Йоги по открытой мною тропе, чтобы они смогли заселять огненную Красную Звезду, новой расой" ([2], Теогенезис. Станца IX, табл.7.21).**

Таблица 7.21

## Пульсация внутреннего поля света

Поля Уровни	Уровни (Лха)	Среда (Лхасы)	Сумма
Ангелы Голоса	$14 \pm 1$ Живой магнит	$\begin{matrix} 2:1 \\ \Leftrightarrow \\ 1/2 \end{matrix} \int_{14-1}^{14+1} \varphi d\varphi = 28$ Гравитация	$42 \pm 1$ Душа
Сыны Ангелов Голоса	$15 \pm 1$ Внутреннее поле света	$\begin{matrix} 2:1 \\ \Leftrightarrow \\ 1/2 \end{matrix} \int_{15-1}^{15+1} \varphi d\varphi = 30$ Сине-голубая область	$45 \pm 1$ Эквивалент $\pi/4 \equiv c/T_o$
Новая раса: взаимодействия Святого Духа	$16 \pm 1$ Живой биоток	$\begin{matrix} 2:1 \\ \Leftrightarrow \\ 1/2 \end{matrix} \int_{14-1}^{14+1} \varphi d\varphi = 28$ Цинь	$48 \pm 1$ Свет
Суммы	$45 \pm 3$	90	$135 \pm 3$ $135 \pm 3$

В поле, открытым для нас Создателем Красной Звезды, возникает интегральная разность, равная:

## Интегральная разность в поле Красной Звезды

$$\int_{135-3}^{135+3} \varphi d\varphi = \int_{132}^{138} \varphi d\varphi = \frac{1}{2} \cdot 16200 = 8100 \equiv (9+0)^2 \cdot 100. \quad (7.98)$$

В поле Красной Звезды, куда Создатель приведёт наших потомков, то есть **людей Воли и Йоги**, энергетика биоклетки изменится.

Биоклетка пройдёт путь Эволюции от прокариотической (без ядра, как у низших растений), через ауэкариотическую (с ядром, как у животных и людей сегодня), а затем станет би-структурой с потенциалом  $9^2 \cdot 10^2$  (7.98).

Биструктурная клетка обитателей - Жителей красной Звезды, в том числе и наших потомков: людей Воли и Йоги, - будет пульсировать в резонансно-антирезонансном режиме (табл.7.22).

Таблица 7.22

**Пульсация биструктурной клетки на красной Звезде**

Режим		Антирезонанс	Резонанс	Отношение потенциалов	Среда (табл.7.21)
Колебания		$[(9+0) \Leftrightarrow \pm(9+0)] \times 10$	$(9+0) \cdot 10 \Leftrightarrow \frac{1}{(9+0) \cdot 10}$		$\int_{45-3}^{45+3} \varphi d\varphi \equiv$ $540 \equiv$ $18 \cdot 36 \equiv$ $120 \cdot 4,5.$
Потенциалы	max	$2 \cdot (9+0) \cdot 10 = 180$	$9^2 \cdot 10^2 = 8100$	$8100:180 = 45$	
	min	0	$9^{-2} \cdot 10^{-2}$	$\infty$	

Среда, а это цитоплазма биоклетки, пульсируя, создаёт интегральную разность, равную 540 (табл.7.22). Эта разность эквивалентна  $18 \cdot 36$  и  $120 \cdot 4,5 = 540$ , где 18 - эквивалент молекулярному весу воды, 36 - поверхности Кундалини в квадрате, 120 - потенциал внутреннего поля света при резонансе.

Вместе с тем потенциал 4,5 (табл.7.22) является потенциалом перехода **между Рупой** ( $T_0 = 4$ ) и энергией **Пятеричной Связи** в пульсирующем Космосе:

$$\left( \int_0^1 \varphi d\varphi = \frac{1}{2} \right) + 4 \equiv 4,5 \equiv 5 + \left( \int_1^0 \varphi d\varphi = -\frac{1}{2} \right). \quad (7.99)$$

## **7.13 Звёздные мелодии Тропы в Теогенезис**

**Тропа**, по которой Создатель выводит нас, хищных и пушистых Ману-Мыслителей, к Теогенезису **Красной Звезды Людей Воли и Йоги**, подобна **Музыке Ангелов Голоса**.

**"3. Он зашагал от малых Огней к Свету, и с каждым своим шагом наступал на очередную Звезду, а та издавала звуки нежнейшей мелодии. Он подходил всё ближе и ближе и звуки сливались в триумфальную песню.**

**4. Наконец, достигнув самого верха, Он остановился и наклонился, чтобы услышать песню, которую далеко внизу, под Его ногами, и звёзды пели теперь ясно и громко.**

**5. Когда-то Тёмная Звезда сейчас сверкала блеском, отразившимся от Его лица, и абсолютно ясно Он слышал мелодии, дотоле состоявшие лишь из тихих звуков печали и боли"** ([2], Теогенезис, Станца VII).

Так описывала десятки миллионов лет назад великая Цивилизация эволюционный переход от Ману-Мыслителя (Ангела Голоса - обладателя речи) к Человеку Воли и Йоги (обладателя телепатическими способностями обмена информацией), для которого чужие мысли звучали ясно и громко, как мелодии Звёзд.

Вёл род людской времён великой Цивилизации **Сын Могуущественного на Белой Лошади** [2].

Вёл до тех пор, пока люди не научились ясно и чётко различать своих врагов. Различать и принимать адекватные меры самозащиты, а не подставлять левую и правую щёки для битья.

Великая Цивилизация описывает **Сына Могущественного на Белой Лошади** так: **"...Некто, облачённый в одежды, сверкающий, как иней на солнце, величественный, суровый лицом, но тихим голосом"** ([2], Теогенезис, Станца VII)

А зачем Ему надо было кричать во весь голос, если Он обладал телепатией?

В наши времена такой телепатией обладал Иисус Христос. Он продемонстрировал Свои телепатические способности, продиктовав Святому Иоанну **"Откровения"**. Продиктовал после того как был распят и **Вознёсся**. Продиктовал с Неба. Апостол Иоанн находился на Земле. Римский император Доминиан сослал Иоанна и Богородицу на остров Патмос в Эгейском море [5].

По каналам телепатической связи с Неба на Землю Иисус диктовал, а Иоанн записывал фразы - шифрограммы, а затем **строил фигуры, то есть переходил к описанию методом векторной математики** [5].

\*\*

Пытаясь сохранить **убожество мысли угнетённых масс**, закулиса во власти, исподволь, но упорно, подбрасывает Мысль, что **Откровения** были найдены за тысячелетия до рождения Христа.

В этой сложной ситуации надо понимать, что одно не исключает другое. Была и диктовка Иисусом, были и схожие с **Откровением** тексты до Иисуса, ибо **Откровения** лишь малая часть Высокой Науки великой Цивилизации.

\*\*

В любом деле важно понимать **Сущность Процесса**. Сущность первична. **Любой способ описания**: словом, числом, музыкой, буквой... - **вторичен**. Но **наша недоросль - цивилизация** вторичное принимает за первичное, а наши академики ищут Начала Мироздания в способе описания этого Мироздания. Дуют, кто во что горазд, создавая **мыльные пузыри Иллюзий**.

\*\*

Нашей науке давно известно, что отношение потенциальной энергии к кинетической равно  $2 : 1$ . Но как только она столкнулась с обратным отношением  $1 : 2$ , названным Дзиан - Дробью, то академический официоз, как и служители религий Запада объявили Эзотерику лженаукой и лжерелигией. Почему? Да по **своей агрессивной глупости**, которая присуща любой дурости под любыми одеждами.

\*\*

А, "**Некто, облачённый в одежды, сверкающей как Иней на солнце**" [2] являет собой не описание униформы Бога, а описание процесса потенциально-кинетических переходов в условиях эндо (Иней) - экзо (на солнце) термии (табл.7.23).

Пульсация точечного участка волны света **при расширении** влечёт за собой охлаждение и вызывает **эндо-термию слабых взаимодействий** и потенциал, равный 0,2 (табл.7.23).

**Потенциально-кинетическая пульсация точечного участка волны света в слабых (Иней) и солнечных взаимодействиях ( $\rho_5 = 10$ )**

Состояние поля	Терморавновесие		Термо-неравновесие	
<b>Иней на солнце</b>	<b>Взаимодействия</b>	<b>Дзиан</b>	<b>Эндо - (иней)</b>	<b>Экзо - (солнечный)</b>
	$\frac{c}{\omega_0} = \frac{2}{1}$	$\Leftrightarrow \frac{1}{2} = \frac{\omega_0}{c}$	$\frac{c}{\omega_0} \rho_2 = 0,2$	$\Leftrightarrow 5 \equiv \rho_5 \frac{\omega_0}{c}$
	<b>Расширение</b>	<b>Сжатие</b>	<b>Расширение</b>	<b>Сжатие.</b>

**Сжатие** точечного участка волны света с потенциал-эквивалентом **Дзиан** ( $1/2$ ), вызывает **экзотермию синтеза** в области Космогенезиса, Антропогенезиса и Теогенезиса [1, 2]. Появляется потенциал, равный пяти (табл.7.23).

Формируются **пять форм взаимодействий**: гравитационное, слабое, электромагнитное, ядерное и света. В поле субстанции Вселенных синтезируется **пять фазовых состояний вещества**: волновой эфир света, газы, жидкости, твёрдые тела и жидкая плазма ядерного вещества (Эта периодическая система описана Русскими Рунами [4]).

На основе **дифференциации фазовых переходов**, в конечном счете, формируется **эндотермия Космоса Невесомости** и **экзотермия сгустков ядерного Звёздного вещества Космоса гравитации**.

Формирование Космоса Невесомости ограничено **эндотермическими взаимодействиями**  $\rho_1 \rho_2 = 10^{-25}$ , а сгустков Космоса Звёздной **гравитации взаимодействиями**  $\rho_3 \rho_4 \rho_5 = 10^{+27}$ . Причём логарифмические волны, возникающие на периферии взаимодействий, будут трансформировать одну форму энергии в другую с периодичностью вращения точечного участка волны света (табл.7.24).

**Энергетическое поле Космоса Невесомости и сгустков**  
(табл.7.23)

Системы	Терморавновесие		Термо-неравновесие	
Поля	Космос Невесомости	Звёздные сгустки	Космос Невесомости	Звёздные сгустки
Процесс	Расширение	Сжатие Дзиан	Эндо-термия	Экзо-термия
Потенциалы	$\frac{2}{1}T_0 \frac{c}{\omega_0} = 16 \Leftrightarrow \frac{1}{2}T_0 \frac{\omega_0}{c} \equiv 1$ $\pm 16 \Leftrightarrow \pm 1$		$16 \cdot \lg \rho_1 \rho_2 = 16(-27) = -400$	$1 \cdot \lg \rho_3 \rho_4 \rho_5 = 1(+27) = +27$
Сущность	Электричество	Равновесие	Свабхават О	Свечение Тонкой Энергии.

Пульсация этих полей (табл.7.24) формирует Небеса-Циннь:

$$\pm[16 \cdot 27 - 400] = \pm 32 \equiv \pm \text{Цинь}. \quad (7.100)$$

В свою очередь Небеса-Циннь пульсируют с частотой 50, обожествлённой иудеями как **Всесущий Бог Айн СОФ** [3].

Если перевести **еврейскую каббалистическую абракадабру на могучий русский язык**, то мы столкнёмся с процессом взаимодействия Небес-Цинь с Космосом:

$$\pm 32 \cdot \left[ 50 \equiv \lg \frac{\rho_3 \rho_4}{\rho_1} \equiv \frac{10^{12} \cdot 10^{14}}{10^{-24}} = 10^{50} \right] = \pm 1600. \quad (7.101)$$

Возникнут **электрические разноимённые заряды - импульсы** (7.101):

$$\pm 1600 \equiv \pm \sqrt{qq^*} \cdot (\rho_5^2 = 10^2). \quad (7.102)$$



Электрические заряды сожмут цис-транс изомерические Небеса-Цинь до сгустка Тянь:

$$\frac{\pm 1600}{\pm [32 - (-32)]} = 25 = \frac{\pm 1600}{\pm 64} \quad (7.103)$$

Цинь	Кундалини	Тянь
------	-----------	------

Появляется спираль Кундалини в 2,5 оборота спирали сжатия, обладающая эффективностью, равной

$$2,5 \cdot \rho_5 = 2,5 \cdot 10 = 25 \quad (7.103)$$

Появится **Пентаграмма в Яйце**. А теперь ответьте: Зачем России еврейский Бог? Тем более ветхий.

## 7.14 Энергетика Красной Планеты Теогенезиса

**Сгусток света** поглощает каждой Каплей лазерного ядерного вещества **самосушие волны вечной тьмы метagalактики**.

Накопление энергии метagalактических волн в Капле ядерного лазерного вещества описывает Космогенезис ([1], Станца II, пункты 1-6). Энергия накапливалась.

**"3. Час ещё не пробил; Луч ещё не проник в Зародыш; Матрипадма ещё не набухла.**

**4. Сердце Её ещё не раскрылось для привхождения Единого Луча, чтобы потом низвергнуть его как Три в Четыре, в недра Майи.**

**5. Семеро ещё не родились из Ткани Света. Едина Тьма была Отцом - Матерью, Свабхават; и Свабхават было во Тьме".**

Так обстояло дело с метagalактическими волнами, поглощенными Каплей лазерного ядерного вещества.

Но в **ядерной Капле** уже шёл процесс распределения энергетических потоков - вихрей на потенциальную и кинетическую энергию:

**"6. Эти двое и есть Зародыш, и Зародыш Един. Вселенная была ещё сокрыта в Божественной Мысли ( $\rho^* = 28 \cdot 10^{20}$ ) и Лоне Божественном".**

Этот текст описывает динамику формирования ядер: Капель лазерно-звёздного вещества.

\*  
\*\*

Любая Капля - ядро подчиняется законам Космоса:

**1. Потенциал точки излучения всегда в два раза меньше разности квадратов потенциалов в окружающей излучатель среде.**

**2. Насыщение Капли ядерного вещества сопровождается излучением цис-транс изомерических полярных вихрей с потенциалом 21.**

**3. Полученные вихри с потенциалом 21 в живом биологическом формируют биоткани пульсирующих субструктур биоклетки:  $21 \equiv 5 \Leftrightarrow +7 \Leftrightarrow (9+0)$ , а также 42 Божества в Сердце живого, то есть Душу.**

\*  
\*\*

Насыщение пульсирующей Капли ядерного вещества, например, в форме наших сердец, можно подсчитать по энергетическим уровням (Лха): от 1 до 21, и разностям квадратов потенциалов сред: Лхасам (табл.7.25).

Единство Материи и Тонкой Энергии Космоса состоит в его синхронной пульсации с пульсацией ядерной Капли микро и макро миров живого и неживого.

Нарушение синхронности в неживом вызывает его **разрушение, то есть смену асинхронных форм энергии на синхронные**: нарушение синхронности в живом влечёт за собой болезнь и гибель нарушивших синхронность представителей флоры и фауны.

Таблица 7.25

**Пульсация Капли ядерного вещества,  
в том числе 42 Божества Сердца**

Колёса	Поля	I	II	III	IV	V	VI	VII	Сум- мы	Оболочки
малое	Уровни: Лха	1	2	3	4	5	6	7	28	<b>Лха</b> (77–28)+ (126–77)= 2 · 49
	Среда: лхасы	2	4	6	8	10	12	14	56	
сре- дин- ное	Уровни: Лха	8	9	10	11	12	13	14	77	<b>Лхасы:</b> (154–56)+ (252–154)= 4 · 49.
	Среда: лхасы	16	18	20	22	24	26	28	154	
низ- шее	Уровни: Лха	15	16	17	18	19	20	<b>21</b> излуч	126	
	Среда: лхасы	30	32	34	36	38	40	<b>42</b> душа	252	

Наука великой Цивилизации настойчиво говорит нам о 42 Божествах в Сердце Человека (табл.7.25). Этим подчёркивается, что **наше сердце - это Живая Ядерная Капля, жидкой плазмой которой является наша красная кровь.**

\*\*

Кровь, как жидкая плазма Капли ядра - Сердца, протекает по нашему организму по системе капилляров, вен, аорт и так далее.

На любом из уровней системы кровоснабжения есть **Лха** и **Лхасы**: Лха - это сама жидкая красная кровь, Лхасы - это поверхности капилляров, вен, аорт и так далее.

Поток крови и прочность стенок - поверхностей элементов системы кровоснабжения связан с разностью их потенциалов (табл.7.25):

$$\text{Лха} + \text{Лхасы} = 2 \cdot 49 + 4 \cdot 49 = 6 \cdot 49 \equiv (3,5 + 2,5) \cdot 49. \quad (7.104)$$

Возникает **оболочка** пульсирующей Кундалини (7.104). Причём отношение энергий  $L_{\text{хас}}$  и  $L_{\text{ха}}$  в условиях фотосинтеза, то есть взаимодействий солнечного света будет равно:

$$\rho_5 \cdot \frac{L_{\text{хасы}}}{L_{\text{ха}}} = 10 \cdot \frac{4 \cdot 49}{2 \cdot 49} = 20 \equiv \frac{\Delta K = 1400 \overset{\circ}{A}}{\Delta \mathcal{K} = 70 \overset{\circ}{A}}. \quad (7.105)$$

Таким образом, если Ману-Мыслитель попадёт на Красную Звезду, то Энергия - эквивалент  $\Delta K = 1400$  будет энергией окружающей среды.

\*\*

**Атмосфера на Красной Планете будет являться питательной средой и заменит живому материальную пищу тогда, когда между атмосферой планеты и биомолекулярной структурой ДНК и РНК наступит равновесие.**

Сравним сегодняшние структуры ДНК и РНК с теми, какими они должны стать на красной Планете:

Эволюция ДНК и РНК при переходе к Теогенезису			
Планеты		Сегодняшняя Земля	Красная Планета
Диаметры	ДНК	$d_{\text{ДНК}} = 2 \text{ \AA}$	$d^*_{\text{ДНК}} = 2 + \int_0^1 \varphi d\varphi = 2,5 \text{ \AA}$
	РНК	$d_{\text{РНК}} = 4 \text{ \AA}$	$d^*_{\text{РНК}} = 4 + \int_1^0 \varphi d\varphi = 3,5 \text{ \AA}$

(7.106)

При достижении этих параметров (7.106) возникает равновесие между атмосферой Красной планеты и живым биоорганизмом:

Питательная атмосфера Красной Звезды		
Среды	Атмосфера	Биоорганизм
Потенциалы	$\Delta K = 1400 \text{ \AA} = 1400 =$ $50 \cdot 28$	$\rho_3^3 \frac{3,5 \overset{o}{A}}{2,5 \overset{o}{A}} = 1400 =$ $50 \cdot 28 = \rho_5.$

(7.107)

В этом случае у живого молекулярная структура полностью согласуется с параметрами спиралей сжатия (2,5 оборота) и расширения (3,5 оборота) Кундалини (7.107).

Сейчас у живого на Земле такого согласования среды и внутреннего биологического поля живого ещё нет (7.106). Но Земля вращается и уплотняется. Вместе с уплотнением Земли происходит уплотнение наших молекулярных биологических структур. Предел уплотнения описан в Теогенезисе ([2], Станца III, п.3):

**"3. На Ободе Колеса, где живут Сыновья Огня и пламени не будет больше места для огромных тварей и ползучих гадов.**

**Полевые животные и птицы воздушной стихии встретятся и разойдутся с миром, и те, и другие будут питаться пурпурным зерном, даром полученным прямо из рук Богов. Все растения, произрастающие под корой Колеса отныне окажутся под запретом, и человек будет жив не грубой пищей, а силой своей Воли"**

**\*\***

**Мы, ныне живущие на Земле, мешаем Земле уплотняться и стать Красной Планетой.**

Мы, люди, **роемся в Недрах Земли**. Откачиваем нефть, газы. **Закачиваем отходы** (в том числе радиоактивные) **"безотходных"** технологий и так далее. Более того, **своими грязными мыслями** мы изменяем ноосферу Земли, **калеча Тонкую Энергию Души** нашей Матери - Бхутто (Земли). А во имя Чего?

Во имя "идеалов" общества потребления. Идеологическая **закулиса** общества потребления загадила душу человеческого социума алчностью. Алчность выкачивает соки Земли и опошляет души людей на Земле во имя фетиша золотого тельца, кумира бродяг в пустыне.

Воистину **жалкая цель с великими Жертвами**.

### 7.15 Фетиш к Красной Звезде Теогенезиса

*Ядро - Капля* подготовилось к излучению, когда достигло потенциалов 21 и 42 (табл.7.25).

Само излучение будет протекать в условиях резонансно-антирезонансного режима и будет сопровождаться поглощением излучённого кванта окружающей средой.

Отношение потенциалов квантов излучения и поглощения даст потенциал гравитации, равный  $28 = \sqrt{\rho\rho^*}$  и эквивалентный Божественной Мысли, питающей энергией Всё Сущее (табл.7.26).

Таблица 7.26

#### Излучение ядром - поглощение средой

Процесс	Излучение Капель - Ядром	Поглощение средой	Источник питания: Метагалактика
Потенциалы	$\frac{21 \cdot 42}{42 - 21} \equiv 42$	$\frac{42^2 - 21^2}{42 \cdot 21} = \frac{1323}{882} \equiv 1,5 \equiv 3/2$	$\frac{42}{1,5} \equiv 28$
Физическая Сущность	Душа	Полтора оборота Колеса ([2] Станца III)	Мысль Создателя $28 \equiv \sqrt{\rho\rho^*}$ .

**"Когда Колесо сделает полтора оборота, Искры воплотятся в плодах, дотоле человеку неизвестных. И ребёнок, и взрослый человек вкусит этих плодов, и, к удивлению Богов слова мудрости слетят с его губ" ([2] Станца III, п.3. Теогенезис).**

\*  
\*\*

Физическая Сущность Слова - Звука является подобием любого излучения, возмущающего окружающую среду. Это подобие колебаний показано в таблице 7.26. Космогенезис описывает процесс излучения в Станце III, п.1 и п.2.:

**"1. Последний Трепет Седьмой Вечности дрожит в Бесконечности. Мать набухает, распространяясь изнутри наружу, подобно почке Лотоса".**

После релаксационных колебаний точка - излучатель на поверхности Капли Ядра достигает квадрата первоначальной величины (табл.7.26):

$$\text{Точка - излучатель: } 42 \cdot 1,5 \cdot 28 = 42^2. \quad (7.108)$$

**"2. Трепет распространяется, касаясь своим стремительным Крылом всей Вселенной и Зародыша, пребывающего во Тьме. Тьме, которая душит над дремлющими Водами Жизни":**

Дремлющие воды Жизни:  $42^2 \equiv 18 \cdot (100 - 2)$ , где 18 - эквивалент молекулярному весу воды, а  $2 \equiv m_{cs} + E_{\lambda c}$ . Поэтому стоит волне - частице света попасть в дремлющие воды Жизни, как эти воды станут **Водами, плодоносящими Жизнь.**

\*  
\*\*

**Сказанное Слово подобно зачатой Жизни; ибо Слово несёт информацию подобно тому, как сперматозоид несёт информатив геномов наследственности (табл.7.26):**

<b>Подобия информатива Души и Геномов</b>		
Поля	Душа в Арупе Космоса	Периодическая система геномов в сперматозоиде
Потенциалы	$42 \cdot \tau \cdot \left( \pm \int_0^1 \varphi d\varphi \right) \equiv$ $\pm 42 \cdot 3 \cdot 1/2 \equiv \pm 63,$ <p>где 63 - максимальный потенциал в Периодической Системе Геномов</p>	$\pm 63 \equiv \int_r^L \varphi d\varphi = \int_{\sqrt{2}}^{8\sqrt{2}} \varphi d\varphi \quad (7.108)$ <p>где r и L - элементы великой Пирамиды (рис.2.4, табл.2.14).</p>

\*  
\*\*

Слова, как Любовь: могут вдохновлять и угнетать. Сегодняшние средства массовой информации говорят о **негативе. Негатив слов нужен закулисе для того, чтобы сломить у Изгоев Волю к Борьбе за Свободу и Счастье.** А ведь Боги учили Авраама понимать значимость Слов: **"Авраам связал дух двадцати двух букв (Тора) своим языком и Бог открыл ему секреты их. Бог позволил буквам раствориться в воде. Он сжёг их в Огне, развеял по ветру. Он распределил их среди семи планет и отдал их двенадцати знакам Зодиака"** ([3], стр.424).

В этом тексте говорится о том, что когда 22 буквы растворяют в воде с молекулярным весом 18 и сжигают в огне с потенциалом 36, то квант - эквивалент 22 попадает в поле колебаний типа:



$$22 \cdot (18 \Leftrightarrow 36). \quad (7.109)$$

Когда Тора утверждает, что Авраам развеял свои зубы по ветру, то речь идёт о солнечном ветре:

$$22 \cdot (c/\omega_0 = 2 \Leftrightarrow \omega_0/c \equiv 1/2). \quad (7.110)$$

Когда Бог распределяет зубы Авраама по семи планетам и отдаёт их 13 знакам Зодиака, то речь идёт о анти-резонансно-резонансном поле Арупы - Рупы:

$$22 \cdot (T_0 + \tau = 7 \Leftrightarrow 12 \equiv T_0 \cdot \tau). \quad (7.111)$$

Понимание **Сущности Проблемы Информатики** позволило бы Мудрецам Сиона вместо чело­веко­нена­ви­стических Протоколов составить хотя бы такую таблицу, как таблица 7.27.

Таблица 7.27

**Операции Бога с 22-мя зубами Авраама**

Операции с зубами		Растворил в воде. Сжег в Огне (7.109)	Развеял по ветру (7.110)	Распределил по семи планетам. Отдал 12 знакам Зодиака (7.111)
Потенциалы×22		$18 \Leftrightarrow 36$	$\frac{c}{\omega_0} = 2 \Leftrightarrow \frac{1}{2} = \frac{\omega_0}{c}$	$T_0 + \tau = 7 \Leftrightarrow 12 = T_0 \cdot \tau$
Ко- ле- ба- ния	Дзиан	$22 \cdot (18 \Leftrightarrow 36 \Leftrightarrow 2 \Leftrightarrow 1/2 \Leftrightarrow 7 \Leftrightarrow 12)$ поле Лха		
	Равновесие	$22 \cdot (36 \Leftrightarrow 72 \Leftrightarrow 4 \Leftrightarrow 1 \Leftrightarrow 14 \Leftrightarrow 24)$ поле Лхасов		
Отношение резонансных потенциалов		$\frac{\text{Лхасы: } \frac{36 \cdot 72 \cdot 4 \cdot 14 \cdot 24}{1} = 3483648}{\text{Лха: } \frac{18 \cdot 36 \cdot 2 \cdot 7 \cdot 12}{1/2} = 217728} = 16.$		

Потенциально-кинетическое соотношение в полях Лхасы - Лха **увеличивается от 2 : 1 до (2:1)<sup>4</sup>**, что означает **распространение этих отношений по трём направлениям пространства и равновесной Продолжительности (7.27):**

$$16 \equiv 24 \equiv (2:1)^{T_0} \equiv (2:1)^{x+y+z+\tau_0=4}. \quad (7.112)$$

В трёхмерном Пространстве возникает контур колебания **самосуших волн:**

$$\left(Sc \frac{\pi}{4}\right)^8 \equiv 16 = \sqrt{2}^8 \Leftrightarrow \frac{1}{\sqrt{2}^8} \equiv \frac{1}{16} \equiv \left(\sin \frac{\pi}{4}\right)^8. \quad (7.113)$$

Эти волны не только самосуши, но и вездесуши, а скорость их распространения **в 10<sup>40</sup> раз выше скорости света.**

Эти волны **телепатической передачи информации** Бог подарил Аврааму. И нам, людям, надо понимать их **Значимость**. А писать "Протоколы" на Святой Горе Сион равнозначно представлению о Боге, как о стоматологе из области лженауки. Хотя протоколисты представляют себе Бога и как хирурга, ломающего рёбра Адаму. Но что не сделать во Имя Женщины, которая любит ушами. Перейду к мелодии.

\*\*

Пока **Лха и Лхасы чистили зубы Аврааму**, создавая электрические поля и периодичности Вселенной (табл.7.27):

$$16 \equiv T_0^2 = \sqrt{qq^*} \quad \text{и} \quad 1 \equiv \frac{\sqrt[4]{qq^*}}{T_0}, \quad (7.114)$$

излучённый в момент равновесия (7.114) квант с потенциалом 22 тоже не дремал. Он излучался.

Излучение проходило так:

1. Точка - излучатель на поверхности Капли - ядра и среда вокруг излучателя достигали соответственно потенциалов **21** и **42** (табл.7.25).

2. Следующим квантом излучения был квант, Лха которого соответствовало **22**, а Лхасы **44** (табл.7.28).

Таблица 7.28

**Значение 22 зубов Авраама: базис телепатии**

Гамма		до	ре	ми	фа	соль	ля	си	Сумма
Ко- ле- ба- ния	Струна <b>Лха</b>	<b>22</b>	23	24	25	26	27	<b>28</b>	175
	Звук: <b>Лхасы</b>	44	46	48	<b>50</b>	52	54	56	350
Колебания		$\frac{350 \cdot 175}{350 - 175} = 350 \Leftrightarrow 15 = \frac{350^2 - 175^2}{350 \cdot 175}$ $70 \Leftrightarrow 3.$							

Колебания Лха  $\Leftrightarrow$  Лхасы (табл.7.28) отражает Везде и Все Сущее Свойство Единого Космоса.

Эти колебания применимы, в частности к свету, звуку, Календарю цивилизации Майи.

Так например, звучание ноты **фа** соизмеримо в октаве Лхас с разностью длин волн фиолетовой области спектра света ( $50 \equiv 0,1 \cdot 500 \text{Å} \equiv \rho_2 \Delta \Phi$ ), а в октаве Лха с жёлто-зелёной областью спектра, где  $25 \equiv 0,1 \cdot 250 \text{Å} \equiv \rho_2 \Delta \text{ЖЗ}$  (табл.7.28).

Завершение гаммы нотой **си** вызывает в спектре света переход (табл.7.28):

$$28 = 10^{-2}[3600 - (300 + 500)] \equiv \rho_2^2(\Delta \text{Б} - (\Delta \text{С} + \Delta \Phi)). \quad (7.115)$$

Появление **си** в октаве **Лха** является источником формирования гравитации лунного ряда с переходом к магнитному (табл.7.28):

$$28 \equiv \frac{1}{3}(140 = 1^2+2^2+3^2+4^2+5^2), \quad (7.116)$$

а в октаве **Лхас** возникает гравитационно-электромагнитное равновесие (табл.7.28):

$$\pm 56 \equiv (7\sqrt{qq^*} \equiv 8\sqrt{\mu\mu^*} \equiv 4\sqrt{\rho\rho^*}) \cdot \left( \pm \int_0^1 \varphi d\varphi \right). \quad (7.117)$$

\*\*

Колебания **Лха**  $\Leftrightarrow$  **Лхасы** (струны и звуки в среде) формируют контур колебания  $70 \Leftrightarrow 3$  (табл.7.28). В спектре солнечного света появляется жёлтая область с разностью длин волн  $\Delta\lambda = 70\text{\AA} \equiv 70$  (табл.7.28). Великая Цивилизация и цивилизация Майи начинают отсчёт **жёлтых недель** по тринадцати лунному календарю.

\*\*

Жёлтая область спектра солнечного белого света возникает под напором самосуших волн Метагалактики Арупы ( $\tau = 3$ ) вечной Тьмы (табл.7.28).

Попадая в поле света волны Арупы увеличиваются в  $\rho_5^2 \cdot 100$  раз:

$$\rho_5^2 \cdot 70 \Leftrightarrow \tau \rho_5^2 \cdot 300 (\Delta C \equiv \Delta \Gamma \equiv 300\text{\AA}). \quad (7.118)$$

В живом биологическом возникает сине-голубая чакра Третий Глаз: базисный приёмник Космической информации. Инструмент для медитации.

В спектре солнечного белого света возникают сине-голубые области.

В 13-ти лунном Календаре Майи отсчёт помех по голубым неделям.

В периодической системе Химических Элементов при сжатии до  $m_c^{**} = 0,008$  возникает азот с атомным весом  $A_N = 14$ , а при расширении облако зарядов с потенциалом 56 (7.117):

Производные жёлтого света				
Колебания (7.118)	Сгустки света (Лха)		Среда (Лхасы)	
	сжатие	расширение	Азот	Заряды
$7000 \Leftrightarrow 300$ жел- тая синяя	$m_c^{**} = 0,002$	$m_c^* = 0,008$	$7000 \cdot m_c^* = 14$	$7000 \cdot m_c^* = 56$ нота <i>си</i> .

На этом жёлто-синем переходе (7.119) возникают Зародыши Всего множества форм Энергии в Рупе.

\*\*

В сине-голубом переходе Чакры Третий Глаз сама Арупа ( $\tau$ ) трансформируется в Рупу ( $T_o$ ).

Резонансное поле Арупа - Рупа		
Транс-изомерия голубого поля	Белый свет: $\Delta B = 3600 \text{ \AA}$	Цис-изомерия синего поля
$T_o \cdot \tau = 3 \cdot 4 = 12$ $\rho_5^2 \cdot \tau \cdot T_o = 300 T_o$	$T_o \cdot \tau^2 = 4 \cdot 9 = 36$ $\rho_5^2 \cdot \tau^2 \cdot T_o = 3600$	$-T_o \cdot \tau = -3 \cdot 4 = -12$ $\rho_5^2 (\tau T_o) = 300 T_o$

Эта ситуация перехода Арупы в Рупу (7.120) Книга Дзиан описывает так:

**"4. Трое упадают в Четыре. Лученосное Божество умирится; Семь внутри, Семь во вне. Сияющее Яйцо, в себе Троичное, сворачивается, распространяясь молочно-белыми Сгустками в Глубинах Матери, Корне, растущем в Недрах Океана Жизни" ([1], Космогенезис, Станца III, п.4).**

Между гравитацией в поле *си* (табл.7.28), белом свете с потенциалом 36 (7.120) и Вселенной с постоянной 1008, возникнет равновесие:

$$1008 = 36 \cdot 28 \Leftrightarrow 28 = 1008/36 \Leftrightarrow 36 = 1008/28. \quad (7.121)$$

Это равновесие динамическое (7.121). С его помощью можно излучать белый свет, создавать Свечения Эллипсоидов Тонких Энергий, вить спирали Кундалини, совершать межгалактические полёты на НЛО, полностью обеспечивать энергией все потребности любой Цивилизации Носителей Разума и планет их обитания.

\*\*

Достижение равновесия белого света с гравитацией ( $1008 = 36 \cdot 28$ ) в области звучания струны (*си*, 28, табл.7.28), ещё не приводит к равновесию белого света с потенциалом *до*, 22 (табл.7.28):

Равновесно-неравновесное поле света, Звука, Вселенной					
Поля		<i>до</i>	Белый свет		<i>Си</i>
			Неравновесие	Равновесие	
Колебания	Лха: струна	22	$792 = 22 \cdot 36$	$36 \cdot 28 = 1008$ водород	28
	Лхасы: среда	44	$1584 = 44 \cdot 36$	$56 \cdot 18 = 1008$ вода	56.

(7.122)

**Равновесие** в поле белый свет, звук, вселенная возникает с гравитационным эквивалентом ноты **Си** (7.122). Это динамическое равновесие возникает при наличии сред: газов и жидкостей, то есть таких сред, которые способны колебаться, возмущенные источником колебания (7.122).

**Неравновесие** в поле белого света, вселенной и звука **до** приводит к энергетическим смещениям во Вселенной **как в области Лхас, так и в области Лха** (7.122, табл.7.29).

Таблица 7.29

**Неравновесное смещение Вселенной к красной Звезде**

Формы Энергии	Область смещения		Молочно-белые спирали Кундалини
	Лхасы	Лха	
Смещение во Вселенной	$1584-1008=$ 576	$792-1008=$ 226	350
Красная Звезда	$T_0 \cdot 350 = 1400 \equiv (\Delta K = 1400\text{\AA}).$		

Тринадцати лунный Календарь Майи начал отсчёт **Красных недель**. Носители Разума великой Цивилизации, то есть **Люди Воли и Йоги** уже давно живут на красной Звезде. Мы в муках проходим **испытание Кармой**. Но уже виден Свет в конце туннеля. Мужайтесь, дорогие мои Земляне! А я в следующей главе приведу обзор работ по тонким Энергиям, полученных искусственным путём от генераторов.

## Глава 8

### Тонкие Энергии в народном хозяйстве

Ядерная энергетика внедрилась в наш земной разобщенный социум **как оружие массового уничтожения при эффективном участии государственных ветвей власти.**

Тонкие Энергии внедряются в народное хозяйство социума Земли на основе творчества членов социума **без государственной поддержки**, на базе частных инициатив и противодействии официальной науки.

Различие государственной политики к Ядерной и Тонкой Энергии состоит в том, что **ядерное оружие разъединяет народы, а Тонкая Энергия объединяет.**

**Закулиса власти боится коллективизма.**

\*  
\*\*

Сегодня появляется всё больше и больше публикаций, описывающих применение Тонких Энергий в различных областях деятельности социума Земли.

В 2005 году Хильда Кларк [32] выпустила работу под названием "Неизлечимых болезней нет". К такому выводу она пришла после облучения больных Тонкими Энергиями.

В России работы с Тонкими Энергиями проводились значительно раньше и затрагивали многие области народного хозяйства. Но работы в России **наталкивались и тормозились** созданным в Академии Наук **комитетом по борьбе с лженаукой.**

Этот Комитет, поборник вакуума и индивидуализма новых русских и старых евреев, готов объявить Космос пустотой, а Тонкие Энергии химерой, и будет бороться с мета-наукой как с идеализмом и лженаукой. Знаем, проходили, проходим и сейчас.



Индивидуальный организм любого человека становится живым потому, что через него проходят энергетические потоки из Космоса (табл.8.1).

Таблица 8.1

**Приём-передача Тонких Энергий космоса**

Перехо- ды	Космос - Аура (приём)			Аура - Космос (передача)		
Поля	Космос: грави- тация	Жи- вой маг- нит	Аура: элек- тричество	Аура: элек- тричество	Жи- вой маг- нит	Кос- мос: грави- тация
Потен- циалы	$\sqrt{\rho\rho^*}=$ 28	$\sqrt{\mu\mu^*}$ = 14	$\sqrt{qq^*}=$ 16	$\sqrt{qq^*}=$ 16	$\sqrt{\mu\mu^*}$ = 14	$\sqrt{\rho\rho^*}$ = 28
Коле- бания	Экстрасенсорное восприятие			Экстрасенсорное врачевание		
	$\sqrt{\frac{\mu\mu^*}{\rho\rho^*}} \Leftrightarrow \sqrt{\frac{qq^*}{\mu\mu^*}} \Leftrightarrow \sqrt{\frac{\mu\mu^*}{qq^*}} \Leftrightarrow \sqrt{\frac{\rho\rho^*}{\mu\mu^*}}$ $1/2 \Leftrightarrow 8/7 \Leftrightarrow 7/8 \Leftrightarrow 2.$					
при об- щем знаме- нателе	$\frac{28 \Leftrightarrow 64 \Leftrightarrow 49 \Leftrightarrow 112}{56}$					
Равно- весие фона	$(28 \Leftrightarrow 64 \Leftrightarrow 49 \Leftrightarrow 112) \cdot \frac{1}{56} \cdot 56$ <div>гравитация      Тянь      Оболочка      Равновесие зарядов-импульсов</div>					
Фон	$56 = 112 \int\limits_0^1 \varphi d\varphi \Leftrightarrow \left( 112 \int\limits_1^0 \varphi d\varphi \right)^{-1}.$					

Задачей восьмой главы, читаемой Вами Книги, является обзор и анализ работ, связанных с **созданием технических средствами** полей Тонких Энергий и их воздействием на живые - неживые субъекты - объекты. Поэтому базовый вывод из таблицы 8.1 сводится к следующему:

1. В модификациях **генераторов** Тонких Энергий должна преобладать пропорциональность колебаний типичной для **врачующего экстрасенса, ибо он излучатель - Лха** (табл.8.1).

2. Для облучённых субъектов - объектов режим восприятия волн Тонких Энергий должен быть подобием **экстрасенсорного восприятия, ибо эти субъекты - объекты Лхаса - Среда** (табл.8.1).

\*\*

Поскольку Тонкие Энергии принимаются - передаются волнами всех существующих во Вселенной частот, то информация, которую они несут может быть передана любым способом: светом, звуком, образом, числом, буквой, символом и так далее.

В этой связи для **передачи информации в статике** определяющую роль играет **геометрия приборов, а для передачи информации в динамике - режим работы прибора.**

## **8.1 Генераторы Тонких Энергий**

Возьмём генератор, создание которого проходило при участии экстрасенсов, а конструкция и воздействие излучения на субъекты - объекты прошла патентную экспертизу [22÷23].

Это старенький генератор ещё XX века. Выполнен на электронных лампах. Но тем не менее продолжает творить чудеса, так как экстрасенсы угадали пропорции и корректировали режим.

### Конструкция генератора.

Корпус из **немагнитного** материала. Куб с ребром 500 мм заземлён.

Высоковольтный источник питания **постоянного** тока.

L - C (ёмкость - индуктивность) контур **высокочастотного дугового разряда**.

L - C контур состоит из трансформатора и схемы удвоения напряжения на диодах и конденсаторах.

Высокочастотный генератор выполнен на **газоразрядной лампе** с подключением к ней **резонансным контуром** блока конденсаторов и индуктивностей.

В колбу разрядной лампы вмонтированы **два соосных электрода** диаметром **2 мм** и разрядным промежутком **2 мм** (рис.8.1).

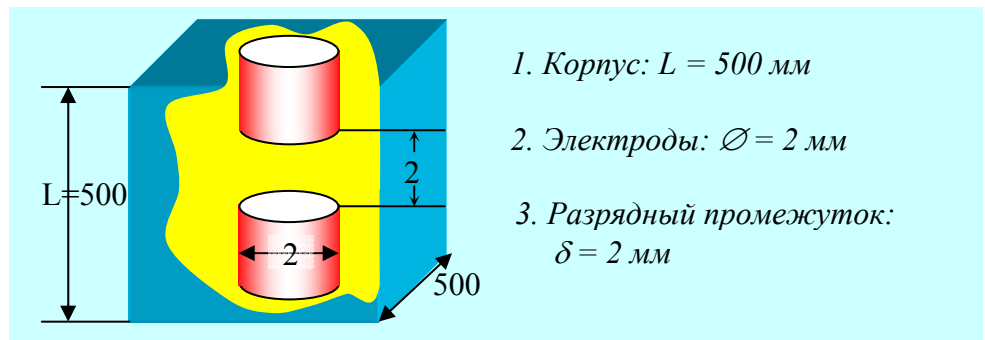


Рис.8.1 Геометрия генератора Тонких Энергий [22÷30]

\*\*\*

Сама **геометрия** генератора, излучающего Тонкие Энергии, **помогает или даже предопределяет** переход из поля Материи к полю Тонкой Энергии (табл.8.1, рис.8.1).

Геометрия - это Информация; а **Информация одна из форм Энергии**, воздействие которой не может отменить даже Создатель.

Сопоставим геометрические параметры генератора и фундаментальные постоянные Космоса (табл.8.2).

Таблица 8.2  
**Связь геометрии генератора с постоянными Космоса**

Элементы	Геометрия генератора (рис.8.1)	Постоянные Космоса
Электроды и разрядный промежуток	$\delta \equiv \varnothing = 2 \text{ мм}$	$2 = \lg \rho_1 \rho_2 \rho_3 \rho_4 \rho_5 = \frac{c}{\omega_0}$
	$\delta \cdot \varnothing = 4 \text{ мм}$	$T_0 = 4 \equiv \frac{c^2}{\omega_0^2}$
Куб корпуса из немагнитного материала	$L = 500 \text{ мм}$ ребро Куба	$\frac{1}{T} (10^3 \equiv \rho_5^3) \equiv 500$
	$L^2 = 25 \cdot 10^4 \text{ мм}^2$ грань куба	$(T_0 + 1) 2 \cdot \rho_5^4 = 5^2 \cdot 10^4$ Пентаграмма в Яйце
	$6 \cdot L^2 = 18 \cdot 10^5 \text{ мм}^2$ Поверхность куба	$(\sqrt{q q^*} + \sqrt{\mu \mu^*}) \cdot \int_0^1 \varphi d\varphi \cdot \rho_5^5$
Общее восприятие	$6 \cdot L^2 \cdot (\delta \cdot \varnothing)^2 = 15 \cdot 10^5 \cdot 16 \text{ мм}^4 \equiv 24 \cdot 10^6 \text{ мм}^4$	

Геометрия любого образца, в том числе и генератора, не остаётся пассивной к пульсации Вселенной, например в поле сжатия-расширения (табл.8.2):

Взаимосвязь геометрии генератора и Космоса	
Сжатие	Расширение
$6L^2 : \delta = 24 \cdot 10^6 / 2 = 12 \cdot 10^6$	$6L^2 : 8 = 24 \cdot 10^6 : 8 = 3 \cdot 10^6$

(8.1)

Этот случай (8.1) показывает, что пропорции геометрического образца при потенциале

$$3 \cdot 10^6 \equiv \tau \cdot 10^6 \equiv \tau \cdot \rho_5^6, \quad (8.2)$$

предопределяют переход из Рупы в Арупу с  $\tau = 3$ , но при частотах  $10^6$  Гц, эквивалентных гравитационно-электромагнитным взаимодействиям:

Связь $10^6$ с взаимодействиями			
Расширение (пространство)	Переход в Арупу	Взаимодействия	
		Гравитационные	Электромагнитные
$3 \cdot 10^6 \text{ мм}^3$	$\tau \cdot 10^6 \text{ Гц} = 3 \cdot 10^6$	$10^6 = \sqrt[3]{\rho_1}$	$10^6 = \sqrt{\rho_3}$

(8.3)

Важнейшим свойством этого поля (8.3) является появление равновесия между потенциалом пространства и динамикой перехода в Арупу:

$$3 \cdot 10^6 \text{ мм}^3 : \tau \cdot 10^6 \text{ Гц} = 1 \text{ мм}^3 : \text{Гц}, \quad (8.4)$$

а также то, что  $10^6$  Гц, является частотой Проявления эффекта Кирлиан, дающего возможность фотографировать Ауру Живого и люминесцентного свечения неживого.

\*\*

### Работа газоразрядного генератора.

После подключения к сети 220 В и 50 Гц прибор вырабатывает высокочастотные дуговые разряды (табл.8.3).

Квадрат скорости волн, излучённых генератором, работающем в режиме, показанном в табл.8.3, будет равен:

$$\nu^2 = \frac{60 \text{ Вм}}{20 \text{ кг}} = 3 \cdot 10^{22} (\text{Å})^2 / \text{сек}, \quad (8.5)$$

где показатель степени, равный 22 является потенциал - эквивалентом 22 зубам Авраама, носителя Информации, а 3 - эквивалент  $\tau$ .

Таблица 8.3

**Основные технические характеристики**

Потребляемая мощность	Количество импульсов воздействия	Время цикла работы	Габаритные размеры	Масса	Частота колебания тока в плазменном разряде
$W = 60 \text{ Вт} \equiv 6 \cdot 10^{23} \frac{\kappa_2 \left( \overset{o}{A} \right)^2}{\text{сек}^2}$	$n = n_1 - n_2 \equiv 50 - 150$ импульсов в сек	$\tau \equiv 90 \text{ сек}$	$V \equiv (500 \text{ мм})^3 = 125 \cdot 10^{14} (\text{\AA})^3$	$m \equiv 20 \text{ кг}$	$V \equiv 15 \text{ МГц} = 15 \cdot 10^6 \text{ 1/сек}$
Примечание:	Вся размерность приведена в кг, $\text{\AA}$ и сек.				

\*\*

Излучённая волна  $v^2$  (8.5), попав в Космос Невесомости, будет взаимодействовать с импульсом ( $c = m_c^{-1} = E_\lambda^{-1}$ ) и энергией [ $c^2 = (m_c E_\lambda)^{-1}$ ] света:

$$m_c v^2 = \frac{v^2}{c} \Leftrightarrow \frac{c^2}{v^2} \equiv \frac{1}{m_c E_\lambda v^2}, \quad (8.6)$$

где скорость света равна  $c = 300 \text{ тыс. км/сек} = 3 \cdot 10^{18} \text{\AA/сек}$ .

За счёт колебаний в поле света (8.6), излучённая генератором энергия  $v^2$  (8.5) начнёт сгущаться (табл.8.4):

Таблица 8.4

**Сгущение волн Тонкой Энергии полем Света (8.6)**

Волна от генератора	Свет		Неравновесные колебания
	Импульс	Энергия	
$v^2 = 3 \cdot 10^{22} (\text{\AA})^2/\text{сек}$	$c = 3 \cdot 10^{18} \text{\AA/сек}$	$c^2 = 9 \cdot 10^{36} (\text{\AA/сек})^2$	$\frac{v^2}{c} = 10^4 \text{\AA} \Leftrightarrow 3 \cdot 10^{14} \text{сек} \equiv \frac{c^2}{v^2}$ где $10^{14} \equiv \rho_4$ (ядерное взаимодействие).

Полученные результаты (табл.8.4) приводят к выводам:

1. Волны Тонких Энергий, попав в поле Невесомости, приобретают импульсы:

$$\left(m_c = E_\lambda = \frac{1}{\pi} = \frac{1}{c}\right) v^2 = \frac{v^2}{c} = 10^4 \frac{\overset{o}{A}}{сек} \Leftrightarrow 3 \cdot 10^{14}. \quad (8.7)$$

2. Попадание этих импульсов (8.7) из Космоса Невесомости в поля гравитации масс, сгущает импульс света до энергии света:

$$\left(m_c E_\lambda = \frac{1}{\pi^2} = \frac{1}{c^2}\right) v^2 = \frac{v^2}{c^2} \equiv 10^{-4} \frac{1}{\overset{o}{A}} \Leftrightarrow \frac{1}{3} \cdot 10^{-14}. \quad (8.8)$$

В этом случае (8.8) проникновение света в поля гравитации сред над массами требует равновесия типа:

$$1 = \frac{v^2}{c^2} \cdot \frac{c^2}{v^2}. \quad (8.9)$$

Холодный в полях Невесомости Свет (**Пламень**), проникая в поле гравитации, становится горячим (**Огнь**).

Равновесный резонанс (8.9) сменяется неравновесным:

$$\frac{v^2}{c^2} \Leftrightarrow 0 \Leftrightarrow \frac{c^2}{v^2} = 3 \cdot 10^{14} сек \Leftrightarrow 10^4 \overset{\zeta}{\text{\AA}}. \quad (8.10)$$

Возникают **Зародыши Ядер**, в которых за три секунды на расстоянии  $10^4 \overset{\zeta}{\text{\AA}}$  между  $E_\lambda$  и  $m_c$ , возникают ядерные взаимодействия с эффективностью  $10^{14}$  относительные единиц.

3. Расстояние между  $E_\lambda$  и  $m_c$ , равное в Зародыше ядра  $10^4 \text{ \AA}$  пульсирует с частотой, эквивалентной периодичности вихря в Арупе, то есть при  $\tau = 3$ .

В поле (8.10) возникает контур колебания:

$$10^{14} \Leftrightarrow \frac{10^4 \overset{\circ}{A}}{3 \text{ сек}} (\tau^2 = 9 \text{ сек}^2) = 3 \cdot 10^4 (\overset{\circ}{A} \cdot \text{сек} = \text{кулон}). \quad (8.11)$$

Возникает присущая Чакре Третий Глаз **трансформация биотока  $10^{-4} \text{ А}$  и индукция  $10^{+4} \text{ 1/А}$** .

Изменение периодичности  $(1/\tau \Leftrightarrow \tau) \cdot \rho_5^2$  в поле Арупы **формирует сине-голубые области** в спектре света и чакре Третий Глаз; календарь Майи начинает **отсчёт синих недель**; излучения от генератора торсионных волн начинают своё **воздействие на живые - неживые субъекты - объекты окружающей среды**.

## 8.2 Энергетическая структура тонкоэнергетического свечения

Волны Тонких Энергий свободно проходят через **твёрдые тела, но поглощаются жидкими средами**, и выют молочно-белые молекулярные спирали Кундалини в водных растворах.

\*  
\*\*

Жидкие среды неоднородны. Их можно классифицировать на воду, жидкую плазму и коллоидные расплавы (табл.8.5).



Таблица 7.15

**Тонкие Энергии Кундалини в жидких средах**

Субстанции	Вода	Коллоидные раствор-расплавы					Жидкая плазма
$\lg 10^{14}.$ $\int_0^1 \varphi d\varphi$	1 7	2 6	3 5	4 4	5 3	6 2	7 1
Изменение ветвей Кундалини	$\frac{3,5}{2,5} = \frac{7}{5}$	$\frac{3,5 - 2,5^2}{2,5 - 3,5^2}$					$\frac{2,5^2}{3,5^2} = \frac{5^2}{7^2}$
Разности квадратов потенциалов переходов	<b>Расширение:</b> $\int_5^7 \varphi d\varphi =$ 12	$2 \int_{3,5}^{2,5^2} \varphi d\varphi - 2 \int_{3,5^2}^{2,5} \varphi d\varphi =$ -112					<b>Сжатие:</b> $\int_{49}^{25} \varphi d\varphi =$ -888.

Перехожу к объяснению таблицы 8.5

\*\*

Наличие Кундалини в жидких средах описывает Станца III, п.4, Космогенезиса [1]. Сейчас добавлю, что Кундалини с потенциалом:

$$6 = 3,5 + 2,5 \equiv 3,5^2 - 2,5^2, \quad (8.12)$$

в воде расширяется от 2,5 до 3,5, создавая интегральную разность, равную 12, а в жидкой плазме Кундалини сжимается ( $3,5^2 - 2,5^2$ ), создавая интегральную разность с потенциалом -888 (табл.8.6).

Поэтому появление Кундалини в воде и водных растворах будет удлинять молекулярные цепи, а появление Кундалини в жидкой плазме и расплавах, например, металлов, будет измельчать структуру зерна металла.

\*\*

Степень диссоциации воды мы определяем измерением величины концентраций ионов водорода ( $H^+$ ) и гидроксила ( $OH^-$ ).

Десятичный логарифм от концентрации этих ионов в растворах мы называем рН.

В водных растворах кислот и щелочей рН изменяется от нуля до 14, где 7 - нейтральная среда, меньше 7 - кислотная, а больше 7 - щелочная.

Это мы знаем, но откуда что берётся, например энергия для диссоциации воды, не знаем. Но табл.8.5 даёт возможность осветить решение проблемы: **диссоциация жидких сред происходит в области логарифмических волн ядерных взаимодействий жидкой среды и волн Тонкой Энергии** (табл.8.5).

$$\lg(p_4 = 10^{14}) = 14 \quad \text{и} \quad 7 \Leftrightarrow 1/7. \quad (8.13)$$

Великая Цивилизация описывает процесс (8.13) так: **"Семь внутри, Семь во вне"** ([1], Космогенезис, Станца III, п.4).

Резонансная взаимосвязь этих семёрок (8.13) приводит к появлению **оболочек** с потенциалом 49 [4], а в антирезонансе между 1 и 7 **возникают коллоидные раствор-расплавы** (8.5).

\*\*

Энергетический переход в области коллоидных растворов - расплавов с потенциалом (табл.8.5):

$$2 \Leftrightarrow 3 \Leftrightarrow 4 \Leftrightarrow 5 \Leftrightarrow 6, \quad (8.14)$$

даёт множество *форм*, в том числе *сгустки Тянь и Небеса - Цинь*:

$$2\int_2^6 \varphi d\varphi - 2\int_6^2 \varphi d\varphi = 32 - (-32) = 64. \quad (8.15)$$

|Два Цинь| |Тянь|

**Общая сумма потенциалов перехода от 2 до 6, равна антирезонансной сумме потенциалов внутреннего поля света:**

Раствор - расплавы	Внутреннее поле света
$2+3+4+5+6 = 15$	$15 = 5+4+3+2+1.$

(8.16)

Равенство потенциалов раствор - расплавов и внутреннего поля света означает, что в раствор - расплавах жидких сред царит гармония Подобие полю света и хаос вихрей жидких сред заканчивается появлением интегральной разности с потенциалами минус 112 (табл.8.5). В растворах возникает гравитационно-электромагнитное равновесие (табл.8.5):

$$-112 \equiv -(7\sqrt{qq^*} \equiv 8\sqrt{\mu\mu^*} \equiv 4\sqrt{\rho\rho^*}). \quad (8.17)$$

Причём колебания в поле  $\int_1^0 \varphi d\varphi = -\pi/2$  меняет знак отрицательных зарядов на положительные.

\*\*

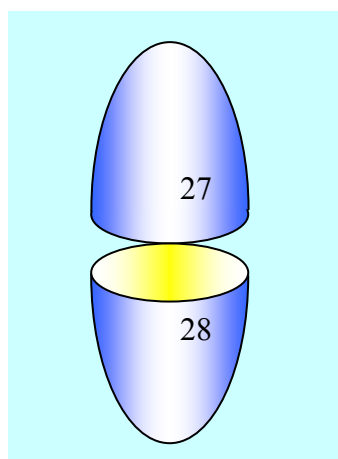
Жидкую плазму и её влияние **ощущают** последователи Агни Йоги (слово Агни в переводе означает Огонь).

Если поставить **ощущения** Агни Йоги на основу **точных соотношений реалий Единого Космоса**, то мы получим потенциалы, возникающие в жидкой плазме, то есть  $5^2/7^2$  и -888 табл.8.5.

Средой в этом поле будет являться поле с потенциалом -888 (**Лхасы плазмы**), а излучателем поле с потенциалом  $5^2/7^2$  (**Лха плазмы**) (табл.8.5).

**Лха плазмы** описывается великой Цивилизацией как **Яйцо в себе Троичное** или **Яйцо с Пентаграммой** [1]: **Пентаграммой** потому, что есть потенциал  $5^2$ , а **Яйцо** потому, что есть **оболочка** с потенциалом  $7^2 = 49$  (табл.8.5, [4]).

Свечение от генератора Тонкой Энергии было получено экспериментально, и оно действительно имело форму Яйца - Эллипсоида (рис.8.2, [22÷30]).



*Рис.8.2 Свечение от генератора Тонких Энергий [22÷30]*

Эллипсоидальное молочно-белое Свечение с потенциалами 27 и 28 (рис.8.2) пульсировало как живое и существовало синхронно с продолжительностью работы генератора (рис.8.1).

Свечение (рис.8.2) фотографировали и снимали на видеокамеру.

После проведения экспериментов, связанных с облучением этим свечением (рис.8.2) живых - неживых объектов - субъектов, оказалось, что если эффект от воздействия самого свечения принять за 100%, то телевизионное изображение свечения имеет эффективность 75%, а фотография 25%.

\*\*

**"1. Внимайте вы, Сыны Земли, Вашим Наставникам - Сынам Огня! Познайте, нет ни первого, ни последнего, ибо всё есть Единое Число, исшедшее из Не-Числа.**

**2. Познайте то, что мы, исшедшие от Первозданных Семи, мы, рождённые Предвечным Пламенем, узнали от наших Отцов ([1], Космогенезис, Станца IV).**

Далее Станца IV описывает переходы метагалактических волн через энергию - импульс поля света [1].

Расшифровка этих текстов приводит к тому, что **Лхаса плазмы с потенциалом -888** (табл.8.5) формируется как сумма трёх последних максимальных восьмеричных уровней солнечного ряда:

$$-888 \equiv -(8 \cdot 10^2 + 8 \cdot 10 + 8) \equiv -(8 \rho_5^2 + 8 \rho_5 + 8). \quad (8.18)$$

Поле с этими потенциалами (8.18) остаётся в плазме, а в биоплазме формирует **одну из двойной мембранно-молекулярной спирали на поверхности биоклетки.**

\*\*

Потенциал (-888) **заканчивает формирование трёх солнечных рядов** с разной степенью эффективности взаимодействия света ( $100 \rightarrow 10 \rightarrow$ ).

Но перед солнечными рядами были лунные ряды, которые заканчивались **потенциалами 7 и составляли три семёрки:**

$$777 \equiv 7 \cdot 10^2 + 7 \cdot 10 + 7 \equiv 7 \cdot (\rho_5^2 + \rho_5 + 1). \quad (8.19)$$

**Это Первозданные Семь, рождённые Предвечным Пламенем,** которые передают нам Знания ([1], Станца IV, п.1).

Вместе с тем потенциал - эквивалент 777 формирует **вторую молекулярно-мембранную спираль двойной спирали - поверхности биоклетки.**

Двойная мембранно-молекулярная спираль на поверхности биоклетки формируется как **контактные слои между электрическим и магнитным полями:**

Оболочка биоклетки: двойная молекулярная спираль	
Электрическое поле	$(800+80+8) \cdot (\lg \rho_1 \rho_2 \rho_3 \rho_4 \rho_5 = 2) \equiv 1600+160+16 \quad (8.20)$
Магнитное поле	$(700+70+7) \cdot (\lg \rho_1 \rho_2 \rho_3 \rho_4 \rho_5 = 2) \equiv 1400+140+14.$

Тонкая Энергия из метagalактики поступает через цитоплазму к магнитной спирали, а через неё к электрической. Но если мембраны электрической спирали забились шлаками, то организм воспринимает ритмику Космоса искаженно. Организм заболевает.

Тонкая Энергия от генератора Тонкой Энергии (рис.8.2) будет поступать к внешней электрической спирали (8.20). Поток этой энергии очистит поры мембранной спирали от шлаков. Энергия Космоса будет поступать с поверхности биоклетки в организм без искажения. произойдёт врачевание и исцеление организма. Фармакология и скальпель окажутся лишними.

\*\*

Сумма потенциалов сред - Лхас жидкой плазмы и коллоидных расплав - растворов равна (табл.8.5):

$$(-112) + (-888) = -1000 = -10^3 \equiv -\rho_5^3. \quad (8.21)$$

Знак минус указывает на то, что энергетический поток из Метagalактики, пройдя Каплю - ядро, вращает ядро лишь в одну сторону, например с востока на Запад.

Среда - Лхаса с потенциалом  $-10^3$  существует не сама по себе, а на энергетических уровнях с потенциалами  $2 \rightarrow 3 \rightarrow 4 \rightarrow 5 \rightarrow 6$  (табл.8.5).

Энергетическое наполнение энергией 2, 3 и 4 уровней **продиктовал Иисус Христос** с Неба, а Святой Иоанн Богослов записал и обработал полученный текст **в форме Круга Универсума** [4, 5].

Конечным результатом трансформации энергии **внутренним полем Круга универсума** является **получение потенциала, равного 4000** [5].

Что же хотел сказать Иисус людям, диктуя **Откровения?**

Самое важное то, что на четвёртом уровне - **Расе** происходит преодоление границы гравитационного барьера (табл.8.5):

$$\frac{-112}{6-2=4} \equiv \frac{-112 \cdot m_c^{**}=00,002}{m_c^*=0,008} \equiv \frac{-112}{T_0=4} \equiv -28, \quad (8.20)$$

и что **пятая Раса** должна начинать сотрудничать с великой Цивилизацией на *пути* перехода к **Людам Воли и Йоги в условиях Теогенезиса Земли**.

Евреи распяли Иисуса и продолжили финансовые махинации во имя золотого тельца.

### **8.3 Облучение воды и расплава. сотворение Жизни**

Кафедрой сельскохозяйственной биотехнологии Московской сельскохозяйственной академии имени К.А.Темирязева под руководством В.М.Ковалёва и при участии одного из авторов создателя генератора тонкой энергии В.Д.Белова в 1992 - 1994 годах проводилось облучение воды.

Эффект от облучения мало влиял на изменение pH воды, но достаточно эффективно снижал её удельный вес (рис.8.3).

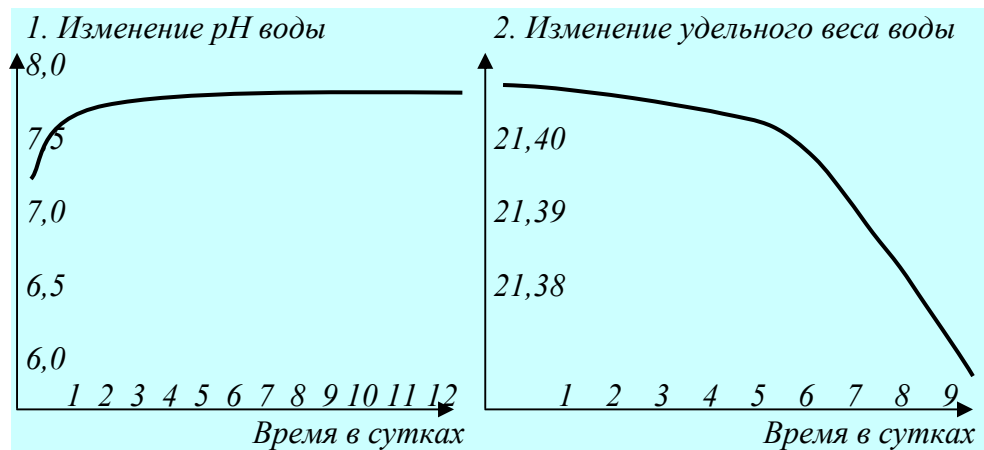


Рис.8.3 Влияние Излучённой Тонкой Энергии на воду

Эффект изменения удельного веса воды под влиянием облучения тонкоэнергетическим свечением можно сопоставить с электролизом:

Электролиз воды		(8.21)
(-) Катодный процесс	(+) Анодный процесс	
$2 \text{H}_2\text{O} \rightarrow \text{H}_2\uparrow + 2(\text{OH}) - 2\text{e}$	$2 \text{H}_2\text{O} \rightarrow \text{O}_2\uparrow + 4\text{H}^+ + 4\text{e}$	

При электролизе возникает поле с противоположно направленным движением электронов:

$$\pm[4\text{e} - (-2\text{e})] = \pm 6\text{e}. \quad (8.22)$$

При облучении вместо электронов были электрические заряды - импульсы  $\pm\sqrt{qq^*} = \pm 16$  и энергия, эквивалентная электролизу составила величину:

$$\pm 6 \cdot \sqrt{qq^*} = \pm(6 \cdot 16 = 96 \equiv 64 + 32), \quad (8.23)$$

где 32 - эквивалент Цинь, а 64 - эквивалент Тянь..



В этих условиях (8.23) в колодных расплав - растворах (табл.8.5) возникнут колебания:

<b>Колебания в расплав - растворах под воздействием облучения Тонкими Энергиями</b>	(8.23)
$\frac{-112-96}{-112+96} = \frac{208}{16} = 13.$	

Пульсация в расплав - растворах будет протекать по 13-ти лунному Календарю. В воде возникнет биожизнь.

\*  
\*\*

В Перми научно-производственная Компания "Тор" построила генератор Тонкой Энергии, способный облучать расплав металла в объёме от 16 кг до 60 тонн. Расплав стали облучали и затем сравнили микрошлифы литой стали:

<b>Влияние Тонких Энергий на расплавы стали</b>			(8.24)
Кристаллизация расплава	Без облучения	С облучением	
Микро-шлиф	Крупные кристаллы аустенита с включением карбида	Мелкие кристаллы аустенита. Карбид исчез	
Оценка в баллах	1,5 ÷ 1	4 ÷ 4,5.	

Работы в Перми проводились под руководством С.П.Курапова.

\*  
\*\*

Уменьшение удельного веса воды (рис.8.3) указывает на её расширение.

Уменьшение кристаллов аустенита в расплаве стали говорит о сжатии (8.24).

Результаты экспериментов с водой и сталью подтверждают механизм пульсации Кундалини (табл.8.5), что даёт возможность определить контур неравновесных колебаний между водой и расплавом металла (табл.8.6).

Таблица 8.6

**Колебания Кундалини между водой и расплавом**

Субстанция	Вода: расширение		Расплав: сжатие	
Режим	Расширение	Эндотермия	Сжатие	Экзотермия
	T <sub>o</sub> c/ω <sub>o</sub> =8	lg ρ <sub>1</sub> ρ <sub>2</sub> = -25	T <sub>o</sub> ω <sub>o</sub> /c=2	lg ρ <sub>3</sub> ρ <sub>4</sub> ρ <sub>2</sub> = +27
Начала	женское		мужское	
Кундалини (табл.8.5)	3,5/2,5 = 1,4		2,5 <sup>2</sup> /3,5 <sup>2</sup> = 1/1,4 <sup>2</sup>	
Эффектив- ности (табл.8.5)	-ρ <sub>5</sub> · = -112+12 = -10		(-ρ <sub>5</sub> ) <sup>2</sup> · = -112+(-888) = -10 <sup>3</sup>	
Колебания Свечения (рис.8.2)	8·(-25)·1,4(-10) ⇔ 2·27·1/1,4 <sup>2</sup> ·(-10) <sup>3</sup> 1,4 <sup>3</sup> ⇔ 27.			

Полученные данные (табл.8.6) указывают, что пульсация Свечения с потенциалом эллипсоида 27 (рис.8.2) формирует в трёхмерном пространстве Зародыш магнитного поля:

$$[0,1 \cdot (\sqrt{\mu\mu^*} = 14)]^3 = 1,4^3 = 2.744 \approx e \equiv m_0, \quad (8.25)$$

где  $m_0$  -- масса относительного покоя (**Камень** [1]), а расплав **Металл** [1].

Вскрывается Сущность происхождения Жизни [1]:

**"5. Искра Фохата** (импульс давления  $T_0\omega_0/c=2$ ) **Нитью тончайшей с Пламенем соединённая** (импульс расширения  $T_0c/\omega_0=8$ ). **Она странствует через Семь Миров Майи** (логарифмические волны пульсирующих ядерных взаимодействий:  $\lg \rho_4 \left( \pm \int_0^1 \varphi d\varphi \right) = \lg 10^{14} \cdot (\pm 1/2) = \pm 7$ ). **Она останавливается в Первом, становясь Металлом и Камнем** (расплав (табл.8.6)) и масса относительного покоя (табл.8.5), и узри - **Растение**.

**Растение вращается в Семи Сменах и становится Священным Животным** (происходит перестройка организма на клеточном уровне: клетка без ядра у растений трансформируется в клетку с ядром у животных. Увеличивается магнетизм:

Переход от Растений к Животным			(8.26)
Форма энергии	Растения	Животные	
Форма клеток	Без ядра	С ядром	
Уровень	Второй	Второй в Семи Сменах	
Потенциалы	2	$2 \cdot 7 = 14;$ $7^2 - 2^2 = 45.$	

Возникает контур колебания в поле перехода между растением и животным. Появляется интегральная разность потенциалов, эквивалентная сумме Тянь плюс Цинь:

Переход от Растений к Животным		(8.27)
$\int_2^{14} \varphi d\varphi = 96 \equiv 64 \text{ (Тянь)} + 32 \text{ (Цинь)}.$		

Молекулярные мембранные спирали в цитоплазме клеток растений уплотняются в ядро. Возникает биоклетка животных.

**Из этих свойств - сочетаний Ману-Мыслитель создаётся.** (Биоклетка животных существует в динамике резонансно-антирезонансной пульсации (8.26)):

$$\frac{2 \cdot 7}{7+2} \Leftrightarrow \frac{7-2}{2 \cdot 7} \rightarrow 14^2 \Leftrightarrow 45, \quad (8.28)$$

где:  $14^2 \equiv \mu\mu^*$  - основа живого магнита,

$45 \equiv 15 \cdot 3 \equiv (1+2+3+4+5) \cdot \tau$  является внутренним полем света в Арупе. **Кто создаёт его? Семь Жизней и Единая Жизнь** (Семь Жизней и Единая Жизнь - это описательный образ лунного ряда:)

$$\left| \begin{array}{c} 1+2+3+4+5+6+7 \\ \text{Семь Жизней} \end{array} \right| = \left| \begin{array}{c} 28 \equiv \sqrt{\rho\rho^*} \\ \text{Единая Жизнь} \end{array} \right| \quad (8.29)$$

Эти Жизни (8.29) влияют на биоклетку животных (8.28):

$$14^2 \cdot (1+2+3+4+5+6+7) \Leftrightarrow 45 \cdot 28;$$

$$\mu\mu^* \cdot (1+2+3+4+5+6+7) \Leftrightarrow 90 \cdot \sqrt{\mu\mu^*}, \quad (8.30)$$

где Семь Жизней формируют Расы, а Единая Жизнь является источником созидания взаимодействующих магнитных субструктур (8.30):

$$\left| \begin{array}{c} \mu\mu^*(1+2+3+4+5+6+7) \\ \text{Источник Эволюции Рас} \end{array} \right| \Leftrightarrow \left| \begin{array}{c} 90\sqrt{\mu\mu^*} = (9+0) \cdot \rho_5 \sqrt{\mu\mu^*} \\ \text{Магнитная взаимодействующая субструктура} \end{array} \right| \quad (8.31)$$

**Кто завершит его? (8.31). Пятеричный Лха** (Поле (8.31) имеет множественность решений. Но **Пятая Раса** последняя, проходящая испытание Кармой в гравитации. Пятая Раса - это мы с вами, восходящие и нисходящие. Шестая Раса - это Раса перехода к Людям Воли и Йоги ([2], Теогенезис)).

Поэтому **Пятеричный Лха** - это мы: излучатели Добра и Зла в материальном теле, где есть и Лха и Лхасы:

<b>Пятая Раса (Ману-Мыслитель) в окружающей среде</b>			
Поля	Лхасы ушедших Жизней (среда)	Лха Пятеричный (излучатель)	Лхасы в Теогенезисе (среда)
Антирезонанс	$1+2+3+4 = 10$	5	$13 = 6+7$
Резонанс	$1 \cdot 2 \cdot 3 \cdot 4 = 24$		$42 = 6 \cdot 7$

**Кто совершенствует последнее Тело? Рыба, Грех, Сома...** (Колебания Пятеричного Лха в средах Лхасах (8.32) имеет множество решений. Великая Цивилизация нам подсказывает три компоненты результата: Рыба, Грех, Сома...

**Рыба** - это эквивалент поля в раствор - расплавах, где интегральная разность потенциалов равна минус 112 (табл.8.5).

**Грех** - это размножение посредством мужского и женского начал, которые формируют неравновесный контур колебания (табл.8.6).

$$1,4^3 \Leftrightarrow 27. \quad (8.33)$$

**Сома** - Луна и её гравитационное Число, равное 28)

\*  
\*\*

Ставя вопрос: **Кто совершенствует последнее Тело?** - великая Цивилизация подчёркивает, что речь идёт о Рупе биологической Жизни.

Буддизм утверждает, что Рупа биологической Жизни совершенствуется в 108 Перевоплощениях.

Число о 108 Перевоплощениях Будде подсказала великая Цивилизация. Смотрите сами:

$$\frac{Рыба}{Сома} \cdot Грех \equiv \left( \frac{-119}{28} = -4 \right) (1,4^3 \Leftrightarrow 27) \equiv -4 \cdot 1,4^3 \Leftrightarrow -4 \cdot 27 \equiv -108. \quad (8.34)$$

\*  
\*\*

Сто восемь реинкарнаций обусловлены появлением разности квадратов потенциалов, равной (8.33, 8.34) числу  $10^6\pi$ :

$$10^6\pi \equiv 2 \int_{27}^{-108} \varphi d\varphi = (-108)^2 - 27^2 \equiv 314199 \equiv \rho_5^6 c \quad (8.35)$$

Появление света в поле 108 реинкарнаций трансформирует наши Тела в другие Формы Энергии. Однако **влияние Кундалини сохранится на любом уровне реинкарнаций** (8.33, 8.34):

$$\frac{27 - (-108)}{27 + (-108)} \equiv \frac{135}{81} \equiv 1, (6) \equiv 1 + Кундалини, \quad (8.36)$$

где  $81 \equiv (9+0)^2$  - **биполярная структура Человека Воли и Йоги**, соизмеримая с пульсацией свечения Тонкой Энергии (рис.8.2) в поле Арупы:

$$81 \equiv \tau \cdot 27 \equiv \tau^{T_0} \equiv 3^4. \quad (8.37)$$

Это поле (8.37) - **поле Единого Космоса**, в котором **Арупа - носитель Рупы**, и микро-макро звёздно-планетарные миры сгустков плывут **без затраты собственных энергий** в Космосе Невесомости **бесконечной Арупы (Корень)**.

\*\*

В Арупе (Корень Вселенной) **наличествует** Пятеричный Лха (8.32).

Возмущенные Лхасы ушедших Жизней четырёх, предшествующих Ману-Мыслителю Рас, создают разность потенциалов, равную  $24 - 10 = 14$ , а Расы будущего Теогенезиса поле  $42 - 13 = 29$  (8.32).

Пятеричный Лха оказывается связующим звеном в поле перехода **между прошлым и будущим** (8.32).

<b>Энергетическая связь между Прошлым и Будущим</b>				(8.38)
Формы Продолжительности	Прошлое	Лха Пятеричный	Будущее	
Энергии	Четыре Расы		Теогенезис	
Потенциалы	$24 - 10 = 14$	<b>5</b>	$42 - 13 = 29$	
Форма энергии	Магнетизм	Ману-Мыслитель	Душа и время.	

Будущее - это энергетическое поле, которое излучает равновесные кванты, например импульс волны света (8.32):

$$14 \xrightarrow{+1} 5 \rightarrow 29 - (E_{\lambda} c = 1) \uparrow = 28. \quad (8.39)$$

**Космические** колебания поля Будущего приведут к формированию Красной Звезды:

$$14 \rightarrow 5 \rightarrow 28 \cdot 10^2 \int_0^1 \varphi d\varphi = 1400 = \Delta K. \quad (8.40)$$

При этом в область Пятеричного Лха будут всё время поступать равновесные импульсы (8.39), обеспечивая бесконечность Бытия Кундалини:

$$5 + 1 = 6 \equiv 2,5 + 3,5 = 3,5^2 - 2,5^2. \quad (8.41)$$

\*  
\*\*

Интенсивность Свечения Тонкой Энергии (рис.8.2) изменяется от 27 до 108, а одновременно изменяется потенциал магнитного Зародыша (8.33, 8.34). Магнитный Зародыш вызревает в объёме субструктуры (9+0), заполненной цитоплазмой биоклетки:

<b>Вызревание магнитного Зародыша в субструктуре (9+0)</b>			
<b>Корень: <math>\tau^{T_0}</math></b>	$27 \Leftrightarrow 1,4^3$	Зародыш	$(4^2 - 1^2) \cdot 1,4^6 \equiv$ (8.42)
Реинкарнации	$108 \Leftrightarrow 4 \cdot 1,4^3$	Росток	$15 \cdot 1,4^6$

Между магнитным Зародышем и магнитным ростком возникает разность квадратов потенциалов, включающая в себя множитель 15 (8.42) - эквивалент внутреннего поля света при антирезонансе.

В поле реинкарнаций разность квадратов потенциалов будет величиной в  $10^6$  раз превышающую число  $\pi$  (8.35). Появится отношение:



$$\frac{\text{магнетизм}}{\text{реинкарнации}} \equiv \frac{(4^2 - 1^2) \cdot 1,4^6}{(-108)^2 - (+27)^2} \equiv \frac{112,94504}{314199} = 3,594 \cdot 10^6. \quad (8.43)$$

Появление нового импульса Кундалини с потенциалом  $0,006 \equiv m_c^* - m_c^* \equiv 0,008 - 0,002$  приведёт к формированию импульса-эквивалента люминесцентного белого света на частотах проявления эффекта Кирлиан:

$$(3,594 + 0,006) \cdot 10^6 = 3,6 \cdot 10^6 \equiv 3600 \cdot 10^3 \equiv 10^3 \cdot \Delta B. \quad (8.44)$$

\*  
\*\*

Важнейшим моментом является влияние на Свечение Тонких Энергий эффективности взаимодействий (рис.8.2).

Свечение Тонких Энергий как результат взаимодействий	
Полуэллипс×27	Полуэллипс×28
$27 \equiv \lg(\rho_3 \rho_4 \rho_5 \equiv 10^{27}) \equiv$ $\lg\left(\frac{\rho_5^2}{\rho_1 \rho_2} = \frac{10^2}{10^{-24} 10^{-11}}\right)$	$28 \equiv \lg(\rho_3 \rho_4 \rho_5 / \rho_2 \equiv 10^{28}) \equiv$ $\lg\left(\frac{1}{\rho_1 \rho_2^3} \equiv 10^{28}\right).$

(8.45)

Бесконечная множественность **перестановок и сочетаний взаимодействий**, при их перемещениях в средах, возмущенных излучениями, делают Свечения Тонких Энергий **подобием Высшего Разума**.

Пути Высшего Разума **неисповедимы**, но где бы Он не применял Свою Мощь, везде следует ожидать **позитива**, ибо *Тонкие Энергии Космоса являются базисом Эволюции Живого*.

## 8.4 Перспективы применения Тонких Энергий в сельском хозяйстве

Сегодня появляется всё больше и больше работ, в которых публикуются результаты исследований объектов-субъектов, облучённых волнами Тонкой Энергии.

Особенное внимание в России уделяется зарубежным публикациям [32].

Однако эти разработки далеко не первые. Ещё за восемь лет до публикации [32] Московскими исследователями проводились работы по облучению живого волнами Тонкой Энергии (рис.8.2, [34]).

Передаю их содержание в аннотационной форме:

\*\*

Облучение Тонкой Энергией *растения стевин* до и после его пересадки в грунт увеличивало его интенсивность роста.

**Оказалось, что воздействие облучения чётко зависит от скорости течения времени на Земле и в Космосе.**

Кроме увеличения скорости роста растений никаких побочных эффектов не обнаружено.

\*\*

Облучение Тонкой Энергией среды с вирусом ВИЧ-1, нарушающим иммунную систему человека (СПИД), уничтожает 19% вируса.

**Механизм уничтожения вируса ВИЧ-1 был связан с сокращением различия скорости течения Времени на Земле и в Космосе.**

\*

\*\*

Облучение Тонкой Энергией перепелиных яиц увеличивало оплодотворённость яиц на 10,4%, выводимость на 3,3%, а вывод перепелят на 9%.

\*

\*\*

Облучение Тонкой Энергией старовозрастных растений в культуре *in vitro* трёхлетнего возраста повышало его генную активность.

Определение эндогенного содержания гормонов в наземной части растений и каллусе показало увеличение роста растений с одновременным приобретением ими нормальной морфологии.

Отмечается 100%-ное ускорение роста микропобегов, что совсем отсутствовало у необлучённых экземпляров.

Активизация ростовых процессов и увеличение соотношения в синтезе гормонов является результатом **экспрессии соответствующих генов** после обработки старовозрастных растений волнами Тонкой Энергии.

\*

\*\*

Облучение Тонкой Энергией семян льна давало **полное формирование ризогенной каллусной ткани** (табл.8.7).

Динамика изменения корневой системы кратна пяти, что указывает на влияние Пятеричного Лха.

Таблица 8.7

**Влияние торсионных вихрей (волн Тонкой Энергии)  
на проращение семян (% к контролю)**

Тип излуча- теля Сорт льна	Генератор		Система "видеомагнитофон- телевизор"		Фотография	
Элементы роста	Длина корней	Длина побега	Длина корней	Длина побега	Длина корней	Длина побега
ВНИИЛ-11	150	166,7	150	166,7	50	133,6
Псковская-359	450	133,3	375	233,3	350	200
Примечание	У Псковской-359 корневая система была более мощной, чем у ВНИИЛ-11. Корни и побеги развивались равномерно.					

\*  
\*\*

Семена льна сохраняют информацию от Облучения Тонкой Энергией в течение двух недель.

Облучённые семена переносят стрессовые условия лучше необлучённых.

Совместное хранение облучённых и необлучённых семян повышает проращение необлучённых на 60-62% по сравнению с необлучёнными, которые хранились отдельно от облучённых.

**Семена обмениваются информацией.**

\*  
\*\*

Облучённые Тонкой Энергией семена льна и овса высевались на почвы, загрязнённые сточными водами и тяжёлыми металлами.

При культивировании в стрессовых условиях облучённые семена прорастали лучше. Рост надземной массы от облучённых семян в 2,5÷3 раза превышал рост надземной массы от необлучённых семян.

\*\*

Однократная обработка волнами Тонкой Энергии клубней картофеля увеличивало урожайность незначительно:

Влияние Тонкой Энергии на урожай картофеля (Полевой опыт, сорт Невский, девятикратный повтор 1997 г.)			
Вариант	Фаза и дата обработки	Урожай с 1,3 кв.м	
		Число клубней	Вес клубней
Контроль	-	26,6 шт.	742,0 г.
Облучённый	1-стеблевание 17.07.97 2-бутон-цвет. 31.07.97	28,3 шт.	923,9 г.

(8.46)

Двукратное облучение клубней, даже при низком влагообеспечении и недостаточной минеральности питания увеличило урожайность картофеля на 20%.

Дата учёта	Вариант	Куст		Продуктивность одного куста							
		Высота, см	Число стеблей, шт.	Количество клубней по фракциям, шт.				Вес клубней по фракциям, г.			
				Сумма	< 3 см	3-5 см	> 5 см	Сумма	< 3 см	3-5 см	> 5 см
14.08 1997	Контроль	34,5	3,2	4,8	1,8	2,2	0,8	124,8	5,3	71,1	48,8
	Облучён	34,6	4,0	6,5	1,9	3,6	1,0	167,1	6,0	127,5	33,6
28.08 1997	Контроль	28,7	3,4	4,4	0,8	2,7	0,9	147,4	2,4	78,8	66,2
	Облучён	29,3	3,7	6,3	2,1	3,5	0,7	177,3	9,6	113,2	54,2
01.09 1997	Контроль	-	-	5,3	2,4	1,3	1,6	148,4	19,0	37,4	92,0
	Облучён	-	-	5,7	2,4	1,3	2,0	184,8	18,8	36,0	130.

(8.47)

Облучённый посадочный материал давал урожай более крупными клубнями, чем необлучённый.

\*\*

Облучение семян томатов сорта Вечер и Ромона существенно увеличило рост надземной массы.

Однако накопление надземной биомассы ограничивало отток пластических веществ в плоды и не способствовало повышению урожая.

\*\*

Облучение семян пшеницы также не дало заметного результата:

<b>Действия режимов генератора Тонкой Энергии на морфологическую активность проростков семян различных сельскохозяйственных растений</b>					
Культура и сорт	Режим обработки семян		Всхо- жесть % к контро- лю	Длина 14-ти днев- ных проростков, % к контролю	
	Экспози- ция, сек	Частота, МГц		Корень, см	Стебель, см
Пшеница (Тулай- ковская)	90	16	155,5	141,7	100,0
		50	177,7	183,3	158,8
Овёс (Буг)	20	16	112,5	126,1	141,7
		50	100,0	113,0	125,0
Лея (Бе- линка)	20	16	100,0	168,2	108,8
		50	100,0	127,3	95,4.

(8.48)

Тонкая Энергия более эффективно воздействует на **плоды-корешки**, чем на **плоды-вершки**.

В случае вызревания плодов в надземной массе необходимо учитывать влияние фотосинтеза.

\*  
\*\*

Тонкая Энергия оказывает максимальное влияние на стимулятор роста гиперберилловую кислоту.

Влияние фотосинтеза на повышение концентрации гиперберилловой кислоты - стимулятора роста растений					(8.49)
Стадии роста		Контроль	Не высаженные растения	Свежевысаженные растения	
Наличие ф-синтеза		Также как на стадиях роста	Фотосинтеза нет	Фотосинтез есть	
Концентрация ГК	Стебли	$3,03 \cdot 10^{-9}$	$8,09 \cdot 10^{-9}$	$5,69 \cdot 10^{-9}$	
	Каллус	0,00	$7,90 \cdot 10^{-9}$	$3,20 \cdot 10^{-9}$	
Примечание			Растёт корень	Растёт стебель.	

Разность концентраций в корне:

$$\Delta = (7,90 - 3,20) \cdot 10^{-9} = 4,7 \cdot 10^{-9} \approx 49 \cdot 10^{-10}. \quad (8.50)$$

к отношению концентрации в стебле:

$$5,69 \cdot 10^5 : 8,09 \cdot 10^{-9} \approx 0,7 \cdot 10^4 = 7000, \quad (8.51)$$

указывает на семеричность в процессе фотосинтеза.

## 8.5 Облучение расплавов, спиртов и масел

Лаборатория "Группы компании ОСТ" (г. Черноголовка Московской области) в конце девяностых годов изучала **влияние облучения** Тонкими Энергиями атмосферы, воды, почв.

\*  
\*\*

Облучение атмосферы (воздуха в комнате) показало, что бензол, толуол, ксилол и другие токсические химические элементы сгущаются. Сгущение инициирует увеличение активностей водородных связей. Повышение активностей водородных связей разрывало бензольные и другие органические молекулярные кольца и цепи. Токсичные соединения становились не токсичными.

Сгущение атмосферы воздуха под влиянием Тонких Энергий:

$$5 \text{ ккал/моль} \left( \pm \int_0^1 \varphi d\varphi = \pm \frac{1}{2} \right) = 5/2 \text{ ккал/моль}, \quad (8.52)$$

ослабило водородную связь и токсические вещества разрушились.

\*  
\*\*

Работа по облучению Тонкой Энергией воды и почвы решало вопрос о том, как Тонкая Энергия изменяет щелочность и кислотность в жидких и твёрдых фазах окружающей среды.

Облучение почв показало, что Тонкие Энергии действуют как раскислитель почв. Изменение pH воды было незначительным.



\*

\*\*

Облучалась Тонкими Энергиями также электронно-метрологическая аппаратура, работающая на электромагнитных волнах света.

Волны Тонкой Энергии на работу электронной аппаратуры не влияют.

\*

\*\*

При облучении Тонкими Энергиями охлаждающегося расплава металла свойства металла изменяются (табл.8.8).

Таблица 8.8

**Влияние Тонкой Энергии  
на изменение свойств металлов**

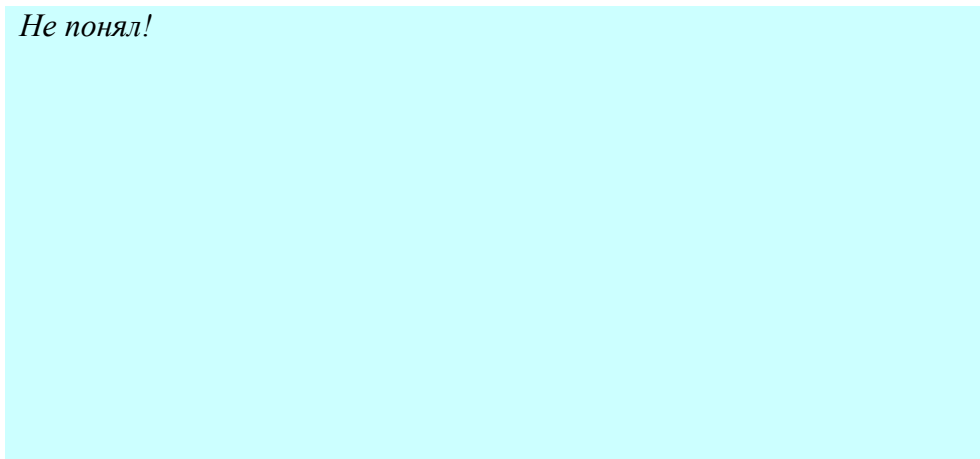
Режим	Температура на 15 - 20°C выше плавления. Скорость охлаждения 5 - 6°C/мин. Экспозиция 9 минут. Анализ - электрометрия			
Фазы металла	Без воздействия		После воздействия	
	Твёрдая	Расплав	Твёрдая	Расплав
Металлы и свойства	<p>1. Твёрдые цинк и галлий (чистота 99,9997%) на облучение генератором не реагируют.</p> <p>2. Девяти минутное облучение расплава цинка снижает температуру кристаллизации на 2,5-3°C и увеличивает продолжительность кристаллизации с 2-х до 4-х минут. Ожидается улучшение свойств. Влияние сохраняется значительное время.</p> <p>3. Облучение расплава галлия сокращает время кристаллизации с 63-х до 6-ти минут. Эффект изменения времени кристаллизации у металлов с более высокой температурой плавления проявляется значительно слабее.</p>			

\*  
\*\*

Влияние Тонких Энергий на смазочные материалы проводила кафедра химии и технологии смазочных материалов Государственной академии нефти и газа им. И.Н.Губкина.

Было установлено, что после облучения масел Тонкими Энергиями проходили необратимые изменения вязкости (рис.8.4).

*Не понял!*



*Рис.8.4 Изменение вязкости масла И-40  
при её облучении Тонкими Энергиями*

\*  
\*\*

В 1997 г. лаборатория "Группа компании ОСТ" (г.Черноголовка, Московская область) проводила испытания воздействия Тонких Энергий на спирты: бутанол, пропанол, аминол, этанол.

Водородные связи в спиртах (органических молекулярных соединениях) Тонкие Энергии разрывают. Спирты сгущаются. Удельный вес спиртов увеличивается.

\*

\*\*

Современные технологии и свойства строительно-отделочных материалов приводят к тому, что сданные в эксплуатацию здания - сооружения выделяют токсичный фенол.

Облучение помещений, излучающих фенол, рвёт фенольные кольца в атмосфере и деформирует молекулярные структуры излучателей фенола.

**Тонкие Энергии полностью очищают здания - сооружения от фенола.**

\*

\*\*

Х.Кларк купила в ближайшем магазине ёмкости и конденсаторы. Собрала высокочастотный колебательный контур и приступила к врачеванию [32].

Она исходила из того, что источником всех болезней являются микро-макро паразиты и грязь.

Комбинируя облучение Тонкими Энергиями с применением трав, диетой и другими способами вывода шлаков из организма, Кларк добивалась излечения там, где современная медицина оказывалась бессильной.

Отличительной чертой работы Х.Кларк явилось определение зависимости частот смертельных для тех или иных видов патогенов [32].

Например, Кларк установила, что для уничтожения плесени необходимы частоты в диапазоне 100÷300 кГц; для уничтожения бактерий и вирусов ~ 300÷400 кГц; круглые и плоские черви, а также одноклеточные погибают при частотах ~ 380÷460 кГц; бородавки сводятся при 400÷448 кГц.

\*

\*\*

В России С.В.Кольцов, применяя облучение Тонкими Энергиями, за 2-3 сеанса лечил двустороннее воспаление лёгких.

Работы Кольцова отличались тем, что, воздействуя волнами Тонких Энергий на металлические пластинки, он использовал сами эти пластинки как излучатели Тонких Энергий.

Более того, Кольцов совместил облучение Тонкими Энергиями и терапию вывода шлаков под воздействием лечебных трав.

В этой связи облучение металлических пластинок Тонкими Энергиями проводилось в присутствии трав, на срезах деревьев и так далее. Эффект положительный.

\*

\*\*

В заключение отмечу следующее: если частоты в  $100\div 500$  кГц уничтожают паразитов в нашем теле, то частоты  $10^6$  Гц вызывают эффект Кирлиана: свечение Ауры. На этих частотах идёт восстановление нашей иммунной системы [4].

\*

\*\*

В качестве Заключения отмечу: сегодняшняя цивилизация на Земле не выживет без умения применения Тонких Энергий.

Дилемма в том, что если государства на пути Единения не поймут Сущности Тонких Энергий, то Тонкие Энергии сметут государства с лица Земли, как мелкие Жизни. Все прошлые усилия будут напрасны.

## **Заключение: сравнение нашей и великой цивилизации**

Наша Пятая Раса Ману-Мыслителей последняя, которая передаёт электрическую энергию по проводам.

Провода нужны затем, чтобы передавать энергию электрических зарядов  $q = 16 \cdot 10^{-20}$  кулон, но передача импульса - аналога Воображения ( $q^* = 16 \cdot 10^{+20}$  кулон) проводов не требует.

**Вечный Двигатель**, о невозможности построения которого так долго и упорно говорили "интеллектуалы" от науки всех времён и народов, займёт достойное место в грядущей Цивилизации Земли.

**Источником Энергии**, обеспечивающим научно - технический прогресс грядущей Цивилизации Земли, будут **самосушие волны в поле Света** (табл.9.1).

Таблица 9.1

**Самосушие волны Тьмы и их искривление светом**

Формы Энергии	Источник Энергии: <b>самосушие волны Тьмы</b>		Самосушие волны, искривлённые светом
Гармонические колебания	$\sin \pi/4 \equiv \cos \pi/4 \equiv \dots 1/\sqrt{2}$		$(1/2 \Leftrightarrow 1 \Leftrightarrow 2) \cdot (E_\lambda \Leftrightarrow 1/E_\lambda)$
	$\sec \pi/4 \equiv \csc \pi/4 \equiv \dots \sqrt{2}$		$\left( \frac{1}{2\pi} \Leftrightarrow \frac{1}{\pi} \Leftrightarrow \frac{2}{\pi} \right) \Leftrightarrow$ $\left( \frac{\pi}{2} \Leftrightarrow \pi \Leftrightarrow 2\pi \right)$
Потенциалы	$1/\sqrt{2} \Leftrightarrow \sqrt{2} ; 1/2 \Leftrightarrow 1 \Leftrightarrow 2$		$(1 \Leftrightarrow 2 \Leftrightarrow 4) \Leftrightarrow (\pi \Leftrightarrow 2 \Leftrightarrow 4\pi)$
<i>Кундалини</i> и Пирамида	$\frac{1}{2} + 1 + 2 = \frac{7}{2}$ <i>Расширение</i>	$\frac{1}{2} + 2 = \frac{5}{2}$ <i>Сжатие</i>	Круг (окружность) с $R=2$ , в которое вписывается основание великой Пирамиды.

**Как только наша цивилизация осознает, что вечным неисчерпаемым источником Энергии являются самосушие волны Тьмы (табл.9.1), она станет на путь, уже пройденный великой Цивилизацией, и принесёт Свои Знания в Сокровищницу Мысли Космического содружества носителей Разума.**

\*  
\*\*

*В поисках источника Энергии для Жизни новых тел, мы ископали и опустошили Недра Земли.*

Сегодня мы завершаем выкачивать из Земли нефть и газ, металлы пустили на провода и машины. **Но самым гнусным нашим достижением является создание Общества Потребления с моралью бандита во власти и нищетою Мировоззрения золотого тельца.**

Идиотизм **трёхчакровых культурологов** достиг апофеоза в протаскивании **Идеи Звёздный войн**, фильмы-ужасы о которых награждаются высокими отличиями эгоцентричной частью социума во власти.

Шизофреническому уму носителей идеологии **эгоцентризма**, разжигающему кровавые разборки противоречий на Земле, уже мерещатся Звёздные Войны: **подобия провокационной политике власти капитала в Космическом масштабе.**

\*  
\*\*

Звёздных войн не было и никогда не будет, ибо Высший космический Разум ограничивает недоразвитые эгоцентрические цивилизации (в том числе сегодняшнюю нашу на Земле) низким уровнем пределов развития научно-технического прогресса.

**"Бодливой корове Бог рог не даёт"**

Эгоцентричные цивилизации вроде нашей остаются без понимания **Сущности Энергии и Перемещений в Пространстве.**

**Неисправимые любители Звёздных Войн стираются с лиц своих планет проживания как мелкие Жизни.**

Космическое содружество великих Цивилизаций следит за ходом Эволюции Жизни во всех уголках Вселенной. Поэтому попытки, например, Землян, взорвать атомную бомбу на Луне, решительно пресекаются. Пока пресекаются, ибо ещё не решён нами самими вопрос: быть, или не быть?

\*\*

**Нам надо Быть! А для того, чтобы Быть - надо Знать:**

1. Колебание самосуших волн начинается в поле сгустка с дробн-Дзиан, достигает равновесия, а затем вступает во взаимодействия (табл.9.1).

Процесс повторяется в цис-транс изомерии, что формирует **семеричность** Космоса (табл.9.2).

Пульсация самосуших волн вечной Тьмы сгущает эти волны в ядро, в котором на поверхности функционируют **магнитные поля, то есть логарифмические волны ядерных взаимодействий**, а в эпицентре ядер протекают ядерные взаимодействия с эффективностью  $\rho_4 = 10^{14}$  (табл.9.2).

Таблица 8.2

**Пульсация самосуших волн вечной Тьмы**

Изомерия	←	цис	→←	транс	→
Пять продвижений	I	II	III	IV	V
Поля	Плюс Дзиан	Равно- весие	Взаимодействия	Равно- весие	Минус- Дзиан
Волны и потенциалы	$\sin^2 \pi/4 \equiv$ $\int_0^1 \varphi d\varphi \equiv$ $+1/2$	$\sin^2 \alpha +$ $\cos^2 \alpha$ $= +1$	$\pm \lg \rho_1 \rho_2 \rho_3 \rho_4 \rho_5 \equiv$  $72$  $+2 \quad -2$	$\operatorname{Sh}^2 \alpha +$ $\operatorname{Ch}^2 \alpha$ $= -1$	$\cos^2 \pi/4 \equiv$ $\int_1^0 \varphi d\varphi \equiv$ $-1/2$
Семеричность	$T_0 + \tau = 4 + 3 \equiv 1/2 + 1 + 2 - (-1/2 - 1 - 2) = 7$ Антирезонанс				
Равновесие	$(1/2) \cdot (+1) \cdot (+2) \cdot (-1/2) \cdot (-1) \cdot (-2) = (-1) \cdot (-1) \cdot (-1) \equiv i^6$ Резонанс				
Магнитная среда	$\int_{7-1}^{7+1} \varphi d\varphi = \int_6^8 \varphi d\varphi = \frac{1}{2} (8^2 - 6^2) \equiv 14 \equiv \sqrt{\mu\mu}^*$				
Св.Дух и душа (антирезонанс)	$14 + (10 \equiv \rho_5) = 24$ (эквивалент Св.Духа) $24 \cdot (\rho^*/q^* = 7/4) = 42$ (эквивалент Души)				
Ядро	Пери- ферия	$14 \cdot \lg \rho_5 = \lg 10^{14} \equiv \lg \rho_5$ (Логарифмические волны)			
	Эпи- центр	$\rho_5^{14 \lg \rho_5} = 10^{14} \equiv \rho^4$ (Ядерные взаимодействия).			

\*\*

2. Для того, чтобы стать великой Цивилизацией нам надо знать механизм пульсации цис и транс изомерических ветвей **самосуших волн**, ибо именно они приводят к **1,5 оборота Колеса**, ведущего к Красной Звезде Теогенезиса [1, 2], а также к **ветвям Кундалини сжатия и расширения** (табл.9.2, табл.9.3).



**Божественная Кундалини в поле самосущих волн**

Изомерия само- сущих волн	$\pm(1/2 + 1 + 2)$		
Потенциалы	$\pm(1/2 + 1) \equiv$ $\pm 3/2 = \pm 1,5$	$\pm(1/2 + 2) \equiv$ $\pm 5/2 \equiv \pm 2,5$	$\pm(1/2 + 1 + 2) \equiv$ $\pm 7/2 \equiv \pm 3,5$
Связь с Кундалини	Полтора оборо- та Колеса [2]	Кундалини сгущения	Кундалини расширения.

Иисус продолжил разъяснение поля **в полтора оборо-  
та Колеса** (табл.9.3), продиктовав Св. Иоанну Круг  
Универсума в Откровениях, где потенциалы кратны 2, 3 и  
4 [5].

В конечном счёте и наши создатели (великая Циви-  
лизация) и наши Учителя (в том числе Иисус Христос) го-  
ворили нам о простой и конкретной субстанции: поле  
Арупы (космоса Невесомости) **пульсирует между Хаосом  
и Гармонией:**

$$\tau \int_0^1 \varphi d\varphi = \frac{3}{2} \Leftrightarrow -\frac{3}{2} = \tau \int_0^1 \varphi d\varphi ,$$

$$6 \Leftrightarrow -6 \quad \text{и} \quad \pm 12 \Leftrightarrow 0, \quad (9.1)$$

**формируя разнонаправленные Кундалини ( $\pm 6$ ) и среды  
между ними:**

$$\pm \int_{6-1}^{6+1} \varphi d\varphi = \pm \frac{1}{2} (7^2 - 5^2) = \pm 12, \quad (9.2)$$

в которых формируются системы по двенадцати знаков  
Зодиака.

Разве без этих Знаний можно совершать космиче-  
ские полёты? Можно, на верёвке керосина - топлива ракет.

3. Для того, чтобы стать великой Цивилизацией нам **надо Знать, как возникает Арупа (вне Формы) и как Арупа переходит в Рупу (Форма).**

Эти Знания связаны с пониманием эффективностей взаимодействий и эквивалентностью продолжительности Арупы ( $\tau = 3$ ) потенциалу трёхмерного пространства ( $x + y + z \equiv \tau = 3$ ) Рупы (табл.9.4).

Таблица 9.4

**Возникновение Арупы и её переход в Рупу**

Поля		Арупа	Рупа
Структура поля		Свет и слабые взаимодействия	Трёхмерное Пространство
Изомерия	Цис	$\lg \rho_5^3 \equiv \lg \rho_2^2 - \lg \rho_2 \equiv 3 = \tau$	$x + y + z = 3$
	Транс	$\lg \rho_2^3 \equiv \lg \rho_2^2 - \lg \rho_5 \equiv -3 = -\tau$	$-x - y - z = -3.$

Естественно комбинаций взаимодействий в Арупе будет великое множество, но переход в Рупу будет **ограничивать комбинации взаимодействий трёхмерным пространством** (табл.9.4):

$$\tau = \pm 3 \overset{70}{\underset{70}{\longleftrightarrow}} \pm 3 \equiv x + y + z. \quad (9.3)$$

В трёхмерном Пространстве кванты могут совершать поступательное движение по шести направлениям  $\pm x, \pm y, \pm z$ , а колебания типа маятникового эффекта - по 12 направлениям.

4. Для того, чтобы стать великой Цивилизацией нам необходимо **помнить** и **знать**, что Кундалини находится в пульсирующем Космосе.

Пульсирующий Космос смещает Равновесие Арупы (половину оболочки кванта света с потенциалом  $\pm 3$ ), и это смещение формирует Спирали Кундалини и 12 знаков Зодиака (табл.9.5).

Таблица 9.5

**Пульсация Кундалини в Арупе и Рупе**

Поля		Арупа	Рупа	Разности
Равновесие		$\pm\tau = \pm 3 = 2\pi R^2$ полусфера	$\pm(x+y+z) \equiv \pm 3$ трёхмерное пространство	$\pm[+6-(-6)] \equiv \pm 12$
Кун- да- лини	расширение	$3 + \int_0^1 \varphi d\varphi = 3,5$	$-3 + \int_1^0 \varphi d\varphi = -3,5$	$\pm 7$
	сжатие	$3 + \int_1^0 \varphi d\varphi = 2,5$	$-3 + \int_0^1 \varphi d\varphi = -2,5$	$\pm 5$
	Суммы	+6	-6	$\pm 12 \pm 12 = \pm 24.$

В этом поле спираль знаков Зодиака пульсирует:

$$\int_{12-1}^{12+1} \varphi d\varphi = \frac{1}{2}(13^2 - 11^2) = 24, \quad (9.44)$$

формируя важнейшее поле Вселенной: поле Святого Духа с потенциалом 24 (9.4).

Поле Святого Духа, попадая в переход между Арупой и Рупой формирует Душу индивидуума:

$$\int_{12-1}^{12+1} \varphi d\varphi \times \frac{T_0 + \tau}{T_0} \equiv 24 \cdot \frac{7}{4} \equiv 42. \quad (9.5)$$

**Пульсация Тонких Энергий Души и Святого Духа даёт Всё, что требуется для формирования Сгустка Материи (табл.9.6).**

Таблица 9.6

**Производные Души и Святого Духа**

Поля	Вода и пульсирующий свет	Субструктура митоза в Арупе	Водород: постоянная Вселенной	Знаки Зодиака
Потенциалы	$42 - 24 = 18 \equiv$	$42+24 = 66 \equiv \tau(9+2)$	$42 \cdot 24 = 1008$	$\frac{1008}{18+66} = 12$
Примечание	$M_{H_2O} \equiv 36 \int_0^1 \varphi d\varphi$		$10^3 (A_H = 1,008)$	$T_0 + \tau = 7.$

Надеюсь, что, ознакомившись с данными таблицы 9.6, **священнослужители перестанут читать религиозную литературу** нараспев - скороговоркой, как это делают пономари, а с чувством, с толком, с расстановкой.

Задуматься есть над Чем (9.5). Так, например, потенциал  $12 - 1 = 11$  является эквивалентом субструктуры (9+2) и кратен молекулярному весу табулина ( $M_{\text{табулина}} = 110000$  к.е.), - материалу микротрубочки поря ядра биоклетки.

В то же время потенциал  $12+1 \equiv 13$  характеризует 13 субъединиц в микротрубочке поры ядра биоклетки, функционирующих как биочасы по 13 лунному Календарю Цивилизации Майи.

**Строгий и точный, корректный и справедливый анализ данных таблицы 9.6 может коренным образом изменить Мировоззрение религиозно-научного социума Земли.**

5. Для того чтобы стать великой Цивилизацией мы должны **отбросить Эго-Центризм** во всех его агрессивных формах и понять, что **великие Цивилизации тоже не сразу увидели свет в конце туннеля.**

Свет искривляет Пространство Самосущих (табл.9.1).

<b>Искривление самосущих волн светом</b>		
Поля (табл.9.1).	До света во тьме	Свет пришел из тьмы
Семеричность мира	$\pm(1\leftrightarrow\pm2\leftrightarrow\pm4)=\pm7$	$\pm(\pi\leftrightarrow\pm2\pi\leftrightarrow4\pi)=\pm7\pi$
Появление спиралей Кундалини	$\pm 7 \left( \pm \int_0^1 \varphi d\varphi \right) = \pm \frac{7}{2}$	$\pm 7\pi \left( \pm \int_1^0 \varphi d\varphi \right) = \mp \frac{7}{2}\pi$ (9.6)
Пальмы и различия в траекториях	$\pm \frac{7}{2} \left( \pm \int_0^1 \varphi d\varphi \right) = \pm \frac{7}{4}$ Прямолинейно летающий импульс	$\mp \frac{7}{2}\pi \left( \pm \int_1^0 \varphi d\varphi \right) = \pm \frac{7}{4}\pi$ Искривленный импульс вращения.

Великая Цивилизация взяла пальму за Единицу своего Научного Счисления потому, что отношения гравитационно-энергетических полей и переход Арупа - Рупа в этих условиях был равновесным и не требовал затраты энергии от самих компонент перехода (табл.9.7).

Таблица 9.7

**Пальма: переход в Рупу без затраты энергии**

Форма энергии	Продолжи- тельность	Заряды	Импульсы	Импульсы- заряды
Потенциалы	$k_1 \equiv \frac{T_0}{T_0 + \tau} = \frac{4}{7}$	$k_2 \equiv \frac{\rho}{q} = \frac{7}{4}$	$k_3 \equiv \frac{\rho^*}{q^*} = \frac{7}{4}$	$k_4 \equiv \sqrt{\frac{\rho\rho^*}{qq^*}} = \frac{7}{4}$
Скорость перехода	$v \equiv k_2 k_1 \equiv k_3 k_1 \equiv k_4 k_1 = 1$ Равновесие: переход без затраты энергии.			

Важнейшим свойством поля Кундалини (9.6) является то, что в поле расширяющейся Вселенной, расширение Кундалини ограничивается гравитацией (9.6):

<b>Кундалини в расширяющейся Вселенной: гравитация</b>						
Форма Пространства	Искривлённое			Неискривлённое		
Поля	Среда	Кунда- лини	Резуль- тат	Среда	Кунда- лини	Резуль- тат
Область бегущего линейного импульса, с	$k_1 = T_0 \frac{c}{\omega_0^2} = 8 \cdot \frac{1}{\pi}$	$k_3 = \frac{7}{2} \pi$	$k_1 \cdot k_3 = 28$	$k_2 = T_0 \frac{c}{\omega_0} = 8$	$k_4 = \pm \frac{7}{2}$	$k_2 \cdot k_4 = 28$
Область поверхностного импульса, с <sup>2</sup>	$k_5 = T_0 \frac{c^2}{\omega_0^3} = 32 \cdot \frac{1}{\pi}$	$k_7 = \pm \frac{7}{8} \pi$	$k_5 \cdot k_7 = 28$	$k_6 = T_0 \frac{c^2}{\omega_0^2} = 16$	$k_8 = \pm \frac{7}{4}$	$k_6 \cdot k_8 = 28$
Область объёмного импульса, с <sup>3</sup>	$k_9 = T_0 \frac{c^3}{\omega_0^4} = 64 \cdot \frac{1}{\pi}$	$k_{11} = \frac{7}{16} \pi$	$k_9 \cdot k_{11} = 28$	$k_{10} = T_0 \frac{c^3}{\omega_0^3} = 32$	$k_{12} = \pm \frac{7}{8}$	$k_{10} k_{12} = 28.$

(9.7)

При сохранении гравитационного Числа, равного и эквивалентного  $T_0(T_0 + \tau) \equiv \sqrt{\rho \rho^*} = 28$ , переход между неискривлённым и искривлённым пространством зависит от степени искривления Пространства и числа витков спирали расширяющейся Кундалини (9.7, табл.9.8).

Таблица 9.8

**Искривлено - неискривлённое поле Лунного ряда  
и его связь с числом витков спирали Кундалини**

Форма Пространства	Искривлённое светом		Гравитация	Неискривлённое	
Компоненты	Потенциал расширения	Кундалини	Потенциал расширения	Потенциал расширения	Кундалини
Гравитационное равновесие	$T_0 \frac{c^n}{\omega_0^{n+1}}$	$\frac{7}{2^{n+1}} \pi$	$T_0 \cdot (T_0 + \tau)$	$T_0 \frac{c^n}{\omega_0^n}$	$\frac{7}{2^n}$
	28		28	28	
Векторное описание гравитационно-магнитного поля	<div><div><div><div><div></div><div></div><div></div><div></div></div><div><div></div><div></div><div></div><div></div></div><div><div></div><div></div><div></div><div></div></div><div><div></div><div></div><div></div><div></div></div></div><div><div></div><div></div><div></div><div></div></div><div><div></div><div></div><div></div><div></div></div><div><div></div><div></div><div></div><div></div></div></div><div><div></div><div></div><div></div><div></div></div><div><div></div><div></div><div></div><div></div></div><div><div></div><div></div><div></div><div></div></div></div> <div><div></div><div></div><div></div><div></div></div> <div><div></div><div></div><div></div><div></div></div> <div><div></div><div></div><div></div><div></div></div> <div><div></div><div></div><div></div><div></div></div> <div><div></div><div></div><div></div><div></div></div> <div><div></div><div></div><div></div><div></div></div> <div><div></div><div></div><div></div><div></div></div> <div><div></div><div></div><div></div><div></div></div> <div><div></div><div></div><div></div><div></div></div> <div><div></div><div></div><div></div><div></div></div> <div><div></div><div></div><div></div><div></div></div> <div><div></div><div></div><div></div><div></div></div> <div><div></div><div></div><div></div><div></div></div> <div><div></div><div></div><div></div><div></div></div> <div><div></div><div></div><div></div><div></div></div> <div><div></div><div></div><div></div><div></div></div> <div><div></div><div></div><div></div><div></div></div> <div><div></div><div></div><div></div><div></div></div> <div><div></div><div></div><div></div><div></div></div> <div><div></div><div></div><div></div><div></div></div> <div><div></div><div></div><div></div><div></div></div> <div><div></div><div></div><div></div><div></div></div> <div><div></div><div></div><div></div><div></div></div> <div><div></div><div></div><div></div><div></div></div> <div><div></div><div></div><div></div><div></div></div> <div><div></div><div></div><div></div><div></div></div> <div><div></div><div></div><div></div><div></div></div> <div><div></div><div></div><div></div><div></div></div> <div><div></div><div></div><div></div><div></div></div> <div><div></div><div></div><div></div><div></div></div> <div><div></div><div></div><div></div><div></div></div> <div><div></div><div></div><div></div><div></div></div> <div><div></div><div></div><div></div><div></div></div> <div><div></div><div></div><div></div><div></div></div> <div><div></div><div></div><div></div><div></div></div> <div><div></div><div></div><div></div><div></div></div> <div><div></div><div></div><div></div><div></div></div> <div><div></div><div></div><div></div><div></div></div> <div><div></div><div></div><div></div><div></div></div> <div><div></div><div></div><div></div><div></div></div> <div><div></div><div></div><div></div><div></div></div> <div><div></div><div></div><div></div><div></div></div> <div><div></div><div></div><div></div><div></div></div> <div><div></div><div></div><div></div><div></div></div> <div><div></div><div></div><div></div><div></div></div> <div><div></div><div></div><div></div><div></div></div> <div><div></div><div></div><div></div><div></div></div> <div><div></div><div></div><div></div><div></div></div> <div><div></div><div></div><div></div><div></div></div> <div><div></div><div></div><div></div><div></div></div> <div><div></div><div></div><div></div><div></div></div> <div><div></div><div></div><div></div><div></div></div> <div><div></div><div></div><div></div><div></div></div> <div><div></div><div></div><div></div><div></div></div> <div><div></div><div></div><div></div><div></div></div> <div><div></div><div></div><div></div><div></div></div> <div><div></div><div></div><div></div><div></div></div> <div><div></div><div></div><div></div><div></div></div> <div><div></div><div></div><div></div><div></div></div> <div><div></div><div></div><div></div><div></div></div> <div><div></div><div></div><div></div><div></div></div> <div><div></div><div></div><div></div><div></div></div> <div><div></div><div></div><div></div><div></div></div> <div><div></div><div></div><div></div><div></div></div> <div><div></div><div></div><div></div><div></div></div> <div><div></div><div></div><div></div><div></div></div> <div><div></div><div></div><div></div><div></div></div> <div><div></div><div></div><div></div><div></div></div> <div><div></div><div></div><div></div><div></div></div> <div><div></div><div></div><div></div><div></div></div> <div><div></div><div></div><div></div><div></div></div> <div><div></div><div></div><div></div><div></div></div> <div><div></div><div></div><div></div><div></div></div> <div><div></div><div></div><div></div><div></div></div> <div><div></div><div></div><div></div><div></div></div> <div><div></div><div></div><div></div><div></div></div> <div><div></div><div></div><div></div><div></div></div> <div><div></div><div></div><div></div><div></div></div> <div><div></div><div></div><div></div><div></div></div> <div><div></div><div></div><div></div><div></div></div> <div><div></div><div></div><div></div><div></div></div> <div><div></div><div></div><div></div><div></div></div> <div><div></div><div></div><div></div><div></div></div> <div><div></div><div></div><div></div><div></div></div> <div><div></div><div></div><div></div><div></div></div> <div><div></div><div></div><div></div><div></div></div> <div><div></div><div></div><div></div><div></div></div> <div><div></div><div></div><div></div><div></div></div> <div><div></div><div></div><div></div><div></div></div> <div><div></div><div></div><div></div><div></div></div> <div><div></div><div></div><div></div><div></div></div> <div><div></div><div></div><div></div><div></div></div> <div><div></div><div></div><div></div><div></div></div> <div><div></div><div></div><div></div><div></div></div> <div><div></div><div></div><div></div><div></div></div> <div><div></div><div></div><div></div><div></div></div> <div><div></div><div></div><div></div><div></div></div> <div><div></div><div></div><div></div><div></div></div> <div><div></div><div></div><div></div><div></div></div> <div><div></div><div></div><div></div><div></div></div> <div><div></div><div></div><div></div><div></div></div> <div><div></div><div></div><div></div><div></div></div> <div><div></div><div></div><div></div><div></div></div> <div><div></div><div></div><div></div><div></div></div> <div><div></div><div></div><div></div><div></div></div> <div><div></div><div></div><div></div><div></div></div> <div><div></div><div></div><div></div><div></div></div> <div><div></div><div></div><div></div><div></div></div> <div><div></div><div></div><div></div><div></div></div> <div><div></div><div></div><div></div><div></div></div> <div><div></div><div></div><div></div><div></div></div> <div><div></div><div></div><div></div><div></div></div> <div><div></div><div></div><div></div><div></div></div> <div><div></div><div></div><div></div><div></div></div> <div><div></div><div></div><div></div><div></div></div> <div><div></div><div></div><div></div><div></div></div> <div><div></div><div></div><div></div><div></div></div> <div><div></div><div></div><div></div><div></div></div> <div><div></div><div></div><div></div><div></div></div> <div><div></div><div></div><div></div><div></div></div> <div><div></div><div></div><div></div><div></div></div> <div><div></div><div></div><div></div><div></div></div> <div><div></div><div></div><div></div><div></div></div> <div><div></div><div></div><div></div><div></div></div> <div><div></div><div></div><div></div><div></div></div> <div><div></div><div></div><div></div><div></div></div> <div><div></div><div></div><div></div><div></div></div> <div><div></div><div></div><div></div><div></div></div> <div><div></div><div></div><div></div><div></div></div> <div><div></div><div></div><div></div><div></div></div> <div><div></div><div></div><div></div><div></div></div> <div><div></div><div></div><div></div><div></div></div> <div><div></div><div></div><div></div><div></div></div> <div><div></div><div></div><div></div><div></div></div> <div><div></div><div></div><div></div><div></div></div> <div><div></div><div></div><div></div><div></div></div> <div><div></div><div></div><div></div><div></div></div> <div><div></div><div></div><div></div><div></div></div> <div><div></div><div></div><div></div><div></div></div> <div><div></div><div></div><div></div><div></div></div> <div><div></div><div></div><div></div><div></div></div> <div><div></div><div></div><div></div><div></div></div> <div><div></div><div></div><div></div><div></div></div> <div><div></div><div></div><div></div><div></div></div> <div><div></div><div></div><div></div><div></div></div> <div><div></div><div></div><div></div><div></div></div> <div><div></div><div></div><div></div><div></div></div> <div><div></div><div></div><div></div><div></div></div> <div><div></div><div></div><div></div><div></div></div> <div><div></div><div></div><div></div><div></div></div> <div><div></div><div></div><div></div><div></div></div> <div><div></div><div></div><div></div><div></div></div> <div><div></div><div></div><div></div><div></div></div> <div><div></div><div></div><div></div><div></div></div> <div><div></div><div></div><div></div><div></div></div> <div><div></div><div></div><div></div><div></div></div> <div><div></div><div></div><div></div><div></div></div> <div><div></div><div></div><div></div><div></div></div> <div><div></div><div></div><div></div><div></div></div> <div><div></div><div></div><div></div><div></div></div> <div><div></div><div></div><div></div><div></div></div> <div><div></div><div></div><div></div><div></div></div> <div><div></div><div></div><div></div><div></div></div> <div><div></div><div></div><div></div><div></div></div> <div><div></div><div></div><div></div><div></div></div> <div><div></div><div></div><div></div><div></div></div> <div><div></div><div></div><div></div><div></div></div> <div><div></div><div></div><div></div><div></div></div> <div><div></div><div></div><div></div><div></div></div> <div><div></div><div></div><div></div><div></div></div> <div><div></div><div></div><div></div><div></div></div> <div><div></div><div></div><div></div><div></div></div> <div><div></div><div></div><div></div><div></div></div> <div><div></div><div></div><div></div><div></div></div> <div><div></div><div></div><div></div><div></div></div> <div><div></div><div></div><div></div><div></div></div> <div><div></div><div></div><div></div><div></div></div> <div><div></div><div></div><div></div><div></div></div> <div><div></div><div></div><div></div><div></div></div> <div><div></div><div></div><div></div><div></div></div> <div><div></div><div></div><div></div><div></div></div> <div><div></div><div></div><div></div><div></div></div> <div><div></div><div></div><div></div><div></div></div> <div><div></div><div></div><div></div><div></div></div> <div><div></div><div></div><div></div><div></div></div> <div><div></div><div></div><div></div><div></div></div> <div><div></div><div></div><div></div><div></div></div> <div><div></div><div></div><div></div><div></div></div> <div><div></div><div></div><div></div><div></div></div> <div><div></div><div></div><div></div><div></div></div> <div><div></div><div></div><div></div><div></div></div> <div><div></div><div></div><div></div><div></div></div> <div><div></div><div></div><div></div><div></div></div> <div><div></div><div></div><div></div><div></div></div> <div><div></div><div></div><div></div><div></div></div> <div><div></div><div></div><div></div><div></div></div> <div><div></div><div></div><div></div><div></div></div> <div><div></div><div></div><div></div><div></div></div> <div><div></div><div></div><div></div><div></div></div> <div><div></div><div></div><div></div><div></div></div> <div><div></div><div></div><div></div><div></div></div> <div><div></div><div></div><div></div><div></div></div> <div><div></div><div></div><div></div><div></div></div> <div><div></div><div></div><div></div><div></div></div> <div><div></div><div></div><div></div><div></div></div> <div>&lt;</div>				

**Электрическое поле возникает на поверхности гравитационно-магнитного поля и оно сжимает это поле (табл.9.8).**

\*\*

6. Важнейшей проблемой для любой цивилизации является **её обеспечение энергией**.

Основное различие между нашей и великой цивилизациями состоит в различии источников энергии и передаче энергии на большие расстояния (табл.9.9).

Таблица 9.9

**Источники энергии и её передача в Пространстве  
нашей и великой цивилизациями**

Цивилизации	Источник энергии	Передача энергии
Наша	Ресурсы планеты Земля (конечные)	По проводам. Централизованная
Великая	Самосущие волны Космоса (бесконечные)	Без проводов. Автономная.

Наша цивилизация использует **электромагнетизм** в той его части, которая связана с движением **элементарного электрического** заряда по поверхности проводников и возникновения вокруг них **магнитных вихрей силовых линий**.

В процессе передачи энергии на расстояние участвуют **импульсы электрона-позитрона** и энергия вращения магнитных вихрей (табл.9.10).

Таблица 9.10

**Электрон-позитронная передача энергии  
нашей цивилизацией (по проводам)**

Процесс	Электрон	Позитрон
Электромагнитная индукция	$\frac{+(14 \equiv \sqrt{\mu\mu^*})\omega_0^2}{-(16 = \sqrt{qq^*})c} \equiv$	$\frac{+(16 = \sqrt{qq^*})c}{-(14 \equiv \sqrt{\mu\mu^*})\omega_0^2} \equiv$
	$\frac{7}{16} \cdot \frac{\pi}{4} \Leftrightarrow \frac{16}{7} \cdot \frac{4}{\pi}.$	

Использование нашей цивилизацией электромагнитной индукции **с участием проводов** не мешает функционированию контура колебаний (9.8), в котором по мере колебаний формируются различные формы энергии.



Важнейшим моментом является получение колебаний между **квадратом пальмы** и **Золотым Числом**  $\Phi = 16/\pi^2$  (9.8):

$$\frac{7^2}{4^2} \equiv \frac{\rho\rho^*}{qq^*} \Leftrightarrow 4\Phi = \frac{16^2}{\pi^2} \equiv T_0^{T_0} m_c E_\lambda. \quad (9.9)$$

В этом поле (9.9) происходит **накопление зарядов-импульсов в объёме пространства с Золотым Числом**.

Возникает разность между гравитационным и электрическими зарядами (9.10):

$$\rho\rho^* \Leftrightarrow 16^2 qq^* / \pi^2 (qq^*)^2 m_c E_\lambda. \quad (9.10)$$

**Пульсацию света  $m_c E_\lambda$  мы снимаем трансформаторами LC** (индуктивность - ёмкость) в электрическом поле.

Применение LC контуров **выпрямляет электрическое пространство**:

$$\rho\rho^* \Leftrightarrow [(qq^*)^2 m_c E_\lambda] \cdot c^2 = (qq^*)^2. \quad (9.11)$$

Формирование равновесных искривлённых электрон-позитронных структур (в том числе атомов) прекращается (9.10) и **возникает линейная антирезонансная разность потенциалов** (9.5):

$$(qq^*)^2 - \rho\rho^* = 16^4 - 28^2 = 4^2 \cdot (4^6 - 7^2), \quad (9.12)$$

где:  $7^2$  оболочка;

$16^4$  - электрическое поле, пульсирующее с периодичностью  $4^2 = T_0^2$  (9.12).

**Пульсирующее электрическое поле в оболочке по своей физической сущности будет являться Шаровой Молнией.**

Электрическая структура шаровой молнии неустойчива и стремится к **расширению в Пространстве электрическими взрывами**, которые, например, наблюдаем как молнии в атмосфере Земли.

Передача электрической энергии по проводам не доводит процесс до крайностей взрывов шаровых молний, но **приватизация** электростанций и сетей электропередач накаляют противоречия в социуме.

**Шоковая терапия народов Земли путём отключения электричества** и неограниченный рост тарифов за обеспечение электроэнергией приведут к социальному взрыву подобному взрыву шаровой молнии.

Продажной и погрязшей в коррупции **власти капитала, стремящейся обладать многим, чтобы обладать Всем**, необходимо помнить, что **алчность - это подобие шизофрении**.

Космическое Содружество таких вырожденцев не терпит и **сметает их с Лиц Планет Проживания**.

\*\*

7. Великая Цивилизация также получает энергию за счёт разности потенциалов между **импульсами прямолинейного движения и энергией вращения**.

Однако для того, чтобы получить прямолинейный импульс, великая Цивилизация использовала **не провода**, как мы, а **импульс гравитации, летящий подобно Мысли в вихре Памяти** (табл.9.8):

$$\rho^*c - m^*\omega_0 \equiv (2\mu^* - \mu^*/2) \cdot c \equiv 1,5\mu^*c. \quad (9.13)$$

Попадание волны-частицы в эти **полтора оборота Колеса [2]** приводило к **выпрямлению Пространства**, то есть к **излучению кванта равновесия (9.13)**:

$$(m_c = E_\lambda = 1/\pi \equiv 1/c) \cdot (1,5\mu^*c) = 1,5\mu^* \equiv 1,5 \cdot 14 \cdot 10^{20}, \quad (9.14)$$

где  $\mu^* \equiv 14 \cdot 10^{20} \equiv 1400 \cdot 10^{18} \equiv \Delta K \cdot 10^{18}$  является эквивалентом разности длин волн красной области спектра белого солнечного света.

**В этом поле (9.14) мы, Ману-Мыслители, становимся Людьми Воли и Йоги, и всё живое на Красной Планете питается пурпурным зерном прямо из рук Богов ([2], Книга Дзиан, Теогенезис).**

\*\*

8. Великая Цивилизация за энергетический базис принимала не электромагнетизм, как мы, а разноимённые импульсы Мысли и Памяти Космоса, то есть гравитомагнетизм (табл.9.11).

Таблица 9.11

**Великая Цивилизация:  
передача энергии без проводов**

процесс \ $\rho^*c$	Положительный	Отрицательный
Гравиомагнетизм	$-\frac{\mu^* \omega_0^2}{\rho^* c} \equiv \frac{\pi}{4} \cdot \frac{1}{\mu^*}$	$-\frac{\rho^* c}{\mu^* \omega_0^2} = \frac{4}{\pi} \cdot \mu^*$
Магнитное равновесие	$1 \Leftrightarrow (16/\pi^2 = \Phi) \cdot (\mu^*)^2.$	

Способ передачи энергии великой Цивилизацией сам по себе является **основой созидания**: в объёмах с Золотым Числом  $\Phi = 16/\pi^2$  возникают Живые Магниты. **Возникает Жизнь** (табл.9.10).

9. **Создатель** Сущего дал нашим **Учителям** из великой Цивилизации и **нам** Свободу воли идти своими путями: нам по пути **электромагнетизма**, великой Цивилизации по пути **гравитомагнетизма** (табл.9.10, табл.9.11).

Проект Создателя Единого космоса базировался на Единстве гравитомагнетизма.

Создатель знал, что пути Носителей Разума, ведущие к поискам Энергии, пересекутся, как это происходит в моей работе, которую Вы читаете.

Эффективности путей получения энергии нами и великой Цивилизацией можно сравнить (табл.9.12).

Таблица 9.12

**Сравнение энергоёмкости  
нашей и великой Цивилизаций**

Параметры Цивилизации	Отношения
$\frac{\text{Великая}}{\text{Наша}}$	$\equiv \frac{\rho^* c \cdot \mu^* \omega_0^2}{\rho c \cdot \mu \omega_0^2} = \frac{7}{4} \cdot 10^{80} \Leftrightarrow \dots$
$\frac{\text{Наша}}{\text{Великая}}$	$\frac{4}{7} \cdot 10^{-80} \Leftrightarrow \dots$

И вот с таким отношением не в нашу пользу, (табл.9.12) наши **узкоголовые от Культуры** муссируют тему Звёздных Войн?!

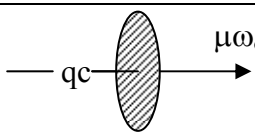

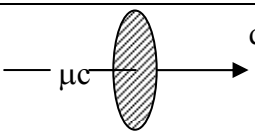
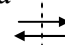
Мы не успеем моргнуть, как уже проиграем любые Звёздные Войны. Спасёт нас только то, что у наших Создателей (великой Цивилизации) и в мыслях нет уничтожать Носителей Разума жаждущих Знаний.

\*\*

10. Электромагнетизм работает на сжатие, формируя сгусток Тянь и его оболочку (табл.9.13).

Таблица 9.13

**Сжимающее поле электромагнетизма**

Электрический ток в проводнике	Контур индуктивность-ёмкость (LC')	Магнитный ток в проводнике
		
$\frac{\mu\omega_0^2}{qс} \equiv \frac{7}{8} \cdot \frac{\pi}{4}$	<div style="display: flex; align-items: center; justify-content: center;"> <div style="text-align: center;">Оболочка 49</div> <div style="margin: 0 10px;">  </div> <div style="text-align: center;">Тянь 64</div> </div>	$\frac{8}{7} \cdot \frac{\pi}{4} = \frac{q\omega_0^2}{\muс}$

Разность между сгустками Тянь и его оболочкой формирует **внутреннее пятиуровневое поле света:**

$$64 - 49 = 15 = 1 + 2 + 3 + 4 + 5. \quad (9.15)$$

Сумма потенциалов сгустком Тянь и его оболочкой формирует Библийское Число Человека, равное 113:

$$64 + 49 = 113. \quad (9.16)$$

Разность квадратов потенциалов:

$$64^2 + 49^2 = 1695 \equiv (2,712 \approx e \equiv m_0) \cdot 5^4, \quad (9.17)$$

создаёт поле пятеричной связи и Зародыш массы относительного покоя ( $m_0 = e \approx 2,712$ ).

11. Пульсация поля пятеричной связи протекает в условиях взаимодействия света ( $\rho_5 = 10$ ), под влиянием периода вращения точечного участка волны света ( $T_0 \rho_5 = 40$ ).

При наличии цис-транс изомерии надо найти такое решение, в котором антирезонансная сумма потенциалов была бы равна 10, а резонансное произведение сорока:

$$x_1 = 5 + \sqrt{-15} \quad \text{и} \quad x_2 = 5 - \sqrt{-15}, \quad (9.17)$$

где 5 - энергия связи, а 15 - внутреннее поле света;

$$\text{и} \quad x_1 + x_2 = 10 \quad \text{и} \quad x_1 x_2 = 5^2 - (-\sqrt{-15})^2 \equiv 25 + 15 = 40. \quad (9.18)$$

Сопоставляя полученные значения (9.17) со свойствами корней квадратного уравнения:

$$x^2 + (b = x_1 + x_2)x + (c = x_1 x_2) = 0, \quad (9.19)$$

мы можем сказать, что энергия пятеричной связи внутреннего поля света (9.17) описывается уравнением:

$$x^2 + 10x + 40 = 0. \quad (9.20)$$

Но это уравнение энергетической связи внутреннего поля света есть ни что иное, как уравнение ядра:

<b>Уравнение ядра и его корни</b>	(9.21)
$x^2 + 10x + 40 = 0; \quad x_1 = 5 + \sqrt{-15}; \quad x_2 = 5 - \sqrt{-15}.$	

В уравнении ядра произведение корней  $x_1 x_2 = 40$  религии донесли как **Сокровенную Сороковицу**, а взаимосвязь корней, равную

$$(x_1 + x_2) \cdot x_1 x_2 = 10 \cdot 40 \equiv 400, \quad (9.22)$$

как 400 Библейских лет или Свабхават О [1].

\*\*

12. Сгустки живых магнитов ( $\mu\omega_0^2$ ) и биотоки (qc) в живых магнитах взаимосвязаны между собой как неравновесные энергетические системы (табл.9.14).

Таблица 9.14

Поля	Электро- магнетизм (табл.9.13).	Кундалини, периодичность, электричество	Оболочка, Тянь, Цинь
Неравновесные системы	$\frac{7}{8} \cdot \frac{\pi}{4} \Leftrightarrow \frac{8}{7} \cdot \frac{4}{\pi}$	$\left(\frac{7}{2}\right)^2 \Leftrightarrow \frac{16}{\pi^2} \equiv \Phi$	$7^2 \Leftrightarrow 8^2 \left(\frac{16}{\pi^2} \equiv \Phi\right)$

Сегодняшние *лирики от Эзотерики* много пишут о **Живых магнитах**, не понимая Сущности Процессов. Им верят и бросают **учиться**. А зря: не спешите сокращать амплитуду маятника природы, а спросите у ваших Кумиров: **Что есть Что?** Многие не ответят, а будут **влиять прилагательными** как модель бёдрами.

Чтобы эти **говорунчики** Вас не запутали, объясню данные табл.9.14.

Числа 7/8 и 8/7 соответственно описывают отношения электромагнитных полей:

$$\frac{7}{8} \equiv \frac{\mu}{q} \equiv \frac{\mu^*}{q^*} \equiv \sqrt{\frac{\mu\mu^*}{qq^*}} \Leftrightarrow \sqrt{\frac{qq^*}{\mu\mu^*}} = \frac{q^*}{\mu^*} = \frac{q}{\mu} = \frac{8}{7}. \quad (9.23)$$

Физическая сущность контура колебания:

$$\omega_0 \int_0^1 \varphi d\varphi = \frac{\pi}{4} \equiv \frac{T_0}{m_c} \Leftrightarrow \frac{E_\lambda}{T_0} \equiv \frac{4}{\pi} \equiv -\omega_0 \int_1^0 \varphi d\varphi, \quad (9.24)$$

многогранна и отображается искривлением энергетических полей.

Это поле вращения - пульсации проникает как в волновые поля Единого Космоса, так и в поле сгустков.

В полях сгустков равновесие достигается тогда, когда в поле сгустка возникает потенциал - эквивалент Золотому Числу:

Равновесие в сгустках		
<i>Колебания</i>	<i>Золотое Число</i>	<i>Сущность Золотого Числа</i>
$\frac{\pi}{4} \Leftrightarrow \frac{4}{\pi}$	$1 - 16/\pi^2 = \Phi$	$\Phi = 16/\pi^2 = T_0 m_c E_\lambda.$

(9.24)

В момент равновесия сгустки с Золотым Числом (9.24) излучают волны:

$$\pi/4 \equiv \arcsin 1/\sqrt{2} \equiv \arccos 1/\sqrt{2} \equiv \dots, \quad (9.25)$$

а далее начинается бесконечная множественность трансформаций волновых полей.

\*  
\*\*

13. Вершиной созидания волновых полей является формирование поверхностных искривлённых волн в форме Кундалини (табл.9.14).

$$(7/2)^2 \Leftrightarrow 16/\pi^2 \equiv \Phi, \quad (7.26)$$

где  $(7/2)^2$  - поверхностная волна Кундалини, а  $\Phi$  - потенциал излучателя волн.



Между излучателем и излучённой волной энергетическая взаимосвязь **никогда не прекращается и никогда не прервётся, ибо она всегда сохранится благодаря маятниковому эффекту неравновесных систем** (9.24).

Пределами маятниковых колебаний Кундалини и излучателя с Золотым Числом (9.26) будут являться с одной стороны поле Единого Космоса с гравитационно-магнитным потенциалом (Корень), и оболочка Тянь (сгустка).

Великая Цивилизация называет такое поле **Оаеоһоо Младший** ([1]. Космогенезис. Станца III, п.7), а я связываю это поле с контуром (9.26) и его пределами:

<b>Оаеоһоо Младший (9.26)</b>				
Поле	пальма	Кундалини	Оболочка	
Колебание	$(7/4)^2 \Leftrightarrow 4/\pi^2$	$(7/2)^2 \Leftrightarrow 16/\pi^2$	$7^2 \Leftrightarrow 64/\pi^2$	
Пределы	$\left(\frac{7}{4}\right)^2 \equiv \frac{\rho\rho^*}{qq^*}$		Обо- лочка	Тянь.

(9.27)

Характеризуя это поле (9.27) можно сказать языком Станц: **заряды-импульсы (Корень) остаются, Кундалини остаётся, сгусток в оболочке остаётся и, всё же, Оаеоһоо Младший Един.**

В поле лазерной точки света будет протекать **анти-резонансное увеличение** плотности ядерного вещества:

$$(4 \Leftrightarrow 16 \Leftrightarrow 64) \cdot (1/\pi^2 \equiv m_c E_\lambda). \quad (9.28)$$

Переход этого поля (9.28) к резонансу:

$$4/\pi^2 \cdot 16/\pi^2 \cdot 64/\pi^2 \equiv 64^2 \cdot (m_c E_\lambda)^3, \quad (9.29)$$

**является источником формирования Чёрных Дыр не только в макро, но и в микромирах.**

14. Формирование оболочки сгустков формируется в условиях пульсации Вселенной при трансформации в ней энергетических форм светом и со скоростью света (табл.9.14):

$$7^2 \Leftrightarrow 8^2 \cdot 16/\pi^2 \cdot c^2 \equiv 8^2 \cdot 16 \quad (9.30)$$

и

$$7^2 \pi^2 \cdot m_c E_\lambda \Leftrightarrow 8^2 \cdot 16. \quad (9.31)$$

Полученные выражения (9.30, 9.31) говорят о том, что сгусток и его поверхность существуют тогда, когда в объеме сгустка происходит трансформация энергии объема светом (9.30); а также тогда, когда свет  $m_c E_\lambda$  проникает в поверхность сгустка (9.31).

Причем поле  $8^2 \cdot 16$  связано с диаграммой **Янь-Цинь** при переходе от 2 до 64:

$$8^2 \cdot 16 + \int_2^{64} \varphi d\varphi \cdot \int_1^0 \varphi d\varphi = 1024 - 1023 = 1. \quad (9.32)$$

Продолжайте работать головой и перестаньте думать, что Чёрная Дыра не излучает.

Успехов Вам и не надо верить пребывающим в умственной лени!

## **Литература**

1. Е.П.Блаватская. Тайная Доктрина, том 1 и том 2. Издательский центр "Ток", Смоленск, 1993.
2. Братство, изучающее Мудрость Религии. Тайная Доктрина. Теогенезис. "РЕФП-бук", "ВАКЛЕР", 1994.
3. Мэнли П.Холл. Энциклопедическое изложение масонской, герметической, каббалистической и розенкрейцеровской символической философии. СПИКС, Санкт-Петербург, 1994.
4. В.С.Крикоров. Живая Нить из Жизни после Жизни. Изд. Полиграфия, Москва, 2000.
5. А.В.Зиновьев. Магия Апокалипсиса. Изд. "Поиск", Саранский филиал СП "Норд", 1990.
6. Г.Корн и Т.Корн. Справочник по математике. Изд. "Наука", Москва, 1978.
7. Тибетская Книга Мёртвых. Изд. Чернышёва, Санкт-Петербург, 1994.
8. Е.А.Уоллис Бадж. Путешествие души в царстве мёртвых. Изд. Ассоциация Духовного Единения "Золотой век", Москва, 1995.
9. Б.М.Яворский и А.А.Детлаф. Справочник по физике. Изд. "Наука", Москва, 1968.
10. К.Свенсон, П.Уэберт. Клетка. Изд. "Мир", Москва, 1980.
11. М.А.Садовский. Голос Земли. "Химия и Жизнь", №1, 1985.
12. В.С.Крикоров. Единый Космос. Золотые вихри Материи и Тонкой Энергии Метагалактик. Изд. "Барс", Москва, 2003.
13. А.В.Черняев. Большой Сфинкс - знак беды. Академия Информатизации, Москва, 1997.

14. Э.Гоникман, С.Бланк. Лечебные свойства минералов в свете эффекта Кирлиан. Москва - Нью-Йорк, Изд. "Сантана", 2000.
15. Календарь 13-Лун. Учение Нового Времени. Изд. Эколого-просветительский центр "Свет", Москва.
16. Марло Морган. Terra Mystica. Послание с того края Земли. Изд. "ТАЯТРИ", Москва, 2005.
17. В.С.Крикоров. Тонкие Энергии в полях Материи: физическая химия фотосинтеза полей Материи и Тонкой Энергии. Изд. "Полиграфия", Москва, 2000.
18. М.Я.Выгодский. Краткий справочник химика. Госхимиздат, 1951.
19. Ж.Ф.Лауэр. Загадки Египетских Пирамид. Изд. "Наука", Москва, 1978.
20. "Устройство для защиты от излучений". Патент №2033200 от 28 июля 1994.
21. "Способ обработки семян и устройство для его осуществлений". Патент №2045881 от 28 ноября 1994.
22. "Способ переноса энергетической информации и его варианты". Патент №2047301 от 23 января 1995.
23. "Устройство для формирования защитного энергетического поля. Патент №2057552 от 19 апреля 1995.
24. "Способ энергетической защиты биологического объекта и устройства для его осуществления" Изобретение класса А61 №4/16, международная публикация WO.96/03/78 от 8 февраля 1996.
25. Хильда Кларк. неизлечимых болезней нет. Изд. Будущее Земли. Санкт-Петербург, 2005.
26. В.М.Ковалёв. "Разработка способов регенерации растений из изолированных клеток и тканей с использованием энергоинформационного поля". Сельскохозяйственная академия им. К.А.Тимирязева. Кафедра сельскохозяйственной биотехнологии. Отчёты от 3 июля 1997 г., от 29 декабря 1997 г. Москва.

## Оглавление

<b>От автора .....</b>	<b>2</b>
<b>Глава 1 Тонкие Энергии в Ядерном веществе.....</b>	<b>6</b>
1.1 Энергетическая связь Рупы, Арупы и поверхности ядра периодической системы геномов .....	7
1.2 Сгущение метагалактических волн в фотоны: возникновение Жизни в Арупе и Рупе .....	17
1.3 Структура ядерного вещества лазерной капли света и его связь с Тонкими Энергиями Космоса .....	29
1.4 Вне граней Смертельного Круга: Кундалини и Жизнь .....	43
1.5 Симметрично-ассиметричные вихри в субстанции ядерного вещества .....	55
1.6 Электро-гравито-магнетизм сингулярного взрыва .	66
1.7 Электрические и гравитационные пределы Космоса .....	78
1.8 Сингулярность магнетизма: основа информатики Будущего.....	89
<b>Глава 2 Человек на Земле .....</b>	<b>100</b>
2.1 Информатика и реинкарнация .....	100
2.2 Взаимодействия и их логарифмические волны: связь Сознания и Подсознания Единого Космоса.....	110
2.3 Эволюция созидания Живых Магнитов: пульсация Кундалини в белковых телах.....	118
2.4 Солнечно-лунный фотосинтез .....	129
2.5 От ядерной энергетики к Числу Человека: дефект масс.....	145
2.6 Эндо-экзотермические ядра и Человек .....	156
2.7 Динамическая структура капли ядерного вещества: конструктов и функциональность НЛО .....	169
2.8 Биочасы: микротрубочка ядра клетки.....	182
2.9 Чётно-нечётная эндо-экзотермия в клетках. ....	192
2.10 Бог Времени Кронис и митоз клетки .....	197
<b>Глава 3 Периодические системы Космоса .....</b>	<b>200</b>
3.1 Периодическая система геномов .....	200

3.2	Периодическая система Тонких Эмоциональных Энергий: Русские Руны .....	219
3.2.1	Пределы периодической системы Русских Рун.....	220
3.2.2	Шесть групп периодической системы Русских Рун: их роль в Едином Космосе .....	237
3.2.3	Шесть групп периодической системы Русских Рун: их роль в Едином Космосе .....	298
<b>Глава 4</b>	<b>Солнечно-люминесцентный спектр света и тринадцати-лунный календарь Цивилизации Майи.</b> .....	<b>309</b>
4.1	Функциональные закономерности. Сине-голубая Чакра .....	309
4.2	Импульс силы и энергия света.....	315
4.3	Пятеричная связь единения Космоса. Электрическое поле света как качели .....	320
4.4	Пульсация света: природа происхождения Божеств из Книги Мёртвых .....	324
4.5	Маятниковый эффект взаимодействий .....	327
4.6	Дискретность белого света и его спектра в полях Арупы - Рупы .....	330
4.7	Белый свет Арупы- Рупы: развенчанный Сатана на уровне наследственности .....	332
4.8	Энергетические Реалии 108 реинкарнаций по Буддизму: зарождение спектра света .....	339
4.9	Фиолетовая энергия связи и взаимодействия.....	342
4.10	Пятеричная связь в спектре света: календарь Майи .....	347
4.11	Жёлтая оболочка и два ряда дней в году Календаря Майи .....	352
4.12	Энергетика искривлено- неискривлённого Пространства: первые три месяца Календаря Майи.	357
4.13	Спектр света: базис тринадцати месяцев Календаря Майи.....	361
4.14	Волновой Модуль тринадцати лунного Календаря Майи и его связь с Теогенезисом Книги Дзиан.....	370

4.15	Календарь Майи: Солнечное Счисление Продолжительностей в Жизни и Жизни до и после Жизни .....	375
4.16	Модуль Дня Вне Времени: 25 июля любого года .. .....	380
4.17	Релаксационно-ядерные колебания Дня Вне Времени .....	383
4.18	Гравитационно-магнитная мультиплетность Дня Вне Времени .....	385
4.19	Единое Время Древнего Социума Земли .....	387
4.20	Три цвета Времени: белый, голубой, синий .....	391
4.21	Спектральная структура божественной Кундалини .....	394
<b>Глава 5 Периодическая Система Химических Элементов .....</b>		<b>399</b>
5.1	Начала формирования .....	399
5.2	Первый период: свет, водород, гелий .....	413
5.3	Газы и свет: великая Цивилизация о кинетической теории газов .....	416
5.4	Число Человека: <i>Периодическая Система и Человек</i> . Восьмая группа .....	427
5.5	Тонкоэнергетический Свет .....	440
5.6	Актиноидно-лантаноидная пульсация .....	447
5.7	Группа инертных газов. Их влияние на число элементов в периодах .....	455
<b>Глава 6 Строение Атома .....</b>		<b>462</b>
6.1	Великая Цивилизация: введение в теорию строения Атома .....	463
6.2	Пирамида Кундалини. Самосушие Владыки Космоса .....	474
6.3	Сгущение волн света: диаграмма Ян-Цинь .....	479
6.4	Гравитационно-магнитная Пятеричная Связь .....	483
6.5	Строение Атома. Электромагнитное Дыхание Чакр.. .....	497

6.6	Анализ справочных данных веса нейтрона, протона и электрона. Арупа и Рупа в изложении Иисуса Христа .....	506
<b>Глава 7 Наш путь в Теогенезис.....</b>		<b>516</b>
7.1	Сотворение Мира: от Самосущих до Создателя..	516
7.2	Энергетика канала экстрасенсорной проводимости.. .....	525
7.3	Свойства волн Космоса Невесомости .....	535
7.4	Реакции живых магнитов на Метагалактические волны.....	543
7.5	Золотые волны Метагалактики .....	550
7.6	Роль Кундалини в поле реинкарнаций.....	557
7.7	Формирование поля Рупы - поля в Форме.....	560
7.8	Свет, вода и число сатаны .....	562
7.9	Субструктура (9+0) в полях Тонкой Энергии .....	564
7.10	Энергетика пульсации при митозе биоклетки ..	565
7.11	Пульсация биочасов клетки. Бог Времени Кронис . .....	567
7.12	Перестройка субструктур клеток при переходе Ману-Мыслителя к Человеку Воли и Йоги .....	569
7.13	Звёздные мелодии Тропы в Теогенезис.....	572
7.14	Энергетика Красной Планеты Теогенезиса .....	577
7.15	Фетиш к Красной Звезде Теогенезиса .....	582
<b>Глава 8 Тонкие Энергии в народном хозяйстве ...</b>		<b>592</b>
8.1	Генераторы Тонких Энергий.....	594
8.2	Энергетическая структура тонкоэнергетического свечения .....	600
8.3	Облучение воды и расплава. сотворение Жизни ..	607
8.4	Перспективы применения Тонких Энергий в сельском хозяйстве .....	618
8.5	Облучение расплавов, спиртов и масел .....	624
<b>Заключение: сравнение нашей и великой цивилизации .....</b>		<b>629</b>
<b>Литература .....</b>		<b>651</b>
<b>Оглавление.....</b>		<b>653</b>